В.А. АЛЕХИН

ЭЛЕКТРОНИКА И СХЕМОТЕХНИКА

КУРС ЛЕКЦИЙ
С ИСПОЛЬЗОВАНИЕМ КОМПЬЮТЕРНОГО МОДЕЛИРОВАНИЯ В СРЕДЕ «TINA-TI»

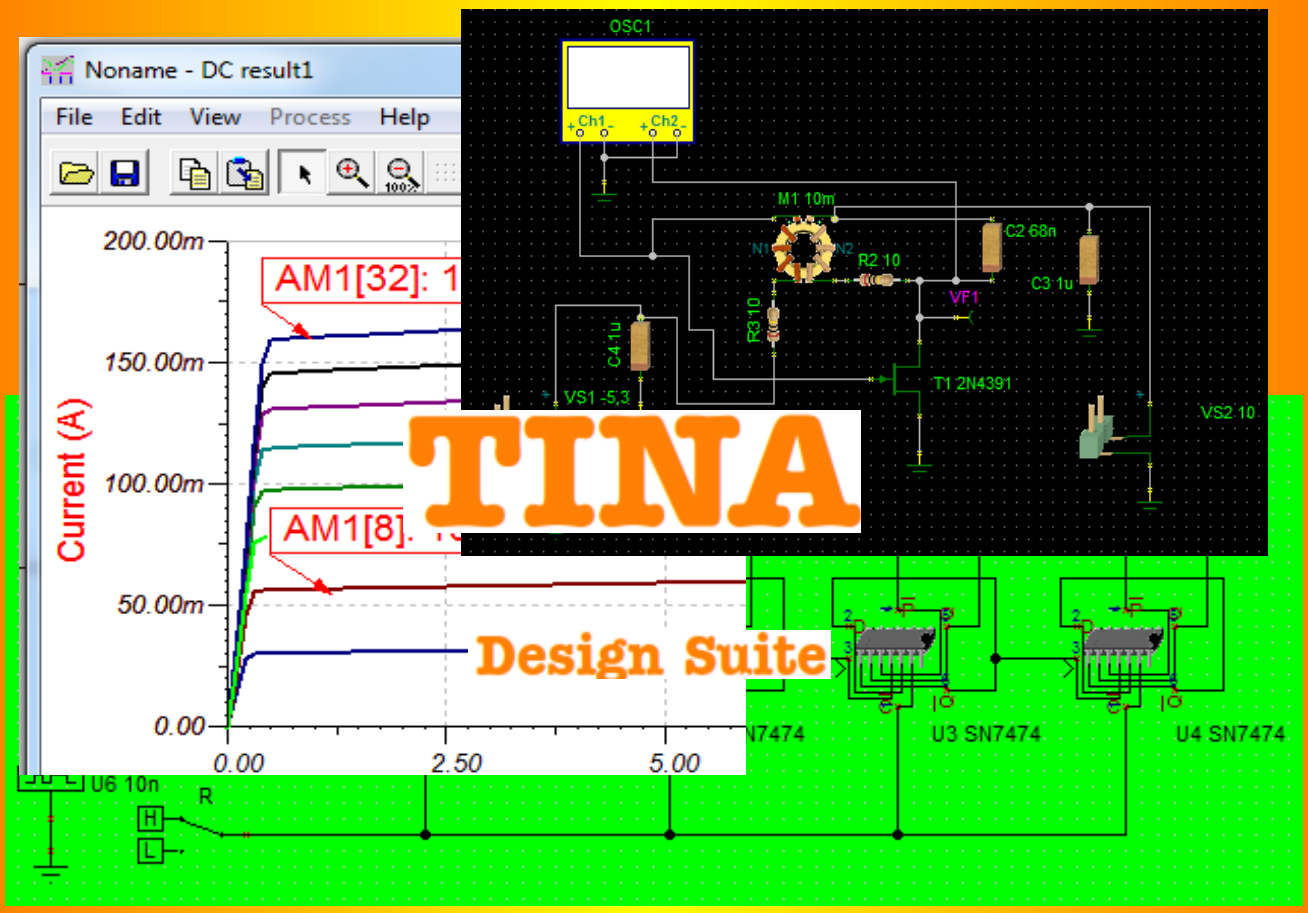

МОСКВА 2016

МИНИСТЕРСТВО ОБРАЗОВАНИЯ И НАУКИ
РОССИЙСКОЙ ФЕДЕРАЦИИ

«МОСКОВСКИЙ ГОСУДАРСТВЕННЫЙ ТЕХНОЛОГИЧЕСКИЙ
УНИВЕРСИТЕТ»
(МИРЭА-МГУПИ-МИТХТ)

В.А. Алехин

ЭЛЕКТРОНИКА И СХЕМОТЕХНИКА
КУРС ЛЕКЦИЙ
С ИСПОЛЬЗОВАНИЕМ КОМПЬЮТЕРНОГО МОДЕЛИРОВАНИЯ
В СРЕДЕ «TINA-TI»

Мультимедийный электронный учебник

МОСКВА 2016

УДК 621.3.01+621.38

ББК 31.21+32.85

А49

Автор: В.А. Алехин.
Редактор: В.Ю. Маслов

Мультимедийный электронный учебник содержит материалы, соответсвующие дисциплине «Электроника и схемотехника» и второй части дисциплины «Электротехника, электроника и схемотехника»: полупроводниковые электронные приборы, операционные усилители, автогенераторы, цифровые микросхемы, аналого-цифровые и цифроаналоговые преобразователи, источники питания, микропроцессорные устройства и т.д.

Помимо аналитических и графических методов расчета в учебнике применяется современная программа компьютерного моделирования электронных схем TINA-TI. Эта бесплатная студенческая версия, разработанная компаниями DesignSoft и Texas Instruments, использует Spice модели электронных компонентов и позволяет проводит анализ и проектирование разнообразных аналоговых, цифровых, микропроцессорных и смешанных устройств на современном уровне компьютерных технологий.

Знакомство с программой TINA-TI поможет студентам в будущем успешно применять профессиональные версии этой программы, а также аналогичные программы проектирования (OrCAD, Proteus и др.).

Учебник дополнен комплектом схем для самостоятельного моделирования и экспериментального исследования электронных устройств.

Такое содержание учебника будет способствовать формированию у студентов профессиональных компетенций.

Учебник может быть полезен любителям электроники и инженерам для изучения элементной базы и современных программ проектирования электронных устройств.

Рецензенты: профессор М.Л. Белов, профессор В.Г. Лысенко

© В.А. Алехин, 2016

© МИРЭА, 2016

Оглавление

Глава 1. Полупроводниковые диоды и стабилитроны 15
1.1. Полупроводниковые материалы 15
1.2. Полупроводниковый диод 22
1.3. Вольтамперная характеристика полупроводникового диода 27
1.4. Эквивалентные схемы диодов 31
1.5. Spice - модель диода 32
1.6. Стабилитроны 35
1.7. Специальные типы полупроводниковых диодов 38
1.8. Расчет цепей постоянного тока с диодами и стабитронами 45
1.9. Выпрямление переменного напряжения с помощью диодов 56
1.10. Диодные ограничители и фиксаторы напряжения 62
Глава 2. Биполярные транзисторы 65
2.2. Схема с общим эмиттером 68
2.3. Эквивалентные схемы биполярных транзисторов 71
2.4. Расчет усилителя на биполярном транзисторе 73
2.5. Схема с общей базой 86
2.6. Схема с общим коллектором. Эмиттерный повторитель 91
2.7. Расчет транзисторных усилителей в режиме малого сигнала 98
2.7.1. Определение, классификация, основные характеристики и параметры усилителей 98
2.7.2. Расчет транзисторного каскада с общим эмиттером 103
2.7.3. Расчет транзисторного каскада с общим коллектором 106
2.8. Тиристоры 108
Глава 3. Полевые транзисторы 112
3.1. Основные понятия и классификация полевых 112
транзисторов 112
3.2. Устройство полевого транзистора с управляющим 113
p-n переходом и его характеристики 113
3.3. Устройство полевого транзистора с изолированным 117

затвором и встроенным каналом 117
3.4. Устройство полевого транзистора с изолированным 119
затвором и индуцированным каналом 119
3.5. Комплементарные МОП транзисторы (КМОП) 122
3.6. Эквивалентные схемы полевых транзисторов 123
3.7. Расчет усилителя низкой частоты на полевом 124
транзисторе 124
3.8. Истоковый повторитель 130
3.9. Расчет каскада на полевом транзисторе в режиме малого 136
сигнала с использованием Y-параметров 136
Глава 4. Операционные усилители 138
4.1. Определение и основные свойства операционных усилителей 138
4.2. Дифференциальный усилитель 140
4.3. Схемотехника линейных устройств на операционных 144
усилителях 144
4.3.1. Инвертирущий ОУ 145
4.3.2. Неинвертирующий ОУ 146
4.3.3. Инвертирующий сумматор 147
4.3.4. Вычитающий ОУ 148
4.3.5. Повторитель напряжения 148
4.3.6. Дифференцирующее звено 150
4.3.7. Интегратор 151
4.3.8. Фазовращатель 152
4.3.9. Управляемые источники напряжения и тока 153
4.3.10. Активные фильтры первого порядка 155
4.3.11. Активные фильтры второго порядка 156
4.4. Схемотехника нелинейных устройств на операционных 161
усилителях 161
4.4.1. Логарифмический усилитель 161
4.4.2. Прецизионный выпрямитель 162

Глава 5. Обратная связь и автогенераторы 164
5.1. Понятие обратной связи 164
5.2. Типы подключения обратной связи 164
5.3. Свойства усилителей с ОС 165
5.4. Положительная обратная связь в автогенераторах 168
5.4.1. Автогенератор с трансформаторной обратной связью 170
5.4.2. Расчет автогенератора в Mathcad 174
5.4.3. Моделирование автогенератора с трансформаторной связью 176
5.4.4. Индуктивная трехточка 178
5.4.5. LC-генератор на операционном усилителе 180
5.4.6. Генератор Вина 182
5.4.7. Мультивибратор на ОУ 183
5.4.8. Стабилизация частоты автогенераторов 184
Глава 6. Электронные системы связи 186
6.1. Основные понятия электросвязи 186
6.1.1. Структурная схема системы электросвязи 186
6.1.2. Частоты передачи 188
6.1.3. Уровни мощности, усиления и потерь 189
6.1.4. Шумы в системах связи 191
6.2. Модуляция и демодуляция электрических сигналов 193
6.3. Амплитудная модуляция и демодуляция 195
6.3.1 Модель амплитудного модулятора и демодулятора 195
6.4. Частотная модуляция и демодуляция 199
6.4.1 Частотный модулятор на варикапе 201
6.4.2. Частотный демодулятор с одиночным контуром 204
6.4.3. Двухконтурный частотный дискриминатор 208
Глава7. Фазовая автоподстройка частоты (ФАПЧ) 211
7.1. Структурная схема петли ФАПЧ 211
7.2. Работа схемы ФАПЧ 211
7.3. Полоса захвата и удержания петли ФАПЧ 213

7.4. Модель системы ФАПЧ 214
7.4.1. Работа фазового компаратора 214
7.5. Коэффициент усиления петли ФАПЧ 218
7.6. Основное уравнение типовой системы ФАПЧ 220
7.7. Экспериментальное исследование модели ФАПЧ 221
7.7.1. Исследование статического рассогласования фаз 221
7.7.2. Исследование переходного процесса захвата частоты 222
7.7.3. Исследование полосы захвата и удержания 224
7.7.4. Использование ФАПЧ для демодуляции ЧМ сигнала 226
7.8. Синтезаторы частоты на основе ФАПЧ 227
Глава 8. Источники электропитания электронных устройств 230
8.1. Классификация источников питания 230
8.2. Основные характеристики ИВЭП 230
8.3. Структурные схемы ИВЭП 231
8.4. Выпрямители источников питания 234
8.5. Моделирование выпрямителей с фильтрами 238
8.5.1. Двухполупериодный мостовой выпрямитель 238
8.5.2. Двухполярный мостовой выпрямитель 239
8.5.2. Управляемый выпрямитель с тиристором 240
8.6. Умножитель напряжения 242
8.7. Стабилизаторы напряжения 244
8.7.1. Параметрический стабилизатор на стабилитроне 244
8.7.2. Параметрический стабилизатор с эмиттерным 245
8.7.3. Компенсационный стабилизатор 246
8.8. Импульсные преобразователи напряжения 248
8.8.1. Понижающий преобразователь DC-DC 248
8.8.2. Повышающий преобразователь DC-DC 251
8.8.3. Микросхемы преобразователей DC-DC 253
8.9. Импульсные источники питания AC-DC 254
Глава 9. Цифровая схемотехника 257

9.1. Основные параметры импульсных сигналов 257
9.2. Функции алгебры логики 259
9.2.1. Таблица истинности 260
9.2.2. Аналитическая запись логических операций 260
9.2.2. Законы и теоремы булевой алгебры 262
9.3. Цифровые логические элементы 263
9.4. Минимизация логических функций в программе TINA 264
9.5. Ключевые схемы 268
9.5.1. Диодные ключи 268
9.5.2. Ключи на биполярных транзисторах 269
9.5.3. Ключи на полевых МОП транзисторах 272
9.6. Серийные микросхемы цифровых логических элементов 273
9.6.1. Функционально полные системы 274
9.7. Мультиплексоры и демультиплексоры 275
9.8. Дешифраторы 277
9.9. Триггеры 278
9.9.1. Асинхронный *RS*-триггер 278
9.9.2. *D*-триггер 279
9.9.3. *JK*-триггер 280
9.10. Счетчики импульсов и регистры 282
9.11. Регистры 284
9.12. Цифровые постоянные запоминающие устройства (ROM) 285
9.12.1. Постоянное ЗУ (ПЗУ) 286
9.12.2. Программируемое ПЗУ (ППЗУ), PROM 287
9.12.3. Стираемое программируемое ПЗУ (EPROM) 288
9.12.4. EEPROM обозначают электрически стираемое 289
программируемое ПЗУ 289
9.12.5. Обзор энергонезависимых ЗУ 289
9.13. Оперативные запоминающие устройства ОЗУ (RAM) 290
9.13.1. Статическое ОЗУ RAM 290

9.13.2. Динамические ОЗУ (DRAM) 291
9.14. Программируемые логические схемы 292
9.14.1. Логические схемы, программируемые изготовителем 293
9.14.2. Логические схемы, программируемые потребителем..... 293
9.14.3. Разновидности программируемых логических устройств..... 295
Глава 10. Цифроаналоговые и аналого-цифровые 298
преобразователи 298
10.1. Цифроаналоговое преобразование 298
10.2. ЦАП с суммированием весовых токов 298
10.3. ЦАП с резистивной матрицей постоянного импеданса 299
10.4. Принцип аналого-цифровое преобразование..... 300
10.5. Этаты аналого-цифрового преобразования..... 301
10.6. АЦП прямого параллельного преобразования..... 303
10.7. АЦП, работающий по весовому принципу 305
10.8. АЦП, использующие методы счета..... 306
10.8.1. Компенсационный числовой АЦП..... 306
10.8.2. Метод пилообразного напряжения..... 307
10.8.3. Метод двойного интегрирования 308
Глава 11. Микропроцессоры и микроконтроллеры..... 311
11.1. Понятия микропроцессора и микроконтроллера..... 311
11.2. Структура микропроцессорного устройства..... 312
11.3. Основные свойства микропроцессоров 313
11.4. Структура и функционирование микропроцессора..... 314
11.5. Микроконтроллеры..... 316
11.5.1. Технические характеристики микроконтроллера PIC16F84A 317
11.5.2. Особенности архитектуры PIC16F84A 317
11.5.3. Память 319
11.5.4. Регистры..... 319
11.5.5. Системы счисления..... 319
11.5.6. Формат записи чисел 320

11.5.7. Организация памяти программ и стека 320
11.5.8. Организация памяти данных 321
11.5.9. Регистры специального назначения 322
11.5.10. Счетчик команд 323
11.5.11. Стек и возврат из подпрограмм 324
11.5.12. Прямая и косвенная адресация 324
11.5.13. Порты ввода-вывода 325
11.5.14. Модуль таймера и регистр таймера 326
11.5.15. Память данных в РПЗУ (EEPROM) 327
11.5.16. Алгоритм сброса при включении питания 328
11.5.17. Сторожевой (Watchdog) таймер 329
11.5.18. Типы генераторов 330
11.5.19. Биты конфигурации 330
11.5.20. Система команд микроконтроллера PIC16F84A 330
11.5.21. Разводка ножек микроконтроллера PIC16F84A 333
11.5.22. Технические характеристики микроконтроллера PIC16F877A ... 335
Библиографический список 337

Введение

Этапы возникновения и развития электроники и схемотехники

Электроника – это наука о взаимодействии заряженных частиц (электронов, ионов) с электромагнитными полями и о методах создания электронных приборов и устройств (вакуумных, газоразрядных, полупроводниковых), используемых в основном для передачи, обработки и хранения информации.

Историю развития электроники можно условно разделить на четыре этапа.

Первый этап относится к концу 19 века и связан с открытием электрона и развитием электровакуумной техники и электронных вакуумных ламп. Началом развития ламповой техники принято считать изобретение русским ученым электротехником А. Н. Лодыгиным в 1873 году электрической лампы накаливания с угольным стержнем.

На базе этого изобретения уже 1883 г. американский инженер Т. А. Эдисон открыл и описал явление термоэлектронной эмиссии и прохождения электрического тока через вакуум. Русский физик А. Г. Столетов в 1888 г. открыл основные законы фотоэффекта. Важнейшую роль в развитии электроники сыграло открытие русским ученым в 1895 г. А. С. Поповым возможности передачи радиоволн на расстояние. Это открытие дало огромный импульс для развития и внедрения различных электронных приборов в практику. Появился спрос на устройства для генерации, усиления и детектирования электрических сигналов.

Второй этап истории развития электроники охватывает первую половину 20-го века. Этот период характеризуется разработкой и совершенствованием электровакуумных приборов (ЭВП) и систематизированным изучением их физических свойств. В 1904 г. была сделана простейшая *двухэлектродная электронная лампа — диод* для детектирования электрических колебаний в радиотехнике. В 1907 г. изготовлена *трехэлектродная лампа — триод* для усиления электрических сигналов. В России первые образцы ламп были изготовлены в 1914—1915 гг. под руководством Н. Д. Папалекси и М. А. Бонч-Бруевича. Первые электронные лампы сразу нашли применение в области радиосвязи.

В 1918 г. начинает работать Нижегородская радиолаборатория под руководством М. А. Бонч-Бруевича — первое в России научно-исследовательское учреждение по вопросам радио и электровакуумной техники. Уже в 1919 году в лаборатории были изготовлены первые образцы отечественных приемно-усилительных радиоламп, а в 1921 г. разработаны первые мощные электронные лампы с водяным охлаждением. В 1924 г. были изобретены *четырехэлектродные лампы (тетроды)*, в 1930 г. —

пятиэлектродные (*пентоды*), в 1935 г. — многосеточные частотно-преобразовательные лампы (*гептоды*).

В 30-х и начале 40-х годов наряду с усовершенствованием обычных ламп были разработаны лампы для дециметровых и сантиметровых волн (магнетроны, клистроны, лампы бегущей волны), применяемые в радиолокации.

Третий этап относится к концу 40-х и началу 50-х годов и характеризуется бурным развитием дискретных полупроводниковых приборов. Развитию полупроводниковой электроники предшествовали работы в области физики твердого тела. Большие заслуги изучения физики полупроводников принадлежат школе советских физиков, длительное время возглавляемой академиком А. Ф. Иоффе. Теоретические и экспериментальные исследования электрических свойств полупроводников, выполненные советскими учеными А. Ф. Иоффе, И. В. Курчатовым, В. П. Жузе, В. Г. Лошкаревым и другими, позволили создать стройную теорию полупроводников и определить пути их применения.

Революцию в электронике произвело изобретение в 1947 году инженерами фирмы Bell Laboratories Джоном Бардиным, Вальтером Бреттейном и Виллиамом Шокли полупроводникового трехэлектродного усилителя — биполярного транзистора. За это открытие все они получили в 1956 году Нобелевскую премию по физике.

Начался новый виток цивилизации, получивший название «кремниевый век». Первые промышленные образцы полупроводниковых приборов —транзисторов, способных усиливать и генерировать электрические колебания, были предложены в 1948 г. С появлением транзисторов начинается период покорения электроники полупроводниками. Способность транзисторов работать при низких напряжениях и токах позволила уменьшить размеры всех элементов в схемах, открыла возможность миниатюризации радиоэлектронной аппаратуры. В 1958 году Станиславом Тешнером во Франции был изотовлен первый промышленный полевой транзистор.

Одновременно с разработкой новых типов приборов велись работы по совершенствованию технологических методов их изготовления. 50-е годы знаменуются открытиями в области физики твердого тела и переходом к квантовой электронике, приведшей к развитию лазерной техники. Большой вклад в развитие этой отрасли науки и техники внесли советские ученые Н. Г. Басов и А. М. Прохоров, удостоенные Ленинской (в 1959 г.) и Нобелевской (в 1964 г.) премий.

Четвертый этап развития электроники берет начало в 60-е годы прошлого века. Он характеризуется разработкой и практическим освоением *интегральных микросхем*, совместивших в едином технологическом цикле производство активных и пассивных элементов функциональных устройств. Уровень интеграции больших интегральных схем (БИС) дости-

гает тысяч элементов в одном кристалле. Освоение выпуска больших и сверхбольших интегральных схем позволило перейти к созданию функционально законченных цифровых устройств — микропроцессоров, рассчитанных на совместную работу с устройствами памяти и обеспечивающих обработку информации и управление по заданной программе.

В настоящее время электроника включает в себя 3 области исследований:

1. вакуумную электронику;
2. твердотельную электронику;
3. квантовую электронику.

Каждая область содержит ряд разделов и направлений.

Вакуумная электроника включает направления, связанные с созданием электровакуумных приборов следующих видов:

электронных ламп (диодов, триодов, тетродов, пентодов и т. д.);

ЭВП СВЧ (магнетронов, клистронов и т. п.);

фотоэлектронных приборов (фотоэлементов, фотоэлектронных умножителей), рентгеновских трубок;

газоразрядных приборов (мощных преобразователей тока, источников света, индикаторов).

Твердотельная электроника содержит следующие основные направления, связанные с разработкой и изготовлением различных видов полупроводниковых приборов:

полупроводниковых диодов (выпрямительных, смесительных, параметрических, стабилитронов); усилительных и генераторных диодов (туннельных, лавинно-пролетных, диодов Ганна); транзисторов (биполярных и униполярных), тиристоров, оптоэлектронных приборов (светоизлучающих диодов, фотодиодов, фототранзисторов, оптронов, светодиодных и фотодиодных матриц), интегральных схем;

диэлектрическая электроника, изучающая электронные процессы в диэлектриках (в частности, в тонких диэлектрических пленках) и их использование, например, для создания диэлектрических диодов, конденсаторов;

магнитоэлектроника, использующая магнитные свойства вещества для управления потоками электромагнитной энергии с помощью ферритовых вентилей, циркуляторов, фазовращателей и т. д., и для создания запоминающих устройств, в т. ч. на магнитных доменах;

акустоэлектроника и пьезоэлектроника, рассматривающие вопросы распространения поверхностных и объемных акустических волн и создаваемых ими переменных электрических полей в кристаллических материалах и взаимодействия этих полей с электронами в приборах с полупроводниково-пьезоэлектрической структурой (кварцевых стабилизаторах частоты,

пьезоэлектрических фильтрах, ультразвуковых линиях задержки, акустических усилителях и т. д.);

криоэлектроника, исследующая изменения свойств твердого тела при глубоком охлаждении для построения малошумящих усилителей и генераторов СВЧ, сверхбыстродействующих вычислительных и запоминающих устройств;

разработка и изготовление резисторов.

Квантовая электроника включает направления, связанные с созданием и использованием лазеров и мазеров:

приборов квантовой электроники (лазерные генераторы, дальномеры, квантовые стандарты частоты, квантовые гироскопы, системы оптической многоканальной связи, усилители микроволн мазеры для дальней космической связи и радиоастрономии);

оптоэлектроника использует оптические и электрические методы обработки, хранения и передачи информации, голографию, светоизлучающие диоды, фотоприемники, волоконную оптику, интегральную оптику.

Современный этап развития характеризуется появлением новых перспективных областей и направлений электроники:

наноэлектроника - область науки и техники, связанная с разработкой архитектур и технологий производства функциональных устройств электроники с топологическими размерами элементов, не превышающими 100 нм, а также с изучением физических основ функционирования таких устройств;

графеновая электроника – использующая технологию создания полупроводниковых приборов на графеновой основе (подложке), что позволит в недалеком будущем создавать интегральные схемы из меньшего количества транзисторов, которые будут выполнять те же функции, что и их устаревшие кремниевые аналоги.

В курсе «Электротехника, электроника и схемотехника» мы будем изучать в основном твердотельную электронику.

Задачей специалистов в области управления в технических системах, приборостроения и радиоэлектроники является разработка новых электронных устройств. Для этого требуется хорошее знание элементной базы и искусства схемотехники.

Схемотехника — научно-техническое направление, охватывающее проблемы анализа и синтеза электронных устройств радиотехники, связи, автоматики, вычислительной техники в целях обеспечения оптимального выполнения ими заданных функций и расчета параметров входящих в них элементов.

Разработку современных радиоэлектронных устройств и систем управления инженеры выполняют, используя компьютерные программы сквозного проектирования электронных устройств (OrCAD, Proteus, TINA

и др.). Эти программы позволяют выполнить разработку схемы устройств, провести анализ работоспособности устройсва в различных температурных условиях, выполнить синтез оптимальных параметров, программирование микроконтроллеров, разработать печатные платы и т.д.).

В учебном пособии мы будем использовать моделирование в программной среде TINA, разработанной компанией DesignSoft с участием Texas Instruments. Это позволит наглядно иллюстрировать изучаемые темы и даст студентам эффективный инструмент для экспериментальной проверки расчетов схем и самостоятельных разработок электронных устройств.

Глава 1. Полупроводниковые диоды и стабилитроны

1.1. Полупроводниковые материалы

Проводниками называют материалы, которые пропускают электрический ток, когда к зажимам цепи приложено небольшое напряжение. Удельное электрическое сопротивление проводников можно определить экспериментально (рис.1.1) и вычисляют по формуле:

$$\rho = \frac{RS}{l} = \frac{Ом\left[см^2\right]}{см} = Ом \cdot см \qquad (1.1)$$

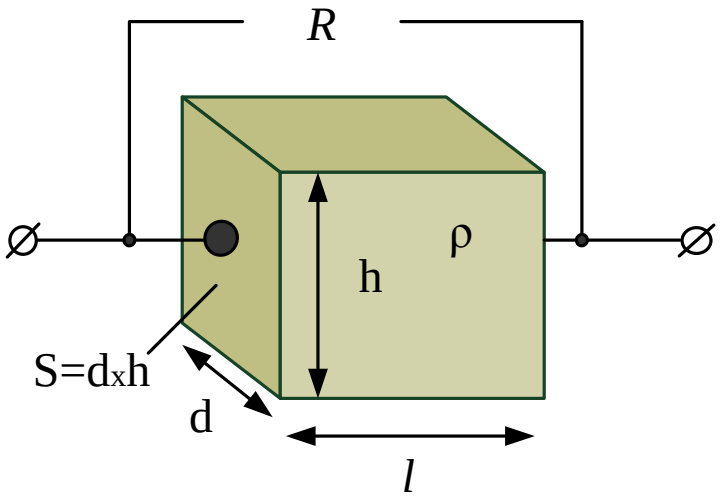

Рис.1.1. Измерение удельного электрического сопротивления

Удельное электрическое сопротивление проводников лежит в пределах $10^{-6} \div 10^{-4}\, Ом \cdot см$. К примеру, удельное сопротивление меди $\rho = 0{,}017 \cdot 10^{-4}\, Ом \cdot см$.

Хорошими изоляторами являются диэлектрики с удельным сопротивлением больше $10^{12}\, Ом \cdot см$.

К полупроводникам относят материалы, которые имеют при комнатной температуре удельное сопротивление ρ в пределах от $10^{-3} \div 10^{-2}\, Ом \cdot см$ до $10^{8} \div 10^{10}\, Ом \cdot см$. В отличие от металлов сопротивление собственных (чистых, несодержащих примесей) полупроводников сильно зависит от температуры и с ростом температуры не увеличивается, а уменьшается. При добавлении примеси в собственный полупроводник его сопротивление сильно изменяется.

Основными материалами, которые используются в полупроводниковой технике, являются германий и кремний. Они относятся к классу электронных полупроводников, в которых электрический ток обусловлен только электронами, а не ионами. Особенностью германия и кремния является то, что их кристаллическая решетка имеет регулярную структуру и называется тетраэдрической или решеткой типа алмаза (рис.1.2).

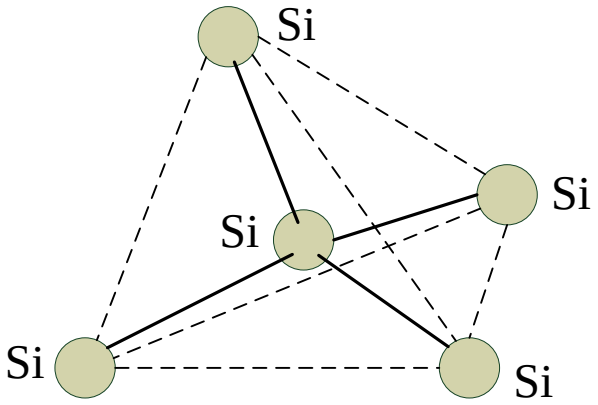

Рис.1.2. Тетраэдрическая структура кристаллической решетки кремния

Характерная особенность тетраэдрической системы заключается в одинаковом расстоянии центрального атома от четырех угловых. Каждый угловой атом служит центральным для других четырех ближайших атомов, которые также образуют тетраэдр.

На рис.1.3 показан плоский эквивалент тетраэдрической структуры.

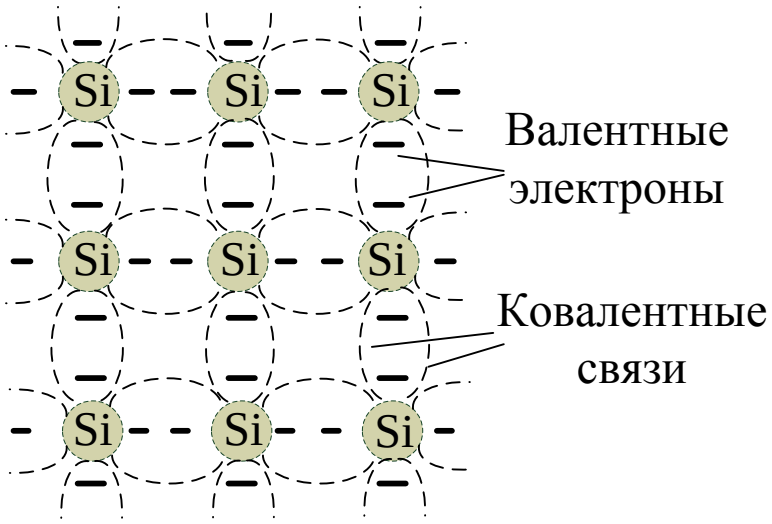

Рис.1.3. Плоский эквивалент решетки кремния с валентными связями атомов

Атом кремния имеет 14 орбитальных электронов. На внешней оболочке находятся 4 валентных электрона. Атом германия имеет 32 орбитальных электрона, из них 4 валентных на внешней оболочке.

Связь атомов в решетке кремния устанавливается вследствие действия объемных сил, возникающий в результате попарного объединения валентных электронов. Пара электронов, обведенная на рис.1.3 пунктиром, в равной степени принадлежит обоим атомам и поочередно примыкает то к одному, то к другому. В среднем каждый атом обладает устойчивой восьмиэлектронной облочкой. Такую связь атомов, при которой каждый из них остается нейтральным, называют ковалентной или просто валентной в отличие от ионной связи, обусловленной электрическими силами.

Полностью однородная структура (рис.1.3) бывает у кристалла только при температуре абсолютного нуля. Увеличение температуры, воздейтсвие внешних факторов (наример, света) нарушает часть валентных связей. Нарушение валентных связей приводит к одновременному образованию пар свободных электронов и пустых мест – дырок вблизи тех атомов, от которых оторвались электроны (рис.1.4).

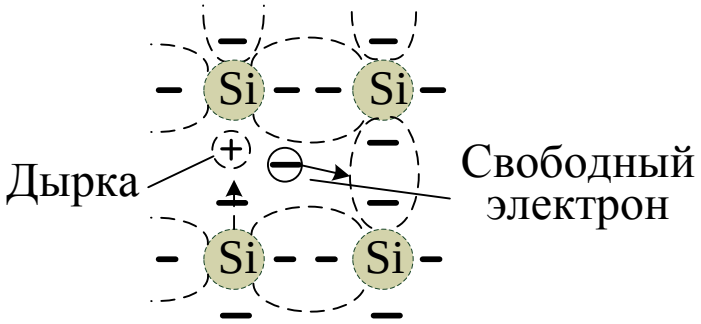

Рис.1.4. Образование пары электрон-дырка

Число пар электронов и дырок в стационарном режиме определяется равновесием между процессами термогенерации и рекомбинации носителей. Проводимость собственного полупроводника, обусловленную парными носителями теплового происхождения, называют собственной. При комнатной температуре в одном кубическом сантиметре собственного кремниевого материала присутствует примерной $1{,}5 \times 10^{10}$ свободных носителей. При той же температуре собственный полупроводник германия будет иметь примерно $2{,}5 \times 10^{13}$ свободных носителей в кубическом сантиметре материала. Это в 1000 раз больше, чем у кремния. С ростом температуры сопротивление кремния и германия уменьшается и говорят, что эти материалы имеют отрицательный температурный коэффициент сопротивления.

Проводимость, обусловленную наличием примесей атомов, нарушающих структуру кристаллической решетки, называют примесной.

Энергетические уровни

В структуре атома есть дискретные энергетические уровни, связанные с орбитальными электронами. Каждый материал имеет свой собствен-

ный набор допустимых уровней энергии электронов в его атомной структуре. Чем больше расстояние от ядра, тем выше энергетическое состояние электрона и любой электрон, который оставил свой атом, имеет энергию, более высокую, чем любой электрон в структуре атома.

Допустимые и запрещенные энергетические уровни электронов группируются в зоны. На рис. 1.5а показана зонная структура изолятора. Зона проводимости не содержит свободных электронов и отделена от валетной зоны запрещенной зоной с энергией Eg>5 эВ (1 электрон-вольт=1,6x10^{-19} Дж).

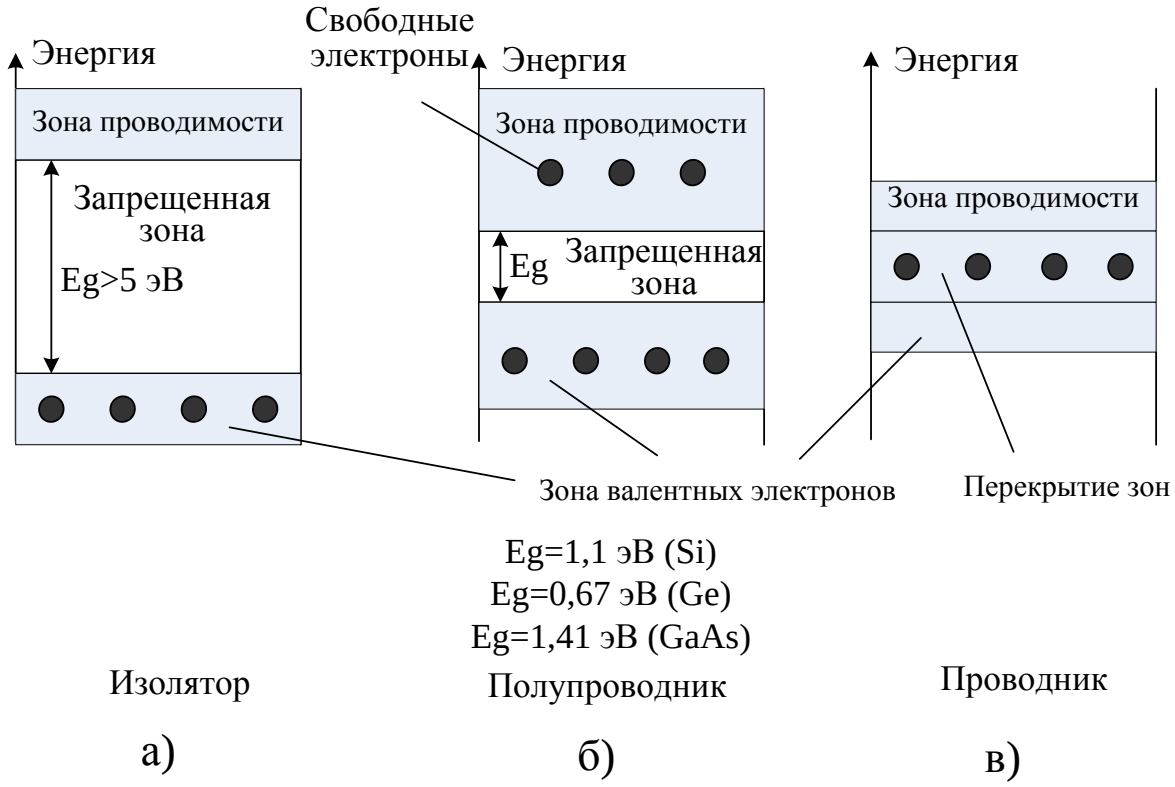

Рис.1.5. Зоны проводимости, запрещенные и валентных электронов в изоляторе, полупроводнике и проводнике

В полупроводнике (рис.1.5б) для прохода через запрещенную зону электрону требуется меньшая энергия и в зоне проводимости есть некоторое количество свободных электронов. Причем запрещенная зона для собственных полупроводников кремния и германия составляет 1,1 эВ и 0,67 эВ соответственно.

В проводнике (рис.1.5в) свободные электроны находятся в зоне проводимости уже при комнатной температуре и их вполне достаточно, чтобы обеспечить сильный ток.

Если в собственный полупроводник добавить определенные примеси, энергетические состояния запрещенных зон будут изменяться и это вы-

зовет увеличение плотности носителей в зоне проводимости при комнатной температуре.

Примесные материалы n- и p- типов

Характеристики полупроводниковых материалов могут быть значительно изменены путем добавления определенных атомов примеси в относительно чистый полупроводниковый материал. Достаточно добавить 1 часть на 10 миллионов, чтобы полностью изменить электрические свойства материала. Полупроводниковый материал, который был подвергнут процессу легирования называется примесным полупроводником.

Есть два типа примесных полупроводников чрезвычайно важные для изготовление полупроводниковых устройства: n - тип и p - тип. Рассмотрим подробно каждый из них.

Материалы n - типа

Материалы n – типа создаются добавлением в кремний или германий определенного количества примесных атомов элементов, которые имеют пять валентных электронов (например, сурьма, мышьяк или фосфор).

Если ввести в кремний атом пятивалентного сурьмы (рис.1.6), то четыре из его валентных электрона вступят в связь с четырьмя валентными электронами соседних атомов кремния и образуют устойчивую оболочку из восьми электронов. Девятый электрон оказывается свободным. При этом примесный атом сурьмы превращается в неподвижный ион с единичным положительным зарядом.

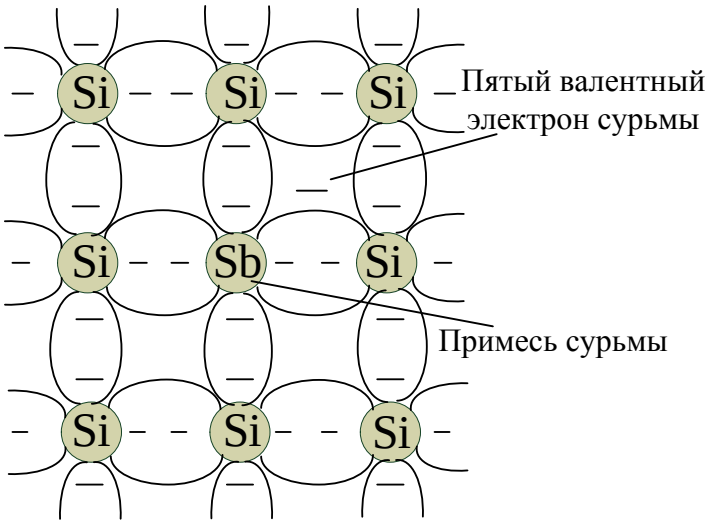

Рис.1.6. Полупроводник n – типа, легированный сурьмой

Свободные электроны добавляются к собственным свободным электронам кремния и проводимость полупроводника делается преимущественно электронной. Такие полупроводники называют электронными или

типа – n. Примеси, которые создают электронную проводимость называют донорными (отдающими электроны). Донорами по отношению к кремнию и германию могут быть фосфор, мышьяк и некоторые другие элементы.

Следует отметить, что хотя в материале n – типа есть большое количество свободных электронов, материал остается электрически нейтральным, так как количество положительно заряженных протонов в ядрах попрежнему равно числу свободных и орбитальных отрицательно заряженных электронов в структуре. Эффект легирования донорной примесью показан на рис.1.7. Появляется дискретный донорный энергетический уровень с энергией E_g значительно меньшей, чем у собственного полупроводника. Свободные электроны с этого уровня более легко переходят в зону проводимость при комнатной температуре. Значение проводимости материала значительно возрастает. Если собственный полупроводник кремния имеет один свободный электрон на 10^{12} атомов, то примесный полупроводник при уровне дозировки примеси 1 на 10^7 атомов будет иметь увеличение проводимости в 100000 раз.

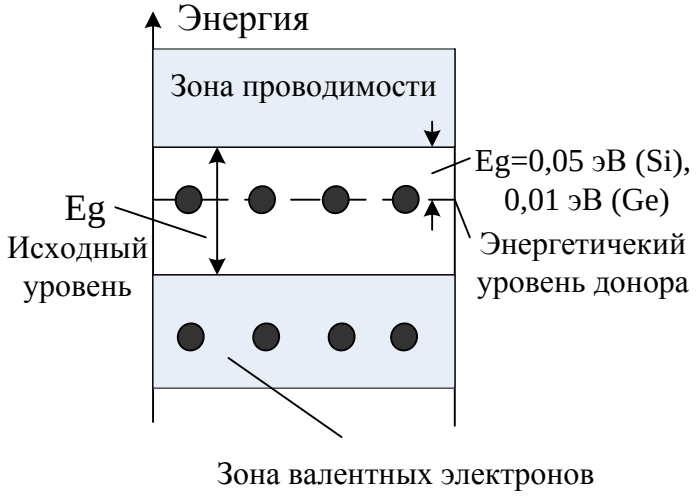

Рис.1.7. Влияние донорской примеси на структуру энергетических зон

Материалы p – типа.

Если ввести в кремний атом трехвалентного индия, то потребуется дополнительный электрон для создания устойчивой восьмивалентной оболочки. Этот электрон отбирается из основной решетки и превращает атом индия в неподвижный отрицательный ион (рис.1.8). На месте ушедшего электрона образуется свободная дырка, которая добавляется к собственным дыркам кремния. Такие полупроводники с преимущественно дырочной проводимостью называются дырочными или типа – p. Соответствующие примеси называют акцепторными (принимающими электроны). Акцепторами по отношению к кремнию могут служить галий, бор, алюминий.

В целом полупроводник p – типа остается электрически нейтральным, как и рассмотренный выше полупроводник n – типа.

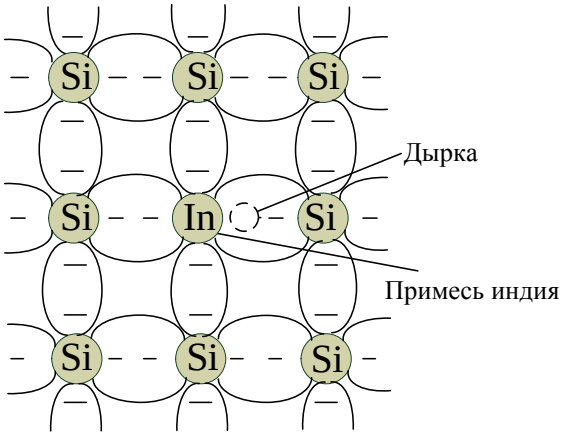

Рис.1.8. Примесь индия в полупроводнике p - типа

Электронный и дырочный ток

На рис.1.9 показано влияние дырок на проводимость. Если валентный электрон атома кремния имеет достаточную кинетическую энергию, чтобы разорвать ковалентные связи и заполнить пустоту, образованную дыркой, тогда пустота (или дырка) будет создана в ковалентной оболочке, из которой ушел электрон. Следовательно, на рис.1.9 существует движение дырок влево и электронов вправо. В дальнейшем тексте направление тока в полупроводнике мы будем связывать с направлением положительных зарядов, а именно, дырок.

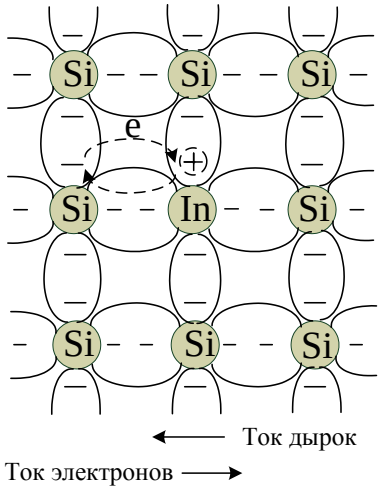

Рис.1.9. Ток электронов и дырок

Основные и неосновные носители заряда

В собственном полупроводнике малое количество свободных электронов обусловлено тем, что немногие электроны из валентной зоны могут приобрести достаточную энергию от теплового или светового воздействия,

чтобы разорвать ковалентную связь. Число образовавшихся при этом в валентной зоне дырок также невелико.

В полупроводнике n – типа количество дырок тоже не увеличивается значительно по сравнению с собственным полупроводником. Но количество электронов значительно превышает количество дырок. По этой причине в полупроводнике n – типа электроны называют основными носителями заряда, а дырки – неосновными.

В полупроводике p – типа количество дырок значительно перевешивает количество электронов. Поэтому дырки становятся основными носителями, а электроны – неосновными.

Когда пятый электрон атома доноры (наример, сурьмы) оставляет родной атом, оставшийся атом приобретает положительный заряд и становится положительным донорным ионом.

В полупроводнике p – типа акцепторные ионы имеют отрицательный заряд (рис.1.10).

Полупроводниковые материалы n- и p – типов являются основой для создания множество полупроводниковых приборов. Присоединение материала n-типи к материалу p – типа приводит к появлению полупроводникового элемента под названием полупроводниковый диод, который находит широкое применение в различных электронных схемах.

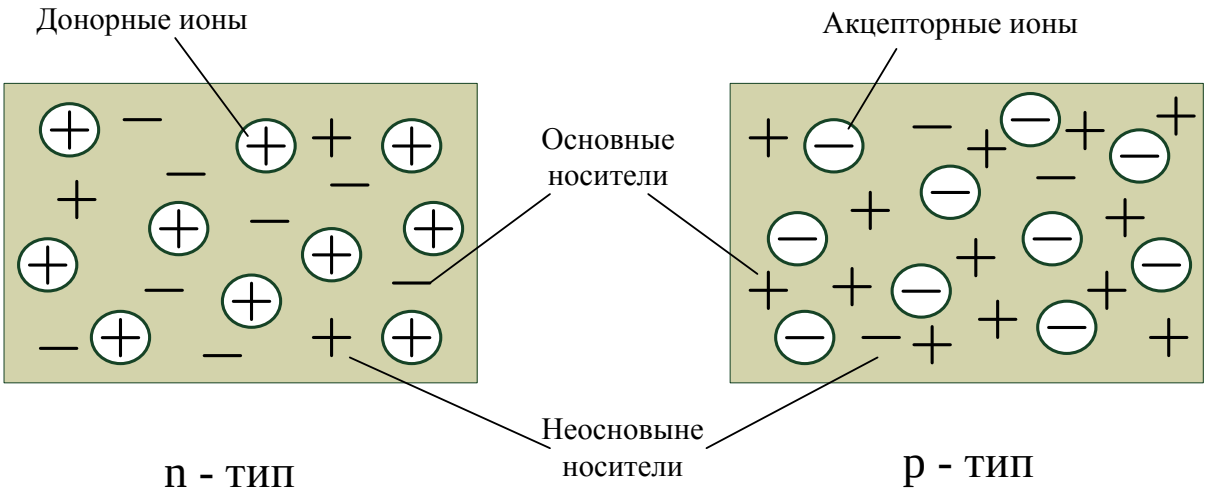

Рис.1.10. Полупроводниковые материалы n – типа и p - типа

1.2. Полупроводниковый диод

Полупроводниковым диодом называют прибор, который имеет два вывода и содержит один (или несколько) электронно-дырочных переходов. Электронно-дырочный переход - это тонкий слой между двумя частями полупроводникового кристалла, в котором одна часть имеет электронную проводимость (n-область), а другая часть имеет дырочную проводимость (p-область). Электронно-дырочный переход называют *p-n* –переходом. На

рис.1.11 показана упрощенная структура полупроводникового диода с плоскостным *p-n* –переходом, условное изображение, направление прямого тока и полярность прямого напряжения. Внешний вывод (контакт) диода, соединенный с областью p называют анодом. Внешний вывод, соединеный с областью n называют катодом. Напряжение смещения между выводами обозначено U.

Диоды представляют собой самостоятельный класс полупроводниковых приборов и находят широкое применение. В то же время диод с одним p – n переходом является основой многопереходных приборов – транзисторов, тиристоров и т.п.

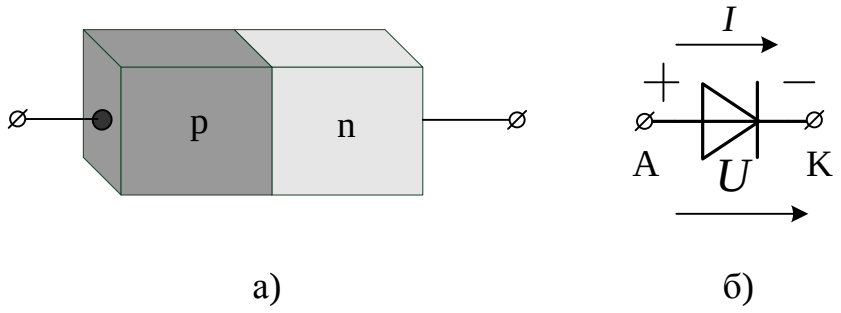

Рис.1.11. Полупроводниковый диод:

а) упрощенная структура; б) условное обозначение

Так как диод имеет два внешних вывода, то следует рассмотреть его работу для трех режимов:

1. на выводах нет напряжения смещения U=0;
2. на выводах прямое напряжение смещения U>0;
3. на выводах обратное напряжение смещения U<0.

В полупроводниках существует два основных механизма переноса носителей:

- диффузия носителей заряда;
- *дрейф носителей заряда* под действием внешнего электрического поля.

Диффузия носителей заряда представляет собой направленной перемещение носителей в кристалле в сторону уменьшения их концентрации. Процесс диффузии ведет к выравниванию неравномерного распределения неравновесных носителей заряда по объему кристалла.

Дрейф носителей заряда представляет собой упорядоченное движение носителей заряда под действием внешнего электрического поля. Электрический ток, обусловленный дрейфом носителей заряда, называется дрейфовым.

Плотность дрейфового тока *j* определяется соотношением:

$$j = \sigma E, \qquad (1.2)$$

где σ - удельная проводимость, E – напряженность электрического поля. Поскольку в полупроводнике имеется два типа носителей, то удельная проводимость имеет две компоненты (электронную и дырочную):

$$\sigma = \sigma_n + \sigma_p. \qquad (1.3)$$

Условное изображение p – n перехода показано на рис.1.12. После контактного соединения полупроводниковых материалов разных типов в зоне контакта происходит рекомбинация электронов и дырок. Поскольку концентрация дырок в слое p значительно выше, чем в слое n, часть дырок диффундирует из слоя p в слой n. Возникает ток диффузии $I_{диф\,p}$. При этом в слое n вблизи границы окажутся избыточные дырки, которые будут рекомбинировать с электронами до тех пор, пока не будет выполнено устовие равновесия. Соответственно в этой области уменьшается концентрация свободных электронов и появляются некомпенсированные положительные заряды донорных атомов. Одновременно начнется диффузия электронов из n – области в p – область и возникнет ток диффузии $I_{диф\,n}$. Слева от границы появляются некомпенсированные отрицательные заряды акцепторных атомов, поскольку часть дырок перешла в слой p.

В результате у границы p – и n – областей образуется двойной электрический слой пространственных зарядов. Область образовавшихся пространственных зарядов называют областью p – n перехода. Эту область называют также обедненным или истощенным слоем, в связи с тем, что концентрация подвижных носителей в обеих ее частях резко понижена.

Поле двойного электрического слоя создает потенциальный барьер, препятствующий дальнейшей диффузии дырок в n – область, а электронов в p – область.

На границе раздела двух областей возникает собственное электрическое поле $E_{собств}$, происходит скачкообразное изменение знака объемного заряда, возникает контактная разность потенциалов $\psi_к$, напряженность собственного электрического поля максимальна и создает потенциальный барьер ΔU_k, препятствующий дальнейшему прохождению диффузного тока.

Если к внешним контактам *p-n* -перехода А и К подключить обратное отрицательное напряжение $U < 0$, то созданное этим напряжением внешнее электрическое поле в полупроводнике будет складываться с $E_{собств.}$, потенциальный барьер увеличится, *p-n* -переход останется закрытым и во внешней цепи будет существовать незначительный по величине обратный ток $I_{обр.}$, обусловленный током диффузии неосновных носителей и называемый током насыщения I_s.

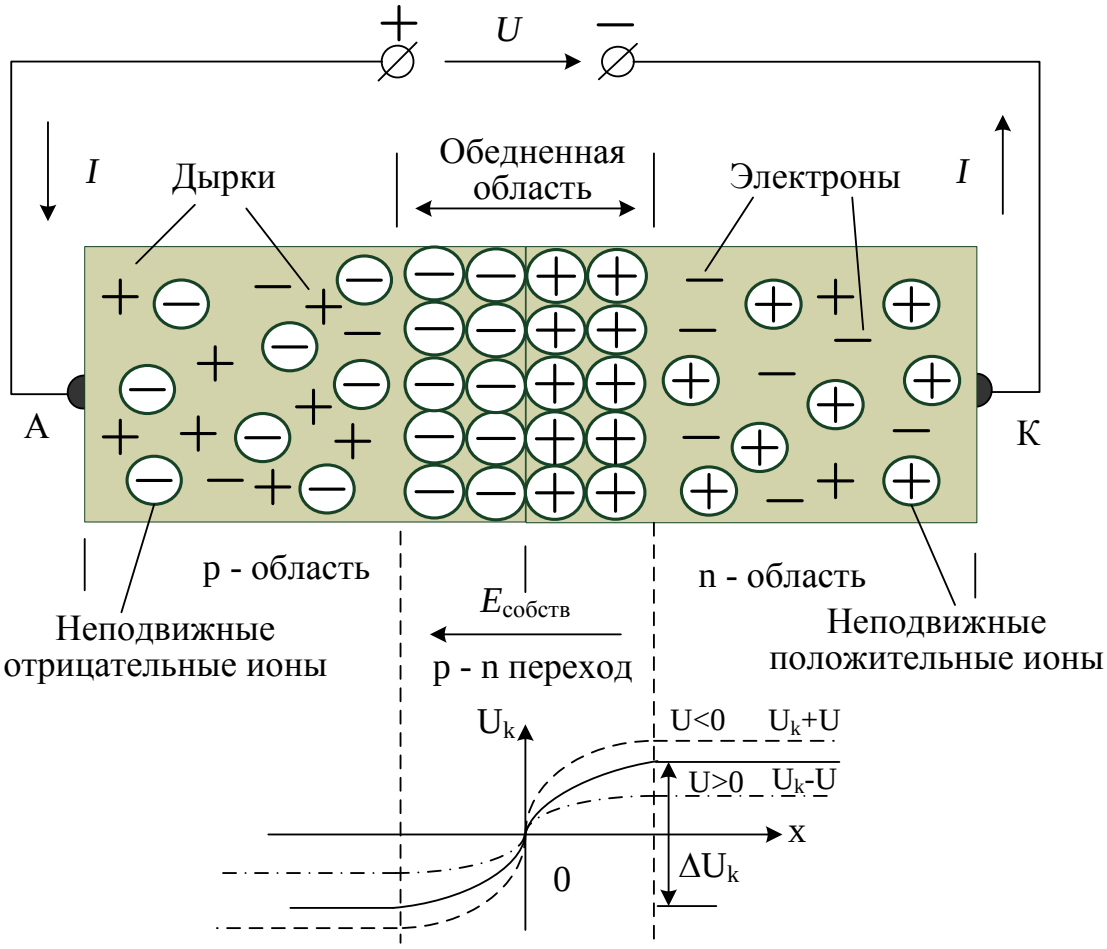

Рис.1.12. Условное изображение *p – n* перехода

Если к внешним контактам *p-n* -перехода А и К подключить прямое положительное напряжение $U > 0$, то созданное этим напряжением внешнее электрическое поле в полупроводнике будет компенсировать $E_{собств.}$ и вызовет прямое смещение *p-n* –перехода. Переход откроется и во внешней цепи появится диффузионный ток $I_{диф.}$, вызванный диффузией основных носителей, преодолевающих потенциальный барьер. Под действием электрического поля в p – область попадают дополнительные электроны, а в n – область – дырки. Этот процесс называют инжекцией носителей заряда. Одновременно через омические контакты от внешнего источника напряжения в области p – и n – типа попадают равные количества основных носителей заряда. Они нейтрализуют инжектированные заряды. Неосновные носители диффундируют вглубь p – и n – областей.

Величина потенциального барьера составляет для разных материалов от 0,6 В до 1,2 В.

При открытом *p-n* -переходе прямой ток во внешней цепи кроме диффузионного тока содержит ток проводимости, протекающий в проти-

воположном направлении. Полный ток при прямом смещении *p-n* - перехода определяется уравнением Эберса-Молла:

$$I_{пр} = I_{диф} - I_s = I_s(e^{U/\varphi_T} - 1) \qquad (1.4)$$

При температуре $T = 300K$ тепловой потенциал $\varphi_T = 25мВ$, поэтому уже при $U = 0{,}1B$ формулу (1.4) можно упростить:

$$I = I_s e^{U/\varphi_T} \qquad (1.5)$$

Дифференциальное сопротивление *p-n* -перехода можно определить по формуле:

$\frac{1}{r_{диф}} = \frac{dI}{dU} = \frac{1}{\varphi_T}(I + I_s)$, откуда получим:

$$r_{диф} = \frac{\varphi_T}{(I + I_s)} \qquad (1.6)$$

Барьерная и диффузионная емкость диода

Полупроводниковый *p-n* переход имеет емкость, которая определяется как отношение приращения заряда на переходе к приращению напряжения на нем. При обратном напряжении емкость называют барьерной:

$$C_{бар} = \frac{C_{бар}(0)}{\sqrt{1 - U_{обр}/\psi_к}}, \qquad (1.7)$$

где $\psi_к$ - контактная разность потенциалов, $U_{обр}$ - обратное напряжение, $C_{бар}(0)$ - значение барьерной емкости при *U*=0. График зависимости барьерной емкости от напряжения показан на рис.1.13.

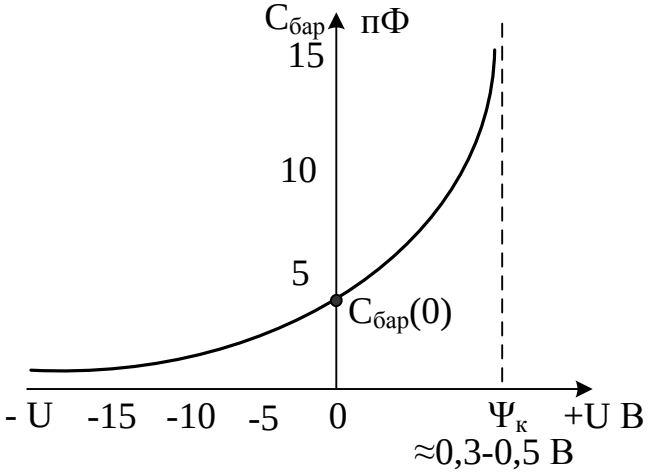

Рис.1.13. Зависимость барьерной емкости от напряжения на p-n переходе

При прямом напряжении большее влияние оказывает диффузионная емкость, которая зависит от прямого тока и времени жизни неосновных носителей τ_p:

$$C_{диф} = \frac{I}{\varphi_T}\tau_p \qquad (1.8)$$

При прямом смещении полная емкость p-n перехода равна сумме барьерной и диффузионной. При обратном смещении диффузионная емкость отсутствует и полная емкость состоит только из барьерной.

1.3. Вольтамперная характеристика полупроводникового диода

Вольтамперной характеристикой (ВАХ) называют зависимость тока через диод от напряжения на нем. Для экспериментального измерения ВАХ можно использовать схему рис.1.14. Сопротивление *R* выбирают так, чтобы защитить диод от чрезмерно большого тока.

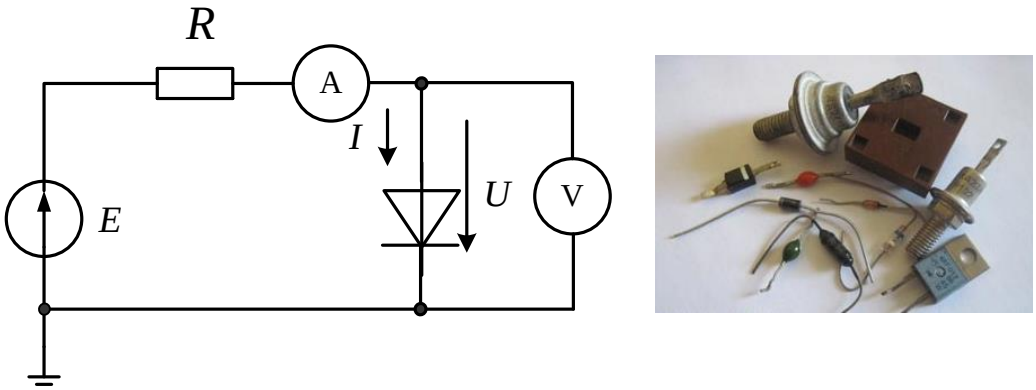

Рис.1.14. Схема для измерения ВАХ диода и внешний вид диодов

Вольтамперная характеристика одного из промышленных кремниевых полупроводниковых диодов показана на рис.1.15. ВАХ имеет нелинейный характер и имеет две области: область прямого напряжения и область обратного напряжения.

В области прямого напряжения диод открывается при пороговом напряжении $U_n \approx 0{,}5 - 0{,}7$ В и ток диода резко возрастает. Прямое напряжение на открытом диоде сотавляет, как правило, 0,6 – 0,7 В для кремниевого диода и 0,2 – 0,4 В для германиевого. Максимальный прямой ток диода задан в его технических характеристиках.

Диоды бывают малой (0,3 Вт), средней (до 10 Вт) и большой мощности (>10 Вт).

Для маломощных диодов $I_{пр\,мах} \approx 50 \div 100\,мА$. Для мощных диодов прямой ток достигает десятков ампер.

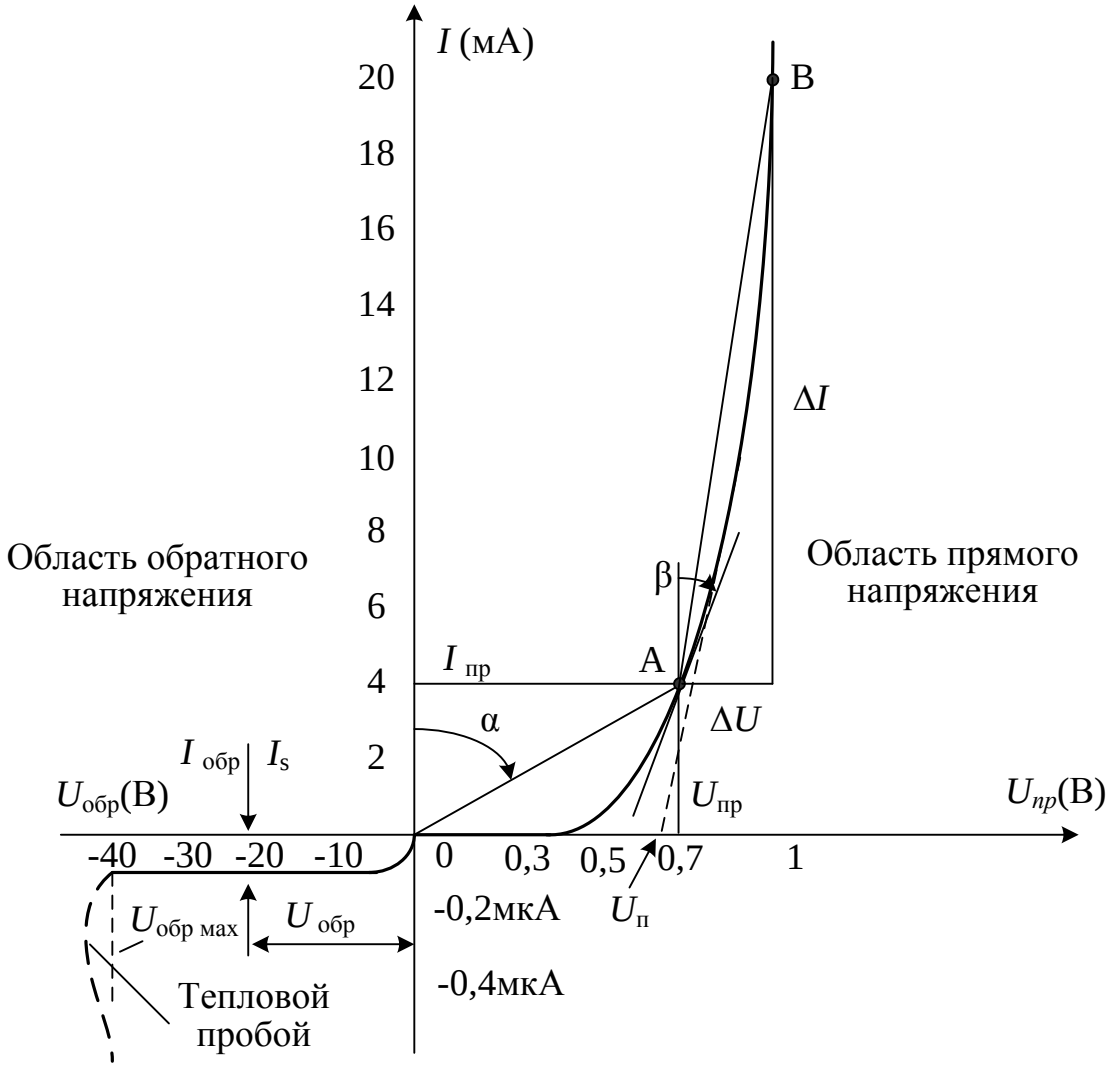

Рис.1.15. Вольтамперная характеристика полупроводникового диода

Обратное напряжение ограничивается напряжением пробоя *p-n* - перехода. При лавинном пробое происходит резкое увеличение числа подвижных носителей зарядов, ток через *p-n* - переход неограниченно возрастает, а напряжение на нем остается неизменными. Это используется для стабилизации напряжения. Лавинный пробой обратим, свойства полупроводника восстанавливаются после снятия напряжения. Однако вслед за лавинным пробоем может произойти тепловой пробой, который разрушает полупроводник.

Максимальное обратное напряжение $U_{обр\,мах}$ у обычных диодов составляет - 100В. Высоковольтные диоды могут иметь максимальное обратное напряжение в несколько сотен вольт.

В закрытом состоянии в области обратного напряжения через *p-n* - переход проходит малый по величине ток $I_{обр}$, равный примерно току насыщения I_S, который не превышет нескольких микроампер.

Вблизи рабочей точки А (точки покоя) диод характеризуют статическим сопротивлением

$$R_{ст} = {U_{пр}}/{I_{пр}} = tg\alpha \frac{m_U}{m_I}, \qquad (1.9)$$

где m_U и m_I - масшабы по осям напряжения и тока,
и дифференциальное сопротивление на малом линейном участке:

$$R_{диф} = \frac{dU}{dI} = tg\beta \frac{m_U}{m_I}. \qquad (1.10)$$

Статическое сопротивление в точке А на рис.1.15 составляет $R_{ст} = {U_{пр}}/{I_{пр}} = {0,7B}/{10мА} = 175Ом$.

Дифференциальное сопротивление диода, рассчитанное по формуле (1.3) для прямого тока *I*=10 мА составит:

$$r_{диф} = \frac{\varphi_T}{(I + I_s)} \approx \frac{25мВ}{10мА} = 2,5Ом .$$

Если известно, что ток не выходит за пределы рабочего участка ВАХ между точками А и В, то можно использовать среднее дифференциальное сопротивление:

$$R_{ср.диф} = \frac{\Delta U}{\Delta I} \qquad (1.11).$$

На ВАХ (рис.1.14) $R_{ср.диф} = \frac{0,25B}{16мА} = 15,62Ом$.

Используя дифференциальное сопротивление, нелинейный диод можно на малом участке ВАХ заменить линейной моделью.

Как видно, полупроводниковые диоды пропускают ток в одном направлении и могут использоваться для выпрямления синусоидальных токов. Основные параметры выпрямительных диодов:

I – номинальный прямой ток;

$U_{пр}$ — прямое напряжение;

I_{max} – максимальный допустимый прямой ток;

$U_{обр.max}$ — максимальное допустимое обратное напряжение;

I обратный ток, который нормируется при определенном обратном напряжении;

R_S- последовательное сопротивление.

Высокочастотные диоды детектируют сигналы на частотах до сотен мегагерц. В параметрах высокочастотных диодов дополнительно указывают емкость диода (единицы пФ) и максимальную рабочую частоту.

Сравнение вольтамперных характеристик кремниевых и германиевых диодов

На рис.1.16 показаны вольтамперные характеристики кремниевого и германиевого диода. Германиевый диод открывается при пороговом напряжении $U_п$ ≈0,3В. Обратный ток германиевого диода I_{sGe} в десятки раз превышает обратный ток кремниевого диода I_{sSi} и может составлять от несколько микроампер до десяти микроампер.

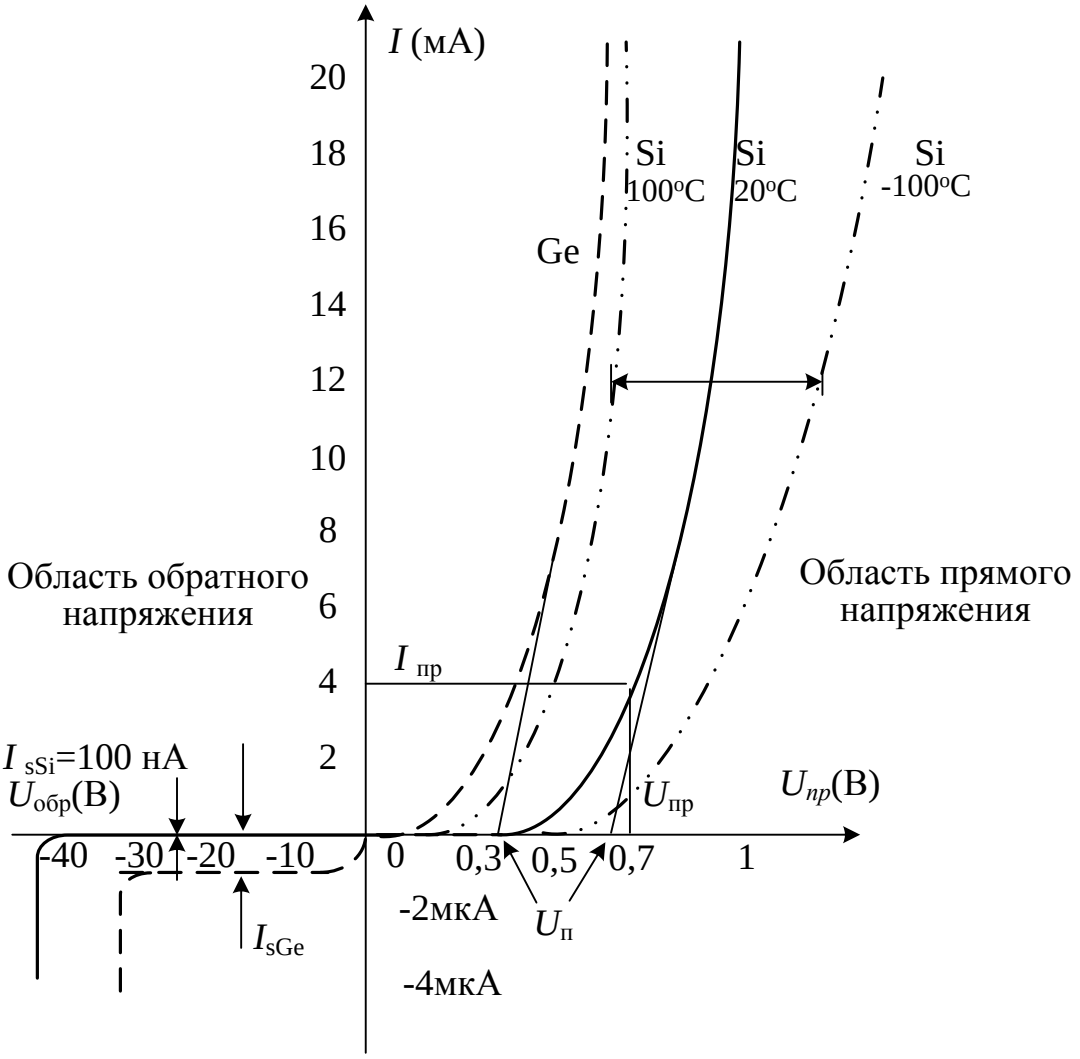

Рис.1.16. Сравнение ВАХ кремниевого и германиевого диода и температурные зависимости

ВАХ диодов сильно зависят от температуры. Штрих-пунктирными графиками в области прямого напряжения построены ВАХ кремниевого диода при температурах + 100°С и – 100° С. В области обратного напряжения с ростом температуры до +100°С обратный ток I_{sSi} увеличивается примерно в два раза.

1.4. Эквивалентные схемы диодов

В зависимости от того, с какой точностью надо решить конкретную задачу, используют различные эквивалентные схемы или модели полупроводниковых диодов.

Простейшая схема – это идеальный диод (рис.1.17а). Считается, что диод полностью закрыт при отрицательном напряжении и полностью открывается при напряжении $U \geq 0$.

На рис.1.17б показана упрощенная эквивалентная схеме для кремниевого диода, в которой учтено пороговое падение напряжения на диоде в открытом состоянии, но дифференциальное сопротивление диода считается равным нулю.

В схеме рис.1.17в дополнительно учтено среднее дифференциальное сопротивление диода и напряжение на открытом диоде.

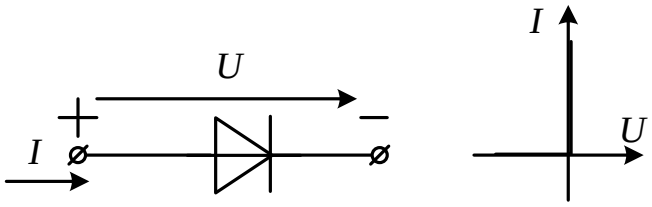

а) Идеальный диод и его ВАХ

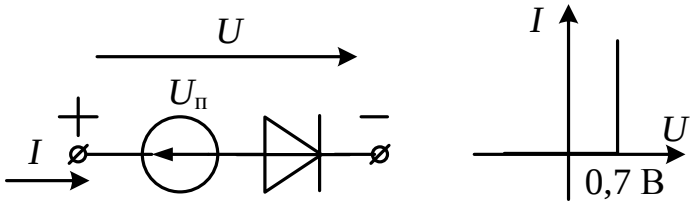

б) Упрощенная эквивалентная схема кремниевого диода

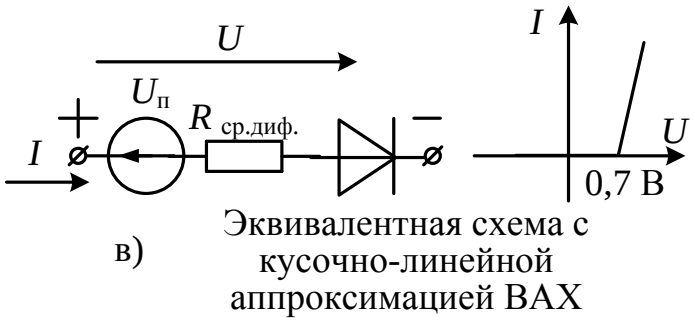

Рис.1.17. Варианты упрощенных эквивалентных схем кремниевого диода

Упрощенные эквивалентные схемы мы будем применять для приближенных расчетов электронных цепей на низких частотах. Эти схемы не учитывают частотные свойства диодов и температурные зависимости.

1.5. Spice - модель диода

Реальные электронные устройства в настоящее время разрабатывают с использованием компьютерных программ сквозного проектирования, в которых электронные компоненты моделируются Spice – моделями.

Первая версия программы SPICE (Simulation Program with Integrated Circuit Emphasis в переводе означает «Программа моделирования предназначенная для интегральных схем») была разработана в середине 70-х годов прошлого века в Калифорнийском университете США. Она позволяла анализировать линейные и нелинейные цепи во временной и частотной области, рассчитывать частотные характеристики линейных цепей. Для анализа линейных цепей использовался метод узловых потениалов. Бибиотека моделей включала модели диода и биполярного транзистора. С течением времени программа совершенствовалась, расширялся список моделей компонентов. В 1984 году корпорация MicroSim представила программу SPICE для персональных компьютеров, назвав ее PSpice. В начале 90-х годов были созданы версии, позволяющие моделировать не только аналоговые, но и смешанные аналого-цифровые устройства. Программа получила удобный интерфейс, обеспечивающий графический ввод схем.

В последние годы несколько компаний разработали на основе программы PSpice новые программные продукты - OrCAD, TINA, Proteus и д.р. В этих программах также используются стандартные Spice – модели электронных компонентов. Причем в разработке Spice– моделей участвуют ведущие производители электронных компонентов: Analog Devices, Burr-Brown, Motorola, National Semiconductor, Texas Instruments, Zetex и многих других

Мы продолжим изучение программы моделирования TINA. Процедура моделирования электронных схем в программе TINA состоит из трех этапов:

1. Создание приницпиальной схемы;
2. Моделирование;
3. Представление результатов моделирования в удобной для пользователя форме.

Значительная часть из 20000 Spice – моделей электронных компонентов для программы TINA разработаны компанией Texas Instruments.

Чтобы посмотреть Spice – модель диода, загрузим программу TINA, в окне схемного редактора соберем схему (рис.1.18) для исследования вольамперных характеристик и для диода 1N1183 выберем Properties. В окне свойств установим температуру 20°С, при которой мы проведем моделирование.

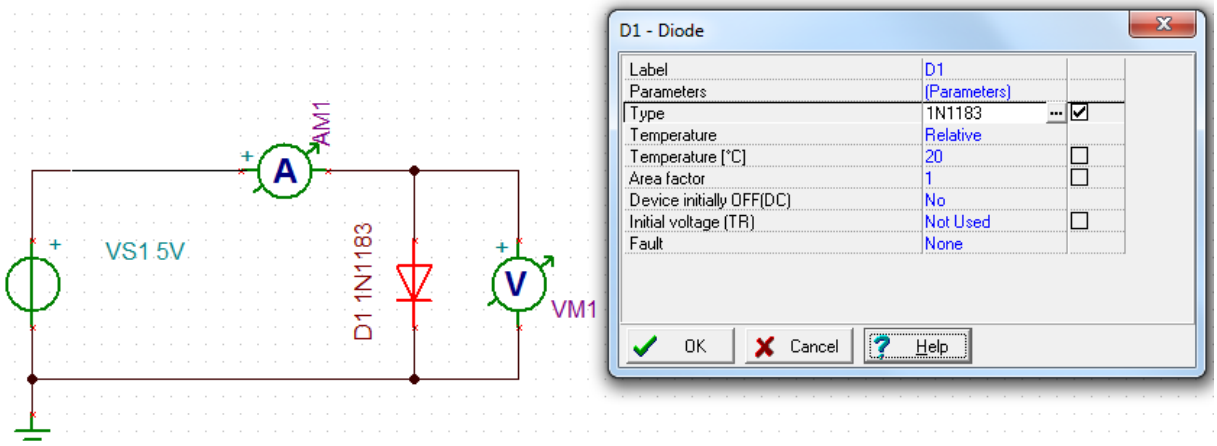

Рис.1.18. Схема исследования вольтамперных характеристик диода

Далее выбираем Help. Мы увидим (рис.1.19) графическое изображение диода, эквивалентную схему Spice-модели, таблицу с параметрами диода, обозначения констант и уравнения, которые описывают вольтамперные и частотные характеристики диода при различных параметрах и температурах.

Воспользуемся Spice-моделью для анализа зависимости вольтамперных характеристик диода 1N1183 от температуры. Значение температуры устанавливается в окне Properties. Результаты моделирования показаны на рис.1.20. Вполне очевидно, что Spice- модели и компьютерная программа сквозного проектирования TINA дают более точные результаты исследования электронных устройств и ускоряют процесс их создания.

Дальнейшее изложение материала мы будем иллюстрировать моделированием электронных компонентов и электронных схем в программе TINA. Это позволит нам быстро для любого компонента из библиотеки программы быстро получать графики вольтамперных характеристик, проводит графические расчеты нелинейных цепей и проверять расчеты моделированием.

Symbol and Equivalent circuit

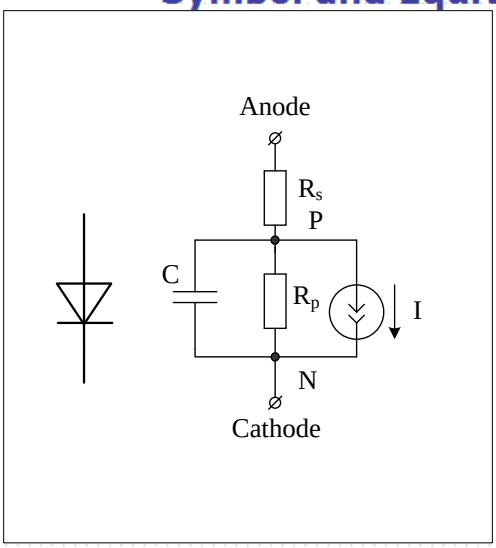

Parameters

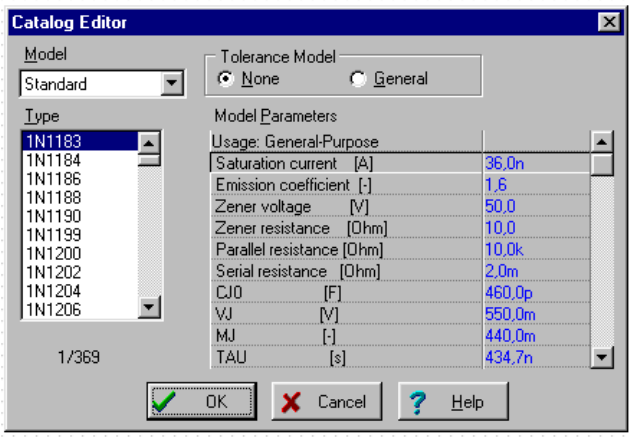

I_{S0} saturation current at 27 ° C

V_Z breakdown (Zener) voltage (absolute value)

R_Z breakdown (Zener) resistance

R_P resistance parallel to the p-n junction

R_S series resistance

E_G energy gap (in eV)

C_{J0} zero bias junction capacitance

V_J built-in potential

M_J junction grading coefficient

τ diffusion time constant

Constants

q electron charge

k Boltzmann's constant

T_0 27 ° C

V_{max} 1.04 V

Equations

$$V_T = \frac{kT}{q}$$

$$I_S = I_{S0}\left(\frac{T}{T_0}\right)^3 \cdot \exp\left[\frac{E_G\, q}{k}\cdot\left(\frac{1}{T_0}-\frac{1}{T}\right)\right]$$

$$I = \begin{cases} \dfrac{V_{pn}+V_Z}{R_Z} & \text{if } V_{pn} < -V_Z \\ I_S\cdot\left[\exp\left(\dfrac{V_{pn}}{V_T}\right)-1\right] & \text{if } -V_Z < V_{pn} < V_{max} \\ I_S\cdot\left[\exp\left(\dfrac{V_{max}}{V_T}\right)-1\right]+\dfrac{I_S}{V_T}\cdot\exp\left(\dfrac{V_{max}}{V_T}\right)\cdot\left(V_{pn}-V_{max}\right) & \end{cases}$$

$$\frac{1}{r_d} = \frac{\partial I}{\partial V_{pn}}$$

$$C_D = \frac{\tau}{r_D} \quad \text{if} \quad V_{pn} > 0 \quad \text{otherwise} \quad C_D = 0$$

$$C_{SC} = \begin{cases} \dfrac{C_{J0}}{\left(1-\dfrac{V_{pn}}{V_J}\right)^{M_J}} & \text{if } V_{pn} < \dfrac{V_J}{2} \\ 2^{M_J}\cdot C_{J0}\cdot\left(\dfrac{2\cdot M_J\cdot V_{pn}}{V_J}+1-M_J\right) & \text{if } V_{pn} > \dfrac{V_J}{2} \end{cases}$$

$$C = C_{SC} + C_D$$

Рис.1.19. Spice-модель диода

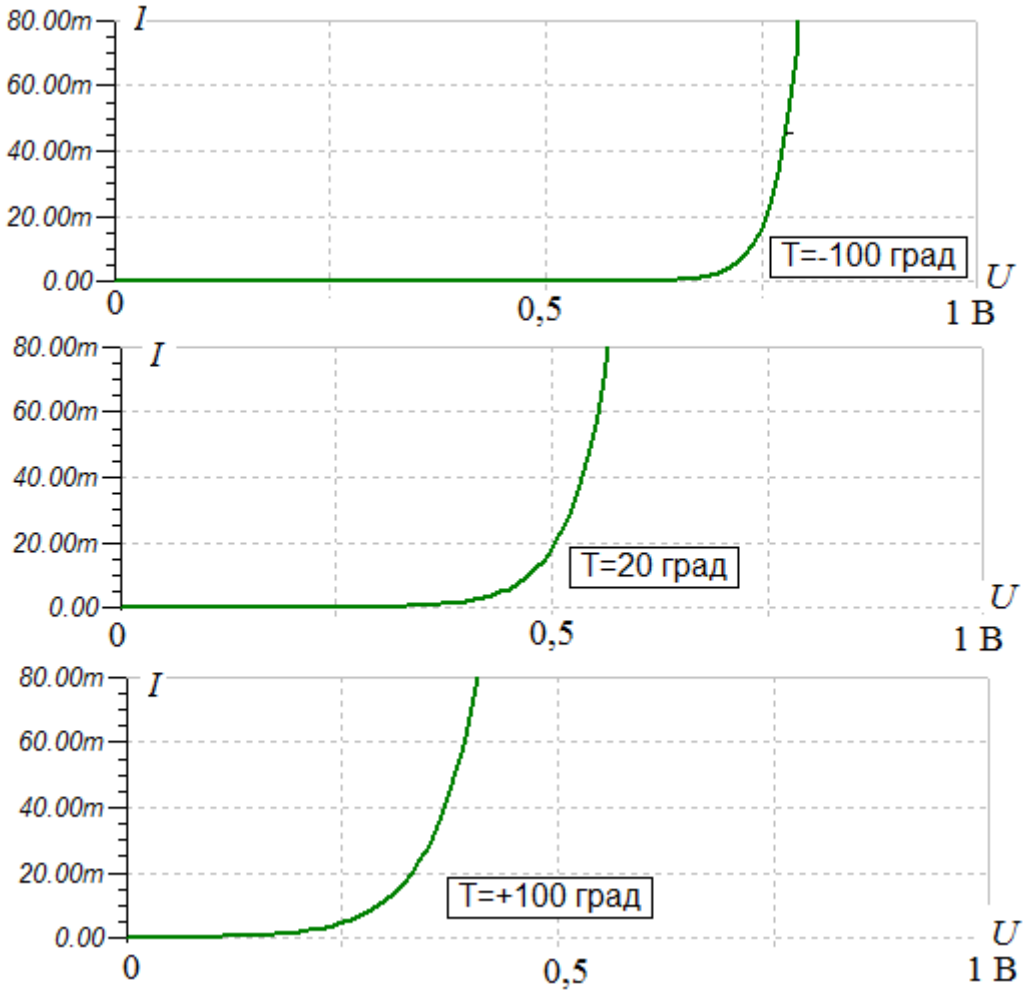

Рис.1.20. Температурные зависимости вольтамперных характеристик диода 1N1183

1.6. Стабилитроны

Стабилитроном называют полупроводниковый диод, работающий в режиме восстанавливаемого лавинного пробоя и предназначенные для стабилизации постоянного напряжения. Стабилитроны называют еще диоды Зенера (Zener diod). Условное обозначение стабилитрона и схем для снятия вольтамперной характеристики показаны на рис.1.21.

Вольтамперная характеристика стабилитрона 1N2804 из библиотеки программы TINA показана на рис.1.22. В области прямого напряжения ВАХ по форме такая же как у обычных диодов.

В области обратного напряжения сначала стабилитрон закрыт и имеет малый обратный ток насыщения I_S. Каждый тип стабилитрона имеет очень важный параметр, который называют напряжение стабилизации (в английском обозначении –breakedown voltage). При этом напряжении про-

исходит лавинный пробой, обратный ток резко возрастает, а ВАХ имеет падающий практически вертикальный участок.

В режиме стабилизации (рис.1.22) ток стабилитрона может изменяться от минимального $I_{ст\,мин}$ = -15,55 мА до максимального $I_{ст\,мах}$ = -70,5 мА. При этом напряжение на стабилитроне меняется незначительно. С помощью курсоров найдем, что $\Delta U = 100\,мВ$, и происходит стабилизация напряжения. Дифференциальное сопротивление на участке стабилизации для ВАХ (рис.1.21) $R_{диф.ст} = \dfrac{100\,мВ}{55\,мА} = 1{,}81\,Ом$. Стабилитрон проявляет себя как хорошой источник наряжения. Если ток превышает $I_{ст\,мах}$, начинается нагрев стабилитрона и происходит невосстанавливаемый тепловой пробой. В середине рабочего интервала тока находится номинальный ток стабилизации $I_{ст\,ном}$.

Значение напряжения стабилизации можно контролировать путем варьирования уровня легирования полупроводника примесями. Увеличение легирования будет вызывать увеличение уровня добавленных примесей и уменьшение напряжения стабилизации.

Стабилитроны выпускают с напряжениями стабилизации от 1,8 В до 200 В. Мощность стабилитронов от 0,25 Вт до 50 Вт. Изготавливают стабилитроны из кремния в связи с лучшей температурной стабильностью.

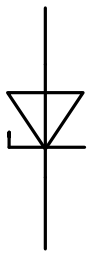

Стабилитрон

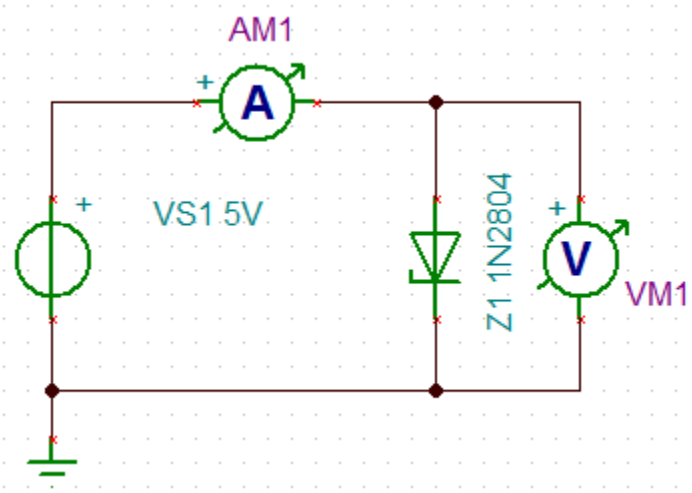

Рис.1.21. Обозначение стабилитрона и схема для снятия ВАХ

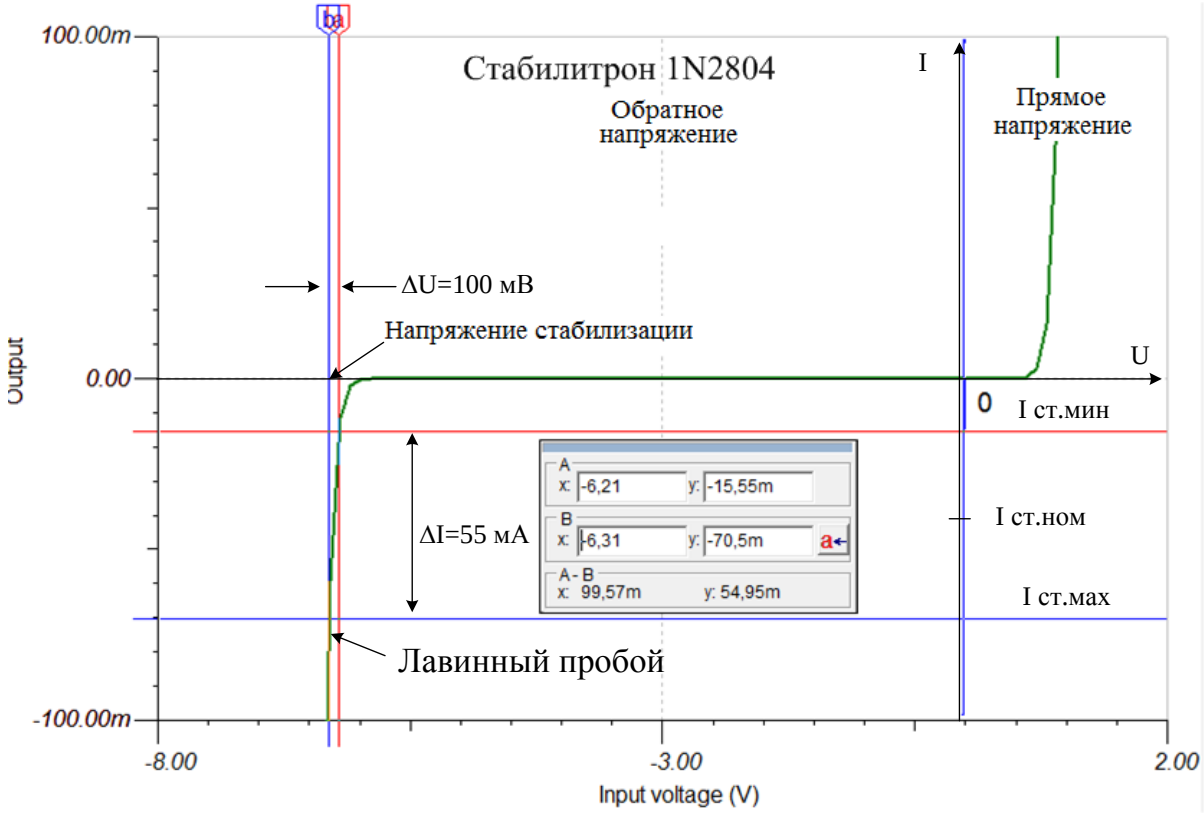

Рис.1.22. Вольтамперная характеристика стабилитрона

Для упрощенных расчетов можно использовать эквивалентную схему стабилитрона (рис.1.23а). Она содержит источник напряжения, равный напряжению стабилизации и динамическое сопротивление стабилитрона.

Для выполнения стабилизации напряжения стабилитрон подключают катодом к плюсу источника напряжения через баластное сопротивление (рис.1.23б). На баласьном сопротивлении падает избытьчное напряжение.

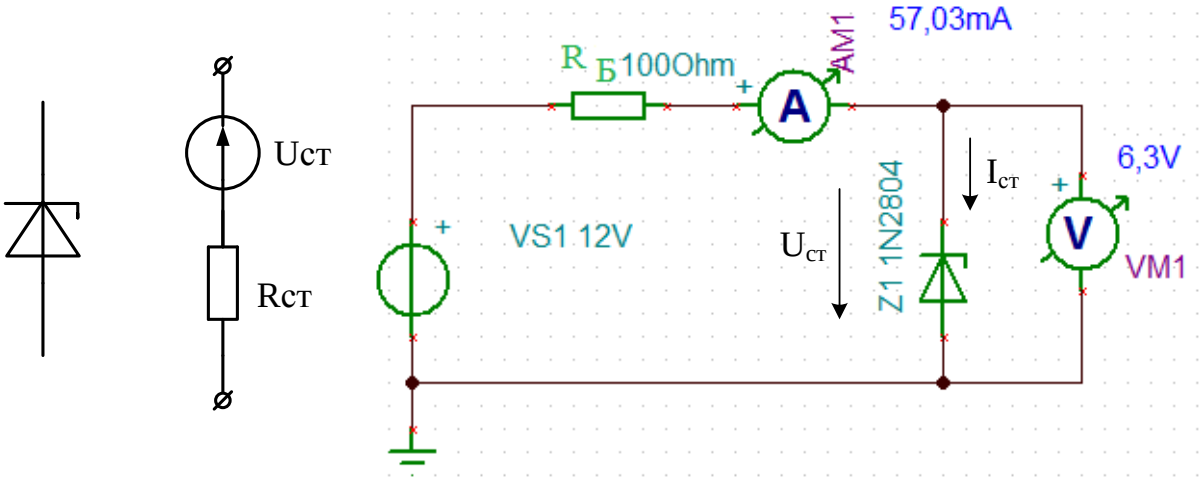

Рис.1.23. Эквивалентная схема стабилитрона и его включение

1.7. Специальные типы полупроводниковых диодов

Разработан и применяется целый ряд полупроводниковых приборов, в которых используются особые свойства p-n перехода, позволяющие получить новые важные свойства приборов. Кратко рассмотрим некоторые из них.

Диоды Шоттки

Диоды Шоттки вместо обычного плоскостного p-n перехода используется переход между контактом металла (Au, Al, Ag, Pt и др.) и полупроводника (Si, GaAs). В приконтактной области возникает потенциальный барьер, изменение высоты которого под действием внешнего напряжения приводит к изменению тока через прибор. В диодах Шоттки мало влияние неосновных носителей, ток через контакт металл – полупроводник обусловлен главным образом основными носителями. Последовательное сопротивление ниже чем у полупроводниковых диодов с плоскостным p-n переходом, поэтому диоды Шоттки могут работать на более высоких частотах (вплоть до 20 ГГц). Достоинствами диодов Шоттки является также малая инерционность, низкий уровень шумов, технологическая совместимость с интегральными схемами, простота изготовления. Низкое последовательное сопротивление позволяет пропускать в открытом состоянии большие токи (50-100 А). На рис.1.24 показаны обозначение диода Шоттки, схема моделирования и вольтамперная характеристика. При прямом напряжении 0,3В ток достигает 3 А.

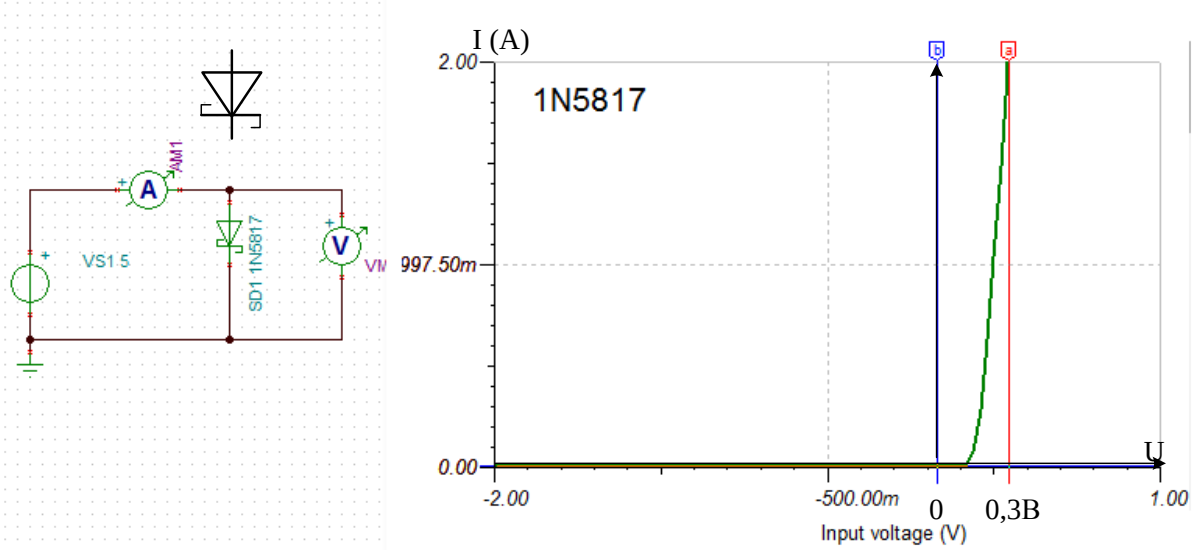

Рис.1.24. Обозначение, схема моделирования и вольтамперная характеристика диода Шоттки

Туннельные диоды

Туннельный диод – это полупроводниковый диод, содержащий p-n переход с очень малой толщиной запирающего слоя. Действие туннельного диода основано на прохождении электронов сквозь узкий потенциальный барьер благодаря туннельному эффекту. Туннельный эффект означает проникновение микрочастицы сквозь потенциальный барьер в случае, если ее полная энергия меньше высоты барьера. Туннельные диоды изготавливают на основе Ge и GaAs. Толщина запирающего слоя составляет 5-15 нм.

Если на туннельный диод подать небольшое прямое напряжение, происходит уменьшение высоты потенциального барьера, электроны проводимости из n – области туннелируют сквозь потенциальный барьер на разрешенные свободные энергетические уровни валентной зоны p - области. Туннельный ток сначала достигает максимума, а затем начинает убывать по мере того, как уменьшается степень перекрытия зоны проводимости n- области и валентной зоны p – области. Начиная с напряжения U min, эти зоны перестают перекрываться, туннельный ток прекращается и течет только диффузный ток $I_{диф}$. Туннельный диод становится подобен обычному диоду в прямом направлении. В результате на вольтамперной характеристике туннельного диода образуется падающий участок отрицательного дифференциального сопротивления (рис.1.25).

Отношение максимального туннельного тока к минимальному $I_{max}/I_{min} \approx 10$. Напряжение, соответствующее максимуму тока, $U_{мах} \approx 0{,}1B$. Напряжение, соотвествующее минимуму тока, $U_{min} \approx 0{,}6B$.

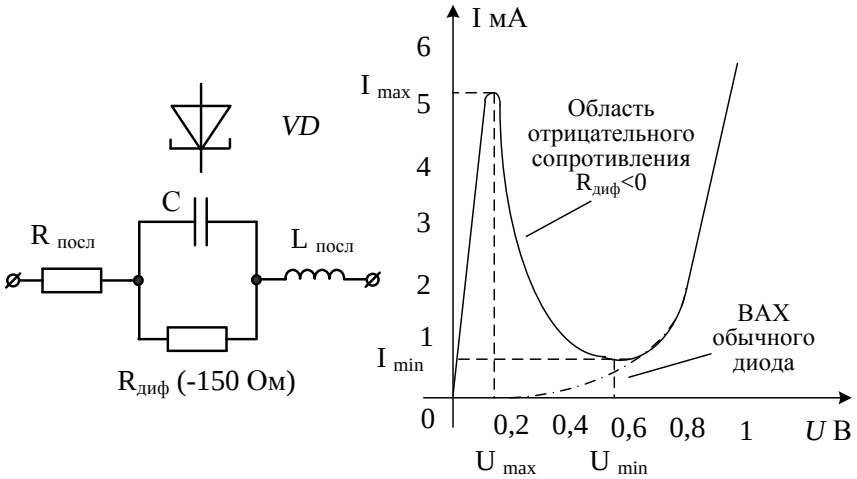

Рис.1.25. Обозначение туннельного диода, эквивалентная схема и вольтамперная характеристика

Для изображенного на рис.1.25 графика отрицательное дифференциальное сопротивление составляет примерно - 150 Ом. Эквивалентная схема в области отрицательного сопротивления включает последовательное сопротивление $R_{посл} \approx 1{,}5 Ом$, емкость $C \approx 5 пФ$, последовательную индуктивность $L_{посл} \approx 1 нГн$ и отрицательное дифференциальное сопротивление $R_{диф} \approx -150 Ом$.

Отрицательное сопротивление туннельного диода, включенного в схему последовательного колебательного контура, может компенсировать сопротивление потерь и вызывать незатухающие колебания. Благодаря этому туннельные диоды используют в высокочастотных генераторах синусоидальных и релаксационных колебаний на частотах от 100 МГц до 10 ГГц.

Варикапы

Варикапом называют полупроводниковый диод, у которого барьерная емкость электронно-дырочного перехода нелинейно зависит от приложенного управляющего напряжения (смещения). В качестве варикапов используют полупроводниковые диоды при обратном включении, когда проявляется только барьерная емкость перехода, а ток отсутствует.

Зависимоть емкости варикапа от обратного напряжения выражается формулой:

$$C(U_{обр}) \approx \frac{C(0)}{\left(1+\left|\frac{U_{обр}}{U_{пр}}\right|\right)^n}, \qquad (1.12)$$

где: C(0)- емкость при нулевом смещении; $U_{обр}$ - обратное напряжение смещения; $U_{пр}$ - прямое напряжение открывания диода (0,5-0,7В); показатель степени $n = \frac{1}{2}$ для сплавных переходов и $n = \frac{1}{3}$ для диффузионных переходов.

На рис.1.26 показаны обозначение, схема замещения и зависимость емкости варикапа от обратного напряжения. Параллельное сопротивление, определяющее утечки варикапа, больше 1 Мом, а последовательное сопротивление достаточно мало. Поэтому варикапы имеют высокую добротность. Емкость в зависимости от типа варикапа может меняться от 2 пФ до 100 пФ. Последовательная индуктивность не превышает нескольких нанофарад.

Варикапы применяют для настройки высокочастотных генераторов, в устройствах автоподстройки частоты, в адаптивных полосовых фильтрах и параметрических усилителях.

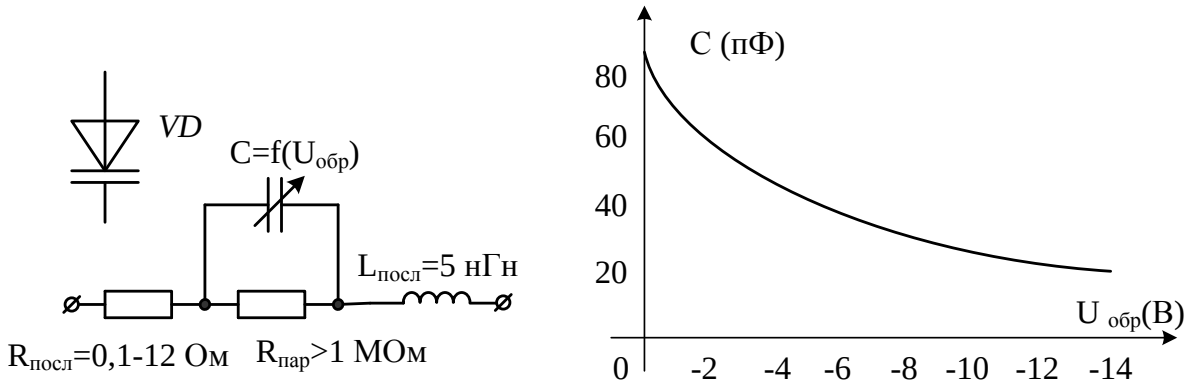

Рис.1.26. Обозначение, схема замещения и зависимость емкости варикапа от обратного напряжения

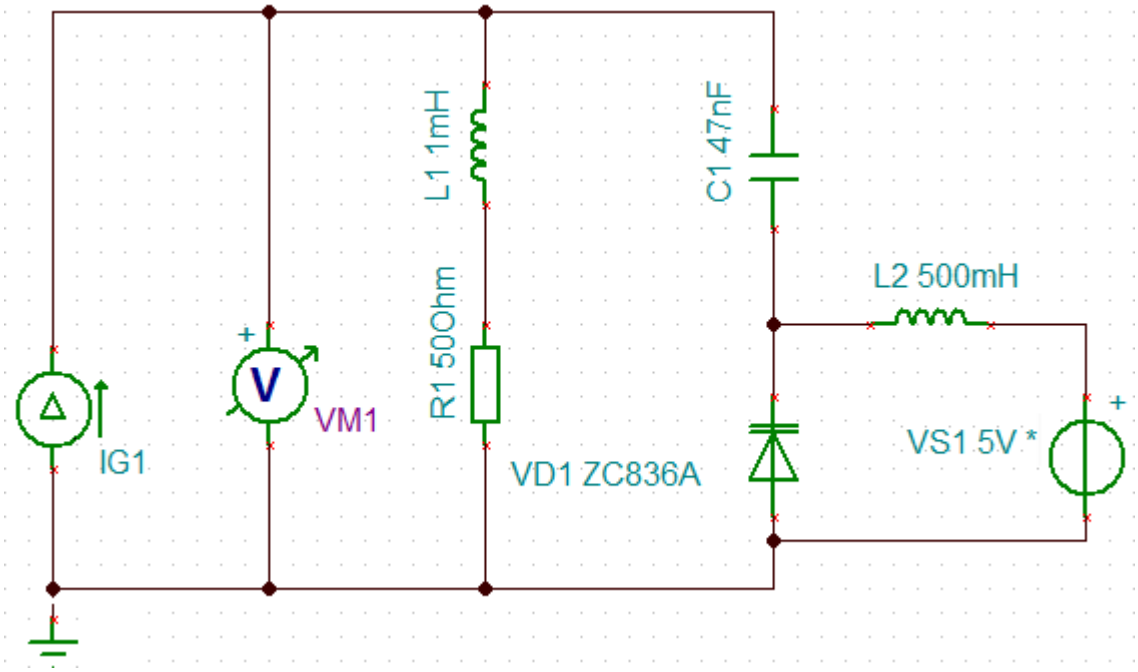

Рис.1.27. Модель параллельного контура с варикапом

На рис.1.27 показана схема модели параллельного контура с варикапом ZC836A, который имеет емкость C(0)=185 пФ. Управляющее напряжение от источника VS1 через индуктивность развязки L_2=500 мГн подается на варикап контура. Управляющее напряжение принимает значения 5В, 10В, 15В и 20В.

На рис.1.28. показаны резонансные характеристики контура при настройке варикапом. При этом резонансная частота меняется от 662 кГц до 1,17 МГц.

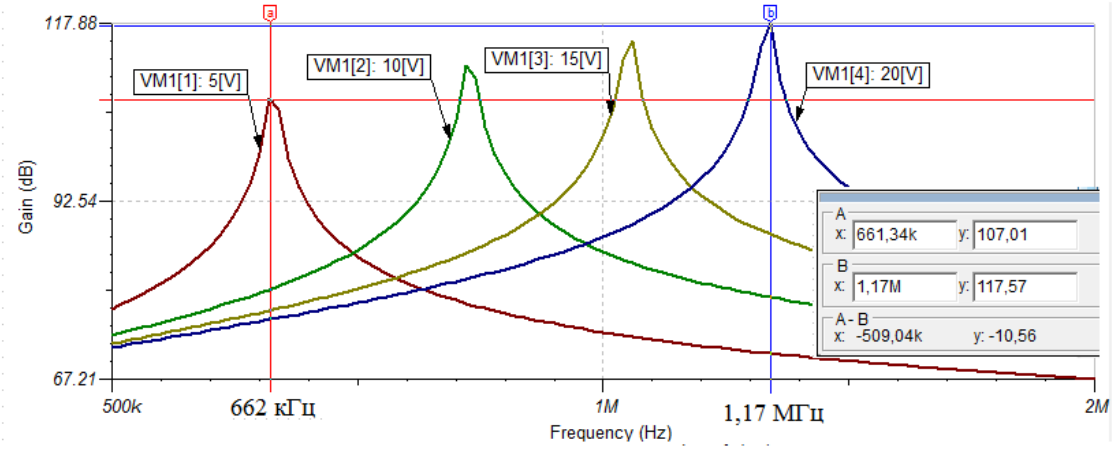

Рис.1.28. Резонансные характеристики контура при настройке варикапом

Светодиоды

Светодиодами называют полупроводниковые диоды, в которых p-n переход при прохождении электрического тока генерирует оптическое излучение в инфракрасной, видимой или ультрафиолетовой области спектра.

В любом p-n переходе происходит рекомбинация электронов и дырок. Эта рекомбинация требует, чтобы энергия свободного несвязанного электрона была преобразована в другое состояние. Во всех p-n переходах энергия будет выделятся в виде тепла, а в некоторых – в виде фотонов излучения. В таких материалах как арсенид фосфид галия (GaAsP), фосфид галия (GaP), карбид кремния (SiC) число фотонов световой энергии достаточно велико, чтобы создать видимый источник света.

Процесс излучения света при приложении источника электрической энергии называют электролюминесценцией (рис.1.29).

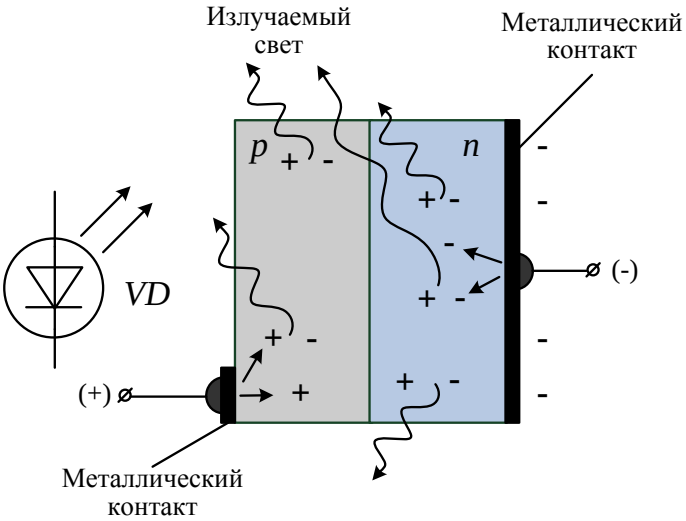

Рис.1.29. Процесс электролюминесценции в светодиоде и его обозначение

Светодиоды, которые используются в качестве индикаторов в электронной аппаратуре обозначают также *HL*.

Среднее значение прямого тока светящегося светодиода составляет 10-20 мА. Прямое напряжение на открытом светодиоде от 2,2 В до 3 В.

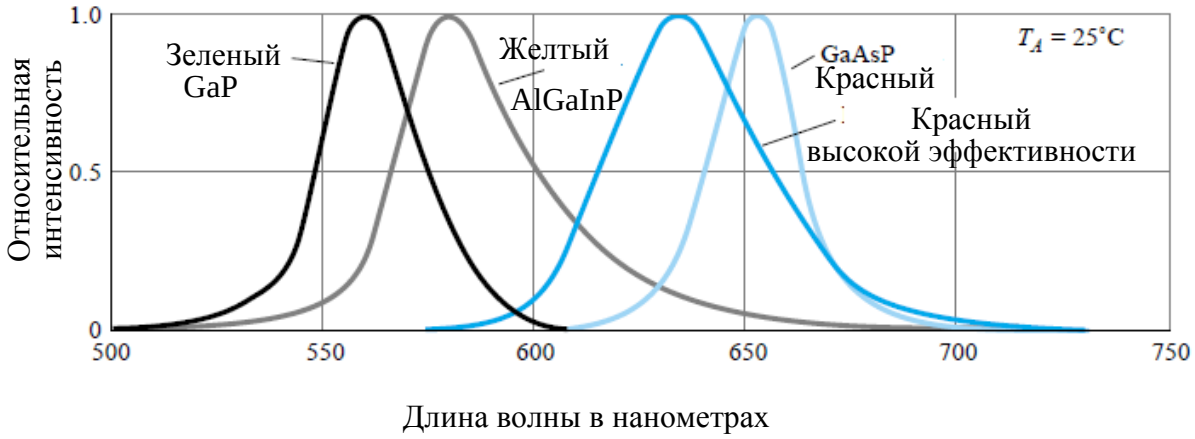

Рис.1.30. Графики относительной интенсивности светодиодов от длины волны света

На рис.1.30 показаны графики относительной интенсивности излучения светодиодов от длины волны. Цвет излучения определяется примененным полупроводниковым материалом и добавками.

Широкое применение в настоящее время находят осветительные светодиоды, заменяющие лампы накаливания. Рабочий ток мощных осветительных светодиодов доходит до 1А, а мощность до 3 Вт. Светоотдача составляет 50-120 Лм/Вт.

Внешний вид индикаторных (а) и осветительных (б) светодиодов показан на рис.1.31.

а) б)

Рис.1.31. Индикаторные (а) и осветительные (б) светодиоды

Фотодиоды

В последние десятилетия резко увеличился интерес к светочувствительным устройствам. В результате большое развитие получила область оптоэлектроники. Свет энергия является уникальным источноком энергии. Эта энергия передается дискретными порциями, называемыми фотонами, и энергия фотона непосредственно связана с частотой распространяющейся световой волны следующим уравнением:

$$W = \hbar \cdot \nu \text{ (Дж)}, \qquad (1.13)$$

где $\hbar$ - постоянная Планка, равная 6,624x10^{-34} Дж·с.

Количество свободных электронов, которые генерируются в любом материале, пропорционально интенсивности воздейтсвующего света. Интенсивность света является мерой светового потока, падающего на определенную поверхность. Световой поток Ф обычно измеряется в люменах (лм) или ваттах. Световая интенсивность измеряется в Вт/м^2.

Фотодиод это устройство с полупроводниковым переходом, работа которого происходит в области обратного напряжения.

На рис.1.32 показаны обозначение фотодиода (а), схема включения (б) и вольтамперные характеристики при разных световых потоках (в). Нулевой ток в фотодиоде будет при небольшом положительном смещении U_T.

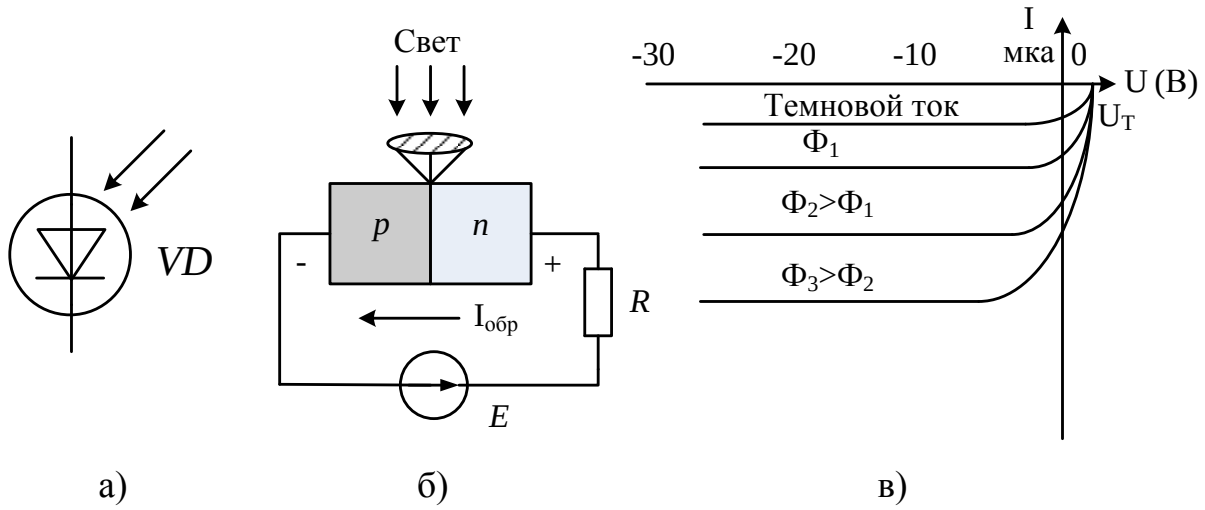

Рис.1.32. Обозначение светодиода, схема включения и вольтамперные характеристики

Кремниевые фотодиоды имеют относительную чувствительность более 0,7 в полосе длин волн света от 600 нм до 1000 нм. Рабочая полоса пропускания германиевых фотодиодов от 1100 нм до 1400 нм.

Работу фотодиода можно смоделировать в интерактивном режиме в программе TINA (рис.1.33). Для этого в свойствах фотодиода установите Controling Component-Light1, в интерактивном режиме включите Start и зажигайте лампу ключом.

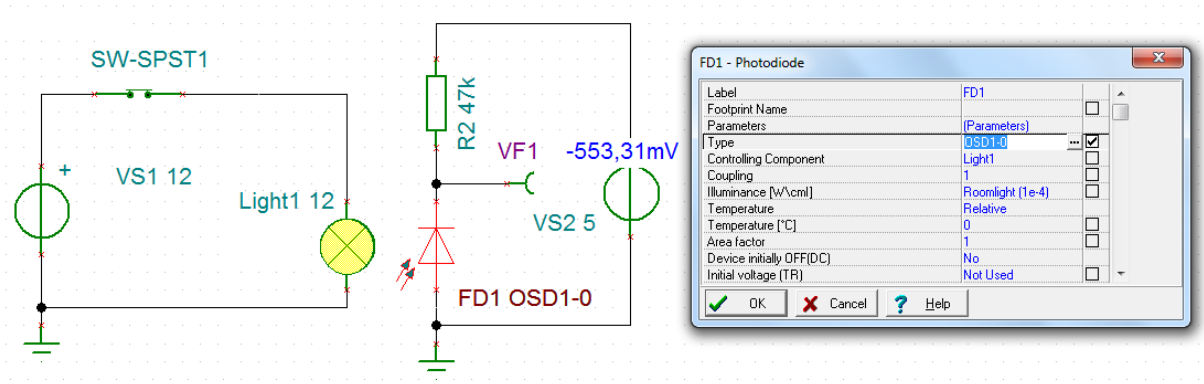

Рис.1.33. Модель фотодиода

Внешний вид фотодиодов разных типов показан на рис.1.34.

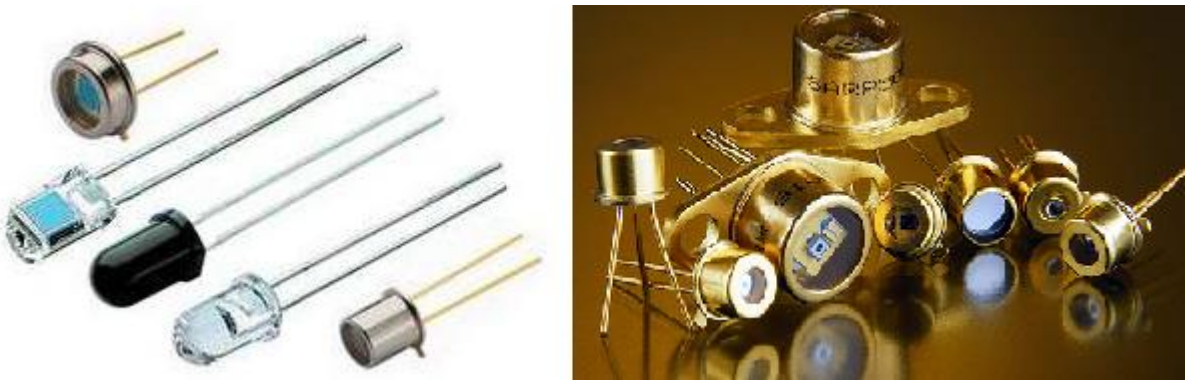

Рис.1.34. Внешний вид полупроводниковых фотодиодов

1.8. Расчет цепей постоянного тока с диодами и стабитронами

Полупроводниковые диоды и стабилитроны имеют нелинейные вольтамперные характеристики и поэтому наиболее точные расчеты выполняют графическими методами. Однако современные компьютерные программы моделирования электронных схем делают эту работу изящной и увлекательной. Рассмотрим пример 1.1.

Пример 1.1.

В схеме рис.1.35 применен диод 1N1183, напряжение E=10 В, сопротивление R=100 Ом.

Требуется найти ток диода и напряжение на диоде.

Решение

Еще 10 – 15 лет назад путь решения был бы такой:

1. найти в библиотеке справочник по полупроводниковым диодам;
2. перерисовать на миллиметровую бумагу график вольамперной харпактеристики;
3. построить нагрузочную прямую;
4. найти рабочую точку на пересечении ВАХ диода и нагрузочной прямой.

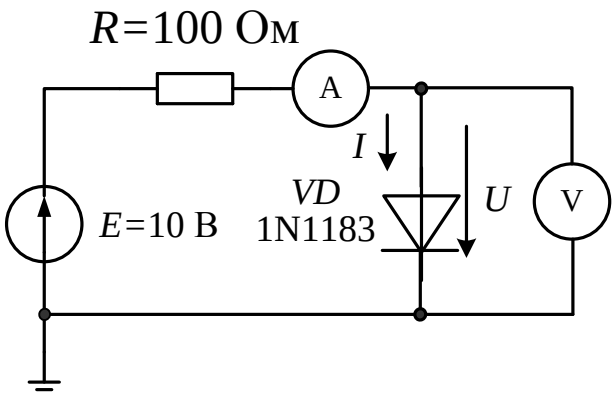

Рис.1.35. Схема с диодом и резистором

Сегодня, имея компьютер с программой моделирования электронных схем TINA, мы решим эту задачу быстро и элегантно.

1. В схемном редакторе собираем схему цепи (рис.1.36). Закорачиваем резистор R, выполняем Analysis-DC Analysis-DC Transfer Characteristic, устанавливаем входную величину VS1 и изменяем ее от нуля до 1В. Получим вольтамперную характеристику диода 1N1183.

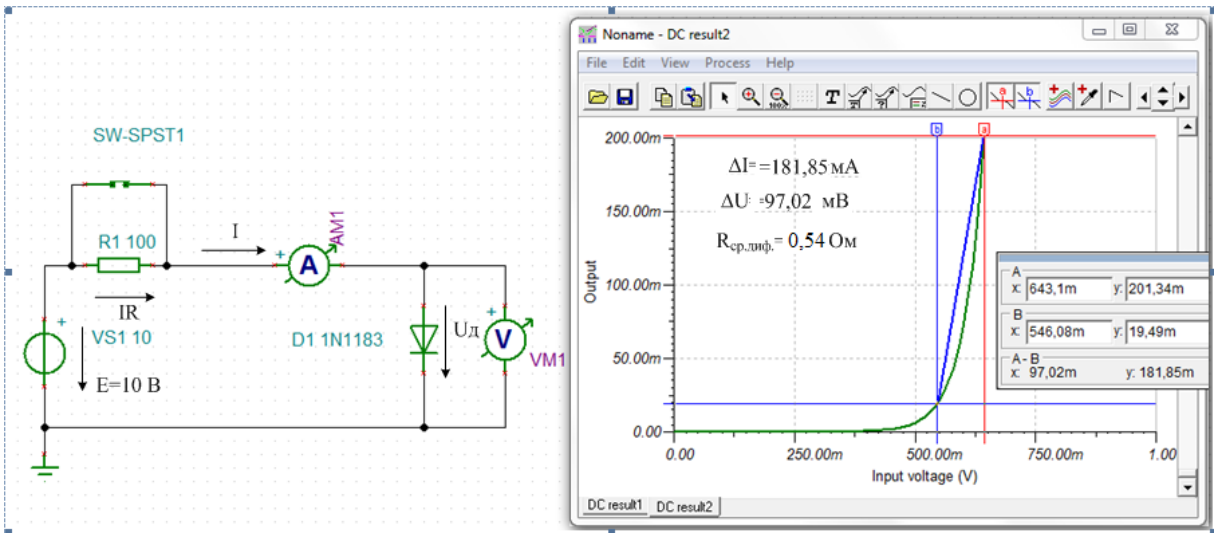

Рис.1.36. Вольтамперная характеристика диода 1N1183

Будем считать рабочим участком ВАХ диапозон токов от 20 мА до 200 мА. Определим среднее дифференциальное сопротивление:

$$R_{ср.диф} = \frac{181{,}85 мВ}{97{,}02 мА} = 1{,}87\, Ом.$$

2. Разомкнем ключ SW. В цепи с резистором по второму закону Кирхгофа имеем:

$$E = I \cdot R + U_Д \quad \text{или} \quad I = \frac{E}{R} - \frac{U_Д}{R} \qquad (1.14)$$

Это уравнение нагрузочной прямой. Нагрузочная прямая имеет на оси тока, когда $U_Д = 0$, координату $\frac{E}{R}$, а на оси напряжения, когда I =0, имеет координату $U_Д = E$.

Изменим на графике ВАХ масштабы осей: по оси ординат (0 – 200 мА), по оси абсцисс (0 – 10 В).

С помощью курсора найдем рабочую точку: Uд=611,23 мВ, I =93,4 мА (рис.1.37). Нагрузочная прямая показана с разрывом, чтобы уменьшить размер изображения.

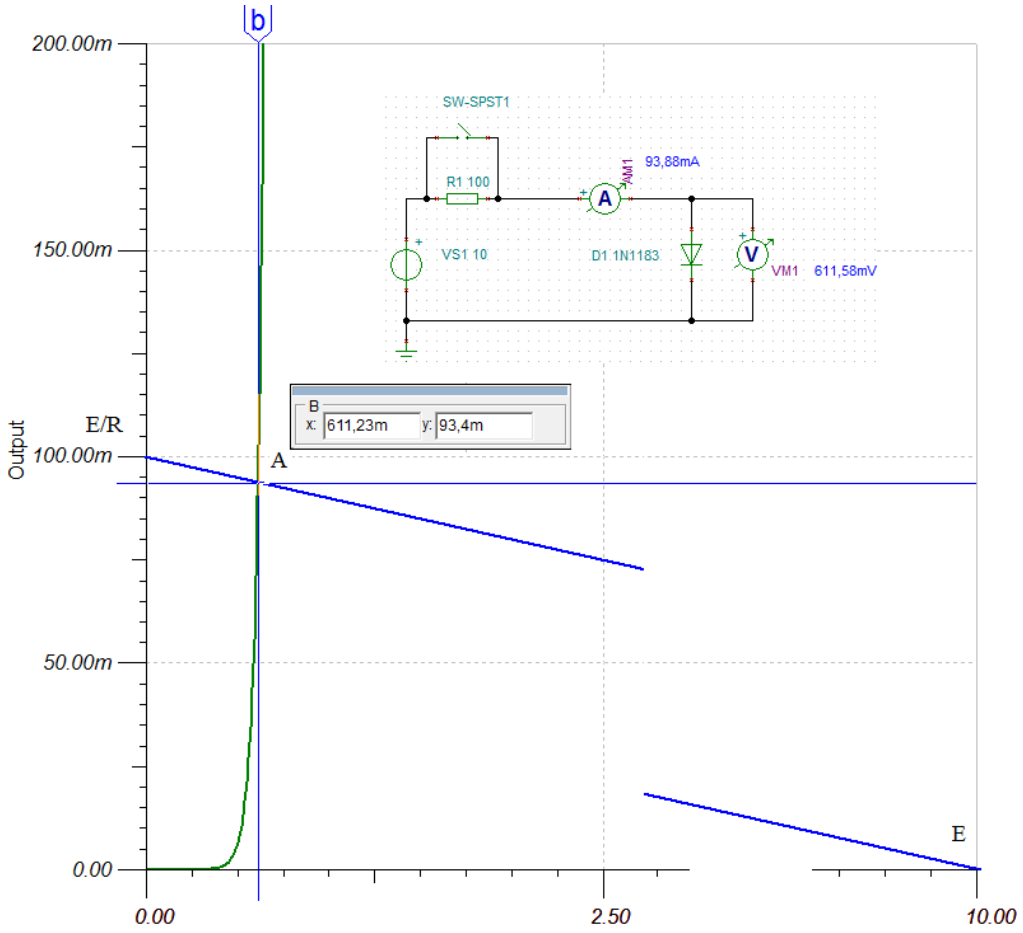

Рис.1.37. Нагрузочная прямая и рабочая точка в схеме с диодом и резистором

Выполним моделирование и подтвердим результаты, полученные графическим расчетом.

Конечно, если Вам надо просто определить режим в схеме, можно ограничиться одним моделированием. Это потребует совсем немного времени.

Пример 1.2

Выполним расчет схемы рис.1.35, используя эквивалентную схему диода (рис.1.17в). Электрическая цепь для этого случая показана на рис.1.38. Расчет дает значение тока *I*=91,29 мА, которое меньше результата моделирования на 2 мА.

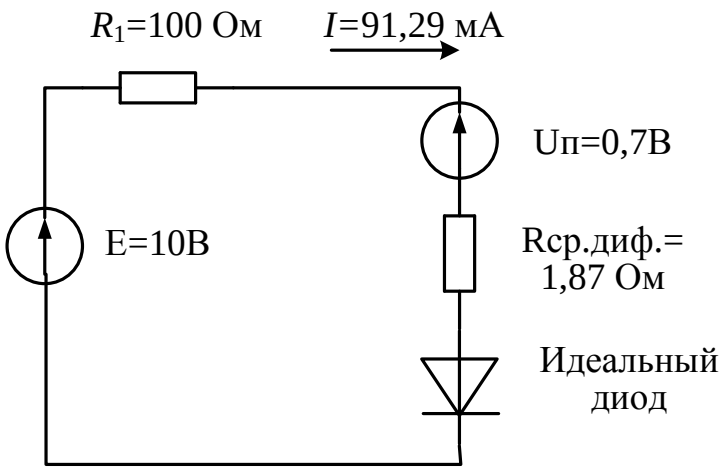

Рис.1.38. Расчетная схема с моделью диода

Пример 1.3

В схеме с двумя диодами (рис.1.39), используя эквивалентную схему диода (рис.1.17в), рассчитать показания вольтметра и токи в диодах. Сравнить результаты расчета и моделирования.

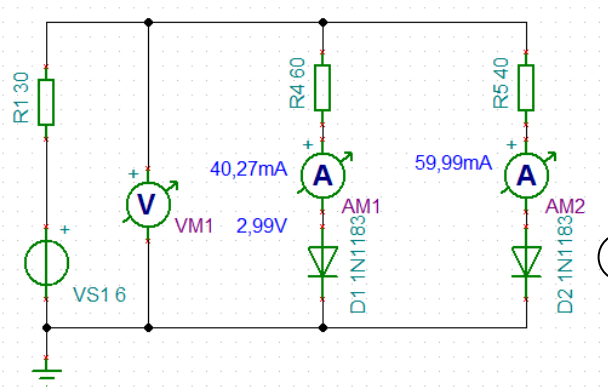

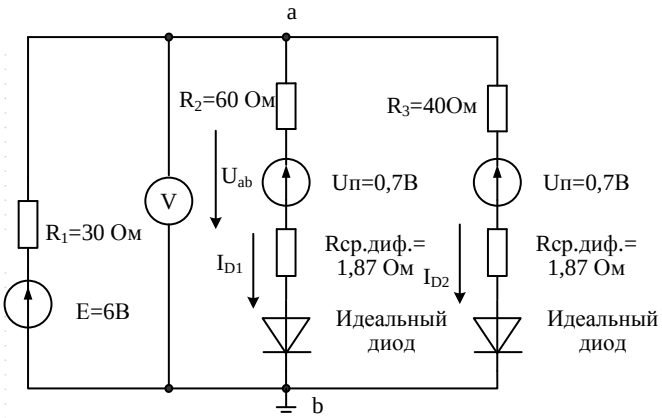

Рис.1.39. Схема с двумя диодами Рис.1.40. Расчетная эквивалентная схема

Решение

1. Выполним моделирование в схеме рис.1.39 и получим значение U_{ab} =2,99 В. В диоде D1 ток I_{D1} составляет 40,27 мА, в диоде D2 ток I_{D2} равен 59,99 мА.

2. Заменим диода 1N1183 эквивалентными схемами с кусочно-линейной аппроксимацией (рис.1.40). По методу двух узлов выполним вычисление напряжения Uab в Маткаде:

$$Uab := \frac{\left(\frac{0.7}{41.87} + \frac{0.7}{61.87} + \frac{6}{30}\right)}{\left(\frac{1}{67.87} + \frac{1}{41.87} + \frac{1}{30}\right)} \qquad Uab = 3.169 \quad B$$

Расчетное напряжение составляет U_{ab}=3,169В.

Вычислим токи:

$$I_{D1} = \frac{3{,}169 - 0{,}7}{61{,}87} = 39{,}9\,мА,\ I_{D2} = \frac{3{,}169 - 0{,}7}{41{,}87} = 58{,}96\,мА$$

Мы видим, что ошибки не превышают 6% и эквивалентную схему можно считать допустимой для ориентировочных расчетов.

Пример 1.4

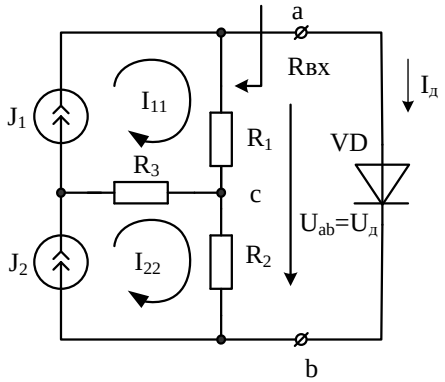

Рис.1..40.

В разветвленной схеме (рис.1.40) J_1=10 мА, J_2=5 мА, R_1=R_2=R_3=100 Ом.

Диод 1N5060.

Найти ток диода и напряжение на диоде.

Решение

1. В этой задаче диод подключен к разветвленной линейной цепи. Всю линейную цепь надо заменить эквивалентным генератором, подключенным к зажимам ab диода.

Для этого отключим диод и находим:

$$U_{abxx} = E_э = I_{22}R_2 + I_{11}R_1 = 1{,}5B,$$

$$R_{вх} = R_1 + R_2 = 200\,Ом.$$

В результате схему преобразуем к виду (рис.1.41).

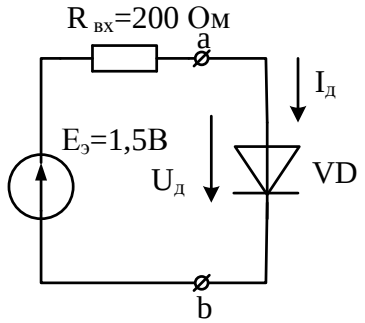

Рис.1.

41.

2. В программе TINA строим ВАХ диода 1N5060 и нагрузочную прямую, соответствующую схеме рис.1.41.

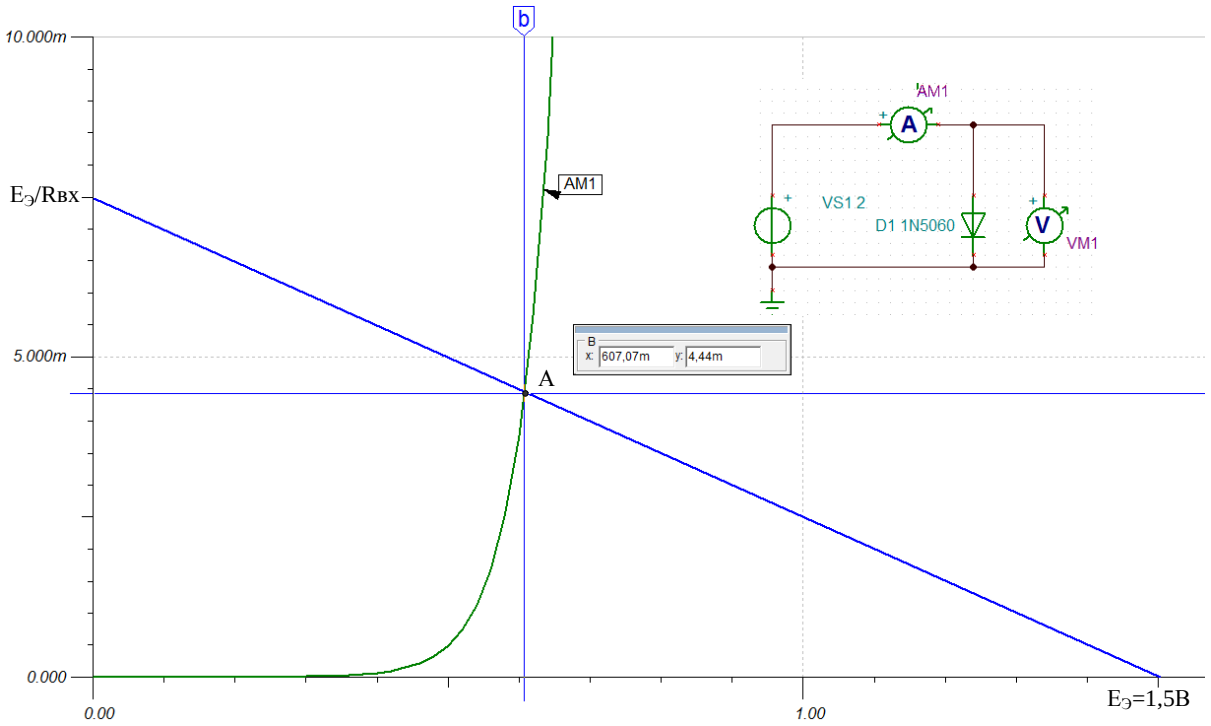

Рис.1.42. Графический расчет разветвленной схемы

В результате графического расчета в рабочей точке А получаем $I_д$=4,44 мА, $U_д$=607,07 мВ.

3. Выполним моделирование полной схемы (рис.1.43).

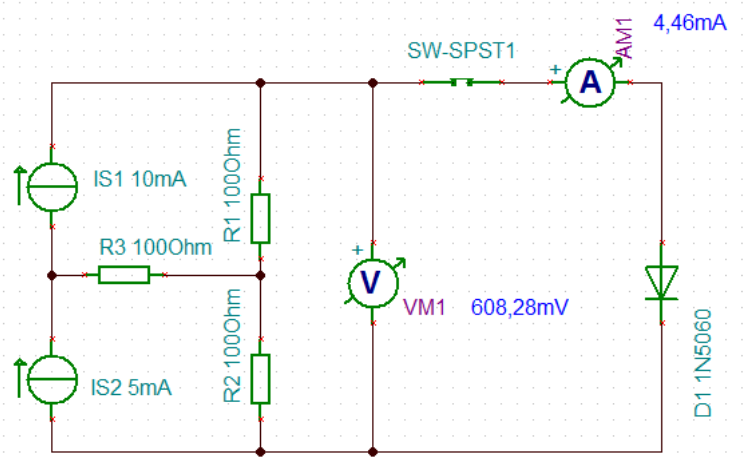

Рис.1.43. Схема моделирования развевленной цепи

Результаты графического расчета и моделирования совпадают с высокой точностью.

Пример 1.5

Схема цепи рис.1.44 содержит стабилитрон 1N2804. Для этой схемы требуется:

1. Получить вольтамперную характеристику стабилитрона, найти напряжение стабилизации и дифференциальное сопротивление на участке стабилизации.

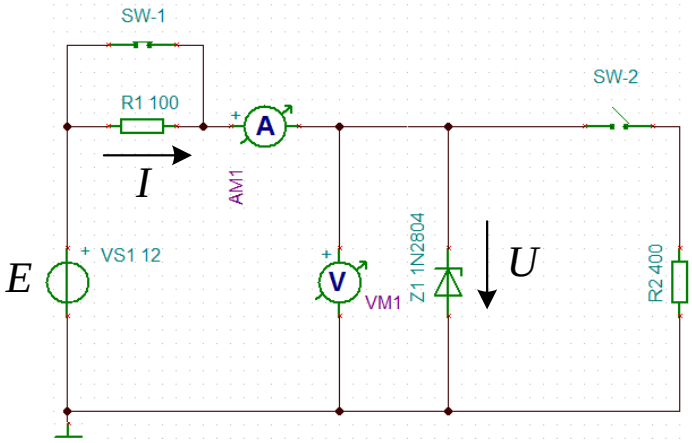

Рис.1.44. Схема стабилизатора напряжения

Решение

Для получения вольтамперной характеристики в схеме рис.1.44 замыкаем ключ SW-1, размыкаем ключ SW-2 и выполняем Analysis-DC Analysis-DC Transfer Characteristic. Входное напряжение меняем от -2В до 8В. Так как стабилитрон включен обратной полярностью, область прямого напряжения будет слева (-2В – 0В). В области обратного напряжения при U≈6,25В происходит лавинный пробой стабилитрона и ВАХ имеет почти вертикальный учаток стабилизации. Максимальное значение тока стабилизации Iст.мах=90 мА соответствует напряжению на стабилитроне Uст.мах=6,31В. Минимальное значение Iст.мин=20 мА соответствует напряжению на стабилитроне Uст.мин=6,2В. При изменении тока $\Delta I_{ст}$=70 мА напряжение на стабилитроне меняется на $\Delta U_{ст}$=100мВ. Дифференциальное сопротивление стабилизации составляет $R_{диф.ст}$=1,42 Ом.

Номинальным напряжением стабилизации будем считать Uст.ном.=6,25В.

2. Разомкнем ключ SW-1 и включим баластное сопротивление $R_б=R_1$=100 Ом. Определим допустимые изменения напряжения питания, при которых выполняются условия стабилизации напряжения.

Выполним графический расчет стабилизатора напряжения без нагрузки (рис.1.46).

Уравнение нагрузочной прямой $I = \dfrac{E}{R_Б} - \dfrac{U}{R_Б}$.

Сначала построим нагрузочную прямую для E=0. При значении

$$U = -2B, \quad I = \frac{-2}{-R_Б} = \frac{-2}{-100} = 20\,мА.$$

Проводим нагрузочные прямые под этим углом в точках А и В.

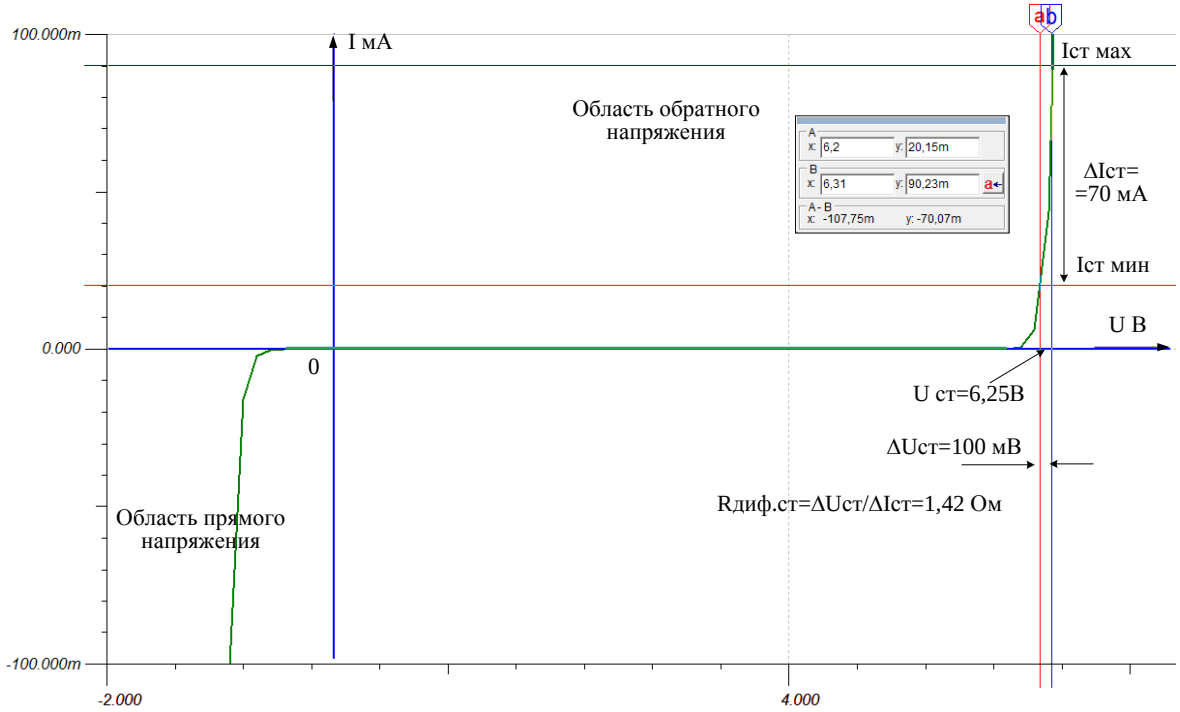

Рис.1.45. Вольтамперная характеристика стабилитрона 1N2804

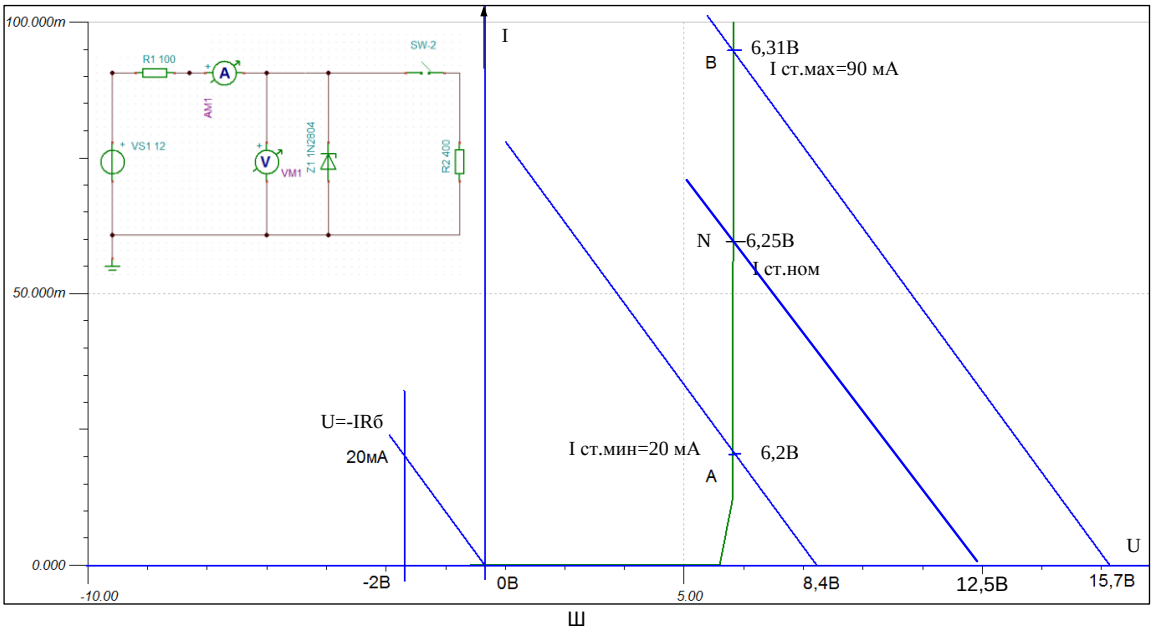

Рис.1.46. Графический расчет стабилизатора напряжения без нагрузки

Находим $E_{min} = 8{,}4B$, $E_{max} = 15{,}75B$. В номинальной точке N входное напряжение E_N=12,5B.

При этом напряжение на выходе стабилизатора изменится не более, чем на 50 мВ от номинального значения 6,25В.

3. Выполним аналитический расчет.

$$E_{ст\,мин} = U_{ст\,мин} + I_{ст\,мин} R_Б = 6{,}2 + 2 \cdot 10^{-2} \cdot 100 = 8{,}2\,B;$$

$$E_{ст\,мах} = U_{ст\,мах} + I_{ст\,мах} R_Б = 6{,}31 + 9 \cdot 10^{-2} \cdot 100 = 15{,}31B.$$

Следовательно, графический и аналитический расчет достаточно хорошо совпадают.

4. Выполним моделирование в схеме рис.1.44 с баластным сопротивлением. Выполним Analysis-DC Alalysis-DC Transfer Characteristic для входного воздействия VS1. На рис.1.47 показан график изменения напряжения на стабилитроне в зависимости от входного напряжения.

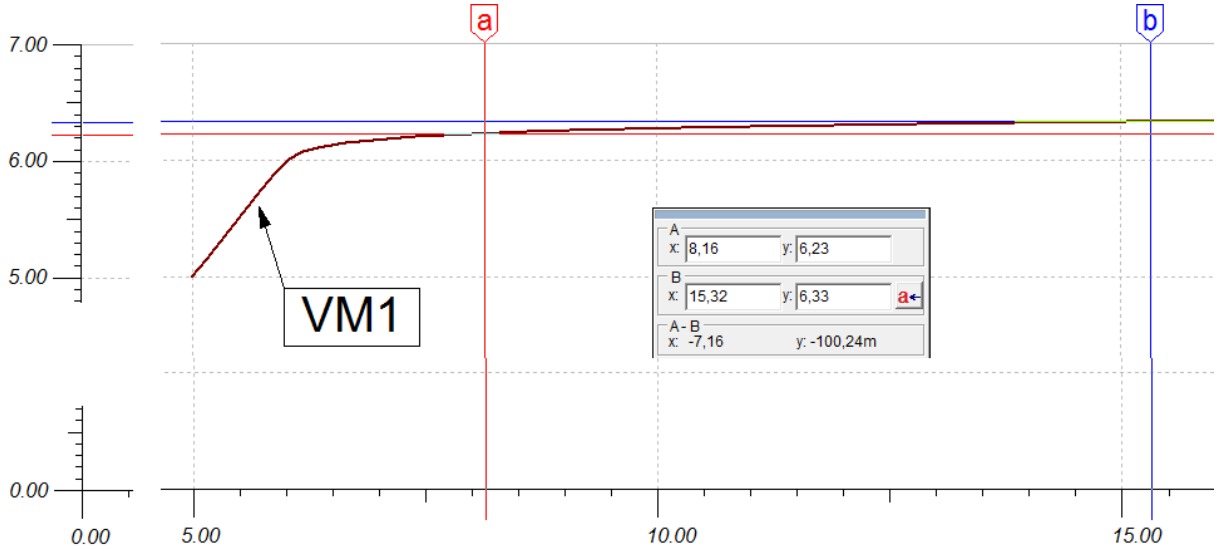

Рис.1.47. График изменения напряжения на стабилитроне

в зависимости от входного напряжения

Для входного напряжения E=8,16В получим U=6,23В, а для E=15,32В получим U=6,33В.

Моделирование подтверждает графический и аналитический расчет и является наиболее быстрым методом получения результата.

Пример 1.6. Стабилизатор с нагрузкой

В схеме рис.1.44 разомкнем ключ SW-1, замкнем ключ SW-2 и подключим к стабилитрону сопротивление нагрузки R_2=400 Ом.

Сначала всю внешнюю по отношению к стабилитрону цепь заменим эквивалентным генератором (рис.1.48).

1. Отключаем стабилитрон и находим:

$$U_{abxx} = \frac{ER_2}{R_1 + R_2} = 0{,}8E\,,\ R_{вхab} = \frac{R_1 R_2}{R_1 + R_2} = 80\,Ом\,.$$

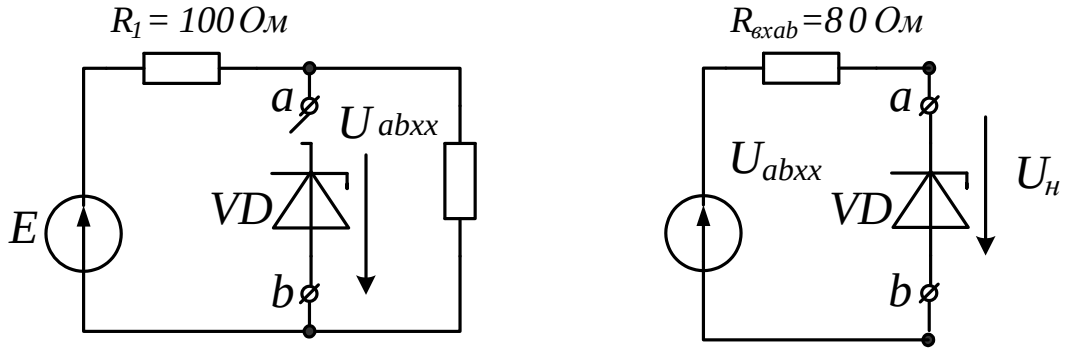

а) б)

Рис.1.48. Преобразование схемы по методу эквивалентного генератора

Для преобразованной схемы можно повторить графический расчет, аналогично сделанному ранее, найти $U_{abxxмин}$ и $U_{abxxмах}$, а затем рассчитать $E = \dfrac{U_{abxx}}{0{,}8}$.

Мы выполним аналитический расчет стабилизатора с нагрузкой

В точке А:

$$U_{н\,\mathbf{min}} = U_{ст\,\mathbf{min}} = 6{,}2\,B,\ I_{н\,\mathbf{min}} = \frac{U_{н\,\mathbf{min}}}{R_2} = \frac{6{,}2}{400} = 15{,}5\,мА\,,$$

$$E_{\mathbf{min}} = U_{н\,\mathbf{min}} + (I_{н\,\mathbf{min}} + I_{ст\,\mathbf{min}})R_1 = 6{,}2 + (15{,}5 + 20)\cdot 10^{-3} 100 = 9{,}7B\,.$$

В точке В:

$$E_{\mathbf{max}} = U_{н\,\mathbf{max}} + (I_{н\,\mathbf{max}} + I_{ст\,\mathbf{max}})R_1 = 6{,}31 + (15{,}77 + 90)\cdot 10^{-3} 100 = 16{,}88B\,.$$

Качество стабилизации оценивают *коэффициентом стабилизации*:

$$K_{ст} = \frac{\Delta U_H / U_{HO}}{\Delta U_{BX} / U_{BXO}} = \frac{0{,}11 / 6{,}25}{(16{,}88 - 9{,}7) / 13{,}29} = \frac{0{,}0176}{0{,}54} = 0{,}0325\,.$$

Пример 1.7

Изменение сопротивления нагрузки

В схеме рис.1.49 требуется определить, в каких пределах может меняться сопротивление нагрузки R_2, чтобы напряжение находилось на участке стабилизации ?

Решение

1. В точке А:

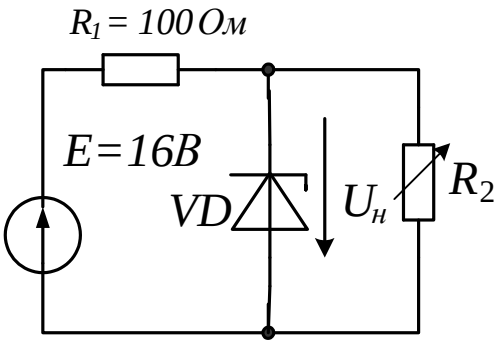

Ток через балластное сопротивление:

$$I_{вхА} = \frac{E - U_{ст\,\mathbf{min}}}{R_1} = \frac{16 - 6,2}{100} = 98\,мА$$

.

Ток в нагрузке:

$$I_{нА} = I_{вхА} - I_{ст\,\mathbf{min}} = 78\,мА.$$

$$R_{2A} = \frac{U_{ст\,\mathbf{min}}}{I_{нА}} = 79,48\,Ом.$$

Рис.1.49. Переменная нагрузка

2. В точке В:

$$I_{вхВ} = \frac{E - U_{ст\,\mathbf{max}}}{R_1} = \frac{16 - 6,31}{100} = 96,9\,мА,$$

$$I_{нВ} = I_{вхВ} - I_{ст\,\mathbf{max}} = 6,9\,мА,$$

$$R_{НВ} = \frac{U_{ст\,\mathbf{max}}}{I_{нВ}} = \frac{6,31}{0,0069} = 914,49\,Ом.$$

Ответ: сопротивление нагрузки может меняться от 79,48 Ом до 914,49 Ом.

Сделаем проверку моделированием. Для этого в модели стабилизатора с включенной нагрузкой и входным напряжением E=16В (рис.1.50) выполним: Analysis-DC Analysis-DC Transfer Characteristic. Входным параметром установим R_2 и будем менять его от 70 Ом до 1кОм. Получим практически горизонтальную линию напряжения на нагрузке. Курсорами определим, что при нагрузке 70 Ом напряжение на нагрузке составляет 6,19В, а при нагрузке 913 Ом – 6,33В.

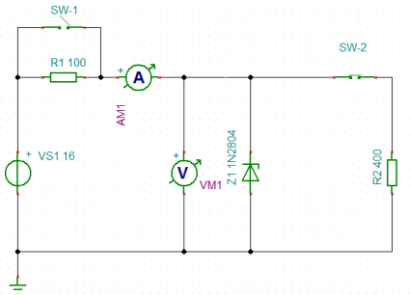

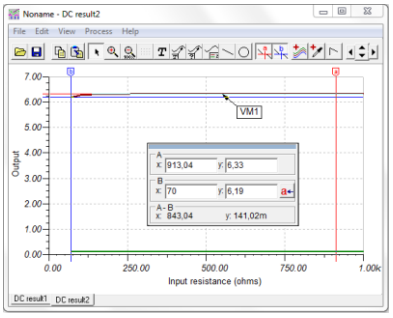

Рис.1.50. Исследование влияния сопротивления нагрузки

1.9. Выпрямление переменного напряжения с помощью диодов

Полупроводниковые диоды широко применяются в схемах однополупериодного и двухполупериодного выпрямления переменного тока. Если переменный ток в каждом полупериоде меняет свое направление, то выпрямленный ток имеет постоянное направление. Прямой ток у мощных выпрямительных диодов может достигать десятков ампер. Обратный ток $I_{обр}$ у качественных диодов очень невелик (единицы микроампер). При теоретическом исследовании процессов выпрямления реальный диод мы заменяем идеальным, имеющим прямоугольную ВАХ (рис. 1.17а).

На рис.1.51а показана простейшая *схема однополупериодного выпрямления*, работающая на резисторную нагрузку. При входном напряжении $u(t) = U_m \cdot \sin \omega t$ ток и напряжение на $R_н$ имеют вид положительных полуволн (рис. 1.51б). Моменты отпирания и запирания диода определяются соответственно моментами перехода напряжения и тока через нулевые значения.

В мостовой *схеме двухполупериодного выпрямления* (рис. 1.52) при входном напряжении $u(t) = U_m \cdot \sin \omega t$ ток в нагрузку поступает в каждый полупериод (рис. 9.4), и имеет форму двух положительных полуволн $i_н(t) = {U_m}/{R_н} \cdot |\sin \omega t|$. В положительные полупериоды входного напряжения диоды VD_1 и VD_2 открыты, а VD_3 и VD_4 закрыты, ток в нагрузке идет от узла a к узлу b. В отрицательные полупериоды диоды VD_1 и VD_2 заперты, а VD_3 и VD_4 открыты. Ток в нагрузке попрежнему идет от узла a к узлу b.

Напряжение на нагрузке $R_н$ равно $u_н(t) = U_m \cdot |\sin \omega t|$ и будет повторять по форме кривую тока.

Функции $i_н(t)$, $u_н(t)$ в этих случаях состоят из суммы постоянной составляющей и гармоник.

В схеме однополупериодного выпрямления постоянные составляющие напряжения на нагрузке или средние за период значения напряжения $U_0 = \frac{1}{T}\int_0^T u_н dt = \frac{U_m}{\pi}$. Для тока постоянная составляющая $I_0 = \frac{1}{T}\int_0^T i_н dt = \frac{I_m}{\pi}$. Первая, вторая и четвертая гармоники напряжения имеют амплитуды соответственно ${U_m}/{2}$, ${2U_m}/{3\pi}$, ${2U_m}/{15\pi}$.

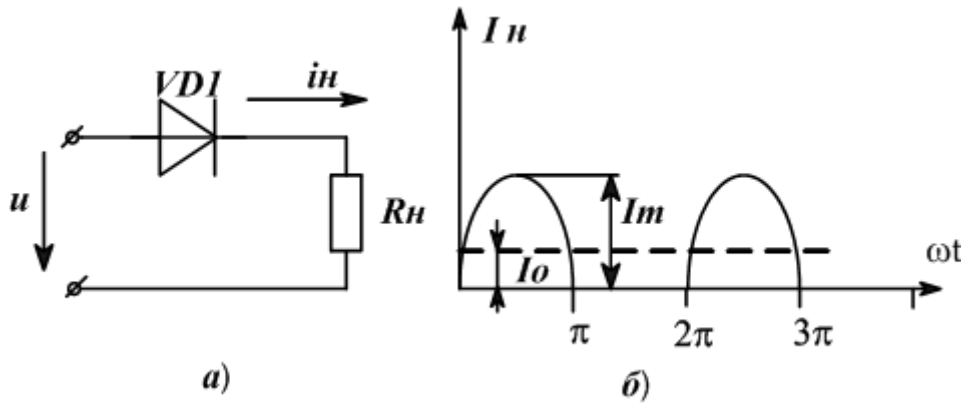

Рис 1.51. Схема однополупериодного выпрямителя

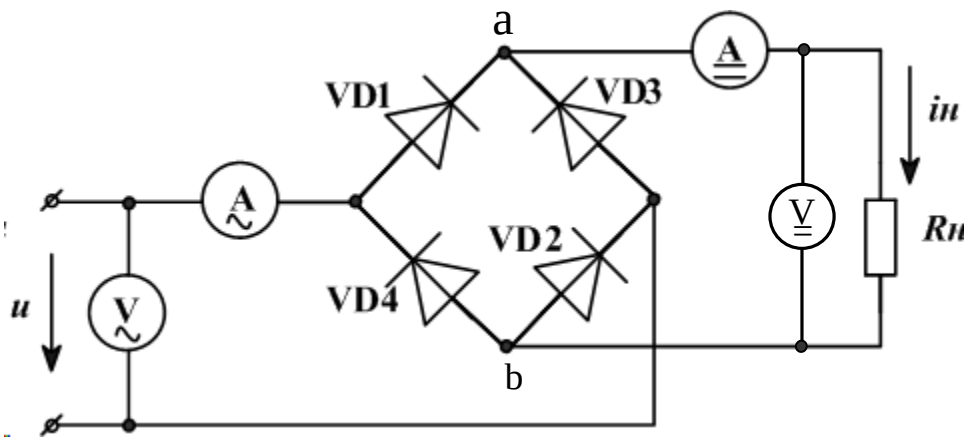

Рис. 1.52. Схема двухполупериодного выпрямителя

Диаграмма тока в нагрузке в схеме двухполупериодного выпрямителя показана на рис.1.53.

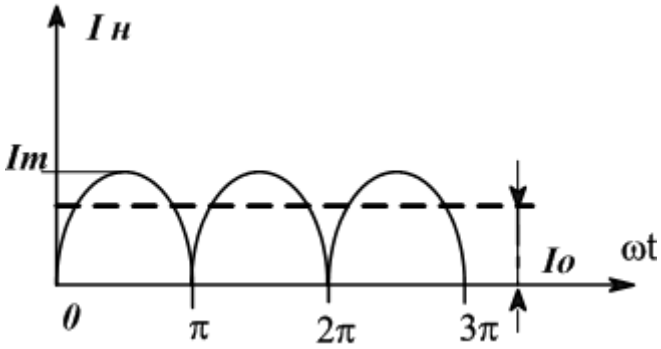

Рис.1.52. Диаграмма тока в нагрузке двухполупериодного выпрямителя

Для схемы двухполупериодного выпрямления постоянная составляющая напряжения на нагрузке $U_0 = \frac{1}{T}\int_0^T u_н dt = \frac{2U_m}{\pi}$, а постоянная со-

ставляющая тока $I_0 = \frac{1}{T}\int_0^T i_н dt = \frac{2I_m}{\pi}$. Эти значения в два раза больше, чем в однополупериодном выпрямителе.

Вторая, четвертая и шестая гармоники имеют амплитуды соответственно: $4U_m/3\pi$, $4U_m/15\pi$, $4U_m/35\pi$.

Сглаживание пульсаций выпрямленного тока, емкостной фильтр

Для нормальной работы аппаратуры полуволны выпрямленного напряжения должны быть преобразованы в постоянное напряжение с минимальными пульсациями относительно среднего. В простейшей схеме выпрямителя для сглаживания пульсаций применяют емкостной фильтр.

Проанализируем работу схемы однополупериодного выпрямления при наличии емкостного фильтра (рис. 1.53).

В открытом состоянии диода $\omega t_1 \le \omega t \le \omega t_2$ (рис. 1.53а) входное напряжение $e(t)=U_m sin\omega t$ генератора VG1 превышает напряжение на емкости нагрузки и диод открыт. Емкостный элемент схемы в эти моменты времени заряжается, ток через диод равен сумме токов через резистивный и емкостной элементы. В момент времени t_2 ток через диод равен нулю, диод закрывается. Угол запирания диода равен: ωt_2=arctg($-\omega R_н C$)= π-arctg($\omega R_н C$), ток через диод $i(\omega t_2)=0$, напряжение на конденсаторе $u_c(\omega t_2)=U_m sin\omega t_2$. После закрытия диода, начиная от t_2 до ($T+t_1$), происходит разряд конденсатора C на резистор $R_н$ по экспоненциальному закону $u_c=U_m sin\omega t_2 e^{-(t-t_2)/R_н C}$. Напряжение $u_c(t)$, измеренное вольтметром VM2, показано на рис.1.53б. В момент t_1 входное напряжение становится равным напряжению на емкостном элементе, диод открывается. Для определения момента открытия диода t_1 запишем равенство:

$$U_m \sin(\omega t_1) = U_m \sin(\omega t_2) e^{-\frac{2\pi+\omega t_1-\omega t_2}{\omega R_н C}} \qquad (1.15)$$

Величину ёмкости C практически выбирают так, чтобы при заданной нагрузке выполнялось соотношение $\omega R_н C>1$, тогда напряжение на ёмкости спадает относительно медленно.

Напряжение на открытом диоде составляет 0,6-0,7В. Это объясняет то, что маквимальное напряжение на нагрузке немного меньше входного напряжения.

В схема двухполупериодного выпрямителя с емкостным фильтром отличается также параллельно сопротивлению нагрузки $R_н$ включается емкость C.

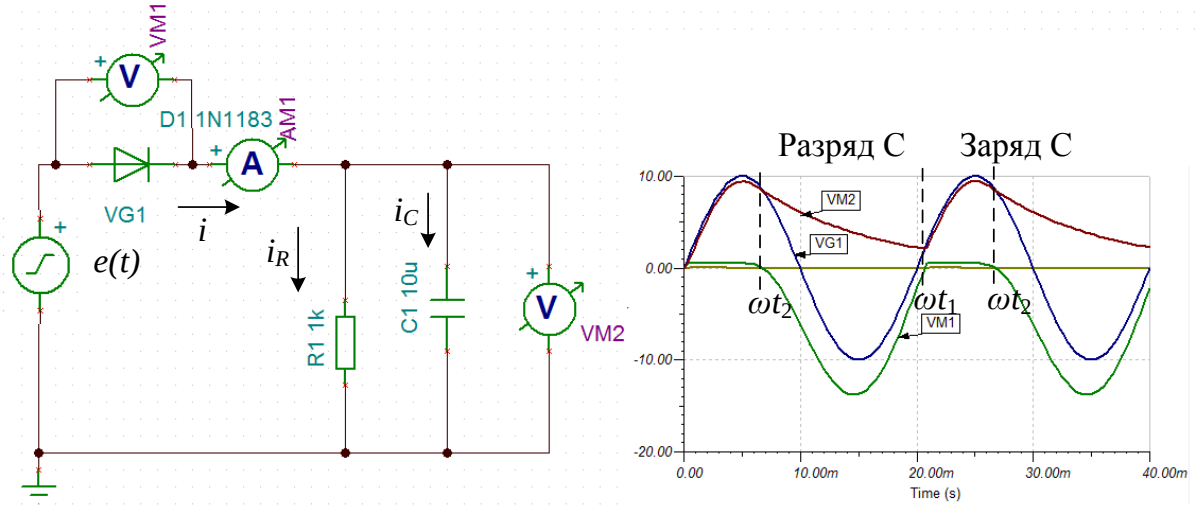

а) б)

Рис.1.53. Однополупериодный выпрямитель с емкостным фильтром

Решение уравнения (1.15) можно выполнить численно, используя Mathcad.

При ωRнC>10 (с погрешностью 5%) можно принять $\omega t_2 = \frac{\pi}{2}$, для расчёта ωt_1 пригодна приближенная формула: $\sin(\omega t_1) = e^{-\frac{1.5\pi + \omega t_1}{\omega R_n C}}$. При этом следует принять значение $\omega t_1 < \pi / 2$.

Зная ωt_1 и ωt_2, найдём постоянную составляющую напряжения на нагрузке U_0, как среднее значение за период T, в угловом измерении за 2π для однополупериодного выпрямителя и π - для двухполупериодного выпрямителя:

$$U_{01} = \frac{1}{2\pi}\left[\int_{\omega t_1}^{\omega t_2} U_m \sin(\omega t)\, d\omega t + \int_{\omega t_2}^{(2\pi + \omega t_1)} u_c(t)\, d\omega t\right].$$

Рассчитанные в Mathcad графики формы выпрямленного напряжения на нагрузке приведены на рис. 1.54. В расчетах принято, что амплитуда переменного напряжения $U_m = 10\,B$, $m = \omega R_н C = 5$, $U01, UC1$ - постоянная составляющая и форма напряжения на нагрузке в однополупериодном выпрямителе, $U02, UC2$ - постоянная составляющая и форма напряжения на нагрузке в двухполупериодном выпрямителе.

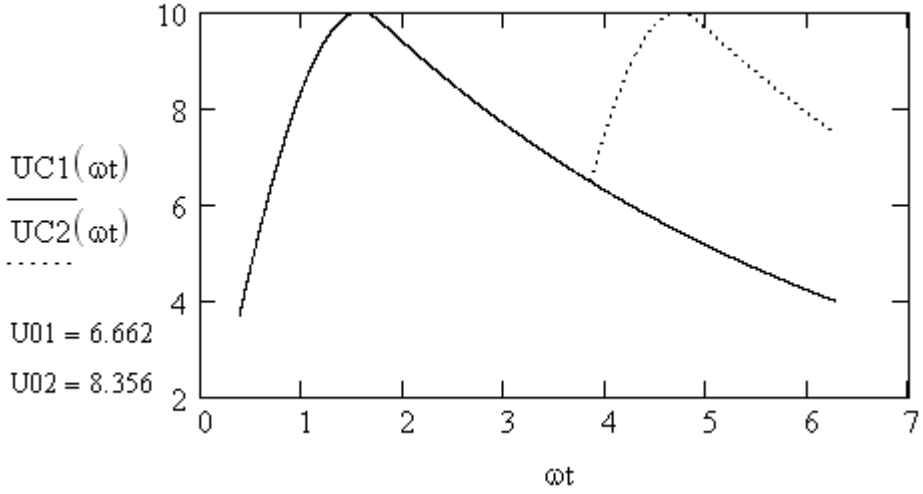

Рис. 1.54. Графики напряжения на нагрузке в однополупериодном ($U_{C1}(\omega t)$) и двухполупериодном ($U_{C2}(\omega t)$) выпрямителе при $m = \omega R_н C = 5$

Степень пульсации напряжения или тока в нагрузке можно оценить коэффициентом пульсации $K_п=(U_{max}-U_{min})/U_0$.

Если m> 100-200, емкость C не успевает разряжаться за время периода T и напряжение на нагрузке будет практически равно амплитуде (пику) входного напряжения U_m . Такой выпрямитель называется пиковым детектором и применяется в радиотехнических устройствах для детектирования сигналов.

П-образный фильтр нижних частот

Для улучшения сглаживания пульсаций применяют фильтры нижних частот, которые пропускают постоянные составляющие и ослабляют гармонические сигналы.

П-образный фильтр нижних частот включают между выпрямителем и нагрузкой.

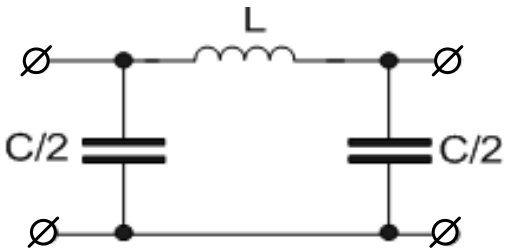

Рис. 1.55. П – образный LC- фильтр нижних частот

Наибольшее сглаживание пульсаций получают в симметричном фильтре. Для фильтра типа «К» параметр $k=\sqrt{\frac{L}{C}}=R_н$, $\underline{Z}_1=j\omega L$, $2\underline{Z}_2=-j\frac{2}{\omega C}$. Коэффициент передачи по напряжению для гармонических составляющих пульсаций можно вычислить по формуле:

$$K_U(\omega)=\left|\frac{R_н}{\left(1+\frac{\underline{Z}_1}{2\underline{Z}_2}\right)\cdot R_н+\underline{Z}_1}\right| \qquad (1.16)$$

Частота среза ФНЧ $\omega_c=\frac{2}{\sqrt{LC}}$ для однополупериодного выпрямителя должна быть в 2-3 раза меньше частоты первой гармоники, а для двухполупериодного выпрямителя в 2-3 раза меньше частоты второй гармоники.

На рис.1.56 показана модель двухполупериодного выпрямителя с LC- фильтром. Рассчитанная угловая частота среза $\omega_c=4{,}47\cdot10^3\ рад/с$. Циклическая частота среза $f_c=712\,Гц$. Установим частоту генератора равной 712 Гц. Тогда вторая гармоника будет больше частоты среза в два раза. На рис.1.57 напряжение на нагрузке практически постонное и равно 8,63В. Это меньше амплитудного значения входного напряжения на 1,37В, что соответствует падению напряжения на двух открытых диодах.

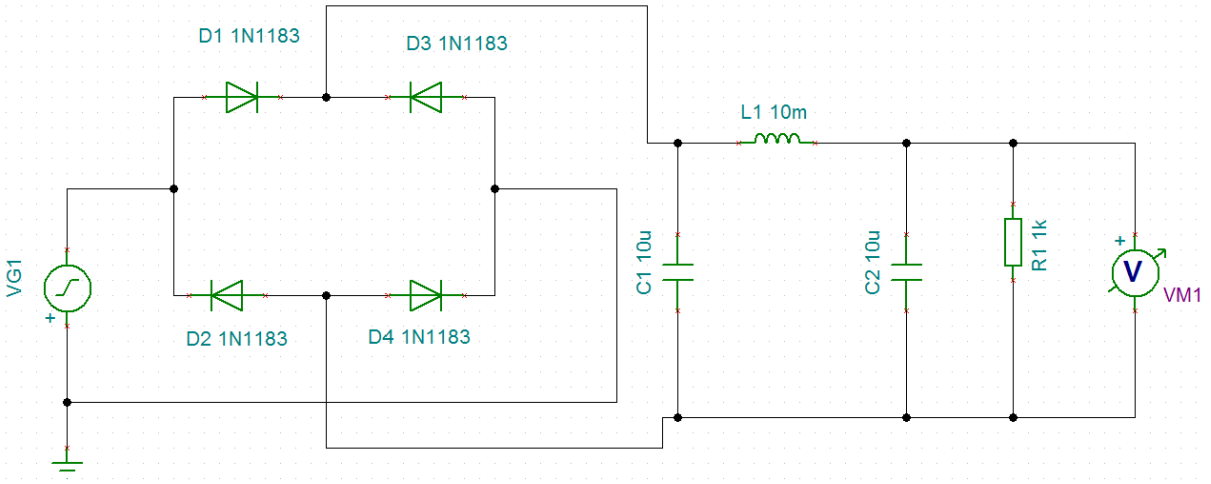

Рис. 1.56. Модель двухполупериодного выпрямителя с LC-фильтром

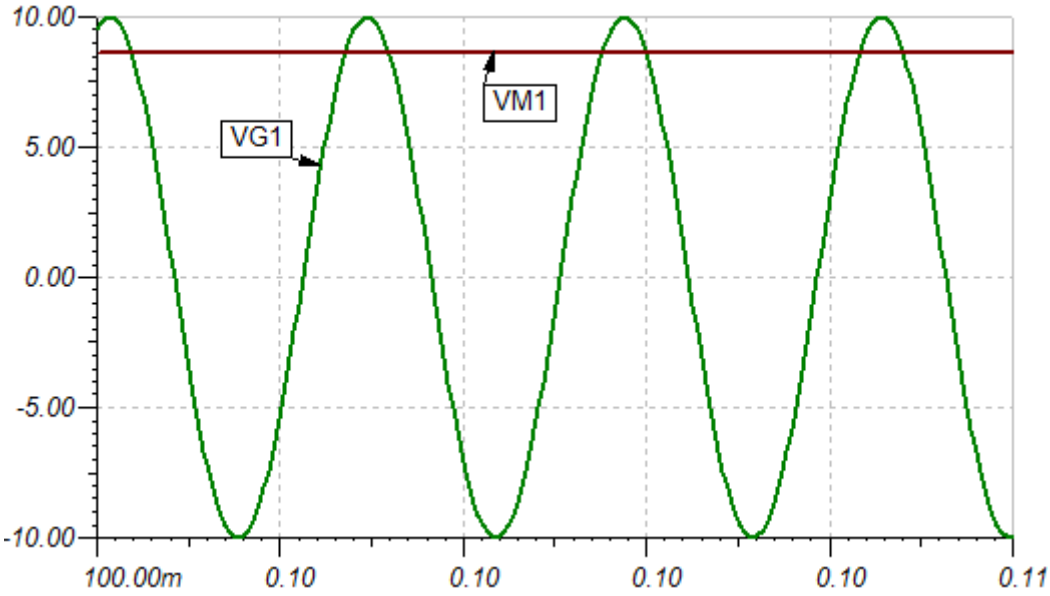

Рис.1.57. Диаграммы напряжений выпрямителя с LC-фильтром

1.10. Диодные ограничители и фиксаторы напряжения

Во многих электронных цепях требуется ограничивать входное напряжение и использовать только часть его. Для этого применяют ограничители на диодах. Рассмотренные нами выпрямители тоже в принципе работали как ограничители, пропуская только положительные полуволны синусоидального сигнала.

На рис.1.58 показана схема последовательного ограничителя, в котором диод включен последовательно с нагрузкой.

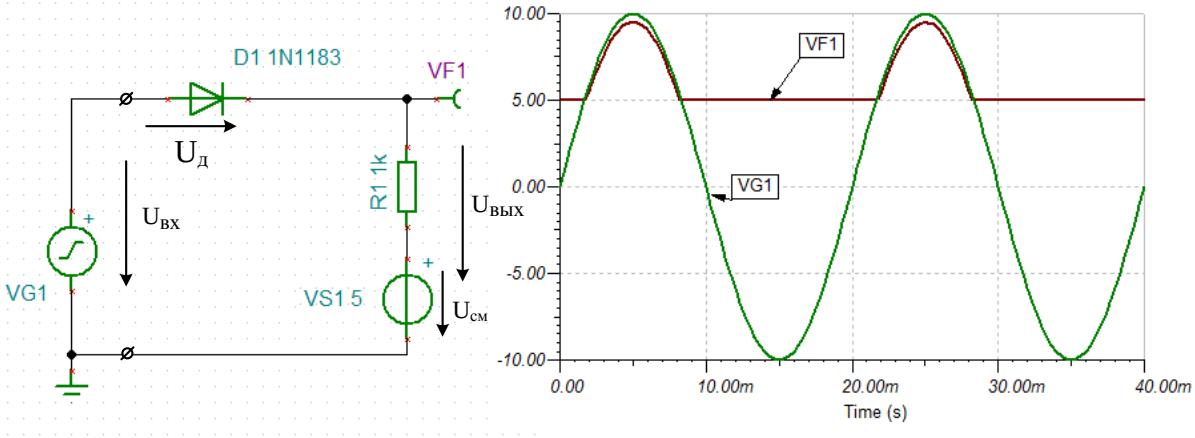

Рис.1.58. Последовательный диодный ограничитель

Генератор формирует синусоидальный сигнал с амплитудой 10В. Источник постоянного напряжения VS1 создает смещение на диоде напряжение смещения $U_{см}$=5В. Когда $U_{вх}(t) < U_{см}$, диод закрыт и

$U_{вых} = U_{см}$. Диод начинает открываться, если $U_{вх}(t) > U_{см}$. В результате выходное напряжение становится равным $U_{вых}(t) = U_{вх}(t) - U_{Д}$ и имеет вид «обрезанных» на уровне 5В полуволн синусоиды.

На рис.1.59 показаны формы выходного сигнала при разных напряжениях смещения.

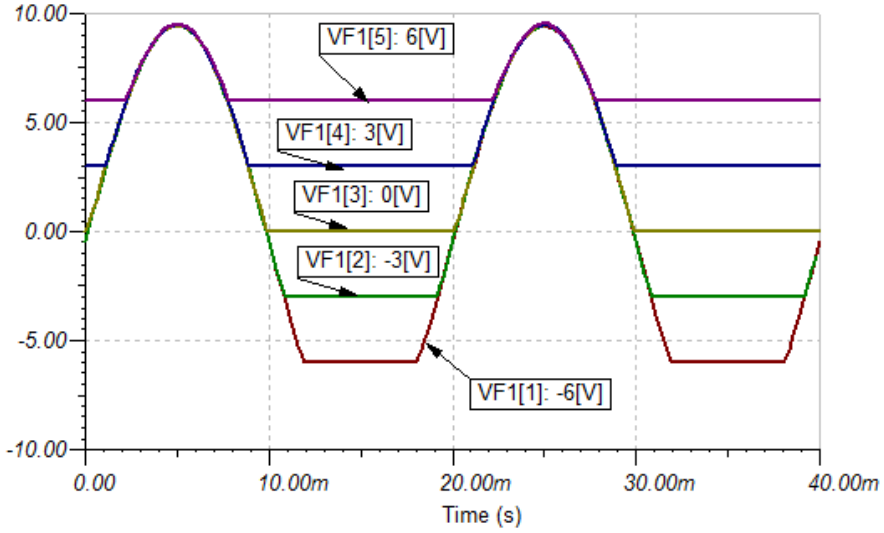

Рис.1.59. Выходные сигналы ограничителя при разных смещениях

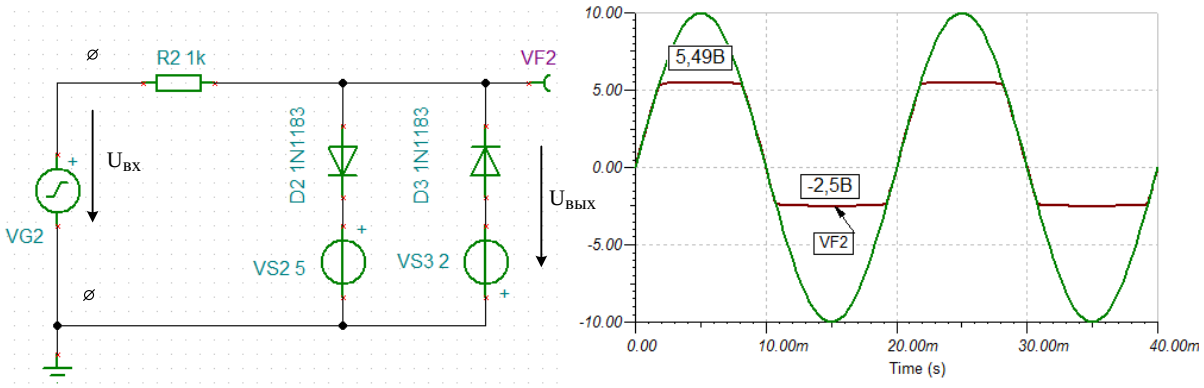

Рис.1.60. Параллельные диодные ограничители

На рис.1.60 показана работа двух параллельных диодных ограничителей. Диод D2 имеет на катоде смещение +5В и открывается, когда входное напряжение превышает 5,49В. Диод D3 имеет на аноде отрицательное смещение -2В и открывается, когда входное напряжение -2,5В. В результате получаем выходной сигнал трапециидального вида.

Схемы фиксации напряжения используют в импульсных устройствах для сдвига сигнала на требуемый постоянный уровень. В схеме рис.1.61 на входе дейтсвует последовательность прямоугольных двухполярных импульсов с амплитудой U_m=5В и частотой 1кГц. Дифференцирующая цепь R_1C_1 имеет большую постоянную времени. Источник напряжения смеще-

ния $E_{см}$ равен 1В. Положительный входной сигнал, больший 1В, запирает диод и сигнал проходит на выход схемы. При переходе сигнала на отрицательную полярность диод открывается, замыкая накоротко выход схемы. При этом емкость быстро заряжается через открытый диод до напряжения, равного амплитуде входного сигнала и сохраняет этот заряд в период действия отрицательного импульса. При смене полярности входного импульса на положительную диод закрывается, а напряжение на емкости остается практически постоянным ввиду большой постоянной времени цепи.

Выходное напряжение становится равным $U_{вых}(t)=U_{вх}(t)+U_C$, т.е. поднимается на величину амплитуды импульсов. Источник напряжения смещения создает дополнительный сдвиг вверх и компенсирует пороговое напряжение открывания диода. Форма входного сигнала должна сохраняться. Для этого постоянная времени RC-цепи должна быть в 5-10 раз больше периода следования имульсов.

Изменяя напряжение смещения, можно установить средний уровень импульсного сигнала $U_{ср} \approx E_{см} + U_m$.

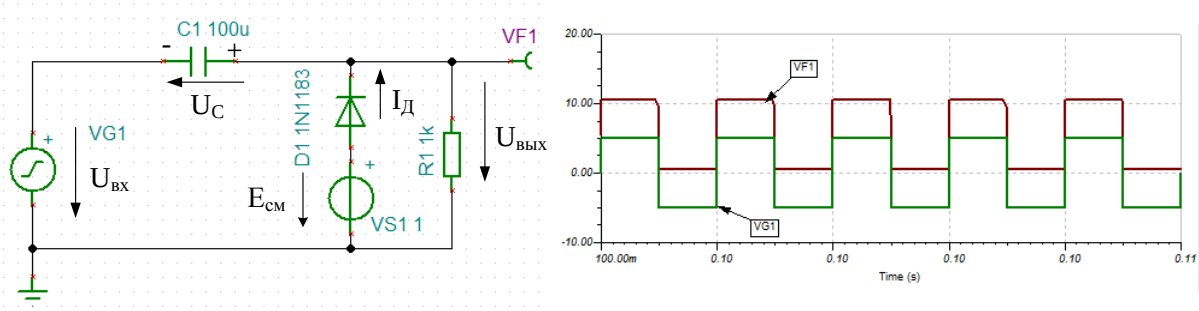

Рис.1.61. Восстановление постоянной составляющей

Глава 2. Биполярные транзисторы

2.1. Конструкция биполярного транзистора, обозначения и схемы включения

Биполярным плоскостным транзистором (bipolar junction transistor – BJT) называют полупроводниковый прибор, имеющий два взаимодействующих между собой *p-n* -перехода. В зависимости от последовательности чередования областей с различным типом проводимости различают *n-p-n* транзисторы и *p-n-p* транзисторы. Транзистор называется биполярным потому, что физические процессы в нем связаны с движением носителей обоих знаков (свободных дырок и электронов). В транзисторе *n-p-n* основная проводимость обусловлена электронами. В транзисторе *p-n -p* основная проводимость обусловлена дырками.

Трехслойная структура *n-p-n* транзистора показана на рис.2.1а. На рис.2.1б показано условное обозначение *n-p-n* транзистора, на рис.2.1в – условное обозначение *p-n-p* – транзистора. Отметим, что стрелка в изображении транзистора показывает направление тока через него. Биполярный транзистор можно представить в виде двух полупроводниковых диодов, включенных встречно.

Средний слой биполярного транзистора называют базой **Б**, один крайний слой называют коллектором **К**, другой крайний слой называют эмиттером **Э**. Толщина слоя базы значительно меньше (примерно в 150 раз), чем толщина слоя коллектора или эмиттера. Легирование базы примесями также значительно меньше (в 10 раз) наружных слоев. Это уменьшает проводимость материала базы в связи с ограничением числа свободных носителей.

Работа транзистора основана на управлении токами электродов в зависимости от приложенных к его переходам напряжений. В линейном режиме приложенное к базе напряжение $U_{БЭ}$ (для *n-p-n* транзистора $U_{БЭ}$ >0) открывает переход база-эмиттер. Свободные электроны инжектируются из эмиттера в базу, образуя ток эмиттера $I_Э$ в цепи эмиттера. Большая часть электронов, инжектированных из эмиттера в базу, втягивается сильным электрическим полем *p-n* -перехода между базой и коллектором, образуя ток коллектора I_K в цепи коллектора. Незначительная часть свободных электронов, инжектированных из эмиттера в базу, образует ток $I_Б$ Переменная составляющая входного сигнала $U_{C\sim}$ будет создавать усиленную переменную составляющую тока коллектора $I_{K\sim}$, что обеспечивает усилительные свойства транзистора.

В схеме рис.2.1а база является общим электродом входной и выходной цепи. Такая схема включения биполярного транзистора называется *схемой с общей базой* (ОБ). Для усиления сигналов применяют также схе-

мы включения биполярных транзисторов с *общим эмиттером* (ОЭ) (рис.2.2) и *общим коллектором* (ОК) (рис.2.3).

В зависимости от полярности напряжений, приложенных к электродам транзистора различают следующие режимы его работы: линейный (усилительный), насыщения, отсечки, инверсный.

- В линейном режиме эмиттерный переход смещен в прямом направлении, а коллекторный - в обратном. На схемах *n-p-n* транзисторов (рис.2.1- рис.2.3) полярности напряжений соответствуют линейному режиму.
- В режиме насыщения оба перехода смещены в прямом направлении.
- В режиме отсечки оба перехода смещены в обратном направлении.
- В инверсном режиме коллекторный переход смещен в прямом направлении, а эмиттерный в обратном.

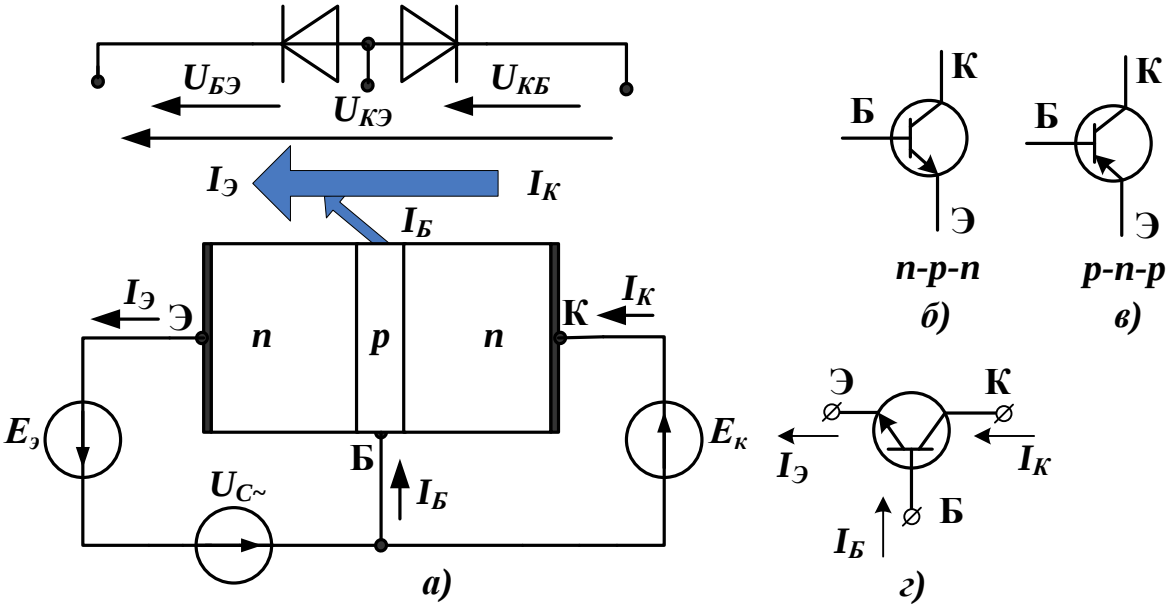

Рис.2.1. Структура *n-p-n* транзистора (а), условные обозначения *n-p-n* транзистора (б) и *p-n-p* – транзистора, схема включения *n-p-n* транзистора с общей базой

Для всех схем включения по первому закону Кирхгофа выполняется условие:

$$I_Э = I_К + I_Б. \tag{2.1}$$

Выразим ток коллектрора так:

$$I_К = \alpha I_Э, \tag{2.2}$$

где $\alpha = 0{,}95 - 0{,}99$ - коэффициент передачи тока эмиттера.

Выразим ток базы:

$$I_Б = I_Э - I_К = \frac{I_К}{\alpha} - I_К = I_К(\frac{1}{\alpha} - 1) = I_К(\frac{1-\alpha}{\alpha}). \quad (2.3)$$

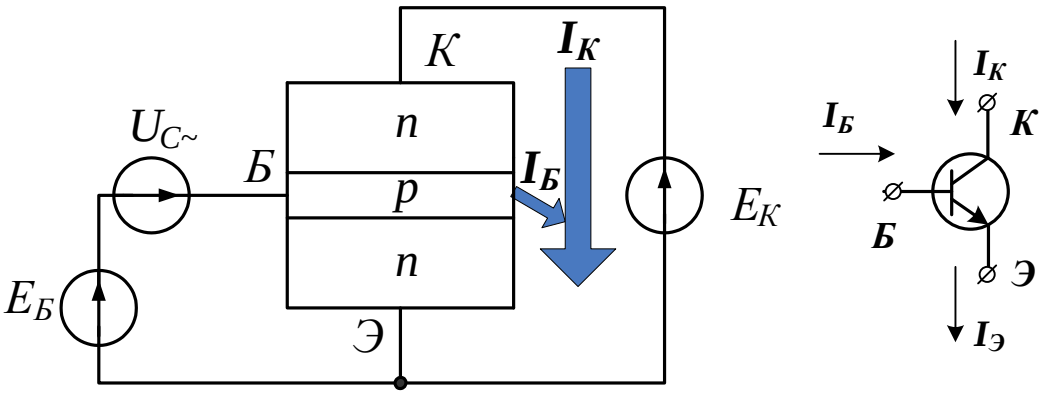

Рис.2.2. Схема включения *n-p-n* транзистора с общим эмиттером

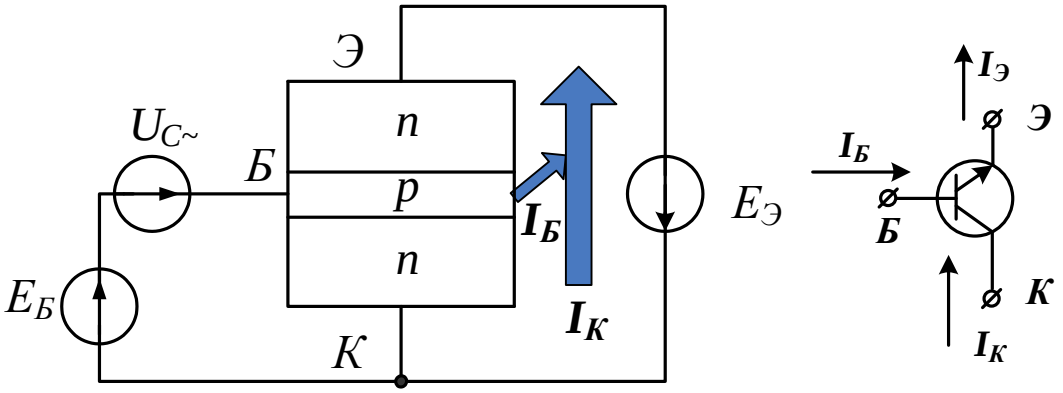

Рис.2.3. Схема включения *n-p-n* транзистора с общим коллектором

Найдем отношение тока коллектора к току базы:

$$\frac{I_К}{I_Б} = \frac{\alpha}{1-\alpha} = \beta \ . \quad (2.4)$$

Коэффициент передачи тока эмиттера $\beta \approx 20 - 200$ - определяет усиление транзистора.

Ток эмиттера связан с током базы соотношением:

$$I_Э = I_К + I_Б = \beta I_Б + I_Б = (\beta + 1) I_Б . \quad (2.5)$$

В транзисторах *p-n-p* типа полярности питающих напряжений противоположны тем, которые мы показали для *n-p-n* транзисторов. Например, в

схеме с общим эмиттером на коллектор и базу *p-n -p* транзистора надо подавать отрицательное напряжение.

Биполярные транзисторы применяются в схемах усилителей, генераторов и преобразователей электрических сигналов, изготавливаются из кремния, германия или арсенида галлия и делятся на низкочастотные (до 3 МГц), среднечастотные (до 30 МГц), высокочастотные (до 300 МГц) и сверхвысокочастотные (более 300 МГц). По мощности транзисторы бывают маломощные (до 300 мВт), средней мощности (до 1,5 Вт) и большой мощности (более 1,5 Вт).

Перейдем к изучению свойств перечисленных выше схем включения транзистора.

2.2. Схема с общим эмиттером

Схему с общим эмиттером (ОЭ) наиболее часто применяют в усилительных каскадах. Работу транзистора в схеме ОЭ рассчитывают по входным и выходным вольтамперным характеристикам (ВАХ), снятым для этой схемы.

Входной вольтамперной характеристикой называют зависимость тока базы от напряжения база-эмиттер при постоянном напряжении на коллекторе $I_Б(U_{БЭ})_{U_{КЭ}=const}$. На рис.2.4а показана схема для измерения входной характеристики транзистора BC140. На рис.2.4б представлены результаты измерений.

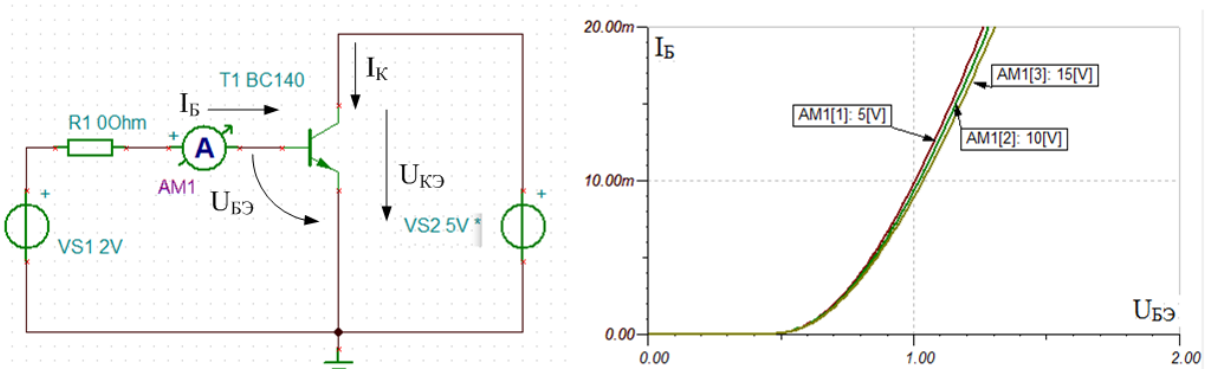

а) б)

Рис.2.4. Схема измерений входных ВАХ и графики входных ВАХ

В схеме измерений сопротивление R1 источника напряжения $U_{БЭ}$ (VS1) установлено равным нулю. Источник напряжения $U_{КЭ}$ (VS2) сделан управляемым объектом и принимает значения 5, 10 и 15 В. Чтобы получить графики входных ВАХ, выполняем Analysis-DC Analysis-DC Transfer Characteristic для входного воздействия VS1. На графиках рис.2.4б мы видим, что пороговое напряжение составляет 0,5-0,7В и увеличение напряжения UКЭ немного снижает крутизну графика.

Выходной вольтамперной характеристикой транзистора в схеме ОЭ называют зависимость тока коллектора от напряжения коллектор-эмиттер при постоянном значании тока базы $I_K(U_{KЭ})_{I_Б=const}$.

На рис.2.5 показана схема измерений выходных ВАХ транзистора BC140. Источник тока базы $I_Б$ (IS1) сделан управляемым объектом и меняется от 250мкА до 2 мА.

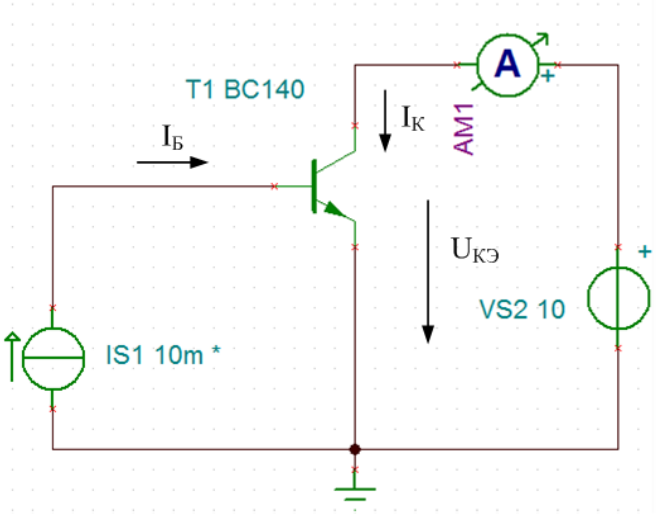

Рис.2.5. Схема измерения и графики выходных ВАХ

Семейство графиков выходных ВАХ показано на рис.2.6.

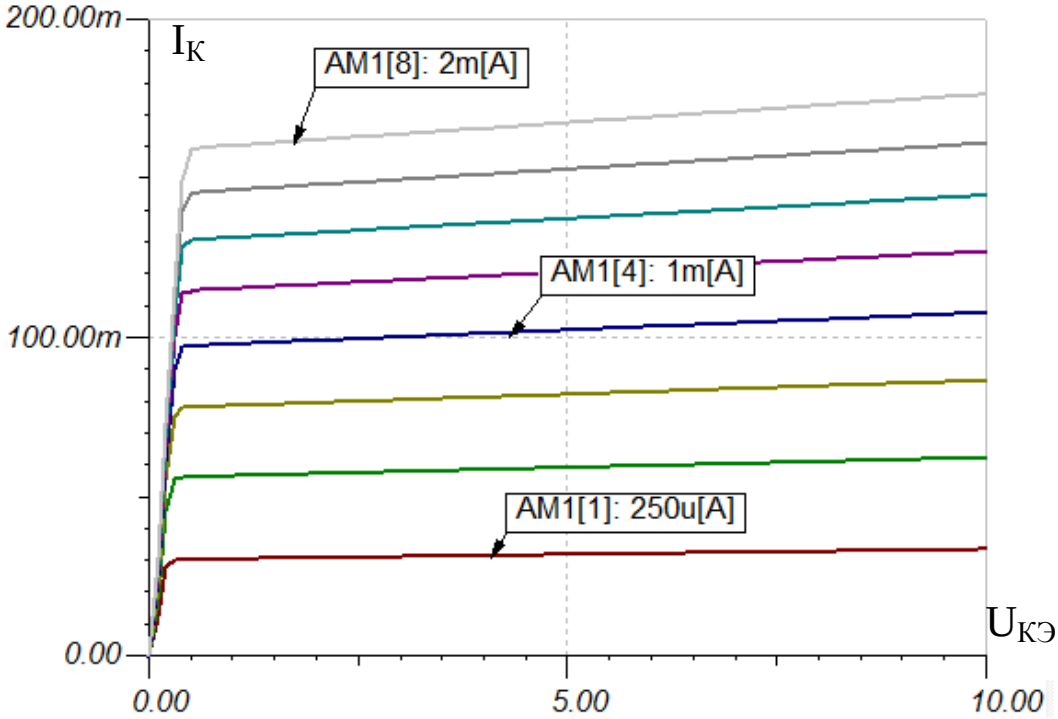

Рис.2.6. Выходные характеристики транзистора в схеме с общим эмиттером

В схеме простейшего усилителя с общим эмиттером (рис.2.7) источник питания коллектора $E_К$, источник питания базы $E_Б$ и резисторы $R_К$ и $R_Б$ определят режим покоя транзистора или статический режим. Источник сигнала $e_c(t)$ создает переменную составляющую, которую должна усилить схема.

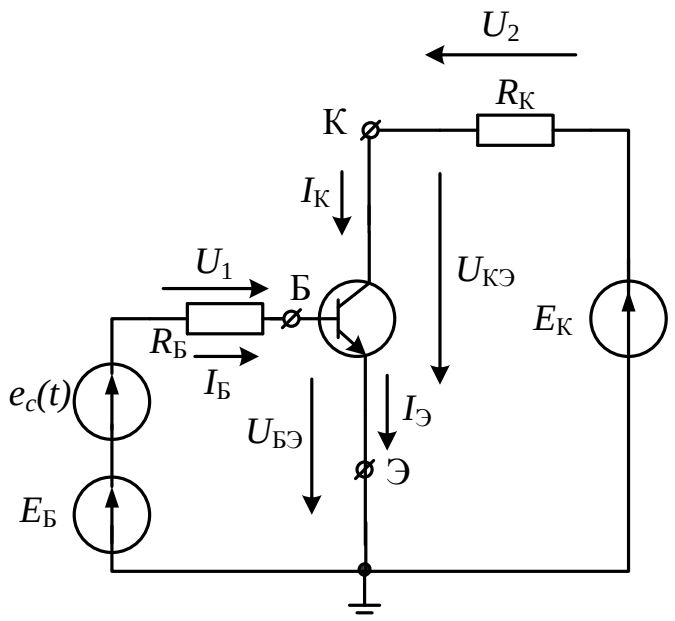

Рис.2.7. Схема усилителя с общим эмиттером

В выходной цепи коллектора по второму закону Кирхгофа:

$$E_К = U_{КЭ} + I_К R_К \quad . \tag{2.6}$$

Из этого уравнения получим уравнение нагрузочной линии:

$$I_К = \frac{E_К}{R_К} - \frac{U_{КЭ}}{R_К} \tag{2.7}$$

Аналогичное уравнение нагрузочной линии получим для входной цепи усилителя:

$$I_Б = \frac{E_Б}{R_Б} - \frac{U_{БЭ}}{R_Б}. \tag{2.8}$$

Расчет статического режима транзистора для усиления малого сигнала можно выполнить графически. Сначала на выходных характеристиках (рис. 2.8.б) проводят нагрузочную линию для заданных $E_К, R_К$ и находят номинальный ток базы $I_Б^*$, при котором получается требуемое напряжение $U_{КЭ}$. Затем по входной характеристике (рис.2.8.а) для заданного $E_Б$ и $I_Б^*$ находят $R_Б$.

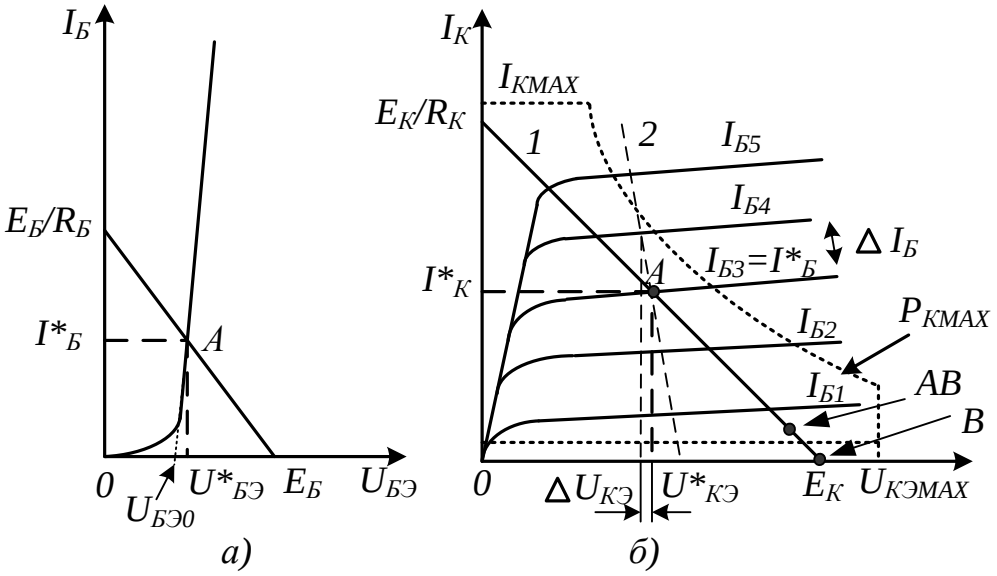

Рис.2.8. Графический расчет статического режима транзистора

Область рабочих режимов транзистора на рис.2.8.б отмечена пунктирными линиями и ограничивается максимальными допустимыми значениями тока коллектора $I_{КМАХ}$, напряжения $U_{КМАХ}$, мощности рассеяния $P_{КМАХ} \approx U_{КЭ}I_{КЭ}$ и нелинейными искажениями при малых значениях тока коллектора.

Для работы в линейном режиме на выходных характеристиках транзистора (рис.2.8.б) в режиме покоя выбирают рабочую точку А в центре нагрузочной линии нагрузки 1 цепи коллектора. В этой точке напряжение $U_{КЭ} \approx \dfrac{E_К}{2}$. В рабочей точке по выходным характеристикам находят ток коллектора $I^*_К$ и ток базы $I^*_Б$.

2.3. Эквивалентные схемы биполярных транзисторов

В линейном режиме усиления малого сигнала биполярный транзистор описывают системой уравнений четырехполюсника в Н- параметрах:

$$\begin{aligned} u_{БЭ} &= h_{11} \cdot i_Б + h_{12} \cdot u_{КЭ} \\ i_К &= h_{21} \cdot i_Б + h_{22} \cdot u_{КЭ} \end{aligned} \qquad (2.9)$$

где $h_{11} = \dfrac{\Delta u_{БЭ}}{\Delta i_Б}\Big|_{u_{КЭ}=const}$, $h_{12} = \dfrac{\Delta u_{БЭ}}{\Delta u_{КЭ}}\Big|_{i_Б=const}$,

$$h_{21} = \frac{\Delta i_К}{\Delta i_Б}\Big|_{u_{КЭ}=const}, \quad h_{22} = \frac{\Delta i_К}{\Delta u_{КЭ}}\Big|_{i_Б=const} \qquad (2.10)$$

Н – параметры биполярного транзистора можно рассчитать по вольт-амперным характеристикам и определить экспериментально. Их типовые значения находятся в пределах:

$$h_{11} = 10^3 - 10^4\,Ом, \quad h_{12} = 2\cdot 10^{-4} - 2\cdot 10^{-3},$$

$$h_{21} = 20 - 200, \quad h_{22} = 10^{-5} - 10^{-6}\,См.$$

Пренебрегая малым значением параметра h_{12}, получим схему замещения биполярного транзистора, включенного по схеме с ОЭ, в режиме малого сигнала (рис.2.9). В этой схеме $h_{11} = R_{вх}$, $1/h_{22} = R_{вых}$ - входное и выходное сопротивления; $h_{21}\cdot i_Б$- источник тока, управляемый током базы $i_Б$. Таким образом, биполярный транзистор представляет собой источник тока, управляемый током.

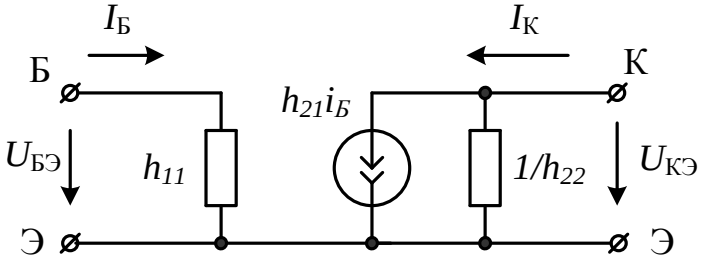

Рис. 2.9. Схема замещения биполярного транзистора на постоянном токе и низких частотах

Эта схема замещения используется на постоянном токе и низких частотах, когда инерционность транзистора можно не учитывать. В более общем случае *h*- параметры транзистора являются комплексными величинами, в схему замещения добавляются емкости между базой и коллектором $C_К$ и базой и эмиттером $C_Э$.

На высоких частотах применяют более точные модели транзисторов. Наиболее распростаненными являются модели, основанные на схеме замещения Джиаколетто (рис.2.10), в которой сопротивление $r_б$ - распределенное сопротивление базы, $g_э$ и $C_э$ - отражают полную проводимость эмиттерного перехода, $g_к$ и $C_к$ - учитывают влияние коллекторного перехода, проводимость $g_{кэ}$ учитывает связь между эмиттером и коллектором. Усилительные свойства транзистора учтены крутизной *S*.

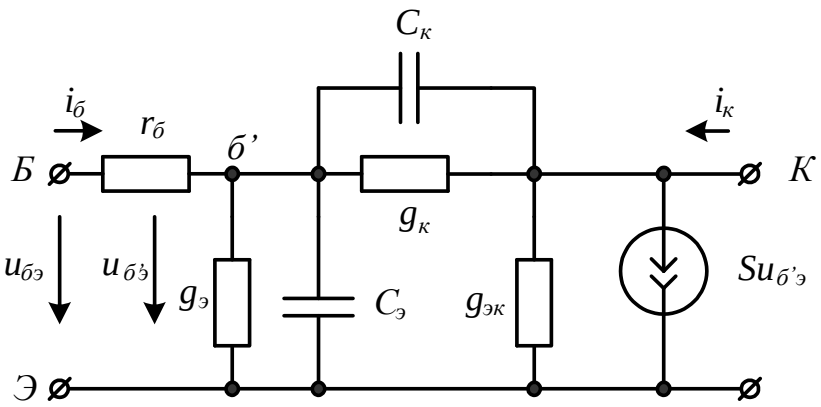

Рис.2.10. Схема замещения транзистора на высокой частоте

Наиболее точно и всесторонне отражают свойства транзистора Spice-модели, которые применяются, в частности, в программе моделирования TINA. На рис.2.11 показана схема Spice-модели транзистора BC140. В программе эту схему сопровождают более 25 уравнений, которые связывают работу модели с внешними напряжениями и токами, температурой окружающей среды и т.п.

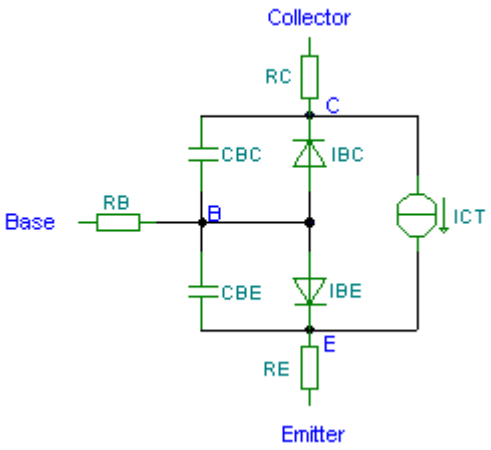

Рис.2.11. Spice-модель биполярного транзистора BC140

Линейный режим работы усилителя для малого сигнала называют режимом класса А. Этот режим энергетически невыгоден для мощных усилителей, так как велика постоянная составляющая сигнала.

Для больших сигналов применяют двухтактные усилители, работающие в классе В (рис.2.8) с отсечкой полуволны сигнала или в классе АВ с небольшим базовым током для снижения нелинейных искажений малых амплитуд сигналов.

2.4. Расчет усилителя на биполярном транзисторе

Типовая схема простейшего усилительного транзисторного каскада показана на рис.2.12. Исходные данные: транзистор BC140, $R_{Б1}=R_{Б2}=100$кОм, $R_К=400$ Ом, $R_Э=100$ Ом, $R_Н=2$ кОм, $E_К=10$ В.

Для стабилизации рабочей точки в линейных усилительных каскадах обычно применяют схему с общим эмиттером и отрицательной обратной связью по току.

Резистор $R_Э$ создает отрицательную обратную связь по постоянному току и служит для стабилизации режима транзистора.

Емкость $C_Э$ называется блокировочной, устраняет отрицательную обратную связь по переменной составляющей и увеличивает усиление.

Входной переменный сигнал $e_c(t)$ через разделительную емкость C_1 поступает на базу транзистора и усиливается.

Усиленный выходной сигнал $u_{вых}(t)$ с резистора $R_К$ через разделительную емкость C_2 поступает на нагрузку $R_н$, которой может быть следующий усилительный каскад.

Если напряжение входного сигнала $u_{вх}$ невелико, то работу усилительного транзисторного каскада можно представить в виде наложения режима покоя с постоянным источником ЭДС $E_К$ и с постоянными составляющими тока базы $I^*_Б$, тока коллектора $I^*_К$ и тока эмиттера $I^*_Э$, соответствующими точке А на рабочей характеристике, и режима малого сигнала с переменными составляющими $i_Б$, $i_К$,$u_{вх}$, $u_{вых}$. Резисторы $R_{б1}$, $R_{б2}$ задают фиксированное напряжение на базе, которое определяет номинальный ток базы $I^*_Б$. Есть схемы, в которых отсутствует $R_{б2}$ и тогда $R_{б1}$ фиксирует ток базы $I^*_Б$.

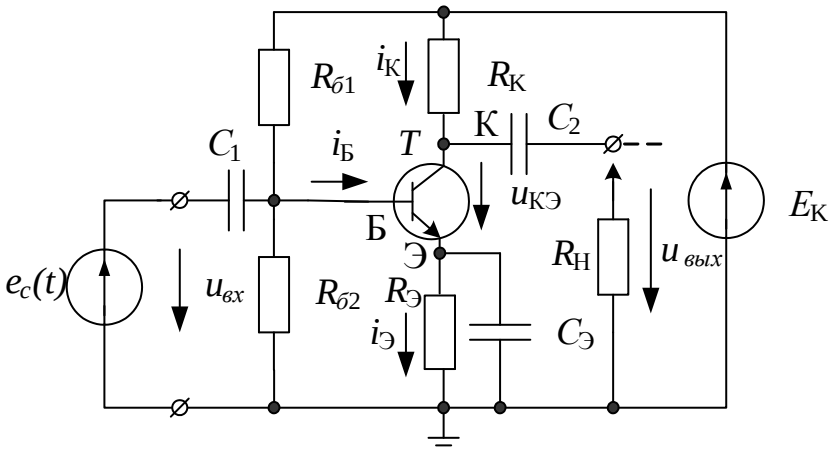

Рис.2.12. Схема усилительного транзисторного каскада с общим эмиттером

Расчет режима покоя

1. Строим эквивалентную схему входной цепи (рис.2.13).

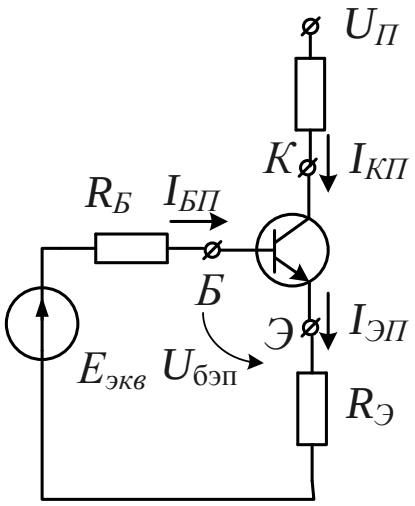

Рис.2.13. Эквивалентная схема входной цепи

$$E_{ЭКВ} = \frac{U_п \cdot R_{б2}}{R_{б1} + R_{б2}}, \; R_Б = \frac{R_{б1} \cdot R_{б2}}{R_{б1} + R_{б2}}.$$

Получим: $E_{экв}$=5В, $R_Б$=50 кОм

Для входной цепи по второму закону Кирхгофа:

$$E_{ЭКВ} = I_{БП} R_Б + U_{БЭ} + I_{ЭП} R_Э.$$

Но:

$$I_{ЭП} = I_{БП} + I_{КП} = I_{БП} + h_{21Э} I_{БП}.$$

В этом уравнении $h_{21Э}$ измерен в схеме с общим эмиттером.

Получим уравнение нагрузочной прямой для входной характеристики:

$$E_{ЭКВ} = I_{БП} R_Б + U_{БЭ} + (1 + h_{21Э}) I_{БП} R_Э$$

Нагрузочная прямая входной цепи пересекает оси координат в точках: $U_{xx} = E_{ЭКВ} = 5B$ и $I_{КЗ} = \dfrac{E_{ЭКВ}}{(R_Б + (1 + h_{21э}) R_Э)} = \dfrac{E_{ЭКВ}}{R_{вх}}$.

3. Определяем h21.

В заданной схеме $R_К$=400 Ом, $R_Э$=100 Ом, $E_К$=10 В. Чтобы напряжение $U_{КЭ}=E_К/2 \approx 5$В, ток коллектора должен составлять 10 мА. Повторим измерение выходных характеристик по схеме рис.2.5 для токов базы от 20мкА до 200мкА (рис.2.14). Размещаем два курсора на характеристиках, близких к коллекторному току 10мА и находим, что приращение тока базы на 20 мкА приводит к приращению тока коллектора на 2,73мА. Следовательно:

$$h_{21э} = \frac{\Delta I_К}{\Delta I_Б} = \frac{2{,}73\,мА}{20\,мкА} = 136 = \beta;$$

$$I_{КЗ} = \frac{E_{ЭКВ}}{R_{вх}} = \frac{5}{(50 \cdot 10^3 + (1 + 136) 100)} = \frac{5}{63600} = 79 мкА;$$

$$R_{вх} = 63600\,Ом.$$

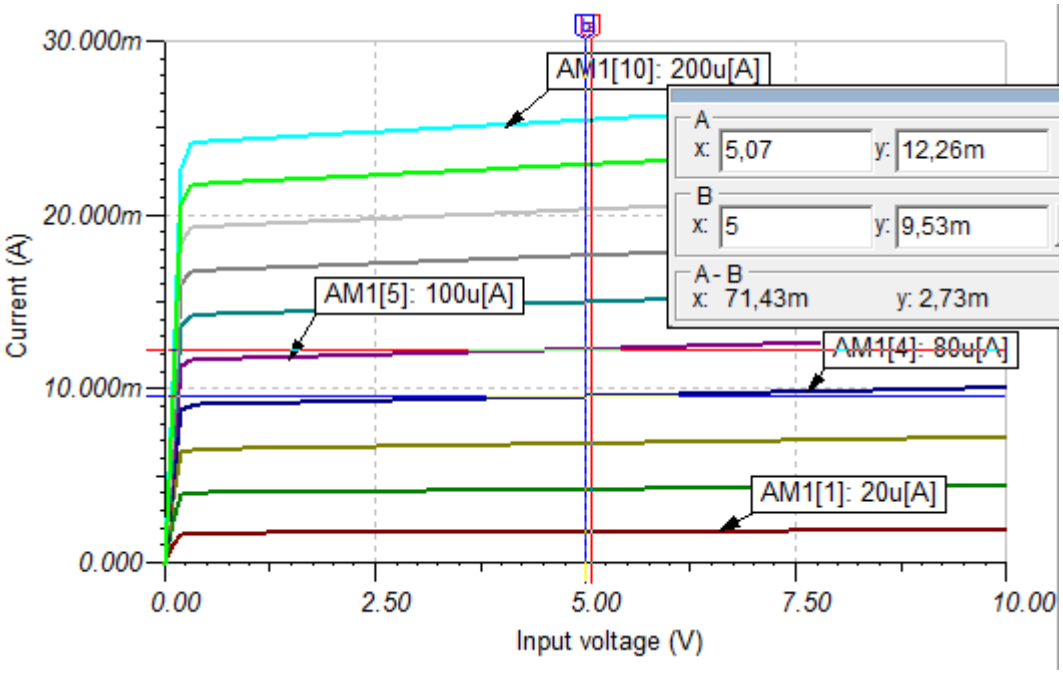

Рис.2.14. Определение $h_{21Э}$

4. На входной ВАХ находим рабочую точку (рис.2.15). Для этого определяем сначала $I_{БКЗ}$=15,8 мкА для $U_{БЭ}$=1В, а затем строим параллельную нагрузочную прямую для $I_{БКЗ}$=79мкА. В рабочей точке входной цепи находим:

$$U_{БЭП} = 485мВ, I_{БП} = 72мкА.$$

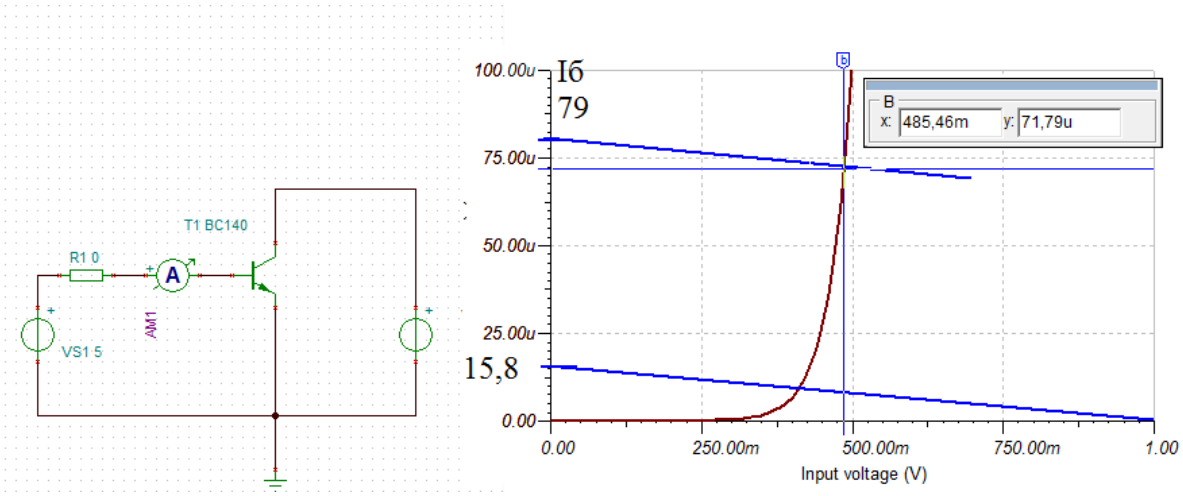

Рис.2.15. Графическое определение рабочей точки входной цепи

5. Расчет выходной цепи.

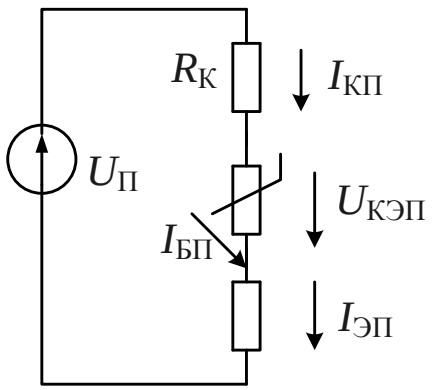

Рис.2.16. Эквивалентная схема выходной цепи

Эквивалентная схема выходной цепи показана на рис.2.16.

По второму закону Кирхгофа:

$$U_П = I_{КП}R_К + U_{КЭП} + I_{ЭП}R_Э.$$

Уравнение нагрузочной прямой:

$$U_{КЭП} = U_П - I_{КП}R_К - (I_{КП} + \frac{I_{КП}}{h_{21э}})R_Э \approx$$

$$\approx U_П - I_{КП}(R_К + R_Э).$$

Точки пересечения нагрузочной прямой с осями:

$$U_{XX} = U_П = 10В,\ I_{КЗ} = \frac{U_П}{R_К + R_Э} = \frac{10}{500} = 20\,мА\ .$$

6. Моделируем выходную ВАХ для тока базы 72мкА (рис.2.17). Построим нагрузочную прямую и получим рабочую точку В выходной цепи: Uкэ=5,79В, Iкп=8,51мА

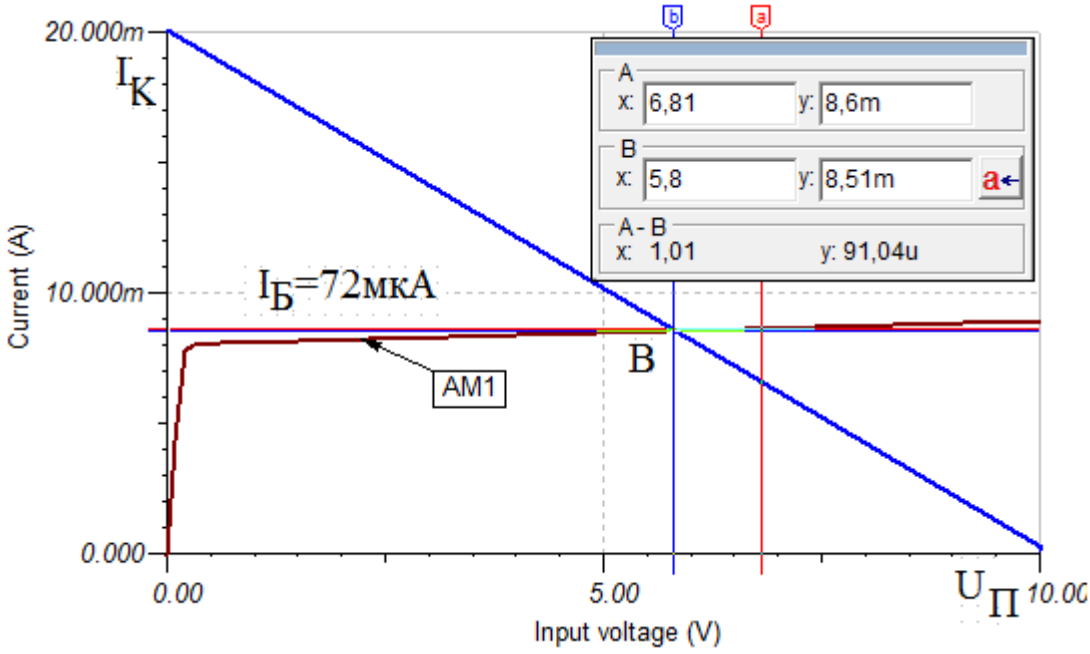

Рис.2.17. Графический расчет рабочей точки коллекторной цепи

По выходной характеристике определим выходную проводимость транзистора:

$$h_{22} = \frac{\Delta I_K}{\Delta U_K}\Big|_{I_Б = const} = \frac{91{,}04 мкА}{1{,}01 В} = 90{,}13 \cdot 10^{-6} См.$$

Выходное сопротивление транзистора:

$$R_{вых} = \frac{1}{h_{22}} = \frac{10^6}{90{,}13} = 11{,}095 кОм$$

7. Проводим моделирование схемы усилителя и проверку результатов. Схема моделирования (рис.2.18) с разомкнутыми ключами SW1, SW2, SW3 соответствует режиму покоя. Анализ на постоянном токе показывает, что ток коллектора $I_К$=8,62мА, напряжение $U_{КЭ}$=5,68В.

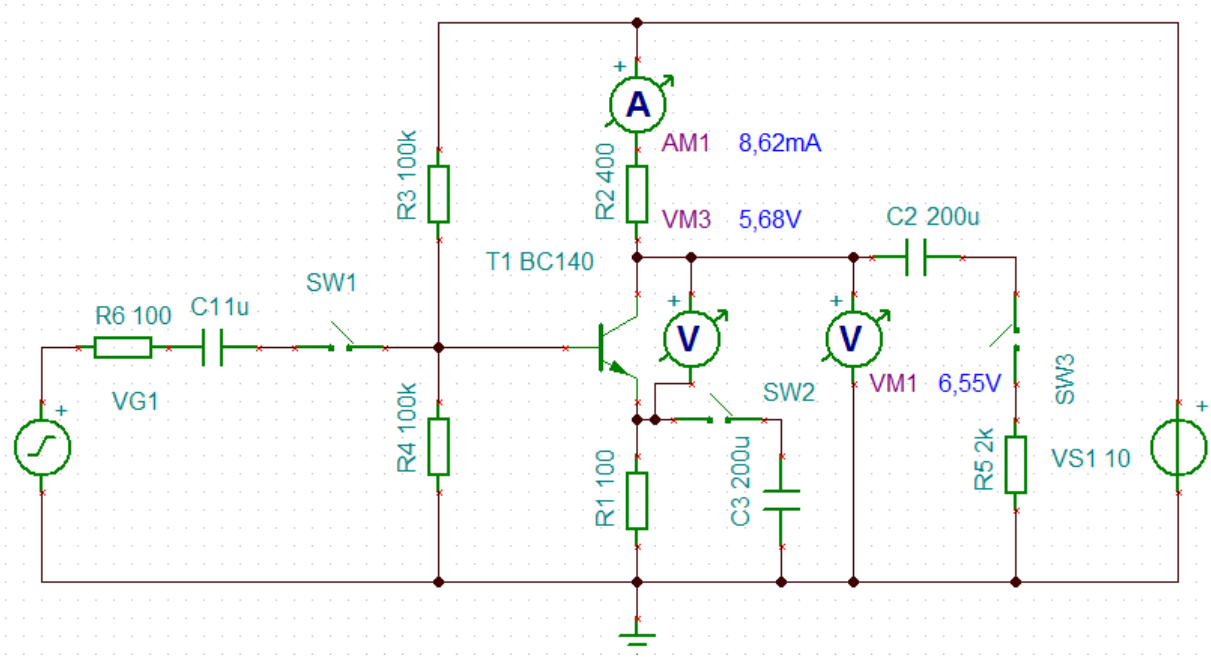

Рис.2.18. Схема моделирования усилителя

Подберем резистор R3 в цепи смещения так, чтобы $U_{КЭ}$ более точно равнялось 5В. Для этого выполним: Analysis-DC Analysis-DC Transfer Characteristic. Входной переменной сделаем R3 и будем менять его от 50 кОм до 200 кОм. Получим график напряжения на вольтметре VM3, который измеряет $U_{КЭ}$.. По графику определяем, что напряжение $U_{КЭ}$=5,03В, если R3=87кОм (рис.2.19).

Расчет амплитуд переменных составляющих

Задан переменный входной сигнал $u(t) = E_m \sin 2\pi ft$, $E_m = 50 мВ$, $f = 1 кГц$. Замкнем ключ SW1. Остальные ключи оставим разомкнутыми. Ко входу транзисторного усилителя мы подключили генератор, в котором надо установить синусоидальный сигнал с заданной амплитудой и частотой.

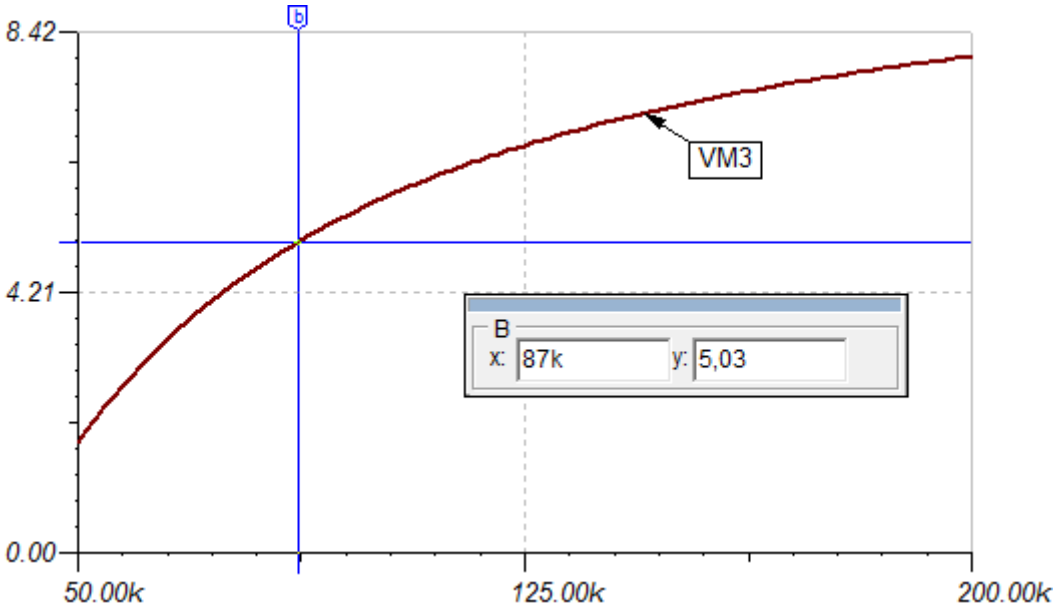

Рис.2.19. Подбор резистора в цепи базы

Внутреннее сопротивление генератора смоделируем резистором R6=100 Ом. На рис.2.20 показана эквивалентная схема входной цепи для малой переменной составляющей.

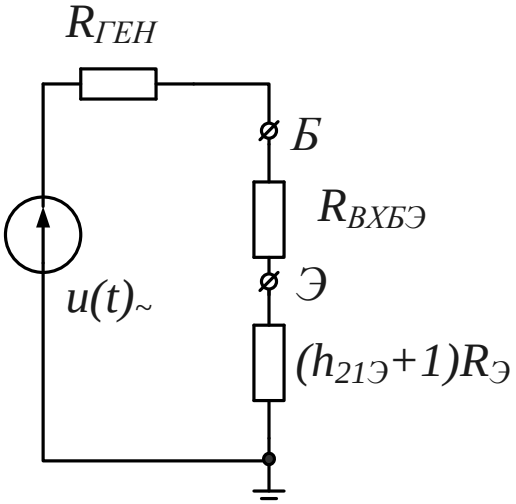

Рис.2.20. Входная цепь для переменной составляющей

1. По входной ВАХ (рис.2.15) вблизи рабочей точки найдем:

$$R_{ВХБЭ} = h_{11} = \frac{\Delta U_{БЭ}}{\Delta I_{БЭ}} =$$

$$= \frac{(492-483)10^{-3}}{(85-68)10^{-6}} = 529\,Ом.$$

Эквивалентное сопротивления смещения $R_Б = 50\,кОм$ включено параллельно сопротилению $R_{ВХБЭ}$ и его можно не учитывать.

2. Полное сопротивление входной цепи:

$$R_{Б\Sigma} = R_{ГЕН} + R_{ВХБЭ} + (h_{21Э}+1)R_Э =$$
$$= 100 + 529 + (130+1)100 = 13729\,Ом.$$

Причем сопротивление $(h_{21Э}+1)R_Э = 13100 Ом$ является сопротивлением отрицательной обратной связи, снижающей усиление каскада. Действие отрицательной обратной связи проявляется в том, что приращение напряжения на базе вызывает увеличение тока эмиттера и, соответственно, приращение напряжения на эмиттере транзистора. В результате управляющее током коллектора, напряжение база-эмиттер снижается и усиление падает.

3. Амплитуда тока базы: $I_{Бm} = \dfrac{E_m}{R_{Б\Sigma}} = \dfrac{50\cdot 10^{-3}}{13729} = 3{,}64\,мкА$.

4. Амплитуда тока коллектора:

$$I_{Кm} = I_{Бm} h_{21Э} = 3{,}64\cdot 10^{-6}\cdot 130 = 473\,мкА.$$

5. Амплитуда напряжения на нагрузке:

$$U_{Кm} = I_{Кm} R_К = 473\cdot 10^{-6}\cdot 400 = 189280\cdot 10^{-6} = 189\,мВ.$$

6. Мгновенное значение напряжения на коллекторном сопротивлении:

$$u_{R_К}(t) = i_К(t) R_К = (8{,}6 + 0{,}473 \sin 2\pi ft)\cdot 10^{-3} 400 =$$
$$= 3{,}44 + 0{,}189 \sin 2\pi ft \text{ В.}$$

7. Напряжение на коллекторе относительно общей точки:

$$u_К(t) = E_К - u_{R_К}(t) = 6{,}56 - 0{,}189 \sin 2\pi ft \text{ В.}$$

Моделирование в режиме Analysis-Transient показывает, что амплитуда переменной составляющей напряжения на коллекторе $U_{Кm} = \dfrac{375\,мВ}{2} = 187{,}5\,мВ$ и совпадает с расчетом (рис.2.21). Постоянная составляющая 6,55 В.

В схеме с отрицательной обратной связью на сопротивлении в эмиттере (без блокировочной емкости) усиление переменной составляющей по напряжению $K_U = \dfrac{U_{Кm}}{E_m} = \dfrac{187{,}5\,мВ}{50\,мВ} = 3{,}75$.

Усиление в децибеллах составит:

$$K_{U(дб)} = 20\lg \frac{U_{вых}}{U_{вх}} = 20\lg 3{,}75 = 11{,}48\,дб.$$

Влияние блокировочной емкости в цепи эмиттера

Блокировочная емкость в цепи эмиттера должна для полезного переменного сигнала устранять отрицательную обратную связь по току, вы-

званную сопротивлением $R_Э$. Для этого на нижней частоте полезного сигнала f_H должно быть:

$$X_{CЭ} = \frac{1}{2\pi f_H C_Э} \le \frac{R_Э}{5 \sim 10} = \frac{100}{10} = 10\,Ом.$$

Для $f_H = 100\,Гц$ получим: $C_Э > \dfrac{1}{2\pi \cdot 100 \cdot 10} = 159\,мкФ$.

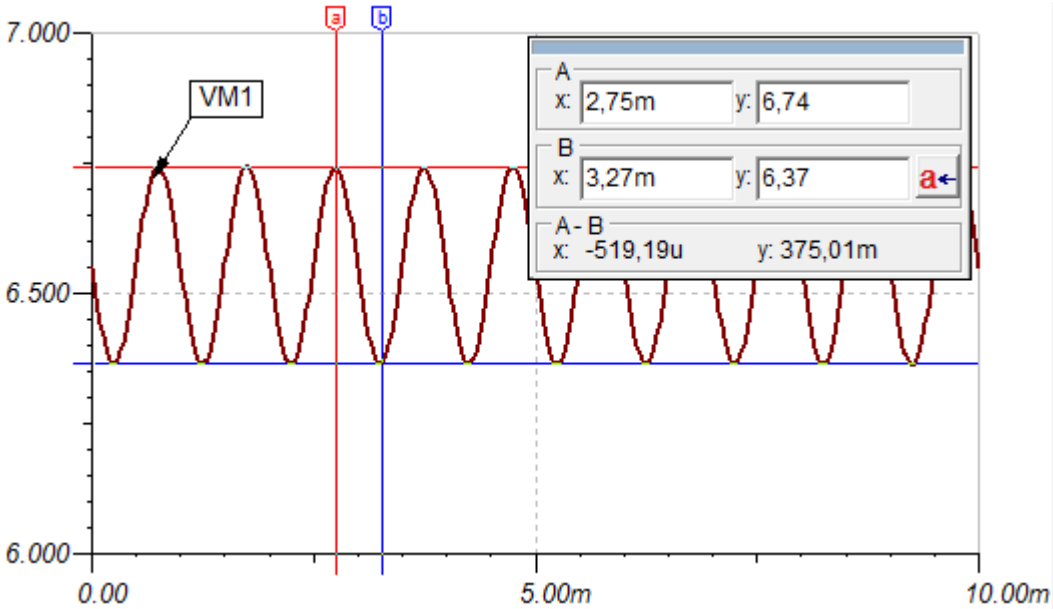

Рис.2.21. Диаграмма напряжения на коллекторе

Проведем моделирование для построения амплитудно-частотных характеристик усилителя. В схеме рис.2.18 замкнем ключ SW2, удалим вольтметр VM3. Емкость C3 сделаем управляемым объектом и будем изменять от 50 мкФ до 200 мкФ. Выполним Analysis-AC Analysis-AC Transfer Characteristic в диапозоне от 10Гц до 100МГц. Графики АЧХ показаны на рис.2.22.

Моделирование показывает, что для $C_Э$=200мкФ на частоте сигнала 100Гц усиление составляет 25,7дб, а на частотах от 1,5 кГц 130кГц усиление практически постоянно и равно 38дб.

Полосой пропускания усиилтеля считают область частот, в которой усиление уменьшается не более, чем на 3дб от максимального. По этому критерию для нашего усилителя полоса пропускания составляет от 390Гц до 447кГц. Спад усиления на частотах более 1МГц обусловлен частотными свойствами транзистора.

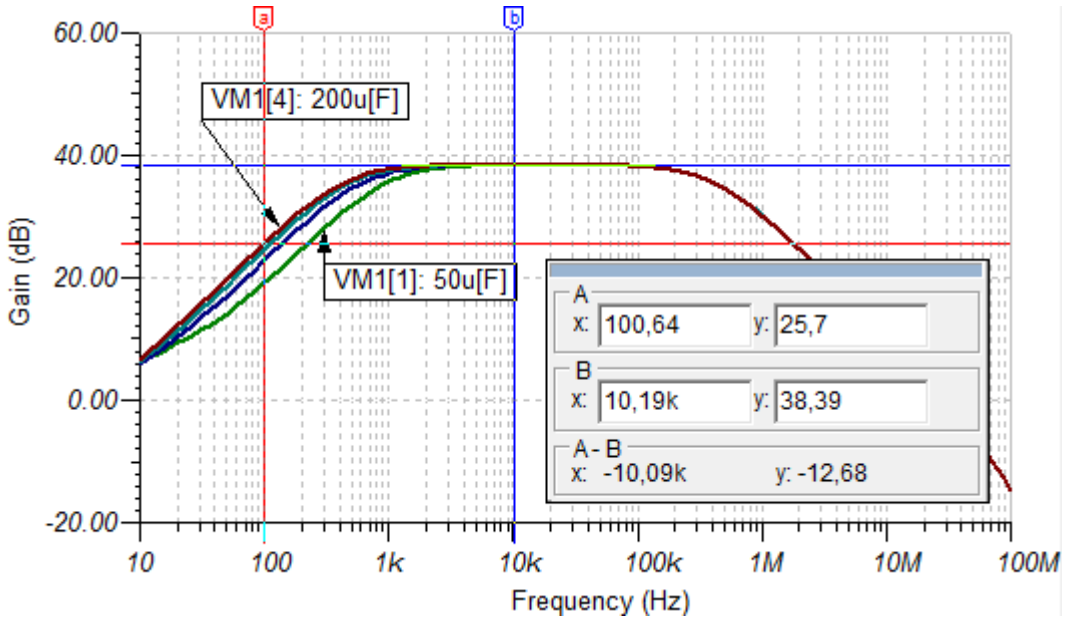

Рис.2.22. Графики АЧХ усилителя для разных значений $C_Э$

Влияние нагрузки на свойства усилителя

В схеме рис.2.18 ключом SW3 поключим резистор R5, который имитирует входное сопротивление следующего каскада или непосредственно нагрузку. Емкость C_2 назыают разделительной, через нее проходит только переменная составляющая сигнала. Повторное измерение АЧХ покажет, что максимальное усиление при включенной нагрузке составит 36,8 дб.

Выполним для частоты сигнала 10кГц и ампилитуды 50мВ Analysis-Transient и получим диаграммы выходного сигнала (рис.2.23).

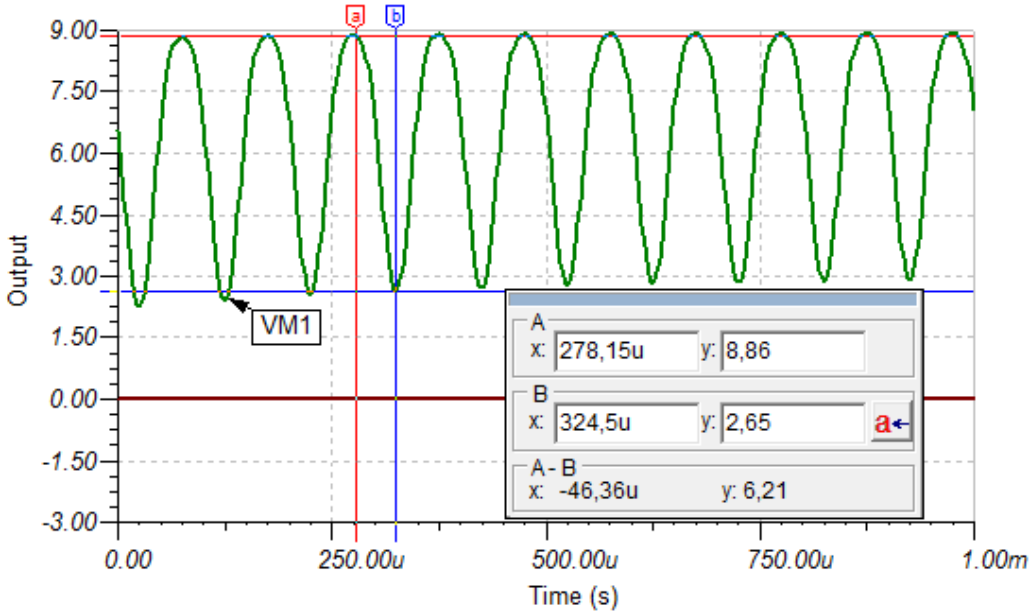

Рис.2.23. Диаграммы выходного сигнала при включенной нагрузке

Размах сигнала (двойная амплитуда, peak-to-peak) равен 6,21. Коэффициент усиления по напряжению:

$$K_U = \frac{U_{Km}}{E_m} = \frac{3{,}105B}{50\,мВ} = 62,$$

$$\text{или } K_{U(дб)} = 20\lg\frac{U_{вых}}{U_{вх}} = 20\lg 62 = 35{,}84дб.$$

Нагрузочная прямая для переменного сигнала

На рис.2.17 мы построили нагрузочную прямую для режима покоя на постоянном токе. В режиме покоя мы не учитываем сопротивление нагрузки $R_н$, так как оно отделено от сопротивления коллектора $R_К$ разделительной емкостью C_2 (рис.2.12). Кроме того, в режиме покоя мы учитываем сопротивление в эмиттере $R_Э$.

При графическом расчете усилителя на малом переменном сигнале сопротивление $R_Э$ будет закорочено блокировочной емкостью $C_Э$, а $R_К$ и $R_н$ будут включены параллельно и эквивалентное сопротивление нагрузки для наших параметров составит:

$$R_{н\,экв} = \frac{R_K R_н}{R_K + R_н} = \frac{400 \cdot 2000}{2400} = 333{,}3Ом.$$

Поэтому дополнительно строят нагрузочную линию для переменного сигнала (AC Load Line). Нагрузочная линия для переменного сигнала показана на рис.2.24.

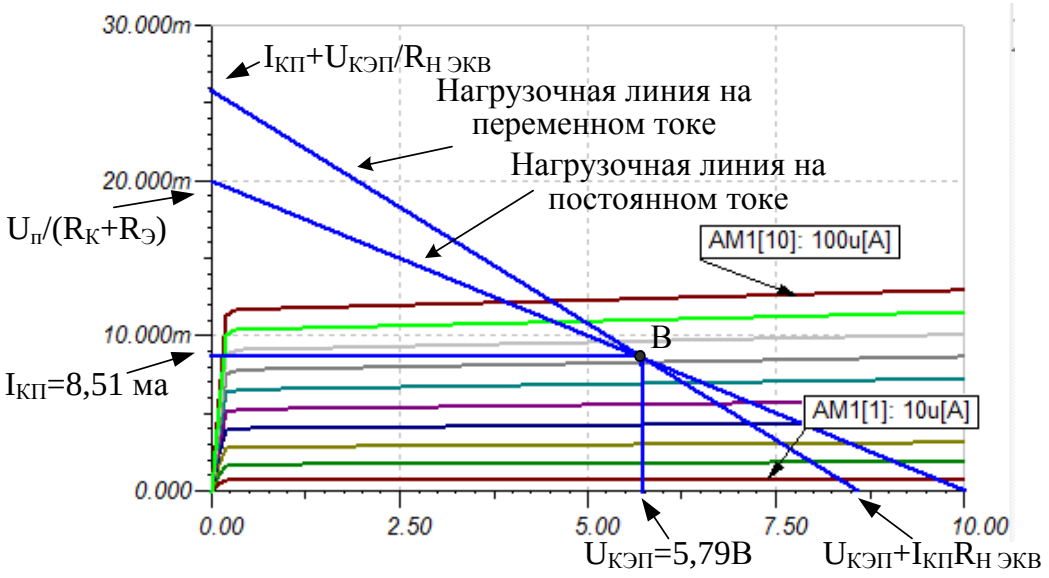

Рис.2.24. Нагрузочные линии на переменном токе и постоянном токе

На оси коллекторного тока нагрузочная линия переменного тока имеет ординату $I_{КП} + \dfrac{U_{КЭП}}{R_{н\,экв}}$. На оси напряжения абсцисса равна $U_{КЭП} + I_{КП} R_{н\,экв}$.

На рис.2.25 по нагрузочной линии переменного тока показано, как изменение переменного тока базы в пределах от 55мкА до 90 мкА вызывает изменение переменного напряжения на коллекторе в пределах от 5В до 6,5В.

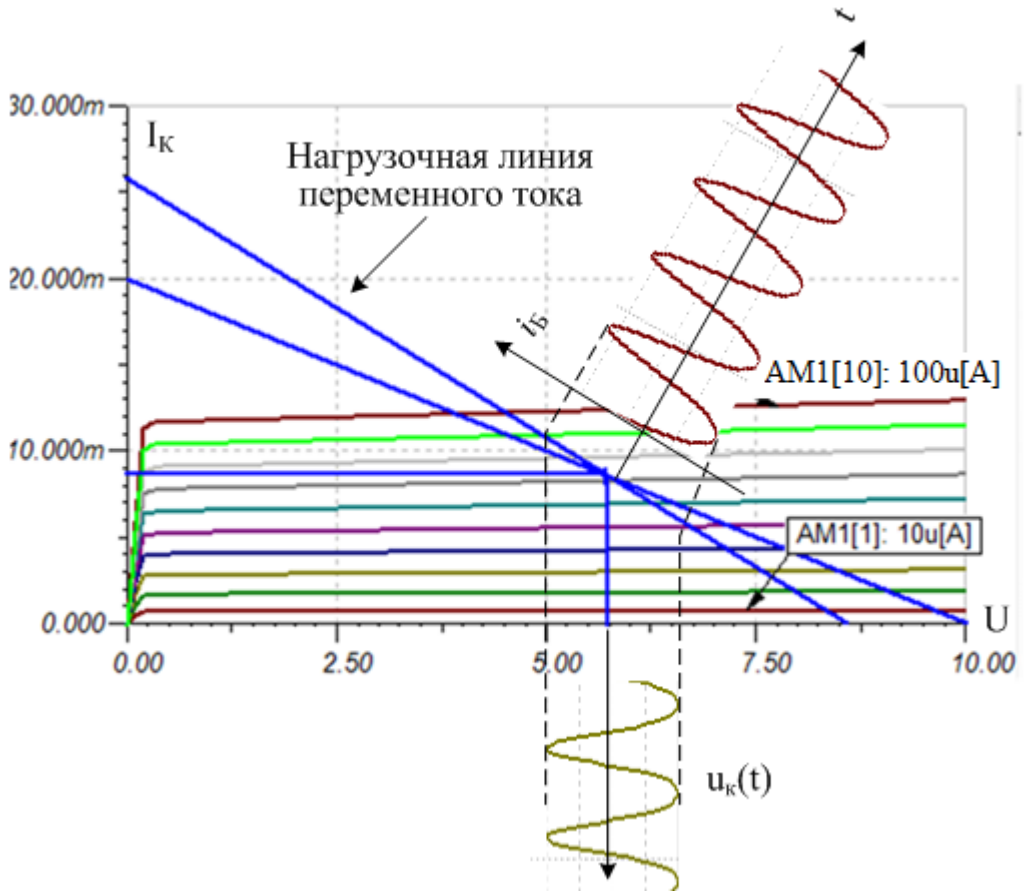

Рис.2.25. Усиление переменного тока базы

Пример 2.1. Расчет стабилизации усиления по току

Схема усилителя (рис.2.12) обеспечивает стабилизацию коэффициента передачи тока β и усиления каскада. Для этого надо правильно рассчитать значения четырех сопротивлений $R_{Б1}$, $R_{Б2}$, $R_К$, $R_Э$.

Будем считать, что по паспортным данным транзистора BC140 для режима усиления малого сигнала номинальный ток коллектора $I_К$=10 мА, напряжение коллектор-эмиттер $U_{КЭ}$=8В. Напряжение питания $E_К$=20В. По паспортным данным транзистора в номинальном режиме коэффициент передачи тока β=80.

1. Рекомендуется выбирать $U_{ЭП} = \frac{E_К}{10} = 2В$.

2. Расчет сопротивления в эмиттере:

$$R_Э = \frac{U_{ЭП}}{I_{ЭП}} \approx \frac{U_{ЭП}}{I_{КП}} = \frac{2В}{10мА} = 200Ом.$$

3.Расчет сопротивления в коллекторе:

$$R_К = \frac{U_{R_К}}{I_{КП}} = \frac{E_К - U_{КЭП} - U_{ЭП}}{I_{КП}} = \frac{20-8-2}{10мА} = 1кОм$$

4. Напряжение на базе:

$U_{БП} = U_{БЭ} + U_{ЭП} = 0,7 + 2 = 2,7В$.

5. Для правильной работы делителя напряжения в цепи базы надо, чтобы токи через резисторы RБ1 и RБ2 были примерно равны и превышали ток базы не менее, чем в 10 раз. Для этого надо выполнить два условия:

$$R_{Б2} < \frac{1}{10}\beta R_Э \text{ и}$$

$$U_{БП} = \frac{E_K R_{Б2}}{R_{Б1} + R_{Б2}}.$$

Из первого условия получим: $R_{Б2} < \frac{1}{10} 80 \cdot 200 = 1,6кОм$.

Следовательно: $U_{БП} = 2,7В = \frac{1,6кОм \cdot 20В}{R_{Б1} + 1,6кОм}$.

Отсюда вычисляем: $R_{Б1} = 10,25кОм \approx 10кОм$.

2.5. Схема с общей базой

Чтобы полностью описать работу транзисторного устройства требуется сначала получить два набора характеристик: входные характеристики и выходные характеристики.

Для схемы с общей базой *входными характеристиками* будут зависимости тока эмиттера $I_Э$ от напряжения эмиттер-база $U_{БЭ}$ при различных значениях напряжения коллектор- база $U_{КБ}$.

Как и в случае с полупроводниковыми диодами, характеристики мы будем получать в программе TINA. На рис.2.26 показана схема эксперимента и результаты моделирования. Источник напряжения $U_{КБ}$ установлен управляемым объектом и принимает значения 5В, 10В, 15В. В режиме Analusis – DC Analysis- DC Transfer Characteristic входное напряжение $U_{БЭ}$ изменяем от 0 до 1В. Входные характеристики на начальном участке поднимаются плотным пучком. Причем при меньших напряжениях на коллекторе характеристика нарастает более круто.

Выходными характеристиками схемы с общей базой называют зависимости тока коллектрора от тока эмиттера. Измерение выходных характеристик в схеме ОБ покзано на рис.2.27, а сами выходные характеристики показаны на рис.2.28.

На выходных характеристиках есть три области: активный режим, режим насыщения и режим отключения транзистора.

В активном режиме переход коллектор-база находится в закрытом состоянии, в переход база-эмиттер в открытом. В нижней части активной области эмиттерный ток равен нулю, переход коллектор-база закрыт, ток коллектора равен обратному току насыщения p-n перехода и не превышает нескольких микроампер. Надо помнить, что повышение температуры увеличивает обратный ток и это может быть негативным фактором в прецизионных устройствах.

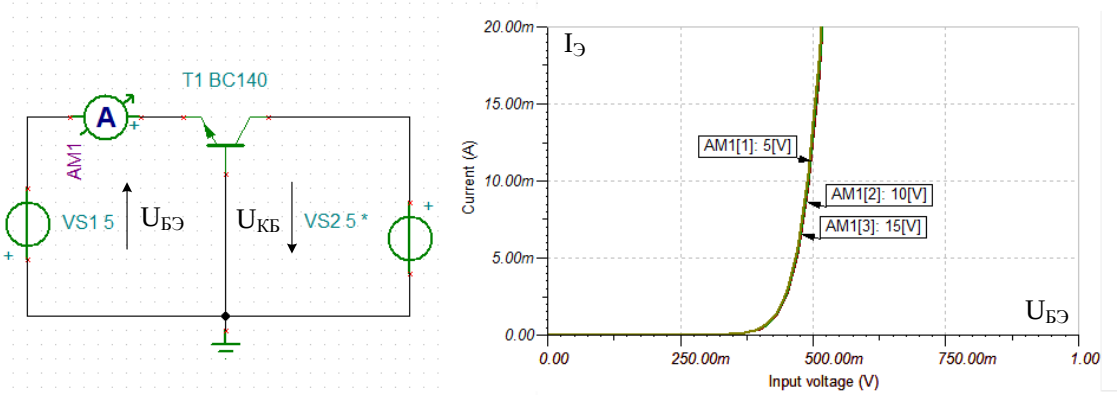

Рис.2.26. Входные характеристики схемы ОБ

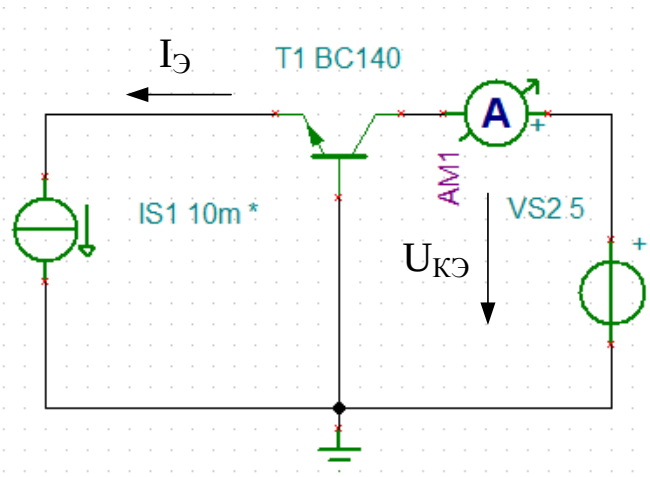

Рис.2.27. Измерение выходных характеристик в схеме ОБ

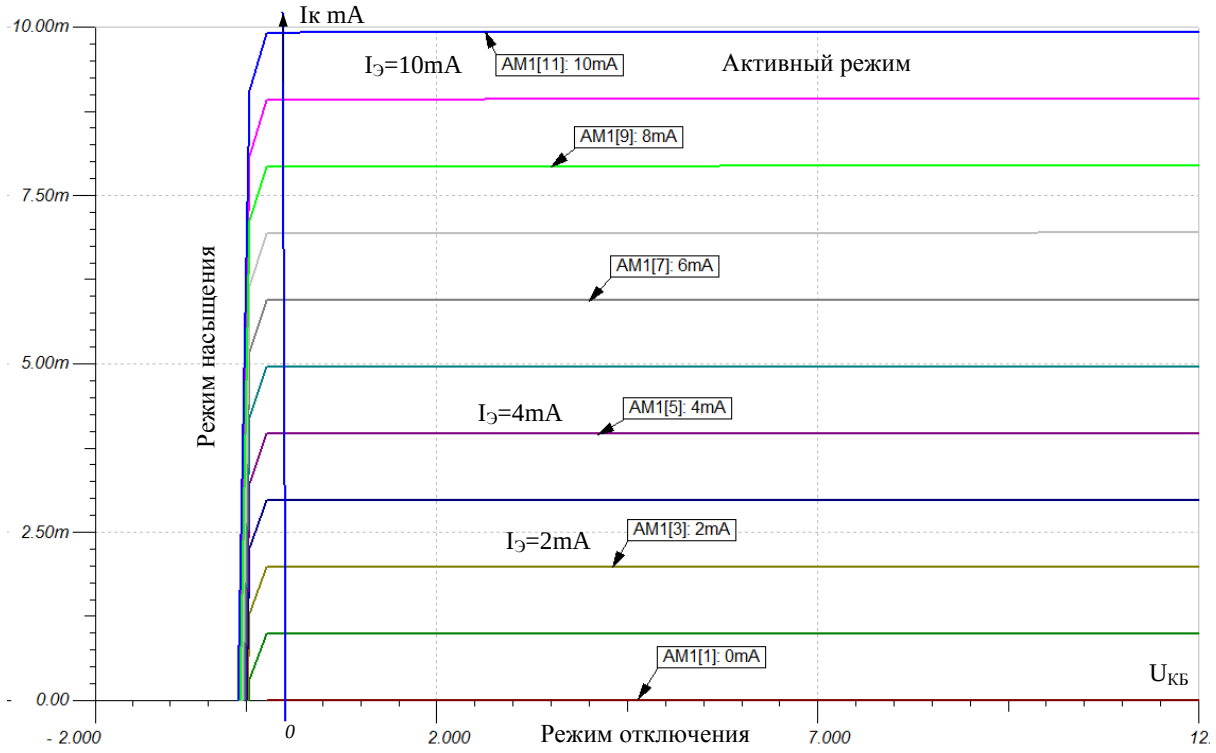

Рис.2.28. Выходные характеристики схемы ОБ

Когда ток эмиттера становится больше нуля, появляется ток коллектора, причем выходные характеристики показывают, что в первом приближении ток коллектора равен току эмиттера:

$$I_K \cong I_Э. \qquad (2.11)$$

Поэтому схему с общей базой называют *повторителем тока*.

В режиме отключения два перехода коллектор-база и база-эмиттер находятся в закрытом состоянии.

Область насыщения – это область участка характеристик, где напряжение $U_{КБ}$<0. На этом участке происходит экспоненциальное увеличение тока коллектора при увеличении $U_{КБ}$ в направлении нуля. В режиме насыщения переходы коллектор -база и база-эмиттер открыты. Увеличение тока коллектора напоминает характеристики открытого диода и напряжение коллектор мало влияет на ход этих характеристик. Приближенно можно считать, что, если транзистор открыт, то напряжение $U_{БЭ} \approx 0,7B$.

Важно отметить, что в активном режиме в первом приближении можно считать, что напряжение $U_{БЭ} \approx 0,7B$. Это полезно помнить при расчетах схем.

На переменном токе в схеме ОБ, когда рабочая точка движется по характеристикам, коэффициент передачи тока

$$\alpha_{\sim} = \frac{\Delta I_К}{\Delta I_Э}\Big|_{U_{КБ}=const} \qquad (2.12)$$

определяется при постоянном напряжении $U_{КБ}$.

Пример 2.1

В схеме усилителя с общей базой (рис.2.29) источник напряжения смещения эмиттера VS1=4В. Источник напряжения на коллекторе VS2=12 В. Коэффициент передачи тока $\alpha = 0,95$.

Требуется:

1. Рассчитать сопротивление R1 в цепи эмиттера, чтобы ток эмиттера составлял $I_Э$=3 мА.

2. Рассчитать сопротивление в цепи коллектора, чтобы напряжение коллектор-эмиттер составляло 6В.

3. Моделированием определить усиление схемы с общей базой по переменному току на частоте 1кГц. Амплитуда входного сигнала 10 мВ.

Решение

1. На открытом переходе база-эмиттер падает напряжение 0,7В. Внутреннее сопротивление источника напряжения и генератора считаем равным нулю. При этом:

$$R_Э = \frac{VS1 - 0,7}{3 \cdot 10^{-3}} = \frac{4 - 0,7}{3 \cdot 10^{-3}} = 1,1 кОм.$$

2. В схеме рис.2.29 $U_{КБ}=U_{КЭ}-U_{БЭ}$=6-0,7=5,3В.

Ток коллектора $I_К = \alpha I_Э = 0,99 \cdot 3 \cdot 10^{-3} = 2,97 мА$.

Сопротивление резистора в цепи коллектора:

$$R_2 = \frac{VS2 - U_{КБ}}{I_К} = \frac{12 - 5{,}3}{2{,}97 \cdot 10^{-3}} = 2{,}25 кОм.$$

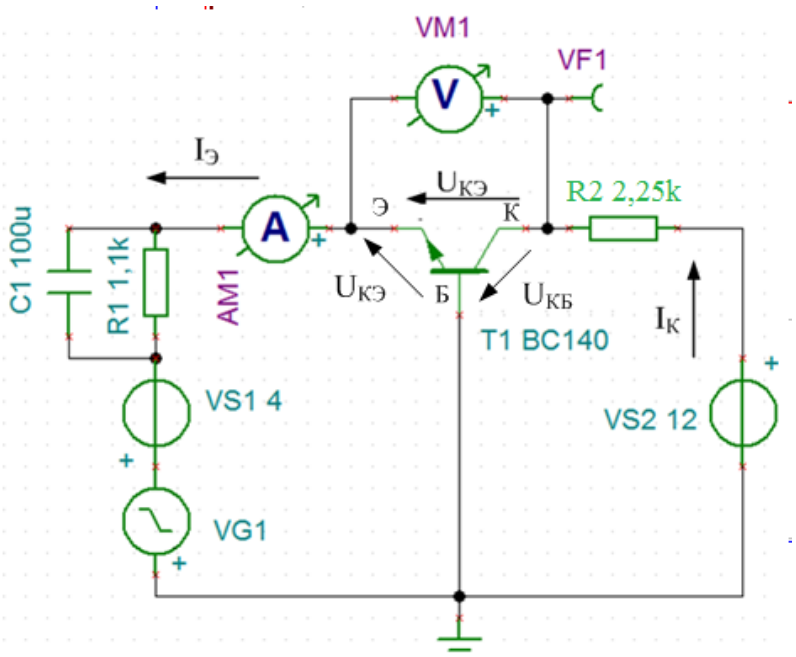

Рис.2.29. Схема усилителя с общей базой

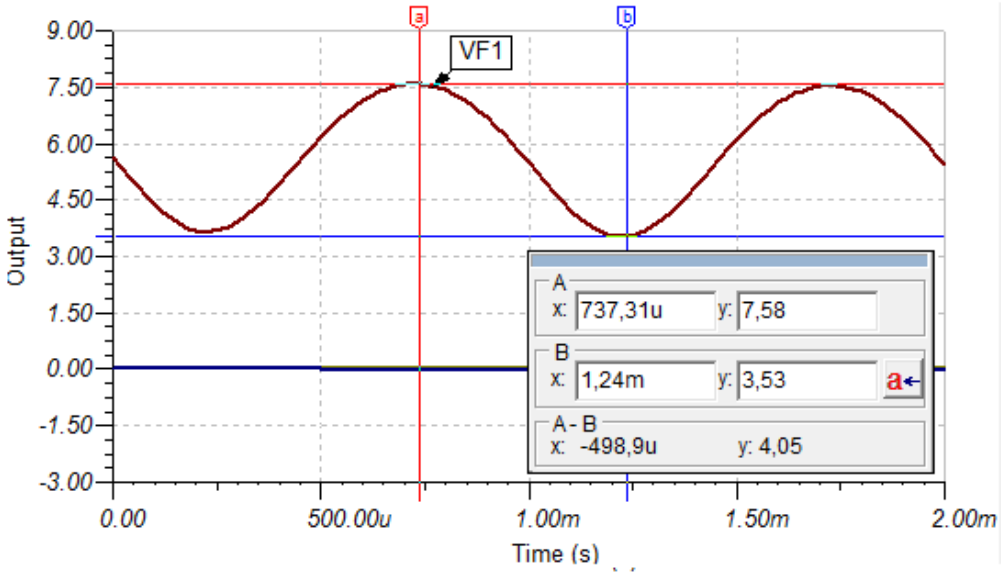

Рис.2.30. Диаграммы выходного сигнала

3. Для оценки усиления установим в генераторе синусоидальный сигнал с амплитудой 10мВ и частотой 1 кГц. На этой частоте реактивное сопротивление емкости $X_{C1} \approx 1{,}59 Ом$. Преобразуем параллельное соединение емкости C_1 и резистора R_1 в эквивалентное последовательное сопротивление источника сигнала. Получим:

$$R_{ист.посл} = \frac{X_C^2}{R_1} = 2,29 \cdot 10^{-3} Ом,\ X_{Сист.посл} \approx X_C = 1,59 Ом.$$

Выполним *Analysis-Transient* и по диаграмме установим, что амплитуда выходного сигнала равна 2В (рис.2.30). Следовательно, усиление по напряжению составляет 200.

Аналитический расчет усиления схемы с общей базой делают по формуле:

$$K_{Uоб} = \frac{U_{вых}}{U_{вх}} = \frac{I_K R_н}{I_Э r_Э} \approx \frac{R_н}{R_{вхоб}}. \qquad (2.13)$$

Чтобы найти входное сопротивление схемы с общей базой, повторим измерение входной характеристики в схеме рис.2.26, но ограничим график входным током 5 мА (рис.2.31).

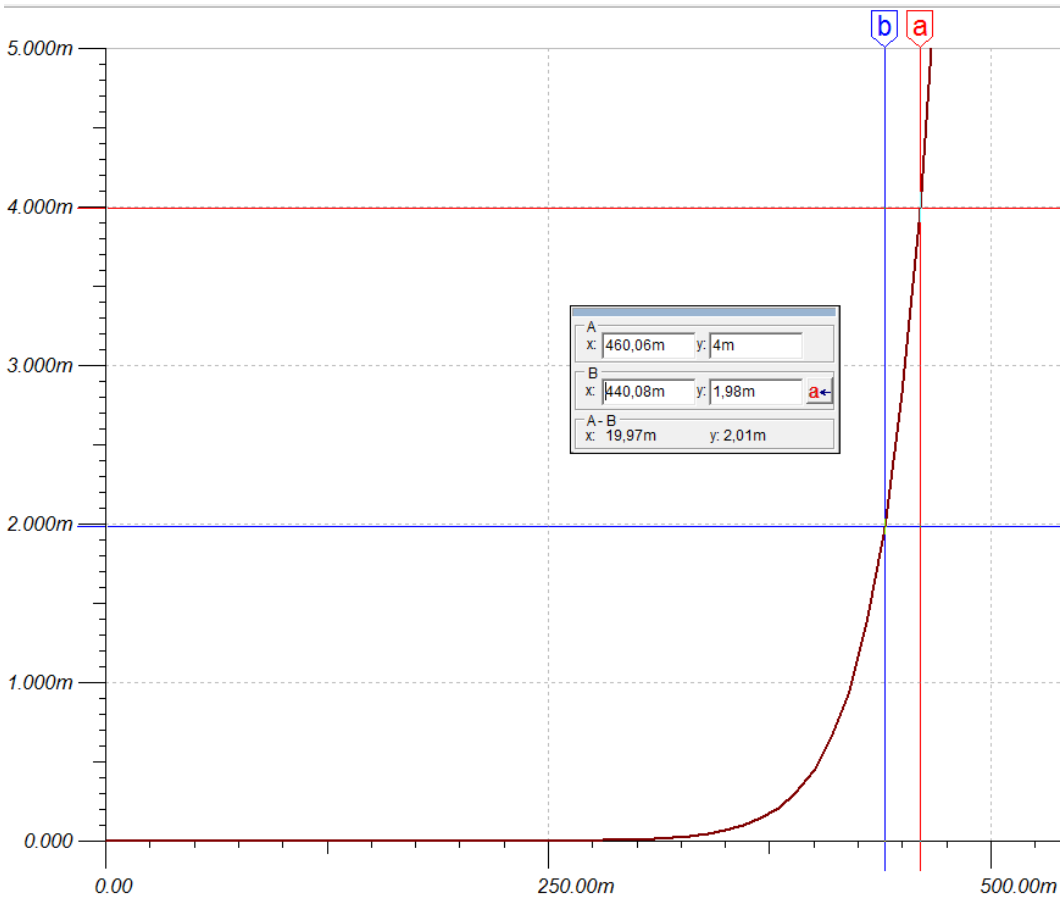

Рис.2.31. Измерение входного сопротивления схемы ОБ

Используя курсоры и найдем входноге сопротивление:

$$R_{вхоб} = \frac{\Delta U_{БЭ}}{\Delta I_Э} = \frac{19,97 мВ}{2,01 мА} \approx 10 Ом.$$

При токе эмиттера ~10 мА входное сопротивление составляет единицы ом.

Коэффициент ослабления входной цепи, обусловленный емкостью, составит $K_C \approx \dfrac{R_{вхоб}}{\sqrt{R_{вхоб}^2 + X_{Сист.посл}^2}} = \dfrac{10}{10{,}15} = 0{,}98$.

Общее усиление по переменному току составит:

$$K_\Sigma = K_{Uоб} K_C \approx \frac{R_н}{R_{вхоб}} \cdot K_C \approx \frac{2250}{10} \cdot 0{,}98 = 220{,}5.$$

Этот результат хорошо совпадает с моделированием.

Типовая схема усилителя низкой частоты с общей базой показана на рис. 2.32

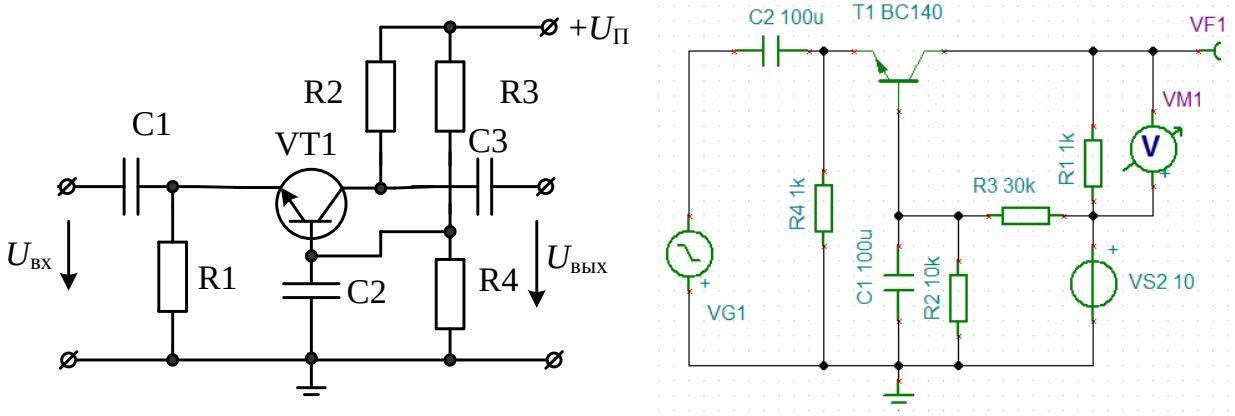

Рис.2.32. Типовая схема усилителя низкой частоты с общей базой

Схема включения транзистора с общей базой благодаря низкоомному входу имеет следующие преимущества:

- более эффективно используется источник сигнала, который работает практически в режиме короткого замыкания;
- входной сигнал передается на выход без переворота по фазе;
- уменьшаются частотные искажения, связанные с входной емкостью транзистора;
- усилитель имеет высокое выходное сопротивление и низкую выходную емкость.

2.6. Схема с общим коллектором. Эмиттерный повторитель

В схеме (рис.2.33) коллектор по переменной составляющей соединен с общей точкой сигнала $u_{вх\sim}(t)$. Такую схему называют схемой с общим

коллектором. Выходной сигнал $u_{вых}(t)$ снимают с сопротивления в эмиттере и он практически точно повторяет входной сигнал. Поэтому схему с общим коллектором обычно называют эмиттерный повторитель (ЭП).

Свойства эмиттерного повторителя

Рассмотрим работу эмиттерного повторителя в схеме (рис.2.33) с параметрами:

$$E_П = E_К = 10В, R_1 = R_2 = 10\ кОм,\ R_Н = 500Ом,$$
$$R_{ГЕН} = 500Ом,\ u_c(t) = E_m \sin\omega t, E_m = 50\,мВ.$$

Цепь смещения базы преобразуем к эквивалентной с $R_Б = \dfrac{R_1 R_2}{R_1 + R_2}$ и $E_0 = \dfrac{E_П R_2}{R_1 + R_2} = 5В$. Получим эквивалентную схему рис.2.34.

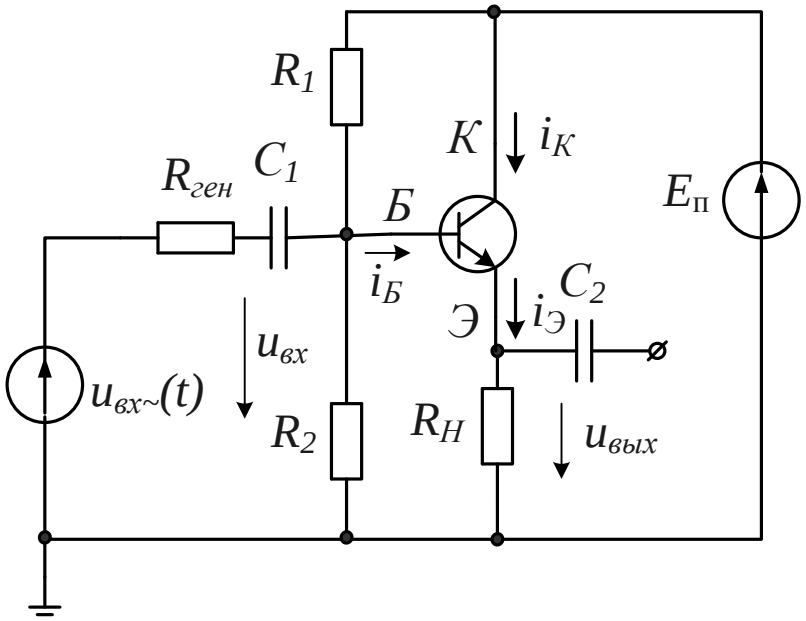

Рис.2.33. Схема эмиттерного повторителя

Рабочую точку выбирают на крутом участке входной характеристики. Дифференциальное входное сопротивление для транзистора BC140 было определено на рис.2.15:

$$R_{ВХ.БЭ} = R_{диф.БЭ} = \frac{\Delta U_{БЭ}}{\Delta I_Б} = \frac{\Delta U_{БЭ}}{\Delta I_Б} = 529Ом$$

Сопротивление нагрузки в эмиттере $R_Н = 500Ом$.

Рассмотрим приращение входного напряжения:

$$\Delta u_{вх} = \Delta u_{БЭ} + \Delta u_{ВЫХ} = R_{диф.БЭ}\Delta i_Б + R_Н \Delta i_Э =$$

$$= R_{диф.БЭ}\Delta i_Б + R_H(\beta+1)\Delta i_Б;$$
$$\Delta u_{вых} = R_H(\beta+1)\Delta i_Б$$

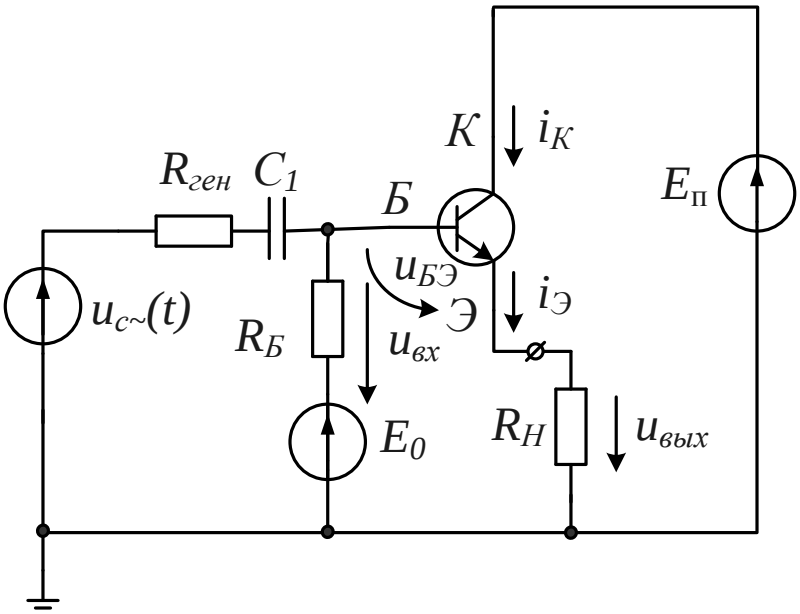

Рис.2.34. Эквивалентная схема ЭП

Получим:

$$\Delta u_{вх} = R_{диф.БЭ}\Delta i_Б + R_H(\beta+1)\Delta i_Б \approx R_H(\beta+1)\Delta i_Б = \Delta u_{вых},$$

Так как: $R_{диф.БЭ} = 529 Ом,\ R_H(\beta+1) = 500\cdot 131 = 65{,}5 кОм$.

Коэффициент усиления по напряжению:

$$K_U = \frac{\Delta u_{вых}}{\Delta u_{вх}} = \frac{R_H(\beta+1)}{R_{диф.БЭ} + R_H(\beta+1)} \approx 1.$$

Входное сопротивление:

$$R_{вх} = \frac{\Delta u_{вх}}{\Delta i_Б} = R_{диф.БЭ} + R_H(\beta+1) \approx 66 кОм.$$

Выходное сопротивление: $R_{вых} = \left|\frac{\Delta u_H}{\Delta i_H}\right|, e_c = const, E_0 = const$.

Для приращений напряжений: $\Delta i_Б R_{ГЕН} + \Delta i_Б R_{диф.БЭ} + \Delta u_H = 0$, так как $e_C = const$.

Далее:

$$|\Delta u_H| = \Delta i_Б(R_{ГЕН} + R_{диф.БЭ}) = \frac{\Delta i_Э}{\beta+1}(R_{ГЕН} + R_{диф.БЭ}).$$

В итоге получим:

$$R_{вых} = \left|\frac{\Delta u_H}{\Delta i_H}\right| = \frac{\Delta i_Э (R_{ГЕН} + R_{диф.БЭ})}{\Delta i_Э (\beta + 1)} \approx \frac{R_{ГЕН}}{\beta},$$

так как обычно $R_{ГЕН} > R_{диф.БЭ}$.

Делаем важные выводы:

- коэффициент усиление эмиттерного повторителя близок к 1;
- эмиттерный повторитель имеет большое входное сопротивление;
- эмиттерный повторитель имеет малое выходное сопротивление.

Пример расчета эмиттерного повторителя

Для входной цепи эмиттерного повторителя ранее были получены параметры эквивалентного генератора: $E_{ЭКВ} = E_0 = 5В, R_Б = 5кОм$.

Графический расчет режима покоя

Требуется найти: $i_{Б0}, u_{БЭ0}, i_{Э0}, u_{КЭ0}, u_{H0}$.

1. Для входной цепи в режиме покоя:

$$E_0 = i_{Б0} R_Б + i_{Б0} R_{диф.БЭ} + i_{Б0} R_H (\beta + 1);$$

$$i_{Б0} = \frac{E_0 - u_{БЭ0}}{R_Б + R_H(\beta + 1)} = \frac{5 - 0{,}6}{5 \cdot 10^3 + 500(130 + 1)} =$$

$$= \frac{4{,}4}{5 \cdot 10^3 + 65500} = 62\,мкА$$

По входной ВАХ находим $u_{БЭ0}$ (рис.2.35).

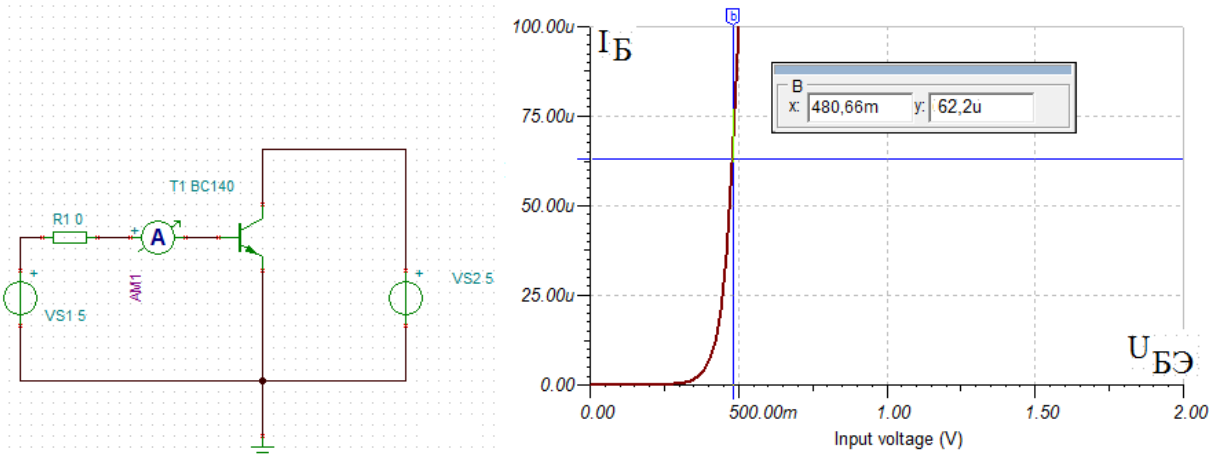

Рис.2.35. Графический расчет напряжения $u_{БЭ0}$

Получим: $u_{БЭ0}$=480мВ.

2. Для выходной цепи в режиме покоя строим нагрузочную прямую, отсекающую отрезки по осям: $u_{КЭ}=10\,В; I_К=\dfrac{E_К}{R_Н}=20\,мА$.

Находим рабочую точку на выходной ВАХ для тока базы $i_{Б0}=62\,мкА$.

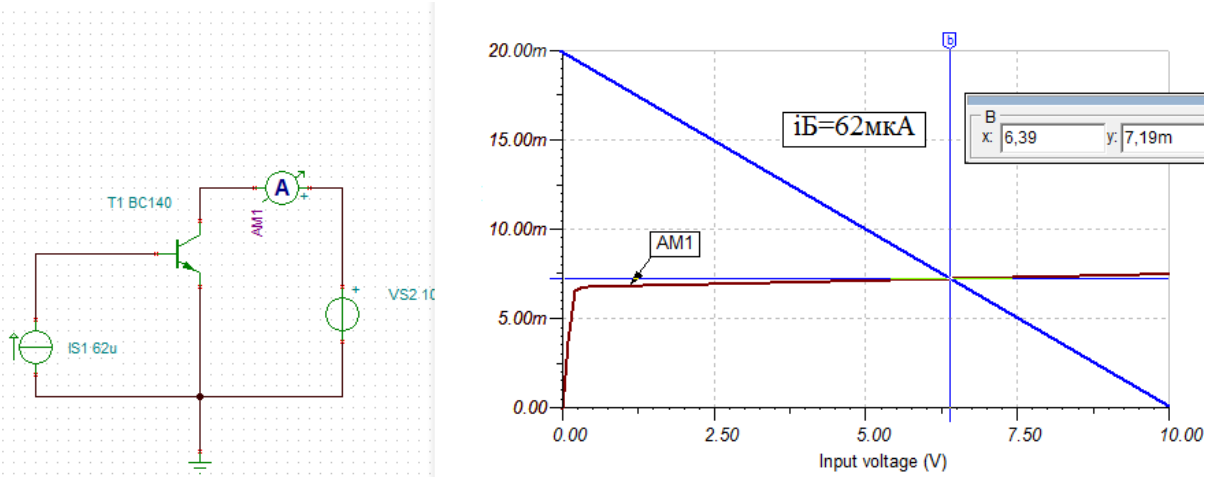

Рис.2.36. Рабочая точка на выходной ВАХ

Получили:

$u_{КЭ0}=6{,}39\,В,\ i_{К0}=7{,}10\,мА, u_{Н0}=3{,}61\,В, i_{Э0}=i_{К0}+i_{Б0}\approx 7{,}16\,мА$.

Выполним моделирование эмиттерного повторителя по схеме (рис.2.37).

Результаты моделирования достаточно близки к результатам графического расчета.

Найдем коэффициент усиления ЭП с учетом входной цепи (рис.2.34).

Считаем, что $X_C \ll R_{ГЕН}$.

Коэффициент передачи входной цепи:

$$K_{вх}=\frac{u_{вх}}{u_c}\approx\frac{R_Б}{R_{ГЕН}+R_Б}=\frac{5000}{5500}=0{,}909.$$

Выходной переменный сигнал:

$$u_{ВЫХ}=u_c K_{вх} K_U=50\cdot 10^{-3}\cdot 0{,}909\cdot 1=45{,}45\,мВ.$$

Моделирование в схеме рис.2.37 для входной ампитуды сигнала 50мВ и частоты 1 кГц дает значение амплитуды выходного сигнала 44,77мВ.

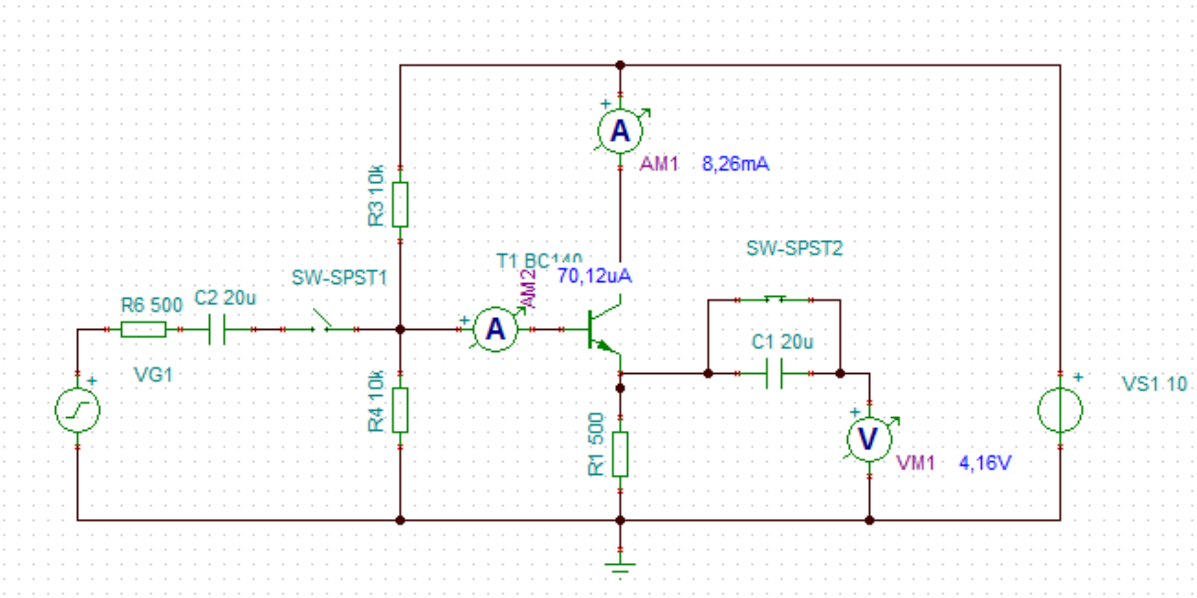

Рис.2.37. Модель эмиттерного повторителя

Двухтактный эмиттерный повторитель

Двухтактный эмиттерный повторитель используют для усиления мощности в выходных каскадах усилителей низкой частоты, работающих на низкоомную нагрузку. В двухтактных ЭП применяют *комплементарные транзисторы* . Такие транзисторы имеют различный тип проводимости, но обладают близкими электрическими параметрами. Каждый транзистор работает с отсечкой в классе В или АВ и пропускает в нагрузку сигнал только одной полярности.

Схема двухтактного ЭП показана на рис.2.28.

В двухтактном ЭП транзистор BD135 n-p-n типа и транзистор BD136 p-n-p типа имеют близкие характеристики и являются комплементарными. Цепи смещения (R3, D1, R1 и R4, D2, R2) создают на транзисторах начальное смещение $U_{БЭО}$≈0,7В. Резисторы R5 и R6 служат для ограничения тока эмиттера и защиты транзисторов. На коллекторы транзисторов подано двухполярное питание. Нагрузкой служит резистор R7=8 Ом.

В первом такте положительная полуволна входного напряжения создает ток в транзисторе T1, который измеряется амперметром AM1. Во втором такте отрицательная полуволна входного напряжения создает ток в транзисторе T2, измеряемый амперметром AM2. Это ток в нагрузке имеет противоположное направление. В результате на нагрузке формируется близкий к синусоидальному сигнал. Временные диаграммы токов в увеличенном масштабе показаны на рис.2.29.

Амплитуда напряжения на нагрузке составляет 3,93В. Мощность в нагрузке: $P = \frac{U_m^2}{2R_H} = \frac{3{,}93^2}{2 \cdot 8} = 0{,}96 Вт$.

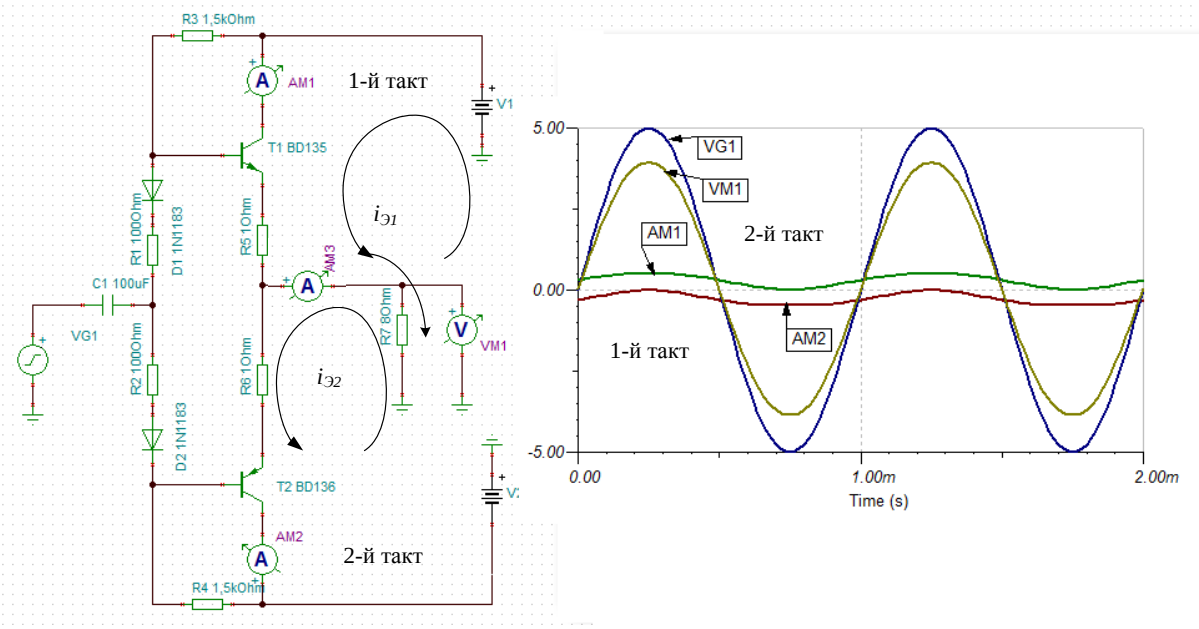

Рис.2.28. Схема двухтактного эмиттерного повторителя и диаграммы сигналов

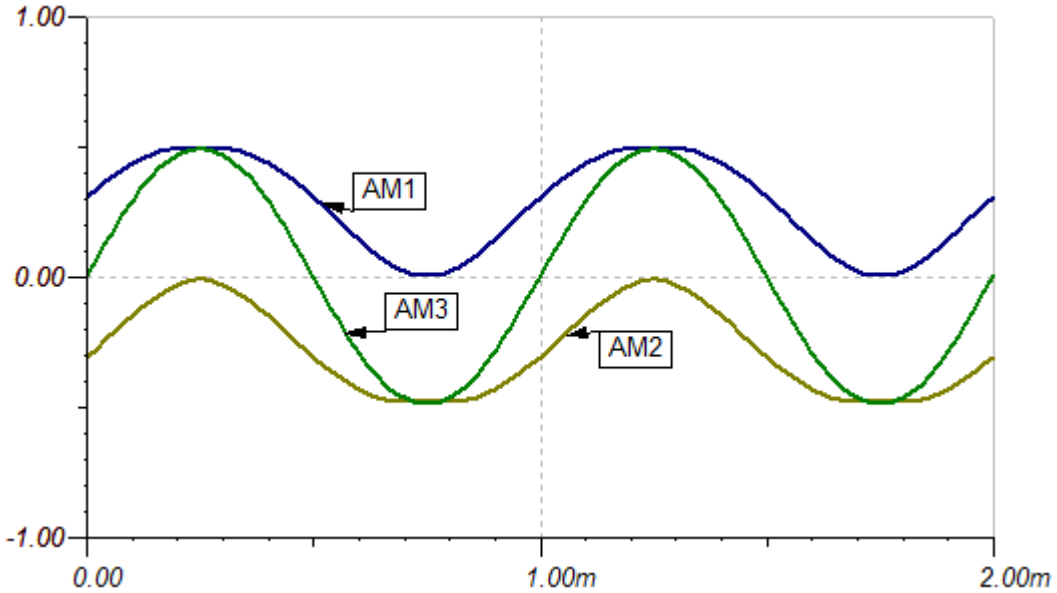

Рис.2.29. Временные диаграммы токов

2.7. Расчет транзисторных усилителей в режиме малого сигнала

2.7.1. Определение, классификация, основные характеристики и параметры усилителей

Усилителем называется устройство, предназначенное для усиления входного электрического сигнала по напряжению, по току или по мощности за счёт преобразования энергии источника питания в энергию выходного сигнала.

Мы рассмотрели ранее усилительные каскады на одном транзисторе. Как правило, усиление такого каскада бывает недостаточно и его характеристики не отвечают требованиям разработчика. Поэтому применяют более сложные многокаскадные усилители, содержащие входной каскад, каскад предварительного усиления, каскад промежуточного усиления, оконечный мощный каскад.

Обобщенная структурная схема многокаскадного усилителя показана на рис.2.30.

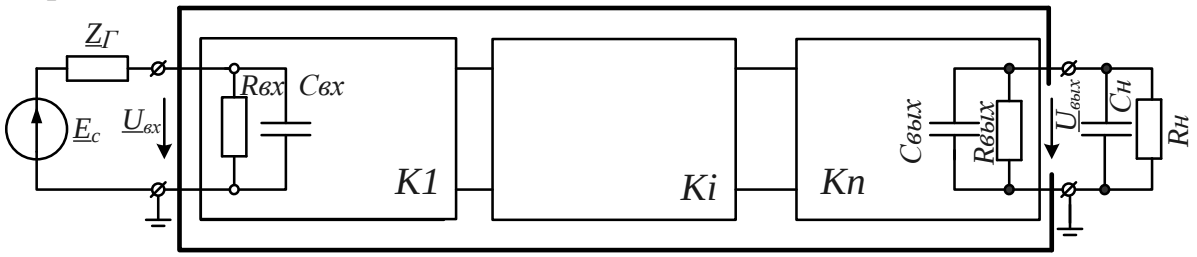

Рис.2.30. Структурная схема многокаскадного усилителя

На входе усилителя действует генератор входного сигнала с комплексным действующим напряжением $\underline{E}_c$ и внутренним сопротивлением $\underline{Z}_Г$. На выходе усилителя включена нагрузка $R_н$, $C_н$. Усилитель имеет n каскадов. Каждый каскад характеризуется входным сопротивлением ($R_{вх}$, $C_{вх}$), выходным сопротивлением ($R_{вых}$, $C_{вых}$), коэффициентом усиления Ki, амплитудно-частотными и фазочастотными характеристиками и другими параметрами, которые мы обсудим позже.

Классификация усилителей

Классификация усилителей идёт по нескольким признакам:

По роду усиливаемого сигнала:

- усилители гармонических сигналов (непрерывных колебаний);
- усилители импульсных сигналов.
- усилители постоянного тока (УПТ);

По функциональному назначению:

- усилители напряжения;
- усилители тока;

• усилители мощности.

По диапазону усиливаемых частот:

- усилители напряжения звуковой частоты — **УЗЧ** (прежнее название — усилители напряжения низкой частоты (УНЧ)). Диапазон частот таких усилителей — от десятков Гц до десятков или сотен кГц;
- усилители напряжения радиочастот ***УРЧ*** (прежнее название — усилители напряжения высокой частоты (УВЧ));
- избирательные (резонансные) усилители (узкополосные);
- широкополосные усилители (от сотен кГЦ до сотен Мгц).

Мы будем считать, что в каждом отдельном каскаде для транзистора выбрана оптимальная рабочая точка и установлено нужное значение тока базы в режиме покоя.

Основные характеристики усилителя

Основными характеристиками усилителей являются следующие.

Амплитудночастотная характеристика усилителя (***АЧХ***) — зависимость коэффициента усиления от частоты ;

Фазочастотная характеристика (***ФЧХ***) — зависимость угла сдвига фаз между входным и выходным напряжениями от частоты. Фазовые искажения важны для сигналов с частотной и фазовой модуляцией.

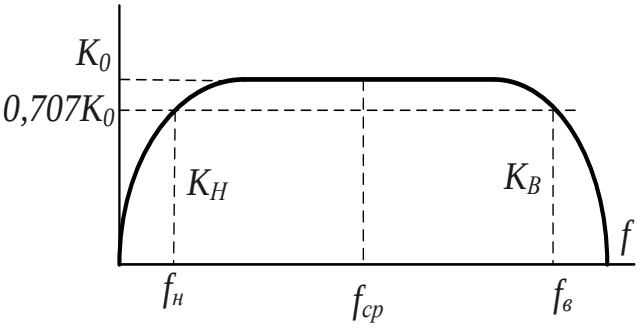

Рис.2.31. АЧХ усилителя

Если усиливается сигнал небольшой амплитуды, то заметного искажения выходного полезного сигнала не происходит. Но если сигнал достаточно сложной формы, с «большим набором» гармоник, то на выходе могут возникнуть большие искажения, так как может быть АЧХ неравномерна в рабочем диапозоне частот. Такие искажения в выходном сигнале получили название частотных и *оцениваются* они *коэффициентом частотных искажений*:

$$M_н = \frac{K_0}{K_н} \text{ и } M_в = \frac{K_0}{K_в},$$

где $M_н$ и $M_в$ — коэффициенты частотных искажений на нижних и верхних граничных частотах соответственно; $K_н$ и $K_в$ — коэффициенты

усиления на нижних и верхних частотах соответственно; K_0 – коэффициент усиления на средних частотах.

Передаточная характеристика – это зависимость амплитуды выходного напряжения от амплитуды входного. Идеальная передаточная характеристика должна быть линейной в динамическом диапозоне входных сигналов (от $U_{вх\,min}$ до $U_{вх\,max}$).

Уровень нелинейных искажений оценивается при включении на вход гармонического сигнала коэффициентом нелинейных искажений:

$$K_{ни} = \frac{\sqrt{U_{m2}^2 + U_{m3}^2 + ...U_{mn}^2}}{U_{m1}},$$

где: U_{m1}- амплитуда первой гармоники выходного сигнала, $U_{m2}.....U_{mn}$ - амплитуды всех остальных гармоник выходного сигнала.

Переходные искажения в импульсных усилителях измеряют при подаче на вход идеального прямоугольного импульса.

На выходе усилителя выходной импульс может иметь форму, показанную на рис.2.32.

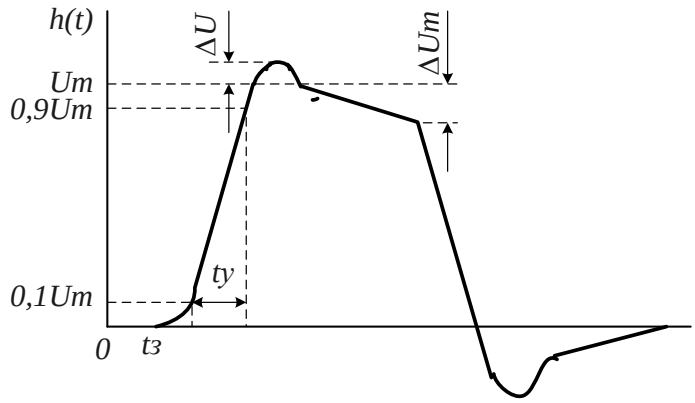

Рис. 2.32. Искажения импульса

Искажения фронта характеризуются:

-временем установления t_y, т.е. временем нарастания амплитуды импульса от $0{,}1U_m$ до $0{,}9U_m$;

- выбросом фронта импульса δ, определяемым отношением амплитуды выброса ΔU к амплитуде установившегося режима U_m;

-временем запаздывания $t_з$ относительно входного сигнала по уровню $0{,}1U_m$.

Искажения плоской вершины импульса Δ характеризуется величиной спада напряжения ΔU_m за время длительности импульса:

$$\Delta,\% = \frac{\Delta U_m}{U_m} \cdot 100\%.$$

Переходные искажения импульсов и амплитудно-частотные характеристики усилителя взаимосвязаны. Искажения фронта обусловлены ограничением АЧХ в области высоких частот, а искажения плоской вершины обусловлены ограничением АЧХ на низких частотах.

Собственные помехи усилителя: фон, наводки и шумы.

Тепловые внутренние шумы усилителя принципиально невозможно полностью устранить.

Любое резистивное сопротивление R (например, внутреннее сопротивление источника сигнала $R_г$) создает в полосе частот Δf тепловой шум, среднеквадратичная ЭДС которого определяется формулой Найквиста:

$$\bar{E}_ш^2 = 4kTR\Delta f \ .$$

где k - постоянная Больцмана; T - абсолютная температура сопротивления.

Шумовые свойств усилителей оценивают коэффициентом шума F, равным отношению мощностей сигнала и шума на входе усилителя к отношению мощностей сигнала и шума на выходе:

$$F = (P_c / P_ш)_{вх} / (P_c / P_{\Sigma ш})_{вых};$$
$$F, dB = 10 \lg F.$$

В диапазоне СВЧ находит применение оценка шумовых свойств посредством определения шумовой температуры системы T_c:

$$T_c = T_0 (F - 1),$$

где T_0 - стандартная шумовая температура, $T_0 = 290^o K$ (рекомендация МЭК).

Для многокаскадных усилителей (каскады включены последовательно):

$$F_\Sigma = F_1 + (F_2 - 1)/K_{p1} + (F_3 - 1)/K_{p1}K_{p2} + ...;$$
$$T_{c\Sigma} = T_{c1} + (T_{c2} - 1)/K_{p1} + (T_{c3} - 1)/K_{p1}K_{p2} + ...,$$

откуда видно, что каждый последующий каскад вносит меньший вклад, чем предыдущий.

Параметры усилителя

• коэффициент усиления по напряжению:

$$\underline{K}_U = \underline{U}_{вых} / \underline{U}_{вх} = |\underline{K}| \boldsymbol{exp(}\, j\varphi \boldsymbol{)},$$

где φ - фазовый сдвиг между выходным и входным сигналом.

Значение $|K|$ на средних частотах рабочего диапазона, обозначаемого как K_0, называют коэффициентом усиления.

В логарифмических единицах: $K_0, dB = 20 \lg K_0$.

Для n-каскадных усилителей, когда каскады включены последовательно, коэффициенты усиления по напряжению перемножаются:

$$K_\Sigma = K_1 \cdot K_2 \cdot \ldots \cdot K_n,$$

а в логарифмических единицах складываются:

$$K_\Sigma, dB = K_1, dB + K_2, dB + \ldots + K_n, dB.$$

- коэффициент передачи по току:

$$\underline{K}_I = \underline{I}_{вых} / \underline{I}_{вх} = |\underline{K}_I| \boldsymbol{exp(}\, j\varphi \boldsymbol{)}.$$

- **коэффицент усиления по мощности** K_P:

$$K_P = P_{вых} / P_{вх}.$$

Для n-каскадных усилителей $K_{P\Sigma}$ в относительных и логарифмических единицах определяются аналогично K_Σ, только

$$K_P, dB = 10 \lg K_P.$$

- **сквозные коэффициенты**, например, сквозной коэффициент передачи по напряжению $\dot{K}_E$:

$$\underline{K}_E = \underline{U}_{вых} / \underline{E}_c,$$

где E_c - ЭДС источника сигнала.

- **коэффициент полезного действия**:

$$КПД = P_{пот} / P_0,$$

где $P_{пот}$ - максимальная выходная мощность усилителя; P_0 - мощность, потребляемая от источника питания.

2.7.2. Расчет транзисторного каскада с общим эмиттером в режиме малого сигнала

Для модели усилительного каскада с общим эмиттером (рис.2.18) мы выполнили расчет режима покоя и расчет h- параметров транзистора BC140 в рабочей точке.

В схеме с общим эмиттером были получены следующие результаты:

$$h_{11} = 529 Ом \quad h_{12} \approx 0$$

$$h_{21} = 136 \qquad h_{22} = 90{,}13 \cdot 10^{-6} См.$$

В расчетах эти параметры часто обозначают с индексом «э» ($h_{11э}$, $h_{12э}$, $h_{21э}$, $h_{22э}$), чтобы показать, что они относятся к схеме с общим эмиттером.

Расчет на низких и средних частотах

В области низких и средних частот можно не учитывать емкости переходов транзистора $C_Э$ и $C_К$. Кроме того мы будем считать, что в схеме (рис.2.18) емкости C1, C2, C3 достаточно велики и их влияние можно не учитывать.

В этом случае расчет в режиме малого сигнала проводят по схеме замещения (рис.2.33) с использованием h-параметров.

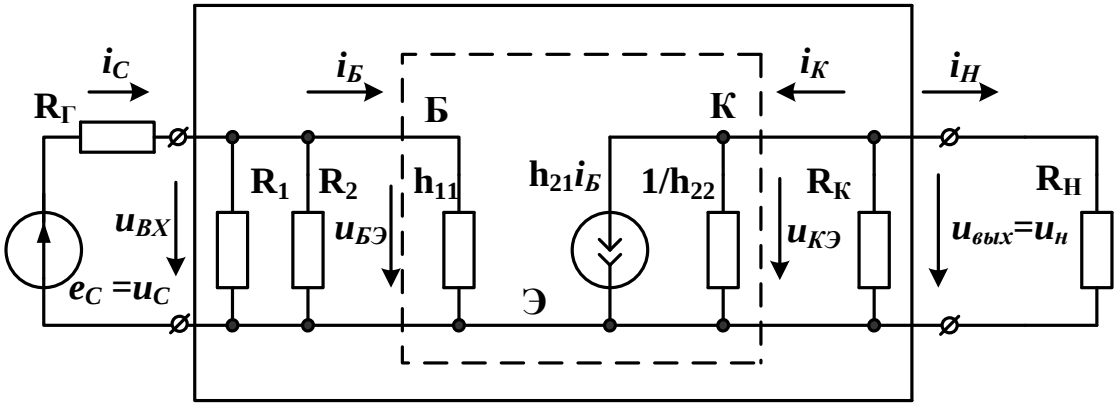

Рис.2.33. Схема замещения усилителя с h-параметрами

Напомним, что R1=R2=100кОм>>$h_{11} = 529 Ом$, $R_К$=400 Ом, $R_Н$=2кОм, $R_Г$=100Ом, $R_{вых} = \frac{1}{h_{22}} = \frac{10^6}{90{,}13} = 11{,}095 кОм$>> $R_К$.

Поэтому в приближенных расчетах в схеме замещения можно не учитывать R1, R2 и $\frac{1}{h_{22}}$.

Упрощенная схема показана на рис.2.34.

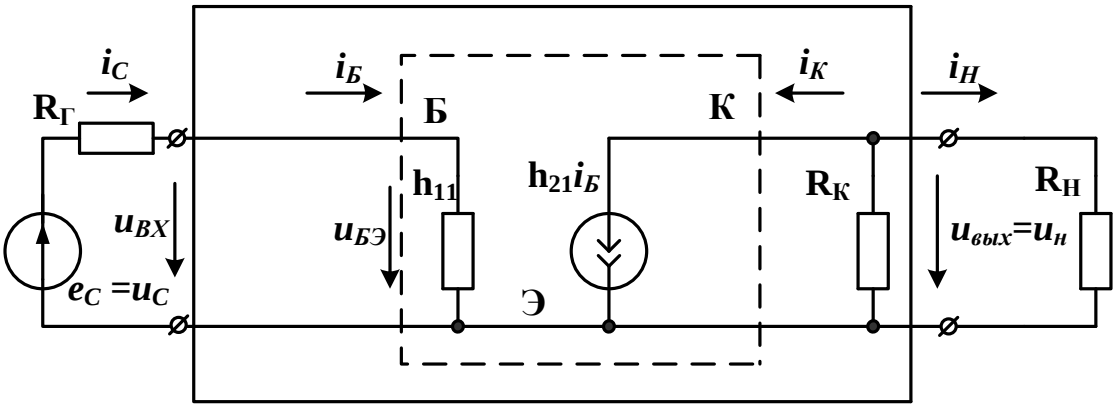

Рис.2.34. Упрощенная схема с h-параметрами

Вычислим основные параметры усилителя.

Коэффициент усиления по напряжению:

$$\underline{K}_U = \underline{U}_{вых} \Big/ \underline{U}_{вх} = \frac{-h_{21} \cdot \grave{i}_Б \cdot R_K \cdot R_H}{\grave{i}_Б \cdot h_{11}(R_K + R_H)} = \frac{-136 \cdot 400 \cdot 2000}{529 \cdot 2400} = -85{,}69.$$

Сквозной коэффициент усиления:

$$\underline{K}_E = \underline{U}_{вых} / \underline{E}_c = \frac{-h_{21} \cdot \grave{i}_Б \cdot R_K \cdot R_H}{\grave{i}_Б \cdot (h_{11} + R_Г)(R_K + R_H)} = \frac{-136 \cdot 400 \cdot 2000}{629 \cdot 2400} = -72{,}07 \cdot$$

В результате моделирования схемы (рис.2.18) был получен сквозной коэффициент усиления $\underline{K}_{Емод} = -62$, что говорит о допустимости приближенного расчета.

Коэффициент усиления по току:

$$\underline{K}_I = \underline{I}_н / \underline{I}_c = \frac{-h_{21} \cdot \grave{i}_Б \cdot R_K}{\grave{i}_Б \cdot (R_K + R_H)} = \frac{-h_{21} \cdot R_K}{(R_K + R_H)} = \frac{-136 \cdot 400}{2400} = -22{,}66.$$

Коэффициент усиления по мощности:

$$K_P = K_E K_I = (-72{,}07) \cdot (-22{,}66) = 1633.$$

По упрощенной схеме (рис.2.34) определим:

входное сопротивление

$$R_{вх} = \frac{\underline{U}_{вх}}{\underline{I}_c} \approx h_{11э} = 529 Ом\ ;$$

выходное сопротивление (без учета $R_н$):

$$R_{вых} = \left| \frac{\underline{U}_{вых}}{\underline{I}_к} \right| \approx R_K .$$

Расчет на высоких частотах

На высоких частотах расчет транзисторного усилителя ведут с использованием физической схемы замещения или схемы Джиаколетто (рис.2.10), в которых учтены инерционные свойства транзисторов.

Значения параметров эквивалентной схемы Джиаколлето рассчитывают, используя справочные данные транзистора, следующим образом.

В справочных данных приводят, как правило, параметры:

- коэффициента усиления тока базы β;
- граничную частоту $f_T = 1/2\pi\tau_T$, на которой модуль коэффициента
- усиления тока базы $|\beta| = 1$;
- постоянную времени обратной связи τ_K;
- полную емкость коллекторного перехода Ск;
- полную емкость эмиттерного перехода Сэ.

1. Находим проводимость и сопротивление базы:

$$g_б = \frac{C_k}{\tau_k},\ r_б = \frac{\tau_k}{C_k}.$$

2. Рассчитываем сопротивление и проводимость эмиттера:

$$I_{б0} = \frac{I_{к0}}{\beta},$$

$$I_{э0} = I_{б0} + I_{к0}.$$

Для планарных кремниевых транзисторов коэффициент а=3:

$$r_э = \frac{26}{I_{э0}\ мА} + \frac{3}{\sqrt{I_{э0}\ мА}},$$

$$g_э = \frac{1}{r_э}.$$

3. Найдем проводимость перехода база - эмиттер:

$$g_{бэ} = \frac{1}{r_э(1+\beta)}.$$

4. Рассчитаем крутизну:

$$\alpha = \frac{\beta}{(1+\beta)};\quad S = \frac{\alpha_0}{r_э}.$$

5. Рассчитаем емкость эмиттерного перехода:

$$C_э = \frac{1}{2\pi f_T r_э (1+\beta)} .$$

6. Найдем выходную проводимость транзистора:

$$g_{эк} = \frac{I_{к0доп}}{U_{кэдоп}}.$$

7. Проводимость коллекторного перехода:

$$g_{бк} = \frac{1}{r_{кэ}(1+\beta)}.$$

После вычисления всех параметров эквивалентной схемы Джиаколлето, используя символический метод, рассчитывают параметры усилителя на высоких частотах.

2.7.3. Расчет транзисторного каскада с общим коллектором в режиме малого сигнала

Для схемы эмиттерного повторителя (рис.2.37) эквивалентная схема с h-параметрами показана на рис.2.35.

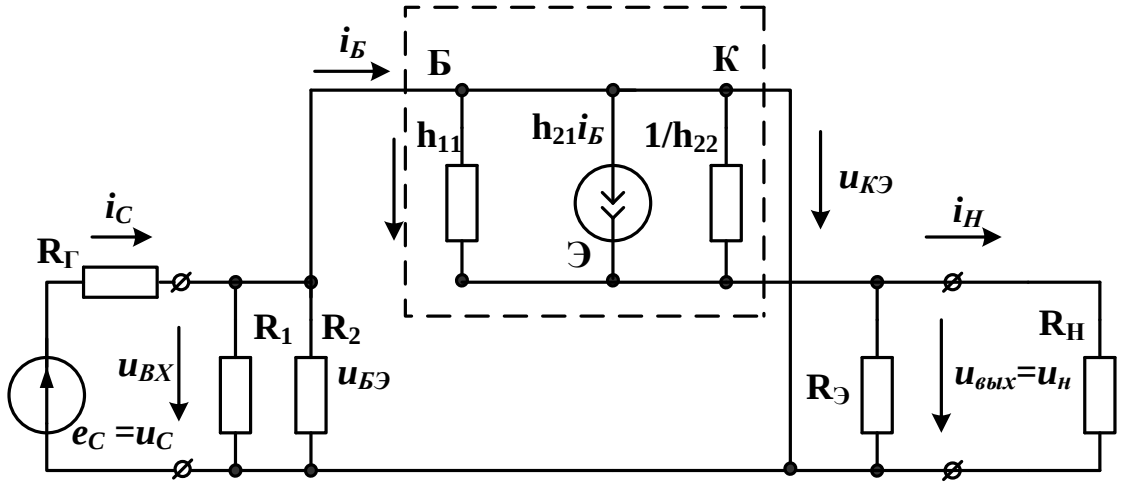

Рис.2.35. Эквивалентная схема эмиттерного повторителя с h-параметрами

Упростим схему, исключив большие по сравнению с другими резисторами элементы: $\frac{1}{h_{22}}$, R_1, R_2. Получим упрощенную схему (рис.2.36):

В этой схеме:

$$\underline{U}_{БК} = \underline{E}_c - \underline{I}_Б R_Г = h_{11}\underline{I}_Б + \underline{U}_H ;$$

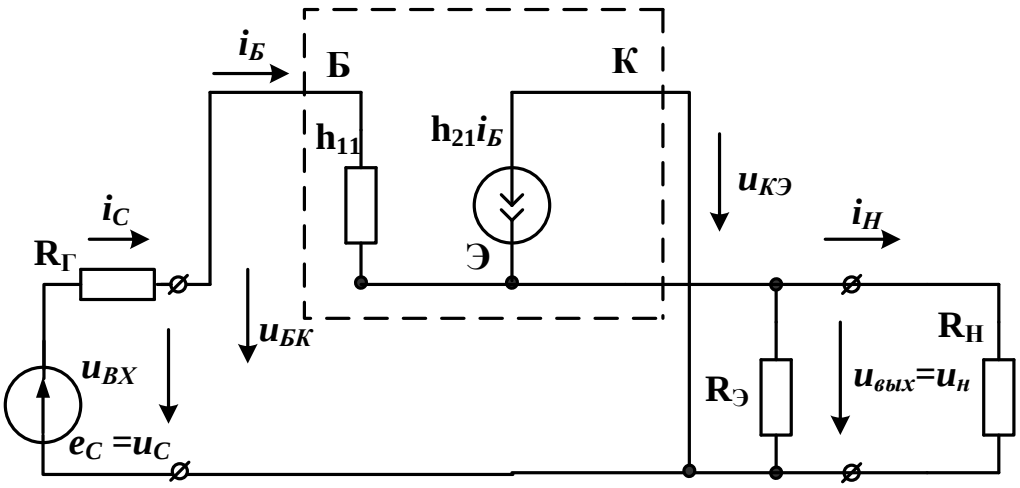

Рис.2.36. Упрощенная эквивалентная схема эмиттерного повторителя

$$\underline{U}_H = (1+h_{21})\underline{I}_Б \frac{R_Э R_H}{R_Э + R_H}.$$

Находим входное сопротивление:

$$R_{BX} = \frac{\underline{U}_{БК}}{\underline{I}_Б} = h_{11} + (1+h_{21})\frac{R_Э R_H}{R_Э + R_H}.$$

Входное сопротивление эмиттерного повторителя значительно больше, чем у каскада с общим эмиттером и составляет 100-300кОм.

Коэффициент усиления по напряжению:

$$\underline{K}_U = K_U e^{j\phi_U} = \frac{\underline{U}_H}{\underline{E}_C} = \frac{(1+h_{21})\dfrac{R_Э R_H}{R_Э + R_H}}{R_Г + h_{11} + (1+h_{21})\dfrac{R_Э R_H}{R_Э + R_H}} \approx 0{,}8 - 0{,}9.$$

Выходное сопротивление эмиттерного повторителя определяется как выходное сопротивление активного двухполюсника относительно выходных выводов и равно:

$$R_{вых} = \frac{(R_Г + h_{11})R_Э}{R_Г + h_{11} + (1+h_{21})R_Э} \approx 10 - 50 Ом.$$

Выходное сопротивление эмиттерного повторителя значительно меньше, чем у каскада с общим эмиттером. Поэтому эмиттерный повторитель применяют для работы с низкоомными приемниками, например, с кабелями, имеющими волновое сопротивление 50-75 Ом.

2.8. Тиристоры

Тиристором называют полупроводниковый прибор с двумя устойчивыми состояниями и тремя или более последовательно включенными *p-n* - переходами. Наиболее распространенная структура управляемого тиристора с четырьмя чередующимися слоями полупроводников *p*- и *n*- типов показана на рис.2.37. Кроме анодного и катодного выводов управляемый тиристор имеет еще вывод управляющего электрода УЭ. УЭ может подключаться к ближайшей к катоду *p*- области (тиристор с катодным управлением) или к ближайшей к аноду *n*- области (тиристор с анодным управлением).

В зависимости от числа выводов тиристоры делят на:

- диодные /динисторы/, имеющие два вывода - от анода и катода;
- триодные /тиристоры/, имеющие выводы от анода, катода и одной из баз;
- тетродные, имеющие выводы от всех областей.

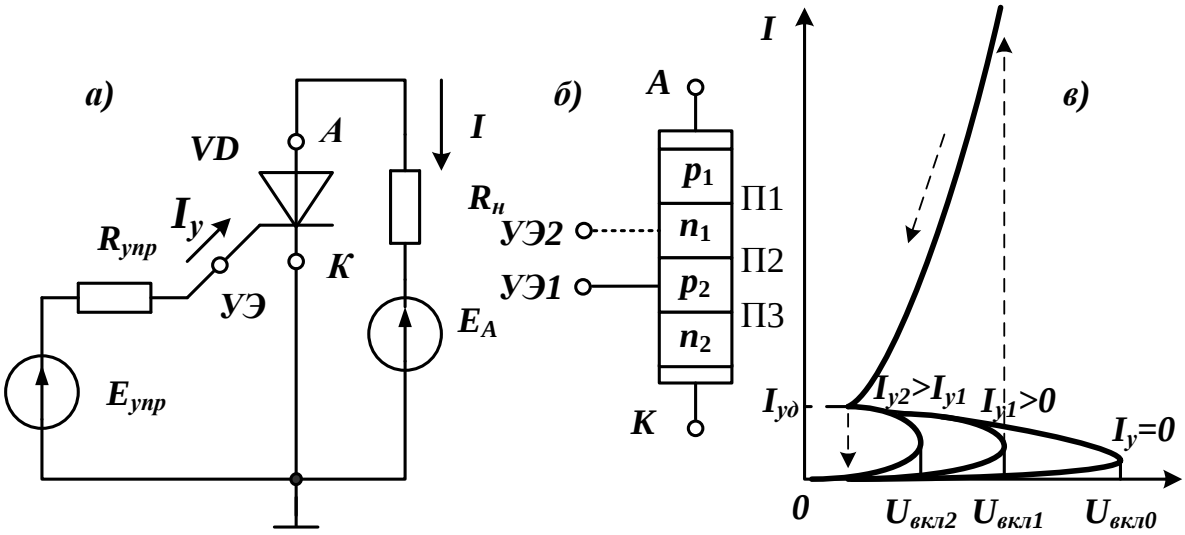

Рис.2.37. Схема включения (а), структура (б) и вольтамперная характеристика (в) тиристора с катодным управлением

На рис.2.37 показана схема включения тиристора с катодным управлением. Источник напряжения $E_{упр}$ через сопротивление $R_{упр}$ создает в управляющем электроде УЭ ток управления I_y. В цепи анода I при возрастании анодного напряжения U остается малым до напряжения включения $U_{вкл}$, которое зависит от тока управления. После открывания тиристора анодный ток скачком увеличивается и переходит на участок ВАХ от-

крытого состояния. Для выключения тиристора надо уменьшить анодный ток до значения тока удержания $I_{уд}$ или поменять полярность напряжения на аноде.

В начале развития на тиристорах пытались делать различные импульсные и цифровые устройства: триггеры, счётчики, мультивибраторы. Но вскоре их вытеснили более эффективные транзисторные элементы.

В настоящее время некоторые из наиболее распространенных областей применения для тиристоров включают реле управления, схемы времени задержки, регуляторы мощности, схемы управления моторами, инвертеры, зарядные устройства, защитные схемы.

В последние годы были разработаны тиристоры, способные управлять мощностями до 10 МВт, токами до 2000 А при напряжениях до 1800 В. Частотный диапозон расширен до 50 кГц, что позволяет реализовать несколько высокочастотных приложений (индукционный нагрев и ультразвуковой очистки).

Для объяснения работы тиристора его четырехслойную p-n-p-n стуктуру представляют двумя трехслойными транзисторными структурами (рис.2.38а).

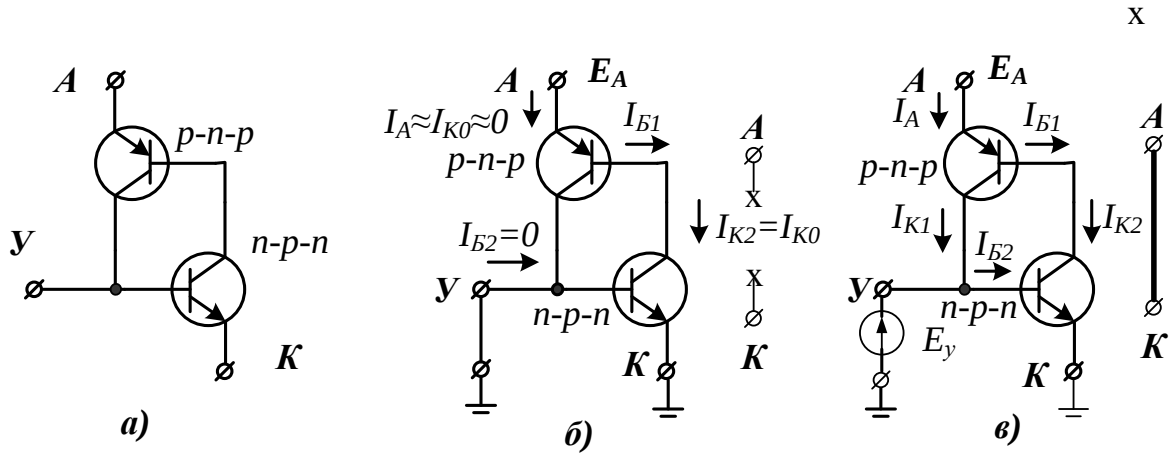

Рис.2.38. Эквивалентная схема тиристора (а); режим состояния «OFF» (б); режим стотояния «ON» (в)

В состоянии выключено «OFF» на управляющем электроде У и базе *n-p-n* транзистора нулевое напряжение, ток базы $I_{Б2}=0$, ток коллектора $I_{К2}=I_{К0}\approx 0$, ток базы *p-n-p* транзистора $I_{Б1}$ также равен нулю и анодный ток тиристора $I_А=0$. Тиристор имеет очень большое сопротивление.

В состоянии включено «ON» на управляющий электрод подается положительное напряжение, ток $I_{Б2}$ открывает *n-p-n* транзистор, его коллекторный ток $I_{К2}= I_{Б1}$ возрастает и открывает *p-n-p* транзистор, который своим коллекторным током $I_{К1}$ создает лавинообразное регенератив-

ное увеличение коллекторного тока. Типовое время включения составляет от 0,1 мкс до 1 мкс.

Открытый тиристор имеет очень малое сопротивление.

Для выключения тиристора при его использовании в качестве токового ключа необходимо каким-либо способом уменьшить ток через тиристор до значения, меньшего тока удержания. Выключить тиристор, подавая какие-либо воздействия на управляющий электрод, в большинстве типов тиристоров невозможно. Однако существуют тиристоры, которые могут быть выключены по управляющему электроду импульсом тока обратного знака. Такие тиристоры называют запираемыми по управляющему электроду.

Рассмотренные тиристоры при отрицательном напряжении на аноде закрыты. Такие тиристоры называют запираемыми в обратном направлении. Однако существуют тиристоры, проводящие в обратном направлении, которые как бы зашунтированы диодом.

Выпускаются тиристоры, имеющие симметричную вольт-амперную характеристику для обеих полярностей напряжения на аноде. Такие тиристоры называют симисторами.

На рис.2.39 приведены обозначения различных типов тиристоров.

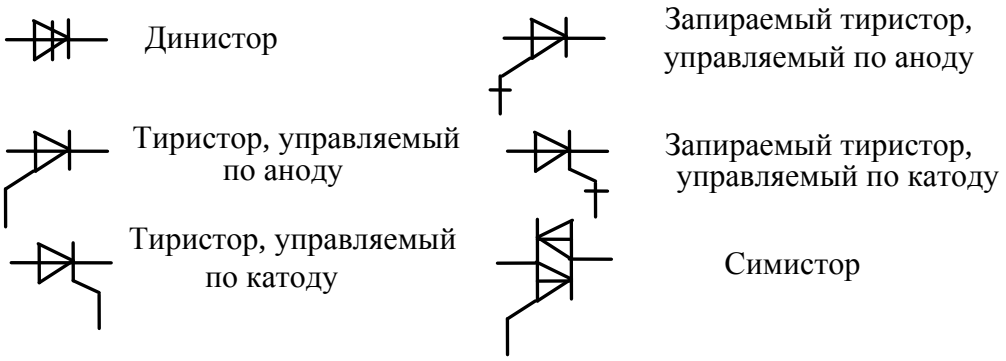

Рис.2.39. Обозначения различных типов тиристоров

На рис.2.40 показана модель простейшего однополупериодного выпрямителя на тиристоре с регулировкой тока в нагрузке. Нагрузкой служит резистор R1=1Ом. Входной синусоидальный сигнал имеет амплитуду 20В и частоту 50Гц. Резистор R2=2кОм, потенциометр P1=5кОм и диод D1 создают цепь регулировки тока управления $I_У$.

Увеличение суммарного сопротивления (R2+P1) приводит к тому, что тиристор будет включаться при большем значении входного напряжения. Так, если установить потенциометр P1 в положение 25%, суммарное сопротивление составит (2+3,75)кОм и тиристор будет включаться при входном напряжении 17,43В. В результате, как видно из диаграмм (рис.2.41) площадь положительных импульсов тока будет сокращаться и среднее выпрямленное напряжение U_0 уменьшится. Таким образом, мож-

но регулировать мощность нагревательного устройства (например, паяльника).

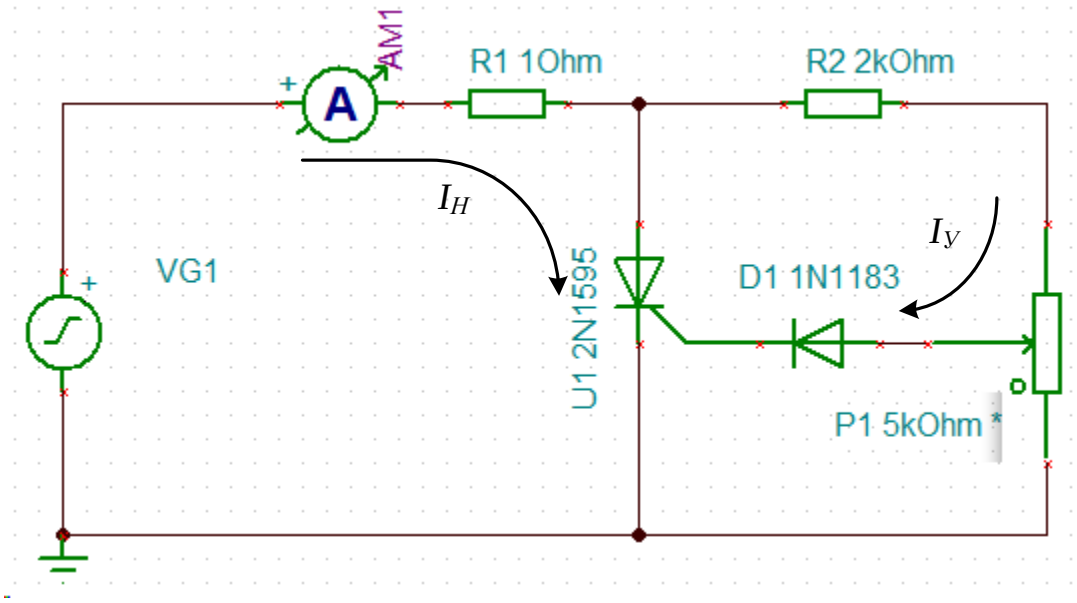

Рис. 2.40. Модель выпрямителя на тиристоре с регулировкой мощности

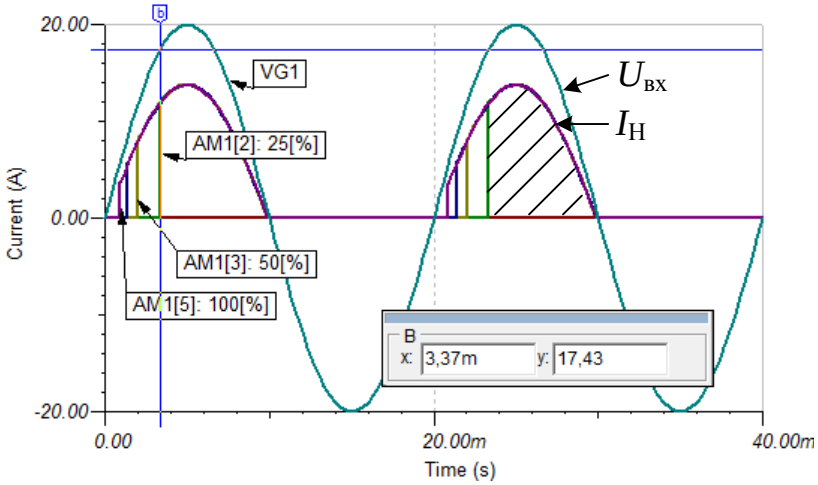

Рис.2.41. Диаграммы входного напряжения и тока в нагрузке тиристорного регулятора

Глава 3. Полевые транзисторы

3.1. Основные понятия и классификация полевых транзисторов

Полевыми или униполярными транзисторами называются полупроводниковые приборы, в которых изменение тока производится изменением проводимости проводящего канала с помощью электрического поля, перпендикулярного направлению тока. В иностранной литературе полевые транзисторы называют FET (field – effect transistor).

Электроды, подключенные к каналу, называются стоком (Drain) и истоком (Source).

Управляющий электрод называется затвором (Gate).

Напряжение управления прикладывается между затвором и истоком.

Также как два типа биполярных транзисторов, полевые транзисторы могут иметь канал n- типа или канал p-типа.

Прохождение тока в канале только одним типом зарядов: электронами в канале n-типа или дырками в канале p-типа.

Одним из важнейших достоинств полевых транзисторов является очень большое входное сопротивление (от единиц до сотен мегом), что очень важно при проектировании линейных усилительных устройств.

С другой стороны биполярный транзистор более чувствителен к изменению входного тока, чем полевой транзистор к изменению входного напряжения. Тем самым биполярный транзистор может обеспечить большее усиление, чем полевой.

Полевые транзистры более стабильны при изменении температуры, меньше по размеру, более технологичны при изготовлении. Это делает полевые транзисторы особенно полезными при изготовлении интегральных микросхем.

Применяют два типа полевых транзисторов:

- полевые транзисторы с управляемым p-n переходом (*junction field-effect transistor (JFET)*);
- полевые транзисторы с изолированным затвором (*metal-oxide-semiconductor field-effect transistor (MOSFET));* в отечественой литературе их называют: (МОП – металл – оксид кремния – полупроводник) или (МДП – металл-диэлектрик-полупроводник).

Категория MOSFET транзисторов делится на полевые транзисторы, работающие в режиме обогащения (со встроенным каналом) и в режиме обеднения (с индуцированным каналом).

MOSFET транзисторы стали важнейшим элементом в разработке и производстве цифровой компьютерной техники. Однако брать руками полевые транзисторы надо с осторожностью, так как они очень чувствительны к внешним электрическим полям.

На рис.3.1 показана классификация и условные обозначения различных типов полевых транзисторов.

Классификация полевых транзисторов

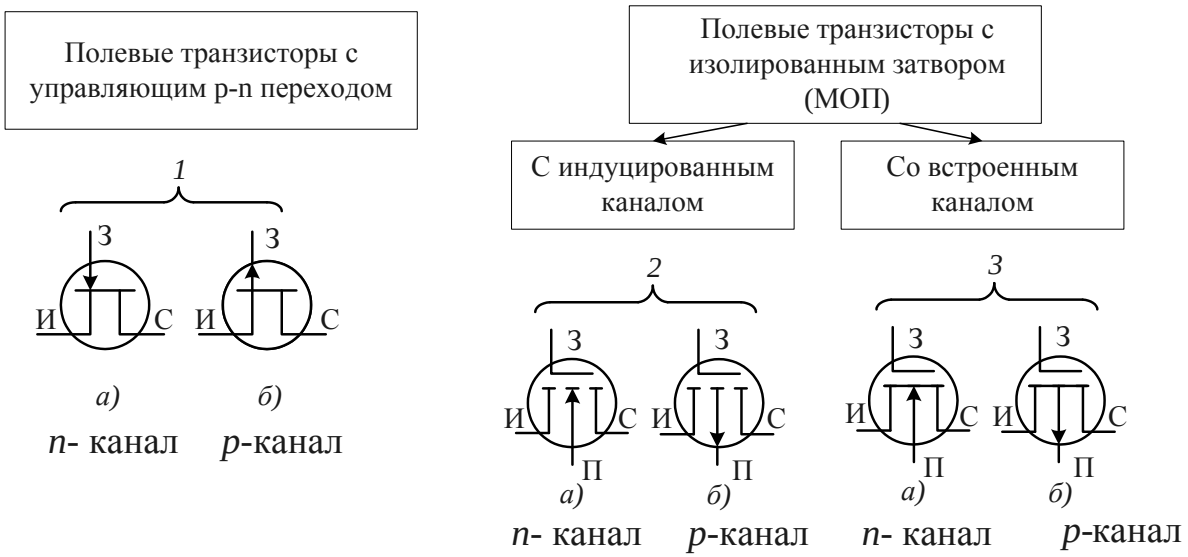

Рис.3.1. Таблица классификации и обозначения полевых транзисторов

3.2. Устройство полевого транзистора с управляющим *p-n* переходом и его характеристики

Устройство полевого транзистора с управляющим p-n переходом и каналом n- типа показано на рис.3.2. Между стоком (С) и истоком (И) включены источник напряжения стока E_C и сопротивление нагрузки R_H. Электроды стока и истока соединены с полупроводниковым слоем n-типа. На сток подключено положительное напряжение. Третий электрод - затвор (З) подключен к отрицательному напряжению $U_{ЗИ}$ и соединен с полупроводниковым материалом p-типа. На границе полупроволниковых материалов разных типов образуется p-n переход. Вокруг p-n перехода формируются области обеднения свободных носителей.

Если на затворе $u_{зи} < 0$, p-n переход заперт. Ток затвора равен нулю. С увеличением обратного напряжения расширяется p-n переход и уменьшается сечение проводящего канала n-типа. Отрицательное управляющее напряжение уменьшает ток между истоком и стоком и управляет этим током, обусловленным подвижными электронами.

В полевом транзисторе с управляющим p-n переходом и каналом p-типа на сток подают отрицательное напряэение, на затвор - положитель-

ное, а ток в p - канале будет обусловлен свободными положительными зарядами (дырками).

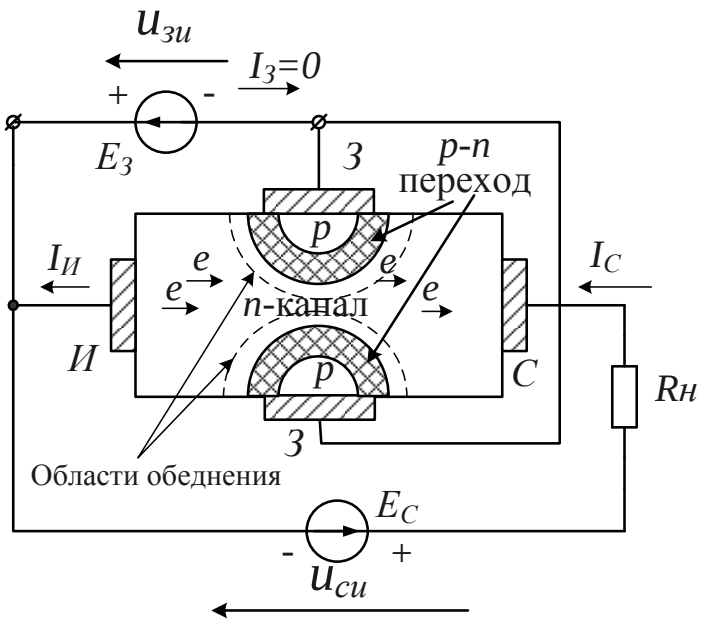

Рис.3.2. Устройство полевого транзистора с управляющим p-n переходом и каналом n-типа

Передаточная характеристика полевого транзистора с управляющим *p-n* переходом

Передаточные характеристики полевых транзисторов выражают зависимость тока стока от напряжения затвор-исток $I_C(U_{ЗИ})$. Качественный вид передаточных характеристик показан на рис.3.3.

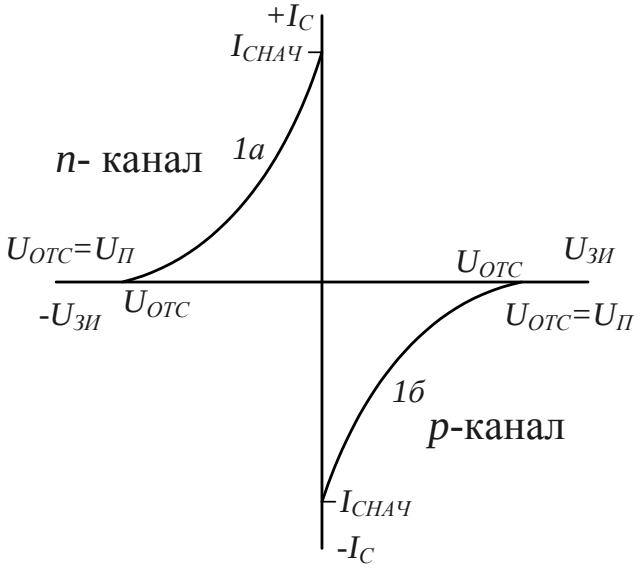

Рис.3.3. Передаточные характеристики полевого транзистора с управляющим p-n переходом

Транзистор с *n*-каналом открывается при $U > U_{отс} \approx (-2B \div -6B)$. При нулевом значении $U_{зи}$ проходит начальный положительный ток $I_{СНАЧ}$.

Транзистор с p-каналом открывается при $U < U_{отс} \approx (+2B \div +6B)$. При нулевом значении $U_{зи}$ проходит начальный отрицательный ток $I_{СНАЧ}$.

На рис.3.4 показана схема для снятия передаточной характеристики полевого транзистора 2N4091.

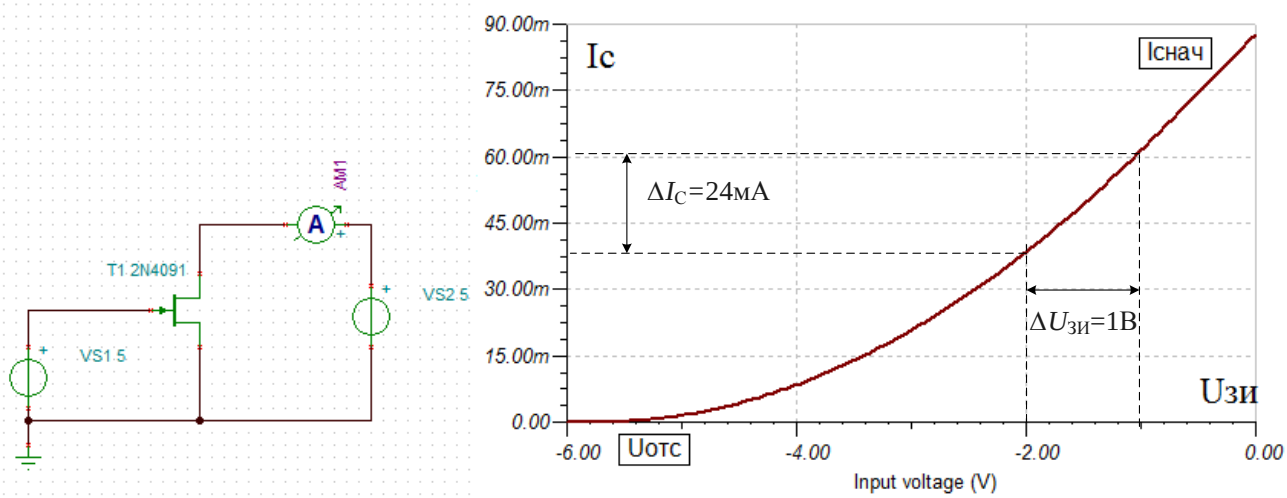

Рис.3.4. Передаточная характеристика полевого транзистора с управляющим p-n переходом

Данный транзистор имеет пороговое напряжение отсечки $U_{отс} = -5{,}74B$. Начальный ток $I_{СНАЧ} \approx 85мА$.

При постоянном напряжении $U_{СИ}$ передаточная характеристика приближенно описывается квадратичной функцией:

$$I_C \approx I_{Снач}\left(1 - \frac{U_{ЗИ}}{U_{ОТС}}\right)^2 \qquad 3.1$$

Усилительные свойства определяются крутизной передаточной ВАХ:

$$S = \frac{dI_C}{dU_{ЗИ}} = \frac{\Delta I_C}{\Delta U_{ЗИ}} = 24\frac{мА}{В}.$$

Выходным характеристиками полевого транзистора называют зависимости тока стока I_C от напряжния сток- исток $U_{СИ}$. Семейство выходных характеристик снимают при разных значениях напряжения $U_{ЗИ}$. На

рис.3.5 поканаза схема измерения и выходные характеристики полевого транзистора 2N4091.

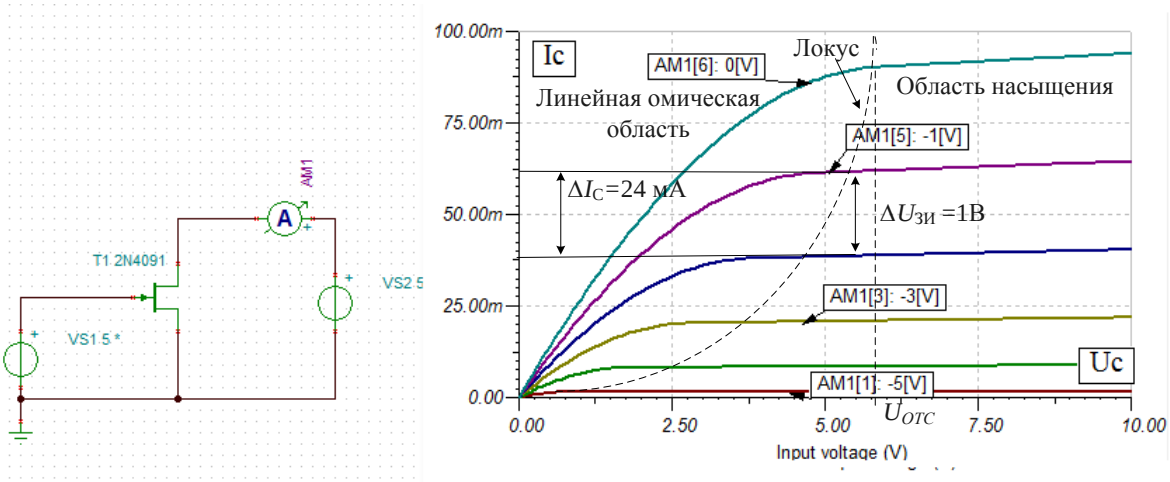

Рис.3.5. Выходные характеристики полевого транзистора 2N4091

Выходные характеристики имеют две области. На начальном участке, пока $U_{СИ} < |U_{ОТС}|$ ток стока увеличивается почти линейно. Наклон характеристики определяет омическое сопротивление транзистра и полевой транзистор ведет себя как управляемое сопротивление. Эту область выходных характеристик называют линейной омической. На графиках видно, что чем более отрицательным становится напряжение Uзи, тем меньше угол наклона выходных характеристик и, следовательно, больше сопротивление полевого транзистора между контактами сток-исток. Таким образом, изменяя Uзи, мы можем управлять сопротивлением полевого транзистора.

Приближенно сопротивление полевого транзистора можно рассчитать по формуле:

$$R_{СИ} \approx \frac{R_0}{(1-\frac{U_{ЗИ}}{U_{ОТС}})^2}, \qquad 3.2$$

где $R_0 = R_{СИ}$ при $U_{ЗИ} = 0$. К примеру, если R_0 =10 кОм, $U_{ОТС} = -6В, U_{ЗИ} = -3В$, то $R_{СИ} \approx 40 кОм$.

При увеличении напряжения $U_{СИ} > |U_{ОТС}|$, области обеднения (рис.3.2) почти смыкаются, выходные характеристики становятся почти горизонтальными, сопротивление транзистора стремится к бесконечности. Тем не менее остается очень малый канал, через который проходит ток высокой интенсивности, равный току насыщения $I_{Снас.}$ при заданных параметрах управляющий напряжений. Эту область называют областью насы-

щения или областью линейного усиления. Именно в этой области должны работать усилители сигналов с малыми искажениями. Область насыщения отделяется от линейной омической области линией локуса, которая проходит через точку $U_{СИ} = |U_{ОТС}|$.

По графикам выходных характеристик можно также определить крутизну транзистора. Так при изменении напряжения $U_{ЗИ}$ на 1 В ток стока меняется на 24 мА. Следовательно, S=24 мА/В.

Для выходной характеристики при $U_{ЗИ}$ =0 ток насыщения $I_{Снас.} \approx I_{Снач}$ на передаточной характеристике.

3.3. Устройство полевого транзистора с изолированным затвором и встроенным каналом

Конструкция полевого МОП транзистора с изолированным затвором и встроенным каналом n-типа показана на рис.3.6.

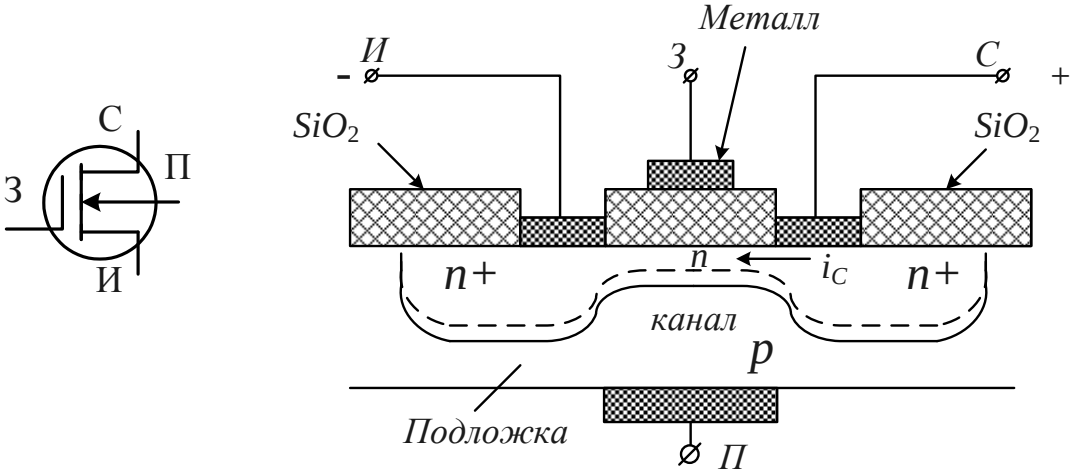

Рис.3.6. Конструкция МОП транзистора со встроенным каналом *n*-типа

Подложка из полупроводникового материала p-типа имеет изоляционное покрытие из двуокиси кремния. Металлические электроды истока и стока нанесены на материал подложки. Металлический электрод затвора изолирован от подложки диэлектрическим слоем. В области истока и стока полупроводниковый материал имеет сильно легированные области, обогащенные ностелями $n+$.

Сток подключают к плюсу источника питания. Между легированными областями под затвором имеется встроенный канал n- типа, в котором существует ток $I_{Снач}$ при $U_{зи} = 0$. Если $U_{зи} > 0$, электроны втягиваются в канал и ток возрастает. Если $U_{зи} < 0$, ток уменьшается.

На рис.3.7 показаны схема измерения и график передаточной ВАХ для МОП транзистора с каналом n-типа. Пороговое напряжение имеет не-

большое отрицательное значение. Транзистор работает в режиме обеднения (*depletion-type MOSFET*). Для этого управляющее напряжение на затворе делают отрицательным ($U_{зи} < 0$). Это напряжение «выталкивает» электроны из канала в область подложки, тем самым обедняя канал и уменьшая ток стока.

На рис.3.8 показаны выходные характеристики такого транзистора. На них также, как у транзистра с управляющим p-n переходом есть линейная омическая область и область насыщения, в которой реализуются усилительные свойства транзистора. Режим обеднения соответствует характеристикам с $U_{зи} < 0$. По выходным характеристикам мы видим, что крутизна исследованного экземпляра $S = 17\frac{мА}{В}$.

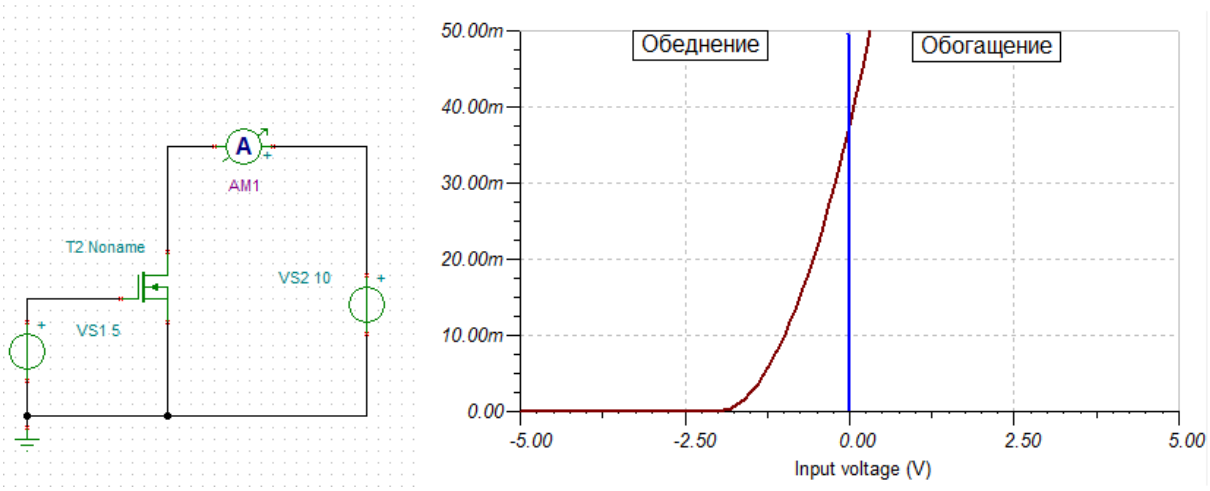

Рис.3.7. Схема измерения и график передаточной характеристики МОП транзистора со встроенным каналом n-типа.

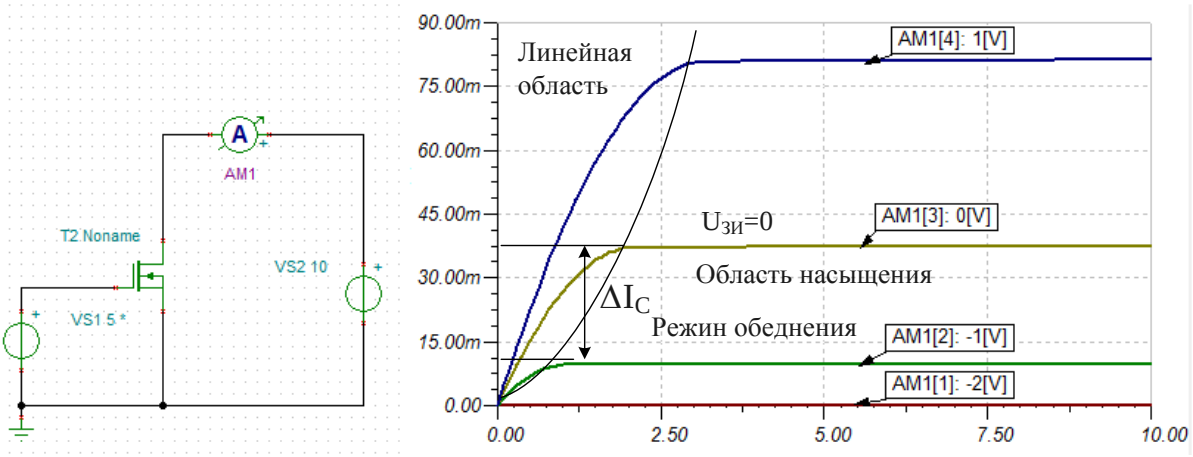

Рис.3.8. Выходные хараеткристики МОП транзистора со встроенным каналом n-типа.

Полевые транзисторы со встроенным *p* - каналом работают при отрицательных напряжениях на стоке. В режиме обеднения на затвор подают положительное напряжение, которое «выталкивает» положительные носители заряда (дырки) из канала, обедняет канал и уменьшает ток стока.

Конструкция МОП транзистора со встроенным каналом p-типа показана на рис.3.9.

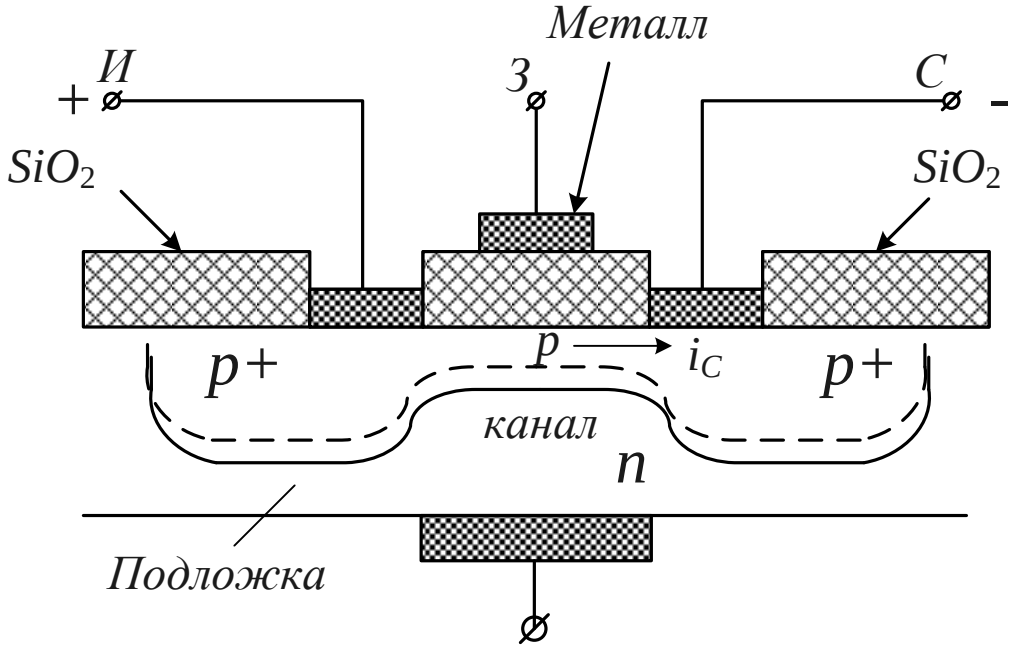

Рис.3.9. Конструкция МОП транзистора со встроенным каналом *p*-типа

3.4. Устройство полевого транзистора с изолированным затвором и индуцированным каналом

Конструкция полевого транзистора с индуцированным каналом *n*-типа показана на рис.3.10. Если $U_{зи} = 0$, канал обеднен носителями и $I_C = 0$. Транзистр можно представить двумя встречно включенными диодами, образованными закрытыми p-n переходами между легированными областями с носителями $n+$ и подложкой p-типа.

Когда положительное напряжение на затворе становится больше порогового ($U_{зи} > U_{пор}$), электрическое поле затвора втягивает в область канала электроны из области n^+ и повышает проводимость канала. Поэтому канал называется *индуцированным*, а режим работы транзистра называют режимом обогащения (*enhancement-type MOSFET*).

Схема измерения и передаточная характеристика МОП транзистра 2N6758 с индуцированным каналом n-типа показана на рис.3.11. Транзистор открывается при пороговом напряжении $U_{пор} > 2 \div 5B$.

Полевые транзисторы с индуцированным каналом управляются только при $|U_{зи}| > |U_{пор}|$.

Полевые транзисторы с индуцированным *p*-каналом работают при отрицательных напряжениях на стоке и затворе.

На рис.3.13 представлена сводная диаграмма передаточных характеристик полевых транзисторов различных типов. Диаграмма позволяет качественно определить полярности питающих напряжений и уровни управляющих напряжений $U_{зи}$.

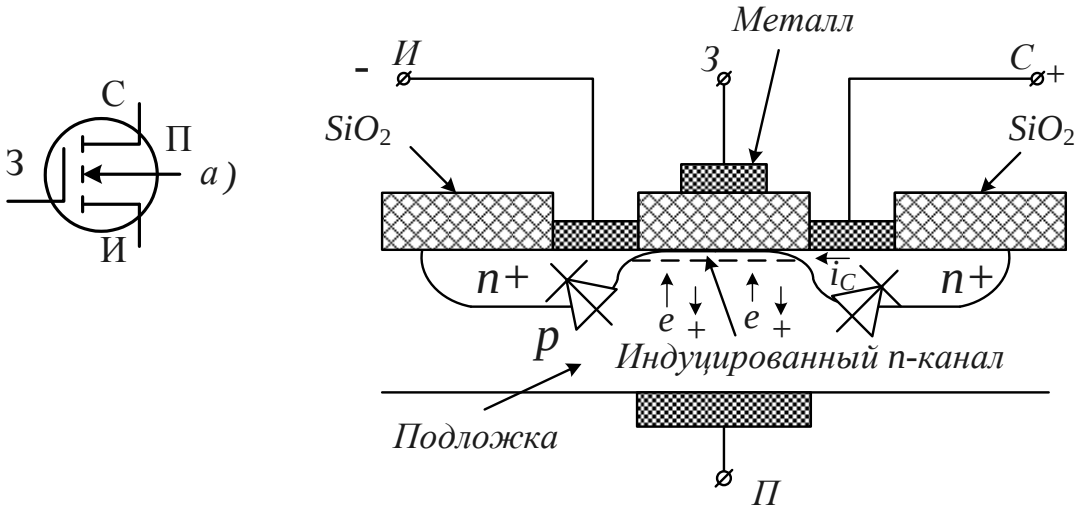

Рис.3.10. Конструкция МОП транзистора с индуцированным каналом *n*-типа

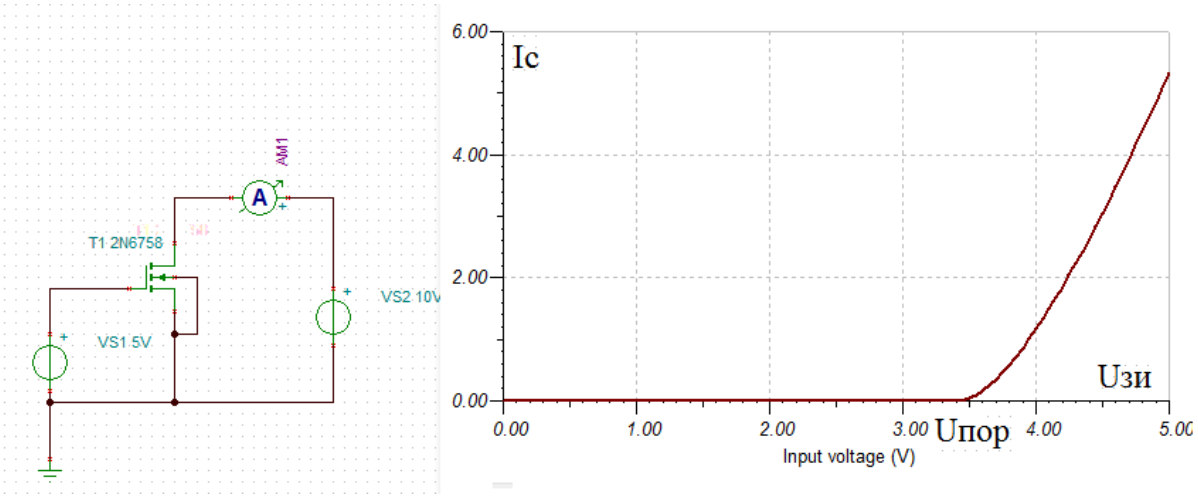

Рис.3.11. Схема измерения и передаточная характеристика МОП транзистора с индуцированным каналом *n*-типа

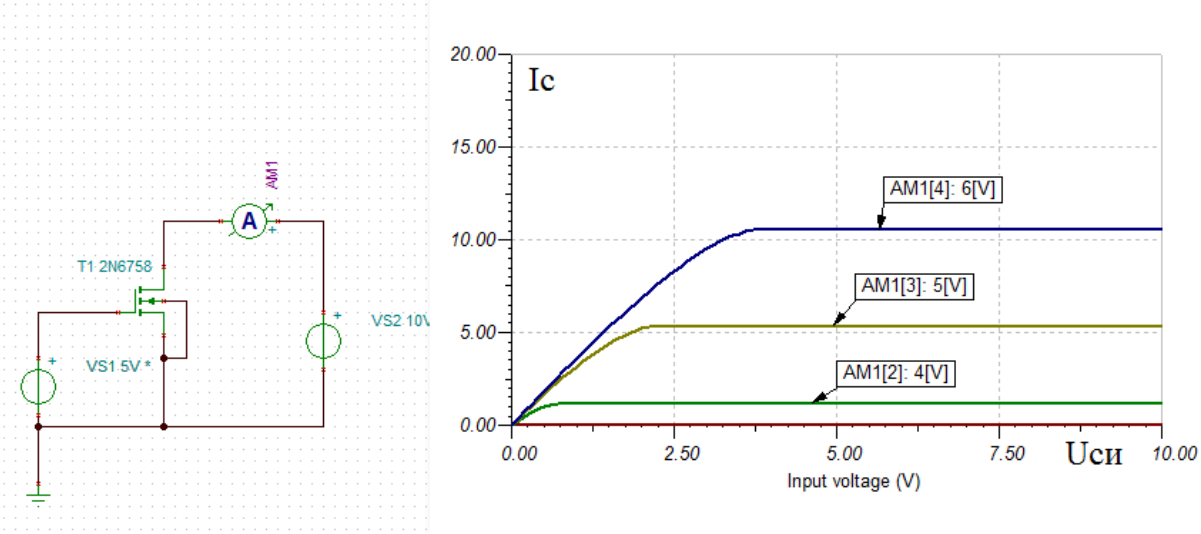

Рис.3.12. Рис.3.11. Схема измерения и выходные характеристики МОП транзистора с индуцированным каналом *n*-типа

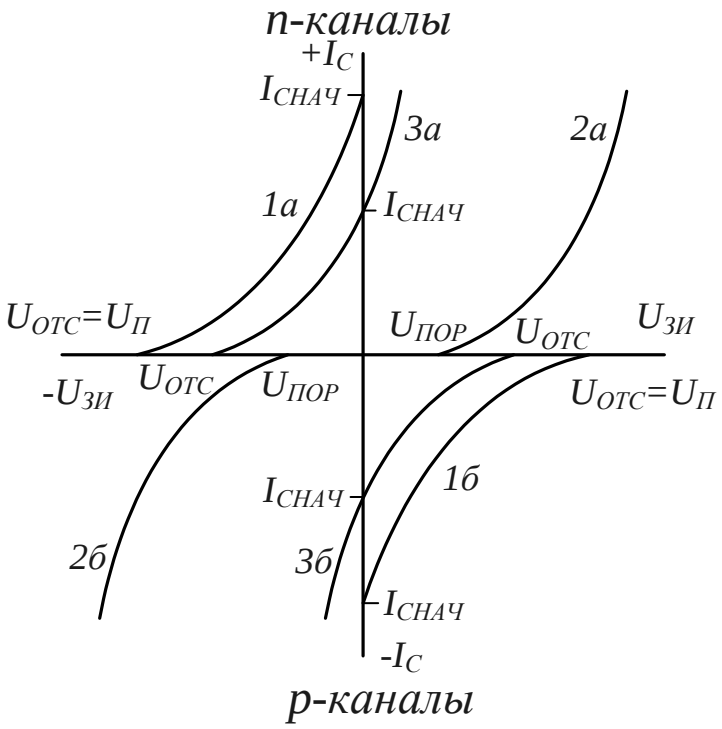

Рис.3.13. Сводная диаграмма передаточных характеристик полевых транзисторов разных типов
(1 - с управляющим p-n переходом; 2- с индуцированным каналом;
3 – со встроенным каналом;
а – для канала n – типа, б – для канала p – типа.)

3.5. Комплементарные МОП транзисторы (КМОП)

Можно создать очень эффективные логические цепи, если сконструировать на одной и той же подложке МОП транзисторы в p-каналом и n-каналом (рис.3.14). Отметим, что индуцированный p-канал расположен слева, а индуцированный n-канал равположен справа соответственно для p- и n- канальный транзисторов. Такую конфигурацию называют комплементарными КМОП транзисторами, которые имеет весьма широкое применение в логических устройствах. Высокое входное сопротивление, быстрая скорость переключения, низкая потребляемая мощность привели к созданию целой новой дисциплины, названной как проектирование КМОП микросхем.

Схема включения структуры (рис.3.14 позволяет реализовать принципиальную схему инвертера (рис.3.15), который инвертирует приложенный сигнал.

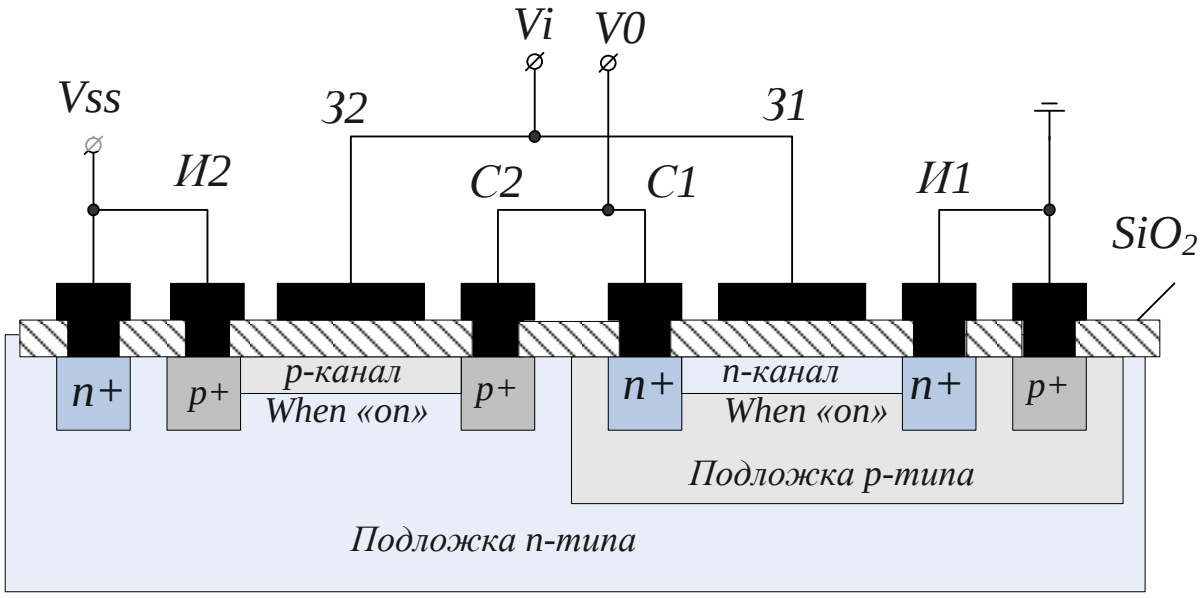

Рис.3.14. Конструкция комплементарного полевого транзистора КМОП

Если в инвертере входной сигнал имеет уровень U_i=0В (состояние 0), то выходной уровень U_0=5В (состояние 1). В схеме рис.3.15 два затвора соединены и подключены к входному сигналу. Два стока также соединены и подключены к выходу U_0. Исток p-канального МОП соединен непосредственно с питающим напряжением U_{ss}=5В, а исток n-канального МОП соединен с землей. Если на вход поступает U_i=5В, напряжение $U_{зи1} = 5B$, транзистор Т1 будет открыт. Так как в это время U_i=5В=U_{ss}, то транзистор Т2 будет закрыт и его сопротивление будет велико. В результате выходной сигнал на стоках транзистров U_0=0В.

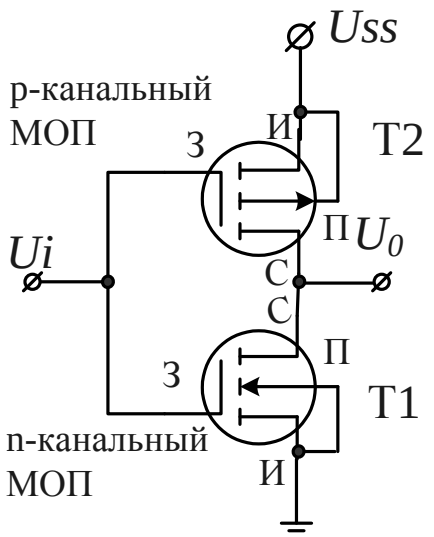

Рис.3.15. Схема инвертера

Если приложить к затворам напряжение U_i=0В, то транзистор Т1 будет закрыт, а Т2 откроется. Получим выходное напряжение U_0=5В.

Так как в любом случае один из транзисторов закрыт и имеет очень малый ток, потребляемая мощность весьма мала.

Таким образом, мы получили инвертер на КМОП транзисторах.

Достоинством КМОП микросхем является их высокая скорость переключения. Однако, технологический процесс изготовления более сложный, чем для N-МОП и P-МОП структур.

3.6. Эквивалентные схемы полевых транзисторов

На рис.3.16 показаны упрощенная схема усилителя с общим истоком на МОП транзисторе и схема замещения на низких частотах.

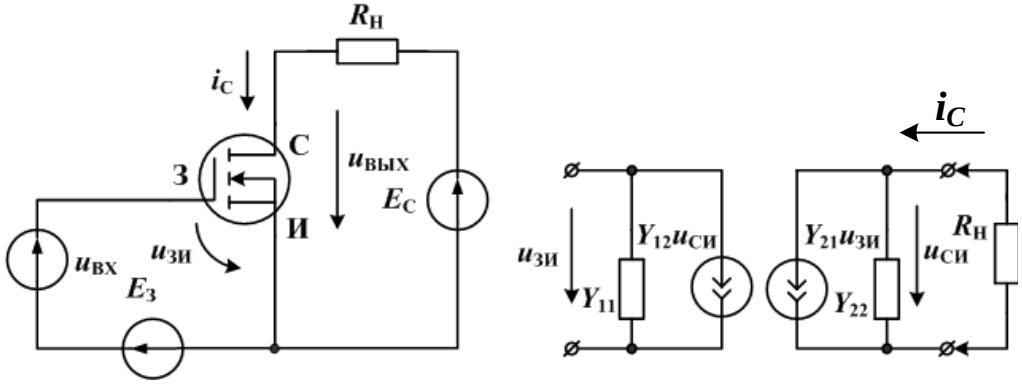

Рис.3.16. Схема усилителя на МОП транзисторе и схема замещения

Источник напряжения Е3 создает требуемое напряжение смещения на затворе. Источник напряжения ЕС создает напряжение питания цепи стока. Источник переменного сигнала uвх подключен между затвором и истоком. Выходной сигнал снимают с резистора Rн, включенного в цепи стока.

В схеме замещения усилительного каскада в области низких частот для малых сигналов переменное входное напряжение $u_{ЗИ}$ преобразуется управляемым источником тока в переменный ток стока i_C, который создает в нагрузке выходное напряжение $u_{СИ}$.

Полевой транзистор в приближенных расчетах для малых сигналов заменяют четырехполюсником в Y- параметрах:

$$i_з = y_{11}u_{зи} + y_{12}u_{си}$$
$$i_c = y_{21}u_{зи} + y_{22}u_{си} \qquad (3.3)$$

В этих уравнениях:

y_{11} - проводимость утечки затвора транзистора,

y_{22} - выходная проводимость,

$y_{21}=S$ - крутизна полевого транзистора (или проводимость прямой передачи),

y_{12} - проводимость обратной передачи.

Как правило, считают $y_{11}=y_{12}=0$. Выходная проводимость $y_{22} = \dfrac{1}{R_{вых}}$, причем $R_{вых}$ составляет 30кОм и более.

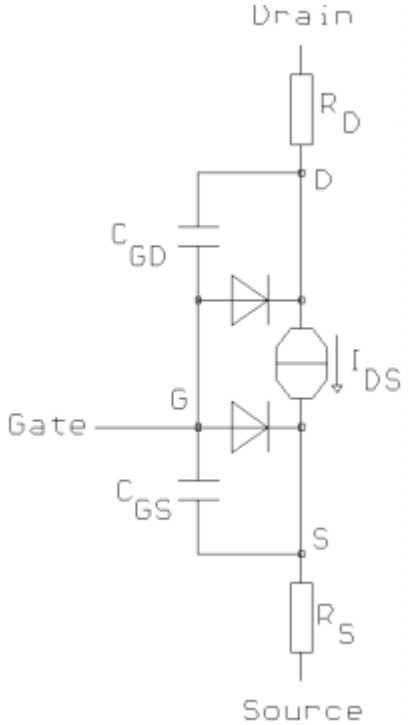

Рис.3.17. Spice модель полевого транзистора

Наиболее точными являются Spice-модели, которые применяются в программах моделирования. На рис.3.17 показана схема Spice-модели полевого транзистра с управляющим p-n переходом 2N4091. В программе эту схему сопровождают более 25 уравнений, которые связывают работу модели с внешними напряжениями и токами, температурой окружающей среды и т.п.

Работа транзистора с различных режимах описывают 12 уравнений, содержащие свыше 20 параметров.

3.7. Расчет усилителя низкой частоты на полевом транзисторе

На рис.3.18 показана схема усилителя низкой чстоты на полевом транзисторе 2N4091 с управляющим p-n переходом и каналом n- типа.

Параметры усилителя:

$$R_1 = 100\,кОм, R_2 = 50\,Ом, R_3 = 200\,Ом, R_4 = 1\,кОм,$$
$$C_1 = C_2 = C_3 = 100\,мкФ, E_П = 20\,В,$$

$u_c(t) = 0{,}5\sin 2\pi ft\,B, f = 1кГц$.

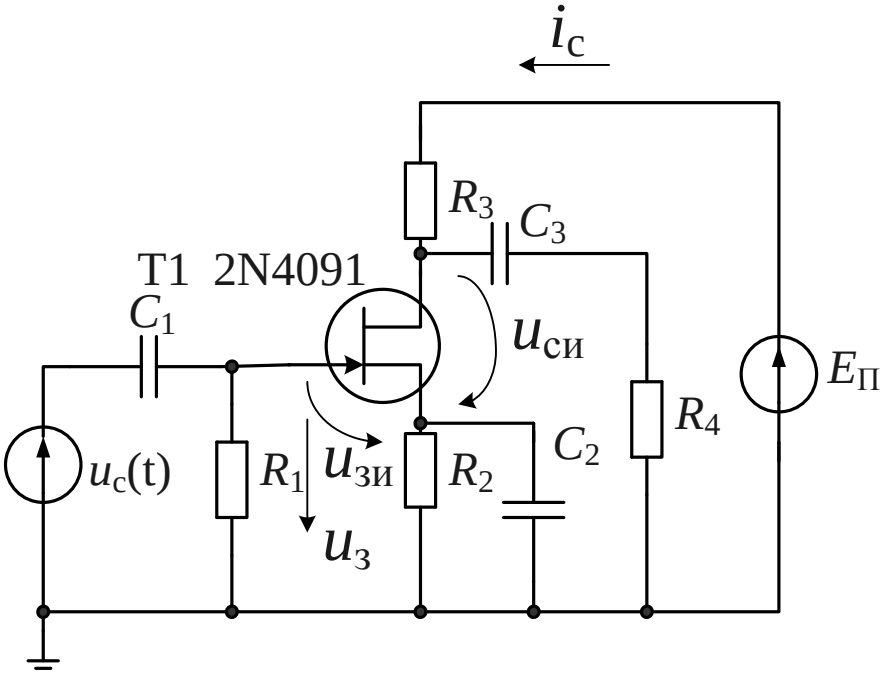

Рис.3.18. Схема усилителя на полевом транзисторе

1. Расчет режима покоя на входе и выходе

Требуется определить: $u_{зи0}, i_{c0}, u_{си0}, u_{c0}$

Входная цепь

Так как $i_{з0} = 0$, $u_{з0} = 0 = u_{зи0} + i_{c0}R_2$.

На передаточной ВАХ проводим прямую $u_{зи0} = -i_{c0}R_2$ (рис.3.19).

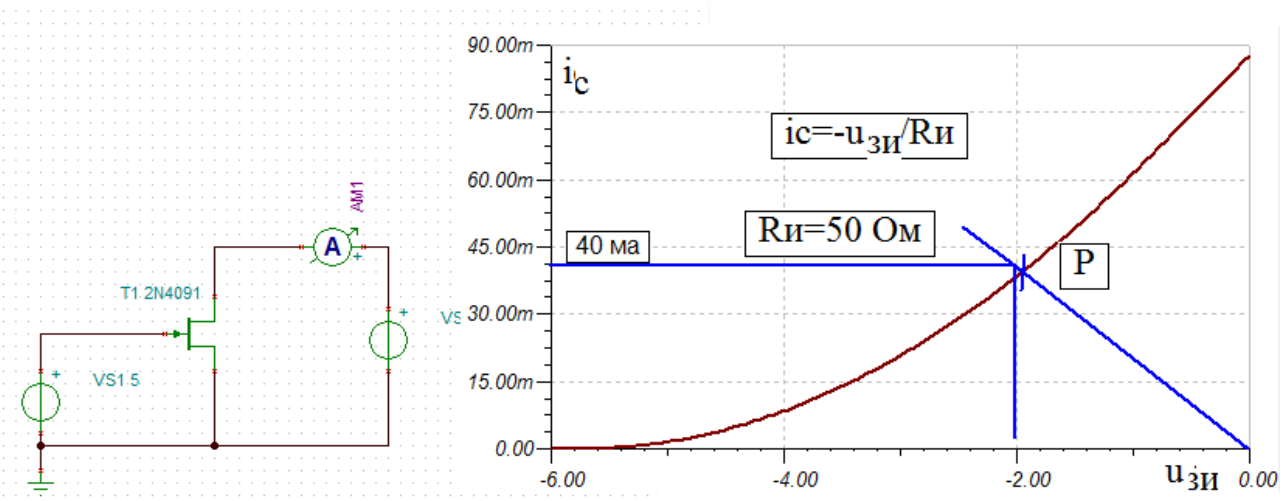

Рис.3.19. Графический расчет входной цепи

Находим рабочую точку P: $u_{зи0} \approx -2B, i_{c0} \approx 40мА$.

Выходная цепь

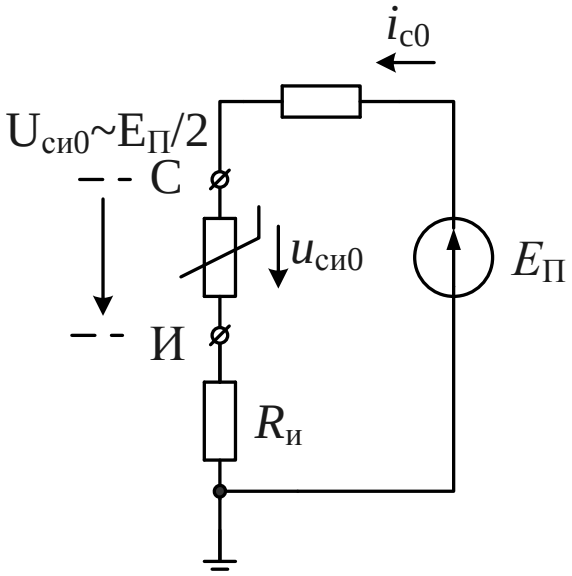

Рис.3.20. Эквивалентная схема выходной цепи

Эквивалентная схема выходной цепи показана на (рис.3.20).

В программе TINA:

1. Строим выходную ВАХ для $u_{зи0} = -2B$ (рис.3.21).

2. Строим нагрузочную прямую и находим режим покоя: $u_{си0} = 10B, i_{c0} = 40мА$.

3. По передаточной ВАХ в рабочей точке находим крутизну:

$$S = \frac{\Delta i_C}{\Delta u_{ЗИ}} = 20\frac{мА}{В}.$$

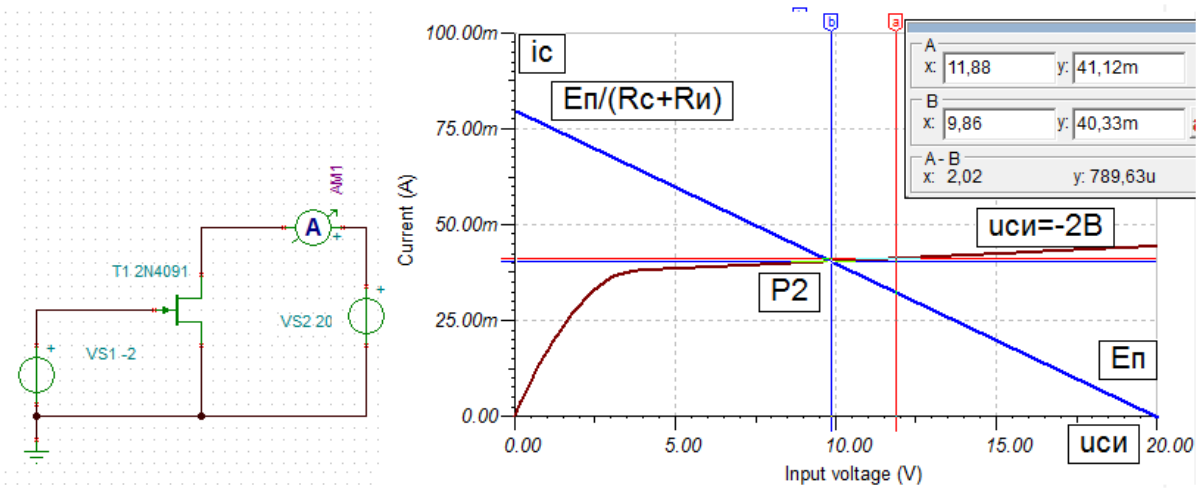

Рис.3.21. Расчет рабочей точки выходной цепи

Рассчитаем: $i_{c0} \cdot R_c = 40мА \cdot 200Ом = 8B$,

$u_{c0} = E_П - i_{c0} \cdot R_c = 12B$.

С помощью двух курсоров найдем выходную проводимость транзистора:

$$Y_{22} = \frac{\Delta I_C}{\Delta U_{СИ}} = \frac{789{,}63мкА}{2{,}02B} = 390{,}9 \cdot 10^{-6} См.$$

Выходное сопротивление $R_{вых} = \dfrac{1}{Y_{22}} = 2558\,Ом$.

На рис.3.22 показан расчет крутизны в рабочей точке: $S = 20\dfrac{мА}{В}$.

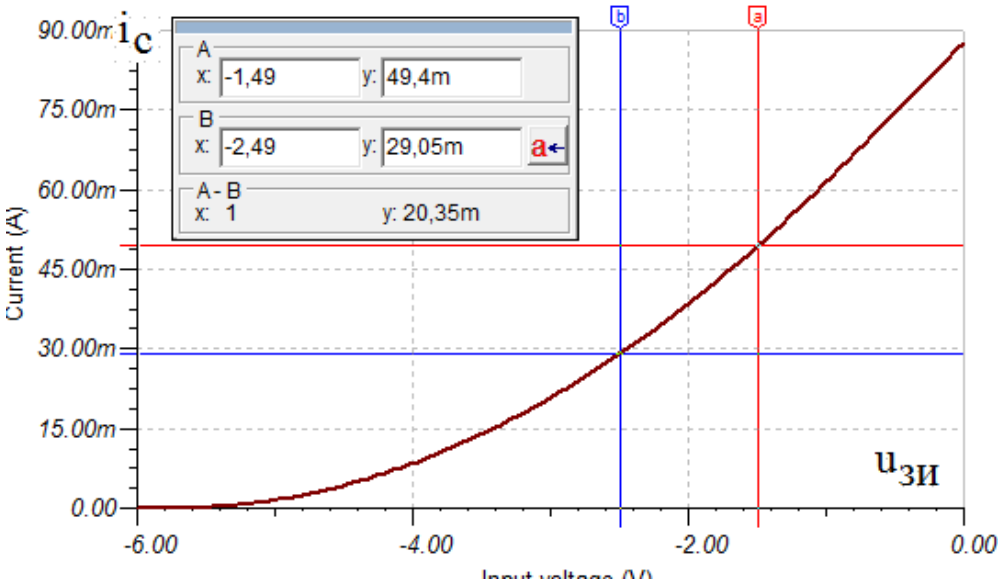

Рис.3.22. Расчет крутизны в рабочей точке

Выполним моделирование схемы в режиме покоя (рис.3.23) и увидим, что результаты графического расчета и моделирования совпадают..

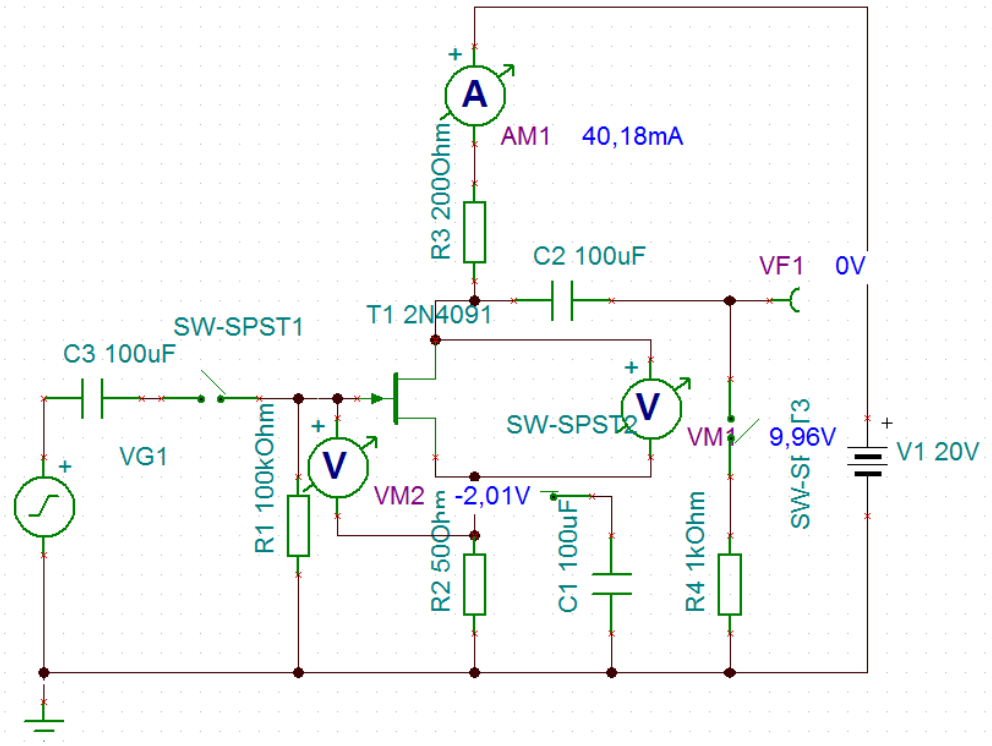

Рис.3.23. Моделирование усилителя в режиме покоя

2. Расчет амплитуд переменных составляющих

1-й случай. Отсутствует блокировочная емкость C_2 в истоке и нагрузка R_4 (рис.3.24). Усилитель имеет отрицательную обратную связь, обусловленную резистором R_2 в истоке. Считаем, что C_1 и C_2 большие и их влияние можно не учитывать.

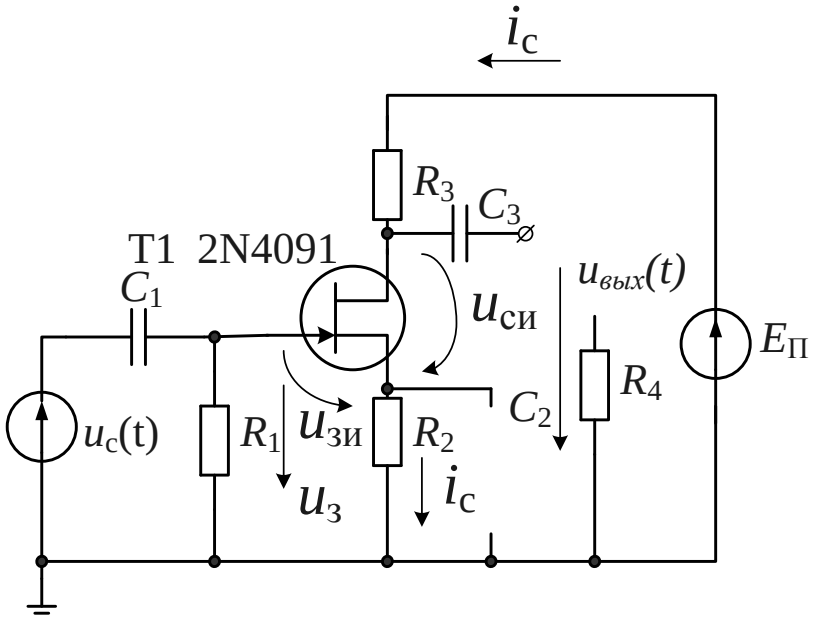

Рис.3.24. Схема усилителя без блокировочной емкости и нагрузки

Получим для малых приращений:

$$\Delta u_{c\sim} = \Delta u_з = \Delta u_{зи} + \Delta i_c R_2 = \Delta u_{зи} + S\Delta u_{зи} R_2;$$

$$\Delta u_{зи} = \frac{\Delta u_{c\sim}}{1 + SR_2}.$$

Входной сигнал:

$$u_c(t) = 0{,}5\sin 2\pi ft\,B,\ f = 1кГц.$$

Расчет амплитуды сигнала $U_{mзи}$:

$$U_{mвх} = 0{,}5B,\ S = 20\frac{мА}{B},\ R_2 = 50Ом.$$

$$U_{mзи} = \frac{0{,}5}{1 + 0{,}02 \cdot 50} = 0{,}25B.$$

Амплитуда тока стока:

$$I_{Cm} = SU_{зим} = 20 \cdot 10^{-3} \cdot 0{,}25 = 5мА.$$

Мгновенные значения переменных сигналов:

$$i_c(t) = i_{c0} + I_{Cm}\sin\omega t = (40 + 5\sin\omega t)мА;$$

$$u_c(t) = E_п - i_c(t)R_3 = 20 - (40 + 5\sin\omega t)\cdot 10^{-3}\cdot 200 =$$
$$= 20 - 8 - 1\sin\omega t\, B = 12 - 1\sin\omega t\, B.$$

Коэффициент усиления по напряжению: $K_U = \dfrac{U_{твых}}{U_{твх}} = 2.$

Выполним моделирование и получим совпадение результатов (рис.3.25).

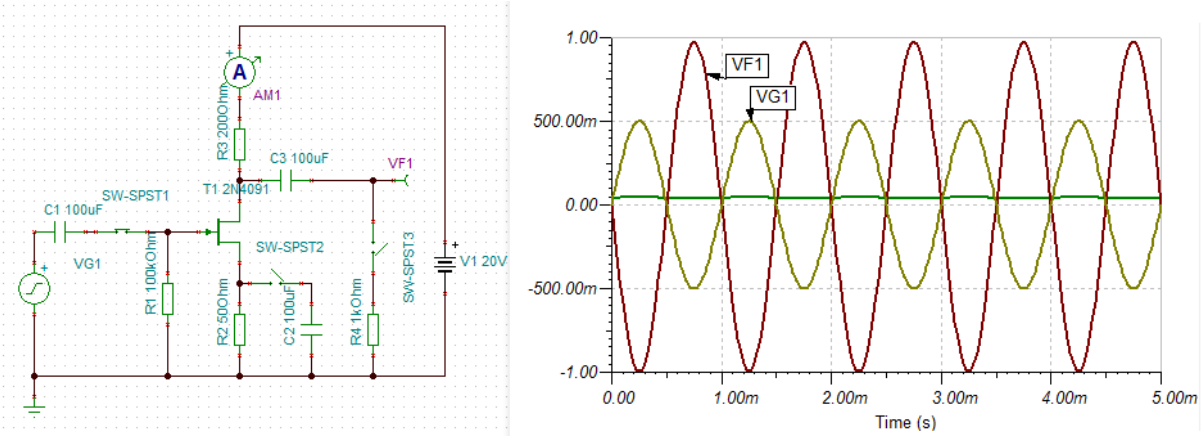

Рис.3.25. Моделирование усилителя с отрицательной обратной связью

2-й случай. Блокировочная емкость и нагрузка включены.

Считаем $X_{C2} \ll R_2$. Отрицательную обратную связь по переменному сигналу не учитываем.

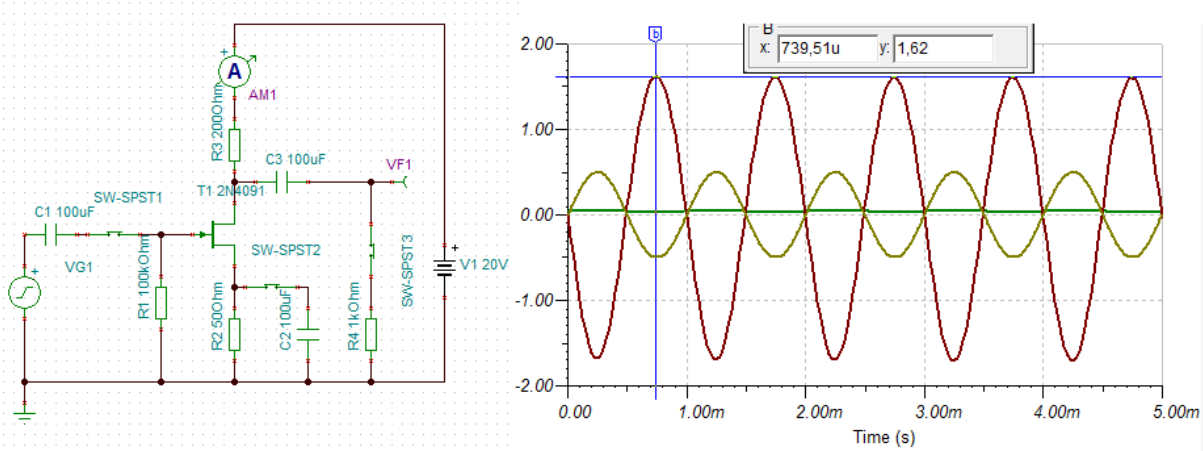

Рис.3.26. Моделирование усилителя с блокировочной емкостью и нагрузкой

Получим:

$$U_{тзи} = U_{твх} = 0{,}5B,\ I_{mC} = SU_{тзи} = 20\cdot 10^{-3}\cdot 0{,}5 = 10\,мА;$$

$$R_{нэ} = \frac{R_3 R_4}{R_3 + R_4} = \frac{200 \cdot 1000}{1200} = 166{,}6\,Ом;$$

$$u_c(t) = E_п - i_c(t) R_3 = 12 - 1{,}66 \sin \omega t\, B;$$

$$K_U = 3{,}32.$$

Моделирование (рис.3.26) подтверждает результаты расчетов.

Частотные свойства усилителя на полевом транзисторе с нагрузкой

На рис.3.27 показана амплитудно-частотная характеристика усилителя в модели (рис.3.26).

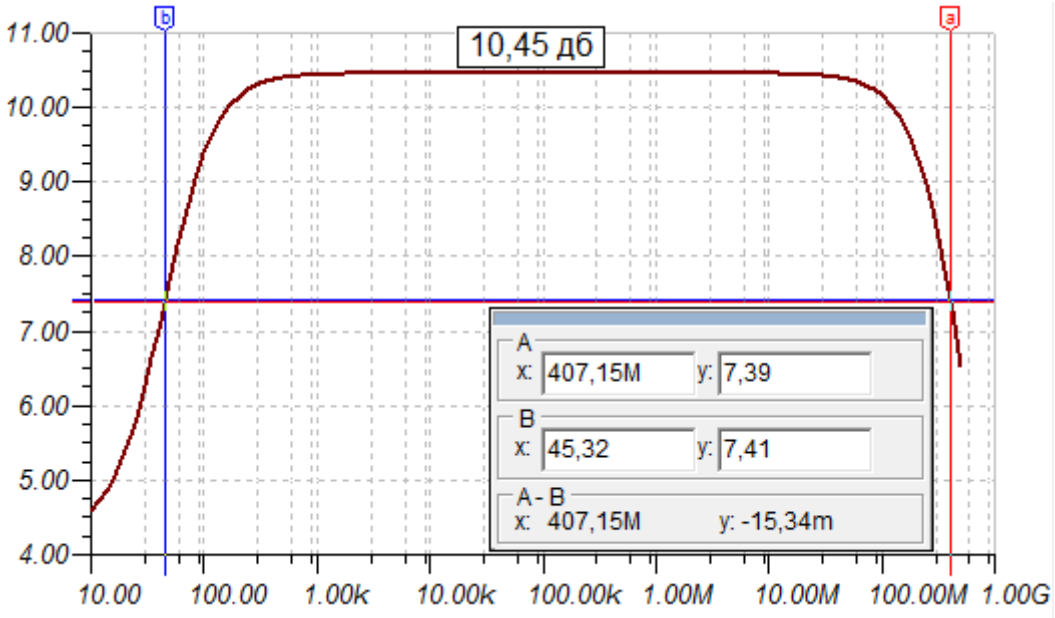

Рис.3.27. Амплитудно-частотная характеристика усилителя

Максимальное усиление составляет:

$$K_{дб} = 10{,}45\,дб = 20 \lg K_U,\ K_U = 10^{\frac{10{,}45}{20}} = 10^{0{,}522} = 3{,}33.$$

По уровню -3дб полоса пропускания усилителя от 45Гц до 407МГц. АЧХ имеет хорошую линейность в полосе пропускания. Это подтверждает высокое качество усиления переменных сигналов.

3.8. Истоковый повторитель

Схема истокового повторителя на полевом транзисторе показана на рис.3.28. Истоковый повторитель обеспечивает высокое входное сопротивление, низкое выходное сопротивление, коэффициент усиления близкий к единице.

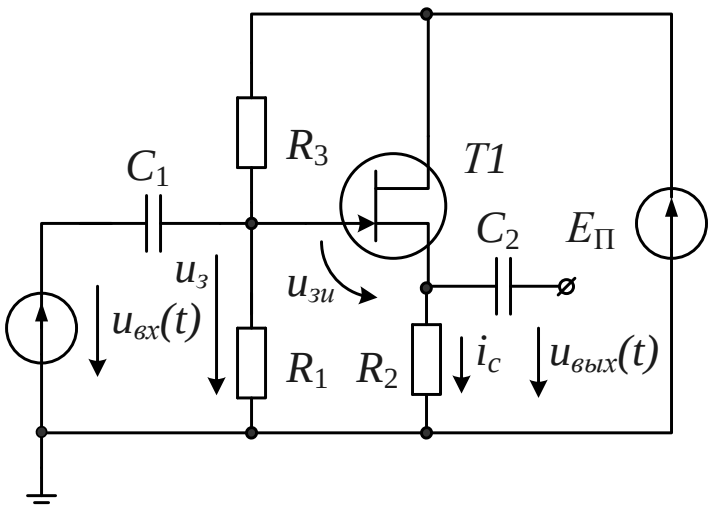

Рис.3.28. Схема истокового повторителя

Выполним расчет истокового повторителя с такими параметрами: полевой транзистор T1 2N4091, Еп=24В, R2=1кОм, R1=100кОм, R2=200кОм, C1=C2=100 мкФ.

Входной сигнал: $u_{вх}(t) = 0{,}5\sin 2\pi f t\, B,\ \ f = 1 кГц$.

Расчет в режиме покоя

Практический выбор резисторов смещения

Для получения рабочей точки выходной цепи в центре выходных характеристик надо установить напряжение $U_{СИ} \approx \dfrac{E_П}{2}$.

В модели истокового повторителя (рис.3.29) в режиме *DC-DC Transfer Charateristic* установим *Input – R3* и будем менять R_3 так, чтобы напряжение $U_{СИ} = 12B$. Получим требуемое значение $R_3 = 193 кОм \approx 200 кОм$.

Расчет входной цепи

1. Цепь смещения заменяем эквивалентным генератором:

$$E_Э = \frac{E_П R_1}{R_1 + R_2} = \frac{24}{3} = 8B, R_Э = \frac{100 \cdot 200 \cdot 10^6}{300 \cdot 10^3} = 66{,}6 кОм.$$

Для входной цепи в режиме покоя: $u_{з0} = E_Э = u_{зи0} + i_{c0} R_2$.

На передаточной ВАХ строим эту прямую (рис.3.30):

Результаты расчета ($u_{зи0} = -3{,}8B,\ i_{c0} = 12мА$) совпадают с моделированием.

Определяем крутизну в рабочей точке (рис.3.31): $S = 13{,}3 \dfrac{мА}{В}$.

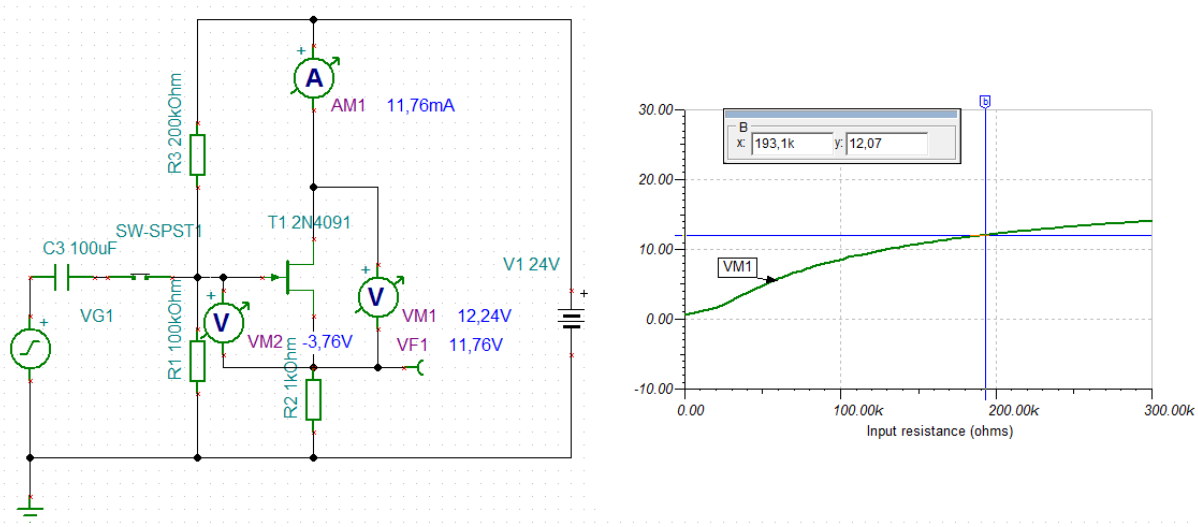

Рис.3.29. Модель истокового повторителя и выбор цепи смещения

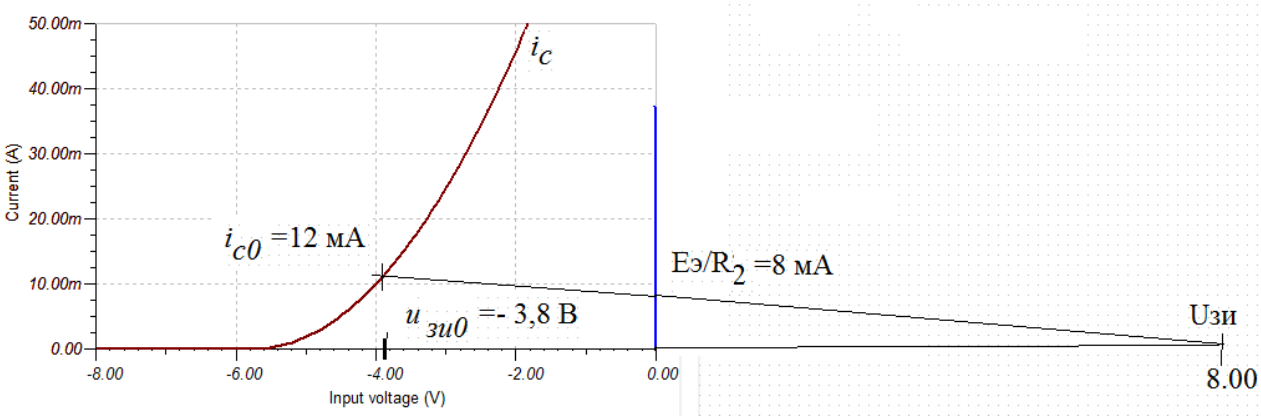

Рис.3.30. Графический расчет входной цепи

Расчет выходной цепи

На выходной ВАХ (рис.3.32) для напряжения $U_{зи} = -3{,}8B$ строим нагрузочную прямую с отрезками на осях:

$$u_{си} = E_П = 24B, \quad E_П / R_2 = 24мА.$$

Получаем в режиме покоя: $i_{c0} = 11{,}3мА, U_{си} = 12{,}66B$.

Результаты расчета и моделирования совпадают.

Расчет усиления переменного сигнала

Считаем, что емкости C_1 и C_2 имеют очень малое сопротивление в диапазоне частот сигнала и не влияют на усиление. Тогда:

$$u_{вх}(t) = u_{зи}(t) + i_c(t)R_2 = u_{зи}(t) + Su_{зи}(t)R_2; \; u_{зи}(t) = \frac{u_{вх}(t)}{1 + SR_2}.$$

Вычислим амплитуды переменного сигнала:

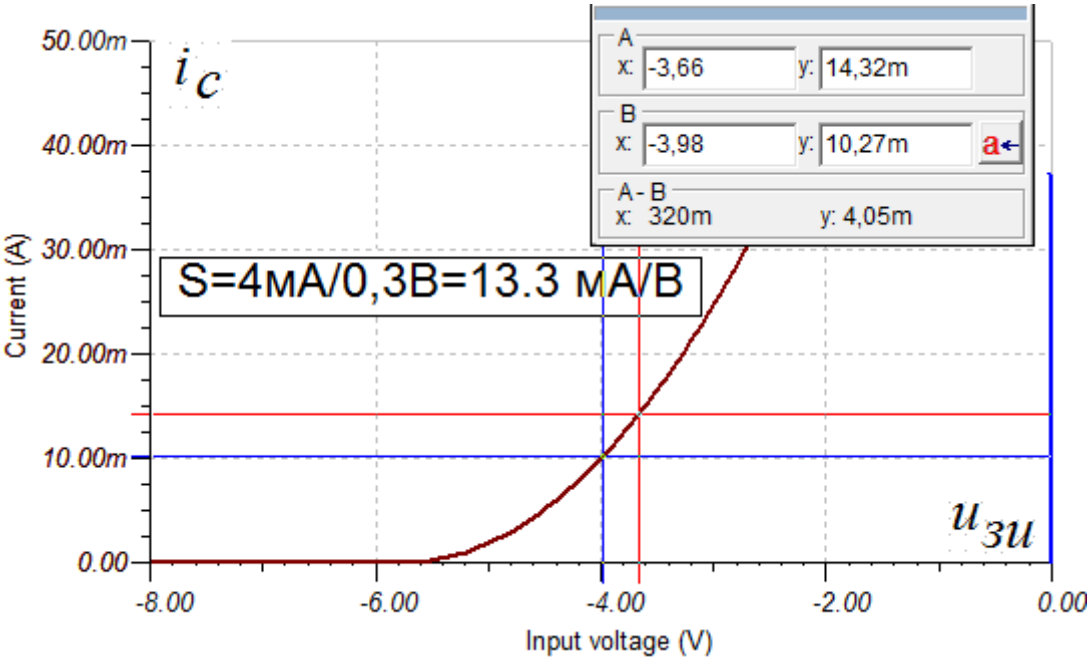

Рис.3.31. Определение крутизны в рабочей точке

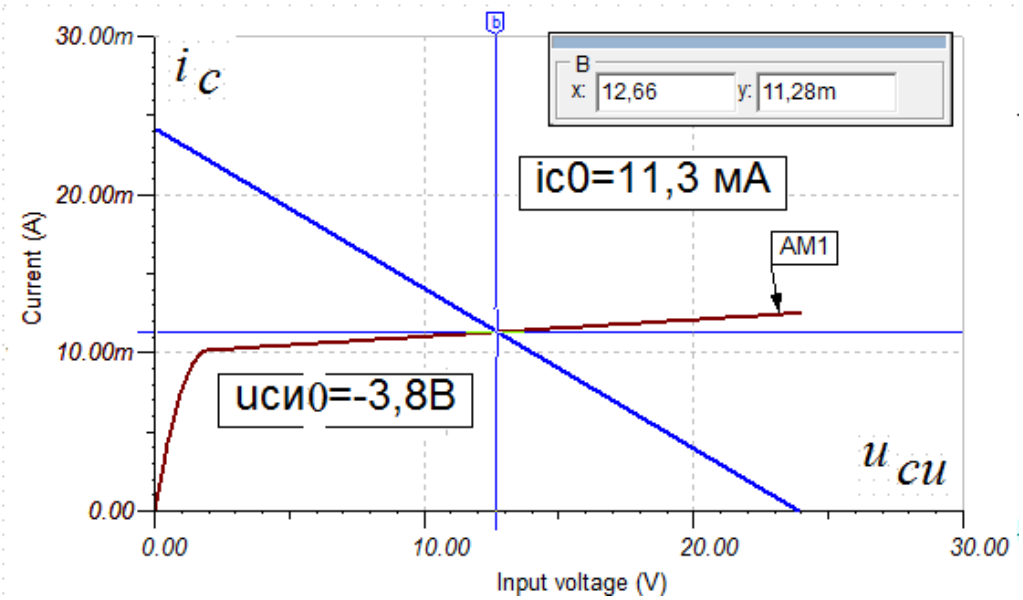

Рис.3.32. Графический расчет выходной цепи

$$U_{mзи} = \frac{U_{mвх}}{1+SR_2} = \frac{0,5}{1+13,3\cdot 10^{-3}10^3} = 34,9\,мВ;$$

$$I_{mc} = U_{mзи}S = 0,0349\cdot 13,3\cdot 10^{-3} = 0,464\,мА.$$

Вычислим мгновенные значения:

$$i_c(t) = i_{c0} + I_{mc}\,\mathbf{sin}\,2\pi ft = 12 + 0,464\cdot \mathbf{sin}\,2\pi ft\,мА;$$

$$u_{вых}(t) = i_c(t)R_2 = 12 + 0,464\cdot \mathbf{sin}\,2\pi ftВ.$$

Амплитуда напряжения переменного сигнала на нагрузке:

$U_{mн} = 0{,}464\,B$.

Коэффициент усиления:

$$K_U = \frac{U_{mн}}{U_{mвх}} = \frac{0{,}464}{0{,}5} = 0{,}92.$$

Выходное сопротивление истокового повторителя

Считаем, что $u_{вх}(t) = const\,(\Delta u_{вх} = 0)$, а нагрузка R_2 меняется.

Для приращений: $\Delta u_{зи} + \Delta u_{н} = 0$.

Далее получим:

$$\Delta i_{н} = S\Delta u_{зи},\ \frac{\Delta i_{н}}{S} + \Delta u_{н} = 0,$$

$$R_{вых} = \left|\frac{\Delta u_{н}}{\Delta i_{н}}\right| = \frac{1}{S} = \frac{1}{13{,}3\cdot 10^{-3}} = 75\,Ом.$$

Экспериментально выходное сопротивление можно определить в модели (рис.3.33). Будем изменять сопротивление нагрузки в пределах от 800 Ом до 1,2 кОм. По графикам (рис.3.34) найдем $dU = 0{,}18B$ и $dI = 2{,}16мА$. Получим близкое к расчету выходное сопротивление:

$$R_{вых} = \frac{0{,}18B}{2{,}16\,мА} = 83\,Ом.$$

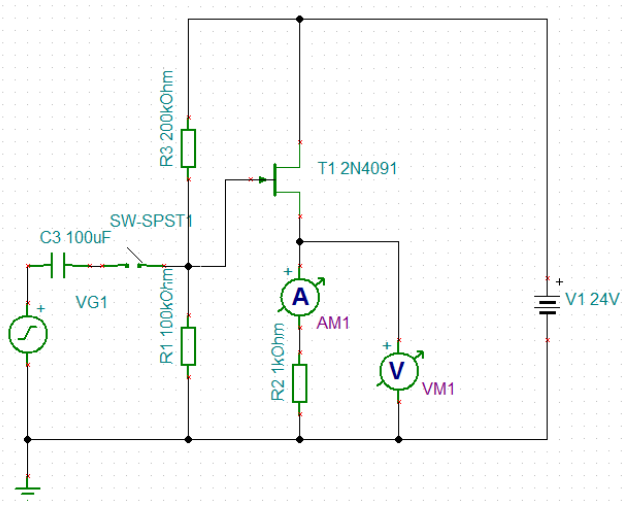

Рис.3.33. Измерение выходного сопротивления

Для проверки расчетов усиления выполним моделирование в схеме рис.3.33 для входного переменного сигнала $u_{вх}(t) = 0{,}5\sin 2\pi ft\,B$ с частотой $f = 1кГц$. Результаты моделирования (рис.3.35) показывают, что амплитуда выходного сигнала $U_{mн} = 0{,}45B$, а коэффициент усиления $K_U = \frac{U_{mн}}{U_{mвх}} = \frac{0{,}45}{0{,}5} = 0{,}9$ совпадает с расчетом.

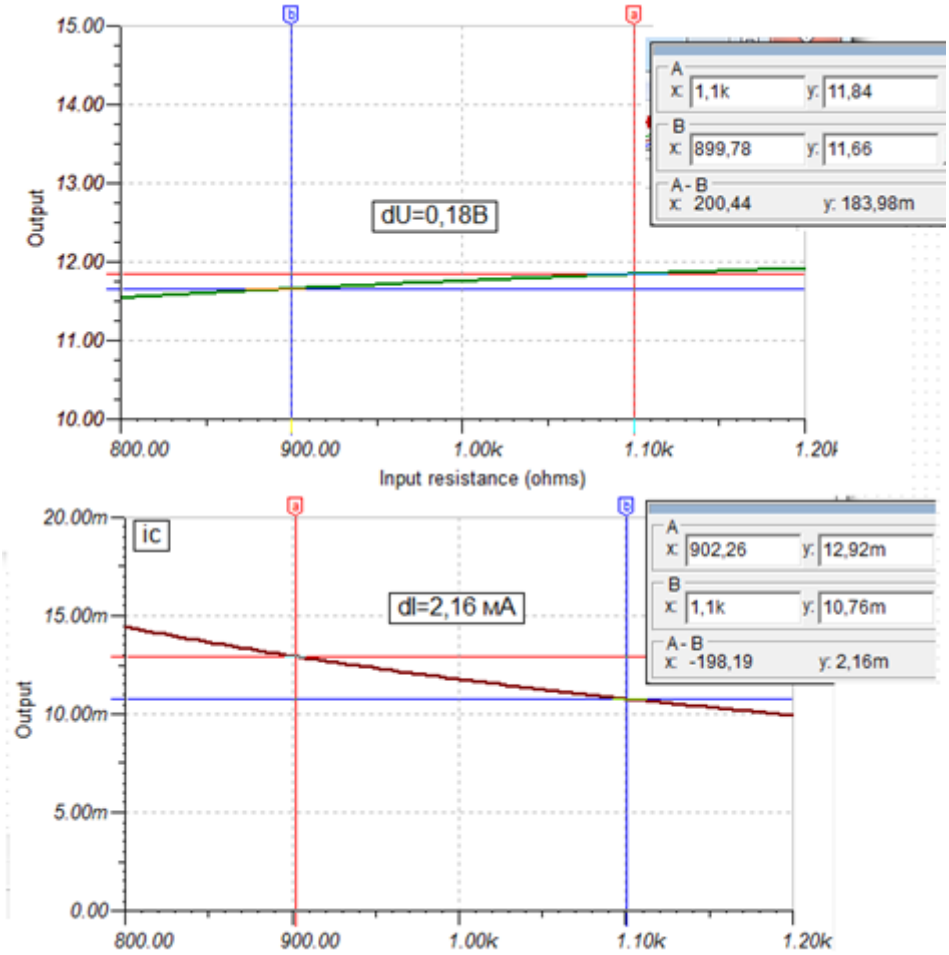

Рис.3.34. Измерение приращений напряжения и тока на нагрузке

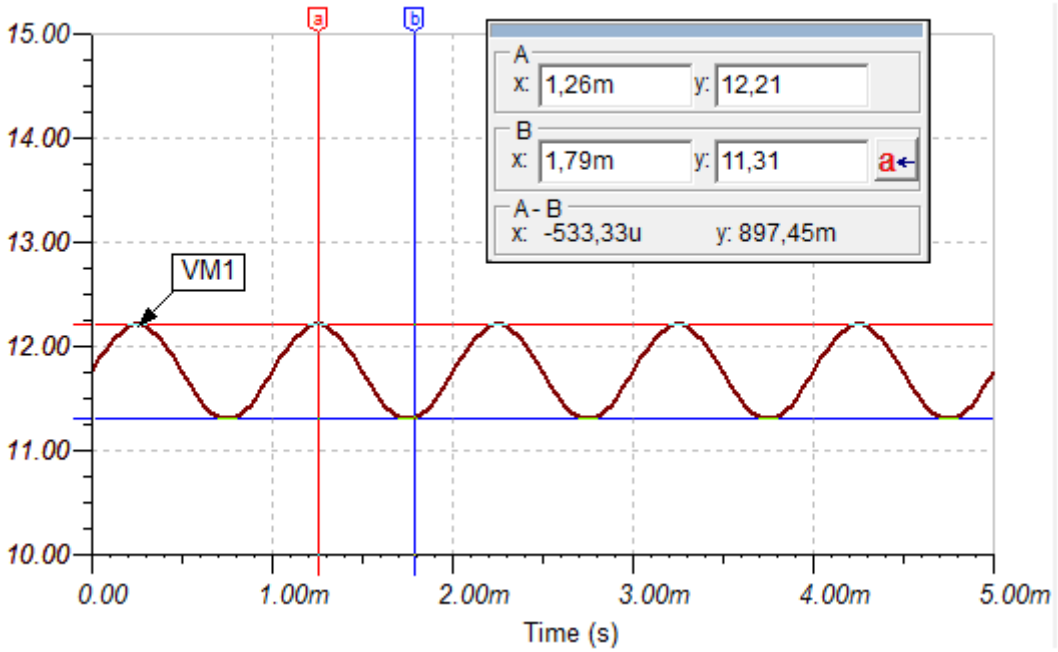

Рис.3.35. Моделирование выходного сигнала истокового повторителя

3.9. Расчет каскада на полевом транзисторе в режиме малого сигнала с использованием Y-параметров

Для модели усилительного каскада на полевом транзисторе 2N4091 с общим истоком (рис.3.23), в которой подключен источник сигнала и нагрузка, выполним расчет по переменной составляющей в режиме малого сигнала.

В схеме модели установлены следующие компоненты: R_1=100кОм, R_2=$R_И$=50Ом, R_3=$R_С$=200Ом, R_4=$R_Н$=1кОм. Емкости С1, С2, С3 имеют номиналы 100мкФ и могут не учитываться в расчетах на средних частотах.

Полевой транзистор в приближенных расчетах для малых сигналов заменяют четырехполюсником в Y- параметрах (уравнения 3.3).

Для транзистора 2N4091 в рабочей точке мы ранее нашли крутизну $Y_{21} = S = 20 мА / В$ и выходную проводимость $Y_{22} = 390{,}9 \cdot 10^{-6} См$.

Выходное сопротивление $R_{вых} = \dfrac{1}{Y_{22}} = 2558 Ом$.

На рис.3.36 показана схема замещения усилителя на полевом транзисторе с Y-параметрами.

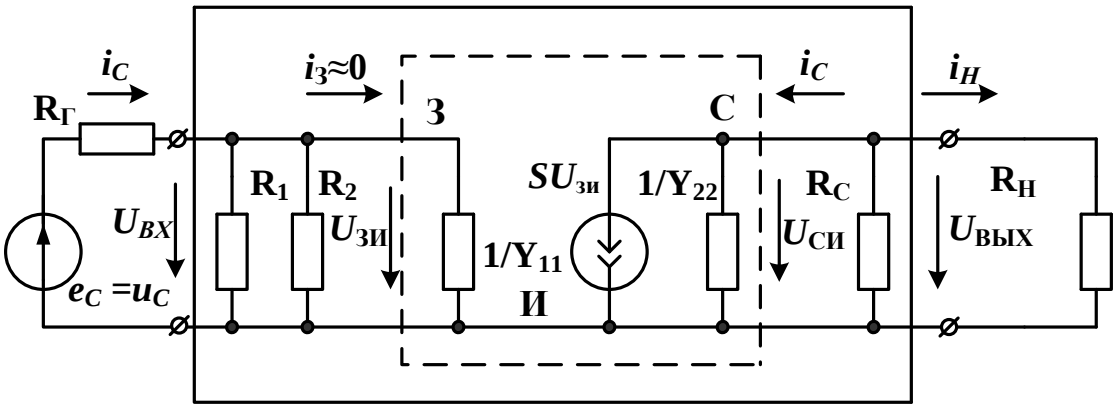

Рис.3.36. Схема замещения усилителя с Y-параметрами

Исключим из этой схемы элементы $\dfrac{1}{Y_{11}}$ и $\dfrac{1}{Y_{22}}$, которые превышают значения остальных резисторов. Получим упрощенную схему (рис.3.37).

Обозначим $R_{вх} = \dfrac{R_1 \cdot R_2}{R_1 + R_2}$, $R_{вых} = R_C$.

Находим коэффициент усиления по напряжению:

$$\underline{K}_E = \underline{U}_{вых} / \underline{E}_c = \frac{-S\ R_C \cdot R_H /(R_C + R_H) \cdot R_1 \cdot R_2 /(R_1 + R_2)}{R_Г + R_1 \cdot R_2 /(R_1 + R_2)} = 3{,}35.$$

В расчете учтено, что в схеме (рис.3.23) резисторы $R_Г$=0, $R_{вх}$=100кОм.

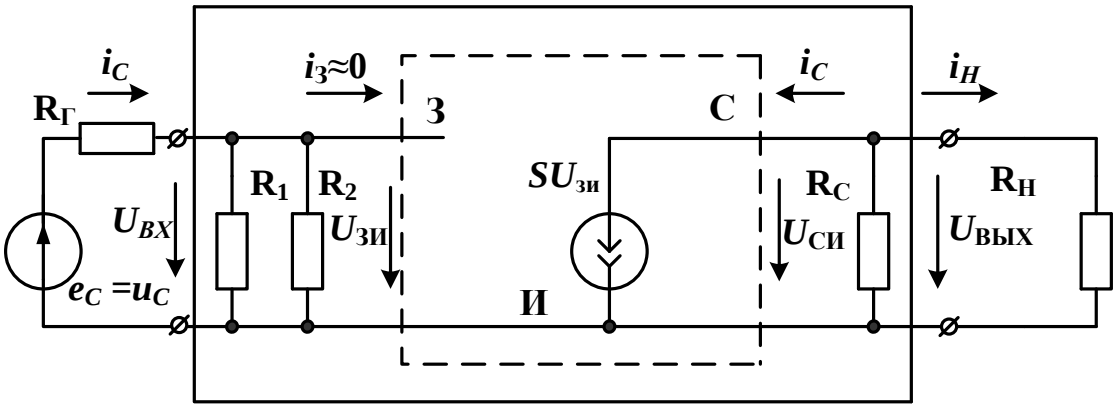

Рис.3.37. Упрощенная схема с Y-параметрами

Экспериментальное значение усиления по напряжению в модели составляло 3,33.

Находим коэффициент усиления по току:

$$\underline{K}_I = \underline{I}_н / \underline{I}_c = \frac{\underline{U}_{вых} R_{BX}}{R_H \underline{E}_c} = \underline{K}_E \frac{R_{BX}}{R_H} = 3{,}35 \frac{100 кОм}{1 кОм} = 335 .$$

Находим коэффициент усилиния по мощности:

$$K_P = \underline{K}_E \cdot \underline{K}_I = 3{,}35 \cdot 335 = 1122 .$$

Достоинством усилительного каскада на полевом транзисторе является большое входное сопротивление. К недостаткам следует отнести меньшее усиление и быстродействие.

Глава 4. Операционные усилители

4.1. Определение и основные свойства операционных усилителей

Операционными усилителями (ОУ) называют интегральные микросхемы, которые имеют в полосе частот от 0 до сотен килогерц (мегагерц) собственный коэффициент усиления K'_U не менее нескольких тысяч.

Операционные усилители могут усиливать постоянные напряжения. Поэтому раньше ОУ называли усилители постоянного тока (УПТ).

Операционный усилитель является дифференциальным усилителем с очень большим входным сопротивлением и малым выходным сопротивлением. Операционные усилители применяют для изменения амплитуды и полярности сигналов, выполнения математических операций с несколькими сигналами, в активных фильтрах, в генераторах и различных высокоточных инструментальных цепях. Каждый ОУ содержит несколько усилительных каскадов и обеспечивает большое усиление сигналов.

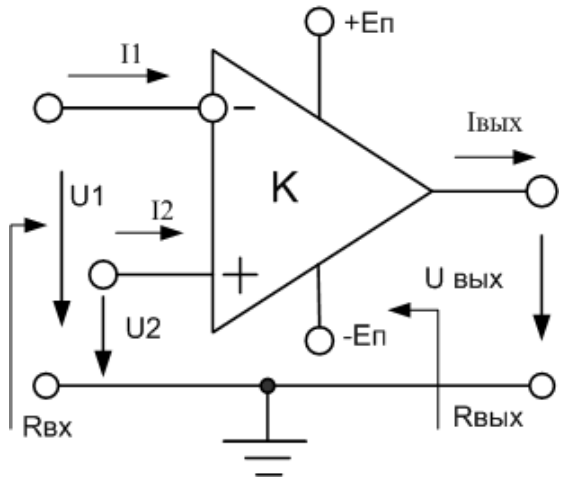

Рис.4.1. Обозначение ОУ

Условное обозначение ОУ показано на рис.4.1.

Вход 1, обозначенный знаком (-), называют *инвертирующим.*

Вход 2, обозначенный знаком (+), называют *неинвертирующим.*

Входы питания +Еп и –Еп на схемах электрических цепей часто не обозначают.

Выходное напряжение: $U_{вых} = K'_U(U_2 - U_1)$, где K'_U - *дифференциальный коэффициент усиления* ОУ. Так как K'_U весьма велик, а выходное напряжение $U_{вых}$ ограничено напряжением питания ОУ ($|U_{вых}| < |E_П| - 2B$), то разность входных напряжений весьма мала ($U_2 - U_1 = U_\gamma \to 0$) и называется *виртуальный нуль* U_γ.

Свойства идеального ОУ

1. Дифференциальный коэффициент усиления равен бесконечности $K'_U = \infty$ и разность входных напряжений равна нулю $U_2 - U_1 = 0$;

2. Входные токи ОУ равны нулю: $I_{вх1} = 0, I_{вх2} = 0$;

3. Входное сопротивление ОУ бесконечно большое: $R'_{вх} = \infty$;

4. Выходное сопротивление ОУ равно нулю: $R'_{вых} = 0$.

Эти свойства идеального операционного усилителя используют для приближенных расчетов различных схем, использующих ОУ.

Технические характеристики реальных ОУ

Современные ОУ имеют следующие характеристики:

Дифференциальный коэффициент усиления:

$$K'_U = \frac{\Delta U_{вых}}{\Delta(U_2 - U_1)} \approx 10^3 - 10^5;$$

Входное сопротивление $R'_{вх} \approx 10\,кОм - 1000\,МОм$;

Выходное сопротивление $R'_{вых} \approx 10\,Ом - n \cdot 100\,Ом$.

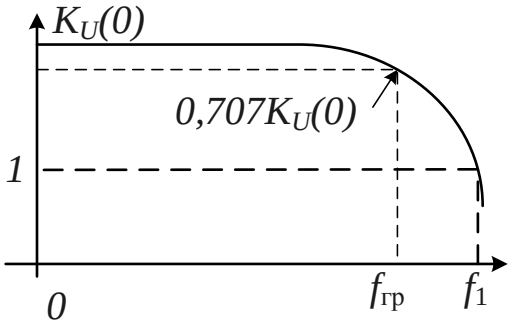

Рис.4.2 АЧХ ОУ

Частотные свойства ОУ характеризуют *частотой единичного усиления*, на которой дифференциальный коэффициент усиления становится равным единице обозначают f_1.

Граничная частота определяется по уровню снижения усиления на -3дб или до уровня 0,707 от максимального $K_U(f_{гр}) = 0{,}707 K_U(0)$. В современных ОУ $f_{гр}$ достигает сотен мегагерц (Рис.4.2).

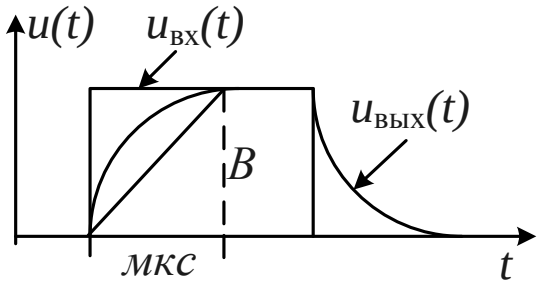

Рис.4.3. Скорость нарастания напряжения ОУ

Скорость нарастания напряжения (В/мкс), определяет переходные характеристики ОУ и может составлять от десятков мВ/мкс до сотен В/мкс (рис.4.3)

Статическая передаточная характеристика (рис.4.4) показывает зависимость выходного напряжения ОУ от напряжения на входе. При входном напряжении порядка 0,2мВ выходное напряжение достигает предельного значения $|\Delta U_{вых}| \approx |E_П| - 2B$. Для стандартных напряжений питания $E_п$=+/-15В диапозон выходного напряжения $\Delta U_{вых} \approx \pm 12 \div 13B$.

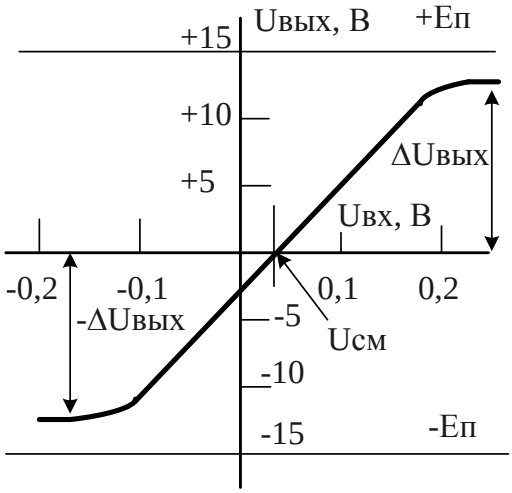

Рис.4.4. Статическая передаточная характеристика

Напряжение смещения $U_{см}$ определяется как разность напряжений, которую надо подать на входы, чтобы выходное напряжение равнялось нулю. Для ОУ с биполярными транзисторами на входе $U_{см}$ зависит в основном от разброса напряжений ΔUэб эмиттерно-базовых переходов и составляет 1÷10 мВ. Если ОУ без обратных связей подключить к питанию и оба входа заземлить, то на выходе может появится напряжение Uвых= Uсм*K_0 ~ 10^{-2}*10^5 = 1000В >> Епит и ОУ войдет в режим ограничения. Для того, чтобы выходное напряжение равнялось нулю при равных напряжениях на входах, применяют балансировку ОУ с помощью специального резистора.

Свойства каскада с ОУ определяют *внешние обратные связи* (ОС).

Каскады с ОУ могут выполнять *сложение, вычитание, дифференцирование, интегрирование сигналов, создавать различные функциональные зависимости.* Поэтому операционные усилители в прошлом широко использовали в аналоговой вычислительной технике и называли *решающие усилители*.

4.2. Дифференциальный усилитель

Операционные усилители включают в себя специальный входной каскад, который называется дифференциальный усилитель (ДУ). Дифференциальные усилители широко используются для усиления разности двух сигналов.

Модель простого дифференциального усилителя показана на рис.4.5.

В дифференциальном усилителе применены идентичные усилительные транзисторы Т1 и Т2. Выходной сигнал снимают с коллекторов транзисторов $U_{вых} = U_{вых2} - U_{вых1}$. Вход транзистора Т1 является неинвертирующим. Вход транзистора Т2 инвертирующий. Сопротивления R1 и R2 в цепях эмиттеров увеличивают входные сопротивления ДУ.

Транзистор Т3 служит источником стабильного тока $I_э$. Цепь смещения R4-R7 создает на базе транзистора Т3 напряжение -12,55В. Напряжение на резисторе R3 составляет 2В, а ток:

$$I_э = I_{э1} + I_{э2} = 2мА = const.$$

Входы дифференциального усилителя ключами соединяются с генераторами синусиидального сигнала с частотой $f = 1кГц$ и амплитудой 1В:

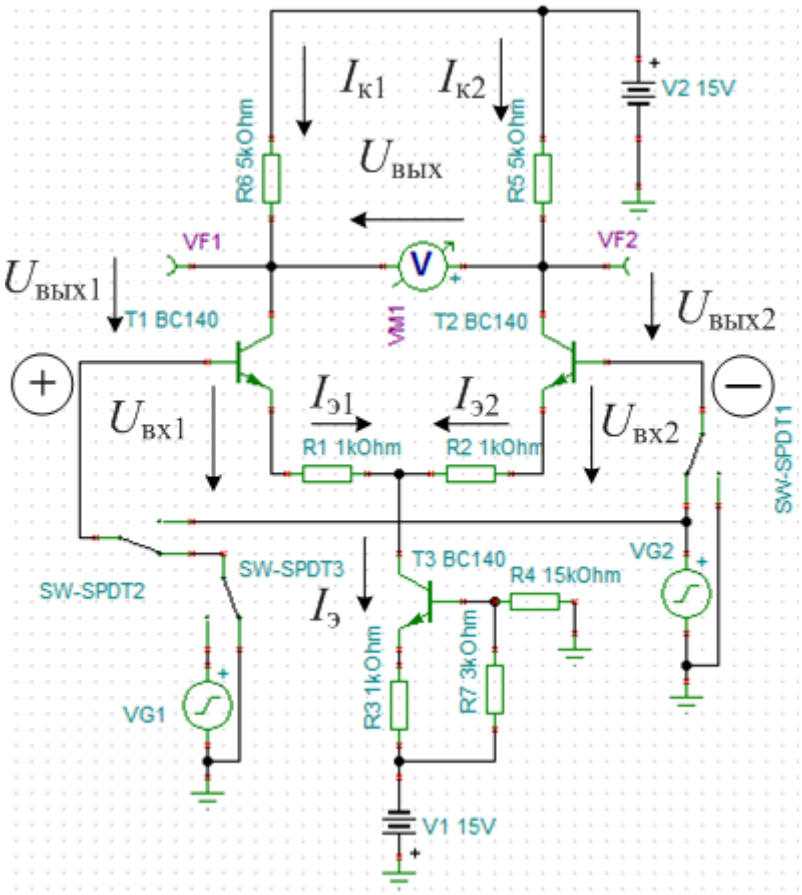

Рис.4.5. Модель дифференциального усилителя

Генератор VG1 создает сигнал $u_{вх1}(t) = 1 \cdot \sin(2\pi f + 0^o)B$.

Генератор VG2 создает сигнал $u_{вх2}(t) = 1 \cdot \sin(2\pi f + 180^o)B$.

На входы дифференциального усилителя могут действовать два вида сигналов:

- Дифференциальные сигналы (противофазные).
- Синфазные (совпадающие по фазе).

В результате появляется выходное напряжение Появляется выходное напряжение:

$$U_{вых} = U_{вых2} - U_{вых1} = -K_2 U_{вх2} - (-K_1 U_{вх1}),$$

где: K_1, K_2 - коэффициенты усиления каскадов на первом и втором транзисторе.

Будем считать, что $K_1 = K_2 = K$. Тогда $U_{вых} = K(U_{вх1} - U_{вх2})$.

Рассмотрим следующие случаи:

А. Сигналы противофазные дифференциальные: $U_{вх1} = -U_{вх2}$.

Дифференциальным сигналом называют: $U_{диф} = \dfrac{U_{вх1} - U_{вх2}}{2}$.

В этом случае сигнальные эмиттерные токи $I_{э1}$ и $I_{э2}$ тоже противофазные и компенсируют друг друга. Источник тока $I_э$ стабильный и не влияет на усиление.

Усиление находим как в резистивном усилителе:

$$K_1 = K_2 = K_{диф} = \frac{R_к}{R_Э + r_Э}. \qquad (4.1)$$

Выходной сигнал, измеренный вольтметром VM1 составит:

$$U_{вых} = -\frac{R_к}{R_Э + r_Э}(U_{вх2} - U_{вх1}) = 2U_{диф}\frac{R_к}{R_Э + r_Э}. \qquad (4.2)$$

Напомним, что дифференциальное сопротивление перехода база-эмиттер $r_Э \approx \dfrac{25мВ}{I_Э}$. В схеме рис.4.5 $\dfrac{25мВ}{I_Э} I_Э \approx 1мА$, а $r_Э \approx 25Ом$.

Следовательно, выходной сигнал будет немного меньше 10В.

На несимметричном выходе $VF2$ усиление меньше в два раза:

$K_{нс} = {K_{диф}}/{2}$.

Диаграммы напряжений для случая противофазных сигналов показаны на рис.4.6.

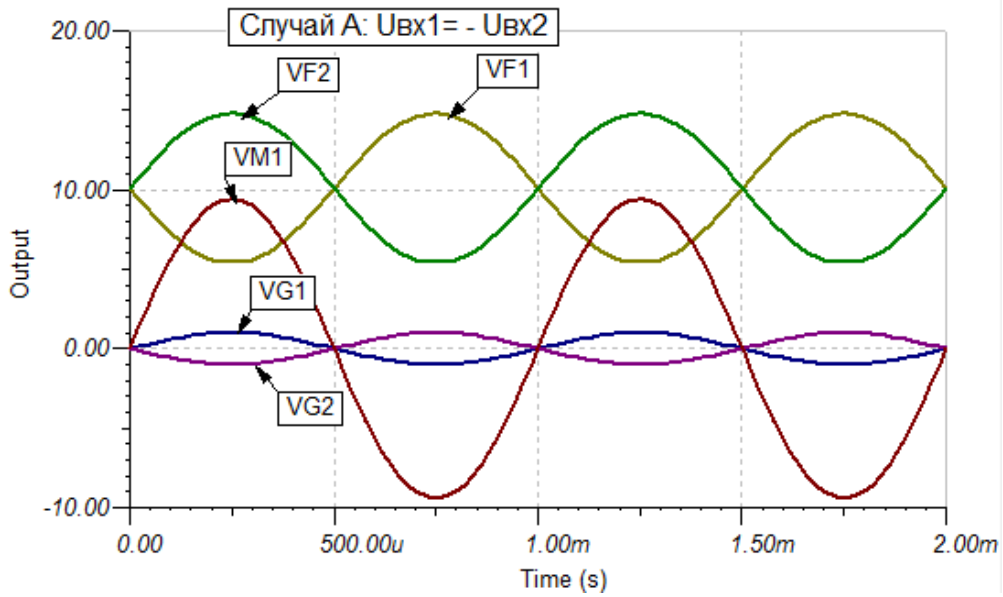

Рис.4.6. Диаграммы напряжений для противофазных сигналов

Б) *Синфазные сигналы*: $U_{вх1} = U_{вх2} = U_{сф}$.

В этом случае эмиттерные токи совпадают по фазе, источник тока создает сильную отрицательную обратную связь за счет большого внутреннего сопротивления $R_{ит}$.

Напряжения на выходах транзисторов:

$$U_{вых1} = U_{вых2} = -\frac{R_к}{R_Э + r_Э + R_{ит}} U_{сф}. \qquad (4.3)$$

Так как $R_{ит} \to \infty$, напряжения на выходах транзисторов $U_{вых1}, U_{вых2}$ и $U_{вых\,сф} = U_{вых2} - U_{вых1} = 0$.

Диаграммы напряжений для синфазных сигналов показаны на рис.4.7.

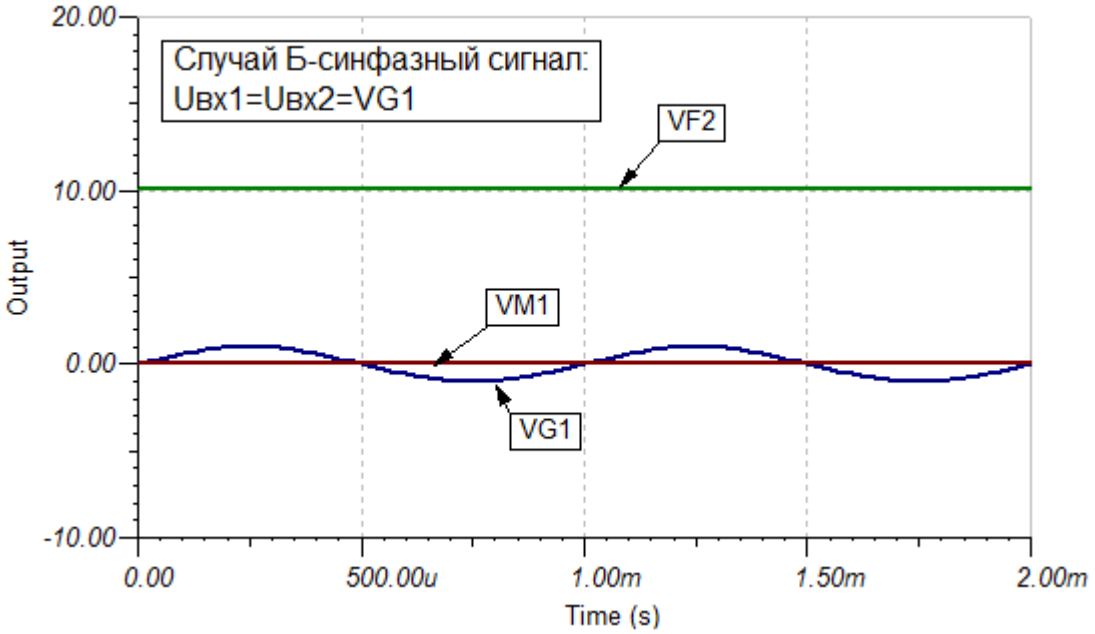

Рис.4.7. Диаграммы напряжений для синфазных сигналов

Дифференциальный или разностный входной сигнал называют еще нормальным или полезным. Хороший дифференциальный усилитель обладает высоким коэффициентом ослабления синфазного сигнала (КОСС). Этот коэффициент представляет собой отношение выходного полезного сигнала к выходному синфазному сигналу, при условии что полезный и синфазный входные сигналы имеют одинаковую амплитуду. Обычно КОСС определяют в децибелах. Диапазон изменения синфазного входного сигнала задает допустимые уровни напряжения, относительно которого должен изменяться входной сигнал.

Дифференциальные усилители используют в тех случаях, когда слабые сигналы можно потерять на фоне шумов. Примерами таких сигналов

являются цифровые сигналы, передаваемые по длинным кабелям (кабель обычно состоит из двух скрученных проводов), звуковые сигналы, радиочастотные сигналы (двухжильный кабель является дифференциальным), напряжения электрокардиограмм, сигналы считывания информации из магнитной памяти и многие другие. На кабели и двухпроводные линии пердачи сигналов наводятся помехи от внешних электромагнитных полей. Эти помехи являются синфазными и ослабляются в дифференциальном усилителе. Подавляя внешние синфазные помехи, дифференциальный усилитель на приемном конце восстанавливает полезный сигнал.

В) *Однополюсный вход и выход.* Если $U_{вх2} = 0$, и на вход поступает только один сигнал $U_{вх1} = VG1$. Выходной сигнал снимают со второго выхода:

$$U_{вых2} = VF2 = {K_{диф}}/{4}\, U_{вх1} = {K_{диф}}/{4} \cdot VG1 \qquad (4.4).$$

Диаграммы напряжений показаны на рис.4.8. Сигнал на выходе VF2 и VM1 уменьшились в два раза по сравнению со случаем дифференциальных сигналов.

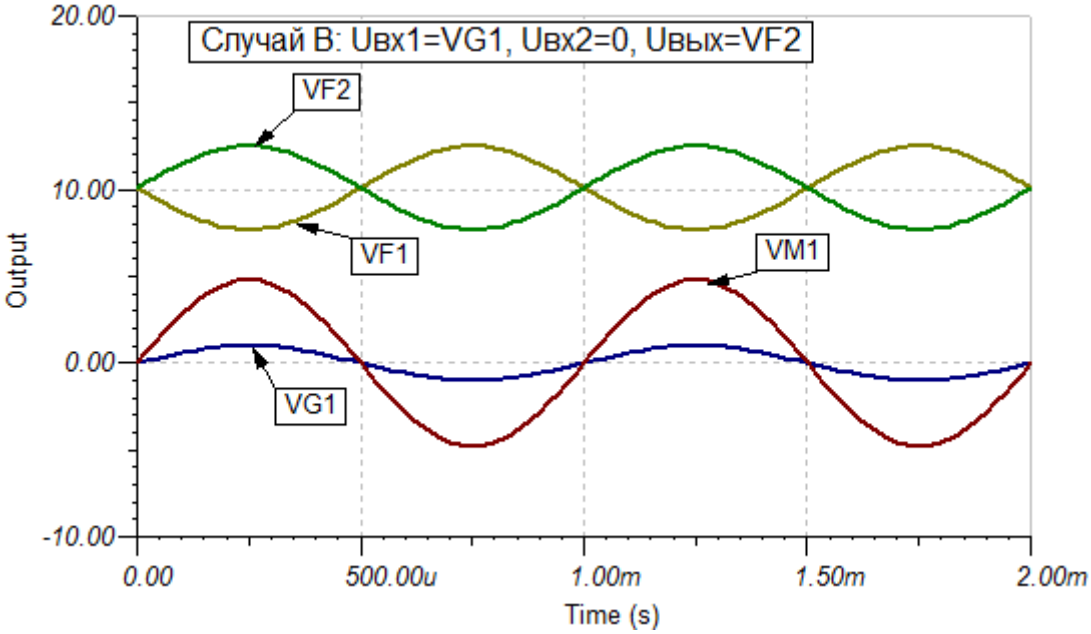

Рис.4.8. Диаграммы напряжений для однополюсного включения ОУ

4.3. Схемотехника линейных устройств на операционных усилителях

Современные операционные усилители выпускаются в виде компактных интегральных микросхем (МС). Каждый корпус МС может содержать несколько ОУ. Это позволяет создавать на основе ОУ множество

полезных и экономичных электронных устройств. В данном разделе мы рассмотрим схемы и принципы работы наиболее важных применений ОУ.

4.3.1. Инвертирующий ОУ

В инвертирующем ОУ (рис.4.9) неинвертирующий вход $\underline{U}_2$ поключен и земле. Так как схема инвертирующего ОУ является линейной проведем анализ для комплексных действующих значений напряжений и токов, а затем представим результаты в операторный форме.

Для комплексных действующих значений токов с учетом свойств идеального ОУ по первому закону Кирхгофа получаем уравнение:

$$\underline{I}_1 + \underline{I}_2 = \underline{I}_{вх1} = 0.$$

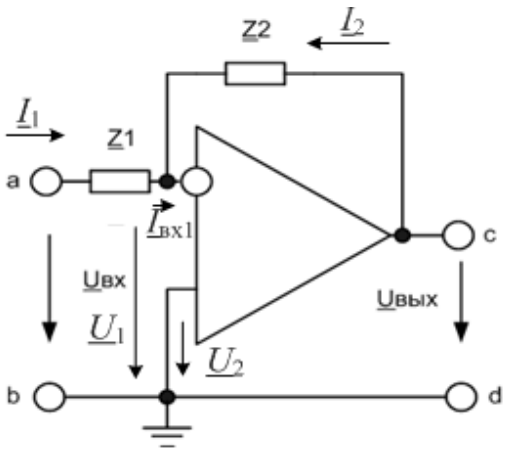

Рис.4.9. Инвертирующий ОУ

Так как неинвертирующий вход заземлен ($\underline{U}_2 = 0$), а напряжение между входами равно виртуальному нулю ($\underline{U}_1 = U_\gamma = 0$) получаем:

$$\frac{\underline{U}_{вх} - \underline{U}_1}{\underline{Z}_1} + \frac{\underline{U}_{вых} - \underline{U}_1}{\underline{Z}_2} = \frac{\underline{U}_{вх}}{\underline{Z}_1} + \frac{\underline{U}_{вых}}{\underline{Z}_2} = 0$$

.

Отсюда следует важное уравнение для выходного напряжения инвертирующего ОУ:

$$\underline{U}_{вых} = -\frac{\underline{Z}_2}{\underline{Z}_1}\underline{U}_{вх}. \qquad (4.5)$$

Из уравнения (4.5) для гармонических сигналов получаем комплексный коэффициент передачи по напряжению:

$$\underline{K}_U(j\omega) = \frac{\underline{U}_{вых}}{\underline{U}_{вх}} = -\frac{\underline{Z}_2}{\underline{Z}_1}. \qquad (4.6)$$

В более общей операторной форме запишем уравнение для передаточной функции инвертирующего ОУ:

$$K(p) = -\frac{Z_2(p)}{Z_1(p)} \qquad (4.7)$$

Эта формула будет очень полезна при изучении частотных свойств и переходных характеристик схем с ОУ.

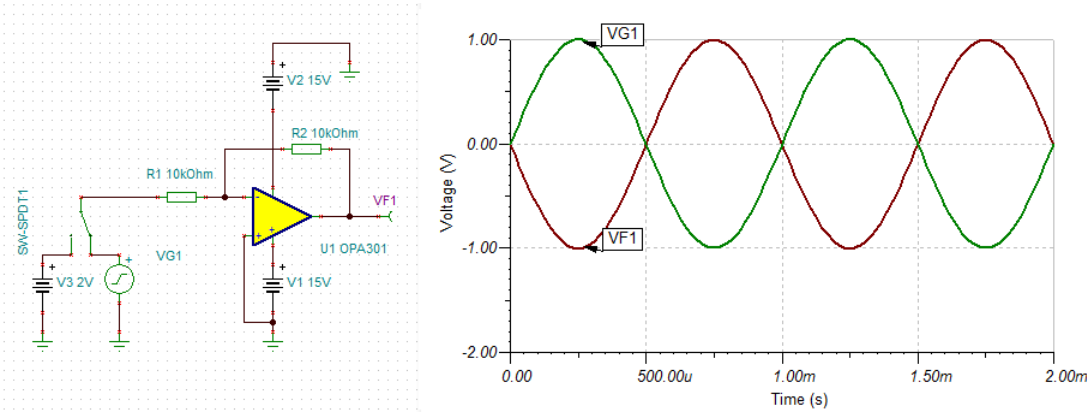

Рис.4.10. Модель инвертирующего ОУ с резистивными элементами

Экспериментально исследовать работу инвертирующего ОУ можно в модели (рис.4.10, Внешние цепи содержат резисторы R_2=R_1=10кОм. По формуле (4.5):

$$U_{вых} = -\frac{R_2}{R_1} U_{вх},$$

а комплексная передаточная функция $\underline{K}_U(j\omega) = -1$ и не зависит от частоты. При постоянном входном сигнале $U_{вх1} = +2B$ на выходе получим $U_{вых} = -2B$. Синусоидальный сигнал от генератора VG1 с амплитудой 1В инвертируется (меняет фазу на 180°) и сохраняет амплитуду 1В. Амплитудно-частотная характеристика тнвертера на операционном усилителе OPA301 (рис.4.11) достаточно линейна до частоты 10МГц.

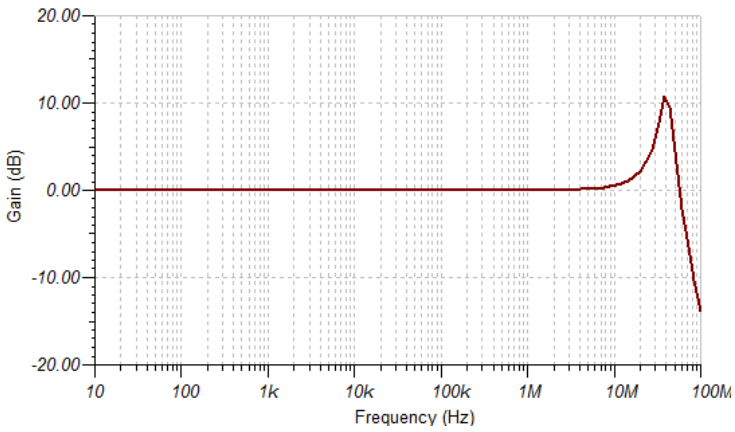

Рис.4.11. АЧХ инвертора

4.3.2. Неинвертирующий ОУ

Для схемы неинвертирующего ОУ (рис.4.12) имеем следующие уравнения:

$$U_1 \approx U_2 = U_{вх};$$

$$I_1 = \frac{0 - U_{вх}}{R_1}; \; I_2 = \frac{U_{вых} - U_{вх}}{R_2};$$

$$I_1 + I_2 = 0;$$

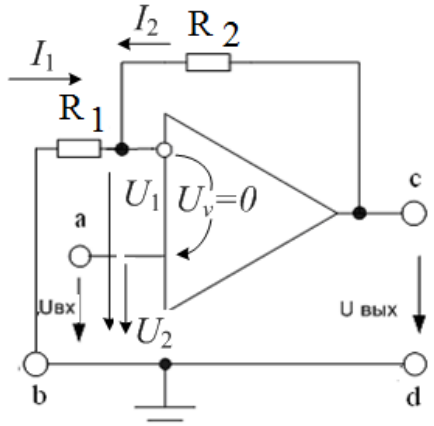

Рис.4.12. Неинвертирующий ОУ

$$\frac{U_{вых}}{R_2} - \frac{U_{вх}}{R_2} - \frac{U_{вх}}{R_1} = 0.$$

Отсюда получаем окончательное уравнение:

$$U_{вых} = U_{вх}\frac{R_1 + R_2}{R_1}. \qquad (4.8)$$

На постоянном токе полярность выходного напряжения такая же как у входного.

Операторная передаточная функция будет такой:

$$K(p) = \frac{U_{вых}(p)}{U_{вх}(p)} = \frac{Z_1(p) + Z_2(p)}{Z_1(p)}. \qquad (4.9)$$

В схеме модели (рис.4.13) включены одинаковые резисторы R_2=R_1=10кОм. Поэтому усиление схемы равно 2. Фаза гармонического сигнала не изменяется.

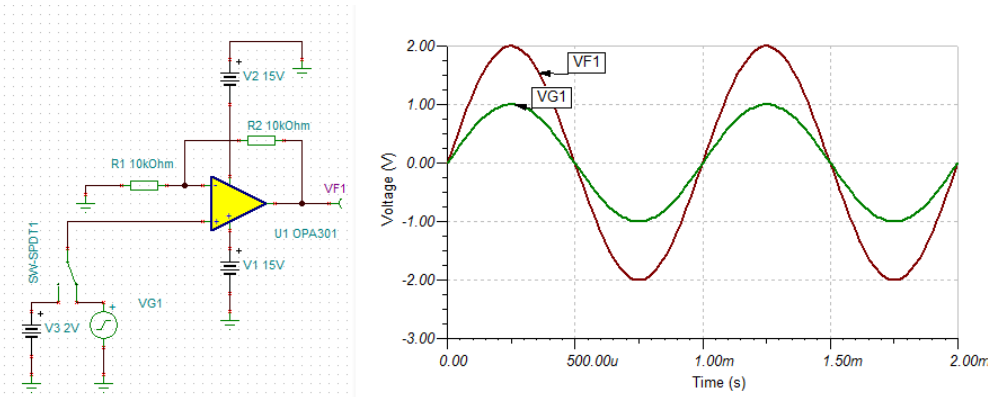

Рис.4.13. Схема модели неинвертирующего ОУ

4.3.3. Инвертирующий сумматор

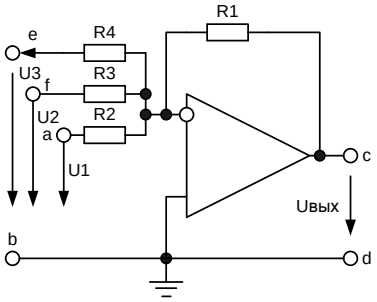

Рис.4.14. Инвертирующий сумматор

На рис.4.14 показана схема инвертирующего сумматора.

Вывод формулы для выходного напряжения делается так же, как для инвертирующего ОУ. В результате получим:

$$U_{вых} = -\left(\frac{R_1}{R_2}U_1 + \frac{R_1}{R_3}U_2 + \frac{R_1}{R_4}U_3\right). \qquad \textbf{(4.10)}$$

4.3.4. Вычитающий ОУ

Схеме вычитающего ОУ показана на рис.4.15. В общем случае выходной напряжение выражается формулой:

$$U_{вых} = \left[\left(1+\frac{R_1}{R_2}\right) / \left(1+\frac{R_4}{R_3}\right)\right] \cdot \frac{R_4}{R_3}U_2 - \frac{R_1}{R_2}U_1. \qquad (4.11)$$

При равенстве всех резисторов $R_1 = R_2 = R_3 = R_4$ получим простое выражение: $U_{вых} = U_2 - U_1$.

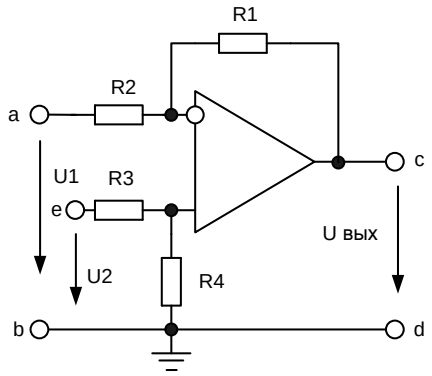

Рис.4.15. Вычитающий ОУ

4.3.5. Повторитель напряжения

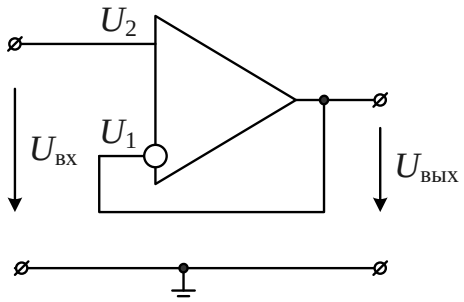

Рис.4.16. Повторитель напряжения

Схема повторителя показана на рис.4.16. Для вывода формулы выходного напряжения в неинвертирующем ОУ сделаем $R_1 = \infty, R_2 = 0$. Тогда:

$$U_{вых} = U_{вх}\frac{R_1 + R_2}{R_1} =$$

$$= U_{вх}\frac{1+\frac{0}{\infty}}{1} = U_{вх}.$$

В повторителе напряжения $R_{вх} = \infty$, $R_{вых} = 0$, коэффициент передачи равен 1.

Пример 4.1.

Схема модели устройства с повторителем напряжения показана на рис.4.17.

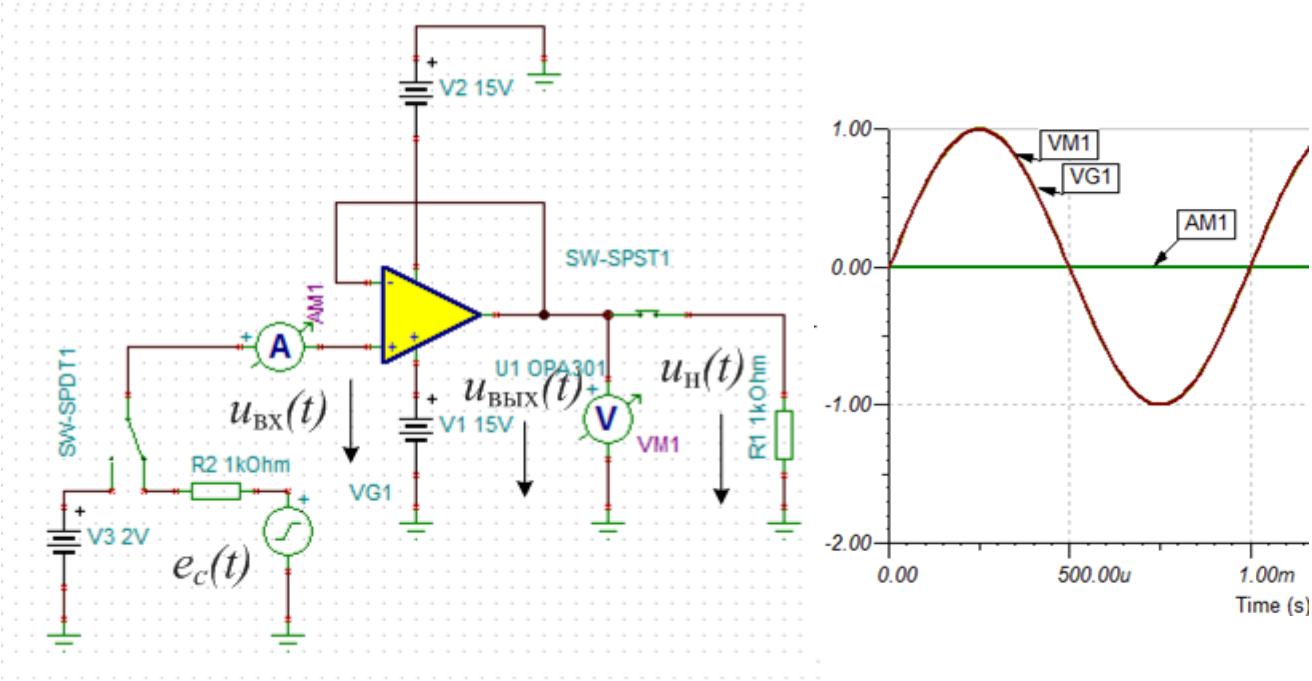

Рис.4.17. Модель устройства с повторителем напряжения

Дано: $e_c(t) = 1 \cdot \sin(2\pi \cdot 10^3 t)B$, $R_1 = R_2 = 1кОм$.

Определить напряжение на нагрузке и мощность в нагрузке.

Как измениться мощность, если нагрузку подключить непосредственно к источнику сигнала?

Решение

В повторителе входной ток равен нулю, коэффициент передачи равен единице: $u_{вх}(t) = e_c(t) = u_{вых}(t)$.

Мощность в нагрузке: $P_н = \dfrac{U^2_{твых}}{2R_н} = 0{,}5 \cdot 10^{-3} Вт$.

Если нагрузку подключить к генератору, то:

$$u_н(t) = e_c(t)\frac{R_н}{R_н + R_{ген}} = 0{,}5 \cdot \sin(2\pi \cdot 10^3 t)B;$$

$$P'_н = \frac{0{,}5^2}{2R_н} = 0{,}125 \cdot мВт.$$

4.3.6. Дифференцирующее звено

Схема дифференцирующего звена показана на рис.4.18. Выведем формулу для выходного напряжения. По первому закону Кирхгофа: $i_C = i_R + i_0$. Входной ток $i_0 = 0$. Напряжение между входами (виртуальный нуль): $u_v = 0$.

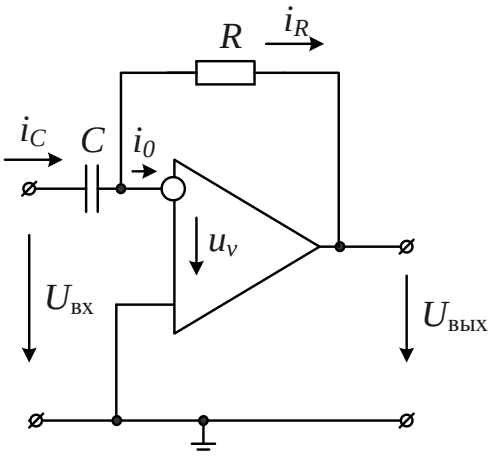

Рис.4.18. Дифференцирующее звено

Следовательно:

$$i_C = C\frac{du_{вх}}{dt} = i_R = -\frac{u_{вых}}{R}.$$

В итоге получим:

$$u_{вых} = -RC\frac{du_{вх}}{dt} = -\tau\frac{du_{вх}}{dt},$$ где

$\tau = RC$ - постоянная времени цепи.

Модель работы дифференцирующего звена с входным треугольным сигналом показана на рис.4.19.

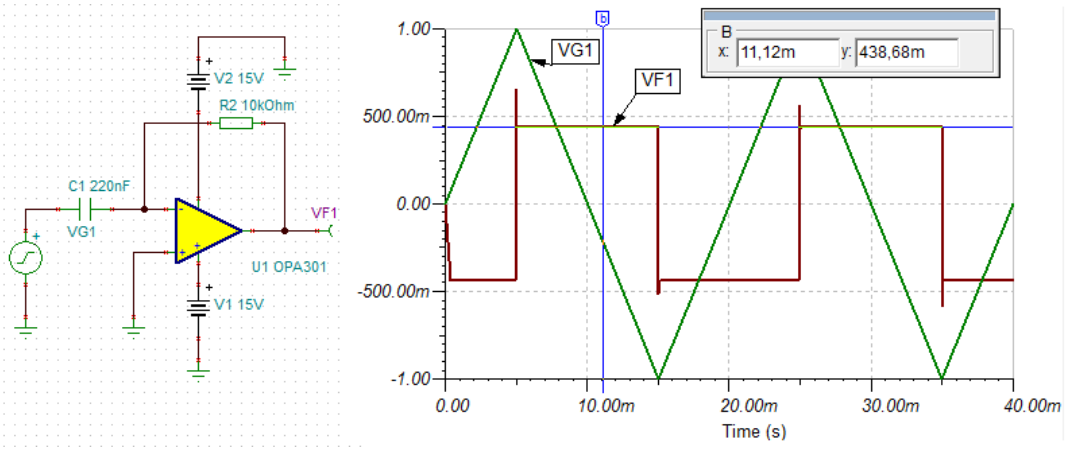

Рис.4.19. Модель дифференцирующего звена с треугольным сигналом

По графику видим, что производная входного напряжения на участке нарастания $\frac{du_{вх}}{dt} = \frac{\Delta u}{\Delta t} = \frac{1B}{5мс} = 200\,{}^{B}\!/_{c}$. Постоянная времени цепи $\tau = RC = 10^4 \cdot 220 \cdot 10^{-9} = 2{,}2 \cdot 10^{-3} c$. Следовательно, выходное напряжение на выходе VF1 будет иметь вид прямоугольных импульсов и на участке нарастания входного напряжения:

$$u_{вых} = -RC\frac{du_{вх}}{dt} = -2{,}2\cdot 10^{-3}\cdot 200 = -440мВ.$$

При уменьшении входного напряжения получим: $u_{вых} = +440мВ$.

На рис.4.20 показано воздействие синусоидального сигнала с генератора VG1 с единичной амплитудой и частотой 50Гц на дифференцирующее звено.

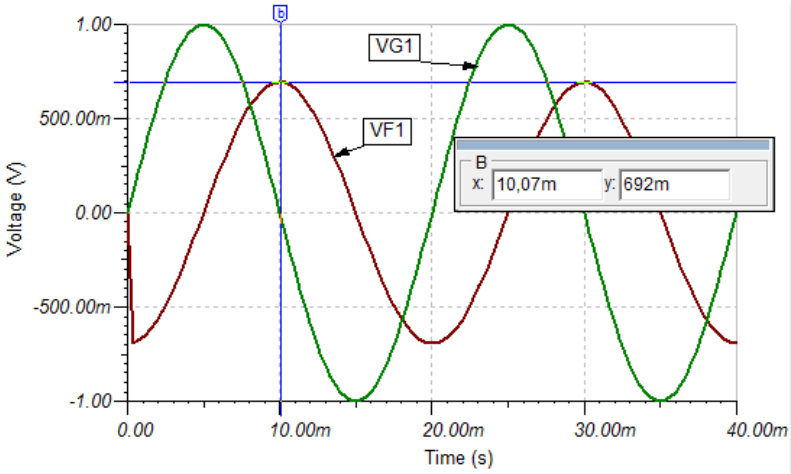

Рис.4.20. Дифференцирующее звено с синусоидальным сигналом

Выполним расчет:

$$u_{вых} = -RC\frac{d}{dt}(1\cdot \sin 2\pi\cdot 50t) = -RC\cdot 2\pi\cdot 50\cdot \cos(2\pi\cdot 50t) =$$

$$= -2{,}2\cdot 10^{-3} 2\pi\cdot 50\cdot \cos(2\pi\cdot 50t) = -0{,}690\cdot \cos(2\pi\cdot 50t)B.$$

Моделирование (сигнал VF1) совпадает с расчетом.

4.3.7. Интегратор

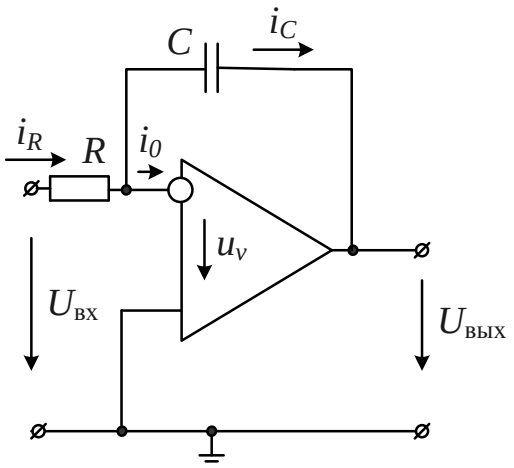

Рис.4.21. Схема интегратора

Для схемы инвертирующего интегратора (рис.4.21) имеем следующие уравнения:

$$i_R = \frac{u_{вх}}{R} = i_C = C\frac{d(0-u_{вых})}{dt} =$$

$$= -C\frac{du_{вых}}{dt};$$

$$\frac{du_{вых}}{dt} = -\frac{1}{RC}u_{вх};$$

$$u_{вых} = -\frac{1}{RC}\int_0^t u_{вх}dt = -\frac{1}{\tau}\int_0^t u_{вх}dt.$$

Модель (рис.4.22) демонстрирует работу интегратора при действии на входе прямоугольных импульсов с амплитудой 1В и периодом 20мс от генератора VG1.

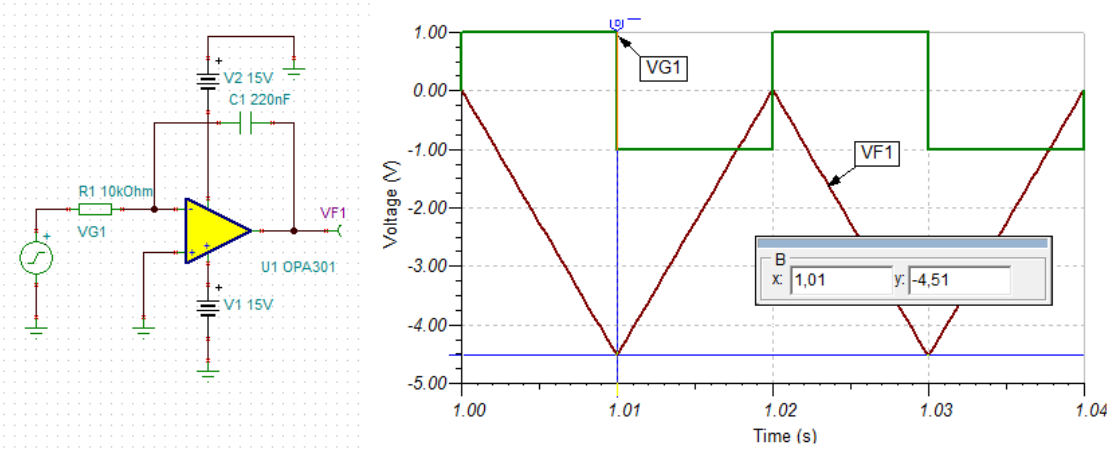

Рис.4.22. Модель интегратора

На выходе мы получаем треугольный сигнал с минимальным напряжением:

$$u_{выхмин} = -\frac{1}{RC}\int_0^{10^{-2}} 1 \cdot dt - \frac{1}{2{,}2 \cdot 10^{-3}} \cdot 1 \cdot 10^{-2} = -\frac{10}{2{,}2} = -4{,}54\,B.$$

Моделирование подтверждает расчет.

Если в схеме 4.14 резистор R1 заменить емкостью C, получим суммирующий инвертирующий интегратор.

4.3.8. Фазовращатель

Для фазовращателя (рис.4.23) составим уравнения с учетом свойств идеального ОУ:

$$U_1(p) = \frac{(U_{вх}(p) - U_{вых}(p))R_1}{R_1 + R_2} = U_2(p) = \frac{U_{вх}(p) \cdot \frac{1}{pC}}{R_3 + \frac{1}{pC}}$$

Отсюда при равных резисторах получим:

$$\frac{U_{вх}(p) - U_{вых}(p)}{2U_{вх}(p)} = \frac{1}{1 + pRC} \text{ и } \frac{U_{вых}(p)}{U_{вх}(p)} = \frac{1 - pRC}{1 + pRC} \qquad (4.12)$$

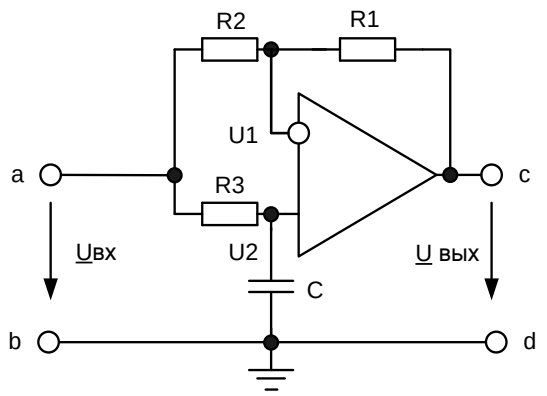

Рис.4.23. Схема фазовращателя

Для комплексной частотной характеристики $\underline{K}_U(j\omega)=\dfrac{1-j\omega RC}{1+j\omega RC}$ модуль является постоянным и равным 1, а фаза $\varphi=-2arctg(\omega RC)$. Изменяя сопротивление *R* или емкость *C*, можно установить фазовый сдвиг в диапазоне от 0° до -180°.

Модель фазовращателя и диаграммы АЧХ и ФЧХ показаны на рис.4.24.

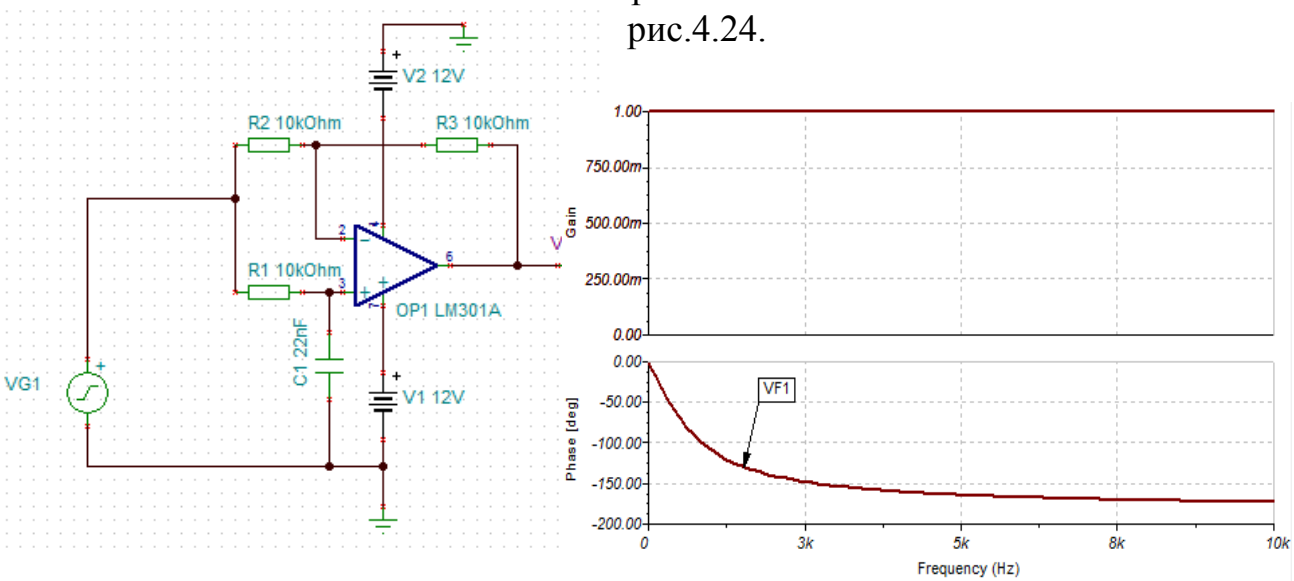

Рис.4.24. Модель фазовращателя и диаграммы АЧХ и ФЧХ

4.3.9. Управляемые источники напряжения и тока

В схеме инвертора (рис.4.25) выходное напряжение:

$$U_{вых}=-\frac{R_2}{R_1}U_{вх}=KU_{вх}.$$

Следовательно, изменяя входное напряжение, мы можем управлять выходным напряжением. Выходное сопротивление инвертора равно нулю. Схему (рис.4.25) можно назвать: источник напряжения управляемый напряжением (ИНУН).

В этой же схеме будем рассматривать резистор R_2 как нагрузку. Получим: $I_2 = I_1 = \frac{U_{вх}}{R_1}$. Следовательно, для тока I_2 схема (рис.4.25) источником тока, управляемым напряжением (ИТУН).

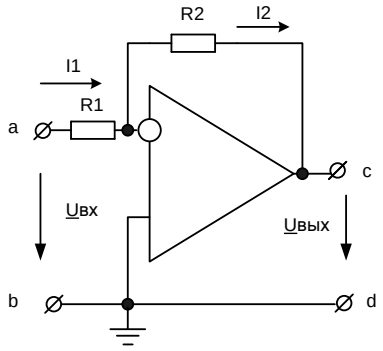

Рис.4.25. ИНУН ($U_{вых} = KU_{вх}$) и ИТУН ($I_2 = \frac{U_{вх}}{R_1}$)

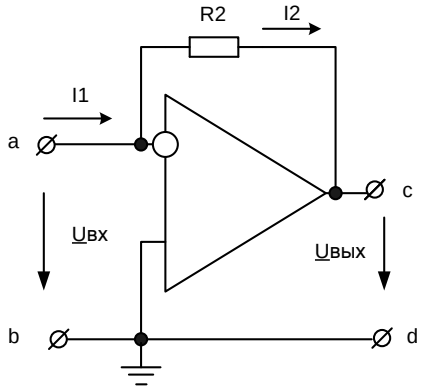

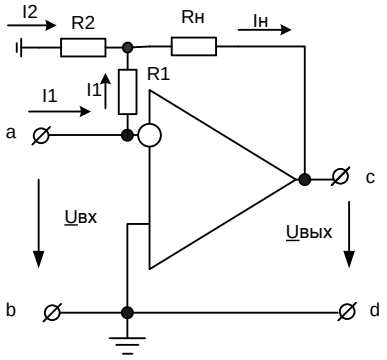

Рис.4.26.ИНУТ ($U_{вых} = -I_1 R_2$)

Рис.4.27. ИТУТ ($I_н = (1 + \frac{R_1}{R_2}) I_1$)

В схеме (рис.4.26) $I_1 = I_2 = -\frac{U_{вых}}{R_2}$. Получаем источник напряжения, управляемый током (ИНУТ).

В схеме (рис.4.27) $I_н = I_1 + I_2 = I_1 + \frac{I_1 R_1}{R_2} = (1 + \frac{R_1}{R_2}) I_1 = kI_1$.

Мы получили источник тока, управляемый током (ИТУТ).

На рис.4.28 показаны эквивалентные схемы управляемых источников энергии.

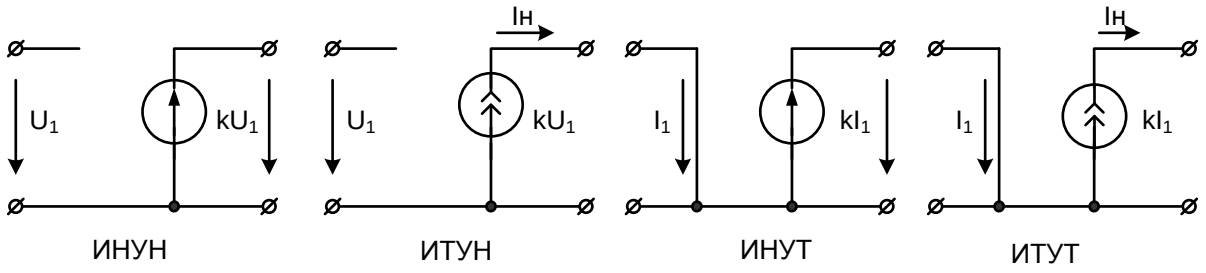

Рис.4.28. Эквивалентные схемы управляемых источников

4.3.10. Активные фильтры первого порядка

Электрические фильтры применяют для пропускания без ослабления колебаний одних (полезных) частот и подавления (ослабления) колебаний других частот (помех). Прошлые годы применяли пассивные электрические LC-фильтры. Однако, значительные размеры катушки индуктивности ограничивают использование LC-фильтров в миниатюрной аппаратуре.

С появлением интегральных микросхем с операционными усилителями с начала 70-х годов прошлого века начали разрабатывать и широко применять *активные RC фильтры*, содержащие один или несколько ОУ и резисторы и емкости в цепях обратных связей. Порядок фильтра определяется наибольшей степенью переменной p в знаменателе его передаточной функции. Фильтры высокого порядка имеют лучшие частотные характеристики.

В зависимости от требований к качеству фильтрации и форме амплитудно-частотной характеристики применяют активные фильтры разной степени сложности: первого порядка, второго и более высоких порядков, с одним или несколькими ОУ, со специальной формой АЧХ (фильтры Баттерворта, Чебышева, Кауэра и т.д.).

Рассмотрим примеры реализации фильтров первого и второго порядка с одним ОУ.

Активные фильтры первого порядка

На рис.4.29 показана модель активного фильтра нижних частот (ФНЧ) первого порядка.

Используем формулу (4.6) и найдем комплексный коэффициент передачи фильтра:

$$\underline{K}(j\omega) = -\frac{\underline{Z}_2}{\underline{Z}_1} = -\frac{R_2 \dfrac{1}{j\omega C_1}}{\left(R_2 + \dfrac{1}{j\omega C_1}\right)R_1} = -\frac{R_2}{(1 + j\omega C_1 R_2)R_1} \quad (4.13)$$

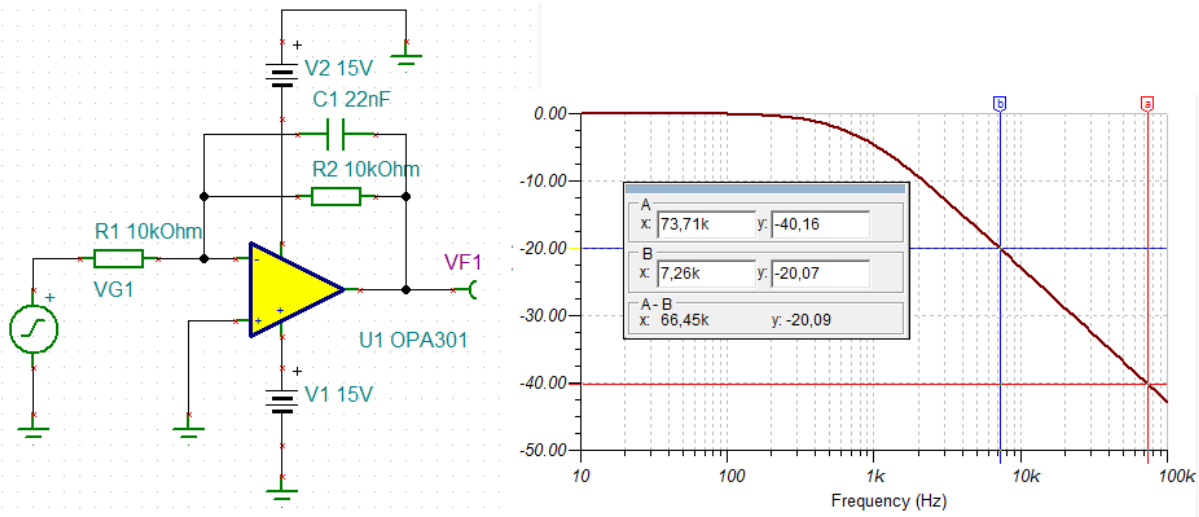

Рис.4.29. Активный ФНЧ первого порядка

Амплитудно-частотную характеристику можно рассчитать по формуле:

$$K(\omega) = -\frac{R_2/R_1}{\sqrt{1+(\omega C_1 R_2)^2}}. \qquad (4.14)$$

На графике (рис.4.29) видно, что полоса пропускания по уровню -3дб составляет 725 Гц. В полосе задерживания для ФНЧ первого порядка логарифмическая АЧХ (ЛАЧХ) имеет наклон -20дб/дек.

На рис.4.30 показана модель активного ФВЧ первого порядка и логарифмическая АЧХ. ФВЧ имеет те же номиналя пассивных элементов, что и рассмотренный ранее ФНЧ. Частота среза по уровню -3дб равна 725Гц. Наклон ЛАЧХ в полосе задерживания -20дб/дек.

4.3.11. Активные фильтры второго порядка

Схема активного ФНЧ второго порядка показана на рис.4.31.

В операторной форме сделаем вывод передаточной функции ФНЧ.

Так как неинвертирующий вход заземлен ($U_2 = 0$), то $U_1 = U\gamma = 0$. По первому закону Кирхгофа для узла «а»:

$$I_1 + I_3 - I_2 - I_5 = 0.$$

Выразим токи через напряжение и операторные сопротивления:

$$\frac{U_{вх} - U_a}{R_1} + \frac{U_{вых} - U_a}{R_3} - U_a p C_2 - \frac{U_a}{R_2} = 0. \qquad (4.15)$$

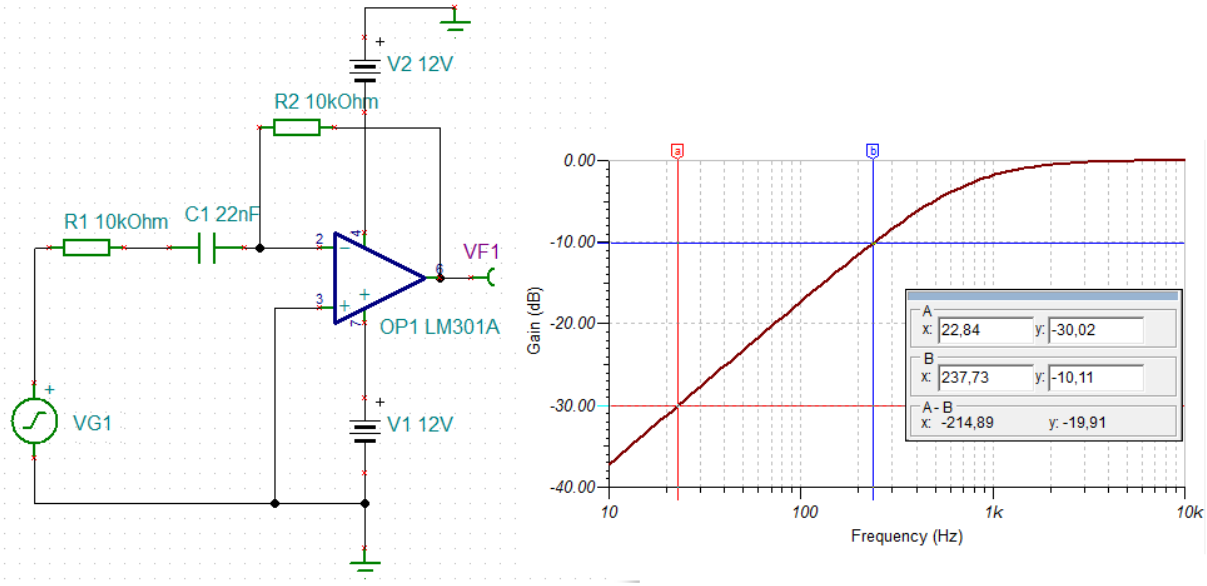

Рис.4.30. Модель и ЛАЧХ активного ФВЧ первого порядка

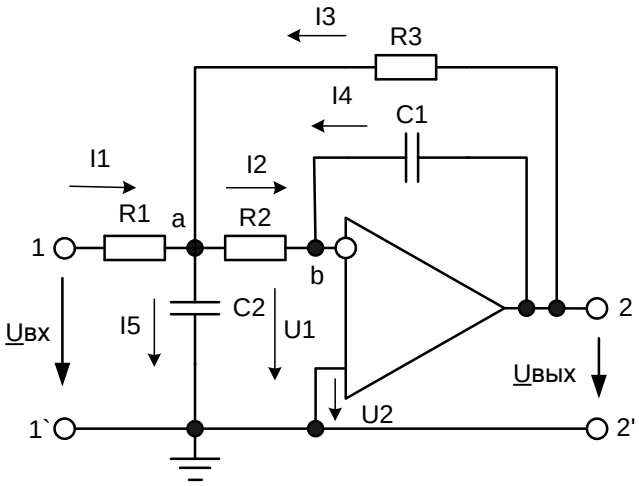

Рис.4.31. Активный ФНЧ второго порядка

Для узла «b»: $\dfrac{U_a}{R_2} + U_{вых} pC_1 = 0$ или:

$$U_a = -U_{вых} pC_1 R_2 . \qquad (4.16)$$

Подставляем (4.16) в (4.15):

$$\frac{U_{вх}}{R_1} = -\frac{U_{вых}}{R_3} - U_{вых} pC_1 R_2 \left(\frac{1}{R_1} + \frac{1}{R_2} + \frac{1}{R_3} + pC_2 \right) . \qquad (4.17)$$

Далее получим:

$$\frac{U_{вых}}{U_{вх}} = -\frac{1}{R_1\left[\frac{1}{R_3} + pC_1R_2(\frac{1}{R_1} + \frac{1}{R_2} + \frac{1}{R_3}) + p^2C_1C_2R_2\right]} =$$

$$= -\frac{1}{\left[p^2C_1C_2R_1R_2 + pC_1(R_2 + R_1 + \frac{R_1R_2}{R_3}) + \frac{R_1}{R_3}\right]}. \quad (4.18)$$

В выражении (4.18) делим числитель и знаменатель на $C_1C_2R_1R_2$, вводим новые обозначения и в итоге получаем выражение для передаточной функции:

$$K(p) = \frac{U_{вых}(p)}{U_{вх}(p)} = -\frac{K\omega_0^2}{p^2 + p(\omega_0/q) + \omega_0^2}, \quad (4.19)$$

где: $K = \frac{R_3}{R_1}$, $\omega_0 = \frac{1}{\sqrt{C_1C_2R_1R_3}}$, $q = \sqrt{\frac{C_2R_2}{C_1R_3}} \cdot \frac{1}{(1 + \frac{R_2}{R_1} + \frac{R_2}{R_3})}$.

Амплитудно-частотную характеристику находим заменой $p \to j\omega$ и вычислением модуля:

$$K(\omega) = \frac{K\omega_0^2}{\sqrt{(\omega^2 - \omega_0^2)^2 + \omega^2(\omega_0/q)^2}}. \quad (4.20)$$

На примере вывода формулы (4.20) мы еще раз убеждаемся в преимуществах моделирования в программе TINA.

Модель ФНЧ второго порядка представлена на рис.4.32. Частота среза по уровню – 3дб составляет 268Гц. Наклон ЛАЧХ составляет -30дб/дек.

На рис.4.33 показана модель и ЛАЧХ активного фильтра высоких частот второго порядка. Частота среза составляет 826Гц. Наклон ЛАЧХ -40дб/дек.

Расчетные формулы для ФВЧ второго порядка:

$$K(\omega) = \frac{K\omega^2}{\sqrt{(\omega^2 - \omega_0^2)^2 + \omega^2(\omega_0/q)^2}},$$

$$K = \frac{C_3}{C_1 + C_3}; \omega_0^2 = \frac{1}{R_3 \cdot R_1 \cdot C_0 \cdot C_2};$$

$$C_0 = C_1 + C_3; q = \frac{1}{(1 + \frac{C_0}{C_2})} \sqrt{\frac{R_1 \cdot C_0}{R_3 \cdot C_2}}.$$

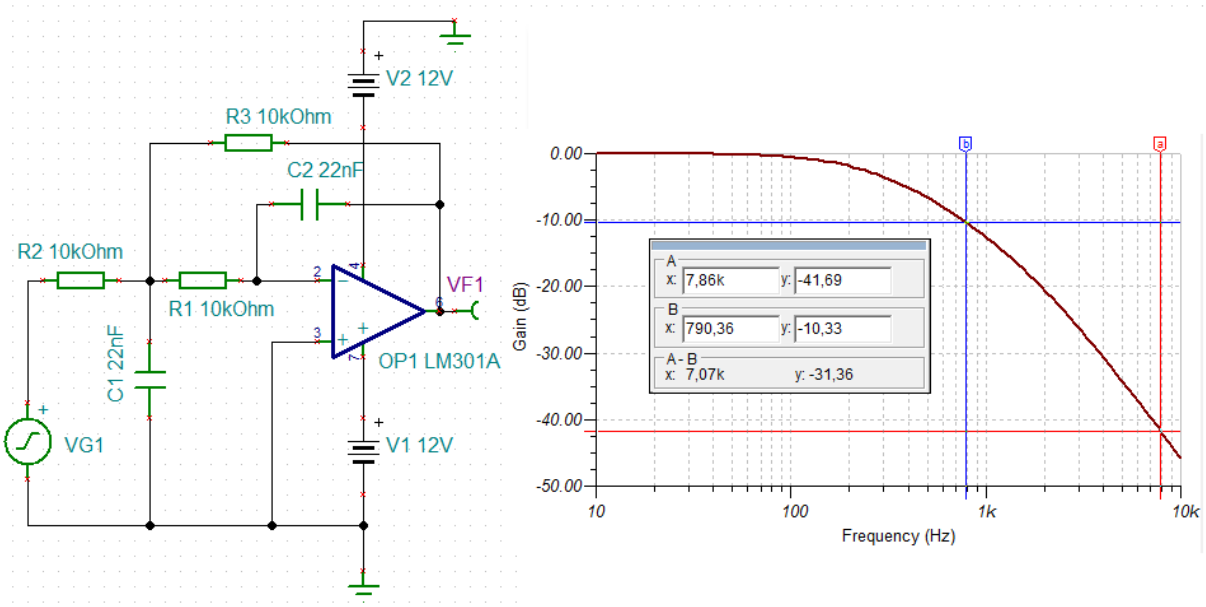

Рис.4.32. Модель и ЛАЧХ активного ФНЧ второго порядка

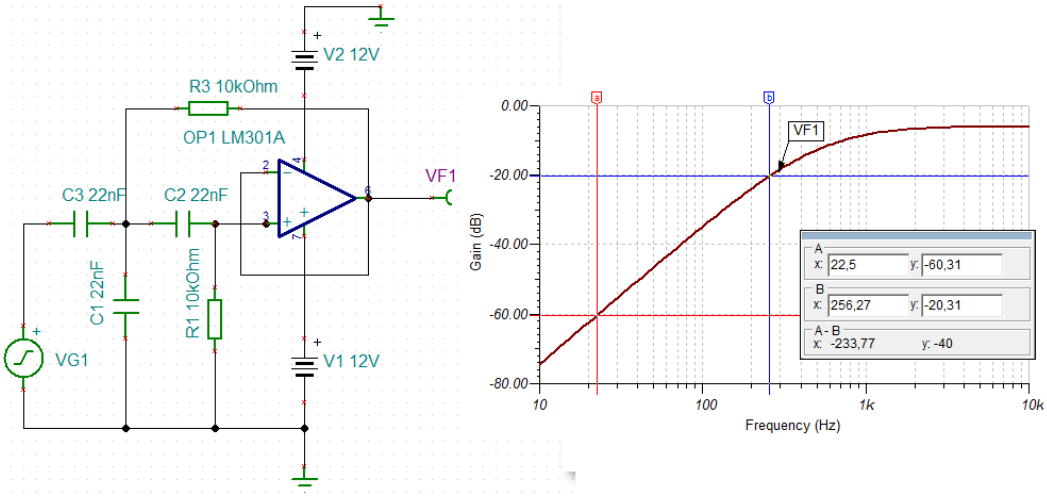

Рис.4.33. Модель и ЛАЧХ активного ФВЧ второго порядка

На рис.4.34 показана модель активного полосового фильтра второго порядка. Наибольшее усиление составляет -6 дб. Полоса пропускания по уровню -3дб составляет 1,45кГц.

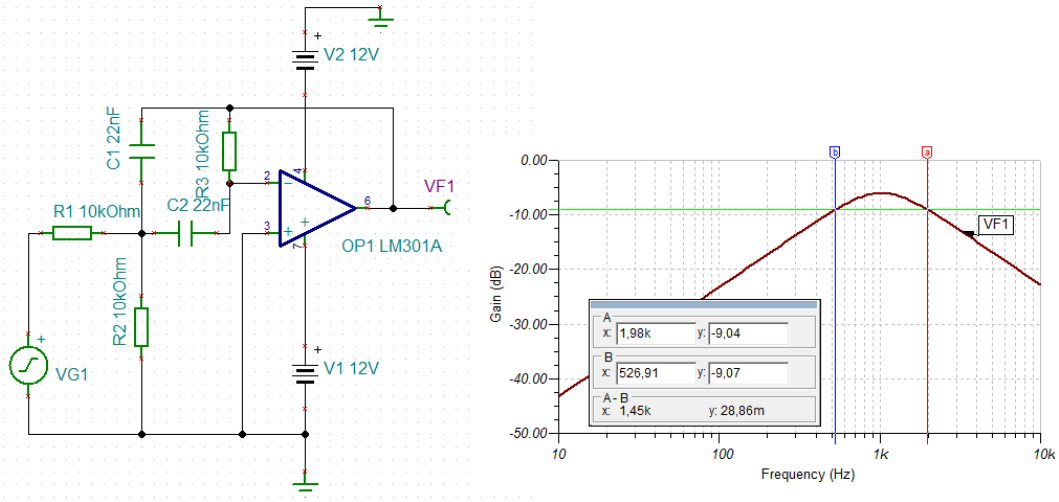

Рис.4.34. Модель и ЛАЧХ активного полосового фильтра второго порядка

Расчетные формулы для полосового фильтра второго порядка:

$$K(\omega)=\frac{K\omega(\omega_0/q)}{\sqrt{(\omega^2-\omega_0^2)^2+\omega^2(\omega_0/q)^2}},$$

$$K=\frac{R_2K_0}{R_1+R_2};K_0=q^2(1+C_2/C_1);$$

$$R_0=\frac{R_1\cdot R_2}{R_1+R_2};\omega_0^2=\frac{1}{R_0\cdot R_3\cdot C_1\cdot C_2};$$

$$q=\sqrt{\frac{R_3\cdot C_1}{R_0\cdot C_2}}\cdot\frac{1}{1+C_1/C_2}$$

На рис.4.35 представлены модель и АЧХ активного заграждающего фильтра. На частоте 728Гц происходит ослабление входного сигнала до -40дб.

В заграждающем фильтре (рис.4.35) все резисторы одинаковы и равны R_1, все емкости одинаковы и равны C_1. Расчетные формулы:

$$K(\omega)=\frac{K\left|\omega^2-\omega_0^2\right|}{\sqrt{(\omega^2-\omega_0^2)^2+4\omega^2\omega_0^2(2-K)^2}},$$

$$\omega_0=\frac{1}{R_1C_1},K=1+\frac{R'_{H2}}{R''_{H2}}$$

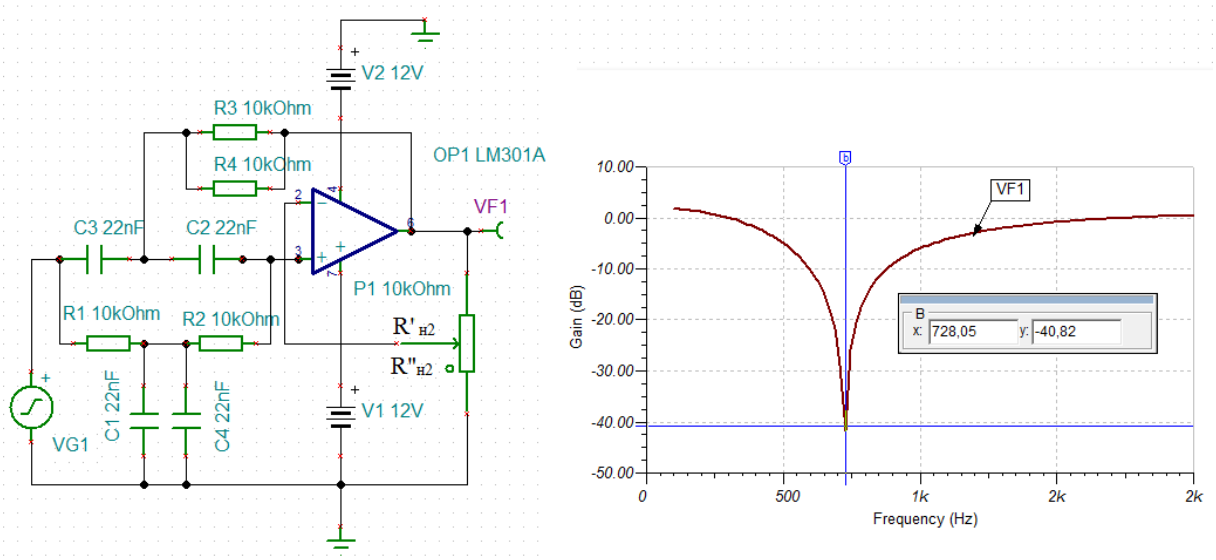

Рис.4.35. Модель и АЧХ активного заграждающего фильтра

4.4. Схемотехника нелинейных устройств на операционных усилителях

4.4.1. Логарифмический усилитель

Логарифмический усилитель предназначен для получения напряжения на выходе, пропорционального логарифму входного напряжения. Это важно в устройствах с большим динамическим диапозоном входных сигналов и в решающих усилителях для умножения аналоговых сигналов. На рис.4.36 показана модель логарифмического усилителя.

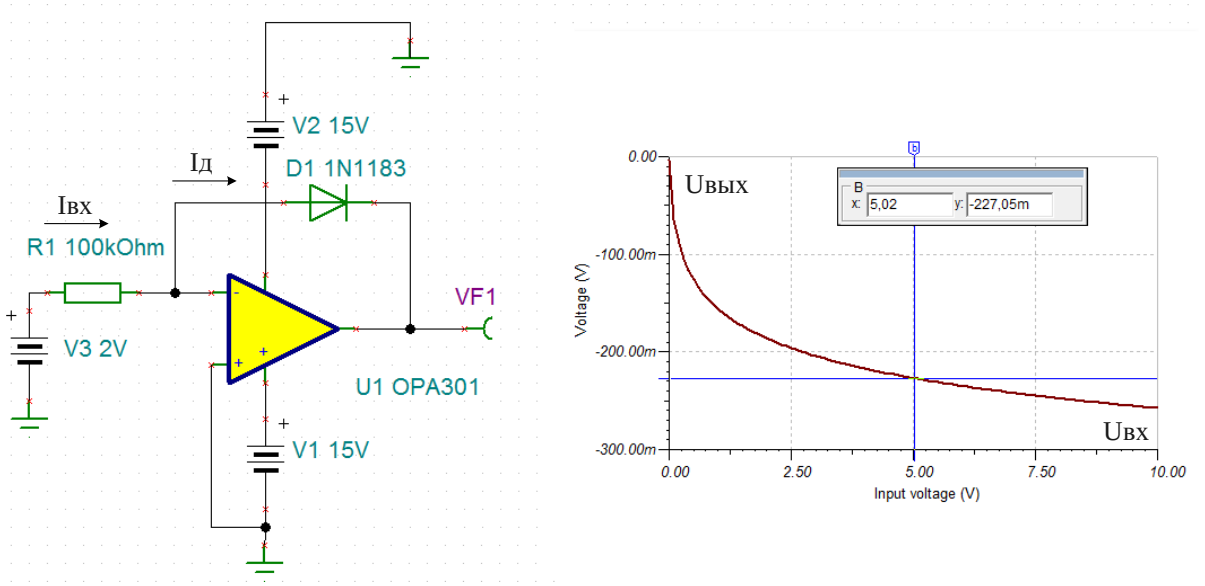

Рис.4.36. Модель логарифмического усилителя

Напомним, что прямой ток диода определяется по формуле:

$$I_{пр} = I_{диф} - I_s = I_s(e^{U_д/\varphi_T} - 1),$$

в которой I_s - ток нассыщения, $U_д$ - напряжение на диоде, $\varphi_T = 25мВ$ - тепловой потенциал.

В модели (рис.4.36) неинвертирующий вход заземлен. Следовательно, $U_д + U_{вых} = 0$ и $U_{вых} = -U_д$.

Входной ток равен току диода: $I_{вх} = I_д = \dfrac{U_{вх}}{R_1}$.

Получаем уравнение:

$$\frac{U_{вх}}{R_1} = I_s(e^{-U_{вых}/\varphi_T} - 1) . \qquad (4.21)$$

Логарифмируем это уравнение: $\ln\dfrac{U_{вх}}{R_1} = \ln I_s - U_{вых}/\varphi_T$.

В итоге:

$$U_{вых} = -\varphi_T(\ln\frac{U_{вх}}{R_1} - \ln I_s) . \qquad (4.22)$$

Для диода 1N1183 значение $I_s = 36 \cdot 10^{-9} A$. Для $U_{вх} = 5В$ и R1=100кОм вычислим $U_{вых}$:

$$U_{вых} = -25мВ(\ln\frac{5}{10^5} - \ln 36 \cdot 10^{-9}) = -25мВ \ln\frac{5 \cdot 10^9}{10^5 36} =$$
$$= -25мВ \ln 1388 = -25мв \cdot 7{,}23 = -181мВ .$$

Моделирование показывает результат – 227мВ.

Логарифмический вид графика амплитудной характеристики достаточно точный.

Различные схемы включения в цепи обратной связи диодов и транзисторов позволяют создать многообразные функциональные преобразователи со сложными нелинейными характеристиками. Такие преобразователи широко использовались в аналоговых вычислительных машинах.

4.4.2. Прецизионный выпрямитель

Обычные полупроводниковые диоды открываются при пороговом напряжении 0,5-0,7В и не могут выпрямлять сигналы с меньшей амплитудой. Применение ОУ позволяет создать выпрямители, работающие с сигналами от нескольких милливольт. На рис.4.37 показана модель прецизи-

онного выпрямителя и диаграммы выпрямленных напряжений при входном синусоидальном сигнале с амплитудой 50 мВ.

При положительном входном сигнале ток течет через диод D1, входной сигнал инвертируется и на выходе VF3 появляется полуволна напряжения без заметных искажений. При отрицательном входном сигнале работает диод D2 и положительная полуволна присутствует на выходе VF2.

Выход ОУ дает искаженный сигнал в связи с нелинейностью диодов при малых напряжениях.

Для получения двухполупериодного выпрямления требуется еще один ОУ, выполняющий вычитание выпрямленных сигналов.

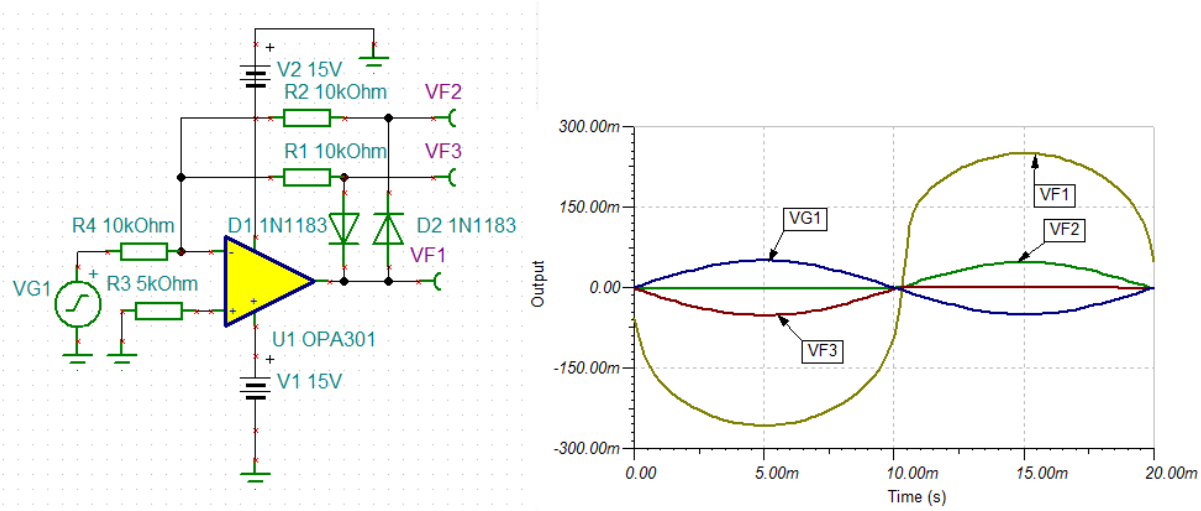

Рис.4.37. Прецизионный выпрямитель

Глава 5. Обратная связь и автогенераторы

5.1. Понятие обратной связи

Обратная связь (ОС) – это передача на вход усиленных колебаний с выхода усилителя (или отдельного его каскада). Применение обратной связи в операционных усилителях мы рассмотрели в предыдущей главе.

Обобщенная схема усилителя с обратной связью показана на рис.5.1.

Усилитель без обратной связи имеет коэффициент усиления K_1. Часть выходного сигнала u_2 проходит через цепь обратной связи с коэффициентом передачи β, возвращается на вход как u_β и смешивается с входным сигналом u_1 в смесителе.

По происхождению ОС бывает:

- внутренняя (в транзисторах за счет y_{12} ,h_{12});
- искусственная (вводится специально);
- паразитная (существует сама за счет плохого монтажа).

По характериу ОС бывает:

1. *Положительная*: входной сигнал u_1 и сигнал ОС u_β синфазные (совпадают по фазе) и суммируются;

2. *Отрицательная*: входной сигнал u_1 и сигнал ОС u_β противофазные и вычитаются.

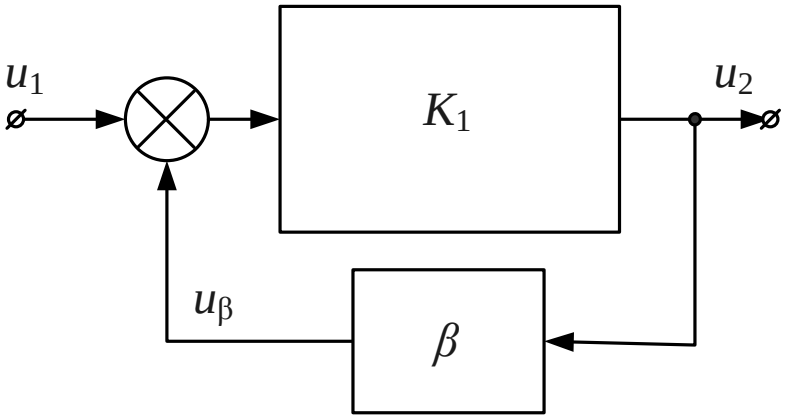

Рис.5.1. Обобщенная схема усилителя с обратной связью

5.2. Типы подключения обратной связи

По способы получения обратной связи с выхода усилителя и подключения сигнала ОС на вход различают четыре типа обратной связи.

1. Последовательная обратная связь по напряжению (рис.5.2.а);

2. Параллельная обратная связь по напряжению (рис.5.2.б);

3. Последовательная обратная связь по току (рис.5.2.в);
4. Параллельная обратная связь по току (рис.5.2.г).

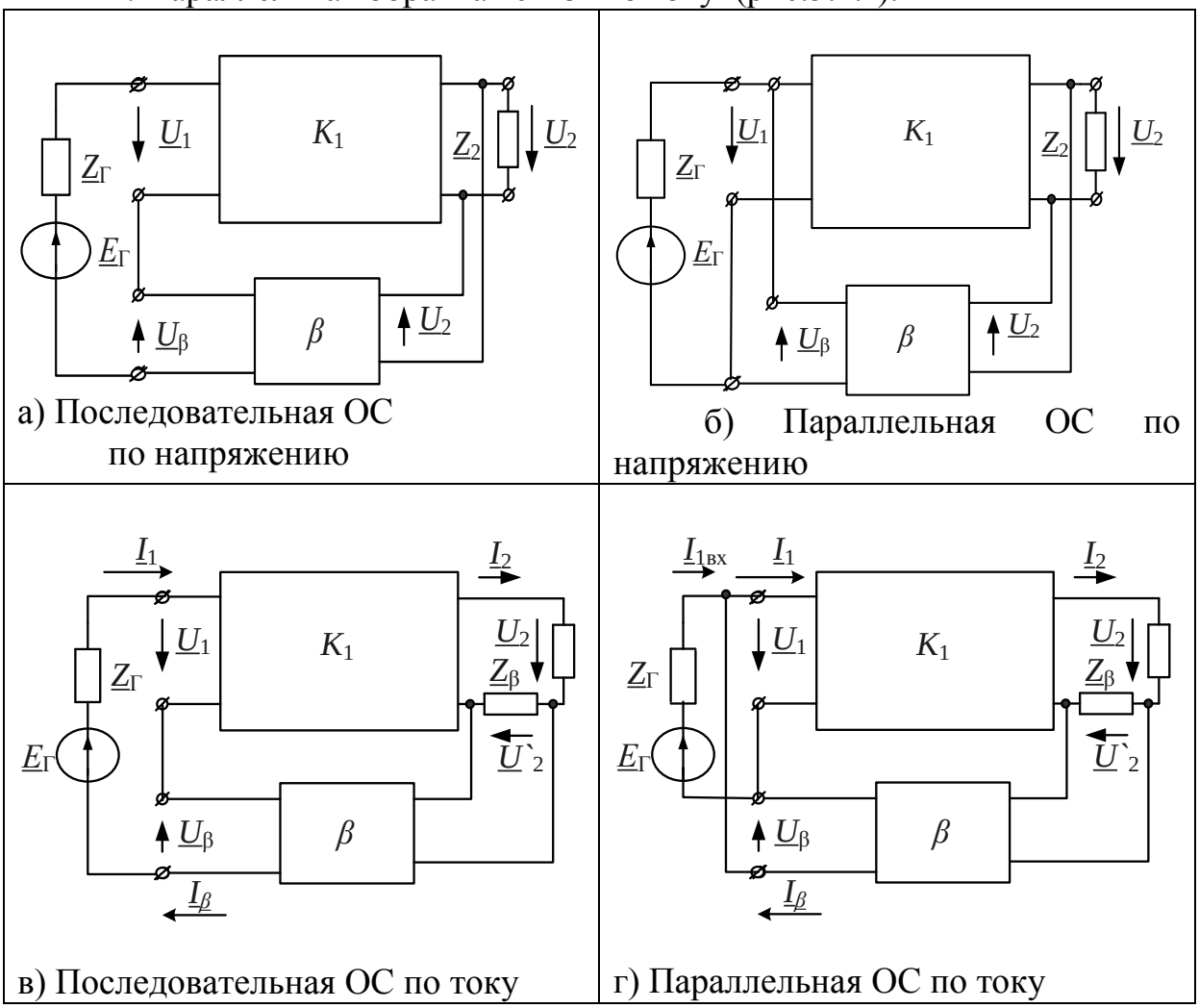

Рис.5.2. Типы обратной связи

Эти четыре типа обратной связи можно рассчитывать, используя теорию соединения четрыехполюсников. Последовательную ОС по напряжению называют обратной связью Н-типа, параллельную ОС по напряжению Y- типа, последовательную ОС по току Z-типа, параллельную ОС по току G-типа.

5.3. Свойства усилителей с ОС

Рассмотрим последовательную ОС по напряжению (рис.5.3).

Передаточная функция основного четырехполюсника без ОС:

$$\underline{K}_1(j\omega) = \frac{\underline{U}_2}{\underline{U}_1}.$$

Передаточная функция обратной связи: $\underline{\beta}(j\omega)=\dfrac{\underline{U}_{\beta}}{\underline{U}_2}$,

где: $\underline{\beta}(j\omega)$- коэффициент обратной связи.

Входное напряжение: $\underline{U}_{1вх}=\underline{U}_1-\underline{U}_{\beta}$.

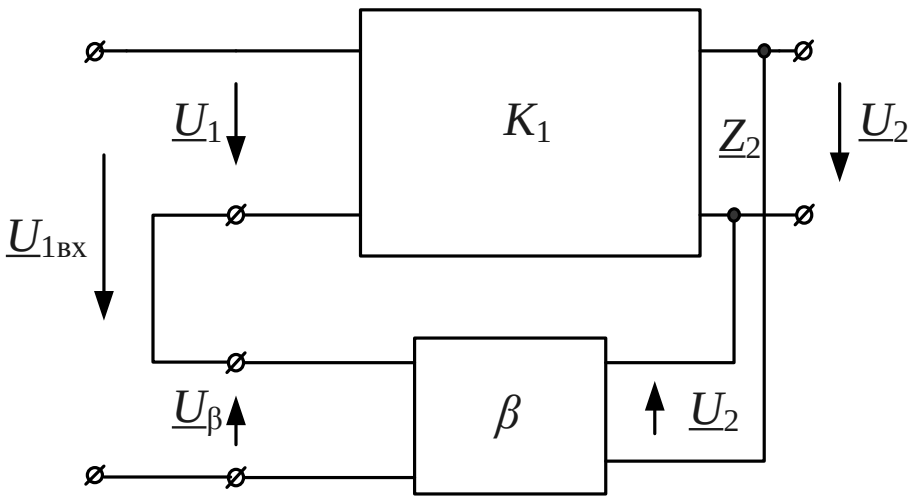

Рис.5.3. Последовательная ОС по напряжению

Передаточная функция четырехполюсника с обратной связью:

$$\underline{K}(j\omega)=\frac{\underline{U}_2(j\omega)}{\underline{U}_{1вх}(j\omega)}=\frac{\underline{U}_2(j\omega)}{\underline{U}_1(j\omega)-\underline{U}_{\beta}(j\omega)}=$$

$$=\frac{\dfrac{\underline{U}_2(j\omega)}{\underline{U}_1(j\omega)}}{1-\dfrac{\underline{\beta}(j\omega)\cdot\underline{U}_2(j\omega)}{\underline{U}_1(j\omega)}}=\frac{\underline{K}_1(j\omega)}{1-\underline{\beta}(j\omega)\cdot\underline{K}_1(j\omega)}. \qquad (5.1)$$

Обозначим:

$\underline{\beta}(j\omega)\cdot\underline{K}_1(j\omega)$ - петлевое усиление (коэффициент передачи разомкнутой петли ОС);

$\underline{F}(j\omega)=1-\underline{\beta}(j\omega)\cdot\underline{K}_1(j\omega)$- комплексная глубина обратной связи;

$\left|\underline{F}(j\omega)\right|$ – глубина обратной связи.

Если $\underline{\beta}(j\omega)\cdot\underline{K}_1(j\omega)>0$ и вещественно, ***обратная связь положительная***.

При этом: $\underline{U}_1$ и $\underline{U}_\beta$ совпадают по фазе, $0 < \underline{\beta}\underline{K}_1 < 1$, $\underline{K} = \dfrac{\underline{K}_1}{1 - \underline{\beta} \cdot \underline{K}_1} > \underline{K}_1$.

Если $\underline{\beta} \cdot \underline{K}_1 = 1, K \to \infty$ - возникает возбуждение.

Если $\underline{\beta}(j\omega) \cdot \underline{K}_1(j\omega) < 0$ и вещественно, ***обратная связь отрицательная***.

При этом: $\underline{U}_1$ и $\underline{U}_\beta$ противоположны по фазе, $\underline{K} = \dfrac{\underline{K}_1}{1 - \underline{\beta} \cdot \underline{K}_1} < \underline{K}_1$, $\underline{\beta} \cdot \underline{K}_1 < 0$.

Если $\underline{K}_1 \gg 1$, то $K \approx \left| \dfrac{1}{\beta} \right|$ - определяется обратной связью.

Входное сопротивление

Для усилителя без ОС: $\underline{Z}_{вх} = \dfrac{\underline{U}_1}{\underline{I}_1}$.

С обратной связью:

$$\underline{Z}_{вхОС} = \frac{\underline{U}_{1вх}}{\underline{I}_1} = \frac{\underline{U}_1 - \underline{U}_\beta}{\underline{I}_1} = \frac{\underline{U}_1 - \underline{U}_\beta}{\underline{I}_1} =$$

$$= \frac{\underline{U}_1 - \underline{U}_1 \underline{\beta} \cdot \underline{K}_1}{\underline{I}_1} = \underline{Z}_{вх}(1 - \underline{\beta} \cdot \underline{K}_1).$$

Если ОС последовательная и отрицательная $\underline{K}_1 \underline{\beta} < 0$, то входное сопротивление увеличивается.

При положительной ОС $\underline{Z}_{вхОС} = \underline{Z}_{вх}(1 - \underline{\beta} \cdot \underline{K}_1)$ - уменьшается.

Выходное сопротивление

Отрицательная ОС по напряжению уменьшает выходное сопротивление:

$$\underline{Z}_{выхОС} = \frac{\underline{Z}_{вых}}{(1 - \underline{\beta} \cdot \underline{K}_1)}.$$

Ампитудно-частотная характеристика усилителя с отрицательной обратной связью определяется из формулы (5.1):

$$K(\omega)=\left|\frac{\underline{K}_1(j\omega)}{1-\underline{\beta}(j\omega)\cdot\underline{K}_1(j\omega)}\right|. \qquad (5.2)$$

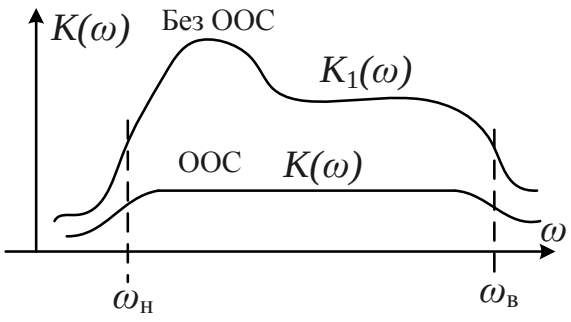

Отрицательная обратная связь (ООС) снижает усиление но амплитудно-частотную характеристику $K(\omega)$ в полосе пропускания можно сделать достаточно равномерной (рис.5.4).

Рис.5.4. АЧХ усилителя с ООС

Стабильность усиления

Для оценки стабилизации усиления за счет ООС найдем приращение модуля усиления в формуле (5.1):

$$\left|\frac{dK}{K}\right|=\left|\frac{1}{1-\beta K_1}\right|\cdot\left|\frac{dK_1}{K_1}\right|. \qquad (5.3)$$

Если, к примеру, $\left|\frac{dK_1}{K_1}\right|=20\%,\ K_1=-1000,\ \beta=0{,}1$, то

$$\left|\frac{dK}{K}\right|\approx 0{,}2\%.$$

Достоинства отрицательной ОС

- • Уменьшаются искажения (амплитудно-частотные, фазочастотные, нелинейные).
- Повышается стабильность коэффициента усиления.
- Увеличивается входное сопротивление.
- Уменьшается выходное сопротивление.
- Уменьшаются шумы.

Недостатки отрицательной ОС

- Снижается усиление.
- Требуются дополнительные элементы в схеме.

5.4. Положительная обратная связь в автогенераторах

Автогенератором называют устройство, которое преобразует энергию источника постоянного напряжения или тока в энергию гармонических колебаний.

Автогенератор гармонических колебаний (АГ) является нелинейным устройством с положительной обратной связью и содержит, как правило, колебательный контур. Обобщенная структурная схема автогенератора с внешней обратной связью показана на рис. 5.5. Она содержит усилитель с комплексным коэффициентом усиления $\underline{K}(j\omega)$ и частотно-избирательную цепь положительной обратной связи с комплексным коэффициентом передачи $\underline{\beta}(j\omega)$.

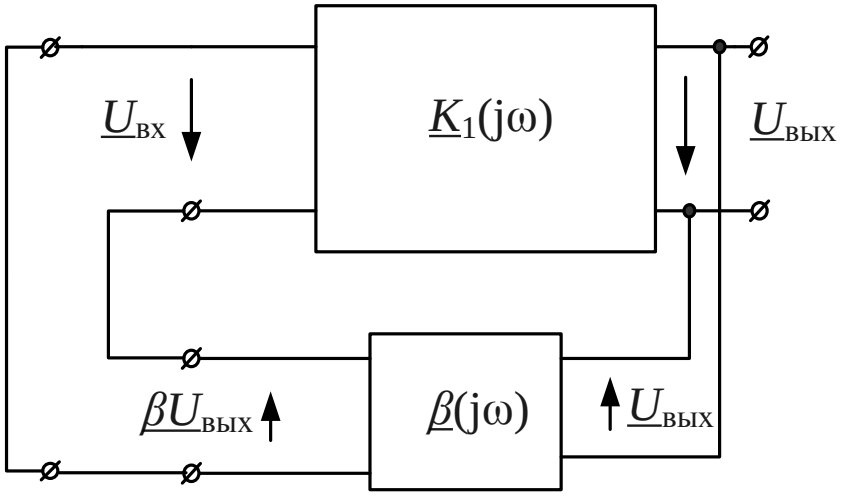

Рис.5.5. Структурная схема автогенератора с обратной связью

Работу автогенератора можно разделить на два этапа:

- этап возбуждения колебаний;
- этап стационарного режима.

На этапе возбуждения в автогенераторе вследствие начальных флуктуаций входного напряжения в усилителе и наличия частотно-зависимой положительной обратной связи возникают колебания и их амплитуда постепенно нарастает. По мере нарастания амплитуды уменьшается коэффициент усиления усилителя, амплитуда колебаний стабилизируется и автогенератор переходит в стационарный режим.

Рассмотрим условие возникновения колебаний. На входе усилителя (рис.5.5) действует сигнал с комплексным действующим значением $\underline{U}_{вх}$. При этом на выходе усилителя будет сигнал $\underline{U}_{вых} = \underline{U}_{вх} \cdot \underline{K}(j\omega)$. С выхода усилителя колебания через цепь положительной обратной связи вновь поступают на вход усилителя, поэтому:

$$\underline{U}_{вх} = \underline{U}_{вых} \cdot \underline{\beta}(j\omega) \text{ и } \underline{U}_{вых}(1 - \underline{K}(j\omega) \cdot \underline{\beta}(j\omega)) = 0 \qquad (5.4)$$

Из уравнения (5.4) следует, что напряжение на выходе усилителя $\underline{U}_{вых}$ может быть отличным от нуля только при выполнении условия:

$$1-\underline{K}(j\omega)\cdot\underline{\beta}(j\omega)=0 \qquad (5.5)$$

Отсюда получаем условие возникновения колебаний:

$$\underline{K}(j\omega)\cdot\underline{\beta}(j\omega)=1, \qquad (5.6)$$

где $\underline{K}(j\omega)\cdot\underline{\beta}(j\omega)$ называют петлевым усилением усилителя с обратной связью.

Условие возникновения колебаний (5.6) распадается на два условия, которые называют условиями баланса амплитуд и фаз:

$$\begin{cases} \left|\underline{K}(j\omega)\cdot\underline{\beta}(j\omega)\right|=1 & (5.7) \\ \arg(\underline{K}(j\omega)\cdot\underline{\beta}(j\omega))=\varphi_k+\varphi_\beta=2\pi n, & (5.8) \end{cases}$$

где n- любое целое число.

Первое условие (5.7) баланса амплитуд означает, что в стационарном режиме полное петлевое усиление на рабочей частоте автогенератора должно быть равно единице. В качестве элементов, регулирующих петлевое усиление, используют или пассивные нелинейные элементы (термисторы, варисторы и др.) или транзисторы в режиме регулируемого усиления.

Второе условие (5.8) баланса фаз означает, что полный фазовый сдвиг в замкнутом контуре автогенератора должен быть равен $2\pi n$, где n- любое целое число. Условие баланса фаз позволяет определить частоту генерируемых автоколебаний. Если условие баланса фаз выполняется только на одной частоте, то колебания будут гармоническими.

Наиболее распространенными автогенераторами гармонических колебаний являются генераторы, в которых цепь положительной обратной связи выполнена на последовательных или параллельных резонансных контурах. Применяют автогенераторы с трансформаторной обратной связью, трехточечные генераторы с индуктивной и емкостной обратной связью.

5.4.1. Автогенератор с трансформаторной обратной связью

Начнем изучение с автогенератора на полевом транзисторе с резонансным контуром в цепи стока и трансформаторной обратной связью. Генераторы гармонических колебаний, содержащие LC- контуры, называют часто LC- генераторами Упрощенная схема генератора на полевом транзисторе и его схема замещения показаны на рис.5.6.

Режим работы схемы автогенератора по постоянному току устанавливается с помощью источника питания стока $E_{\text{с}}$ и источника смещения затвора $E_{\text{з}}$. В схеме использован параллельный колебательный кон-

тур $L_к C_к$. Сопротивление потерь $R_к$ учитывает потери на элементах контура в индуктивности и емкости. Усилитель генератора выполнен на полевом транзисторе с индуцированным каналом n-типа. Положительная обратная связь в цепь затвора осуществляется через обмотку связи L_c, индуктивно связанную с катушкой $L_к$ контура. При этом важное значение имеет правильное включение катушки связи, которая должна обеспечивать поворот фазы примерно на π и выполнение условия баланса фаз. Схема замещения автогенератора (рис.5.6б) составлена для малого переменного сигнала и источники постоянного питания и смещения в ней не учитываются.

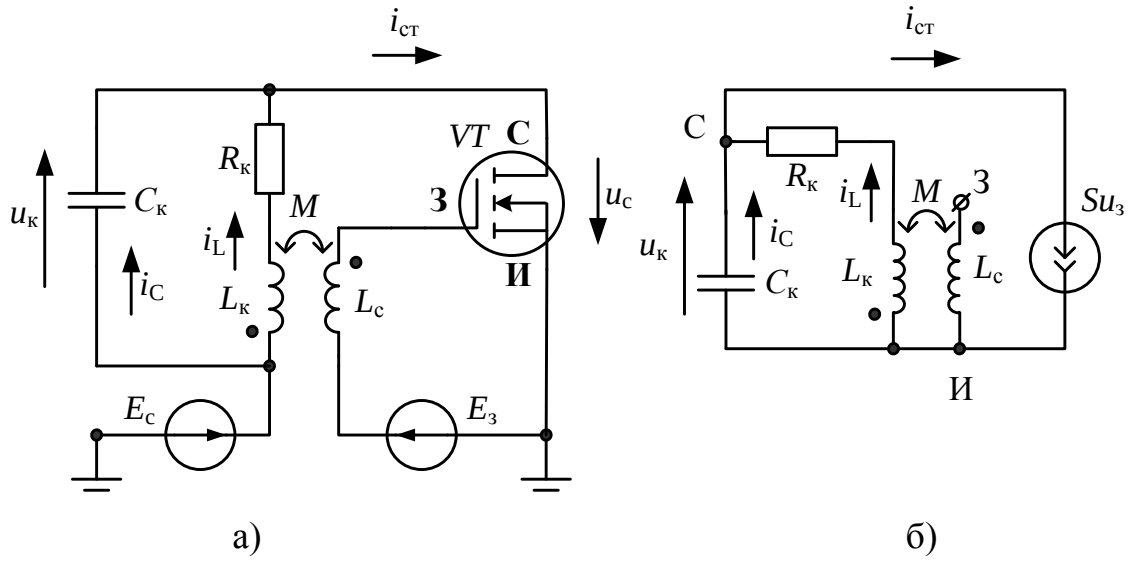

Рис.5.6. Схема автогенератора на полевом транзисторе (а) и его схема замещения (б)

По схеме замещения (рис.5.6б) составим основные уравнения автогенератора:

$$i_{ст} = Su_з,\ u_з = M\frac{di_L}{dt},\ i_{ст} = SM\frac{di_L}{dt},$$

где $i_{ст}$ - ток стока, S - крутизна полевого транзистора, $u_з$ - напряжение на затворе, M – взаимная индуктивность.

Далее выразим:

напряжение на конденсаторе контура $u_c = R_к i_L + L_к \dfrac{di_L}{dt}$,

ток в конденсаторе $i_C = C_к \dfrac{du_C}{dt} = R_к C_к \dfrac{di_L}{dt} + L_к C_к \dfrac{d^2 i_L}{dt^2}$,

ток стока $i_{\text{ст}} = i_L + i_C = i_L + R_к C_к \dfrac{di_L}{dt} + L_к C_к \dfrac{d^2 i_L}{dt^2} = SM \dfrac{di_L}{dt}$.

Преобразуем последнее уравнение к виду:

$$\frac{d^2 i_L}{dt^2} + \left(\frac{R_к}{L_к} - \frac{SM}{L_к C_к} \right) \frac{di_L}{dt} + \frac{1}{L_к C_к} i_L = 0 \qquad (5.9)$$

Введем обозначения: $\omega_0 = \dfrac{1}{\sqrt{L_к C_к}}$ - резонансная частота контура без потерь;

$$\alpha = \frac{1}{2} \left(\frac{R_к}{L_к} - \frac{SM}{L_к C_к} \right) \qquad (5.10)$$

- коэффициент затухания контура.

Преобразуем уравнение (5.9) к виду:

$$\frac{d^2 i_L}{dt^2} + 2\alpha \frac{di_L}{dt} + \omega_0{}^2 i_L = 0. \qquad (5.11)$$

Решение уравнения (5.11) имеет вид:

$$i_L = I_{mL} e^{-\alpha t} \sin \omega t, \qquad (5.12)$$

где $\omega = \sqrt{\omega_0^2 - \alpha^2}$ - частота колебаний в контуре.

Из уравнения (5.12) следует, что если $\alpha > 0$ колебания в контуре затухают, если $\alpha < 0$ - нарастают. При $\alpha = 0$ в контуре устанавливается режим стационарных колебаний, определяемый формулой:

$$i_{L\text{уст}} = I_{mL} \sin \omega t.$$

Из формулы (5.10) условие возбуждения колебаний в контуре можно записать в виде:

$$S > \frac{R_к C_к}{M} = S_{\text{кр}} \qquad (5.13)$$

Значение коэффициента затухания можно записать в виде:

$$\alpha = \frac{1}{2L_к} \left(R_к - \frac{SM}{C_к} \right) = \frac{1}{2L_к} \; R_к - R_{вн} \;, \qquad (5.14)$$

где $R_{вн} = \dfrac{SM}{C_к}$ - отрицательное вносимое сопротивление.

Таким образом, положительная обратная связь приводит к созданию отрицательного вносимого сопротивления, которое может компенсировать сопротивление потерь контура и создавать незатухающие колебания. Регулировать отрицательное вносимое сопротивление можно изменением магнитной связи М и изменением крутизны полевого транзистора путем изменения напряжения на затворе полевого транзистора $E_З$. При увеличении напряжения на затворе крутизна S уменьшается.

В стационарном режиме работы автогенератора установление амплитуды колебаний происходит за счет изменения крутизны транзистора с ростом амплитуды колебаний. Приближенная зависимость крутизны от напряжения колебаний на затворе транзистора имеет вид:

$$S(u_з) = S_0 - bu_з^2,$$

где S_0 - крутизна при нулевом напряжении на затворе.

График изменения крутизны по приближенной формуле (5.15) показан на рис. 5.7 сплошной линией. С ростом напряжения колебаний на затворе крутизна снижается до значения $S_{раб}$, которое определяет напряжение колебаний на затворе в стационарном режиме: $u_{з.уст.} = \sqrt{\dfrac{S_0 - S_{раб}}{b}}$.

Напряжение на контуре найдем с учетом коэффициента трансформации $n = \dfrac{L_к}{M}$:

$$u_к \approx \frac{L_к}{M} u_{з.уст.} \qquad (5.15)$$

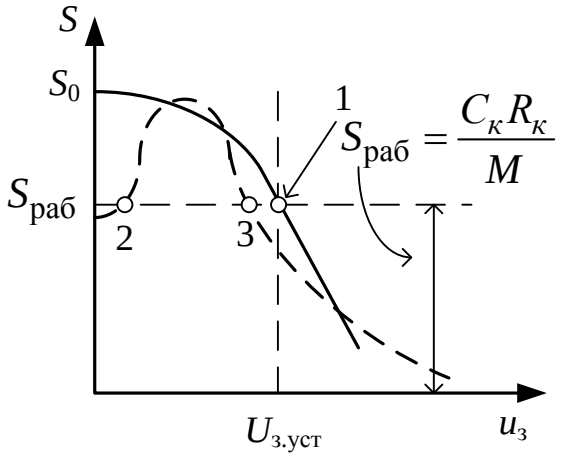

Рис.5.7. Зависимость крутизны от напряжения колебаний на затворе транзистора

В автогенераторе происходит мягкий режим возбуждения с плавным увеличением амплитуды колебаний и с одним устойчивым состоянием в точке 1.

Если крутизна транзистора изменяется немонотонно (пунктирная кривая на рис.5.7), происходит жесткий режим возбуждения, выходные колебания возникают резко, скачком и соответствуют устойчивой точке 3. Точка 2 является неустойчивой.

5.4.2. Расчет автогенератора в Mathcad

Подставим в уравнение (5.15) $u_з = M\dfrac{di_L}{dt}$. Тогда получим:

$$S(u_з) = S_0 - bM^2\left(\frac{di_L}{dt}\right)^2 \qquad (5.16)$$

В уравнении (5.9) обозначим:

$$y_1 = i_L(t),\ \frac{dy_1}{dt} = y_2 \qquad (5.17)$$

Запишем уравнение (5.9) в виде уравнений состояния:

$$\frac{dy_1}{dt} = y_2$$

$$\frac{dy_2}{dt} = \omega_0^2\left[\left[S_0 - bM^2(y_2)^2\right]My_2 - R_к C_к y_2 - y_1\right. \qquad (5.18)$$

Нелинейные дифференциальные уравнения (5.18) решаются в Mathcad с использованием функции rkfixed(y,x1,x2,m,F), которая реализует метод Рунге-Кутта четвертого порядка. Аргументами функции являются: y – вектор начальных условий размерности n (n – порядок дифференциального уравнения); x1 и x2 – граничные точки интервала, на котором ищется решение дифференциального уравнения (начальные условия, заданные в векторе y соответствуют значению решения в точке x1; m – число точек, в которых ищется приближенное решение; F – вектор, которым заданы производные дифференциального уравнения.

Программа расчета

$ORIGIN := 1$

$L := 10^{-2} \quad C := 68\cdot 10^{-9} \quad R := 10 \quad M := 5\times 10^{-4}$

$\omega := \dfrac{1}{\sqrt{L\cdot C}} \quad \omega = 3.835\times 10^{4}$

$T := \dfrac{2\cdot\pi}{\omega} \quad T = 1.638\times 10^{-4}$

$SO := 10^{-2} \quad b := 2\cdot 10^{-4} \quad u := 0, 0.1 .. 5 \qquad S(u) := SO - b\cdot u^2$

График крутизны транзистора

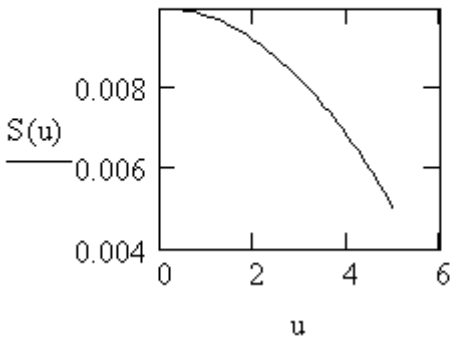

$$y := \begin{pmatrix} 0 \\ 0.5 \end{pmatrix}$$

$$F(t,y) := \begin{bmatrix} y_2 \\ \omega^2 \cdot \left[\left[SO - b \cdot M^2 \cdot (y_2)^2 \right] \cdot M \cdot y_2 - R \cdot C \cdot y_2 - y_1 \right] \end{bmatrix}$$

$$Z := \mathrm{rkfixed}\left(y, 0, 5 \cdot 10^{-3}, 1001, F\right)$$

График тока в индуктивности

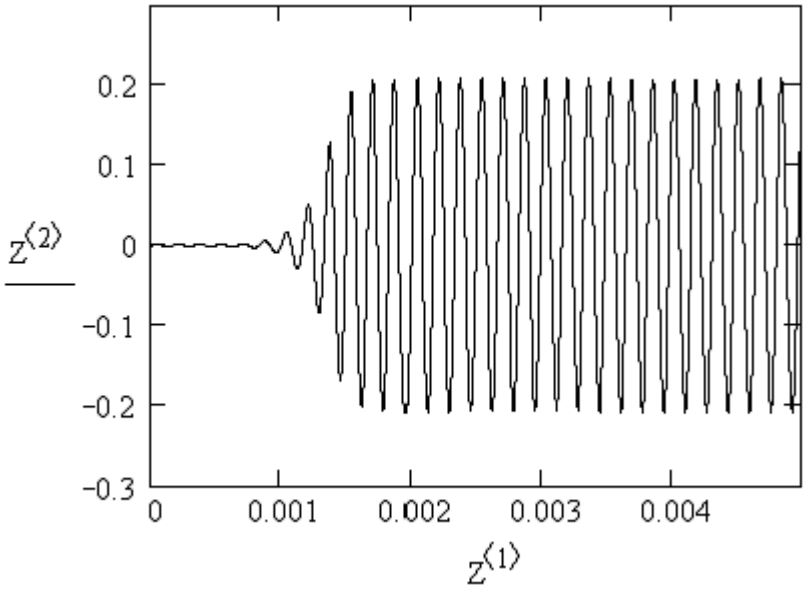

Фазовый портрет

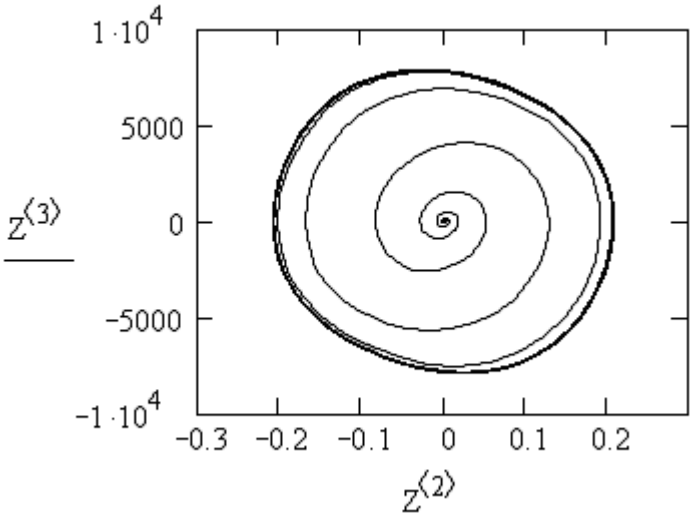

В результате расчетов в Mathcad получен график тока в индуктивности $i_L(t) = Z^{<2>}$, показывающий процесс возникновения колебаний и переход в установившийся режим с амплитудой тока в индуктивности контура 0,2 А. По оси абсцисс отложено время $t = Z^{<1>}$. На фазовом портрете по оси абсцисс отложен ток в индуктивности $i_L(t) = Z^{<2>}$, а по оси ординат отложена производная тока $\frac{di_L}{dt} = Z^{<3>}$. В исследованном автогенераторе наблюдается мягкий режим самовозбуждения, фазовый портрет имеет вид раскручивающейся спирали с устойчивым предельным циклом.

5.4.3. Моделирование автогенератора с трансформаторной связью

В модели автогенератора с трансформаторной связью использован полевой транзистор с управляемым *p-n* переходом 2N4391. Пороговое напряжение отсечки у этого транзистора составляет $U_{отс} = -5{,}799B$.

Индуктивно связанные катушки M1 (*Coupled Inductors*) из меню *Basic* имеют индуктивности $L_{1's}$ и $L_{2's}$ по 10 мГн. Взаимную индуктивность *M* установлена равной 1 мГн и может изменяться в экспериментах. Резисторы R_2 и R_3 моделируют потери в катушках. Индуктивность L_2 и емкость C_2 образуют параллельный колебательный контур. Источник напряжения E_1 (VS1) создает отрицательное смещение на затворе транзистора. Источник напряжения E_2 (VS2) создает напряжение питания стока. Первый канал осциллографа измеряет напряжение на затворе транзистора, второй канал измеряет напряжение на стоке.

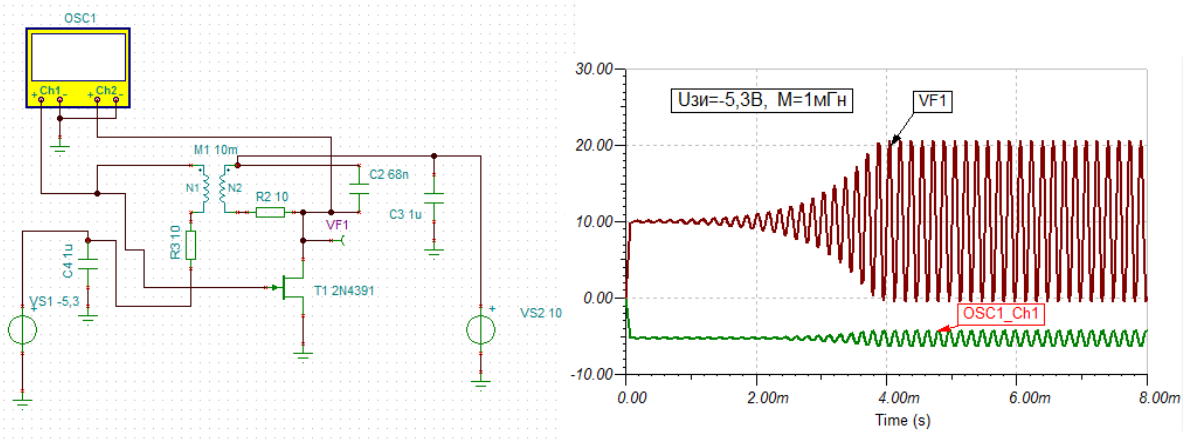

Рис.5.8. Модель атогенератора с трансформаторной обратной связью

Осциллограмма напряжения на стоке транзистора VF1 иллюстрирует процесс возникновения колебаний в режиме мягкого возбуждения при напряжении Uзи=-5,3В. Время установления стационарного режима составляет 4мс.

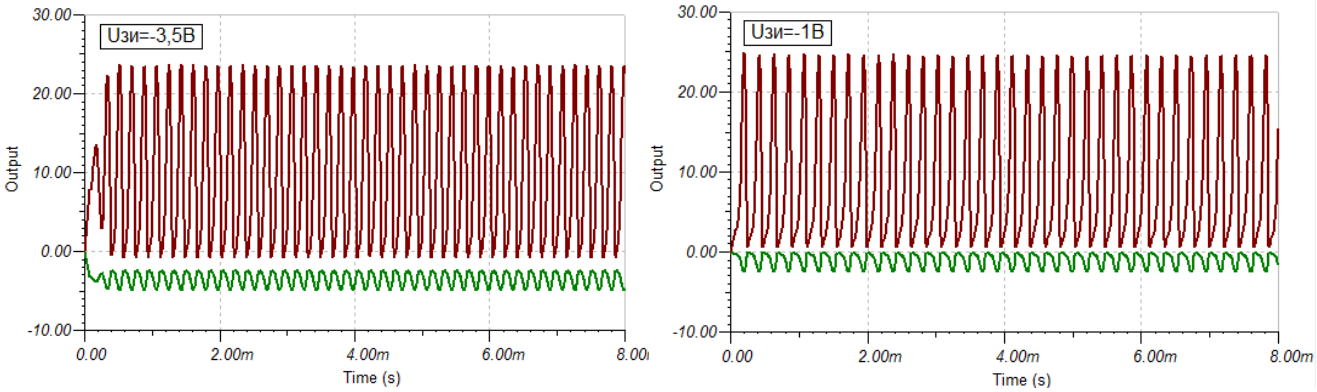

а) б)

Рис.5.9. Осцилограммы возбуждения генератора при разных смещениях на затворе

Уменьшение смещения Uзи до -3,5В сокращает время установления колебаний до 0,5мс (рис.5.9а).

Дальнейшее уменьщение смещения ускорит процесс установления колебаний, но приводит к появлению нелинейных искажений формы сигналов.

Время установления колебаний и нелинейные искажения зависят от взаимной индуктивности М, с которой связан коэффициент обратной связи $\beta = \dfrac{u_{з\sim}}{u_{к\sim}}$, от напряжения на стоке транзистора и других свойств схемы.

5.4.4. Индуктивная трехточка

Во многих схемах LC- генераторов напряжение обратной связи снимают с части колебательного контрура. Такое включение контура называют неполным. При этом контур имеет три точки соединений с внешней цепью и такие схемы LC- генераторов называют трехточечными.

На рис.5.10 показана структурная схема трехточки на неинвертирующем операционном усилителе.

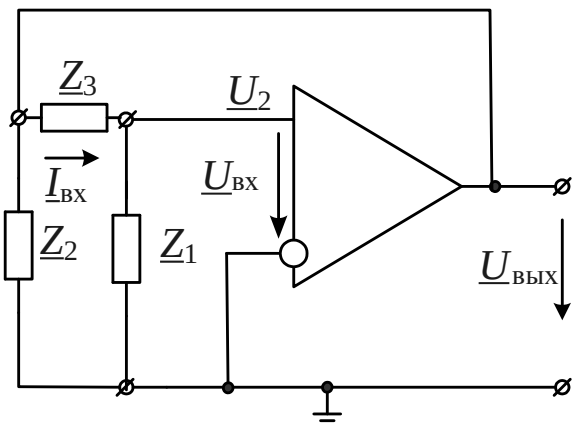

Рис.5.10. Структурная схема трехточки

В схеме реактивные элементы $\underline{Z}_1$, $\underline{Z}_2$, $\underline{Z}_3$ оюразуют колебательную систему, с помощью которой создается частотно-зависимая положительная обратная связь. В реальных схемах автогенераторов индуктивности и емкости имеют малые потери, поэтому при анализе мы будем учитывать только их реактивные составляющие.

Входное сопротивление ОУ много больше, модуля сопротивления элемента $\underline{Z}_1$. Поэтому входной ток находим так: $\underline{I}_{вх} = \dfrac{\underline{U}_{вых}}{\underline{Z}_1 + \underline{Z}_3}$.

Напряжение обратной связи:

$$\underline{U}_{ОС} = \underline{U}_{вх} = \frac{\underline{U}_{вых} \cdot \underline{Z}_1}{\underline{Z}_1 + \underline{Z}_3} = \frac{\underline{U}_{вых}}{\underline{K}} \ . \qquad (5.19)$$

Далее получим условие возникновения колебаний:

$$\underline{U}_{вых}\left(1 - \frac{\underline{K} \cdot \underline{Z}_1}{\underline{Z}_1 + \underline{Z}_3}\right) = 0 \ . \qquad (5.20)$$

Коэффициент обратной связи;

$$\underline{\beta}(j\omega) = \frac{\underline{U}_{ОС}}{\underline{U}_{вых}} = \frac{\underline{U}_{вх}}{\underline{U}_{вых}} = \frac{\underline{Z}_1}{\underline{Z}_1 + \underline{Z}_3} = \frac{jx_1}{jx_1 + jx_3} \ . \qquad (5.21)$$

На резонансной частоте полное реактивное сопротивление контура:

$$x_1 + x_2 + x_3 = 0. \qquad (5.22)$$

Так как ОУ вкдючен по неинвертирующей схеме, он не вносит фазовый сдвиг в выходной сигнал. Поэтому условие баланса фаз будет выполняься в том случае, когда и цепь положительной обратной связи не вносит фазового сдвига ($\varphi_\beta = 0$). Это возмодно тогда, когда x_1 и x_3 одинакового

знака, т.е. либо оба элемента- индуктивности (индуктивная трехточка - рис.5.11), либо оба элемента- емкости (емкостная трехточка- рис.5.12).

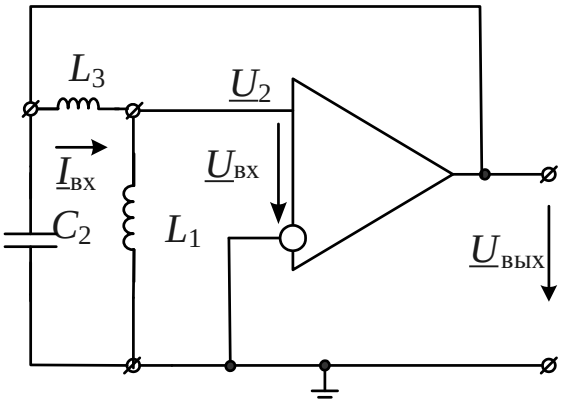

Рис.5.11. Индуктивная трехточка

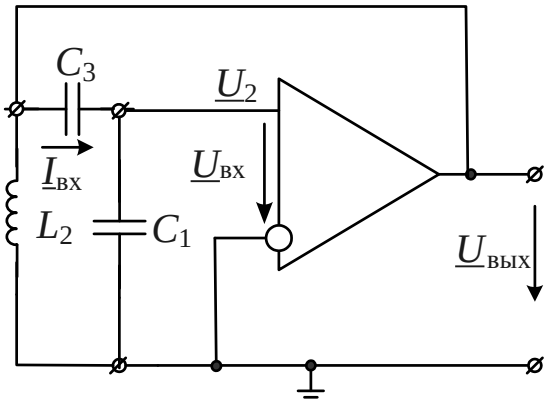

Рис.5.12. Емкостная трехточка

В схемах тндуктивной и емкостной трехточки фазы напряжений на выходе и неинвертирующем входе одинаковы и обратная связь положительная.

На рис.5.13 показана популярная схеме индуктивной трехточки, которую называют генратором Хартли. Генератор собран на *n-p-n* транзисторе, включенном по схеме с общей базой. Резисторный делитель напряжения R2- R3 создает на базе смещение рабочей точки. Конденсатор C2 шунтирует R3 по высокой частоте.

Резистор R1 включен в эмиттерную цепь для ограничения тока протекающего через транзистор, создания отрицательной обратной связи по постоянной составляющей и положительной обратной связи по переменной составляющей.

Конденсатор C1 и катушка L1 образуют частотозадающий колебательный контур.

Напряжение на коллекторе (VF1) и эмиттере (VF2) совпадают по фазе.

Конденсатор C3 передает часть переменного сигнала с индуктовности L2 на резистор R1 в эмиттере и обеспечивает положительную обратную связь (ПОС), необходимую для генерации.

Коэффициент обратной связи β можно регулировать подбором отношения $\dfrac{L_2}{L_1 + L_2}$. Экспериментальное моделирование показывает, что при полной индуктивности $L_1 + L_2 = 10 мГн$ генерация происходит при значениях $500 мкГн < L_2 < 3 мГн$. Выбор связи влияет на время установления колебаний, искажения и возможность генерации.

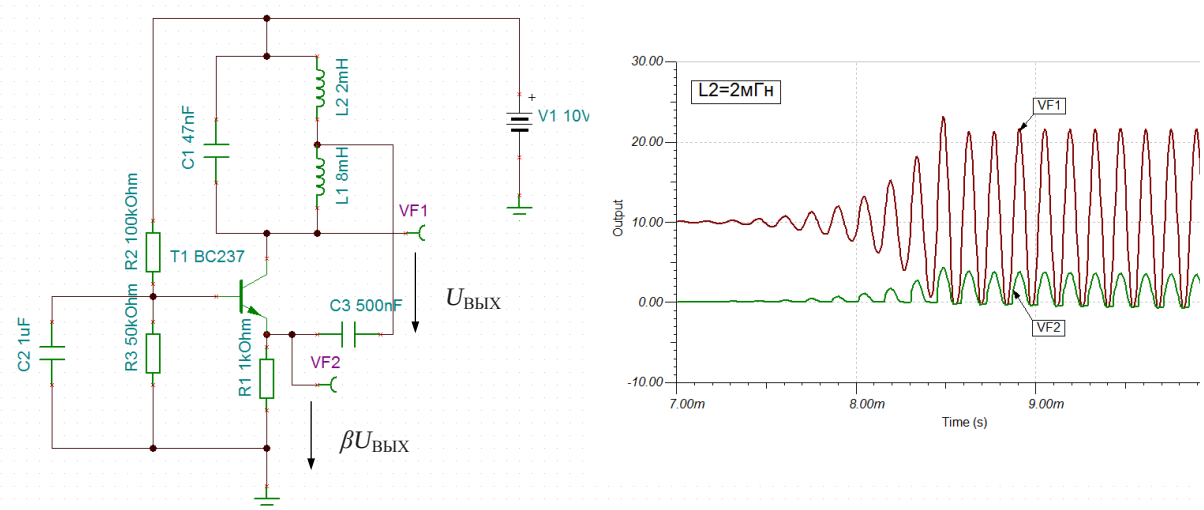

Рис.5.13. Генератор Хартли – индуктивная трехточка

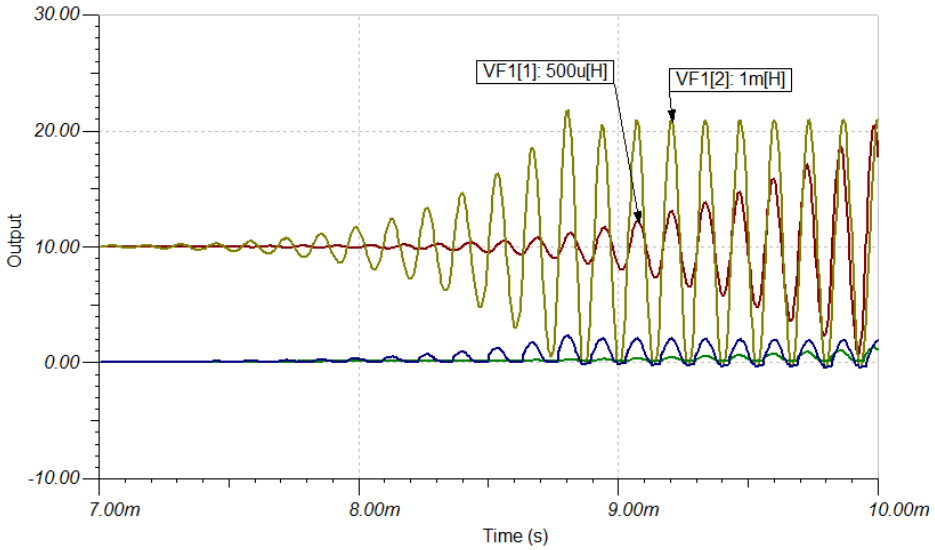

Рис.5.14. Влияние коэффициента ОС на возникновение колебаний

5.4.5. LC-генератор на операционном усилителе

Модель LC-генератора гармонических колебаний на операционном усилителе показана на рис.5.15.

Усилитель атогенератора охвачен двумя цепями ОС, которые обеспечивают режимы баланса амплитуд и баланса фаз. Баланс амплитуд устанавливается цепью отрицательной ОС, содержащей резисторы R_1 и R_2 и подключенной к инвертирующему входу ОУ. Эта отрицательная ОС задает необходимый коэффициент усиления собственно усилителя: $|K| = R_2/R_1$.

Рекомендуется задавать $|K| = R_2/R_1 = 10$.

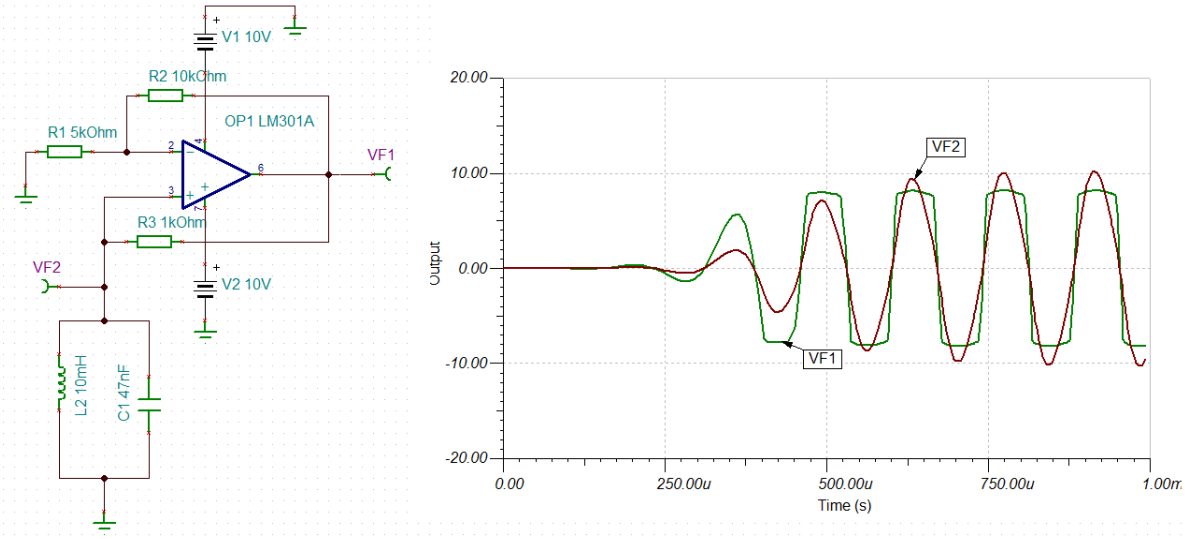

Рис.5.15. Модель LC-генератора на ОУ

На резонансной частоте параллельный контрур имеет активное сопротивление $R_0 = \frac{\rho^2}{R_к} = \frac{L/C}{R_к}$, где $\rho = \sqrt{L/C}$ - характеристическое сопротивление контура, $R_к$ - сопротивление потерь контура.

Коэффициент передачи цепи положительной ОС определяется формулой: $\beta = \frac{R_0}{R_0 + R_3}$.

Схему генератора (рис.5.15) можно рассматривать как частный случай вычитающего ОУ (рис.4.15), у которого U_1=0, U_2=Uвых, R_4=R_0. Из формулы (4.11) на резонансной частоте получим:

$$\underline{U}_{вых} = \left[\frac{(1 + R_2/R_1)}{(1 + R_0/R_3)} \right] \cdot \underline{U}_{вых}. \qquad (5.23)$$

Тогда условие баланса амплитуд и фаз выглядит так:

$$\underline{U}_{вых} \left[1 - \frac{(1 + R_2/R_1)}{(1 + R_0/R_3)} \right] = 0. \qquad (5.24)$$

Условие баланса фаз на резонансной частоте выполняется, так как R_0-активное сопротивление. Баланс амплитуд будет устанавливаться за

счет ограничения выходного напряжения и снижения коэффициента усиления ОУ по первой гармонике при возрастании амплитуды колебаний.

На рис.5.16 показано увеличение времени установления колебаний при снижении коэффициента усиления собственно ОУ от 10 до 2.

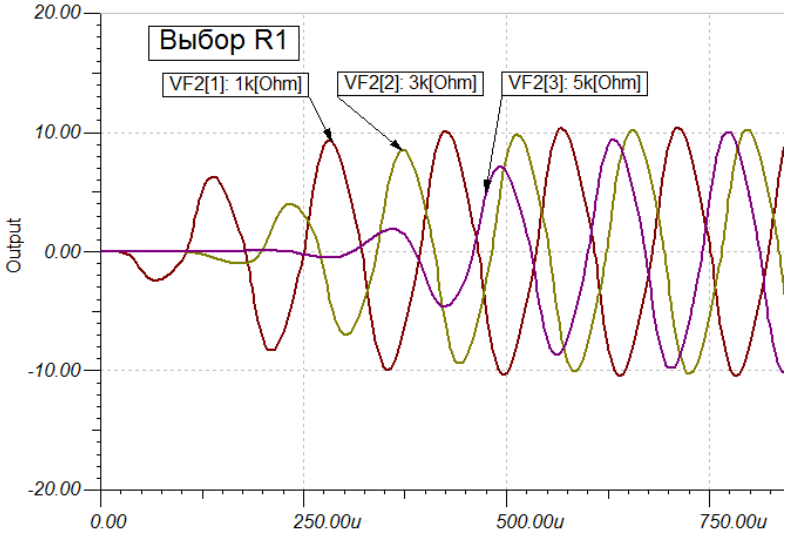

Рис.5.16. Влияние усилений ОУ на время установления колебаний

5.4.6. Генератор Вина

В генераторе Вина (рис.5.17) при равных значениях сопротивлений R_1=R_2=R и емкостях C_1=C_2=C на квазирезонансной частоте $f_к = \dfrac{1}{2\pi RC}$ петлевой коэффициент передачи обратной цепи $\beta = \dfrac{1}{3}$, а фазовый сдвиг в цепи обратной связи равен нулю.

Для самовозбуждения коэффициент усиления усилителя *К* должен быть больше 3. Это достигается регулировкой потенциометра *P*1. Диод и источник напряжения E_2 требуются для стабилизации режима генерации.

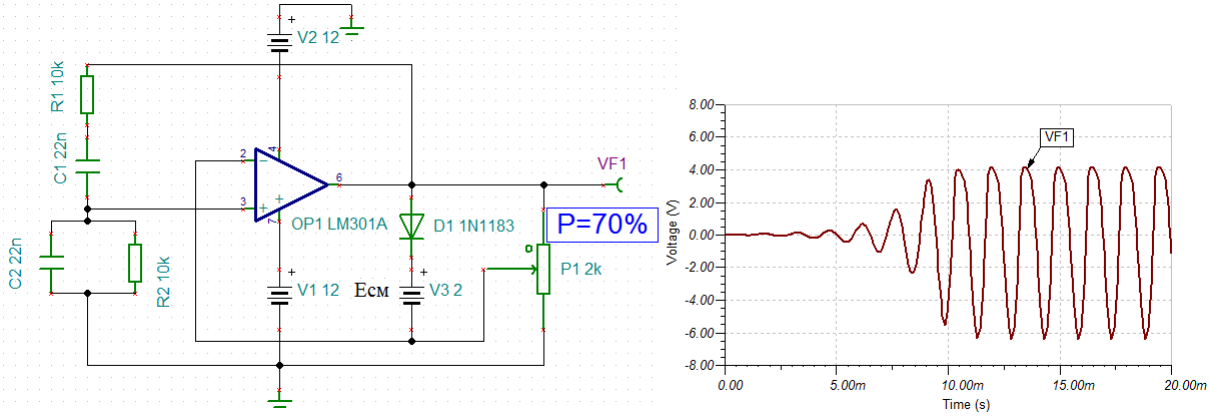

Рис.5.17. Модель генератора Вина

5.4.7. Мультивибратор на ОУ

Мультивибраторы формируют симметричные или несимметричные импульсные сигналы и могут работать в непрерывном (автоколебательном) и ждущем (одновибратор) режиме. На рис.5.18 показана модель симметричного автоколебательного мультивибратора на ОУ.

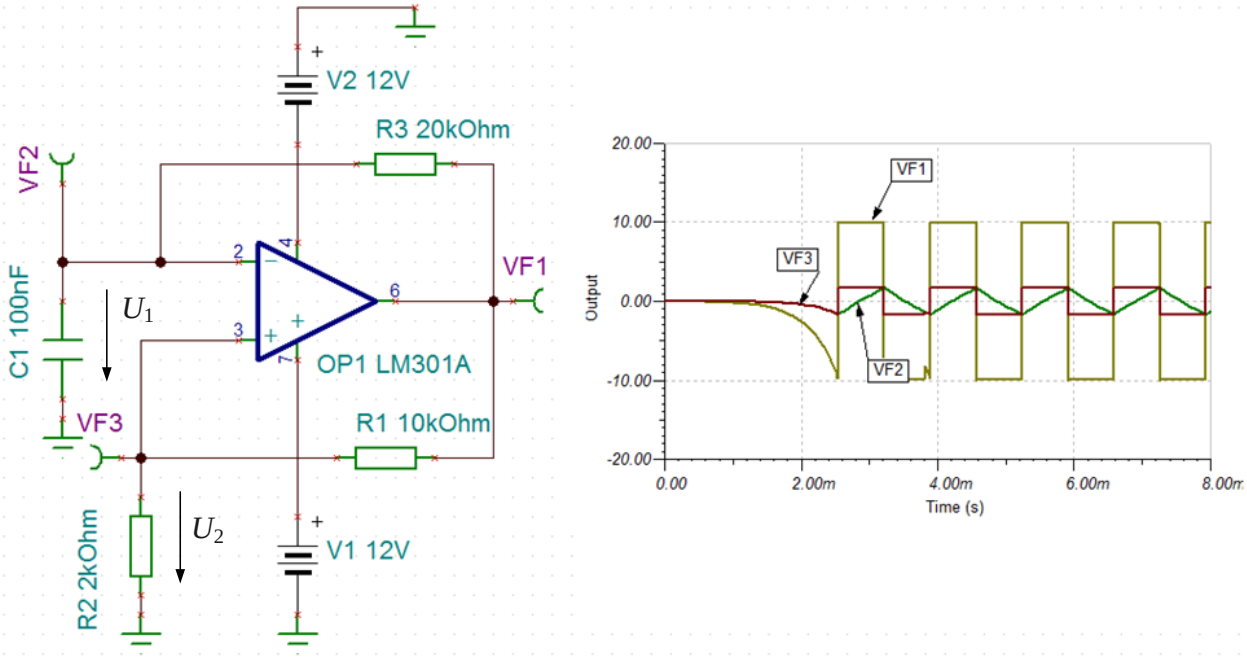

Рис.5.18. Модель мультивибратора на ОУ

Делитель R_2-R_1 создает положительную ОС, которая переводит ОУ в триггерный (переключательный) режим. Номинальные значения резисторов задают порог переключения $\left|U_{пор}\right| = \left|\dfrac{U_{мах}R_2}{R_1 + R_2}\right|$.

Если $U_{вых} = +U_{max}$, то $U_{пор} = +\dfrac{U_{мах}R_2}{R_1 + R_2}$.

Если $U_{вых} = -U_{max}$, то $U_{пор} = -\dfrac{U_{мах}R_2}{R_1 + R_2}$.

Пока входной сигнал на инвертирующем входе отличается от $\pm U_{пор}$ ОУ за счет положительной ОС находится в состоянии насыщения и выходное напряжение будет равно либо $+U_{мах}$, либо $-U_{max}$.

Когда входное напряжение U_1 сравнивается с $U_{пор}$, выходое напряжение $U_{вых}$ меняет знак на противоположный и начинается перезаряд емкости C_1.

Цепочка R_3C_1 обеспечивает генерацию и временные соотношения в схеме.

Период импульсов: $T = 2R_3C_1 \ln(1 + 2 R_2/R_1)$.

5.4.8. Стабилизация частоты автогенераторов

Важным требованием, предявляемым к автогенераторам, является высокая стабильность частоты выходных колебаний. Вследствии различных дестабилизирующих факторов (температуры, влажности, напряжения питания и т.п.) могут меняться величины индуктивностей, емкостей и резисторов, образующих колебательные контуры и частотно-избирательные RC-цепи автогенераторов. В результате частота колебаний выходного сигнала будет меняться по случайному закону.

Качество работы автогенераторов оценивают *абсолютной* и *относительной нестабильностью* частоты. Абсолютная нестабильность Δf это разность между текущим значением частоты f и номинальным f_p.

Относительная нестабильность определяется коэффициентом нестабильности $\Delta f / f_p$. Для RC-генераторов относительная нестабильность составляет 0,1%. Для LC-генераторов: 0,01%.

Применяют специальные способы стабилизации частоты.

Параметрический способ стабилизации

Это способ заключается в ослаблении влияния дестабилизирующих факторов (термостатирование, улучшение печатного монтажа и т.п.) и подбор высокочастотных прецизионных элементов колебательных контуров с малыми температурными коэффициентами изменения номинальных параметров. Параметрическая стабилизация снижает относительную нестабильность до 10^{-4}.

Кварцевая стабилизация частоты

В схемах генераторов вместо LC-контура применяют кварцевый резонатор, что позволяет снизить относительную нестабильность до 10^{-7} (на частоте 1МГц отклонение чпстоты $\Delta f = 0{,}1 Гц$.

Кварцевый резонатор (кратко кварц) представляет собой тонкую прямоугольную пластинку минерала кварца, грани которой определенным образов ориентированы по отношению к осям кристалла. Кварц обладает прямым и обратным пьезоэлектрическим эффектом. Прямой эффект проявляется в том, что при сжатии или растяжении кварца на его противоположных гранях появляются электрические заряды.

При воздействии на пластину кварца электрического поля в ней возникают упругие механические колебания (обратный пьезоэффект), приводящие к появлению электрических зарядов на гранях кристалла.

Кварц можно рассматривать как электромеханическую колебательную систему, эквивалентную сложному параллельному колебательному контуру (рис.5.19).

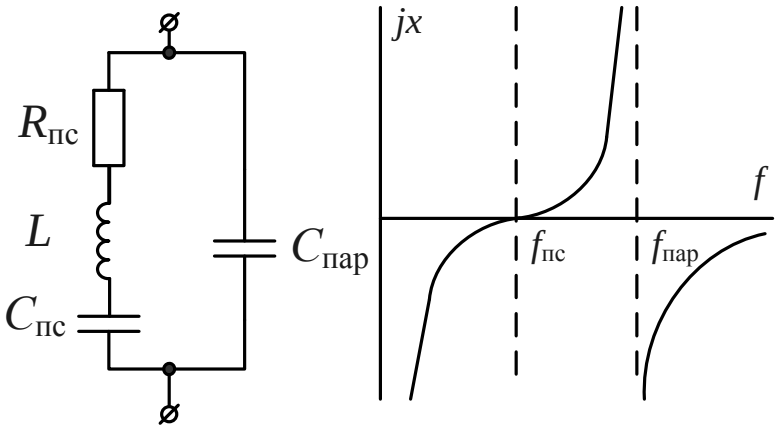

Рис.5.19. Эквивалентная схема кварца и зависимость реактивного сопротивления от частоты

Частоты последовательного и параллельного резонансов кварца расположены очень близко и отличаются друг от друга не более, чем на 1%. В результате этого эффекта реактивное сопротивление изменяется очень резко. Добротность кварца достигает 10000 (у обычного контура не более 300). Кварц имеет хорошую температурную стабильность и применяется в генераторах в качестве задающего элемента.

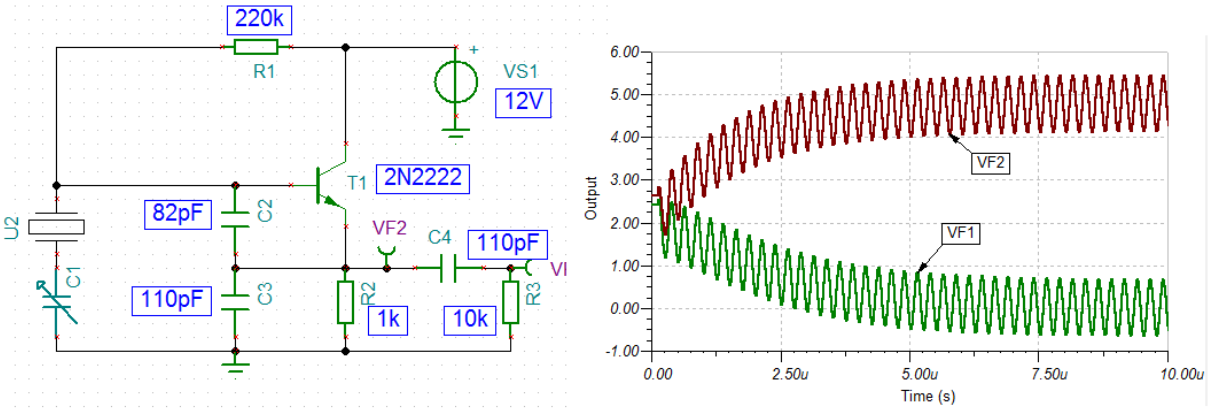

Рис.5.20. Модель кварцевого генератора и диаграммы напряжений

На рис.5.20 показана модель кварцевого генератора на биполярном транзисторе и диаграммы напряжений. Генератор формирует гармонический сигнал с частотой 4МГц.

Глава 6. Электронные системы связи

6.1. Основные понятия электросвязи

Само появление электроники и схемотехники как технического направления было обусловлено потребностью людей передавать на дальние расстояния и принимать сообщения. Первые электроваккуумные приборы были созданы для радиопередающих и радиоприемных устройств в начале 19-го века. По радио передавались голосовые и телеграфные сообщения. Затем появилось телевидение, спутниковая связь, сотовая связь и т.д. Средства электросвязи могут быть определены как средства передачи, приема и обработки информации между двумя и более пользователями с использованием электрических сигналов.

Исходная информация может быть в аналоговой форме (человеческая речь, музыка) или в цифровой форме в виде двоично-кодированных чисел или алфавитно-цифровых кодов. Аналоговые сигналы это зависящие от времени напряжения и токи, которые непрерывно изменяются, например, по закону синуса или клсинуса. Цифровые сигналы это напряжения или токи, которые изменяются дискретными шагами или уровнями. Двоичный сигнал, который принимает только два значения, самая простая форма цифрового сигнала.

Независимо от того, в какой форме находитня исходная информация, перед передачей по каналам связи она должна быть преобразована в электромагнитную энергию. Выдающиеся ученые Генрих Герц, Александр Степанович Попов, маркиз Гулельмо Маркони в период с 1887 по 1895 год провели исторические опыты и подтвердили возможность беспроводный передачи радиосигналов в виде электромагнитных волн на расстоянии. Современные системы электросвязи используют для передачи электромагнитных сигналов свободное простанство (радиосвязь) или металлические кабели и стекловолокно (кабельная связь).

6.1.1. Структурная схема системы электросвязи

Обобщенная структурная схема системы электросвязи показана на рис.6.1 и включает в себя передатчик, передающую среду, приемник и источник шумов системы.

Передатчик состоит из одного или нескольких электронных устройств, которые преобразуют первичную информацию в форму более пригодную для передачи в конкретной передающей среде. Так, например, радиопередатчик аналоговых голосовых сообщений должен включать в себя усилитель низкой звуковой частоты, автогенератор высокой радиочастоты, модулятор, изменяющий параметры высокочастотного сигнала в соответствии с звуковым сообщением, усилитель высокой частоты, передающую радиоантенну.

Передающая среда или канал связи определяют вид передачи сигналов между передатчиком и приемником и могут очень простыми, например, парой медных проводов, или достаточно сложными, например, радиорелейной, спутниковой или оптоволоконной линией связи.

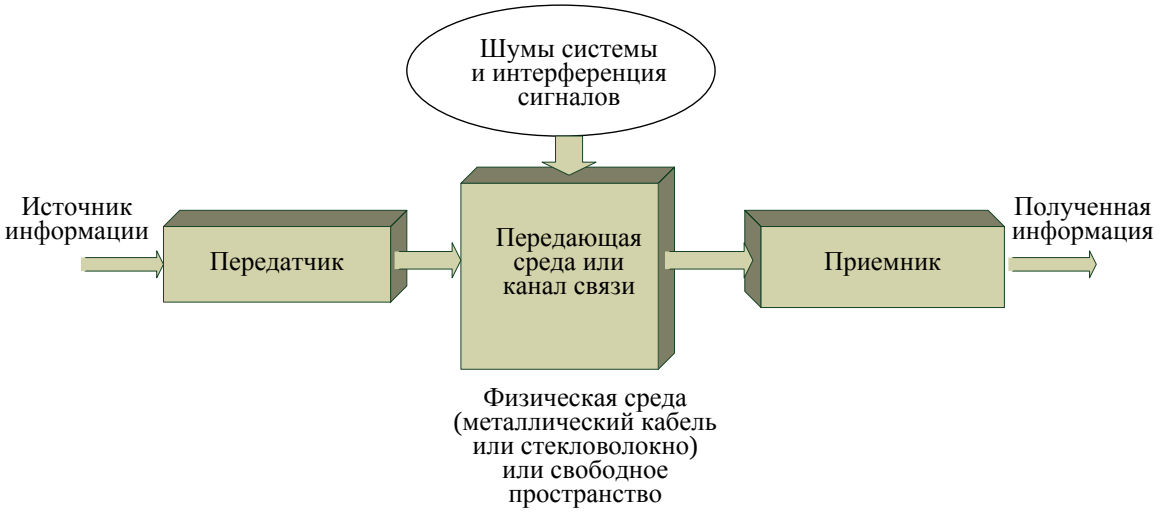

Рис.6.1. Структурная схема системы электросвязи

Шумы системы это любые нежелательные электрические сигналы, которые оказывают мешающее воздействие на информационный сигнал во время передачи и преобразований.

Приемник это совокупность электронных устройств, предназначенных для приема переданных сигналов из передающей среды и последующего преобразования их обратно к первоначальной форме. Так, например, обычный бытовой радиоприемник содержит антенну, усилитель высокой частоты, преобразователь высокой частоты в промежеточную частоту, усилитель промежуточной частоты, детектор, усилитель низкой частоты, звуковой динамик (громкоговоритель).

Упрощенная стуктурная схема аналоговой системы связи показана на рис.6.2.

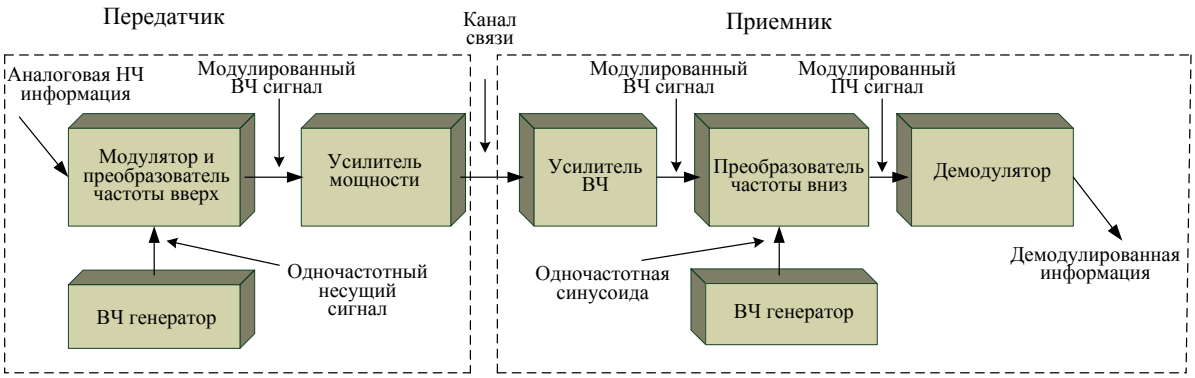

Рис.6.2. Упрощенная структурная схема аналоговой системы связи

6.1.2. Частоты передачи

Электросвязь обычно обеспечивается с помощью преобразования исходной информации в электромагнитные стгналы и их передачи на одну или несколько приемных станций, где происходит обратное преобразование полученного сигнала и выделение исходного сообщения. Электромагнитная энергия распространяется в виде электрической энергии вдоль металлического проводника, в форме радиоволны, излучаемой антенной в свободное пространство, или как световая волна, проходящая вдоль оптического волокна.

Важной характеристикой системы связи является частота примененного для передачи сигнала. Полный электромагнитный спектр частот, используемых в электросвязи, показан на рис.6.3.

Диапозон практически используемого электромагнитного спектра простирается от 10кГц до нескольких миллиардов герц. Оптические системы связи используют световой диапозон с чатотами 10^{13} -10^{15}Гц.

Самые низкие частоты используют только для специализированных приложений (например, связь под водой).

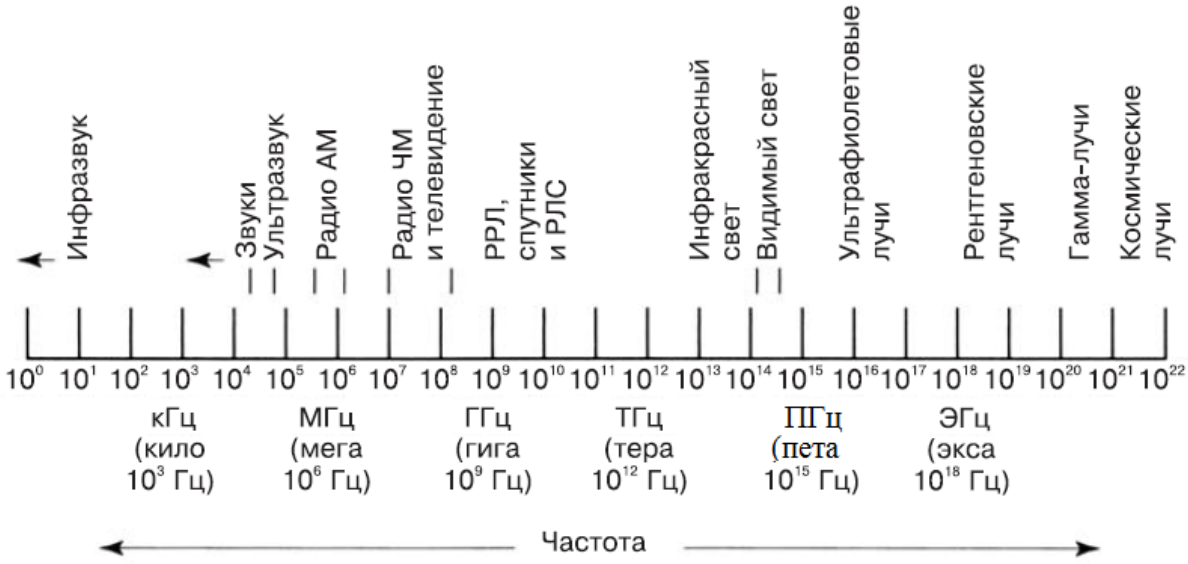

Рис.6.3. Электромагнитный спектр частот

Электромагнитный спектр частот разделен на части, или диапозоны, каждый из который имеет свои границы и название. Так радиостанции с амплитудной модуляцией работают в диапозоне от 30кГц до 30МГц (длина волны $\lambda = \frac{c}{f} = \frac{3 \cdot 10^8 \, м/с}{f \, Гц}$ от 10000м до 10м). Станции ультракоротких волн (УКВ) занимают диапозон от 30МГц до 300МГц (длина волны до 1м). В этом метровом диапозоне работают также многие телевизионные станции. Диапозон дециметровых волн (300МГц-3ГГц) использует телевиде-

ние, специальная и сотовая связь, радиолокация, радионавигация, а также радиорелейные и спутниковые системы.. Следующий сантиметровый диапозон сверхвысоких частот (СВЧ) от 3ГГц до 30ГГц используют в космической и радиорелейной связи, в радиолокации. Частоты в диапозоне 30ГГц-300ГГц называют крайне высокими.

Оптический диапозон излучения простирается от 0,3ТГц до 30ПГц и включает инфракрасный, видимый и ультрафиолетовый свет.

Инфракрасный диапозон с частотами от 0,3 до 300ТГц представляет собой тепловое излучение и используется в системах наведения по тепловому лучу, дистанционном управлении, электронной фотографии, тепловизорах и астрономии.

Видимый свет (от 0,3ПГц до 3ПГц) используют в волоконно-оптических линиях связи, получивших широкое рапространение в последние годы.

Более высокие частоты занимают рентгеновские лучи, гамма-лучи и космические лучи.

6.1.3. Уровни мощности, усиления и потерь

В электросвязи отношение мощностей, а также отношение токов и напряжений измеряют в децибелах. Децибел (дБ) – логарифмическая величина, используемая для выражения отношения двух величин. Например, децибелы используют для измерения интенсивности звуковых сигналов в уровнях звукового давления. Нулевой уровень дБ – это порог слышимости звука (интенсивность звука 10^{-12} Вт/м^2). Уровень шелеста листьев равен 10 дБ, а звук реактивного двигателя самолета 120-140 дБ.

В электросвязи коэффициент усиления по мощности в децибелах рассчитывают по формуле:

$$K_{P(\text{дБ})} = 10\,\boldsymbol{lg}\left(\frac{P_{вых}}{P_{вх}}\right). \qquad (6.1)$$

Так, если $\frac{P_{вых}}{P_{вх}} = 100$, получим $K_{P(\text{дБ})} = 20$.

Отрицательное значение дБ означает, что выходная мощность меньше входной и часть мощности теряется в системе связи.

Усиление по напряжению выражается так:

$$K_{U(\text{дБ})} = 20\,\boldsymbol{lg}\left(\frac{U_{вых}}{U_{вх}}\right). \qquad (6.2)$$

Единица измерения дБм используется для определения отношения уровня мощности относительно установленного эталонного значения, равного 1мВт. Эту единицу измерения используют фактически во всех диапо-

зонах частот и для самых разных сопротивлений нагрузок 50, 75, 600, 900, 124, 300 Ом.

Уровень мощности в дБм выражается так:

$$p = 10\lg\frac{P}{0{,}001\text{Вт}}, \text{дБм}. \qquad (6.3)$$

К примеру, если выходная мощность $P_{вых}$=1Вт, то уровень выходной мощности в дБм составит $p = 10\lg\frac{1\text{Вт}}{0{,}001\text{Вт}} = 10\lg 1000 = 30\,\text{дБм}$.

Если входная мощность сигнала $P_{вх}$=1мкВт, то уровень входной мощности в дБм составит $p = 10\lg\frac{10^{-6}\text{Вт}}{10^{-3}\text{Вт}} = 10\lg 10^{-3} = -30\,\text{дБм}$.

Пример 6.1

Дано: Трехкаскадная система состоит из двух усилителей и фильтра. Входная мощность Рвх=10мВт. Абсолютные коэффициенты усиления по мощности составляют: K_{P1}=10, K_{P2}=20, K_{P3}=0,25.

1. Определить входную мощность в дБм.
2. Определить выходную мощность в Вт и дБм.
3. Усиление в дБ каждого каскада.
4. Результирующий коэффициент усиления в дБ.

Решение

1. Входная мощность:

$$P_{вх(\text{дБм})} = 10\lg\frac{10^{-2}\text{Вт}}{10^{-3}\text{Вт}} = 10\lg 10 = 10\text{дБм}.$$

2. Выходная мощность:

$$P_{вых} = P_{вх}\cdot K_{P1}\cdot K_{P2}\cdot K_{P3} = 10мВт\cdot 10\cdot 20\cdot 0{,}25 = 500мВт;$$

$$P_{вых(\text{дБм})} = 10\lg\frac{500\text{мВт}}{1\text{мВт}} = 27\text{дБм}.$$

3. $K_{P1(\text{дБ})} = 10\lg 10 = 10\text{дБ}, K_{P2(\text{дБ})} = 10\lg 20 = 13\text{дБ},$

$K_{P3(\text{дБ})} = -6\text{дБ}.$

4. Результирующий коэффициент усиления в дБ:

$K_{P\Sigma(\text{дБ})} = 10\text{дБ}+13\text{дБ} - 6\text{дБ}=17\text{дБ}.$

Выходная мощность в дБм равна входной мощности в дБм и сумме усиления всех каскадов в дБ:

$$P_{вых(\text{дБм})} = P_{вх(\text{дБм})} + K_{P1(\text{дБ})} + K_{P2(\text{дБ})} + K_{P3(\text{дБ})} =$$
$$= 10\text{дБм}+10\text{дБ}+13\text{дБ}-6\text{дБ}=27\text{дБм}.$$

6.1.4. Шумы в системах связи

Электрический шум определяется как любая электрическая энергия, которая попадает в пределы полосы пропускания системы связи.

Шумы разделяют на две категории:

коррелированный шум, связанный с присутствием сигнала;

некоррелированный шум, который присутствует все время, нехависимо от того, есть сигнал или нет.

Некоррелированный шум делят на две категории: внешний и внутренний.

К внешним шумам относятся атмосферные помехи, внеземной шум, радиоизлучение солнца, космические шумы, искусственные шумы от электроустройств, искусственный помех, радиоподавления (РЭБ).

Внутренние шумы – это помехи, возникающие в пределах устройства или схемы.

К внутренним шумам относят дробовый шум, обусловленный движением носителей зарядов (электронов и дырок), шум переноса, возникающий при прохождении зарядов от входа к выходу устройства (например, от эмиттера к коллектору), тепловой шум, связанный с быстрым и случайным перемещением электронов в проводнике под действием теплового возмущения.

Случайное перемещение электронов было впервые обнаружено в 1927 году Д.В. Джонсоном из Bell Telephone Laboratories. Среднеквадратичная скорость электрона в проводнике пропорциональна абсолютной термературе, каждый пролет электрона между столкновениями индуцирует малое напряжение вдоль проводника. Этот тип электронного перемещения полностью случаен во всех направлениях и такой тип шума называют *случайным.* Для случайного шума суммарное перемещение всех электронов, и, следовательно, результирующий средний ток равны нулю. Однако переменная составляющая тока имеет переменный случайный характер.

Переменная составляющая тока имеет несколько названий: тепловой шум, шум Джонсона, белый шум (из-за равномерного распределения спектральных составляющих во всем диапозоне частот).

Мощность теплового шума выражается в виде:

$$N = kTB, \tag{6.4}$$

где N- мощность шума, Вт; B – ширина полосы пропускания; k-постоянная Больцмана, равная $k = 1{,}38 \cdot 10^{-23}\ Дж/\,^{o}K$, T-абсолютная температура ($T = {}^{o}C + 273^{o}$).

Мощность шума, выраженная в дБм, равна:

$$N_{(\text{дБм})} = 10\,\mathbf{lg}\,\frac{kTB}{0{,}001}. \qquad (6.5)$$

Для абсолютной температуры T=290° перепишем это уравнение так:

$$N_{(\text{дБм})} = 10\,\mathbf{lg}\,\frac{kT}{0{,}001} + 10\,\mathbf{lg}\,B = 10\,\mathbf{lg}\,\frac{1{,}38\cdot 10^{-23}\cdot 290^{o}}{0{,}001} + 10\,\mathbf{lg}\,B =$$

$$= -174_{(\text{дБм})} + 10\,\mathbf{lg}\,B. \qquad (6.6)$$

Случайные шумы имеют постоянную плотность мощности и не зависят от частоты. Тепловой шум непрерывно и равномерно распределен по всему частотному диапозону, аддитивен и присутствует во всех электронных устройствах.

Среднеквадратическое напряжение шума $\bar{E}_{ш}^{2} = 4kTR\Delta f$, где $\Delta f = B$ - полоса пропускания устройства.

Важно характеристикой систем связи является отношение сигнал/шум: $\frac{S}{N} = \frac{P_S}{P_N}$, где P_S - мощность сигнала в ваттах, P_N - мощность шума в ваттах.

Отношение сигнал/шум часто выражают в децибеллах:

$$A = 10\,\mathbf{lg}\left(\frac{P_S}{P_N}\right)_{(\text{дБ})}.$$

Так как: $A = 10\,\mathbf{lg}\left(\frac{P_S}{P_N}\right)_{(\text{дБ})} = 10\,\mathbf{lg}\left(\frac{E_S^2/R_1}{E_N^2/R_2}\right)_{(\text{дБ})}$,

где: R_1-сопротивление нагрузки сигнала, Ом, R_2- сопротивление источника или нагрузки шума, Ом, E_S- напряжение сигнала, В, E_N- напряжение шума, В.

Если входное и выходное сопротивление усилителя, приемника или цепи равны, то:

$$A = 10\,\mathbf{lg}\left(\frac{P_S}{P_N}\right)_{(\text{дБ})} = 10\,\mathbf{lg}\left(\frac{E_S^2}{E_N^2}\right)_{(\text{дБ})} = 20\,\mathbf{lg}\left(\frac{E_S}{E_N}\right)_{(\text{дБ})}.$$

6.2. Модуляция и демодуляция электрических сигналов

В большинстве случаев для передачи информации в системе электонной связи используется высокочастотный аналоговый сигнал, называемый *несущей*, который модулироутся информационным сигналом.

Модуляцией называют управление параметрами несущего электрического сигнала в соответствии с передаваемым информационным сигналом.

Несущий гармонический сигнал:

$$u(t) = U_m \cos(\omega_0 t + \varphi_0) = U_m \cos\psi(t).$$

Применяют системы связи двух типов: аналоговые и цифровые системы. Системы аналоговой связи передают и принимают аналоговые сигналы (непрерывно изменяющиеся сигналы в виде, например, синусоиды). В аналоговых системах связи и информация и несущая – аналоговые сигналы.

Информационный сигнал:

$$a(t) = U_{m\Omega} \cos\Omega t,$$

причем: $\Omega \ll \omega_0$.

Управляемые параметры несущего сигнала:

Амплитудная модуляция (АМ):

$$U_m(t) = U_m + a(t) = U_m + U_{m\Omega} \cos\Omega t \; ; \qquad (6.7)$$

Частотная модуляция (ЧМ):

$$\omega(t) = \omega_0 + \Delta\omega \cos\Omega t = \omega_0 + K_{чм} a(t), \qquad (6.8)$$

$\Delta\omega$-девиация частоты, $K_{чм}$ - коэффициент частотной модуляции;

Фазовая модуляция (ФМ):

$$\psi(t) = \omega_0 t + \varphi_0 + K_{фм} a(t), \qquad (6.9)$$

$K_{фм}$ - коэффициент фазовой модуляции.

В цифровой системе связи информации передается с помощбю цифровых импульсов (сигнал с дискретными уровнями +5В и 0В). Первичная информация может быть цифровой или аналоговой. Аналоговую информацию преобразуют в цифровую форму, а на приемной стороне снова преобразуют в аналоговую. В системах цифровой передачи информации цифровые сигналы модулируют аналоговую несущую.

Если цифровой информационный сигнал модулирует амплитуду несущей, то модуляцию называют амплитудной манипуляцией (АМН).

Если в соответствии с уровнем цифрового информационного сигнала меняется частота несущей, то это частотная манипуляция (ЧМН).

Изменение фазу несущей называют фазовой манипуляцией (ФМН).

Если же одновременно происходит изменение апмлитуды и фазы несущей, то модуляция называется квадратурной амплитудной модуляцией (КАМ).

В устройствах многоканальной связи, управления и автоматики информационные непрерывные сигналы часто преобразуют в импульсные, используя теорему Котельникова-Шенона. Если период отсчетов непрерывного сигнала

$$T_{отсч} < \frac{1}{2 f_B}, \qquad (6.10)$$

где f_B - верхняя частота спектра информационного сообщения,

то такой импульсный сигнал на приемной стороне можно восстановить в непрерывный.

Информационные сигналы, преобразованные в импульсные, могут иметь следующие виды моделяции (рис.6.4):

АИМ- амплитудно-импульсная модуляция;

ШИМ – широтно-импульсная модуляция;

ЧИМ – частотно-импульсная модуляция;

КИМ – кодово-импульсная модуляция и т.д.

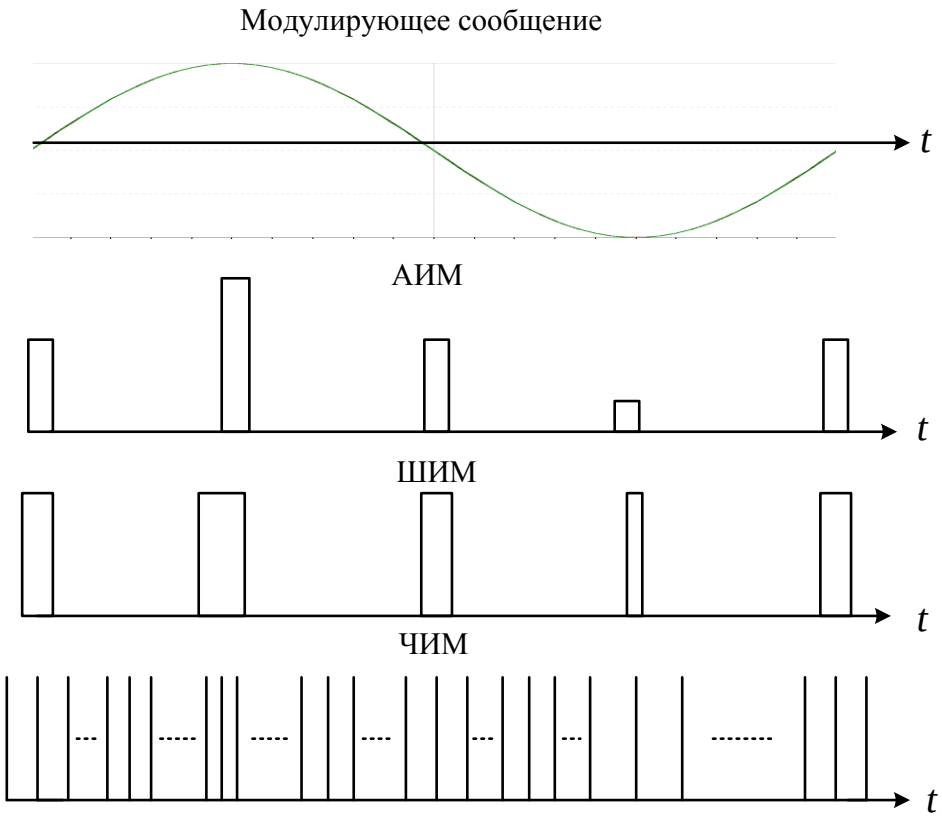

Рис.6.4. Виды импульсной мождуляции

6.3. Амплитудная модуляция и демодуляция

АМ сигнал записывают в следующей форме:

$$u(t) = (U_m + U_{m\Omega}\cos\Omega t)\cos(\omega_0 t + \varphi_0) = \\ = U_m(1 + m\cos\Omega t)\cos(\omega_0 t + \varphi_0), \qquad (6.11)$$

U_m - амплитуда сигнала в отсутствии модуляции;

ω_0 - несущая частота;

$m = \dfrac{U_{m\Omega}}{U_m} \le 1$ - коэффициент модуляции;

Ω - частота модуляции.

По формулам произведения косинусов преобразуем АМ-сигнал:

$$u(t) = U_m\cos(\omega_0 t + \varphi_0) + 0{,}5mU_m\cos((\omega_0 + \Omega)t + \varphi_0) + \\ + 0{,}5mU_m\cos((\omega_0 - \Omega)t + \varphi_0). \qquad (6.12)$$

Спектр АМ - сигнала

АМ-сигнал содержит три гармоники:

$U_m\cos(\omega_0 t + \varphi_0)$ - несущее колебание;

$0{,}5mU_m\cos((\omega_0 + \Omega)t$ - верхнее боковое колебание;

$0{,}5mU_m\cos((\omega_0 - \Omega)t + \varphi_0)$ - нижнее боковое колебание.

На рис.6.5. показан спектр АМ – сигнала. Спектр содержит несущее колебание с частотой ω_0 и амплитудой U_m, нижнюю боковую с частотой $\omega_0 - \Omega$ и амплитудой $0{,}5mU_m$ и верхнюю боковую с частотой $\omega_0 + \Omega$ и амплитудой $0{,}5mU_m$. На векторной диаграмме векторы с боковыми частотами вращаются в противоположных направлениях и создают амплитудную модуляцию сигнала.

6.3.1 Модель амплитудного модулятора и демодулятора

На рис.6.6 показана модель простейшего амплитудного модулятора на полевом транзисторе 2N4091. В цепи истока включены два генератора синусоидальных сигналов. Генератор несущей частоты VG1 имеет амплитуду $U_m = 200мВ$ и частоту $f_0 = 6{,}1кГц$. На эту частоту настроен резонансный контур в цепи стока транзистора. Генератор сообщения VG2 имеет амплитуду $U_m = 1В$ и частоту $f_\Omega = 60Гц$.

Примененный полевой транзистор с управляющим *p-n* переходом имеет пороговое напряжение $u_{пор}$ и его передаточную характеристику можно аппроксимировать квадратичной функцией:

$$i(u) = a_1(u - u_{пор}) + a_2(u - u_{пор})^2 . \qquad (6.13)$$

На вход модулятора поступает сумма сигналов:

$$u(t) = U_m \cos\omega_0 t + U_{m\Omega} \cos\Omega t . \qquad (6.14)$$

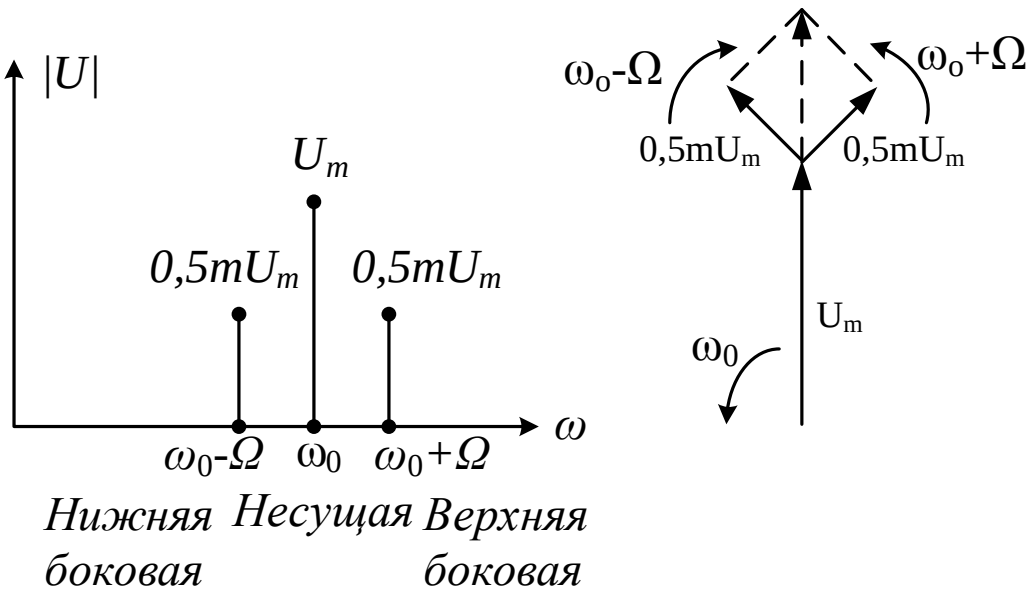

Рис.6.5. Амплитудный спектр и векторная диаграмма АМ – сигнала. Ширина спектра $П = 2\Omega$.

В результате квадратичного преобразования суммы сигналов на резонансном контуре будут выделяться составляющие, попадающие в полосу пропускания контура и напряжение на контуре будет:

$$u_к(t) \approx R_{рез}[a_1 U_m \cos\omega_0 t + a_2 U_m U_{m\Omega} \cos(\omega_0 - \Omega)t +$$
$$+ a_2 U_m U_{m\Omega} \cos(\omega_0 + \Omega)t] , \qquad (6.15)$$

где $R_{рез}$ - резонансное сопротивление контура.

На рис.6.7 показаны результаты моделирования. Амплитудно-моделированный сигнал на резонансном контуре имеет высокочастотное заполнение и модулированную амплитуду.

Среднее значение амплитуды несущей:

$$U_m = \frac{809 + 656}{2} = 732\,мВ .$$

Максимальное изменение огибающей выходного сигнала:

$$mU_m = \frac{809 - 656}{2} = 76{,}5\,мВ .$$

Коэффициент модуляции:

$$m = \frac{mU_m}{U_m}\frac{76{,}5}{732} = 0{,}104.$$

Более сложные амплитудные модуляторы могут обеспечить коэффициент модуляции близкий к единице.

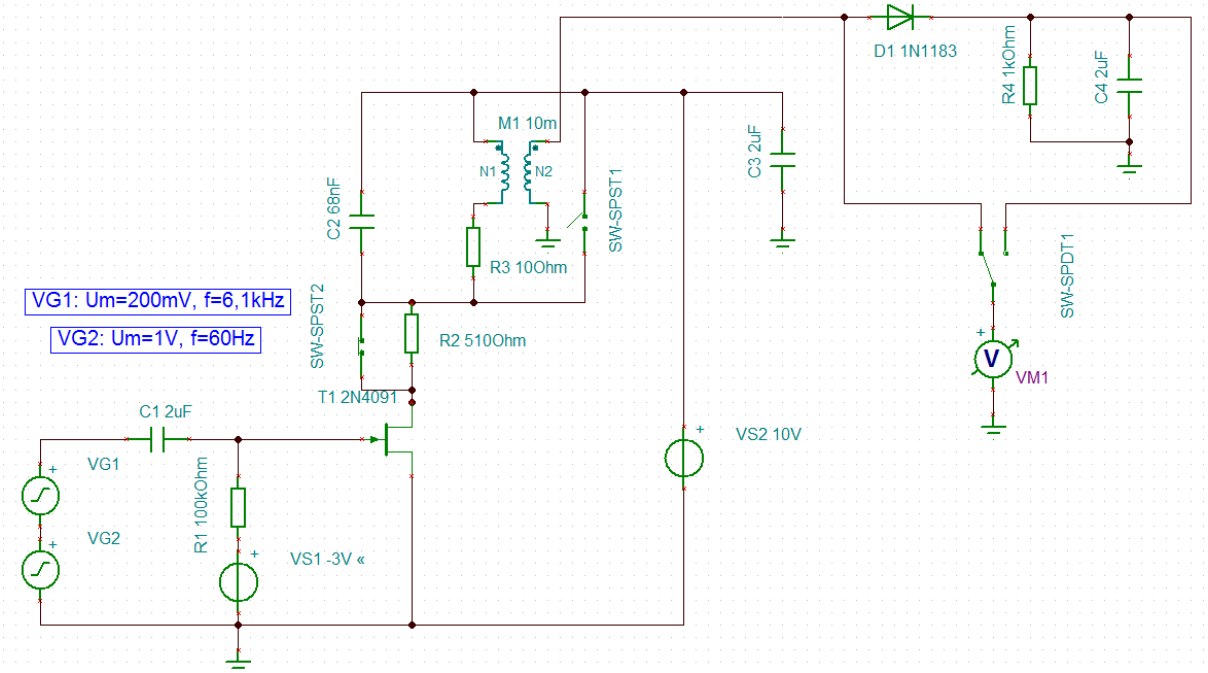

Рис.6.6. Модель амплитудного модулятора и детектора

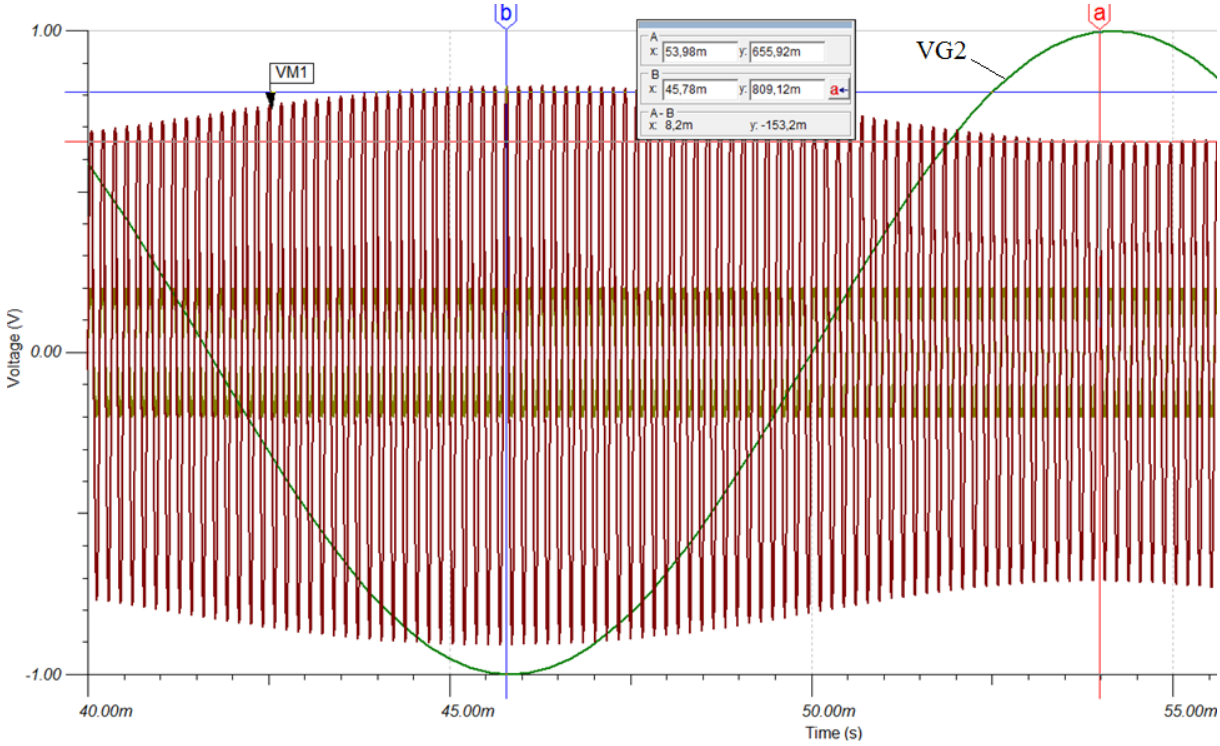

Рис.6.7. Диаграммы сигналов на контуре (VM1) и сообщения (VG2)

Простейшим амплитудным демодулятором является диодный детектор (рис.6.8). Такой детектор в радиотехнике называют пиковым.

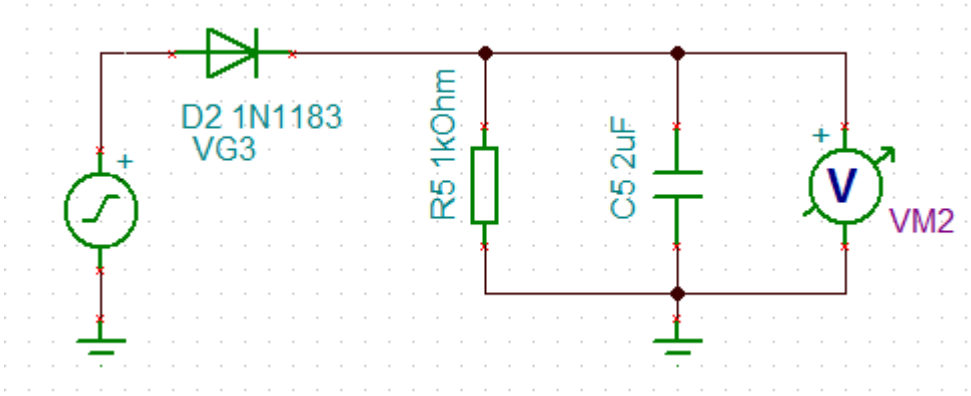

Рис.6.8. Диодный детектор

Для несущей частоты сопротивление емкости должно быть много меньше сопротивления нагрузки, а для частоты сообщения, наоборот, сопротивление емкости должно быть много больше, чем сопротивление нагрузки:

$$\frac{1}{\omega_0 C_Ф} \ll R_н \ll \frac{1}{\Omega C_Ф}. \qquad (6.16)$$

Для нашей модели: $\frac{1}{2\pi \cdot 6 \cdot 10^3 \cdot 2 \cdot 10^{-6}} \ll R_н \ll \frac{1}{2\pi \cdot 60 \cdot 2 \cdot 10^{-6}}$

или: $13{,}2\,Ом \ll R_н \ll 1{,}32\,кОм$.

На рис.6.9 показаны лиаграммы напряжений на детекроре (VM1), напряжение несущей (VG1) и сообщения (VG2).

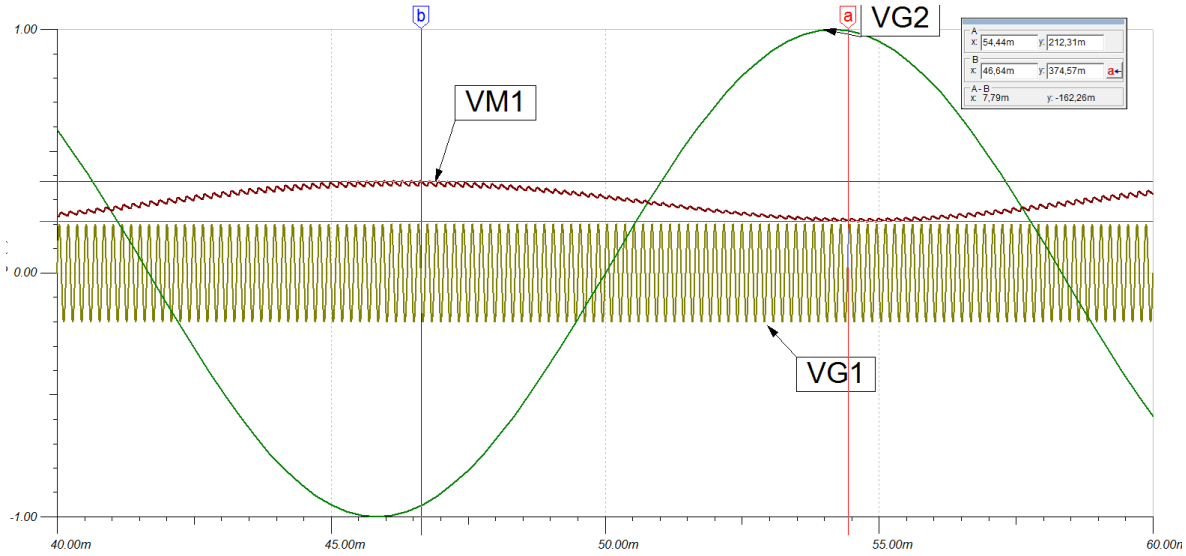

Рис.6.9. Сигнал на выходе детектора VM1, несущей VG1 и входного сообщения VG2

Выходной сигнал имеет амплитуду 80мВ и инвертирован относительно входного сообщения.

6.4. Частотная модуляция и демодуляция

При частотной модуляции сообщение изменяет частоту несущей:

$$\omega(t) = \omega_0 + K_{чм} U_{m\Omega} \cos\Omega t = \omega_0 + \Delta\omega \cos\Omega t, \qquad (6.17)$$

$K_{чм}$ - коэффициент частотной модуляции;

$\Delta\omega = K_{чм} U_{m\Omega}$ - девиация частоты.

Мгновенная фаза меняется по закону:

$$\Psi(t) = \int \omega(t)dt = \int (\omega_0 + \Delta\omega \cos\Omega t)dt = \omega_0 t + \frac{\Delta\omega}{\Omega} \sin\Omega t. \qquad (6.18)$$

ЧМ сигнал имеет следующую запись:

$$u_{ЧМ}(t) = U_m \cos\Psi(t) = U_m \cos(\omega_0 t + \frac{\Delta\omega}{\Omega} \sin\Omega t) = U_m \cos(\omega_0 t + m \sin\Omega t),$$

$$m = \frac{\Delta\omega}{\Omega} \text{ - индекс модуляции.} \qquad (6.19)$$

При фазовой модуляции сообщение изменяет начальную фазу несущей:

$$\varphi(t) = \varphi_0 + K_{фм} a(t), \qquad (6.20)$$

$K_{фм}$ - коэффициент фазовой модуляции.

Мгновенная фаза: $\psi(t) = \omega_0 t + \varphi_0 + K_{фм} a(t)$. (6.21)

ФМ сигнал записывают так:

$$u_{ФМ}(t) = U_m \cos\Psi(t) = U_m \cos(\omega_0 t + \varphi_0 + K_{фм} a(t)). \qquad (6.22)$$

Для гармонического сообщения мгновенная фаза:

$$\Psi(t) = \omega_0 t + \varphi_0 + K_{фм} U_{m\Omega} \cos\Omega t = \omega_0 t + \varphi_0 + m_{ФМ} \cos\Omega t;$$

$m_{ФМ} = K_{фм} U_{m\Omega}$ - индекс фазовой модуляции.

Мгновенная частота:

$$\omega = \frac{d\Psi}{dt} = \omega_0 - m_{ФМ}\Omega \sin\Omega t = \omega_0 - \Delta\omega_{ФМ} \sin\Omega t;$$

$\Delta\omega_{ФМ}$ - девиация частоты при фазовой модуляции.

ФМ сигнал:

$u_{ФМ}(t) = U_m \cos(\omega_0 t + m_{ФМ} \cos\Omega t)$ - по форме аналогичен ЧМ-сигналу.

Выводы:

1. У ЧМ-сигнала девиация частоты $\Delta\omega = K_{чм}U_{m\Omega}$ и не зависит от частоты Ω. Индекс модуляции: $m = \dfrac{\Delta\omega}{\Omega}$.

2. У ФМ- сигнала девиация частоты $\Delta\omega_{ФМ} = K_{фм}U_{m\Omega}\Omega$, а индекс модуляции $m_{ФМ} = K_{фм}U_{m\Omega}$ не зависит от частоты.

3. Сигналы ФМ и ЧМ связаны между собой.Модулятор ФМ, которому предшествует интегратор, производит ЧМ сигнал. Если передатчику, предшествует фильтр НЧ, работающий как интегратор, в результате происходит ЧМ сигнал.

Спектр ЧМ – сигнала

$$u_{ЧМ}(t) = U_m \cos(\omega_0 t + m\sin\Omega t) = U_m \cos\omega_0 t \cdot \cos(m\sin\Omega t) -$$

$$-U_m \sin\omega_0 t \cdot \sin(m\sin\Omega t) \qquad (6.23)$$

При малом индексе модуляции $(m \ll 1)$:

$$u_{ЧМ}(t) \approx U_m \cos\omega_0 t - U_m \sin\omega_0 t \cdot m\sin\Omega t =$$

$$= U_m \cos\omega_0 t - \frac{mU_m}{2}\cos(\omega_0 - \Omega)t - \cos(\omega_0 + \Omega)t \ .$$

Спектр такой же, как при АМ.

При больших индексах модуляции ($m > 1$):

$$u_{ЧМ}(t) = U_m J_0(m)\cos\omega_0 t + \sum_{n=1}^{\infty} U_m J_n(m)\cos(\omega_0 + n\Omega)t +$$

$$+\sum_{n=1}^{\infty}(-1)^n U_m J_n(m)\cos(\omega_0 - n\Omega)t,$$

$J_n(m)$ - функция Бесселя первого рода *n*-го порядка;

$J_{-n}(m) = (-1)^n J_n(m)$.

Графики функций Бесселя показаны на рис.6.10 и хорошо знакомы радиоинженерам.

На рис.6.11 показан односторонний амплитудный спектр ЧМ-сигнала. В отличии от спектра АМ- сигнала этот спектр теоретически бесконечно широкий. Однако, с ростом номера гармоник их амплитуды убывают. Поэтому эффективную ширину спектра оценивают удвоенной девиацией частоты. Ширина спектра радиостанций в ФМ диапозоне может составлять сотни килогерц.

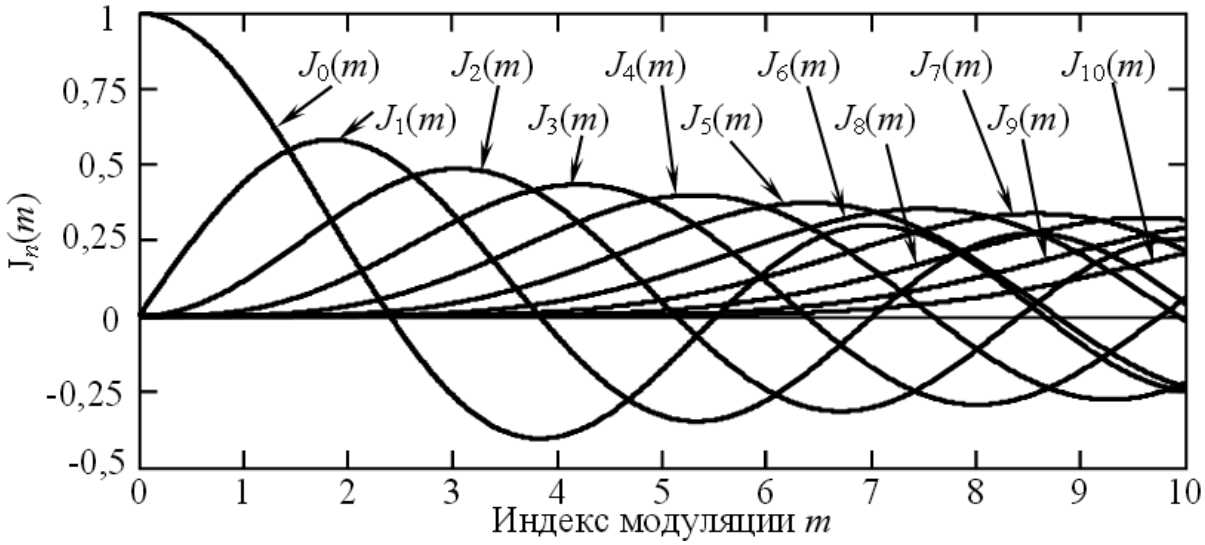

Рис.6.10. Графики функций Бесселя

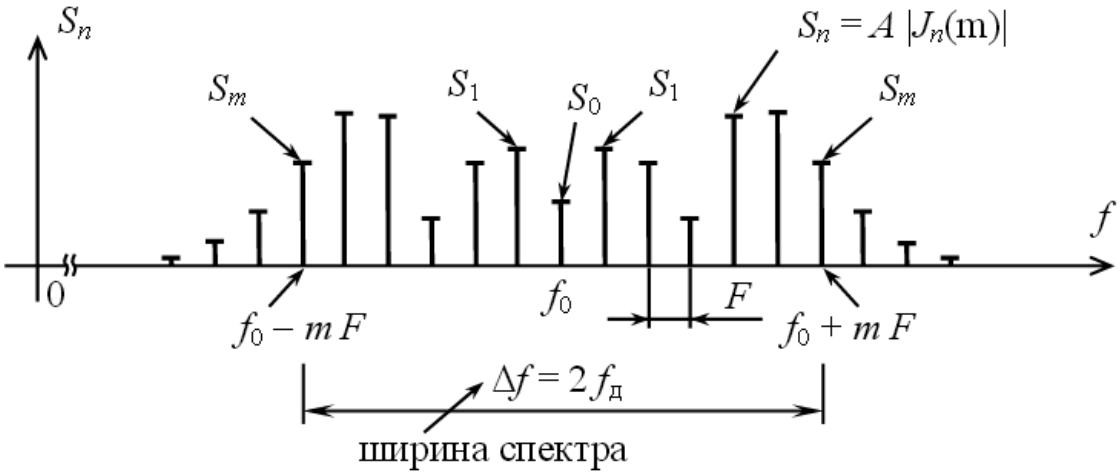

Рис.6.11. Односторонний амплитудный спектр ЧМ-радиосигнала

Максимальная девиация частоты вохникает при совпадении наивысшей частоты модулирующего сигнала с его максимальной допустимой амплитудой.

Для обеспечения высококачественной и достоверной передачи музыки максимально допустимая девиация частоты равна 75 кГц при максимальной частоте модулирующего сигнала 15 кГц.

6.4.1 Частотный модулятор на варикапе

На рис.6.12 показана модель генератора на ОУ с параллельный контуром и частотной модуляцией колебаний. В контур последовательно с емкостью C1 включен варикап VD1 ZC836A. На варикап через индуктивность развязки L_1 поступает низкочастотное информационное сообщение в частотой $f = 5кГц$ и амплитудой $U_m = 2B$.

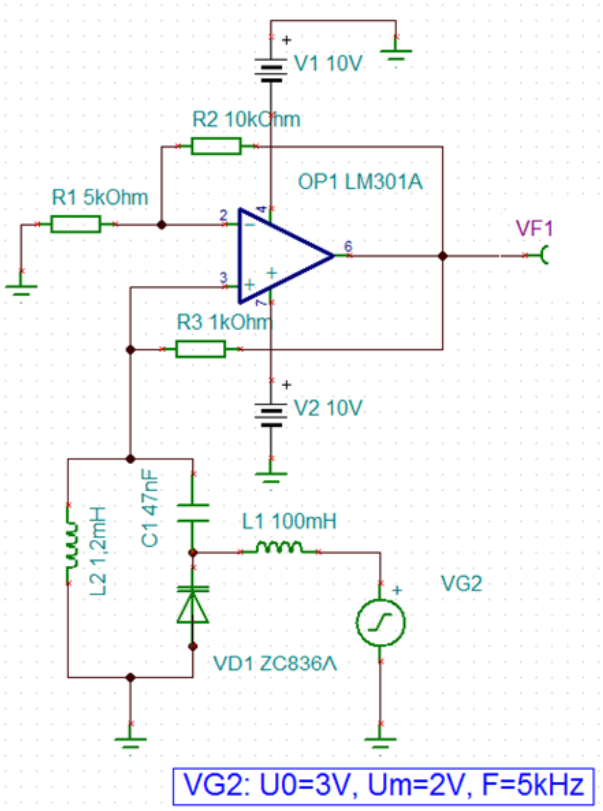

Рис.6.12. Частотный модулятор на варикапе

Напомним, что *варикап* – полупроводниковый диод, у которого барьерная емкость *p-n* перехода C_B изменяется управляющим напряжением.

Сначала мы найдем зависимость емкости варикапа от управляющего напряжения. Для этого можно использовать схему (рис.6.13). На варикап через индуктивность развязки L_1 мы будем подавать постоянное напряжение, которое будет переменным параметром с изменением от 0В до 10В.Шаг изменения 1В.

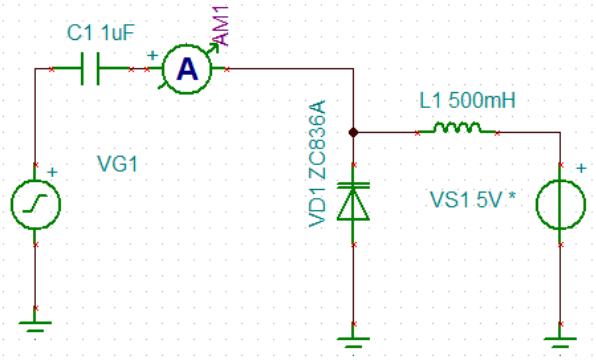

Рис.6.13. Измерение емкости варикапа

По паспортным данным начальная емкость варикапа 1ZC836A при нулевом напряжении на нем равна 185 пФ.

Ток в цепи, содержащей генератор VG1, емкость C1 и варикап, равен $I_m = U_m \omega C$, где U_m - амплитуда синусоидального сигнала генератора, ω- угловая частота, C- результирующая емкость, практически равная C_B.

Установим $U_m = 0{,}1B, \quad f = 15{,}915 \cdot 10^6\ Гц$.

Тогда: $C_B = \dfrac{I_m}{U_m 2\pi \cdot f} = \dfrac{I_m}{0{,}1 \cdot 2\pi \cdot 15{,}915 \cdot 10^6} = I_m(A) \cdot 10^{-7}(Ф)$.

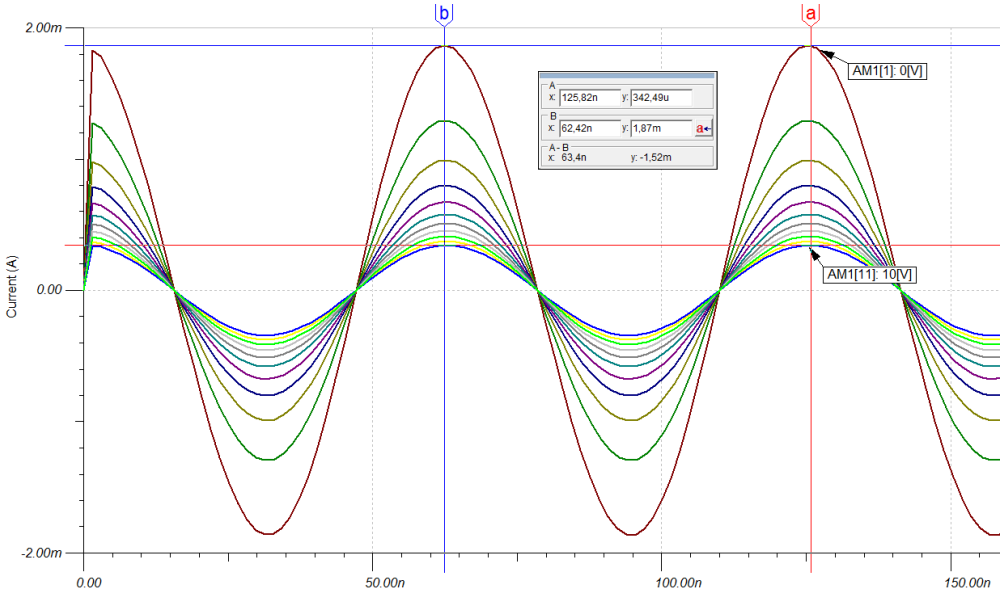

Рис.6.14. Графики тока в цепи варикапа

На рис.6.14 показаны графики тока в цепи варикапа при разных управляющих напряжениях.

При U=0 максимальный ток $I_m = 1{,}85mA$. Рассчетная емкость $C = 185 пФ$ соответствует паспортным данным варикапа.

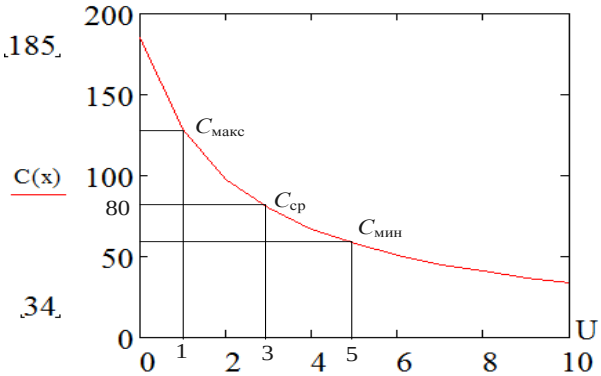

Рис.6.15. Зависимость емкости варикапа от напряжения

По результатам эксперимента построен график зависимости емкости варикапа от управляющего напряжения (рис.6.15).

Среднее значение емксоти варикапа $C_{Bср} \approx 80\,pF$.

В генераторе VG2 частотного модулятора (рис.6.12) установим постоянный уровень $U_0 = 3B$, $U_m = 2B$, $f = 5кГц$.

Информационный сигнал: $a(t) = U_{m\Omega} \cos \Omega t = 2 \cos 2\pi \cdot 5 \cdot 10^3 t$ В.

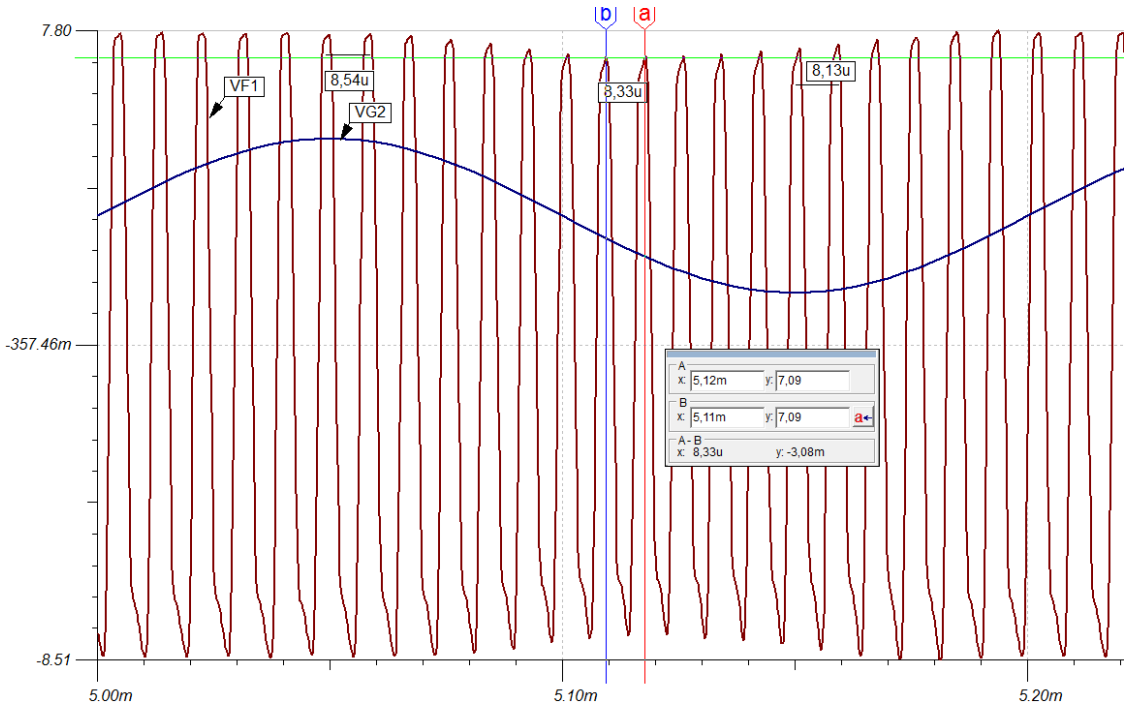

Рис.6.16. Частотно-модулированный сигнал

На рис.6.16 показаны временные диаграммы ЧМ-сигнала (VF1) на выходе частотного модулятора и информационного сигнала (VG2).

С помощью курсоров проведеи измерения периода колебаний и вычислим частоту при разных значениях модулирующего сигнала.

При нулевом значении $a(t)$ получим средние значения:

$$T_{ср} = 8{,}33 мкс, f_{ср} = 120 кГц.$$

При максимальном значении $a(t) = 2B$ получим:

$$T_{макс} = 8{,}54 мкс, f_{мин} = 117 кГц.$$

При минимальном значении $a(t) = -2B$ получим:

$$T_{мин} = 8{,}13 мкс, f_{макс} = 123 кГц.$$

Девиация частоты составляет $\Delta f = 3кГц$.

6.4.2. Частотный демодулятор с одиночным контуром

Резонансно-контурные частотные демодуляторы, которые называют частотные дискриминаторы, преобразуют ЧМ – сигналы в АМ и затем демодулируют АМ-сигнал с помощью обыкновенных диодных детекторов.

Модель частотного дискриминатора на резонансном контуре показана на рис.6.17. Несущая частота ЧМ-колебания должна быть ниже резонансной частоты контура и находиться на скате резонансной кривой. При этом ЧМ- модуляция будет приводить к изменению амплитуды выходного сигнала контура.

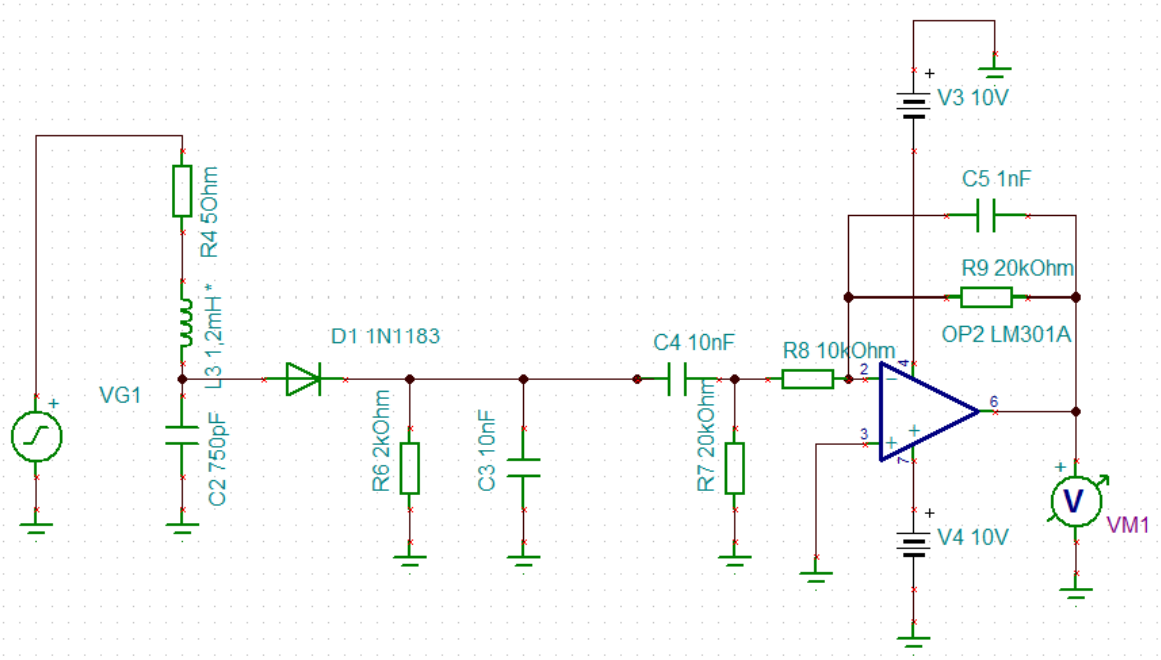

Рис.6.17. Частотный дискриминатор на резонансном контуре

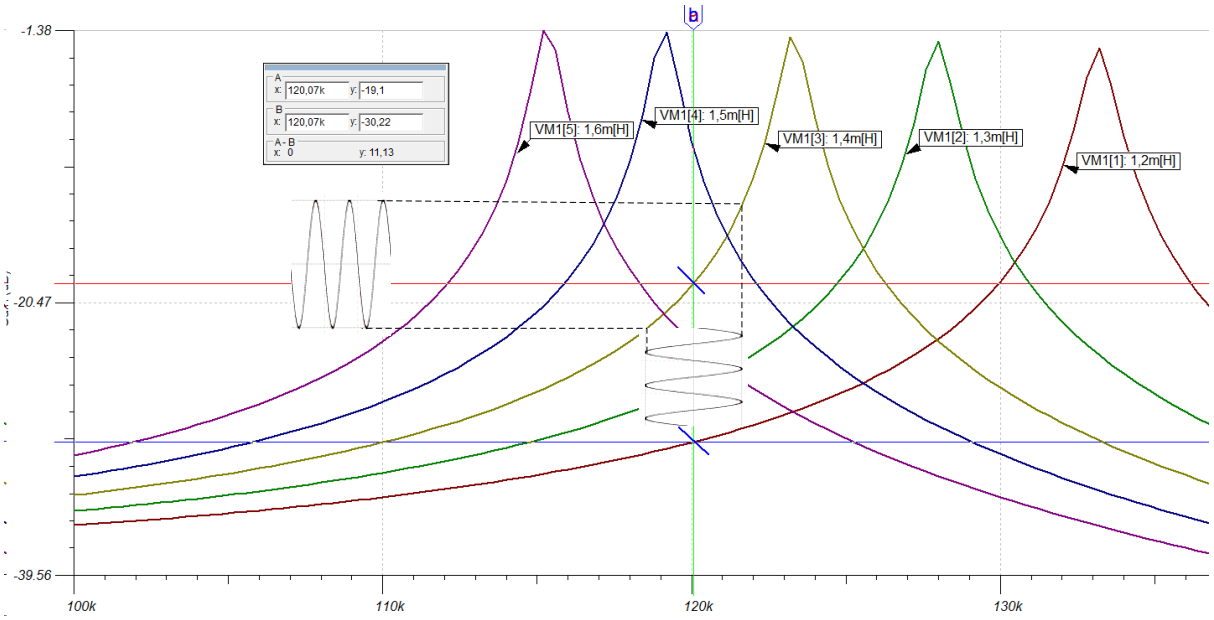

Рис.6.18. Выбор расстройки контура дискриминатора

В модели частота генератора VG1 установлена равной 120кГц. Емкость контура 750пФ, сопротивление потерь 50Ом. Проведем выбор индуктивности контура, чтобы несущая ЧМ-сигнала была на скате резонансной кривой. На рис.6.18 показаны резонансные кривые для

нескольких значений индуктивности. Остановим наш выбор на значениях L3 1,4 мГн и 1,2мГн.

Проведем испытания частотного дискриминатора на резонансном контуре в модели системы ЧМ связи (рис.6.19).

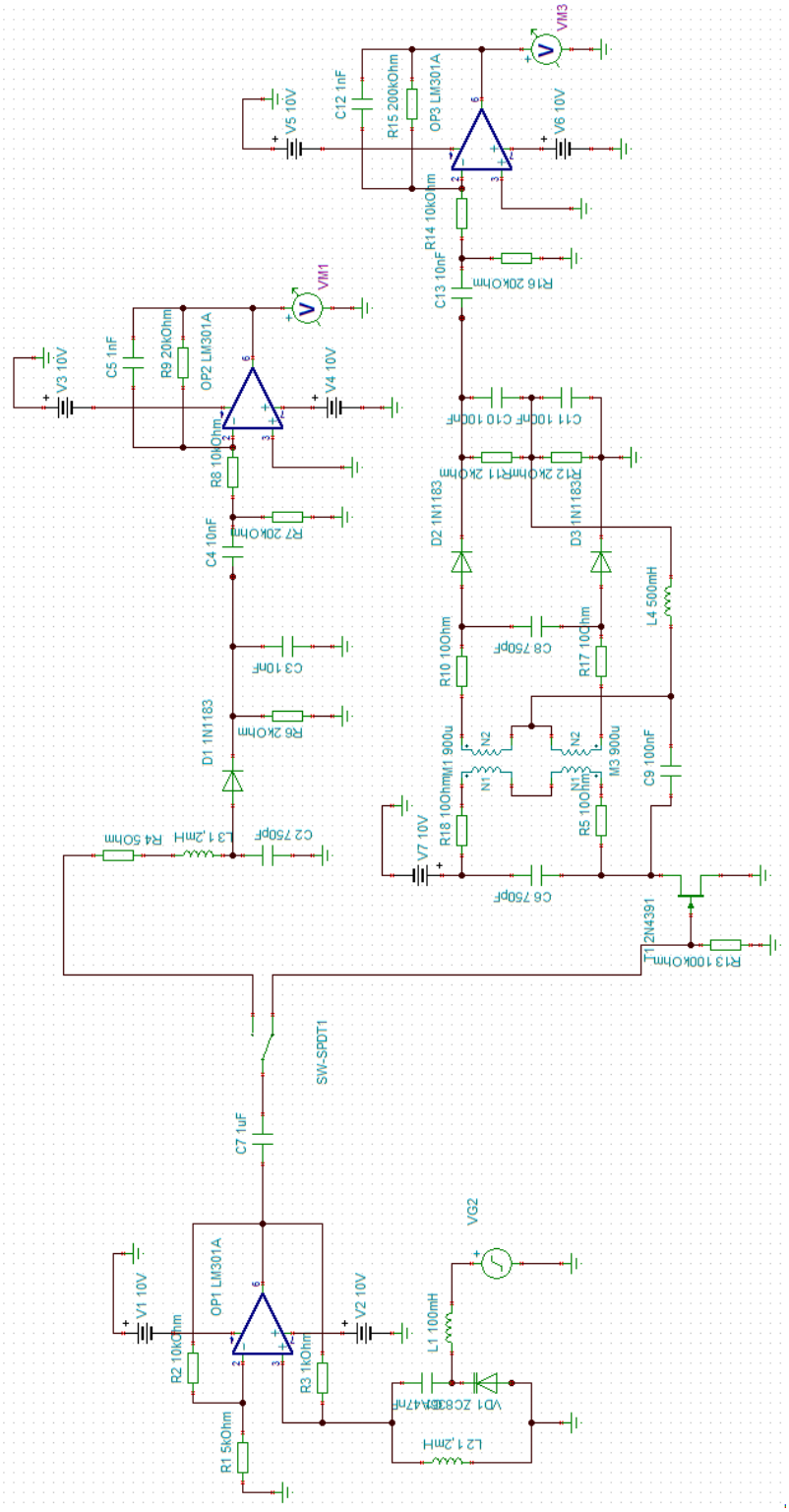

Рис.6.19. Модель ЧМ связи

Эта модель содержит частотный модулятор, выполненный на варикапе по схеме (рис.6.12), и два варианты частотных дискриминатора, которые переключаются ключом SW. Модулирующий сигнал имеет частоту 5кГц.

При верхнем положении ключа ЧМ- сигнал преобразуется резонансным контуром L_3C_2 в АМ- сигнал и детектируется диодным детектором D1 с фильтром R_8C_3. Затем переменная составляющая сигнала усиливается активным фильтром нижних частот на операционном усилителе OP2.

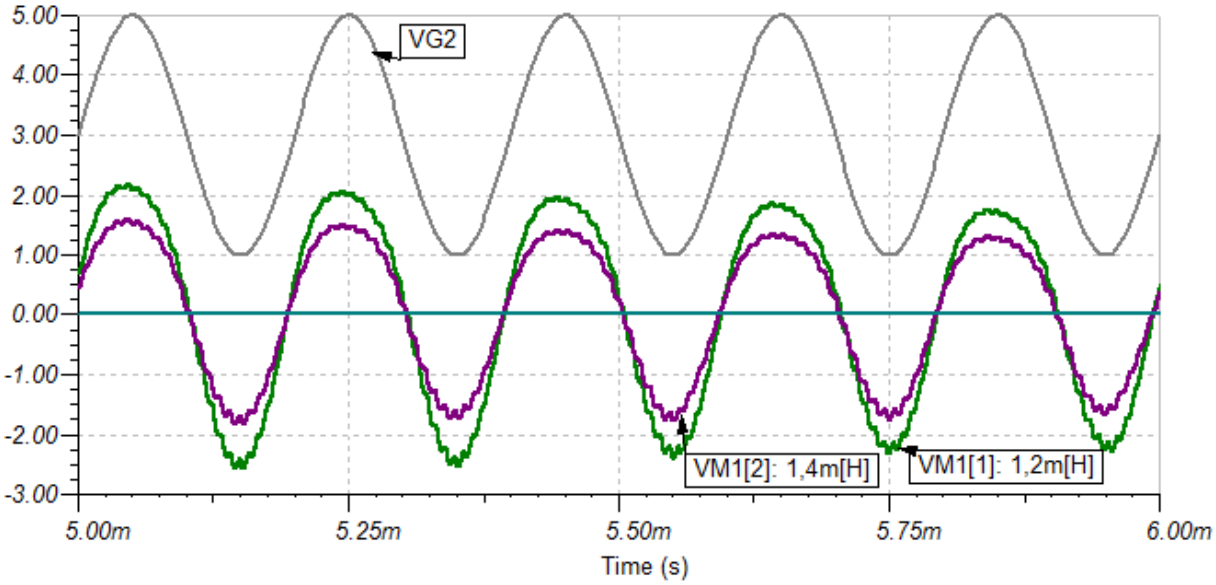

Рис.6.20а. Информационные сигналы одноконтурного частотном детекторе

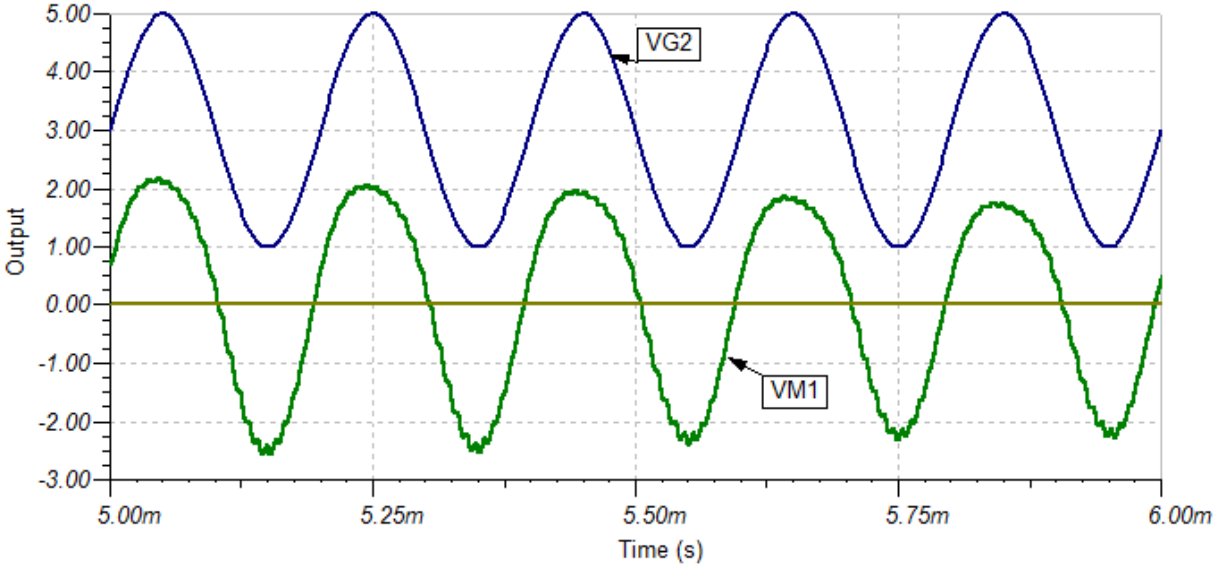

Рис.6.20б. Сигналы одноконтурном частотном детекторе с L=1,2мГн

Результаты моделирования представлены на рис.6.20а. Установлено, что контур с индуктивностью L3=1,2мГн дает меньшие искажения информационного сигнала (рис.6.20б).

6.4.3. Двухконтурный частотный дискриминатор

В ЧД применены резонансные контуры с магнитной связью (рис.6.21). К средней точке L_2 через емкость C_9 подключено напряжение U_1.

Емкости C9, C10, C11 выбирают так, чтобы они были короткозамкнутыми для частоты сигнала. Поэтому правая сторона L4 имеет нулевой потенциал по переменному току, а выходной сигнал выдается непосредственно (в фазе) с L4.

Такую схему называют балансным фазовым декектором ЧМ сигналов.

К цепи D_2R_{11} приложено напряжение $\underline{U}_4 = \underline{U}_1 + \underline{U}_2$.

К цепи D_3R_{12} приложено напряжение $\underline{U}_5 = \underline{U}_1 + \underline{U}_3$.

Если частота входного сигнала равна резонансной, напряжения $\underline{U}_2$ опережают $\underline{U}_1$ на 90°, напряжение $\underline{U}_3$ отстает от $\underline{U}_1$ на 90° , $U_4 = U_5$ и $U_{вых} = 0$ (рис.6.22а).

Если $f_{вх} \neq f_0$, за счет сдвига фазы тока и напряжения в расстроенном контуре поворот происходит вектора и на выходе будет напряжение $U_{вых} \neq 0$ (рис.6.22б).

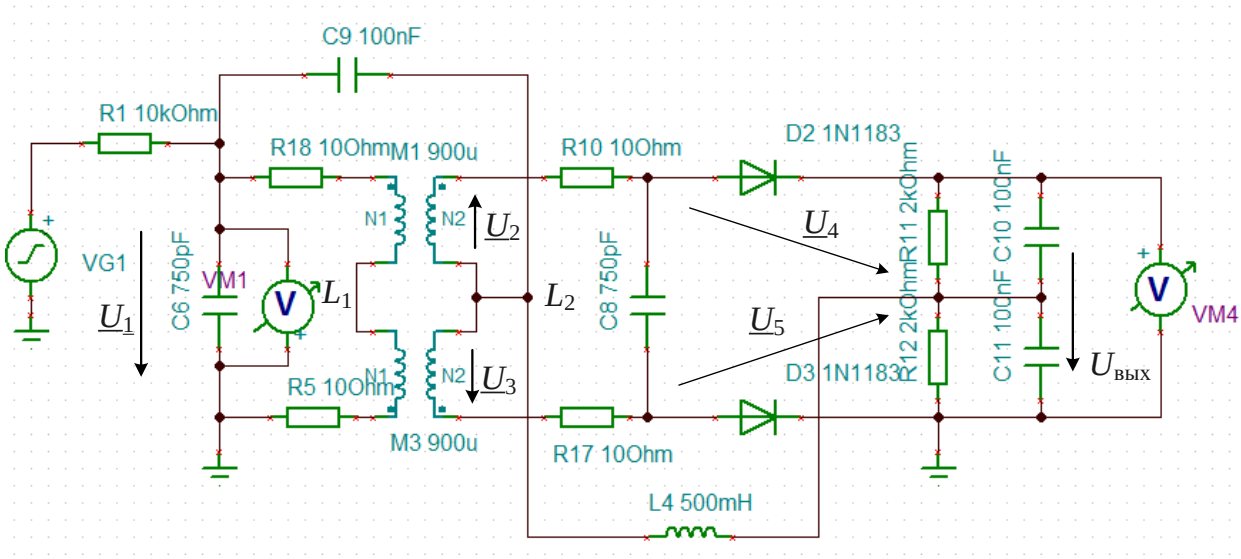

Рис.6.21. Двухконтурный частотный дискриминатор

В режиме *AC-AC Transfer Characteristic* получим передаточную характеристику двухконтурного частотного дискриминатора (рис.6.23).

Получили резонансную частоту ЧД: $f_{вх} \neq f_0 = 121{,}64 кГц$.

В схеме рис.6.19 подключим двухконтурный дискриминатор к частотному модулятору через полевой транзистор T1. Повторное измерение пердаточной характеристики дискриминатора дает значение центральной частоты

$f_{вх} \neq f_0 = 119{,}91 кГц$, которой соответствуют следующие параметры частотного модулятора: Этой центральной частоте соответствуют параметры частотного модулятора: $L_2 = 1{,}2 mH, U_0 = 3B,\ U_m = 2B,$ $f_M = 5 кГц$.

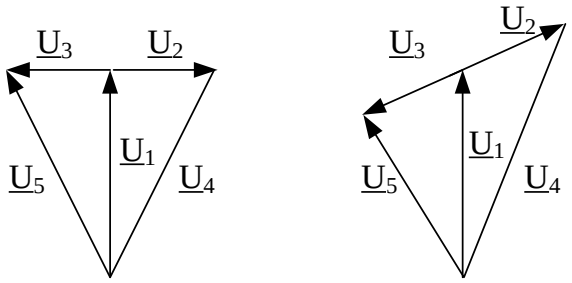

а) б)

Рис.6.22. Векторные диаграммы частотного дискриминетора

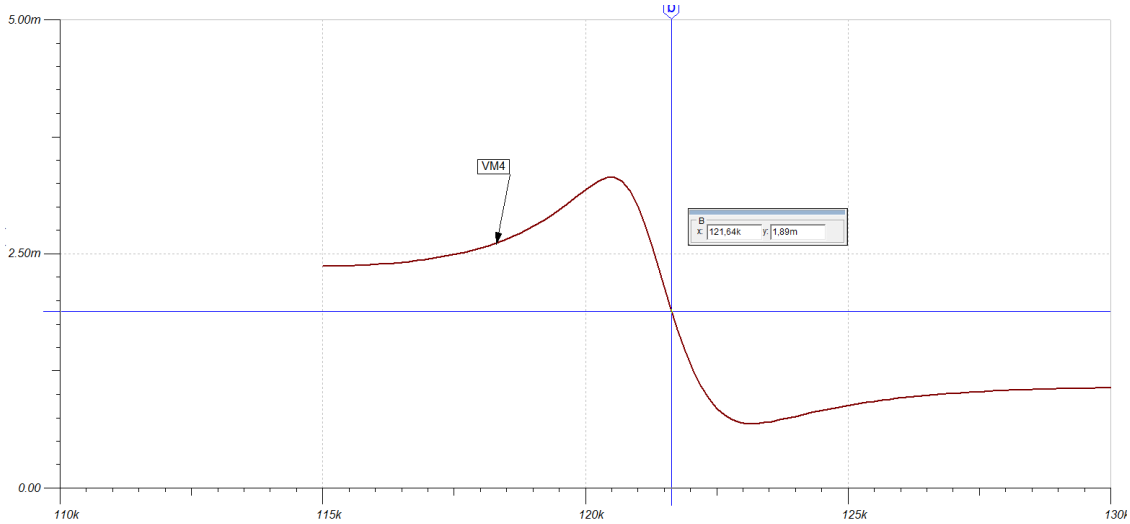

Рис.6.23. Передаточная характеристика частотного дискриминатора

Векторный диаграммы напряжений в частотном дискриминаторе показаны на рис.6.24.

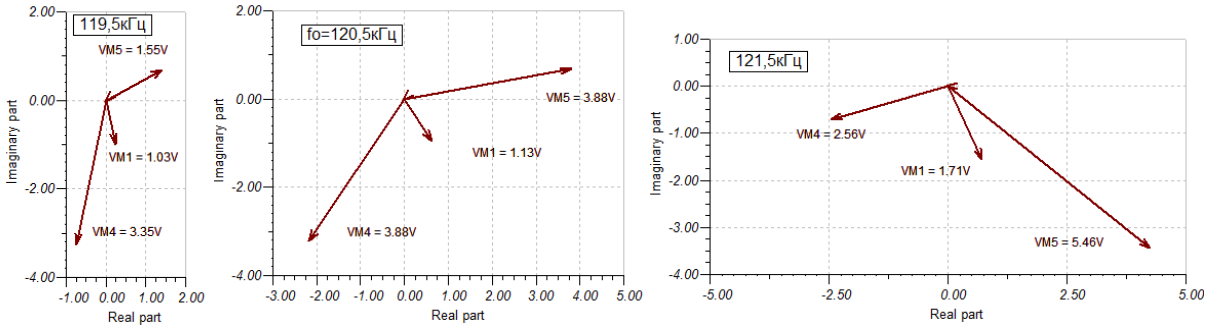

Рис.6.24. Векторные диаграммы напряжений в ЧД

При резонансной настройке несущей $f_0 = 120{,}5 кГц$ суммы векторов VM1+VM5 и VM1+VM4 будут одинаковые и выходное напряжение равно нулю.

При расстройках несущей на выходе будет положительное или отрицательное напряжение рассогласования.

В режиме *Transient* получим сигнал на выходе усилителя частотного детектора VM3 (рис.6.25.).

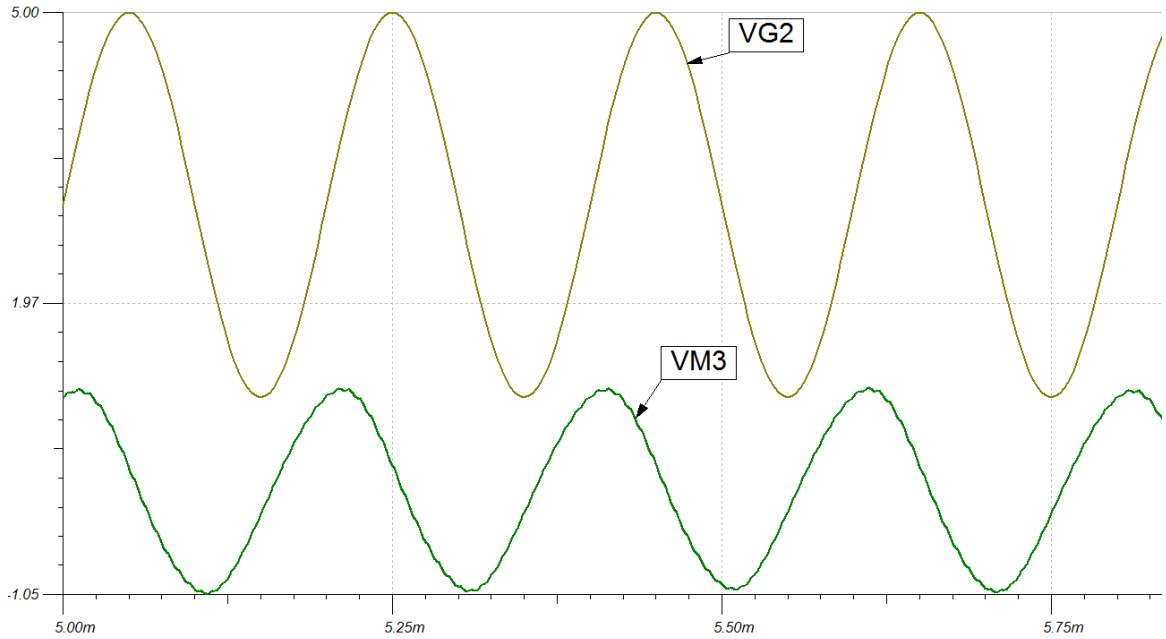

Рис.6.25. Модулирующий сигнал и демодулированный сигнал

Моделирование показало, что двухконтурный частотный дискриминатор имеет высокую линейность передаточной характеристики. Выходное напряжение на частоте резонанса отсутствует.

В приемниках ЧМ сигналов применяют также частотные детекторы на двух расстроенных контурах и дробные частотные детекторы. В последних по сравнению со схемой (рис.6.21) изменена полярность включения диодов и подключение нагрузки.

Глава7. Фазовая автоподстройка частоты (ФАПЧ)

Фазовая автоподстройка частоты широко применяется в современных системах электросвязи для выполнения различных функций, включая модуляцию, демодуляцию, генерацию частоты, синтез частот, восстановления несущей и тактовойй частоты и т.д. Схемы ФАПЧ используются в передатчиках и приемниках, при аналоговой и цифровой модуляции и при передаче цифровых сигналов. Сегодня доступен широкий ассортимент интегральных схем ФАПЧ для самых разных применений.

7.1. Структурная схема петли ФАПЧ

ФАПЧ – это система управления с петлей обратной связи, в которой параметрами регулирования являются частота или фаза сигнала, а не величина его напряжения или тока. Структурная схема ФАПЧ показана на рис.7.1. Система ФАПЧ содержит четыре основных блока: 1) фазовый компаратор или фазовый детектор; 2) фильтр нижних частот; 3) усилитель; 4) ГУН-генератор, управляемый напряжением.

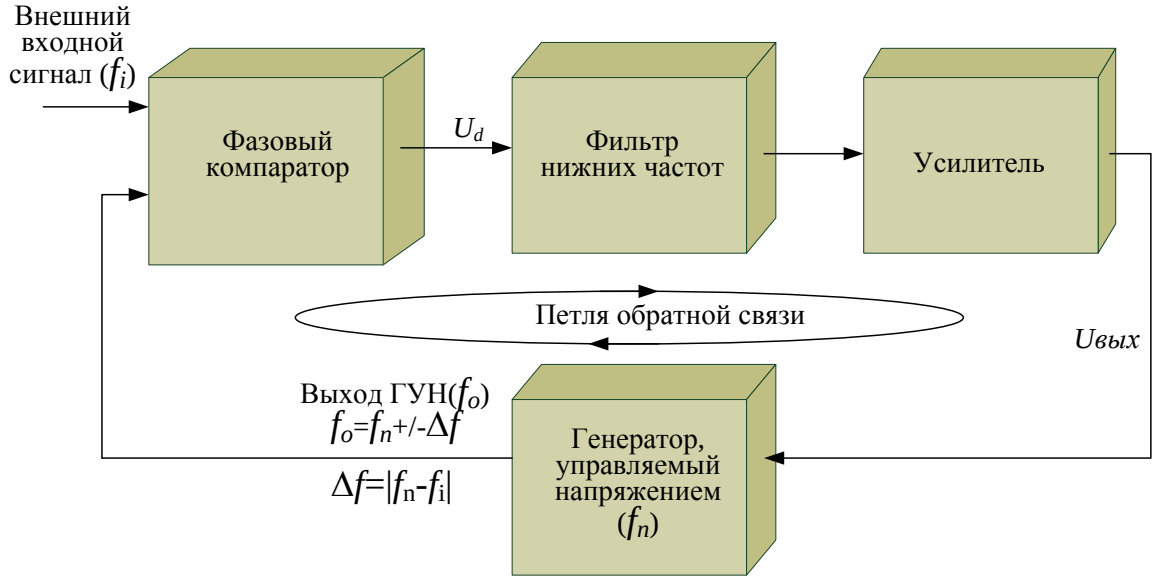

Рис.7.1. Структурная схема ФАПЧ

7.2. Работа схемы ФАПЧ

В основе работы схемы ФАПЧ лежит фазовая синхронизация сигналов подстраиваемого и опорного генератора. Перед тем, как возникнет фазовая синхронизация, цепь ФАПЧ должна быть синхронизирована по частоте. После того, как произойдет захват частоты, на выходе фазового компаратора появится напряжение, пропорциональное разности фаз между сигналом на выходе ГУН и внешним эталонным сигналом.

При отсутствии внешнего опорного сигнала или, когда петля обратной связи разомкнута, ГУН работает на частоте предварительной настройки f_n - это собственная частота ГУН или частота собственных колебаний.

Когда на вход системы ФАПЧ поступает внешний входной сигнал с частотой f_i, компаратор сравнивает частоту внешнего сигнала с частотой выходного сигнала ГУН. На выходе фазового компаратора формируется напряжение ошибки (рассолгасования) U_d, пропорциональное разности фаз двух сигналов на входе. Напряжение сигнала ошибки через фильтр нижних частот и усилитель воздействует на управляющий элемент ГУН. Если собственная частота ГУН достаточно близка к частоте внешнего опорного сигнала f_i, то под действием обратной связи ГУН синхронизируется, т.е. захватывает внешний входной сигнал. Поэтому выходная частота ГУН – это сумма или разность его собственной частоты и разницы между внешней опорной частотой и собственной частотой ГУН:

$$f_0 = f_n \pm \Delta f \qquad (7.1)$$

где f_0 - выходная частота ГУН, Гц; f_n-собственная частота ГУН, Гц; $\Delta f = f_i - f_n$, Гц; f_i - внешняя опорная частота, Гц.

Таким образом система ФАПЧ имеет три рабочих состояния: автономное состояние собственных свободных колебаний, режим захвата и режим слежения (удержания). В состоянии захвата система ФАПЧ должна иметь внешний опорный сигнал и замкнутую петлю обратной связи. Из режима захвата ФАПЧ со временем переходит в режим слежения частоты. В режиме слежения частота ГУН отслеживает частоту (т.е. равняется ей). Когда система ФАПЧ находится в состоянии удержания, частота ГУН следует за изменениями частоты внешнего опорного сигнала. При этом изменение напряжения на выходе низкочастотного фильтра соответствует частотной модуляции внешнего сигнала и ФАПЧ работает как частотный демодулятор.

Если захват частоты опорного сигнала еще не произошел, на выходе фазового компаратора, нелинейного устройства, присутствуют внешняя опорная частота f_i, частота с выхода ГУН f_0, их сумма $(f_0 + f_i)$ и разность $(f_0 - f_i)$. Фильтр нижних частот пропускает только относитально низкую разностную частоту $f_d = | f_0 - f_i |$, которую назувают частотой биений. Сигнал биений усиливается, поступает на вход ГУН, изменняя выходную частоту ГУН пропорционально величине и полярности своего напряжения. После определенного числа циклов подстройки выходная частота ГУН становится равной опорной частоте, т.е. происходит захват частоты. Как только захват частоты произошел, частота биений на выходе

ФНЧ становится равной 0 Гц, а величина и полярность постоянного напряжения будут пропорциональны разности фаз между внешним опорным сигналом и выходным сигналом ГУН. Напряжение постоянного тока ое управляющее смещение для ГУН, поддерживая режим слежения частоты внешнего сигнала. Для поддержания режима синхронизма необходимо поддерживать сдвиг фаз между внешним опорным сигналом и выходным сигналом ГУН. Время, требуемое для достижений режима удержания, называют временем захвата или временем вхождения в синхронизм.

7.3. Полоса захвата и удержания петли ФАПЧ

Полоса захвата и полоса удержания (отслеживания) – это важные параметры системы ФАПЧ, которые характеризуют ее рабочий диапозон частот.

Область захвата определяется как диапозон частот вокруг собственной частоты ГУН f_n, в котором система ФАПЧ в состоянии произвести захват частоты и войти в синхронизм с внешним входным сигналом. Границы области захвата определяются нижней частотой захвата $f_{зн}$ и верхней частотой захвата $f_{зв}$.

Область удержания (слежения) определяется как диапозон частот вокруг собственной частоты ГУН, в котором система ФАПЧ может поддерживать режим синхронизма с внешним опорным сигналом. Границы области удержания определяются нижней частотой удержания $f_{ун}$ и верхней частотой удержания $f_{ув}$.

Области захвата и удержания прямо пропорциональный коэффициенту усиления по постоянному току петли обратной связи системы ФАПЧ. Область захвата почти всегда меньше, чем область удержания (рис.7.2).

Рис.7.2. Области захвата и удержания ФАПЧ

7.4. Модель системы ФАПЧ

Работу системы ФАПЧ мы будем изучать на действующей модели (рис.7.3).

Модель содержит генератор VCO Sin управляемый напряжением (ГУН1), формирующий синусоидальный сигнал, генератор VCO Sqr управляемый напряжением (ГУН2) прямоугольных импульсов, фазовый компаратор собран по схеме балансного фазового детектора с трансформаторами M1 и M2, диодами D1, D2 , фильтром R5,C1,R6,C2 и резисторами, учитывающими потери R1, R2, R3, R4. Трансформаторы имеют индуктивности L1s=L2s=2мГн и взаимную индуктивности M=200мкГн.

На вход фазового компаратора от поступает VCO Sin поступает синусоидальный сигнал с собственной частотой f_n=120кГц и амплитудой 1В. Усиление по управлению частотой генератора установлено 10кГц/В.

На средний отвод трансформаторов от VCO Sqr поступает сигнал внешней опорной частоты f_i в виде прямоугольных импульсов с амплитудой 10В. Усиление по управлению частотой установлено 5кГц/В.

Генератор VG1 может формировать напряжение треугольной формы и сохдавать линейную частотную модуляцию (ЛЧМ) опорного сигнала.

С выхода фазового компаратора выходное напряжение рассоглассования $U_{вых}$ поступает на дифференциальный неинвертирующий усилитель с коэффициентом усиления K_y=10, выполненный по схеме вычитающего усилителя на операционном усилителе AD704.

После усилителя сигнал рассоглосования поступает на фильтр нижних частот R11C3, определяющий динамические характеристики ФАПЧ. Усиленный сигнал подается на управляющий вход ГУН1.

7.4.1. Работа фазового компаратора

В модели (рис.7.3) сигналом внешней опорной частоты является последовательность прямоугольных импульсов U_i, поступающая на среднюю точку трансформатора. Управляемый сигнал U_n с ГУН1 поступает на первичную обмотку трансформатора и делится поровну на U_{n1} и U_{n2}.

Фазовый компаратор работает следующим образом. Диоды D1 и D2 открываются при положительных импульсах напряжения опорного сигнала U_i. Сигналы U_{n1} и U_{n2} добавляются к сигналу U_i, приводя к дополнительной зарядке или разрядке конденсаторов фильтра нижних частот.

В случае точного совпадения частот $f_n = f_i$ опорный сигнал U_i

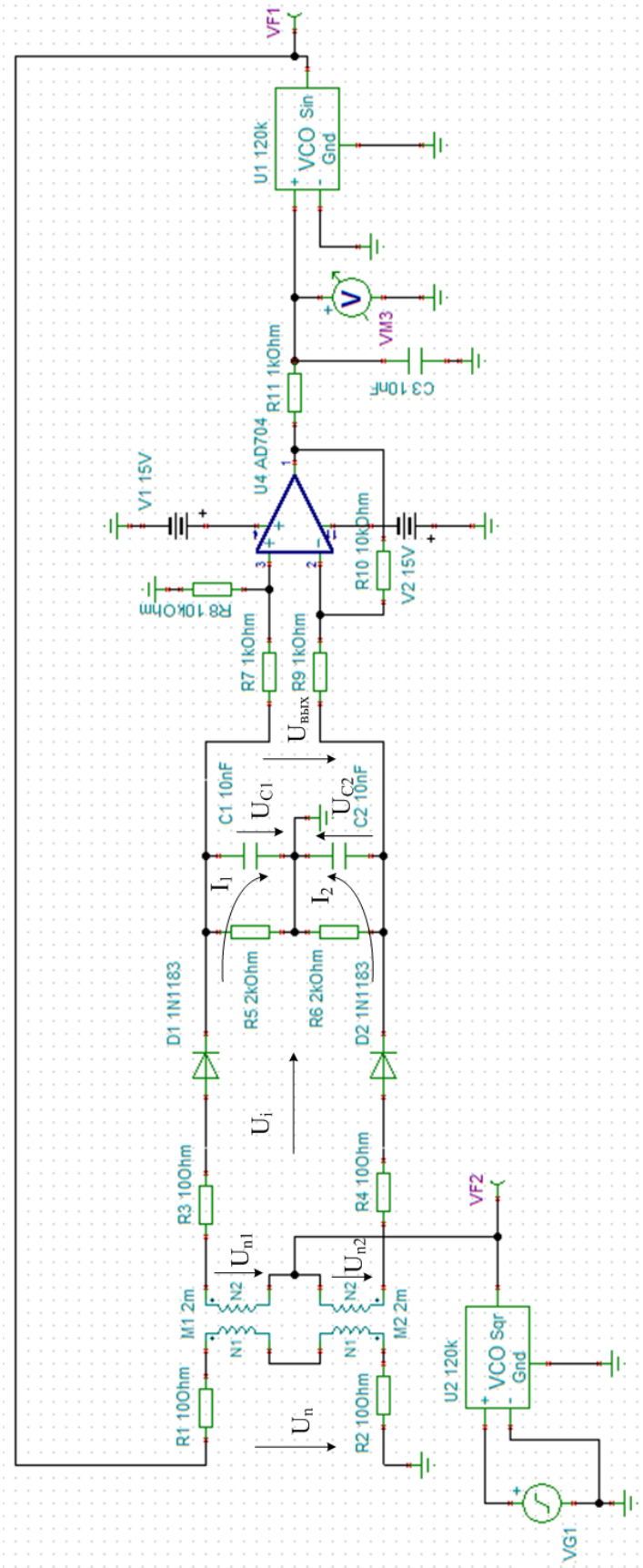

Рис.7.3. Схема модели ФАПЧ

опережает управляемый сигнал U_n на 90° (рис.7.4а). В течение первой четверти периода, когда диоды D1 и D2 открыты, напряжение, приложенное к диоду D1 равно $U_i + U_{n1} - U_{C1}$ и емкость C1 заряжается. Напряжение, приложенное к диоду D2 равно $U_i - U_{n2} - U_{C2}$ и емкость C2 разряжается. Во второй четверти периода емкость C1 разряжается, а C2 заряжается. Причем, изменения зарядов на емкостях будут одинаковы и выходное напряжение $U_{вых} = U_{C1} - U_{C2} = 0$. Частота ГУН1 не меняется и разность фаз опорного и управляемого сигнала остается постоянной и равной 90°. При закрытых диодах емкости C1 и C2 медленно разряжаются через резисторы ФНЧ.

Для того, чтобы перестроить частоту ГУН1 вслед за опорной частотой, на выходе компаратора должно появиться выходное напряжение. Это происходит за счет того, что сдвиг фаз между опорным сигналом и управляемым сигналом становится отличным от 90°. На рис.7.4б опорный сигнал опережает управляемый на 45°. В этом случае время заряда емкости C1 будет больше времени заряда емкости C2 и на выходе появится напряжение рассогласования $U_{вых} = U_{C1} - U_{C2} > 0$. Частота ГУН1 увеличится, а сдвиг фаз будет сохраняться равным 45°.

Такая автоподстройка будет продолжаться, пока опорная частота не выйдет из области удержания.

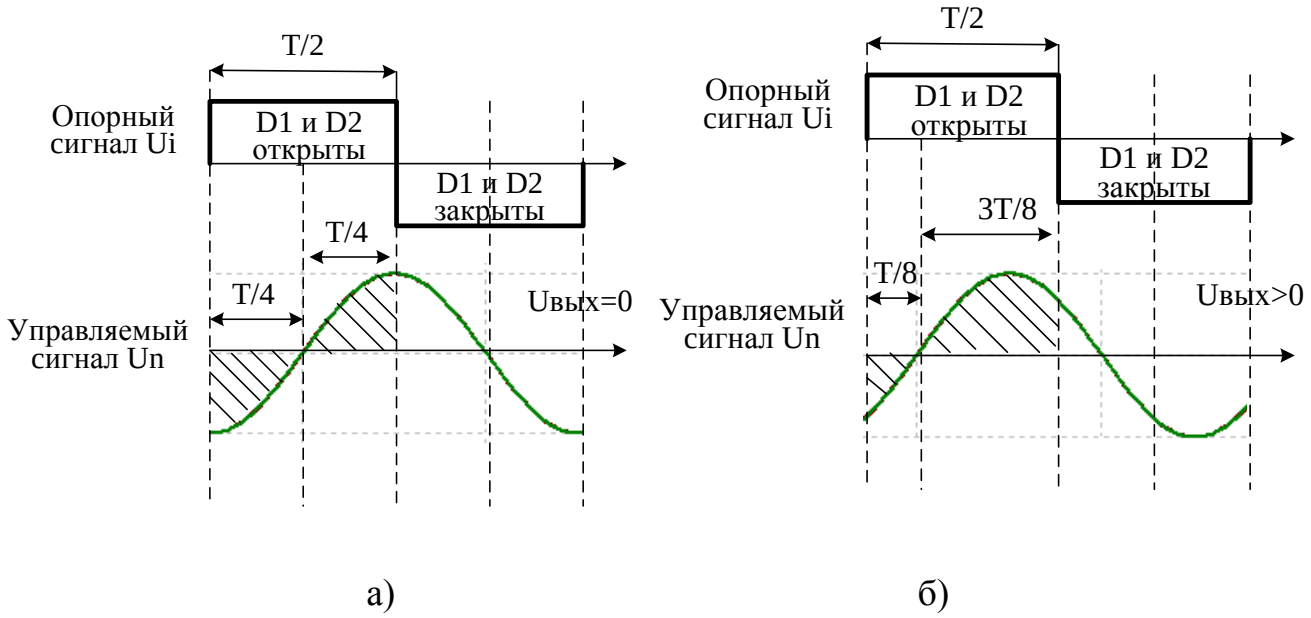

Рис.7.4. Сигналы на фазовом компараторе:

а) равенство собственной частоты ГУН1 и опорной;

б) опорная частота выше собственной

Передаточной функцией фазового компаратора называют выходного напряжения от разности фаз опорного и управляемого сигнала:

$$K_d = \frac{U_{вых}}{\varphi_n - \varphi_i}, \qquad (7.2$$

где $U_{вых}$ - выходное напряжение компаратора, φ_n - фаза управляемого сигнала, φ_i - фаза опорного сигнала.

Чтобы измерить передаточную функцию K_d в схеме (рис.7.5) на вход трансформатора вместо сигнала от ГУН1 подключим генератор синусоидального напряжения VG1 с чатотой 120 кгц и напряжением 1В. Опорным сигналом U_i от VG2 служат прямоугольные импульсы с частотой 120 кгц, нулевой начальной фазой и амплитудой 10В.

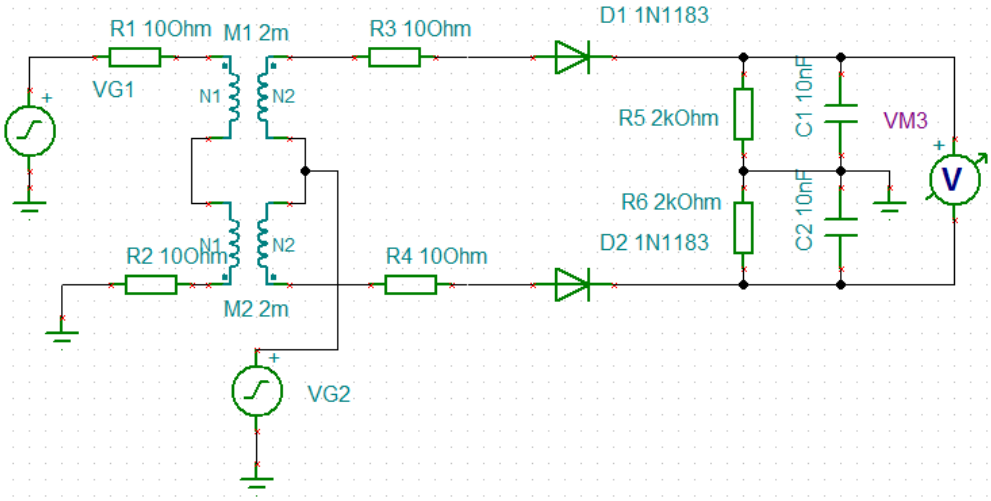

Рис.7.5. Схема измерения передаточной функции фазового компаратора

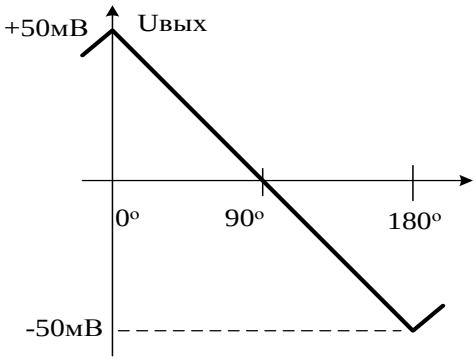

Рис. 7.6. Зависимость выходного напряжения компаратора от разности фаз

При нулевом сдвиге фаз выходное напряжение фазового компаратора составит $U_{вых}$ =+50 мВ. При сдвиге фаз, равном 90° выходное напряжение близко к нулю, а сдвиг фаз 180° дает $U_{вых}$ = -50мВ.

Зависимость выходного напряжения фазового компаратора от разности фаз сигналов показана на рис.7.6. Передаточная функция или коэффициент усиления измеряется в В/рад и оставляет в нашей модели:

$$K_d = \frac{2 \cdot 50 мВ}{\pi} = \frac{100 мВ}{3{,}14} = 0{,}0318 В / рад.$$

Инерционные свойства фазового компаратора можно охарактеризовать однозвенным RC-фильтром нижних частот с постоянной времени

$$T_d = \frac{C_н}{2} R_Э , \qquad (7.3)$$

где $R_Э = \frac{R_н R_{двых}}{R_н + R_{двых}}$, $R_{двых} = 8R_i$ - выходное сопротивление фазового компаратора, R_i - внутреннее сопротивление диодов, $R_н = R_5 = R_6$ - сопротвление нагрузки фильтра фазового компаратора, $C_н$ - емкость фильтра компаратора.

Так как обычно $C_н$ выбирают из условия заданной фильтрации несущих частот и гармоник, при значительном превышении частоты управляемого и опорного сигнала над частотой биений, определяющей захват, величина T_d оказывается малой и ею можно пренебречь.

Динамические свойства ФАПЧ определяются в основном фильтром нижнох частот, включенным после усилителя.

7.5. Коэффициент усиления петли ФАПЧ

Коэффициент усиления системы ФАПЧ равен произведению коэффициентов усиления или передаточных функций отдельных звеньев петли. По схеме (рис.7.1) и (рис.7.3) *коэффициент усиления разомкнутой петли ФАПЧ* является произведением коэффициентов усиления фазового компаратора, усилителя, фильтра нижних частот и ГУН1:

$$K_L = K_d K_ф K_у K_n , \qquad (7.4)$$

где: K_L - коэффициент усиления разомкнутой петли ФАПЧ, Гц/рад; K_d -коэффициент усиления фазового компаратора, В/рад; $K_ф$ -коэффициент усиления ФНЧ, В/В; $K_у$ - коэффициент усиления усилителя, В/В; K_n - коэффициент усиления ГУН1, Гц/В.

Полная размерность коэффициента усиления петли ФАПЧ составит Гц/В.

В нашей модели установлено: $K_у = 10$, $K_n = 10 кГц / В$. Измерено: $K_d = 0{,}0318 В / рад$. Коэффициент усиления ФНЧ в установившемся режиме на постоянном токе примем равным 1.

Определим усиление разомкнутой петли ФАПЧ составит:

$$K_L = 0{,}0318 B / рад \cdot 1 \cdot 10 \cdot 10^4 \cdot Гц / В = 3180 Гц / рад .$$

Максимальный сдвиг фаз опорного и управляемого сигнала в фазовом компараторе изменяется на $\pm\frac{\pi}{2}$ относительно значения $\frac{\pi}{2}$ при равенстве частот. Следовательно, максимальное изменение выходной частоты управляемого сигнала ГУН1 составит:

$$\pm\Delta f_{max} = \pm 3180 Гц / рад \cdot \frac{\pi}{2} = \pm 4995 Гц . \qquad (7.5)$$

Область удержания – это величина, независящая от характеристик ФНЧ (так как в полосе удержания напряжение на выходе фазового компаратора постоянное), и равная:

$$2П_y = K_L \cdot \pi = 2\Delta f_{max} . \qquad (7.6)$$

Область захвата зависит от области удержания и от характеристик ФНЧ. Поэтому область захвата изменяется в зависимости от типа использованного фильтра и от его частоты среза.

Время, необходимое для установления в системе ФАПЧ установившегося режима синхронизации, называют временем захвата. Время захвата зависит от начальной разности частот Δf, полного коэффициента усиления в петле ФАПЧ, постоянной времени ФНЧ и его схемы. При определенных условиях время захвата может быть меньше периода биений и процесс захвата происходит без колебательного переходного режима.

В процессе захвата ФНЧ выполняет две функции. С одной стороны он ослабляет высокочастотные составляющие сигнала ошибки и тем самым повышает помехоустойчивость ФАПЧ. Для этого ФНЧ должен быть узкополосным. С другой стороны ФНЧ должен обнспечить быстрый повторный захват опорного сигнала при нарушении режима синхронизации под действием любых импульсных помех и перестройке частоты опорного сигнала.

Таким образом ФНЧ определяет переходные и частотные характеристики системы ФАПЧ в целом. При увеличении постоянной времени ФНЧ (уменьшении полосы пропускания) происходят следующие изменения в системе ФАПЧ:

- процесс захвата происходит более медленно, а время захвата увеличивается;
- диапозон частот захвата уменьшается;
- помехозащищенность системы ФАПЧ возрастает;

На рис.7.7 показаны интегрирующий фильтр первого порядка (ИФ) и пропорционально-интегрирующий фильтр первого порядка (ПИФ).

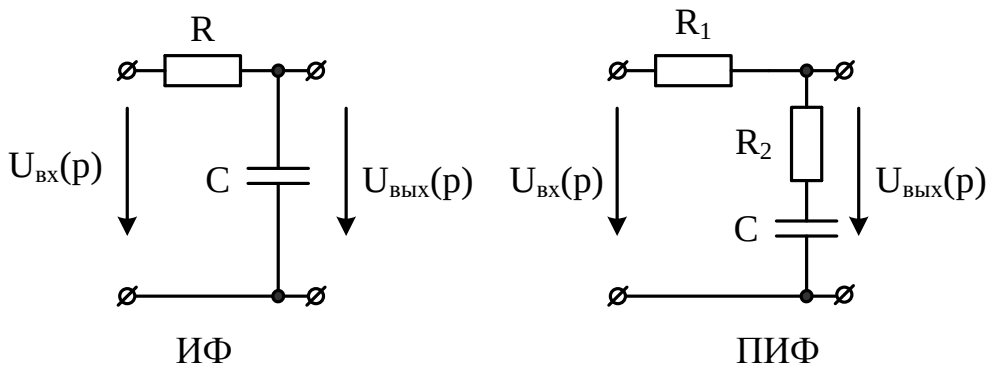

Рис.7.7. Фильтры первого порядка в системе ФАПЧ

Для интегрирующего фильтра передаточная функция:

$$K_{ф}(p) = \frac{1}{1 + p\tau_{ф}}, \tag{7.7}$$

где $\tau_{ф} = RC$ -постоянная времени фильтра.

Для пропорционально-интегрирующего фильтра:

$$K_{ф}(p) = \frac{1 + p\tau_{ф1}}{1 + p\tau_{ф}}, \tag{7.8}$$

где: $\tau_{ф} = (R_1 + R_2)C$, $\tau_{ф1} = R_2 C$.

7.6. Основное уравнение типовой системы ФАПЧ

Составим основное дифференциальное ууравнение системы ФАПЧ, справедливое для всех возможных характеристик фазового компаратора и фильтра нижних частот. Предположим, что в начальный момент напряжение на входе управляемого генератора ГУН1 равно нулю. При этом начальная расстройка управляемого генератора относительно опорного равна:

$$\Omega_{н} = \omega_{n} - \omega_{i}, \tag{7.9}$$

где: ω_{n}- собственная угловая частота управляемого генератора, ω_{i}-угловая частота опорного генератора.

При замыкании петли управления ФАПЧ на входе управляемого генератора появится управляющее напряжение и частота начнет изменяться на величину расстройки $\Delta\omega_{n}$:

$$\omega = \omega_{n} - \Delta\omega_{n}. \tag{7.10}$$

Используя формулу (7.4), выразим изменение угловой частоты в следующем виде:

$$\Delta\omega_n = 2\pi K_d \cdot \frac{\pi}{2} \cdot k_{dн}(\varphi) K_ф(p) K_y K_n =$$
$$= \omega_y k_{dн}(\varphi) K_ф(p), \qquad (7.11)$$

где: $K_{d\,max}$ - максимальный коэффициент усиления фазового компаратора; $k_{dн}(\varphi)$-нормированная на $K_{d\,max}$ характеристика фазового компаратора; $K_ф(p)$- операторная передаточная функция фильтра нижних частот; $\omega_y = 2\pi K_d \cdot \frac{\pi}{2} \cdot K_y K_n$ - угловая частота удержания.

Подставим (7.11) в (7.10):

$$\omega = \omega_n - \omega_y k_{dн}(\varphi) K_ф(p). \qquad (7.12)$$

Мгновенное значение разности фаз генераторов связано с мгновенным значением разности частот выражением:

$$\varphi = \varphi_0 + \int_0^t (\omega - \omega_i) dt, \qquad (7.13)$$

где: φ_0 - разность фаз при $t = 0$.

В операторной форме запишем уравнение для разности частот:

$$(\omega - \omega_i) = p\varphi\ . \qquad (7.14)$$

С учетом (7.9), (7.12) и (7.14) получим:

$p\varphi = \omega_n - \omega_y k_{dн}(\varphi) K_ф(p) - \omega_i$ или:

$$p\varphi + \omega_y k_{dн}(\varphi) K_ф(p) = \Omega_н. \qquad (7.15)$$

Это уравнение является основным дифференциальным уравнением системы ФАПЧ. Оно показывает, что в любой момент времени в замкнутой системе ФАПЧ алгеьраическая сумма мгновенной разности частот $p\varphi$ и расстройки, вносимой управляющим элементом, равна постоянной величине (начальной расстройке).

При сложном фильтре нижних частот и нелинейном характере фазового компаратора уравнение (7.15) превращается в нелинейное дифференциальное уравнение высокого порядка. Решение его позволяет определить такие важные показатели работы системы, как полоса захвата, время и характер установления режима, статическая фазовая ошибка.

7.7. Экспериментальное исследование модели ФАПЧ

7.7.1. Исследование статического рассогласования фаз

В модели ФАПЧ (рис.7.3) установим амплитуду генератора VG1 равной нулю, напряжение опорного генератора VCO Sqr 10В, напряжение

управляемого генератора VCO Sin равным 2В, частоту 120 кГц. Остальные параметры схемы соответвтуют описанию в §7.4.

На рис.7.8 показаны диаграммы опорного сигнала U_i и управляемого сигнала U_n в режиме удержания частоты. При равенстве частот (рис.7.8а) сдвиг фаз сигналов равен 90°. При частоте опорного сигнала 122 кГц удержание сохраняется, сдвиг фаз постоянный и больше 90°.

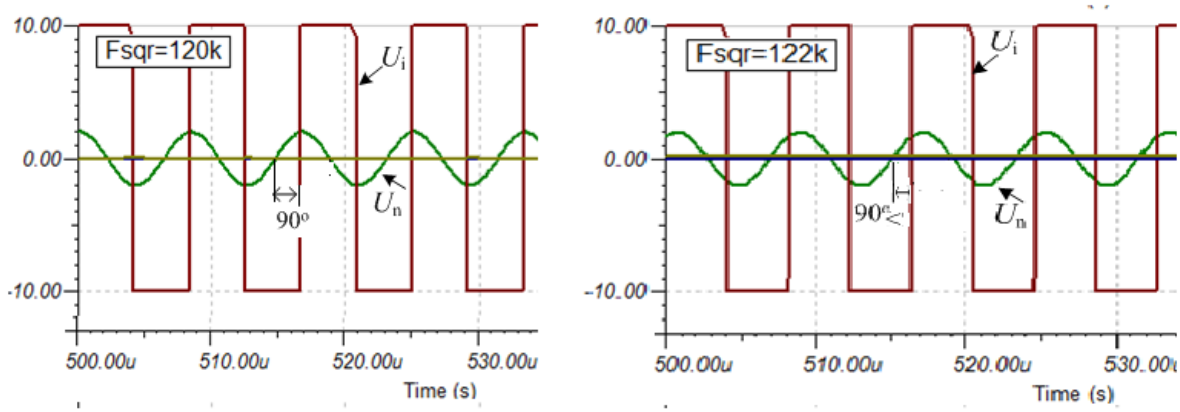

а) б)

Рис.7.8. Сдвиг фаз при удержании частоты

7.7.2. Исследование переходного процесса захвата частоты

Установим в генераторе опорного сигнала частоту 120кГц. Включение режима Transient с нулевыми начальными условиями эквивалентно включению петли ФАПЧ и началу работы фазовой автоподстройки. Управляющее напряжение на вольтметре VM3 устанавливается на нулевом уровне за 200мкс (рис.7.9).

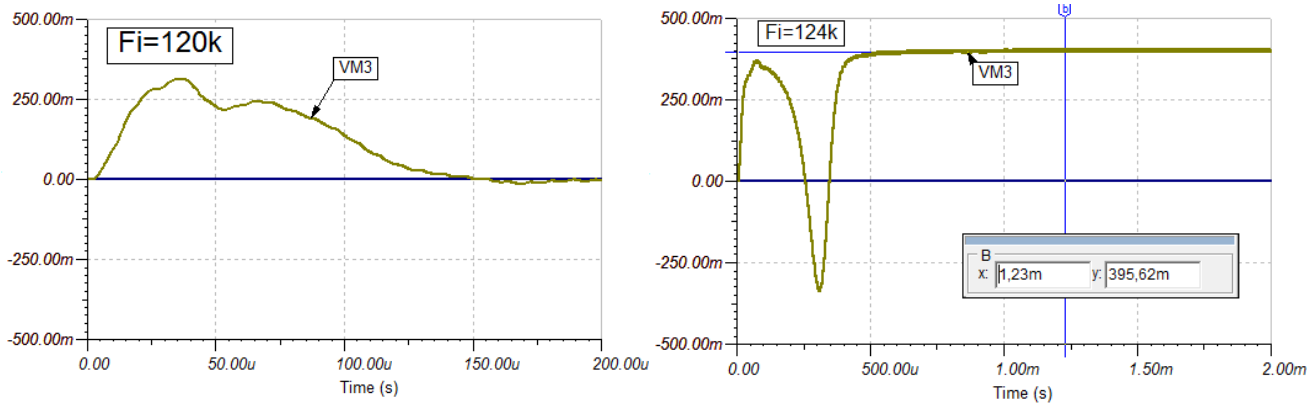

а) б)

Рис.7.9. Переходной процесс при равенстве частот генераторов (а) и при частоте опорного генератора 124 кГц

На частоте опорного генератора 125кГц захват частоты не происходит, что подтверждает правильность нашего расчета частоты удержания (рис.7.10).

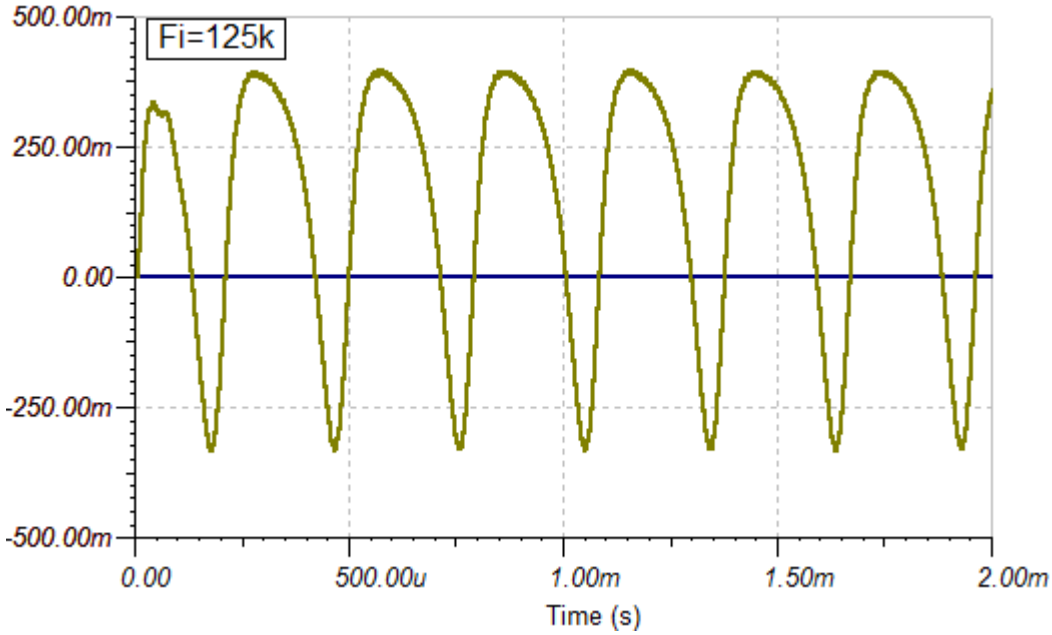

Рис.7.10. Биения управляющего сигнала при отсутствии захвата

Исследуем переходные характеристики системы при манипуляции частоты опорного сигнала. Для этого в генераторе VG1 установим прямоугольные импульсы с чатотой 100Гц. Меняя амплитуду импульсов, будем создавать скачкообразные изменения опорной частоты. На рис.7.11 показаны переходные отклики системы ФАПЧ при манипуляции опорной частоты $f_i = 120кГц \pm 2кГц$. Время установления частоты не превышает 200мкс. Управляющий сигнал на входе ГУН1 равен 199мВ.

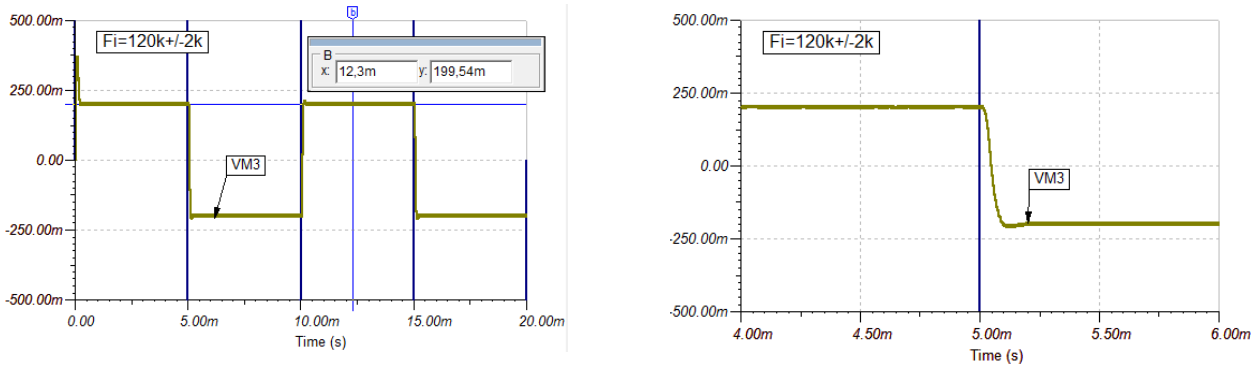

Рис. 7.11. Переходные отклики ФАПЧ при манипуляции частоты $f_i = 120кГц \pm 2кГц$

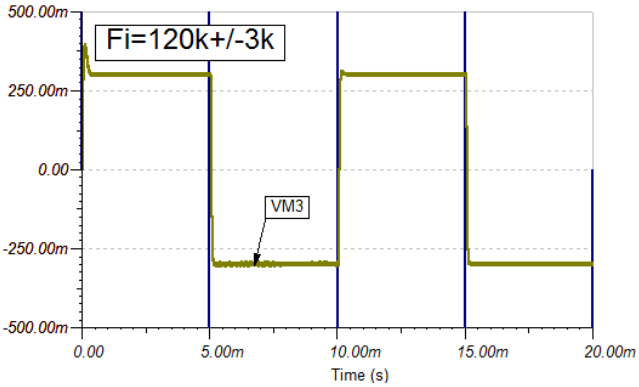

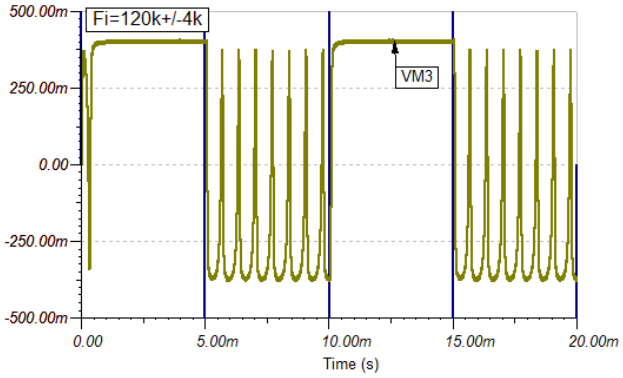

Рис.7.12. Отслеживание манипуляции опорной частоты

Манипуляцию частоты $f_i = 120кГц \pm 3кГц$ ФАПЧ отслеживает, а манипуляция $f_i = 120кГц \pm 4кГц$ не обеспечивает захват на нижней частоте, что говорит о некоторой несимметрии системы.

7.7.3. Исследование полосы захвата и удержания

Для исследования полосы захвата и удержания в генераторе VG1 установим треугольный сигнал с частотой 10Гц и амплитудой 5В. Коэффициент преобразования опорного генератора VCO Sqr установим равным 10кГц/В. При этом частота опорного генератора будет линейно меняться в пределах $f_i = 120кГц \pm 50кГц$. Такой сигнал называют сигналом с линейной частотной модуляцией (ЛЧМ). Скорость изменения составляет $\frac{\Delta f_i}{\Delta t} = 2МГц/с$. Будем измерять напряжение VM3 на входе ГУН1 в режиме Transient на временном интервале 0-100мс.

На рис.7.13 показаны результаты исследования в системе ФАПЧ с малоинерционным ФНЧ в виде интегрирующего фильтра первого порядка с постоянной времени $\tau_ф = R_ф C_ф = 10^3 \cdot 10^{-8} = 10^{-5} с$. В этом эксперименте установлено, что полосы захвата и удержания примерно равны и составляют $f_з \approx f_у = 385мВ \cdot 10кГц/В = 3{,}85кГц$.

Ниже захвата и выше частоты удержания на выходе ФНЧ сигнал имеет форму биений. Частота биений уменьшается по мере приближения к частоте захвата $f_{зв}$. После захвата частота управляемого генератора ГУН1 отслеживает изменение частоты опорного генератора до нижней частоты удержания $f_{ун}$, где происходит срыв слежения. Послоса захвата $П_з$ и полоса удержания $П_у$ отсчитываются от собственной частоты управляемого генератора ГУН1 $f_п = 120кГц$, соответсвующей нулевому напряжению

на выходе ФНЧ. Так как коэффициент преобразования опорного генератора VCO Sqr установлен равным 10кГц/В, то пересчет напряжения VG1 в частоту проводим по формуле:

$$f_i = U_{VG1}(B) \cdot 10^{кГц}/_{B}. \qquad (7.16)$$

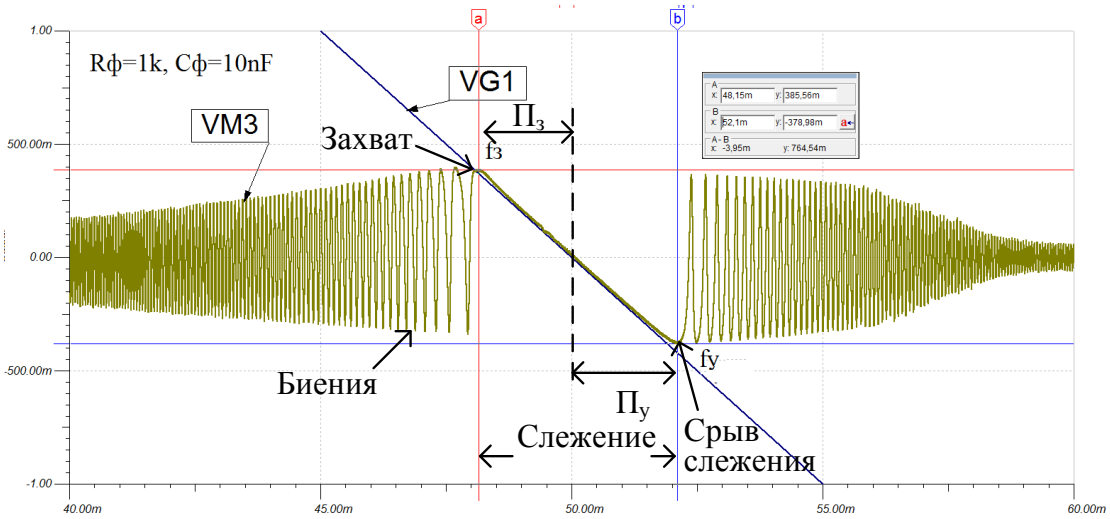

Рис.7.13. Измерение полосы захвата и удержания в ФАПЧ с малоинерционным ФНЧ

На рис.7.14 показаны результаты моделирования для ФНЧ с увеличенной постоянной времени $\tau_ф = R_ф C_ф = 10^4 \cdot 10^{-8} = 10^{-4} c$.

В этом случае полоса захвата сужается до 480Гц, а полосы удержания сохраняет прежнее значение 3,68кГц.

Для ФАПЧ, выполненных на микросхемах, предложено приближеное параметрическое уравнение, связывающее полосу захвата и полосу удержания:

$$П_з = П_y \cdot \left| \underline{K}_ф(j2\pi П_з) \right|, \qquad (7.17)$$

где: $П_з$ - полоса захвата; $П_y$ - полоса удержания; $\left| \underline{K}_ф(j2\pi П_з) \right|$- модуль коэффициента усиления ФНЧ на частоте, равной полосе захвата.

Полоса захвата сильно зависит от динамики изменяющегося опорного сигнала. На рис.7.15 представлены результаты моделирования для треугольного сигнала VG1 с частотой 1Гц. При этом опорный сигнал ЛЧМ имеет скорость изменения $\frac{\Delta f_i}{\Delta t} = 200 кГц / c$. В резальтате полоса захвата увеличивается до 2,29кГц. Полоса удержания составляет, как и ранее, 3,74кГц.

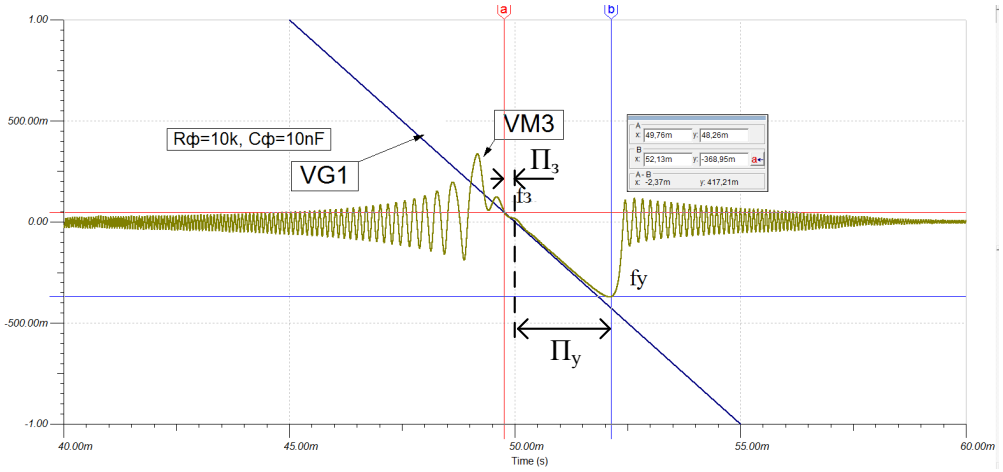

Рис.7.14. Измерение полосы захвата и удержания для ФНЧ с $\tau_ф = 10^{-4} c$

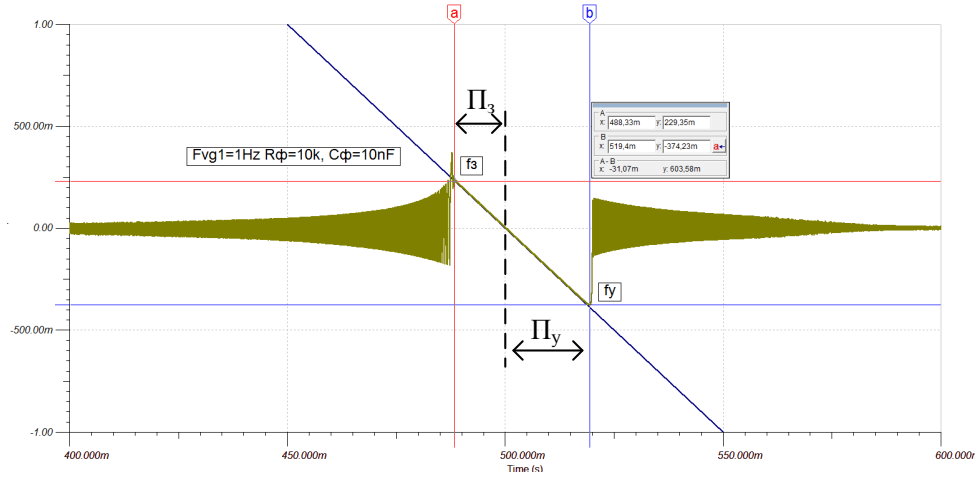

Рис.7.15. Измерение полосы захвата и удержания для ФНЧ с $\tau_ф = 10^{-4} c$ при скорости ЛЧМ 200кГц/с

7.7.4. Использование ФАПЧ для демодуляции ЧМ сигнала

При соответствующем выборе параметров ФНЧ система ФАПЧ может с высокой точностью отслеживать частоту сигнала с частотной модуляцией. В этом случае управляющее напряжение на выходе ФНЧ будет повторять модулирующее сообщение.

Установим в генераторе VG1 синусоидальный сигнал с амплитудой 300иВ и частотой 50Гц. Коэффициент преобразования опорного генератора VCO Sqr установим равным 10кГц/В. Постоянная времени ФНЧ $\tau_ф = R_ф C_ф = 10^{-5} c$. В режиме Transient на выходе ФНЧ получим демодулированный сигнал (рис.7.16).

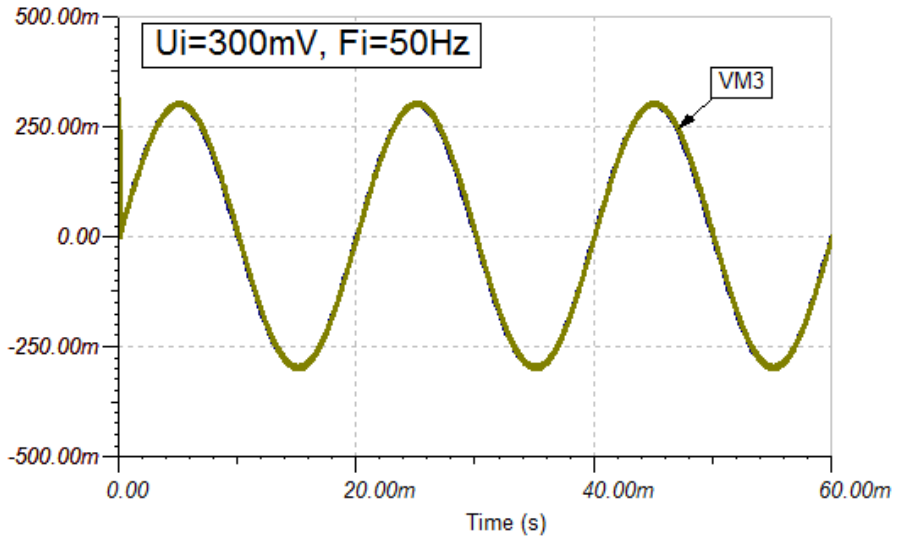

Рис.7.16. Демодуляция ЧМ сигнала в системе ФАПЧ

7.8. Синтезаторы частоты на основе ФАПЧ

Метод синтеза частоты на основе ФАПЧ имеет большую популярность. На рис.7.17 показана структурная схема простого синтезатора частоты на основе однопетлевой ФАПЧ. В качестве источника стабильной опорной частоты применен генератор с кварцевой стабилизацией на частоте 1МГц. Диапозон формируемых частот и разрешающая способность синтезатора зависят от цепи делителя и коэффициента усиления при разомкнутой петле. Делитель – это схема, делящая частоту входного сигнала на любое число. Делителем может быть программируемый цифровой реверсивный счетчик с выходной частотой $f_c = f_0/n$, где f_0 - выходная частота ГУН. При такой схеме в случае захвата сигнала $f_c = f_{реф}$ выходная частота ГУН и синтезатора будет равна $f_0 = nf_{реф}$. Таким образом, синтезатор работает как умножитель частоты. Делитель частоты уменьшает коэффициент усиления с разомкнутой петлей на n. Следовательно, остальные элементы должны компенсировать это ослабление. Общий коэффициент усиления разомкнутой петли для синтезатора частоты (рис.7.17) рассчитывают следующим образом:

$$K_v = \frac{K_d \cdot K_y \cdot K_0}{n}. \qquad (7.18)$$

Как видно, усиление петля ФАПЧ изменяется обратно пропорционально коэффициенту n. Поэтому целесообразно увеличивать коэффициент усиления усилителя в соответствии с коэффициентом деления чатоты n. В этом случае коэффициент усиления разрмкнутой петли не будет меняться:

$$K_v = \frac{n \cdot K_d \cdot K_y \cdot K_0}{n} = K_d \cdot K_y \cdot K_0. \qquad (7.19)$$

Диапозон выходных частот для синтезатора (рис.7.17) $f_0 = nf_{реф} = (1 \div 10) f_{реф} = 1 \div 10 МГц$.

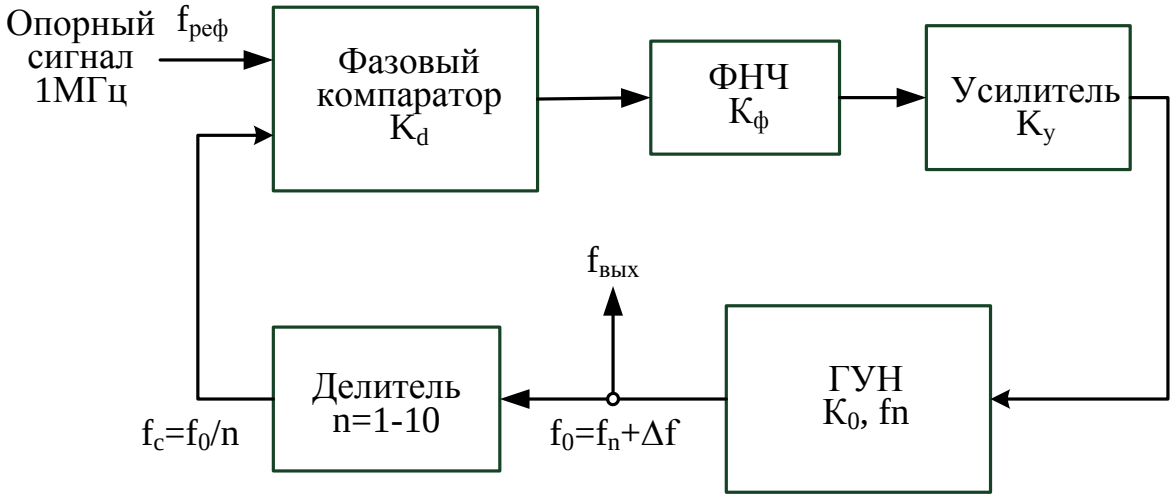

Рис.7.17. Схема простого синтезатора частоты на ФАПЧ с делителем

На рис.7.18 показана функциональная схема более сложного синтезатора с двумя делителями частоты. Частота колебаний выходного напряжения $U_{вых}$ равна частоте $f_{ГУН}$, стабилизированной низклчастотным эталонным генератором. Частота колебаний ГУН делится в N раз, а частота эталонного генератора $f_Э$ может быть поделена в n раз, причем N>n.

В режиме синхронизации выполняется равенство:

$$\frac{f_{ГУН}}{N} = \frac{f_Э}{n} = f_{ср}. \qquad (7.19)$$

На частоте сравнения $f_{ср}$ происходит сравнение частот и фаз двух колебаний в фазовом компараторе. При равенстве частот режим синхронизации сохраняется. При рассолгасовании частот ГУН перестраивает частоту, чтобы восстановить равенство (7.19). Коэффициент деления N частоты ГУН существенно выше коэффициента деления n частоты эталонного генератора. Поэтому высокая частота ГУН стабилизируется низкой частотой $f_Э = \frac{n}{N} f_{ГУН}$. В качестве эталонных применяют кварцевые генераторы.

Делитель частоты на N выполняют на делителях с переменным коэффициентом деления (ДПКД). Если коэффициени деления ДПКД равен N, частота ГУН будет: $f_{ГУН} = N \cdot f_{ср}$. Меняя коэффициент деления, можно перестраивать ГУН с шагом $f_{ср}$. Делитель с коэффициентом n по-

нижает частоту эталонного генератора, чтобы уменьшить шаг сетки частот.

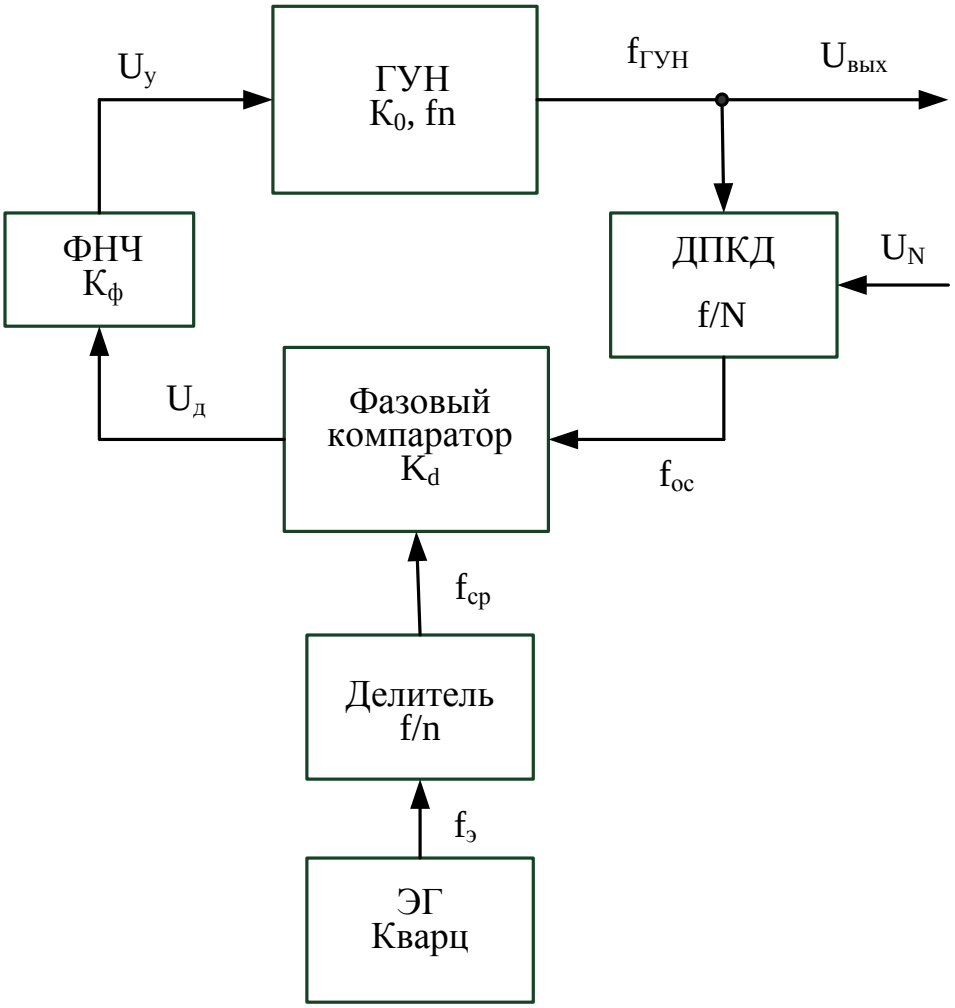

Рис.7.18. Функциональная схема синтезатора с двумя делителями частоты

В настоящее время выпускается широкий ассортимент микросхем перестраиваемых синтезаторов частоты с системой ФАПЧ для радиоприемных устройств различного назначения.

Глава 8. Источники электропитания электронных устройств

8.1. Классификация источников питания

Средства электропитания электронных устрйоств делят на первичные и вторичные.

К первичным относят такие средства, которые преобразуют неэлектрическую энергию в электрическую. Это: электромеханические генераторы, электрохимические источники (аккумуляторы . гальванические элементы), фотоэлектрические генераторы (солнечные батареи и фотоэлементы), термоэлектрические источники. Выходное напряжение первичных источников по величине и стабильлности, как правило, не соответствует требованиям электронной аппаратуры. Например, для питания устаревшего телевизора с электронно-лучевой трубкой требовалость несколько различных напряжений: +12В для питания блока радиоканала, +130В для питания блока разверток, +25кВ для питания кинескопа. Такой набор напряжений с требуемыми характеристиками по мощности и стабильности формируют *источники вторичные вторичного электропитания питания* (ИВЭП) электронных устройств.

ИВЭП делятся на *инверторные* и *конверторные* источники.

Инверторные ИВЭП преобразуют напряжение переменного тока в напряжение постоянного тока. К ним относятся обычные выпрямители, которые преобразуют переменное напряжение ~220В в постоянное. Есть также инверторы, преобразующие постоянное напряжение (например, от аккумулятора 12В в переменное ~220В). Такие инверторы используют для питания от бортовой сети автомобиля электронной аппаратуры с питанием от переменного напряжения ~220В или для аварийного питания домового электрооборудования при отключении внешнего переменного напряжения.

Конверторный ИВЭВ используют для преобразования одного напряжнения в другое. Например, трансформаторы преобразуют переменное напряжение в переменное другой величины. Электронные стабилизаторы преобразуют постоянное напряжение и стабилизируют его.

Конверторы могут содержать внутри себя инверторы и наоборот. Поэтому деление ИВЭП на инверторы и конверторы отностиельно.

8.2. Основные характеристики ИВЭП

Все характеристики ИВЭП можно разделить на три группы: входные, выходные и эксплуатационные.

К входным характеристикам относят:

- значение и вид первичного источника питания (силовая сеть или аккумулятор);

- нестабильность питающего напряжения $\delta_{U_C} = \dfrac{\delta U_C}{U_C}$;

- частоту питающего напряжения и ее нестабильность;
- количество фаз источника переменного напряжения;
- допустимый коэффициент гармонок питающего напряжения.

К выходным характеристикам относят:

- значения выходных напряжений;

-нестабильность выходных напряжений $\delta_{U_{вых}} = \dfrac{\delta U_{вых}}{U_{вых}}$;

-ток нагрузки или выходную мощность по каждому кналу;

-наличие гальванической изоляции между входом и выходом;

-наличие защиты от перегрузки или повышения выходного напряжения.

К эксплуатационным характеристикам ИВЭП относят:

- диапазон рабочих температур;

-допустимую относительную влажность и допустимые давления окружающей атмосферы;

- допустимые механические нагрузки;

-коэффициент полезного действия $\eta_{п} = \dfrac{P_{п}}{P_{п} + P_{пр}}$, где $P_{п}$-полезная мощность, поступающпя в нагрузку, $P_{пр}$-мощность потерь в ИВЭП;

- удельная мощность, равная отношению полезной мощность к объему ИВЭП;

- надежность.

8.3. Структурные схемы ИВЭП

Все используемые первичные источники электрической энергии делятся на две группы: источники переменного напряжения и источники постоянного напряжения. Источники переменного напряжения- это источникисинусоидального напряжения с частотой 50Гц, 60Гц, 400Гц или 1000Гц с фиксированным значением номинального напряжения 110В, 127В, 220В илм 380В.

Источники постоянного напряжения – это гальванические элементы с напряжением 1,5В, аккумуляторы и солнечные батареи с фиксированным номинальным напряжением 6, 12, 24 и 48В.

Обобщенная структурная схема ИВЭП показана на рис.8.1. На рис.8.1 показаны структурные схемы ИВЭП, использующих электроэнергию сети переменного тока через силовой трансформатор.

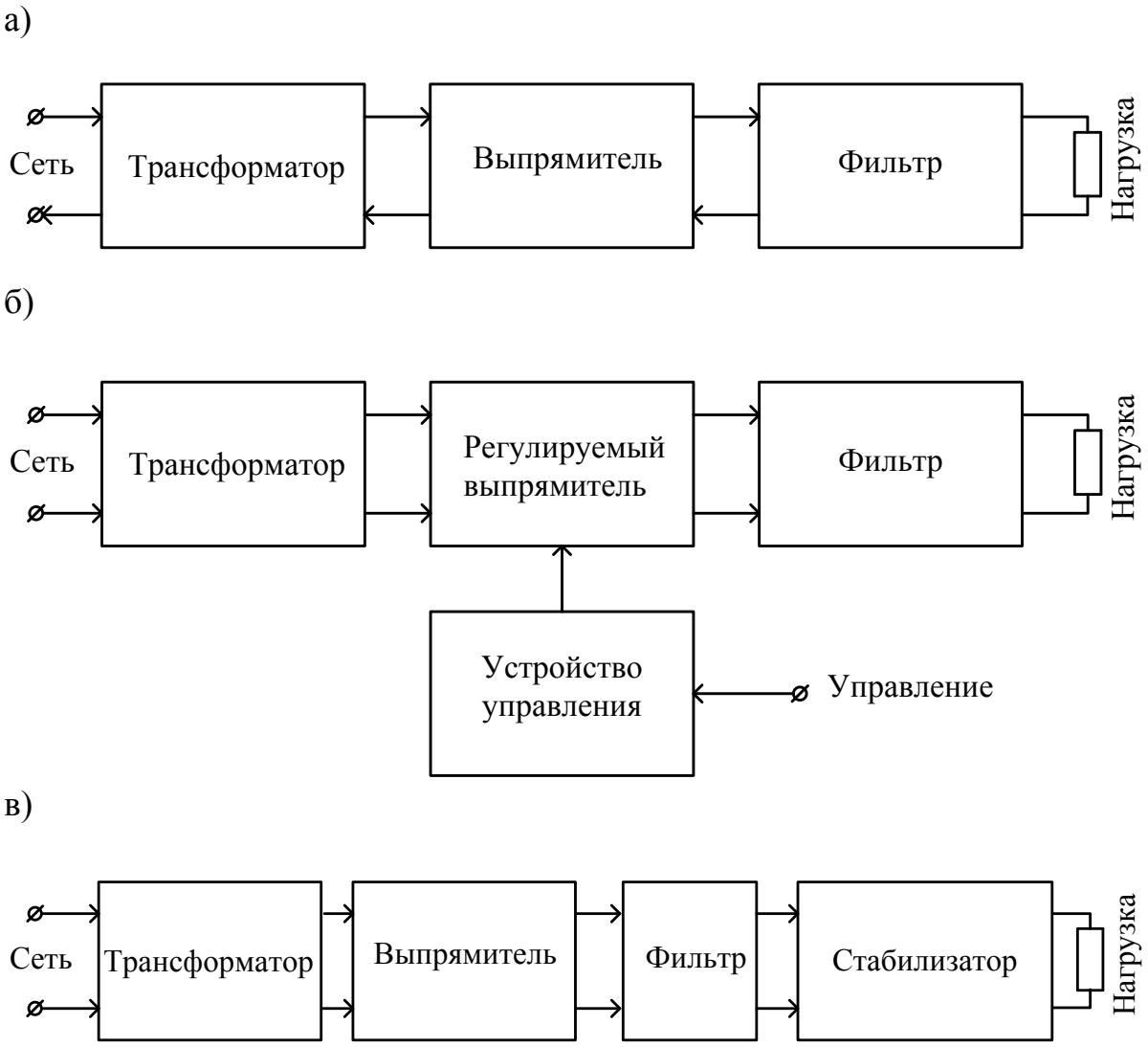

Рис.8.1. Структурные схемы ИВЭП с трансформаторным входом: с нерегулируемым выпрямителем (а), с регулируемым выпрямителем (б), со стабилизатором (в).

Схема нерегулируемого ИВЭП с трансформаторным входом является простейшей, состоит изсилового сетевого трансформатора, нерегулируемого выпрямителя и фильтра пульсаций. Эта схема используется, когда требования к удельной мощности и качеству выходных напряжений невысокие.

В схеме с регулируемым выпрямителем обычно используют тиристорные регуляторы. Такие схемы позволяют оператору при изменении входного напряжения сети поддерживать постоянным выходное напряжение.

В ИВЭП со стабилизатором после фильтра включают стабилизатор с непрерывным или импульсным автоматическим регулированием выходного напряжения.

Для повышения КПД и удельной мощности разработаны и широко применяются импульсные ИВЭП, в состав которых входят высокочастотные инвенторы напряжения. На рис.8.2а проведена структурная схема ИВЭП, содержащего нерегулируемый сетевой выпрямитель НСВ и конвертор выпрямленного напряжения сети. Конвертор состоит из регулируемого инвертора РИ, работающего на повышенной частоте (от 20 кГц до 100кГц), трансформаторного выпрямительногоь узла ТВУ и высокочастотного фильтра ВФ. Для стабилизации выходного напряжения используется схема управления УУ.

В схеме управления сравнивается выходное напряжение Uн ИВЭП и напряжение опорного источника ИОН. Разность этих напряжений, называемая сигналом ошибки, используется для регулировки частоты РИ (*f*=*var*) или скважности импульсов при их неизменной частоте (γ=*var*). Конверторы выполняют на базе однотоктного или двухтактного трансформаторного инвертора и называют соответственно трансформаторный однотоктный конвертор (ТОК) или трансформаторный двухтактный конвертор (ТДК).

На рис.8.2б приведена схема ИВЭП с регулируемым сетевыи выпрямителем (РСВ) и нерегулируемым инвертором (НИ), в которой стабилизация напряжения достигается за счет регулирования напряжения на входе конвертора с использованием тиристоров с фазовым регулированием.

В схеме рис.8.2а инверторы работают с высокими выпрямленными напряжениями сети (около 300В для однофазной сети и около530В для трехфазной сети).Изменение скважности импульсов ухудшает условия фильтрации. Поэтому массогабаритные размеры ИВЭП увеличиваются. Положительным является совмещение функций преобразования и стабилизации напряжений, так как это упрощает схему УУ и сокращает количество ключей.

а)

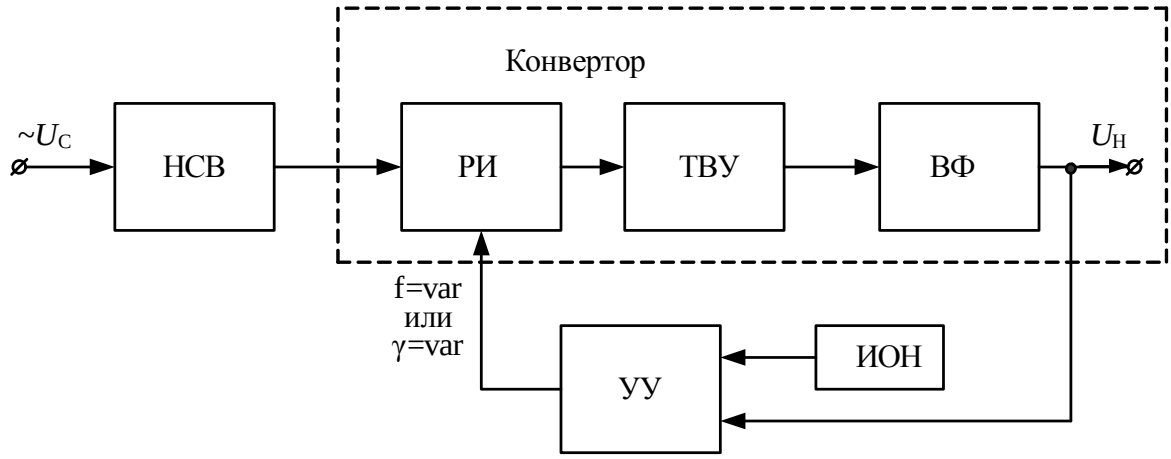

б)

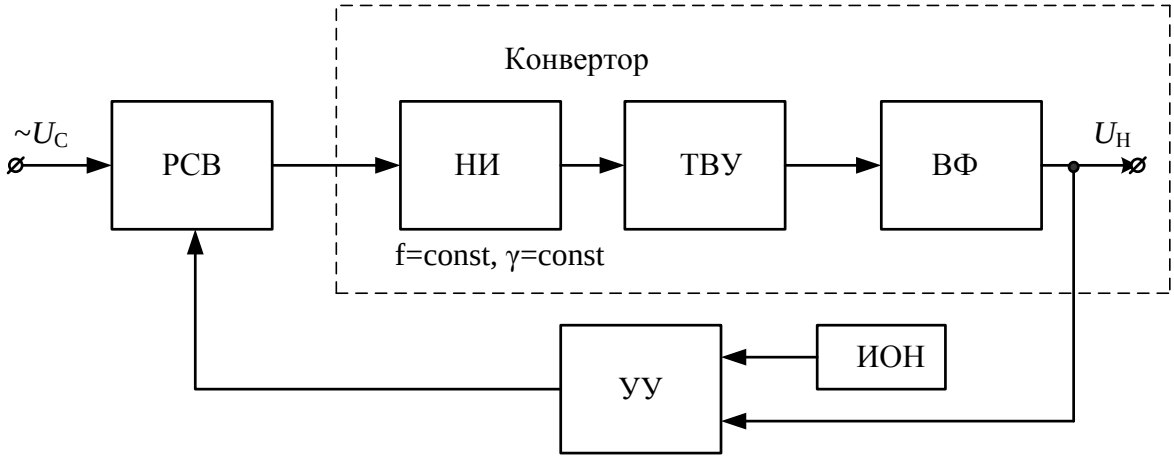

Рис.8.2. Структурные схемы импульсных ИВЭП с регулируемым инвертером (а) и регулируемым выпрямителем (б)

В схеме рис.8.2б выпрямленное напряжение ниже и составляет 130-200В. Это облегчает работу транзисторных ключей инвертора. Инвертор может работать с максимальным коэффициентом заполнения импульсов, что улучшает условия фильтрации.

Применяют также многоканальные ИВЭП с нерегулируемым НИ, в которых после ТВУ включено несколько ВФ с индивидуальными стабилизаторами напряжения СТ1-СТn, которые дает несколько различных напряжений ($\pm 5B, \pm 12B$...). В схеме с регулируемым инвертором возможна групповая стабилизация многоканальных выходных напряжений.

8.4. Выпрямители источников питания

Выпрямители служат для преобразования переменного напряжения в постоянное. В выпрямитель могут входить: силовой трансформатор, преобразующий напряжение сети до нужного значения и обеспечивающий гальваническую изоляцию нагрузки от силовой сети; вентильный блок, содержащий диоды и тиристоры; фильтрующее устройство; стабилизатор напряжения. В импульсных источниках напряжения силовой транмформатор отсутствует и его функции выполняет высокочастотный трансформатор.

а)

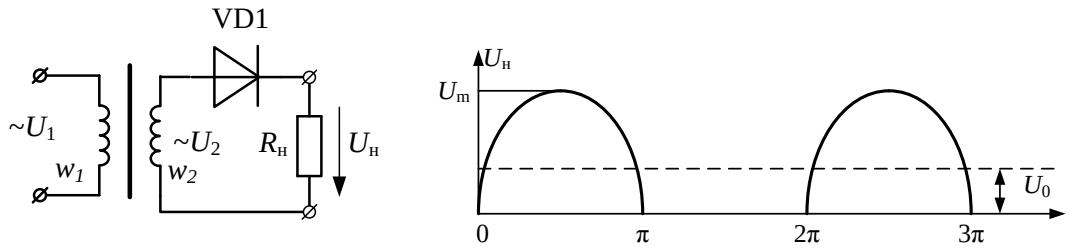

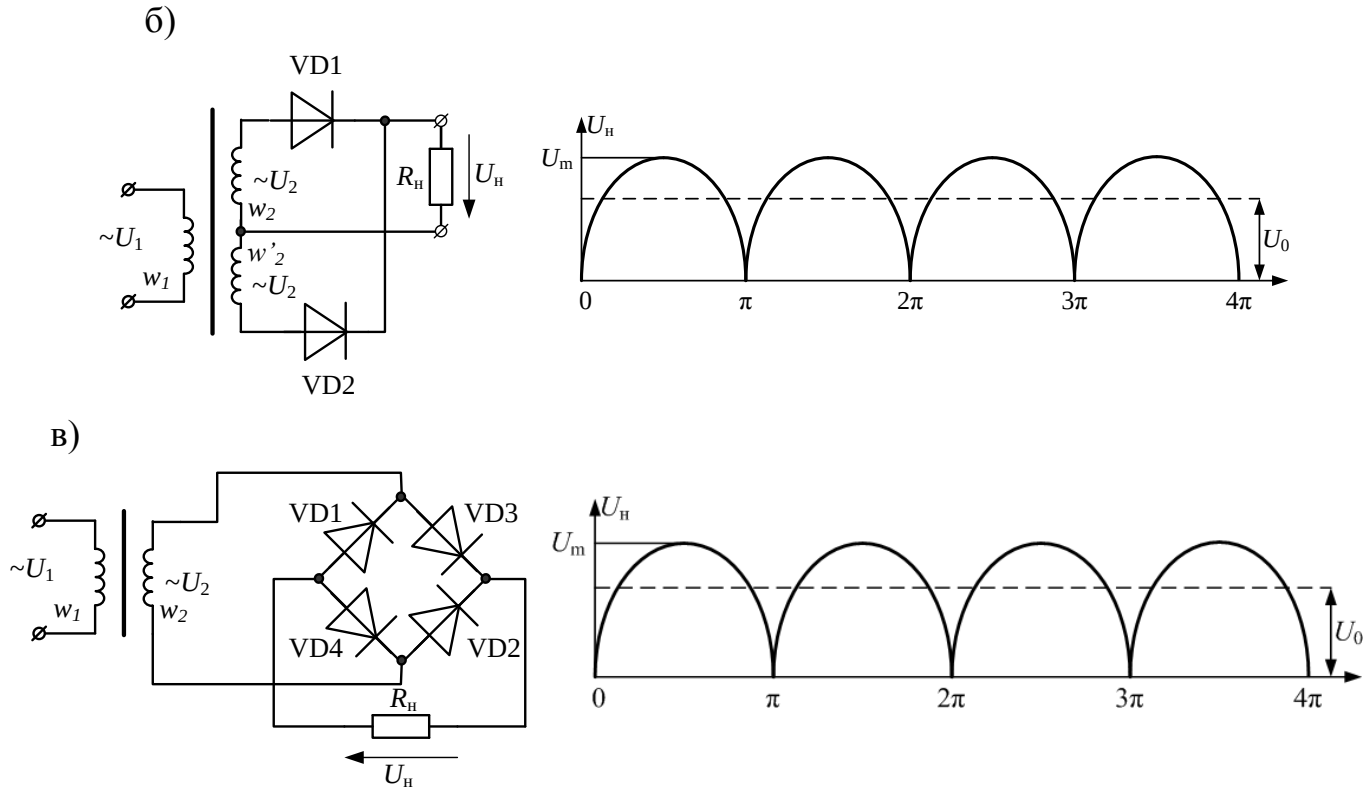

Рис.8.3. Схемы однофазных выпрямителей: а) однополупериодный выпрямитель; б) двухполупериодный с отводом от средней точки; в) двухполупериодный мостовой.

Трансформаторные выпрямители бывают: однофазные (однополупериодные и двухполупериодные); трехфазные (с отводом от нулевой точки и мостовые) и пр.

На рис.8.3 показаны схемы нескольких трансформаторных выпрямителей.

В схеме однополупериодного выпрямления постоянные составляющие напряжения или средние за период значения напряжения $U_0 = \frac{1}{T}\int_0^T u_н dt$ и тока $I_0 = \frac{1}{T}\int_0^T i_н dt$ равны: $U_0 = U_m/\pi$, $I_0 = I_m/\pi$. Первая, вторая и четвертая гармоники напряжения имеют амплитуды соответственно $U_m/2$, $2U_m/3\pi$, $2U_m/15\pi$.

Коэффициентом пуульсации называют отношение амплитуды основной гармоники к среднему выпрямленному напряжению:

$$q_n = \frac{U_{mог}}{U_0} = \frac{U_m/2}{U_m/\pi} = \frac{\pi}{2}. \qquad (8.1)$$

В схемах двухполупериодного выпрямления постоянные составляющие в два раза больше и равны $U_0 = 2U_m/\pi$, $I_0 = 2I_m/\pi$. Первая гармоника для показанных на рис.8.3б,в функций отсутствует. Вторая, четвертая и шестая гармоники соответственно равны: $4U_m/3\pi$, $4U_m/15\pi$, $4U_m/35\pi$.

Коэффициент пульсаций составляет:

$$q_n = \frac{U_{mог}}{U_0} = \frac{4U_m/3\pi}{2U_m/\pi} = 0{,}66. \qquad (8.20)$$

Трехфазный мостовой выпрямитель показан на рис.8.4. Первичные обмотки трансформатора могут включаться по схеме звезды или треугольника. Вторичные обмотки включают по схеме звезды. На схеме обозначены фазные напряжения u_a, u_b, u_c, и линейные напряжения $u_л$. Диодные вентили объедирены в две группы-катодную с объединенными катодами VD1, VD2, VD3 и анодную с объединенными анодами VD4, VD5, VD6. В каждый момент времени открыты два вентиля: один из катодной группы и один из анодной группы. В катодной группе ток протекает через вентиль, на аноде которого в данный момент времени положительный потенциал является наибольшим, а в анодной группе тое протекает через вентиль, на катоде которого в данный момент наибольший отрицательный потенциал.

На рис.8.5 показана модель трехфазного выпрямителя. Амплитуда фазных напряжений установлена навной 220В, частота 50Гц. На рис.8.6 показаны временный диаграммы фазных напряжений и выпрямленного напряжения на нагрузке. В момент t_1 ток протекает от фазы А через VD1, нагрузку, VD5 к фазе В. На нагрузке формируется напряжение $u_н$, равное сумме выпрямленных напряжений катодной и анодной групп, которое на временных диаграммах изображается отрезками чередующихся линейных напряжений u_{ab}, u_{ca}, u_{bc} (рис.8.6). Частота пульсаций в шесть раз выше напряжения сети. Среднее выпрямленное напряжение составляет

$$U_0 = \frac{3U_{mл}}{\pi} = \frac{3 \cdot 220\sqrt{3}}{\pi} \approx 362B.$$

Коэффициент пульсаций $q_n = \dfrac{U_{mог}}{U_0} = \dfrac{6U_m/35\pi}{3U_m/\pi} = 0{,}057$.

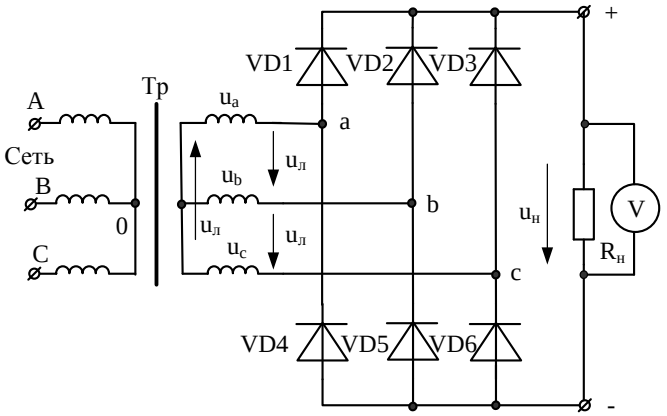

Рис.8.4. Схеме трехфазного выпрямителя

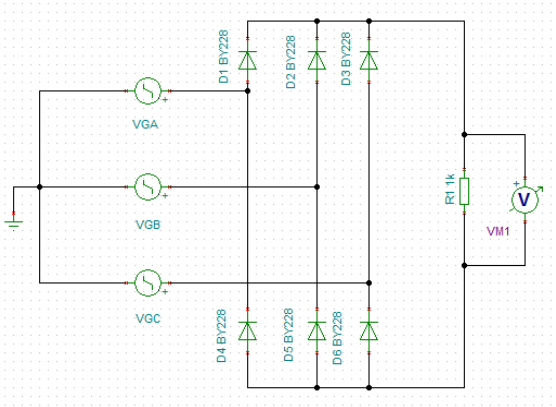

Рис.8.5. Модель трехфазного выпрямителя

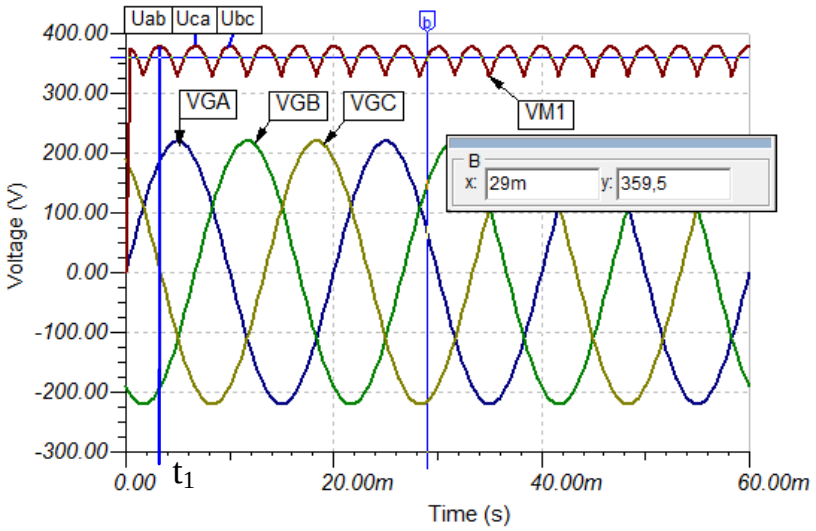

Рис.8.6. Временные диаграммы напряжений в трехфазном выпрямителе

Преимуществами трехфазной мостовой схемы выпрямления являются высокая частота и назначительная амплитуда пульсаций выпрямленного напряжения. Это уменьшает размеры и массу сглаживающего фильтра. Недостаток – необходимость шести вентилей.

8.5. Моделирование выпрямителей с фильтрами

8.5.1. Двухполупериодный мостовой выпрямитель

На рис.8.7 показана модель двухполупериодного мостового выпрямителя с высоковольтными диодами MUR160, имееющими напряжение пробоя 600В. Применен понижающий трансформатор с отношением витков $n_2/n_1 = 0{,}5$. Входное действующее напряжение сети 220В. Амплитуда входного напряжения $U_{m1} = 310B$.

Для сглаживания пульсаций выпрямленного напряжения применяют RC и LC фильтры.

В схеме рис.8.7 применен П-образный сглаживающий LC-фильтр нижних частот (ФНЧ).

В канонической схеме такого ФНЧ приняты обозначения: L, 2C, 2C. Частота среза рассчитывается по формуле:

$$f_c = \frac{1}{\pi\sqrt{LC}}. \qquad (8.21)$$

Для однополупериодного выпрямителя частота среза должна быть в 2-3 раза меньше частоты первой гармоники, а для двухполупериодного – в 2-3 раза меньше частоты второй гармоники.

Выполним расчет емкостей фильтра для двухполупериодного выпрямителя с частотой сети 50Гц ($f_c = 100Гц$) при значении L=2Гн:

$$C = \frac{1}{f_c^2 \pi^2 L} = \frac{1}{100^2 \pi^2 2} = 50мкФ.$$

Следовательно, в ФНЧ надо взять C_1=C_2=100мкФ.

Временные диаграммы показаны на рис.8.8. Амплитуда напряжения на вторичной обмотке $U_{m2} = 154B$. Постоянная составляющая выпрямленного напряжения $U_0 = 144B$. Переходной процесс заканчивается за 150мс.

Часто для питания электронных устройств (например, операционных усилителей) требуется получить выпрямленный напряжения разных полярностей. Для этого можно использовать двухполярный выпрямитель (рис.8.9). Вторичная обмотка трансформатора имеет заземленный отвод от средней точки.

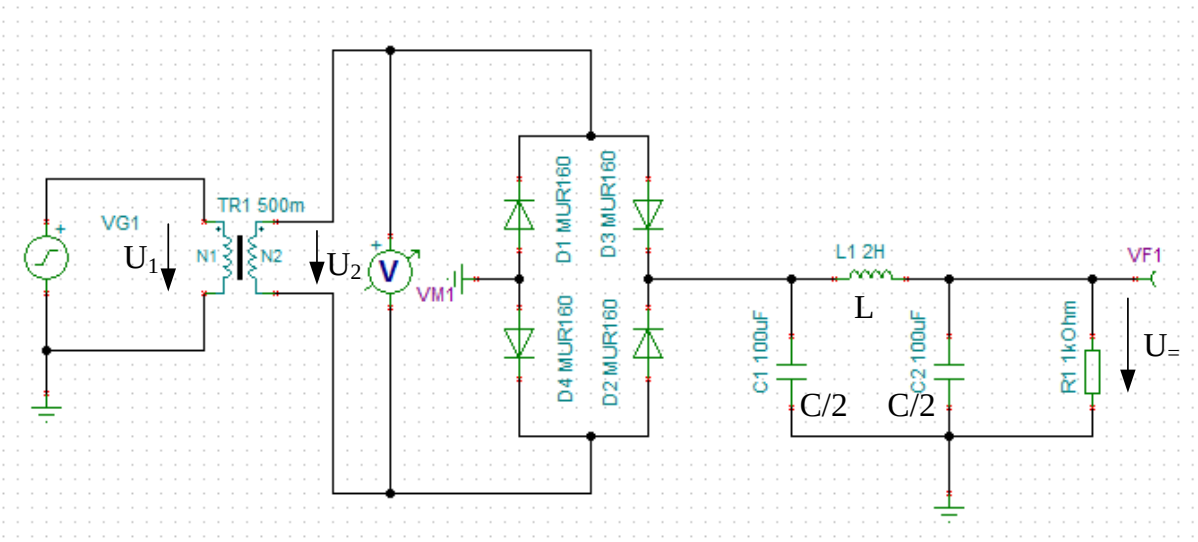

Рис.8.7. Схема двухполупериодного мостового выпрямителя с фильтром

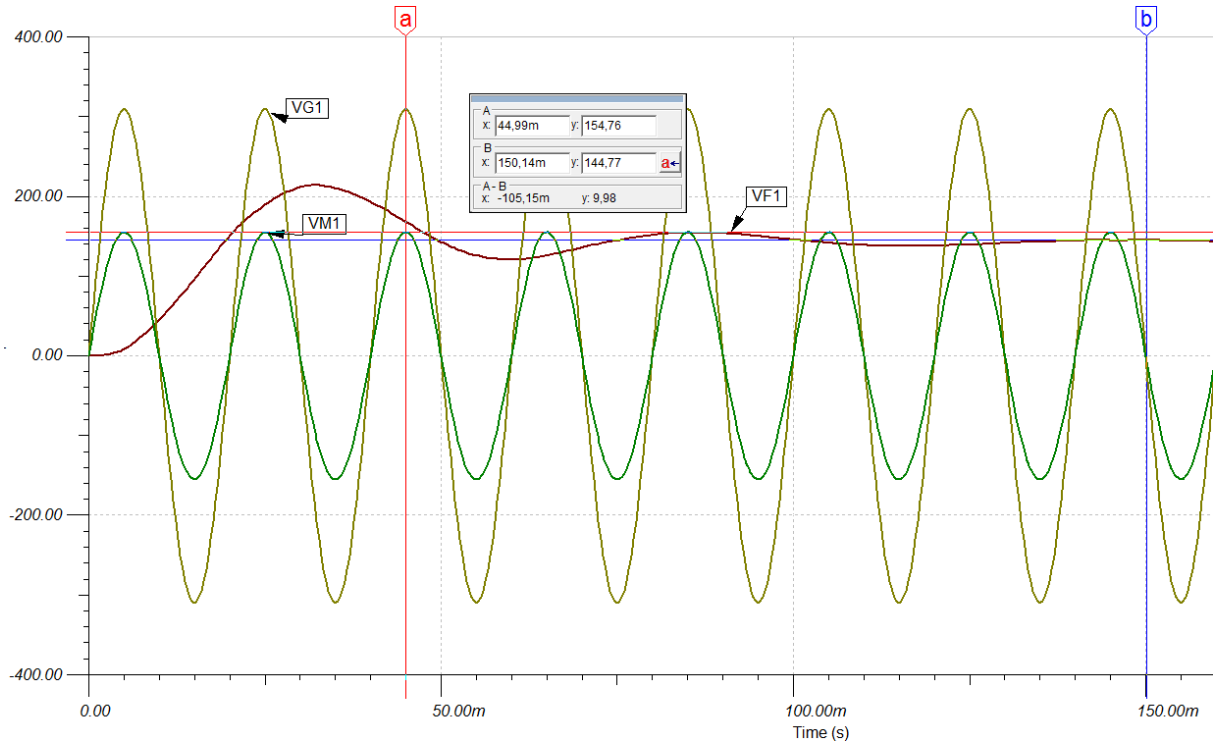

Рис.8.8. Временные диаграммы напряжений мостового выпрямителя с фильтром

8.5.2. Двухполярный мостовой выпрямитель

Двухполярный выпрямитель работает следующим образом. При положительном напряжении на обмотке N2 ток проходит через диод VD2, нагрузку R1 положительного выхода на землю и далее на средний вывод

трансформатора. При положительном напряжении на обмотке N3 ток проходит через диод VD3, фильтр ФНЧ1, нагрузку R1 положительного выхода.

При отрицательном напряжении на обмотке N2 ток проходит от земляного вывода через нагрузку R2 отрицательного выхода, фильтр ФНЧ2, диод VD1 на средний вывод вторичной обмотки трансформатора. При отрицательном напряжении на обмотке N3 ток проходит от заземленного вывода через нагрузку R2 отрицательного выхода, фильтр ФНЧ2, диод VD4 на средний вывод вторичной обмотки трансформатора.

Таким образом в каждом периоде на нагрузке R1 образуются два полупериода тока с положительным выходным напряжением, а на нагрузке R2 – два полупериода тока с отрицательным выходным напряжением.

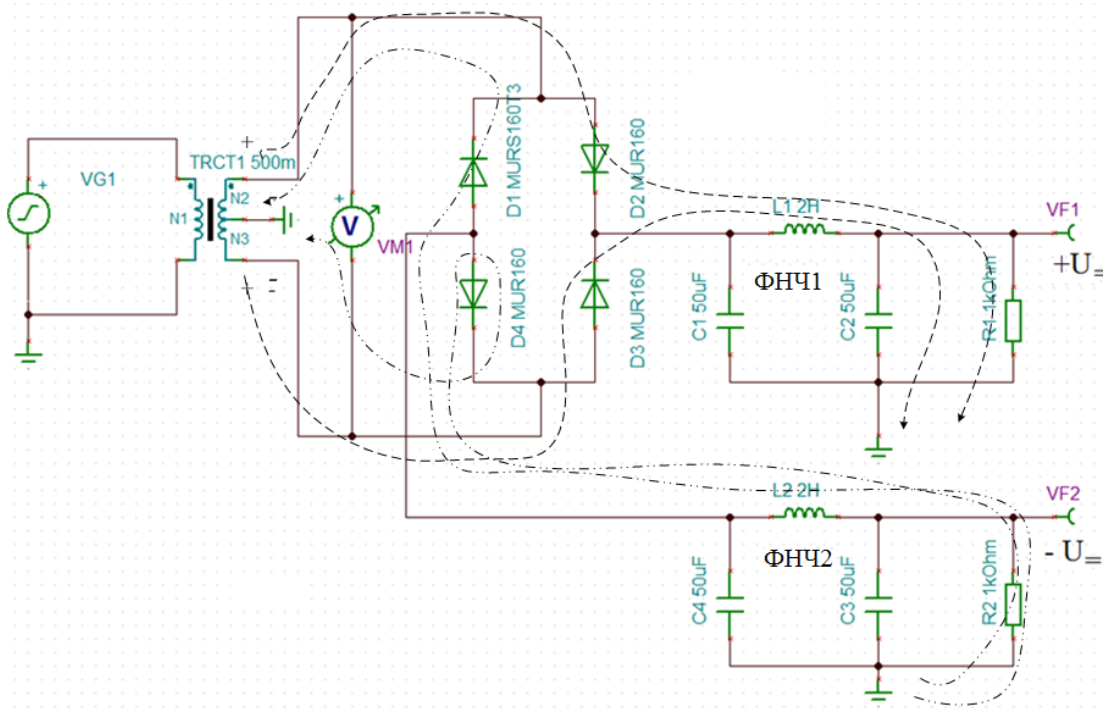

Рис.8.9. Направления токов в двухполярном выпрямителе

На рис.8.10 показаны временные диаграммы напряжений в двухполярном выпрямителе. Так как напряжение каждой полярности формируется половиной обмотки трансформатора, выпрямленные напряжения уменьшились в два раза.

8.5.2. Управляемый выпрямитель с тиристором

Модель выпрямителя на тиристоре с регурировкой мощности была рассмотрена нами в п.2.8. На рис.2.40 и 2.41 показаны схема и диаграммы напряжений и токов.

В регулируемых выпрямителях на управляющие входы тиристоров с устройства управления подают импульсы, сдвинутые по фазе относительно входного синусоидального сигнала (рис.8.11). В схеме с блокировоч-

ным диодом D1 нулевой сдвиг фаз дает максимальное напряжение на выходе, равное 9,27В (рис.8.12а). Сдвиг фаз 90° дает напряжение 5,42В (рис.8.12б). Сдвиг фаз, равный 180° дает нулевое напряжение на выходе.

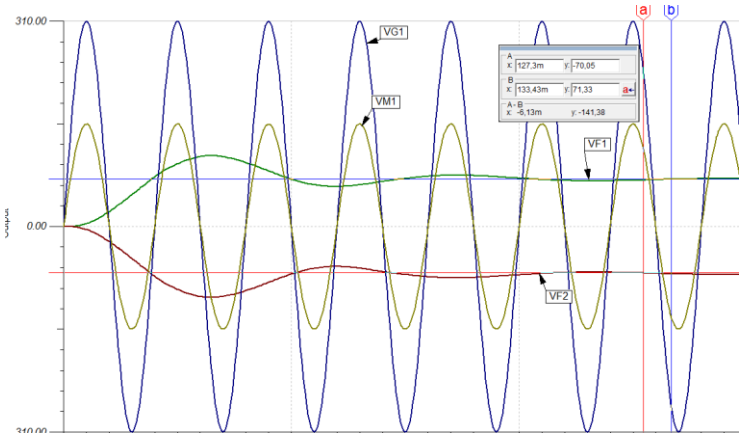

Рис.8.10. Диаграммы напряжений в двухполярном выпрямителе

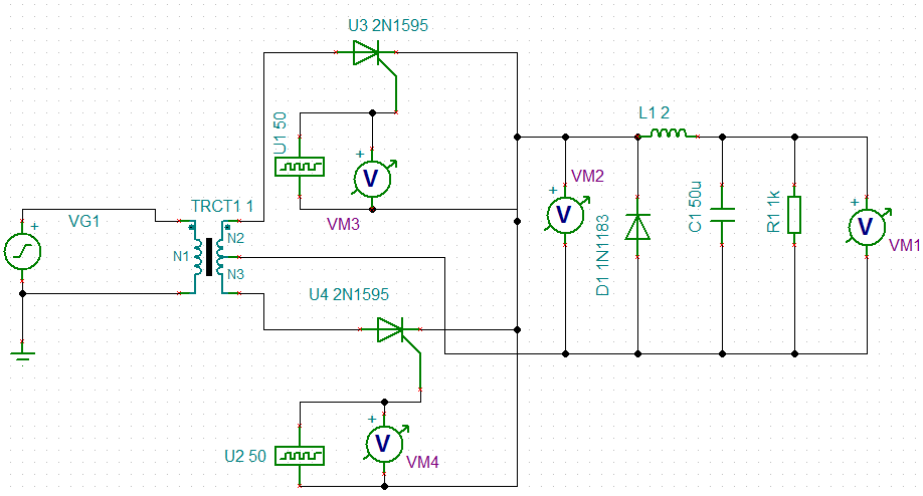

Рис.8.11. Модель управляемого выпрямителя на тиристорах

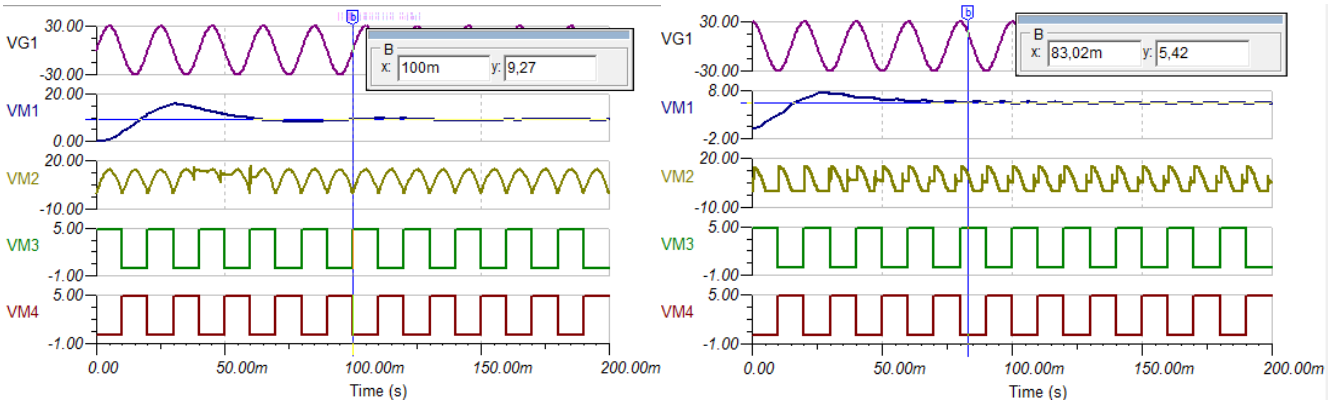

а) б)

Рис.8.12. Временные диаграммы управляемого выпрямителя

В схеме (рис.8.11) тиристоры выключаются, когда напряжение на анодах становится равным нулю. Ток в индуктивности фильтра не прерывается и проходит через блокировочный диод D1 и напряжение на выходе выпрямительного блока не меняет полярности.

8.6. Умножитель напряжения

Выпрямители с умножением напряжения применяют в высоковольтных выпрямителях, выдающих в нагрузку небольшой ток (до 10мА). Такие выпрямители называют умножителями напряжения. Их применяли для питания кинескопов телевизионных приемников.

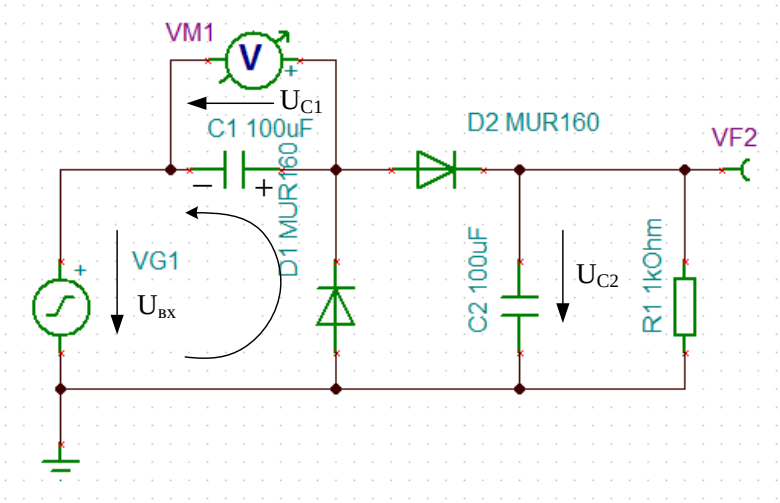

Рис.8.13. Схема модели умножителя напряжения

На рис.8.13 показана схема модели удвоителя напряжения. Диаграммы гапряжений показаны на рис.8.14. Схема работает следующим образом. Первый положительный импульс входного напряжения генератора VG1 с амплитудой U_m проходит через емкость C_1, диод D_2, емкость C_2, нагрузку R_1. Входное напряжение U_m делится примерно поровну между емкостями. В момент t_1, когда становися $U_{вх} < (-U_{C1} + U_{C2})$, диод D_2 закрывается и емкость C_2 медленно разряжается через нагрузку R_1.

При отрицальном импульсе входного напряжения открывается диод D_1 и емкость C_1 заряжается до напряжения U_m. В момент t_2 сумма напряжений $U_{C1} + U_{вх}$ становится больше U_{C2} , диод D_2 открывается и подзаряжает емкость C2. В пределе напряжение U_{C1} на емкости C_1 устанавливается равным амплитуде входного сигнала U_m, а напряжение на емкости C_2 формируется под действием суммы $U_{C1} + U_{вх}$ и равняется удвоенной амплитуде входного напряжения. Таким образом происходит умножение напряжения в два раза.

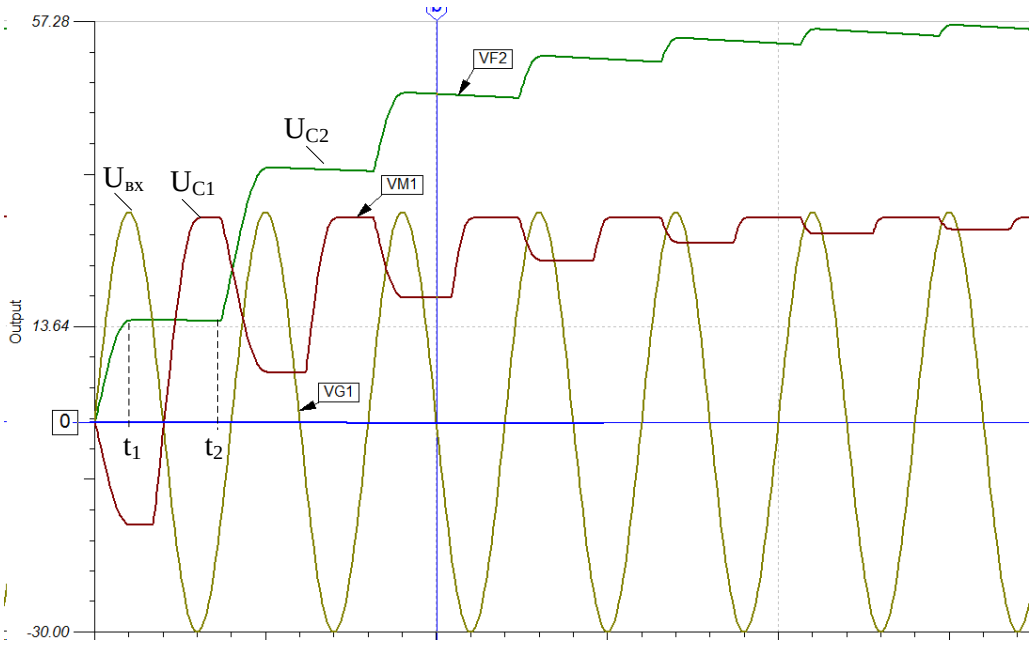

Рис.8.14. Диаграммы напряжений умножителя

Емкость конденсаторов в схемах умножения зависит от тока нагрузки $I_н$, частоты питающего напряжения f_c и допустимой амплитуды пульсаций $\Delta U_п$:

$$C = \gamma \frac{I_н}{f_c \Delta U_п}, \qquad (8.22)$$

где γ - коэффициент, зависящий от схемы и числа звеньев.

Для схемы (рис.8.15) $\gamma = (n_з^2 + n_з)/2 = 8{,}5$.

Подставим в (8.21) $I_н = 10мА, \Delta U_п = 5В, f_c = 5кГц, \gamma = 8{,}5$, получим С=3,3 мкФ.

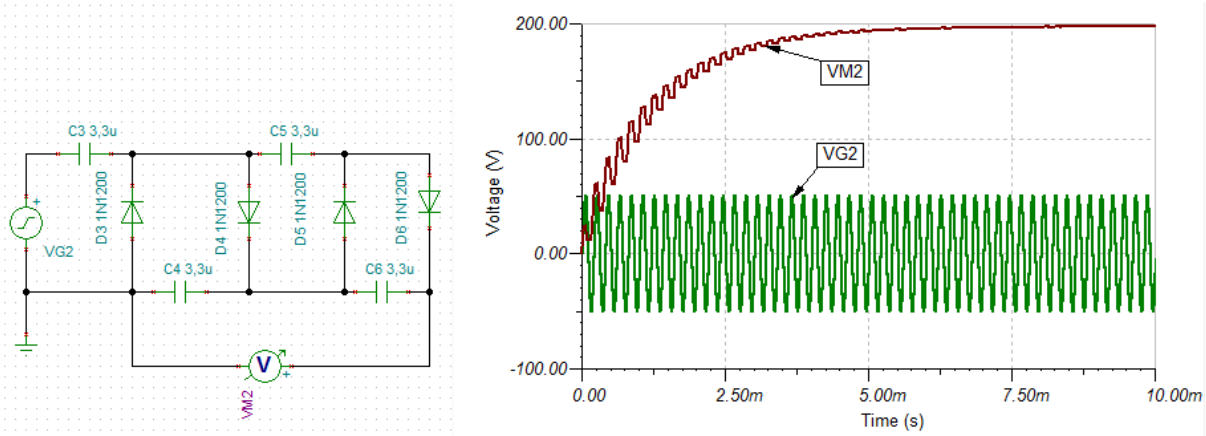

С

Рис.8.15. Умножитель напряжения в 4 раза

8.7. Стабилизаторы напряжения

Стабилизаторами называют устройства, поддерживающие с определенной точностью напряжение на нагрузке при изменении напряжения первичного питания, изменении нагрузки, температуры окружающей среды и т.п.

Стабилизаторы бывают *параметрические*, основанные на использовании параметров полупроводниковых стабилитронов, стабисторов, транзисторов и др. и *компенсационные* , выполненные как замкнутые системы автоматического регулирования напряжения на нагрузке.

Компенсационные стабилизаторы содержат регулирующий элемент (обычно транзистор), который, включают последовательно с нагрузкой (сериесный регулятор) или параллельно с нагрузкой (шунтовой резулятор).

Регулирующий элемент может работать в непрерывном или ключевом режиме. Ключевой режим используют в импульсных стабилизаторах.

Основными параметрами стабилизаторов напряжения являются: номинальное выходное напряжение $U_{вых}$; диапазон изменения входного напряжения $U_{вх\,\boldsymbol{max}}$ и $U_{вх\,\boldsymbol{min}}$; диапазон изменения тока нагрузки $I_{н\,\boldsymbol{max}}$ и $I_{н\,\boldsymbol{min}}$; коэффициент полезного действия η; коэффициент нестабильности по напряжению $K_{нU}$; коэффициент нестабильности по току $K_{нI}$; коэффициент сглаживания пульсаций $K_{сг}$.

Важнымм параметрами является коэффициент стабилизации по входному напряжения:

$$K_{ст} = \frac{\Delta U_{вх} / U_{вх}}{\Delta U_{вых} / U_{вых}} \Big| I_н = const; \qquad (8.23)$$

и внутреннее сопротивление стабилизатора:

$$R_{вых} = \Delta U_{вых} / \Delta I_н . \qquad (8.24)$$

8.7.1. Параметрический стабилизатор на стабилитроне

Схема модели параметрического стабилизатора на стабилитроне показана на рис.8.16. Для измерения коэффициента стабилизации по входному напряженню в генераторе VG1 установим синусоидальный сигнал с постоянной составляющей $U_{вх0} = 10B$ и амплитудой переменной составляющей $U_{твх} = 1B$.

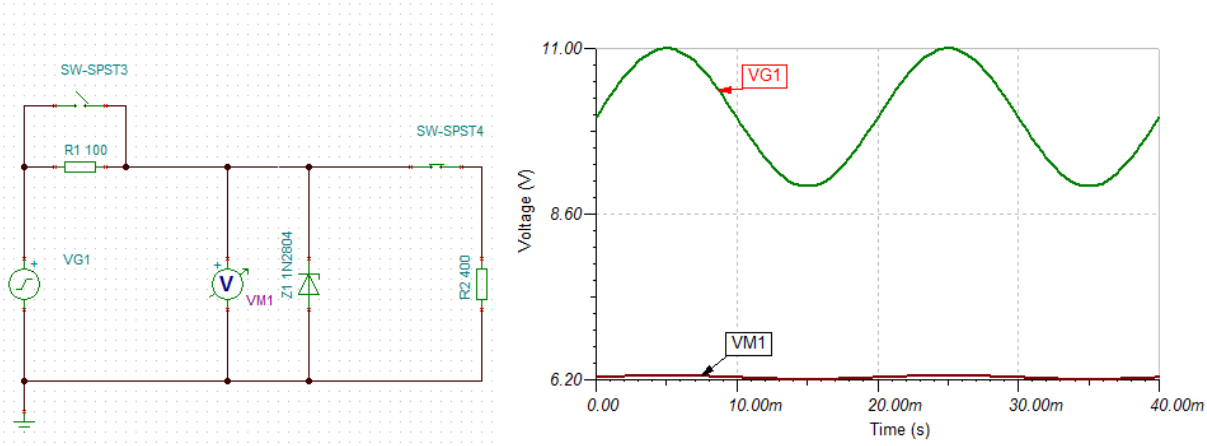

Рис.8.16. Схема стабилизатора на стабилитроне и входное напряжение

Выходное напряжение (рис.8.17) имеет среднее значение $U_{вых} = 6,23B$ и амплитуду отклонения 0,04В.

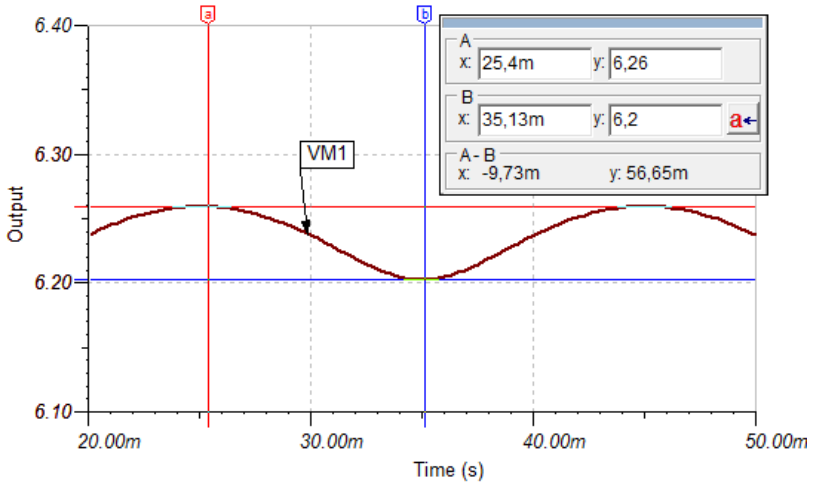

Рис.8.17. Выходное напряжение стабилизатора

Вычислим коэффициент стабилизации по входному напряжению:

$$K_{ст} = \frac{\Delta U_{вх} / U_{вх0}}{\Delta U_{вых} / U_{вых0}} = \frac{1/10}{0,028/6,23} = 22,2.$$

8.7.2. Параметрический стабилизатор с эмиттерным повторителем

В схеме (рис.8.18) нагрузка включена в эмиттерный повторитель с малым выходным сопротивлением. Напряжение на нагрузке $U_{ВЫХ} = U_{СТАБ} - U_{БЭ} = 5,325B$.

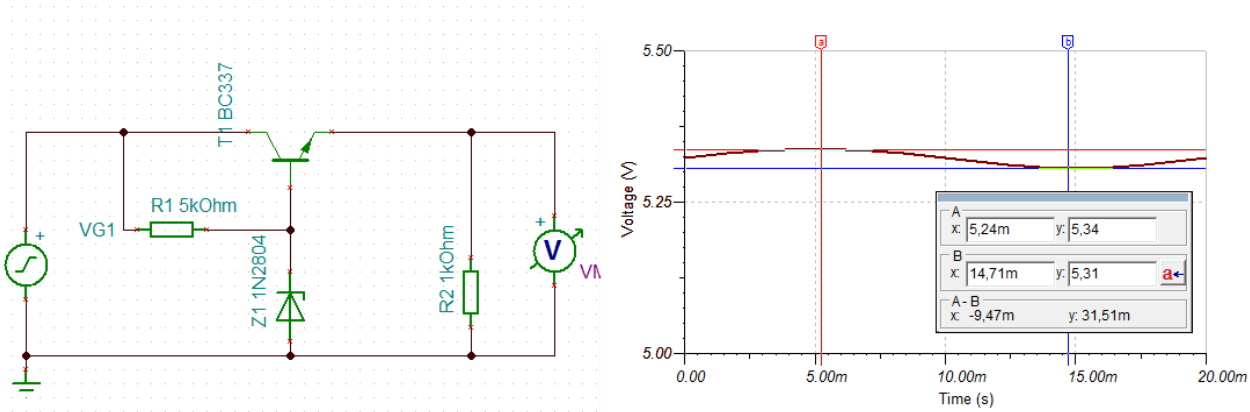

Рис.8.18. Стабилизатор с эмиттерным повторителем

Рассчитываем коэффициент стабилизации по входному напряжению:

$$K_{ст} = \frac{\Delta U_{вх} / U_{вх0}}{\Delta U_{вых} / U_{вых0}} = \frac{1/10}{0{,}015/5{,}33} = 35{,}6.$$

8.7.3. Компенсационный стабилизатор

Компенсационный стабилизатор является замкнутой системой автоматического регулирования, в которой коэффициент передачи звена, включенного в цепь передачи электрической величины, зависит от разности выходного т некоторого эталонного сигнала. Это устройство, содержащее цепь отрицательной обратной связи (ООС).

В зависимости от стабилизируемой величины различают стабтлизаторы напряжения, тока и мощности.

В зависимости от места включения регулирующего элемента стабилизаторы разделяют на последовательные, параллельные и последовательно-параллельные.

По способу управления стабилизаторы делятся на непрерывные и импульсные.

Здесь мы рассмотрим компенсационный стабилизатор непрерывного действия, в котором регулирующим элементом является транзистор.

Модель компенсационного стабилизатора показана на рис.8.19.

Выходное напряжение стабилизатора равно разности входного напряжения и падения напряжения между выводами коллектор-эмиттер регулирующего транзистора Т1:

$$U_{вых} = U_{вх} - U_{кэТ1}. \qquad (8.25)$$

Для напряжения $U_{кэТ1}$ справеливо выражение:

$$U_{кэТ1} = U_{кбТ1} + U_{бэТ1} \approx U_{кбТ1} + const. \qquad (8.26)$$

Напряжение $U_{кбT1}$ определяется падением напряжения на резисторе R_5:

$$U_{кбT1} = I_1 R_5 = U_{вх} - U_{кT2}. \qquad (8.27)$$

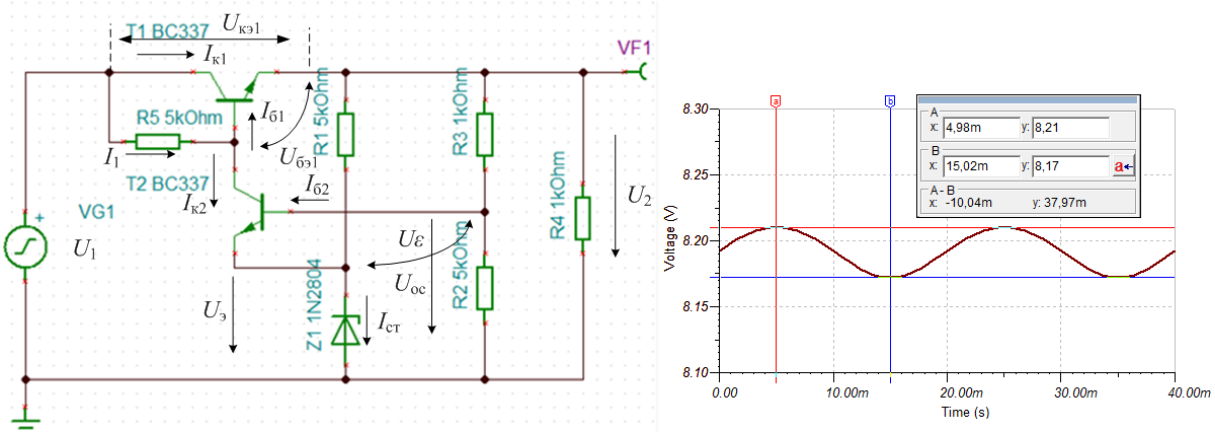

Рис.8.19. Модель компенсационного непрерывного стабилизатора

На базу транзистора T2 с делителя R_3R_2 поступает часть выходного напряжения, которая является напряжением обратной связи $U_{ос}$. На эмиттер поступает эталонное напряжение $U_{эт}$ со стабилитрона. Разность этих напряжений формирует напряжение сигнала ошибки U_ε.

При возрастании U_1 вначале возрастает U_2 и напряжение $U_{ос}$.

Так как напряжение $U_{эт} = const$ напряжение ошибки U_ε увеличивается и $U_{бэT2}$ возрастает. Транзистор T2 приоткрывается, ток $I_{к2}$ увеличивается.

По первому закону Кирхгофа $I_{б1} = I_1 - I_{к2}$ уменьшается и транзистор T1 призакрывается. Падение напряжения $\Delta U_{кэ1}$ увеличивается и напряжение U_2 уменьшается.

В результате происходит непрерывная автоматическая стабилизация напряжения за счет отрицательной обратной связи.

Для нормальной работы схемы требуется, чтобы с номинальном режиме напряжение обратной связи $U_{ос}$ было больше эталонного $U_{эт}$. Кроме того, надо учитывать, что на регулирующнм транзисторе падает напряжение 8-10В. Поэтому входное напряжение должно превышать выходное на эту величину.

Для экспериментального определения коэффициента стабилизации по входному напряжению установим в генераторе VG1 модели постоянное

напряжение 20В и амплитуду 2В. Амплитуда пульсаций выходного напряжения на рис. 8.19 составляет 19мВ. Тогда:

$$K_{ст} = \frac{\Delta U_{вх} / U_{вх0}}{\Delta U_{вых} / U_{вых0}} = \frac{2/20}{0{,}019/8{,}19} = 43{,}10$$

Мы видим, что компенсационный стабилизатор имеет наиболее высокий коэффициент стабилизации из рассмотренных нами.

8.8. Импульсные преобразователи напряжения

Импульсные преобразователи напряжения (название на английском «Swithed mode power supply (SMPS)») являются конверторами постоянного напряжения в постоянное (DC-DC) с нерегулируемым входным постоянным напряжением и регулируемым выходном постоянным напряжением. Цепи конверторов содержат индуктивности, емкости, диоды и транзисторы. Транзистры переключаются из состояния ON (насыщение) в состояние OFF (выключено) с частотой в диапазоне от 10кГц до 100кГц. Регулировка выходного напряжения достигается управлением отношения времени, в котором транзистор находится в состоянии ON. Такое управление называют широтно-импульсной моделяцией (ШИМ) или «pulse-width modulation-PWM». Эффективность импульсных преобразователей значительно выше, чем у линейных источников питания, и они находят широкое применение в электронной аппаратуре.

Преобразователи DC-DC делят на понижающие и повышающие.

8.8.1. Понижающий преобразователь DC-DC

Структурная схема понижающего преобразователя DC-DC показана на рис.8.20.

Понижающий преобразователи работает следующим образом. Если VT открыт, ток в индуктивности линейно нарастает, проходит через нагрузку и заряжает конденсатор. При этом:

$$E_{п} = U_L + U_н + (U_{кэ}).$$

В ключевом режиме у открытого транзистора $U_{кэ}$ мало и

$$U_L \approx E_{п} - U_н > 0,\ u_L = L\frac{di}{dt} > 0.$$

Следовательно, $u_L = L\dfrac{di}{dt} > 0$ и ток в индуктивности нарастает (рис.8.21).

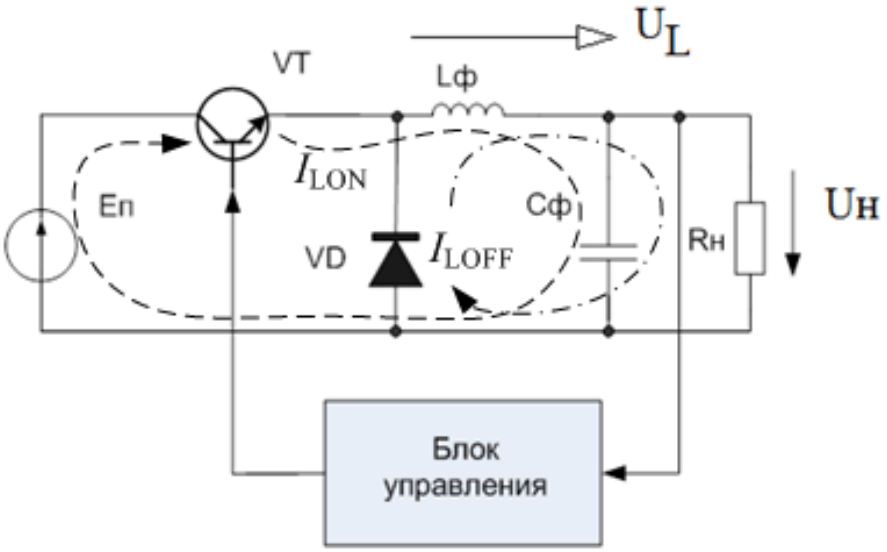

Рис.8.20. Структурная схема понижающего преобразователя DC-DC

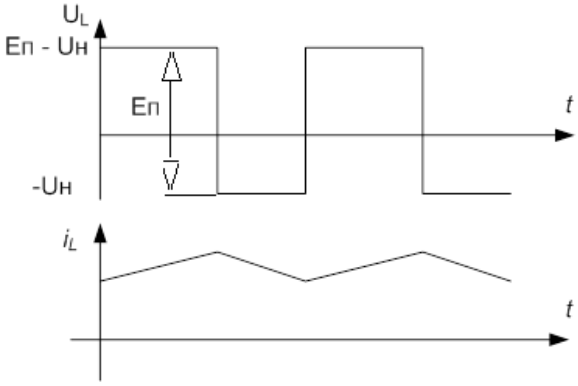

Рис.8.21. Диаграммы напряжения и тока в индуктивности понижающего преобразователя

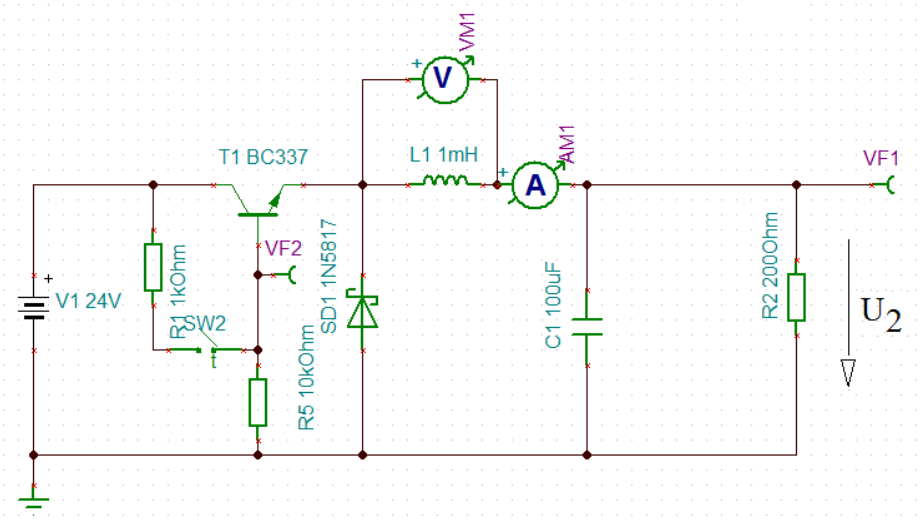

Рис.8.22. Модель понижающего DC-DC проеобразователя

Если VT закрыт, ток индуктивности продолжается, убывает, проходит через нагрузку и диод VD:

$$U_L + U_н = 0,\ U_L = -U_н = -U_{Сф} < 0.$$

Ток в индуктивности убывает.

Блок управления регулирует соотношение открытого и закрытого состояния.

На рис.8.22 показана модели понижающего DC-DC преобразователя.

Установкой ключа SW2 мы будем регулировать отношение времени включенного и выключенного состояния транзистора (рис.8.23). Замкнутое состояние SW2 соответствует включение транзистора.

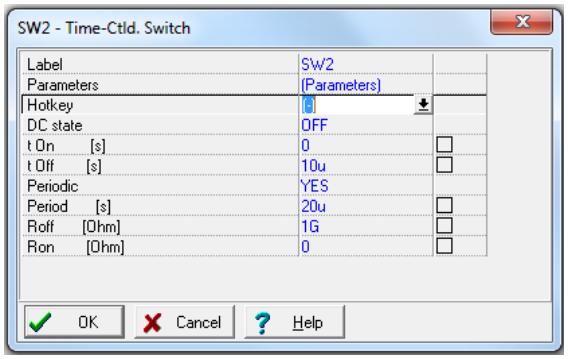

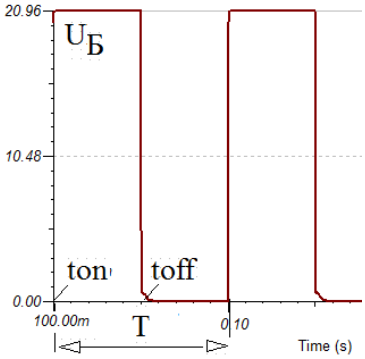

Рис.8.23. Установка коммутирующего ключа SW2

Период коммутации равен 20мкс, частота коммутации 5кГц.

На рис.8.24 показаны временные диаграммы тока в индуктивности и выходные напряжения перобразователя при разном времени включения.

Эксперименты показывают, что увеличение времени включения транзистора t_{ON} от 5мкс до 15мкс увеличивает выходное напряжение с 5,81В до 15,08В.

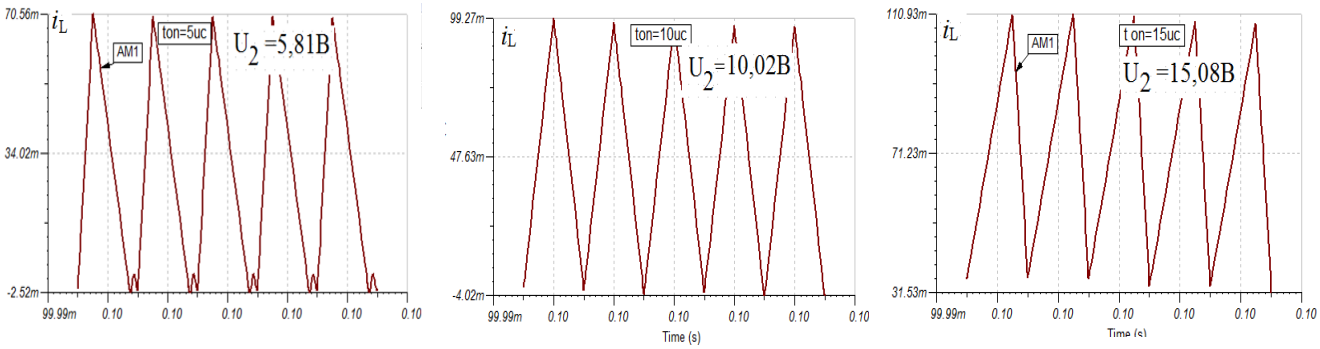

Рис.8.24. Временные диаграммы тока в индуктивности понижающего преобразователя

В модели реализован оптимальный *режим непрерывного тока* в дросселе, т.е. ток в индуктивности непрерывно нарастает или убывает. Для создания такого режима требуется подбор параметров схемы.

Обозначим $\gamma = \frac{t_и}{T}$. Значение индуктивности рассчитывают по формуле:

$$L \geq TR_н \frac{(1-\gamma)}{2} = 20 \cdot 10^{-6} 200 \frac{1-0,5}{2} = 10 \cdot 10^{-6} \cdot 100 = 10^{-3} = 1 мГн \quad (8.28)$$

Напряжение на нагрузке составит $U_н \approx \gamma E_п$.

8.8.2. Повышающий преобразователь DC-DC

Структурная схема повышающего преобразователя DC-DC показана на рис.8.25.

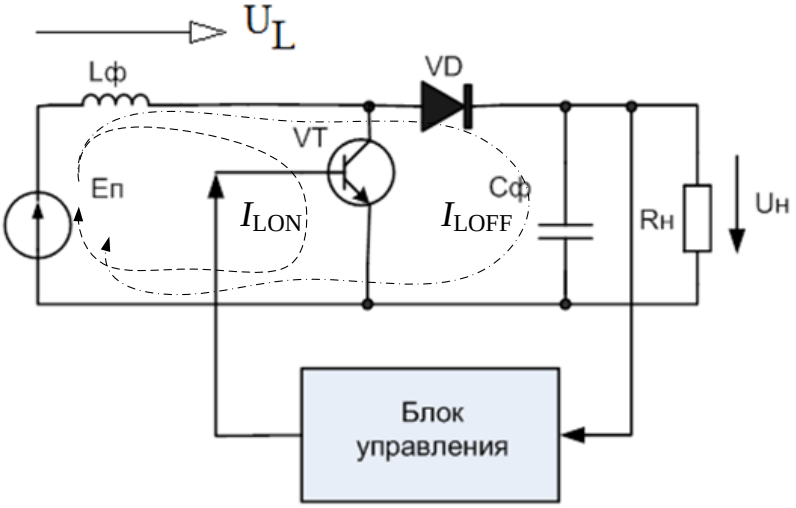

Рис.8.25. Структурная схема повышающего преобразователя DC-DC

Схема работает следующим образом. При открытом ключе: $U_L = E_п > 0, u_L = L\frac{di}{dt} > 0$. Ток в индуктивности нарастает.

При закрытом ключе напряжение на катушке *меняет знак* и складывается с Еп. Энергия дросселя L через диод поступает в нагрузку и подзаряжает конденсатор до напряжения, большего Еп.

$E_п = U_L + U_н$; $U_L = E_п - U_н =< 0$; $U_н = E_п - U_L > E_п$, так как $U_L < 0$.

Временные диаграммы напряжения и тока в индуктивновти повышающего преобразователя показаны на рис.8.26.

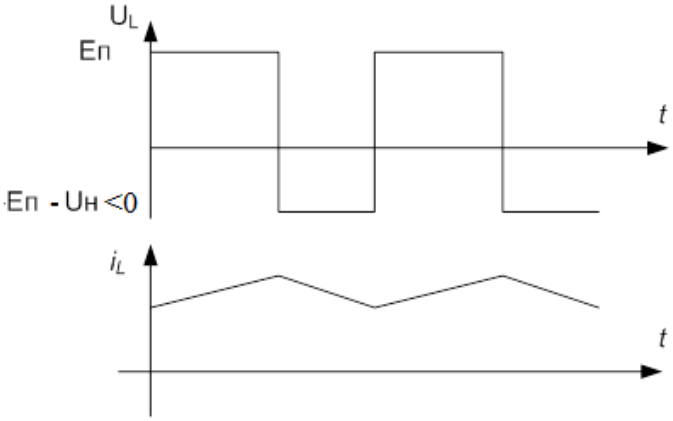

Рис.8.26. Временные диаграммы напряжения и тока в повыщающем преобразователе DC-DC

Схема модели повышающего преобразователя показана на рис.8.27. Частота коммутации ключа 5кГц.

Временные диаграммы тока в индуктивности повышающего преобразователя показаны на рис.8.28.

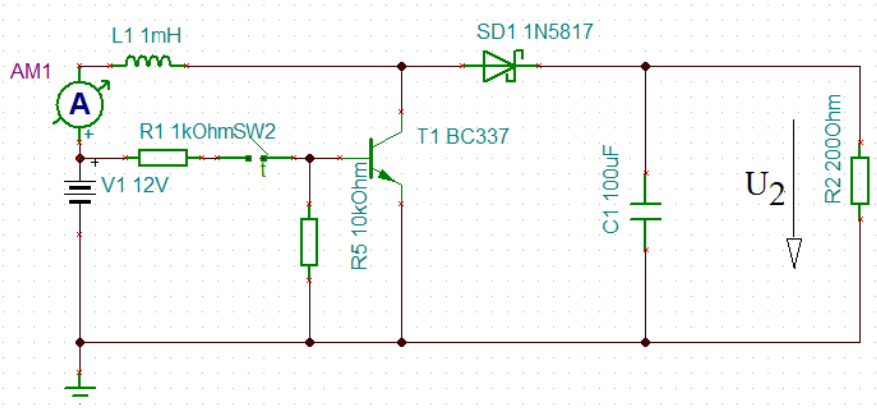

Рис.8.27. Схема модели повышающего преобразователя

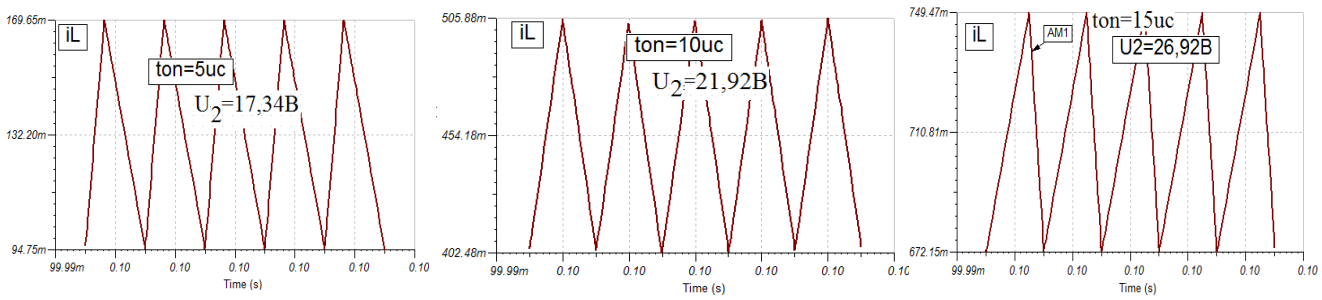

Рис.8.28. Временные диаграммы тока в индуктивности повышающего преобразователя

Экмпериментыпоказывают, что при входном напряжении 12В выходное напряжение увеличивается от 17,34В до 26,92В при изменении длительности включенного состояния от 5мкс до 15мкс.

8.8.3. Микросхемы преобразователей DC-DC

Стабилизация выходного напряжения выполняется включением цепи отрицательной обратной связи и автоматического управления широтно-импульсной модуляцией. Для этого применяют специальные микросхемы и микроконтроллеры. Многие фирмы выпускают микросхемы перобразователей DC-DC. Широкой популярностью пользуются преобразователи компании MAXIM. На рис.8.29 показан понижающий широтно-импульсный ключевой DC-DC регулятор MAX724 ((5A/2A Step Down, PWM (pulse width modulation), Switch mode DC-DC Regulators).

Преобразователь содержит: генератор с частотой 100кГц, компаратор с ограничением по току, ключевые транзисторы, внешнюю обратную связь, эталонный источник напряжения 2.21В, усилитель сигнала ошибки, широтно-импульсный управляемый модулятор.

На рис.8.30 показана схема понижающего преобразователя с выходным напряжением 5В и током 5А. Входное напряжение может меняться от 8В до 40В.

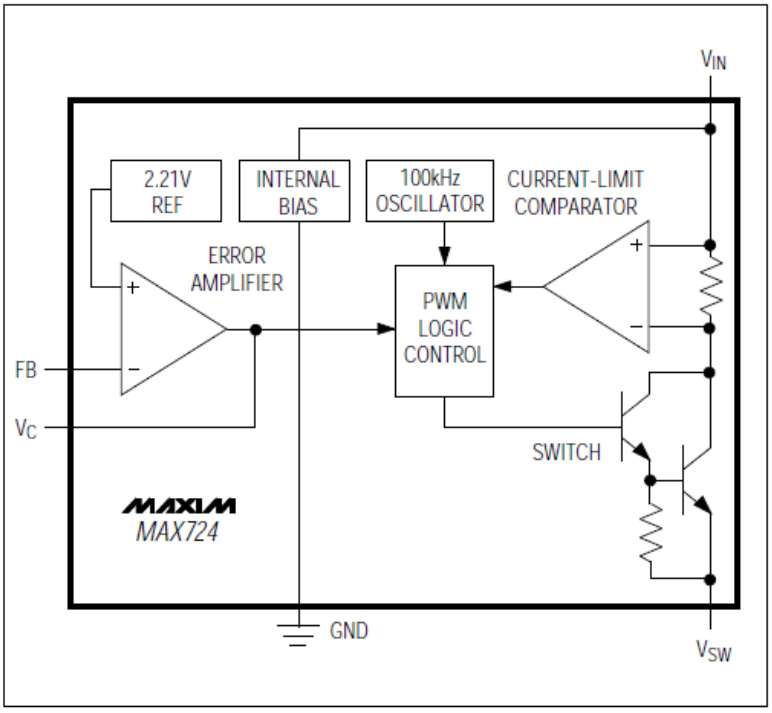

Figure 1. MAX724 Block Diagram

Рис.8.29. Блок-схема регулятора MAX724

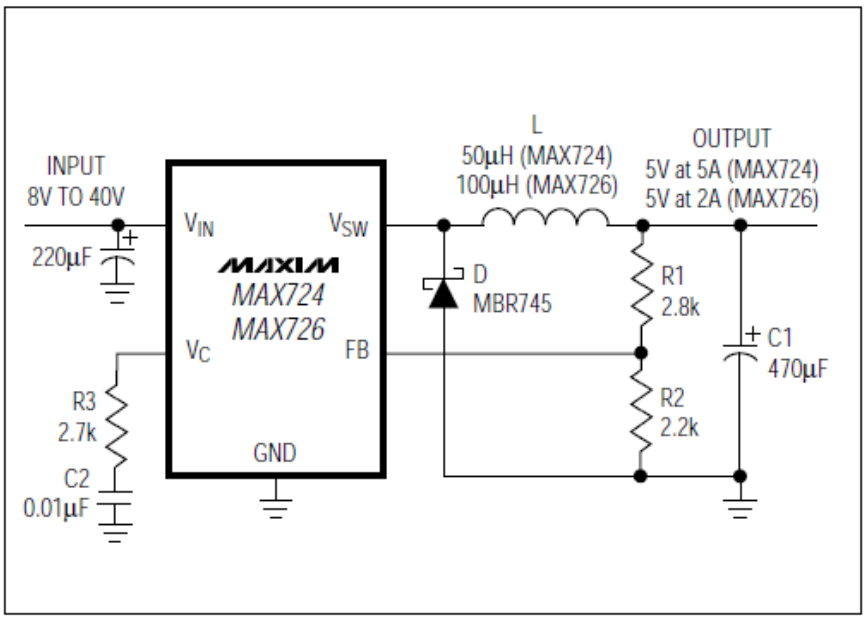

Figure 2. Basic Step-Down Converter

Рис.8.30. Схема понижающего преобразователя с выходным напряжением 5В и током 5А

8.9. Импульсные источники питания AC-DC

Импульсные источники электропитания для питания электронной аппаратуры получили широкое распространение благодаря высокому коэффициенту полезного действия, малым габаритам и высокой удельной мощности. Это достигается путем применения ключевого режима работы транзисторов, при котором большую часть времени рабочая точка транзистора находится либо в области насыщения, либо в области отсечки, а зону активного линейного режима проходит с высокой скоростью за очень малое время переключения.

В импульсных источниках питания исключается силовой трансформатор, работающий на чатоте 50Гц. Вместо него используют высокочастотный трансформатор или дроссель, масса и габариты которого значительно меньше.

К недостаткам импульсных источноков электропитания относят сложность схемы, наличие высокочастотных помех, увеличение пульсаций выходного напряжения.

На рис.8.31 приведена схема однотактного обратноходового преобразователя без обмотки размагничивания высокочастотного трансформатора ТР. Сетевое напряжение через сетевой фильтр поступает на выпрямительный мост и создает на конденсаторе С постоянное напряжение +Еп (300-400В). С выхода преобразователя снимается стабилизированное напряжение $U_{вых}$. Для стабилизации напряжения используется обратная

связь с выхода на базу ключевого транзистора VT. При увеличении выходного напряжения уменьшается коэффициент заполнения импульсов γ и схема обеспечивает широтно-импульсное регулирование работы инвертора.

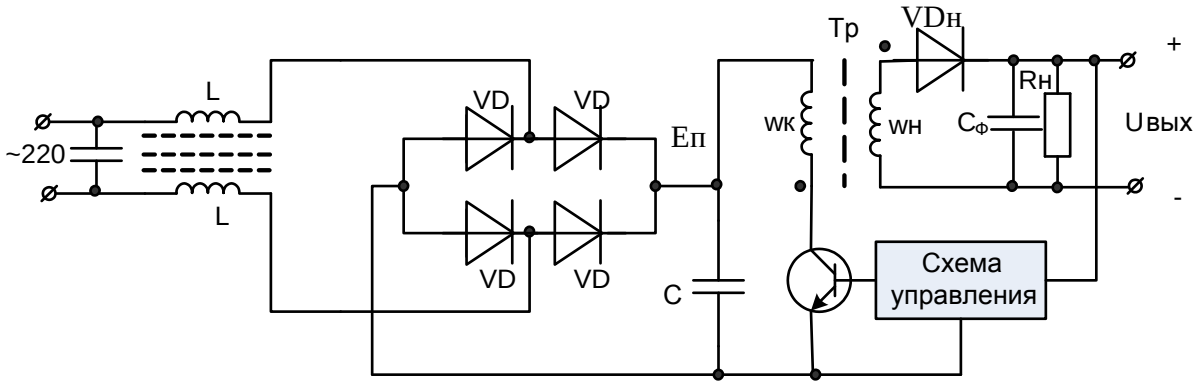

Рис.8.31. Структурная схема импульсного источника питания AC-DC

В схеме однотактного обратноходового преобразователя во время включенного состояние ключевого транзистора VT ненасыщающийся трансформатор ТР выполняет функции индуктивного накопителя энергии так как нагрузка отключена запертым диодом $VD_н$, к аноду которого подводится обратное напряжение с обмотки $w_н$.

Во время паузы при запертом транзисторе VT накопленная энергия через обмотку $w_н$ и диод $VD_н$ передается в нагрузку $R_н$ и заряжает конденсатор $C_ф$.

В интервале накопления энергии диод $VD_н$ закрыт и конденсатор $C_ф$ частично разряжается на нагрузку. Изменением коэффициента заполнения можно регулировать среднее значение выходного напряжения:

$$U_{вых} = E_n \gamma (1-\gamma). \qquad (8.29)$$

Как видно из формулы, выходное напряжение не зависит от тока нагрузки и частоты преоброзования, а определяется только напряжением питания и коэффициентом заполение γ. Для гальванической развязки выходной цепи и сетевого напряжения в цепи обратной связи применяют оптроны.

Применяют более сложные схемы импульсных преобразователей, в которых дополнительные обмотки размагничивания трансформатора, однотактные полумостовые схемы конвертора и пр.

Для импульсных перобразователей AC-DC разработан широкий ассортимент управляющих микросхем. На рис.8.32 приведена схема преобразователя на микросхеме TOP224Y.

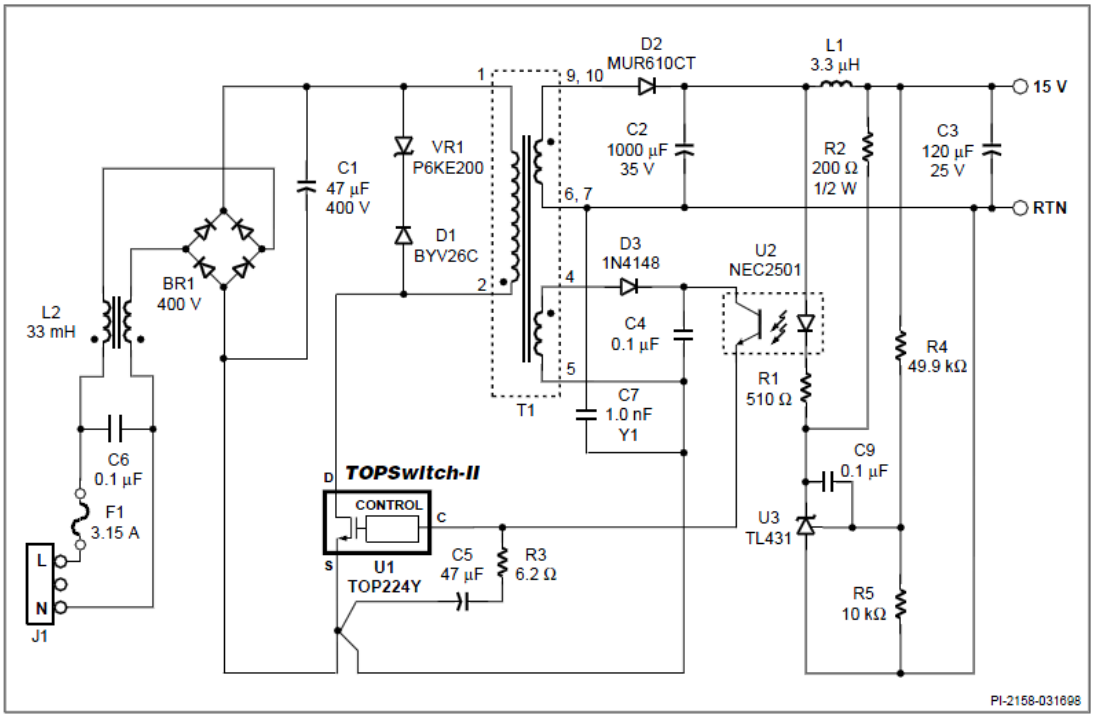

Figure 1. Typical Flyback Power Supply Using TOP224.

Рис.8.32. Принципиальная схема преобразователя AC-DC на микросхеме TOP224Y

Эта микросхема содержит ключевой транзистор с широтно-импульсной модуляцией. Преобразлватель имеет оптронную гальваническую развязку на оптроне NEC2501, защиту от перегрузок во входной и выходной цепи.

Глава 9. Цифровая схемотехника

9.1. Основные параметры импульсных сигналов

В отличии от аналоговых устройств, в которых информационные сигналы передаются в форме непрерывно меняющихся напряжений или токов, в цифровых устройствах носителем тнформации является цифровой двоичный код. Этот код состоит из множества двоичных разрядов, каждый из которых принимает только два фиксированныхзначения – «0» и «1». Этим двоичным цифрам соответствуют два состояния электронной схемы: состояние «высокого уровня»-«Н» (обычно 2,5-5В) и состояние «низкого уровня»-«L» (обычно 0-2,5В).

Для передачи, преобразования и обработки дискретных импульсных сигналов и выполнения логических операций применяют цифровые интегральные микросхемы (ИМС).

В цифровых ИМС используют сигналы, близкие к прямоугольным. На рис.9.1 показаны основные параметры импульсного сигнала, применяемого в цифровых схемах.

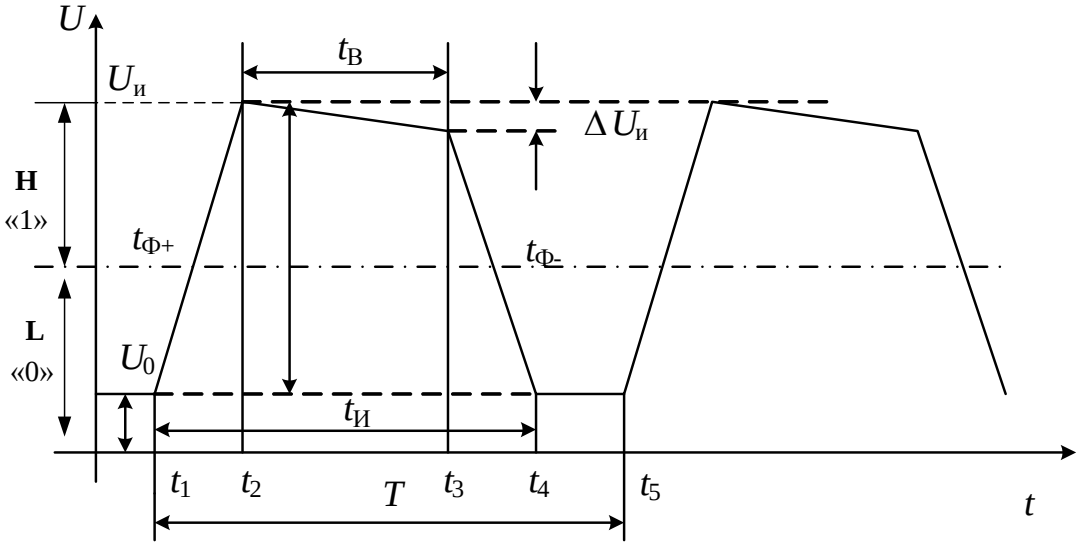

Рис.9.1. Рис.9.1. Параметры импульсов в цифровых схемах

Амплитудными параметрами импульсов являются:

U_0 - начальное значение сигнала (низкий уровень);

U_u - амплитуда импульса;

ΔU_u - спад вершины.

Временные параметры:

$t_u = t_4 - t_1$ - длительность импульса;

$t_в = t_3 - t_2$ - длительность вершины импульса;

$t_{\Phi}^{+} = t_2 - t_1$ - длительность переднего фронта;

$t_{\Phi}^{-} = t_4 - t_3$ = длительность заднего фронта;

$T = t_5 - t_1$ - период следования импульсов;

$\frac{1}{T} = f$ - частота следования импульсов;

$Q = \frac{T}{t_и}$ - скважность импульсов;

$\eta = \frac{1}{Q} = \frac{t_и}{T}$ -коэффициент заполнения импульсов.

Если напряжение импульса превышает пороговый уровень 2,5В, считают, что импульс имеет *высокий уровень* H и равен логической «1».

Если напряжение импульса меньше порогового уровня 2,5В, считают, что импульс имеет низкий уровень L и равен логическому «0».

Для передачи, обработки и храненения данных применяют различные системы кодирования. Численные данные обычно передают в позиционной двоичной системе счисления. Основанием этой системы служит число 2, а коэффициентами (множителями, стоящими перед числом два в степени (справа налево): нуль, один, два, три) могут быть только две цифры-нуль (0) и единица (1). Например, для передачи числа 12 надо записать четырехразрядный код:

$$1100 \rightarrow 1 \cdot 2^3 + 1 \cdot 2^2 + 0 \cdot 2^1 + 0 \cdot 2^0;$$

$$1 \cdot 8 + 1 \cdot 4 + 0 \cdot 2 + 0 \cdot 1 = 12.$$

В вычислительной технике каждый разряд кода называют битом. Младший «нулевой» бит расположен справа. Старший (у нас третий бит) расположен слева. Скорость передачи данных оценивеют в килобитах в секунду (Кбит/с), в мегабитах в секунду (Мбит/с).

В любой системе кодирования должно выполняться неравенство: $N < S^n$, где N -количество кодируемых объектов; S -основание кода; n - количество разрядов в коде. Так для хранения информации в виде текстов, формул и чисел необходимо закодировать в помощью бит около 150 различных символов. Для этого необходим восьмиразрядный код $(150 < 2^8 = 256)$. Восьмиразрядный код называют байтом. Объемы памяти в компьютерах оценивают в килобайтах (Кбайт), мегабайтах (Мбайт), гигабайтах (Гбайт).

9.2. Функции алгебры логики

Цифровое устройство преобразует входную информацию, представленную в двоичного кода (нулей и единиц) в значение выходной функции $y(x_1, x_1, ..., x_n)$ (рис.9.2). В цифровых комбинационных устройствах выходные сигналы однозначно определяются только действующей в настоящий момент комбинацией входных переменных и не зависят от значений переменных, действовавших на входе ранее.

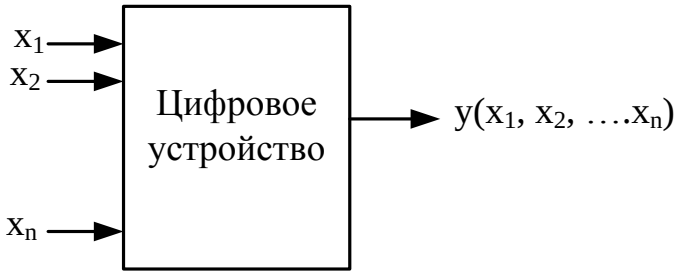

Рис.9.2. Цифровое устройство комбинационного типа

Однозначно выразить выходную функцию можно только задав ее значения (0 или 1) для всех комбинаций аргументов. Число различных наборов из n-величин, каждая из которых принимает два значения (0 или 1) равно 2^n. Следовательно, для функции двух переменных должно быть задано 4 значения выходной величины, для функции 3 переменных – 8 значений и т.д.

В цифровых электронных устройствах применяют *положительную* потенциальную логику, в которой символ «1» кодируется высоким потенциалом, а «0» низким, и *отрицательную* , в которой символ «1» кодируется отрицательным потенциалом, а «0» - близким к нулю. Далее мы будем изучать положительную логику.

В общем случае логическое устройство может иметь n-входов и m-выходов. Рассматривая входные сигналы $x_1, x_1, ..., x_n$ в качестве арнументов, можно соответствующие выходные сигналы представлять в виде функций $y_i(x_1, x_1, ..., x_n)$ с помощью операций алгебры логики.

Решение логических задач осуществляется с математического аппаратоа *алгебры логики* (булевой алгебры, разработанной английским математиком Джорджем Булем (1815-1864)), в которой все переменные величины могут принимать только два логических значения: «1»-логическая единица («правда») и «0» - логический нуль («ложь»).

Функции алгебры логики (ФАЛ), которые называют также переключающими функциями, представляют в нескольких формах:

- в виде таблиц *истинности* или *комбинационных* таблиц;
- в алгебраической форме (в виде математического выражения);

- комбинационной схемой, составленной из логических элементов;
- координатным способом (картой Карно).

Булева фукция называется полностьюопределенной, если заданы 2n ее значений для каждой входной комбинации аргументов. Если чать значений функции не задана, функцию называют недоопределенной.

9.2.1. Таблица истинности

Таблицы иститнности содержат всевозможные комбинации (наборы) бинарных значений входных переменных с соответствующими им бинарными значениями выходных переменных. Каждому набору входных сигналов соответсвует определенное значение выходной логической функции y_i. Число строк в таблице зависит от числа входных переменных n и равно 2^n. В таблице 9.1 показан пример таблицы истинности комбинационного логического устройства с тремя входными сигналами.

Таблица 9.1

X_1	X_2	X_3	Y=f(X)
0	0	0	1
0	0	1	0
0	1	0	1
0	1	1	0
1	0	0	1
1	0	1	0
1	1	0	0
1	1	1	0

9.2.2. Аналитическая запись логических операций

При аналитической записи логические операции обозначают специальными символами:

Логическое отрицание (инверсию) обозначают чертой над переменной $\overline{A}, \overline{x}$.

Логическое сложение (дизъюнкцию) обозначают знаком «$\vee$» или «+».

Логическое умножение (конъюнкцию) обозначают знаком «$\wedge$» или «$\cdot$».

Мы будем использовать более удобные знаки «+» и «$\cdot$».

Три перечисленные простейшие логические операции (логическое отрицание «НЕ», логическое сложение «ИЛИ», логическое умножение «И») представляют собой полный набор логических действий, через которые могут быть выражены логические связи, заданные таблицей истинности.

Таблица истинности для простейших логических операций представлена таблицей 9.2.

Таблица 9.2

Таблица истинности простейших логических функций

И: $f = x_1 \cdot x_2$			ИЛИ: $f = x_1 + x_2$			НЕ: $f = \overline{x}_1$	
x_1	x_2	f	x_1	x_2	f	x_1	f
0	0	0	0	0	0	0	1
0	1	0	0	1	1	1	0
1	0	0	1	0	1		
1	1	1	1	1	1		

Алгебраическая форма представления булевых функций используется для минимизации (упрощения формул) и для построения логических схем.

Существуют две формы алгебраических функций- дизъюнктивная и конъюктивная.

Дизъюнктивной нормальной формой (ДНФ) называют логическую сумму элементарных логических произведений, в каждое из которых аргумент или его инверсия входит один раз.

ДНФ получить из таблицы истинности с использованием следующего алгоритма:

а) для каждой входной кодовой комбинации, при которой булева функция равна единице, записывают элементарные логические произведения входных переменных. При этом, если входная переменная в кодовой комбинации равна нулю, то её записывают с инверсией. Полученные произведения называют конституентами единицы (минтермами).

б) логически суммируют все конституенты единицы.

Совершенная дизъюнктивная нормальная форма (СДНФ) получается суммированием конституент единицы.

Для таблицы истинности 9.1 имеем следующие элементарные логические произведения:

$\overline{x}_1\overline{x}_2\overline{x}_3$; $\overline{x}_1 x_2 \overline{x}_3$; $x_1\overline{x}_2\overline{x}_3$.

Суммируя логические произведения, получаем алгебраическое выражение СДНФ:

$$f(x) = \overline{x}_1\overline{x}_2\overline{x}_3 + \overline{x}_1 x_2 \overline{x}_3 + x_1\overline{x}_2\overline{x}_3. \qquad (9.1)$$

Конъюнктивной нормальной формой (КНФ) называют логическое произведение логических сумм, в каждую из которых аргумент или его инверсия входят один раз.

КНФ может быть получена из таблицы истинности с использованием следующего алгоритма:

а) Для каждой входной комбинации, при которой булева функция равна нулю, записывают элементарные логические суммы входных переменных. При этом, если входная переменная в кодовой комбинации равна единице, то ее записывают с инверсией. Полученные суммы называют конституентами нуля (макстермами).

б) Логически перемножают все полученные конституенты нуля.

Совершенная конъюктивная нормальная форма (СКНФ) получается перемножением конституент нуля.

Для таблицы 9.1 имеем следующие конституенты нуля:

$$x_1 + x_2 + \overline{x}_3;\ \ x_1 + \overline{x}_2 + \overline{x}_3;\ \overline{x}_1 + x_2 + \overline{x}_3;\ \overline{x}_1 + \overline{x}_2 + x_3\ ;\overline{x}_1 + \overline{x}_2 + \overline{x}_3$$

Перемножаем суммы и получаем алгебраическое выражение СКНФ:

$$f(x) = (x_1 + x_2 + \overline{x}_3)(x_1 + \overline{x}_2 + \overline{x}_3)(\overline{x}_1 + x_2 + \overline{x}_3)(\overline{x}_1 + \overline{x}_2 + x_3)(\overline{x}_1 + \overline{x}_2 + \overline{x}_3) \quad (9.2)$$

9.2.2. Законы и теоремы булевой алгебры

В алгебре логики существуют теоремы, знание которых облегчает действия с логическими переменными.

1. Коммутативный (переместительный) закон:

$$x_1 \cdot x_2 = x_2 \cdot x_1;\ \ x_1 + x_2 = x_2 + x_1.$$

2. Ассоциативный (сочетательный) закон:

$$x_1 \cdot (x_2 \cdot x_3) = (x_1 \cdot x_2) \cdot x_3;\ \ x_1 + (x_2 + x_3) = (x_1 + x_2) + x_3\ .$$

3. Дистрибутивный (распределительный) закон:

$$x_1 \cdot (x_2 + x_3) = x_1 \cdot x_2 + x_1 \cdot x_3\ ;$$

$$(x_1 + x_2)(x_1 + x_3) =$$

$$= x_1x_1 + x_1x_3 + x_2x_1 + x_2x_3 = x_1(1 + x_3 + x_2) + x_2x_3 = x_1 + x_2x_3$$

Здесь учтено: $xx = x;\ 1 + x = 1.$

4. Закон поглощения:

$$x_1 + x_1x_2 = x_1(1 + x_2) = x_1;$$

$$x_1(x_1 + x_2) = x_1x_1 + x_1x_2 = x_1 + x_1x_2 = x_1(1 + x_2) = x_1.$$

5. Теорема де Моргана:

$$\overline{x_1 \cdot x_2} = \overline{x}_1 + \overline{x}_2;$$

$$\overline{x_1 + x_2} = \overline{x}_1 \cdot \overline{x}_2.$$

Используется при переходе от логического произведения к логической сумме и обратно

6. Правило повторения:

$x \cdot x = x; \;\; x + x = x$.

7. Правило отрицания:

$x \cdot \overline{x} = 0; \quad x + \overline{x} = 1$.

8. Правило двойного отрицания:

$\overline{(\overline{x})} = x$.

9. Логические соотношения в случае определенности одного из аргументов:

$x_1 \cdot 1 = x_1; \quad x_1 + 1 = 1;$

$x_1 \cdot 0 = 0; \quad x_1 + 0 = x_1.$

10. Инверсия нуля и единицы:

$\overline{0} = 1; \quad \overline{1} = 0.$

9.3. Цифровые логические элементы

Цифровые логические элементы, выполненные на интегральных микросхемах (ИМС), предназначены для преобразования и обработки дискретных сигналов и выполняют основные логические функции, представленные в таблице 9.3.

Таблица 9.3

Элемент	Обозначение отечественных ИМС	Выполняемая функция и схема	Таблица истинности
НЕ (отрицание)	ЛН	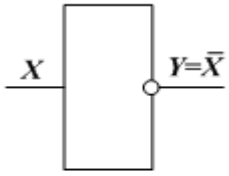	x | $y = \overline{x}$ 1 | 0 0 | 1
И (логическое умножение)	ЛИ	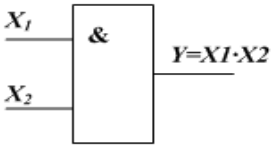	x_1 | x_2 | y 0 | 0 | 0 1 | 0 | 0 0 | 1 | 0 1 | 1 | 1

ИЛИ (логическое сложение)	ЛЛ	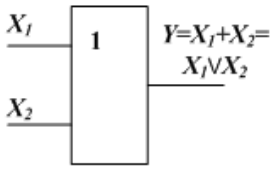	x_1	x_2	y
			0	0	0
			1	0	1
			0	1	1
			1	1	1
И-НЕ (логическое умножение с отрицанием) (Штрих Шефера)	ЛА	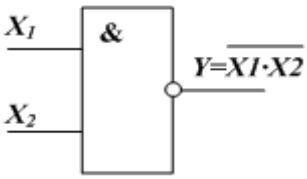	x_1	x_2	y
			0	0	1
			1	0	1
			0	1	1
			1	1	0
ИЛИ-НЕ (логическое сложение с отрицанием) (Стрелка Пирса)	ЛЕ	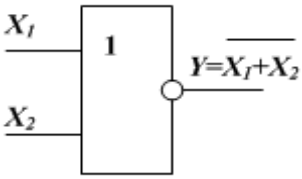	x_1	x_2	y
			0	0	1
			1	0	0
			0	1	0
			1	1	0
Исключающее ИЛИ	ЛП	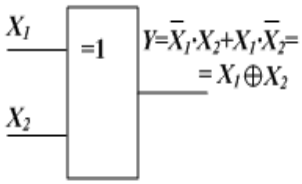	x_1	x_2	y
			0	0	0
			1	0	1
			0	1	1
			1	1	0

В таблице 9.3 использованы обозначения: $\overline{x}$ - отрицание значения x; $x_1 \cdot x_2$-логическое умножение (конъюнкция); $X_1 + X_2 = X_1 \vee X_2$- логическое сложение (дизъюнкция).

9.4. Минимизация логических функций в программе TINA

Этапу постороения комбинационной схемы должно предшествовать упрощение формул или минимизация. Целью минимизации является получение минимального необходимого количества элементов в схеме. Причем устройство, выполняющее любую логическую функцию, можно построить,

имея элементы только одного вида («ИЛИ-НЕ» либо «И-НЕ»). Эти элементы называют универсальными базисами.

Для минимизации логических элементов применют диаграммы Карно-Вейча.

Ранее для таблицы истинности 9.1 мы получили СДНФ в виде:

$$f(x) = \bar{x}_1\bar{x}_2\bar{x}_3 + \bar{x}_1 x_2 \bar{x}_3 + x_1\bar{x}_2\bar{x}_3. \qquad (9.3)$$

Карта Карно-графическое представление всех минитермов (2^n) для данного числа переменных (n). Каждый минитерм изображается в виде клетки, расположенной так, что минитермы, находящиеся в соседних клетках, отличаются друг от друга только одной переменной.

Составлять диаграммы Карно-Вейча в ручную достаточно долго и трудоемко. Поэтому мы воспользуемся программой моделирования TINA.

В СДНФ (9.3) изменим обозначения входных переменных: x_1=A, x_2=B, x_3=C. Перед инверсными переменными будем ставить наклонную черту «/». Вместо наклонной черты можно ставить верхний штрих «’».

В меню Tools выбираем инструмент Logic Design, устанавливаем Number of variables – 3 и набираем функцию алгебры логики (ФАЛ) (рис.9.3).

Нажимаем Minterm/Maxterm и получаем алгебраические выражения СДНФ и СКНФ.

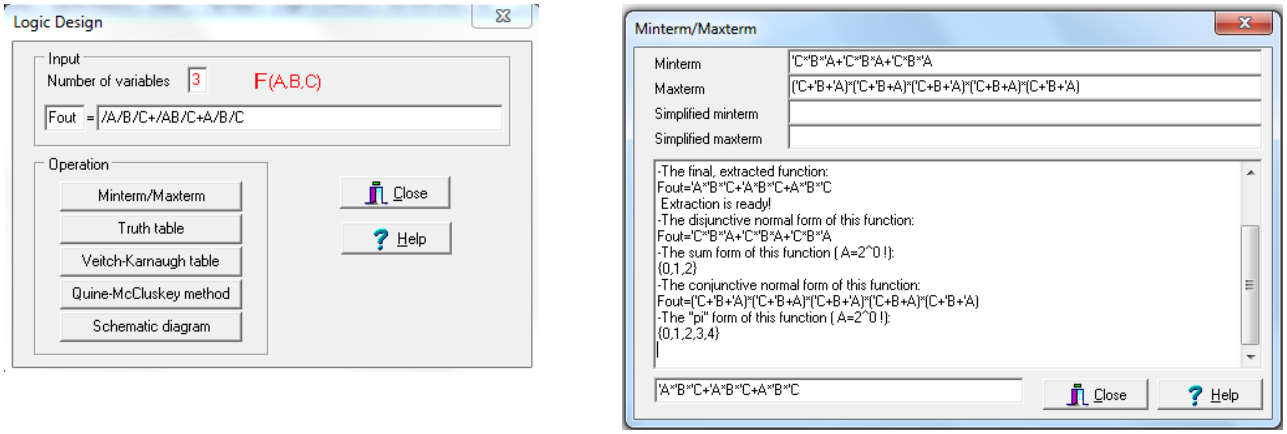

Рис.9.3. Ввод ФАЛ и получение СДНФ и СКНФ

Далее нажимаем Truth table и получаем для проверки исходную таблицу истинности (рис.9.4). Сравнивая с исходной таблицей 9.1 с учетом нового расположения входных переменных, отмечаем совпадение таблиц.

В последнем столбце таблицы могут быть записаны другие значения выходной функции, для которых требуется создать логическую схему.

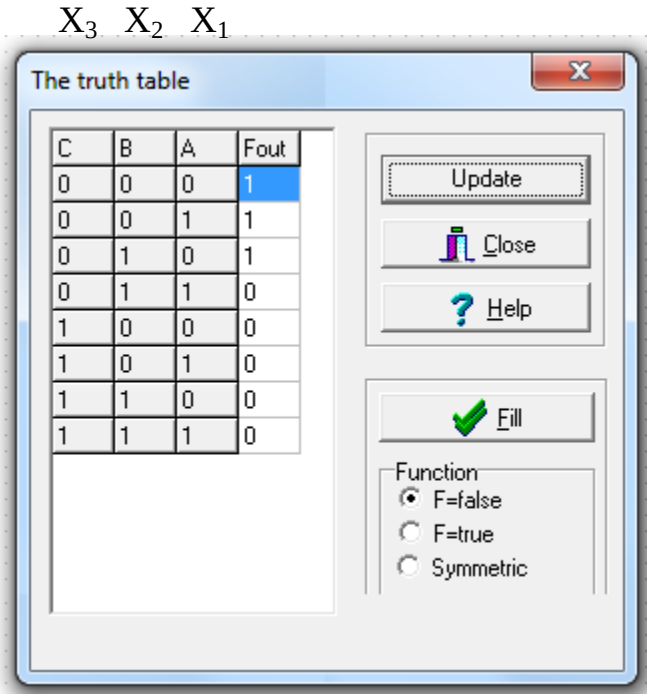

Рис.9.4. Таблица истинности

Нажав кнопку Veitch-Karnaugh table, вы получите возможность выполнить операцию графической минимизации ФАЛ (рис.9.5). Если нажать кнопку Minterm, получим выраженную через минитермы упрощенную выходная СДНФ (рис.9.5а):

$$f(x) = \bar{B} \cdot \bar{C} + \bar{A} \cdot \bar{C}. \qquad (9.4)$$

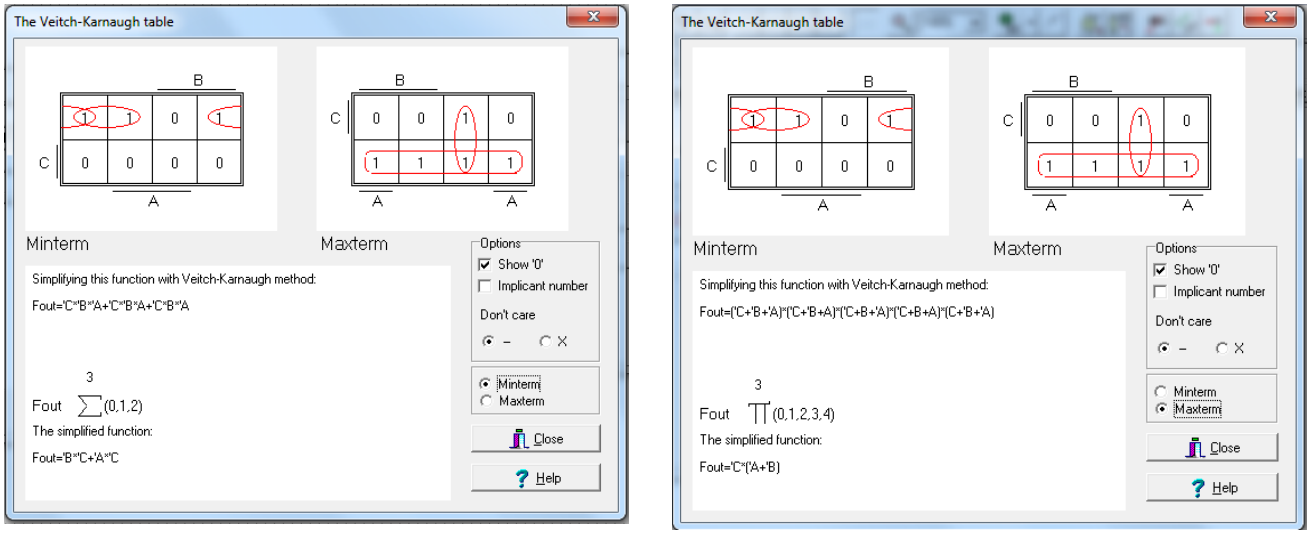

Рис.9.5. Упрощенные СДНФ и СКНФ

Если нажать кнопку Maxterm, получим выраженную через макстермы упрощенную СКНФ (рис.9.5б):

$$f(x)=\bar{C}\cdot(\bar{A}+\bar{B}). \qquad (9.5)$$

И, наконец, нажав Schematic Diagram и выбрав Minterm, получим схемную реализацию ФАЛ на элементах 2И, 2ИЛИ (рис.9.6а). Если выбрать Maxterm, получим схемную реализацию на элементах 2ИЛИ, 2И (рис.9.6б).

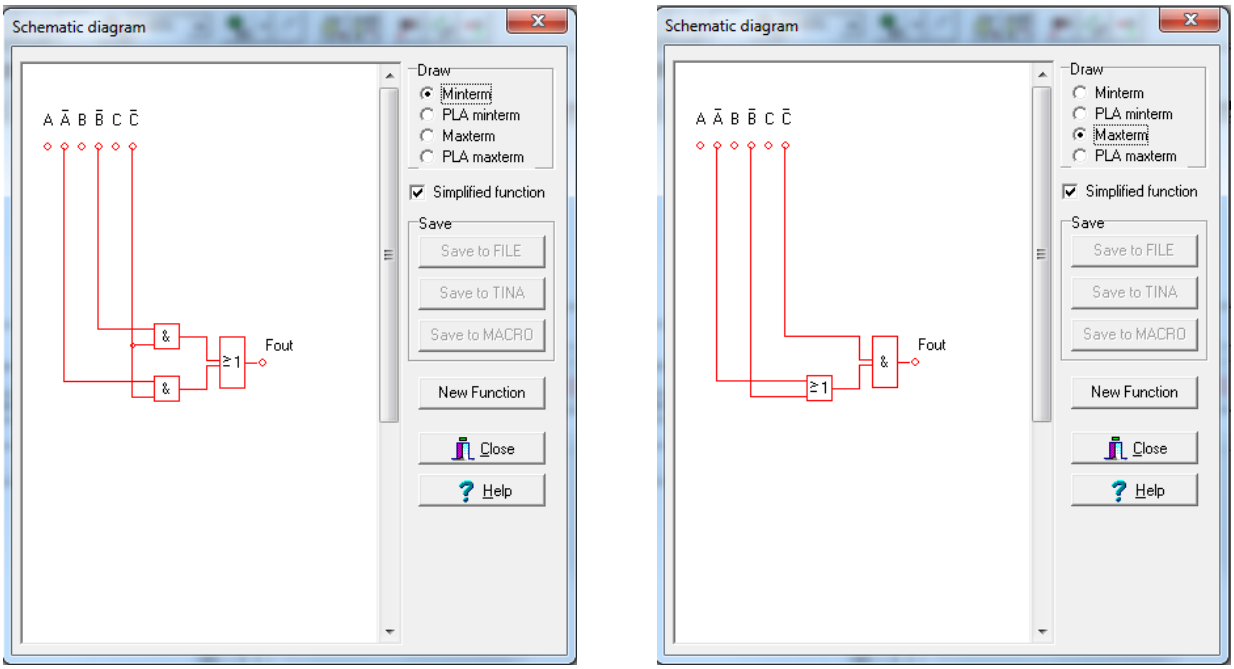

а) б)

Рис.9.6. Схемная реализация ФАЛ в разных базисах

Для проверки правильности наших действий собирем схему (рис.9.7), соответствующую реализации через Минтермы.

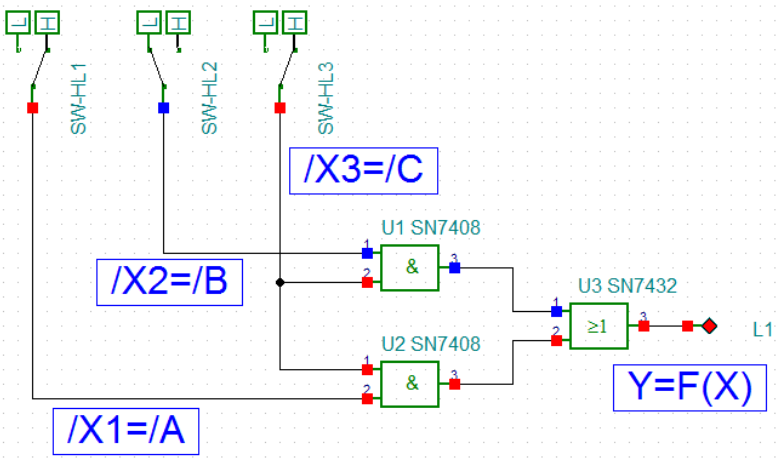

Рис.9.7. Схемная реализация ФАЛ

По схеме (рис.9.6а) в реализации ФАЛ использованы инверсные входные переменные. В соответствии с принятыми нами обозначениями:

$$\bar{X}_1 = \bar{A},\ \bar{X}_2 = \bar{B},\ \bar{X}_3 = \bar{C}.$$

Выберем режим Digital и на вкладке Interactive нажмем Start. Установим ключи так, чтобы входные переменные соответствовали третьей строке таблицы истинности 9.1. С учетом инверсии переменных:

$$\bar{X}_1 = \bar{A} = 1,\ \bar{X}_2 = \bar{B} = 0,\ \bar{X}_3 = \bar{C} = 1.$$

Выходная функция $Y = F(X) = 1$, что соотвествует третьей строке таблицы 9.1. Аналогично можно проверить остальные строки таблицы истинности.

Таким образом, программа TINA позволяет провести минимизацию и реализовать функции алгебры логики в виде комбинационных схем из цифровых логических элементов.

9.5. Ключевые схемы

Ключевые схемы предназначены для формирования на выходе цифровых сигналов высокого или низкого уровня под действием переключающих входных сигналов.

9.5.1. Диодные ключи

Простейший диодный ключ показан на рис.9.8. Генератор VG1 вырабатывет прямоугольные импульсы (0-5В). Резистор R1=1кОм подключен к источнику питания E=5В. Если $U_{вх} = 0$, диод открыт и $U_{вых} = U_{пр} = 0{,}5 - 0{,}7\,B$.

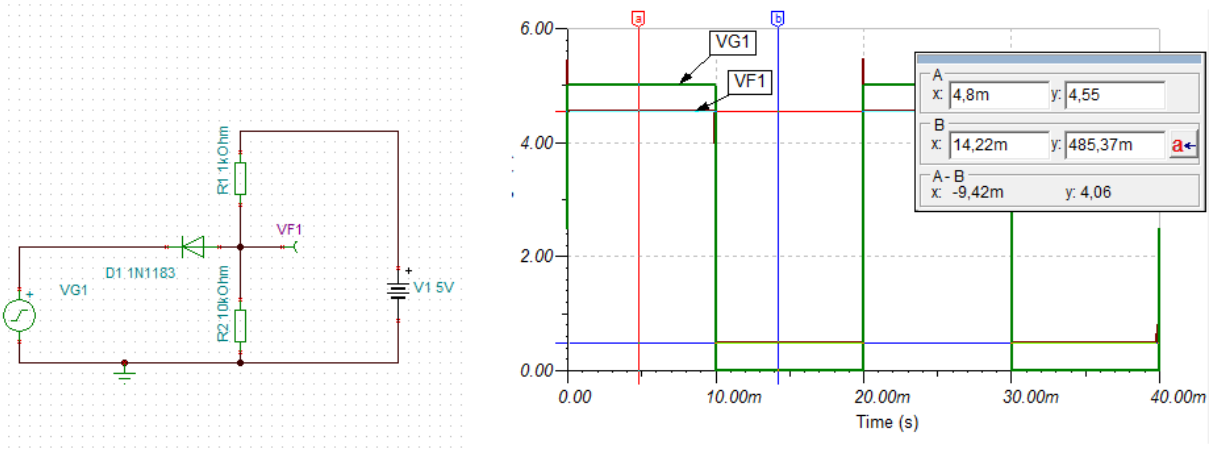

Рис.9.8. Модель диодного ключа

Если $U_{вх} = +E$, диод закрыт,

$$U_{вых} = \frac{ER_2}{R_1 + R_2} \approx 0{,}9E$$, так как $(R_2 \gg R_1)$.

Время переключения диодных ключей составляет 10 пс – 1нс. Их используют в быстродействующих устройствах. Недостатком является большая мощность переключения, а также то, что выходное напряжение не достигает напряжения питания.

9.5.2. Ключи на биполярных транзисторах

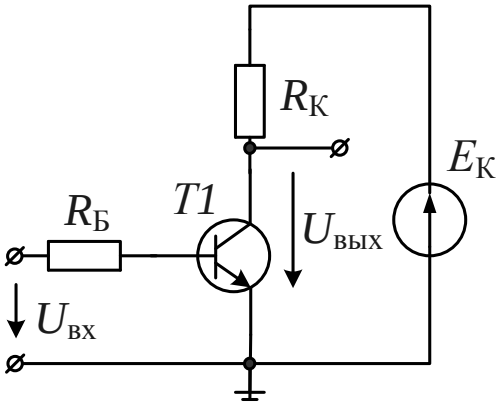

Рис.9.9. Схема ключа на биполярном транзисторе

Для реализации функции ключа биполярный транзистор включают по схеме с общим эмиттером (рис.9.9).

Выполним расчет транзисторного ключа для следующих исходных данных:

транзистор 2N1420;

$E_К = 5B$;

$R_Б = 10кОм, R_К = 100Ом$;

низкий уровень входного сигнала

$U_{вх0} = 0{,}8B$;

высокий уровень входного сигнала

$U_{вх1} = 4B$.

Расчет входной цепи

В модели (рис.9.10) определяем входную характеристику транзистора. Для низкого уровня входного сигнала $U_{вх0} = 0{,}8B$ строим нагрузочную прямую. По оси ординат откладываем ток:

$$I_{бкз} = \frac{U_{вх0}}{R_б} = \frac{0{,}8B}{10кОм} = 80мкА.$$

По оси напряжения откладываем $U_{вх0} = 0{,}8B$. Находим рабочую точку для низкого уровня входного сигнала: $i_{Б0} = 26{,}6мкА$.

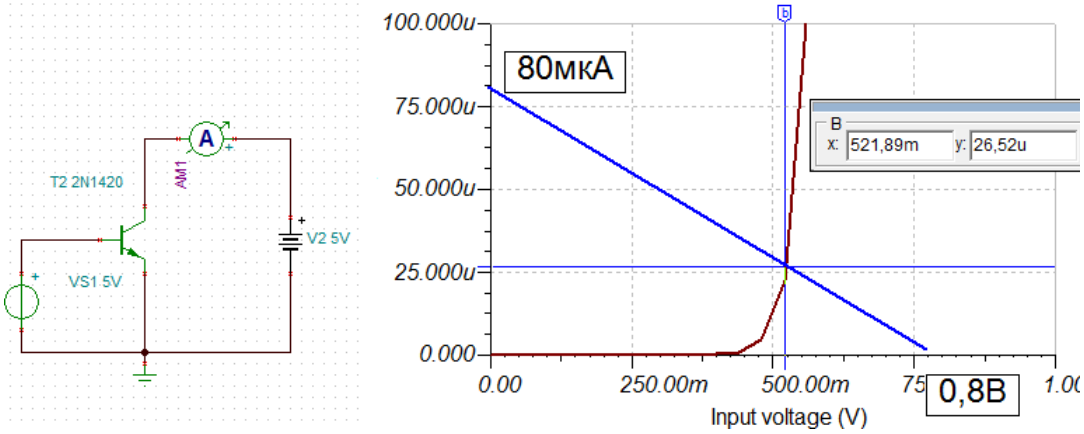

Рис.9.10. Модель транзисторного ключа и расчет для низкого уровня

Далее провоедим расчет входной цепи для высокого уровня входного напряжения (рис.9.11). Получаем в рабочей точке $i_{Б1} = 352\,мкА$.

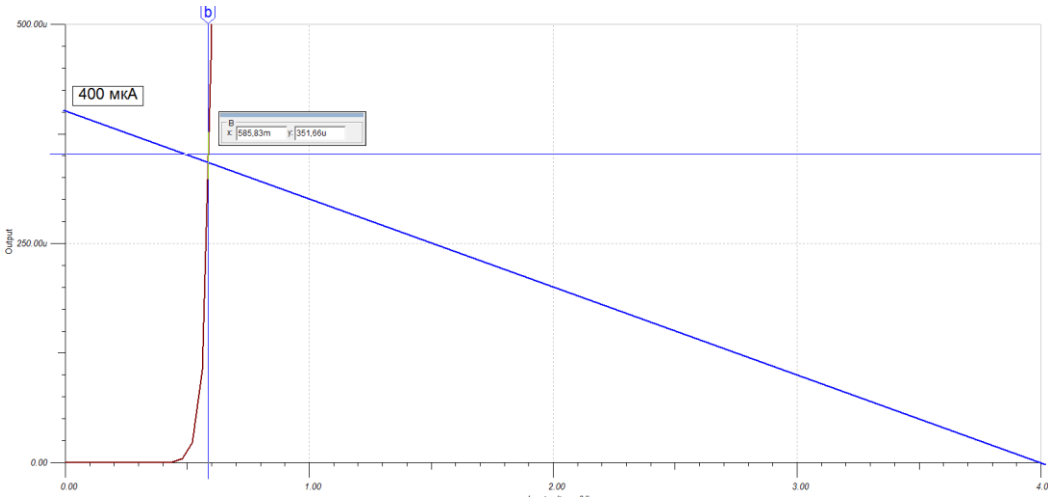

Рис.9.11. Расчет входной цепи для высокого уровня входного сигнала

Расчет выходной цепи

Строим две выходные характеристики транзистора для базовых токов $i_{Б0} = 26{,}6\,мкА$ и $i_{Б1} = 352\,мкА$. Нагрузочная прямая имеет на осях координаты 50мА и 5В (рис.9.12). Для низкого уровня входного сигнала транзистор находится практически в закрытом состоянии в режиме отсечки и выходное напряжение составляет $U_{КЭотс} = 4{,}59В$. Для высокого уровня входного напряжения транзистор открыт и находится в насыщении $U_{КЭнас} = 258мВ$. Таким образом транзисторный ключ инвертирует входной сигнал.

На рис.9.13 показаны временные диаграммы входного и выходного сигналов в модели ключа.

Недостатком ключей на биполярных транзисторах является значительная потребляемая мощность.

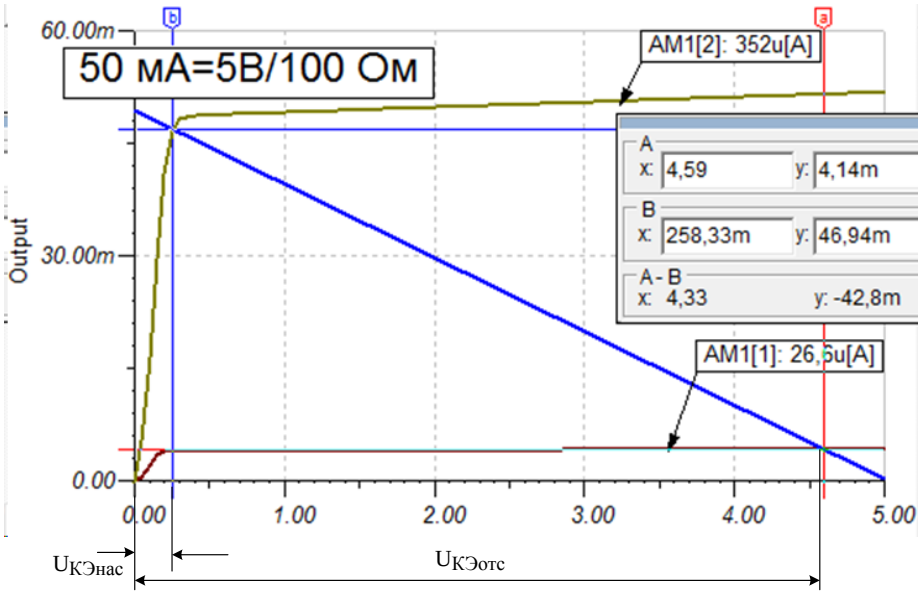

Рис.9.12. Расчет выходной цепи транзисторного ключа

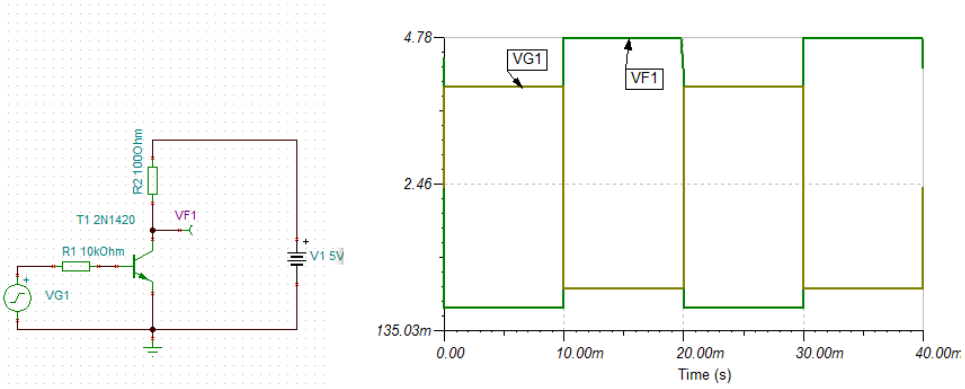

Рис.9.13. Моделирование работы транзисторного ключа

При низком уровне входного сигнала:

потребляемая мощность входной цепи:

$$P_{вх}^{0} = U_{вх0} \cdot i_{Б0} = 0{,}8 \cdot 26{,}6 \cdot 10^{-6} = 20{,}8\,мкВт;$$

потребляемая мощность выходной цепи:

$$P_{Ек}^{0} = E_{к} i_{к\,\mathbf{min}} = 5 \cdot 4{,}14 \cdot 10^{-3} = 20{,}7\,мВт.$$

При высоком уровне входного сигнала:

потребляемая мощность входной цепи:

$$P_{вх}^{1} = U_{вх1} \cdot i_{Б1} = 4 \cdot 352 \cdot 10^{-6} = 1{,}4\,мВт;$$

потребляемая мощность выходной цепи:

$$P_{Ек}^{1} = E_{к} i_{к\,\mathbf{max}} = 5 \cdot 46{,}9 \cdot 10^{-3} = 243\,мВт.$$

9.5.3. Ключи на полевых МОП транзисторах

В качестве ключей применяют комплементарные полевые транзисторы с изолированным затвором и индуцированным каналом. Напомним передаточную характеристику такого транзистора (рис.9.14). При напряжении на затворе ниже порогового (~3В) транзистор закрыт.

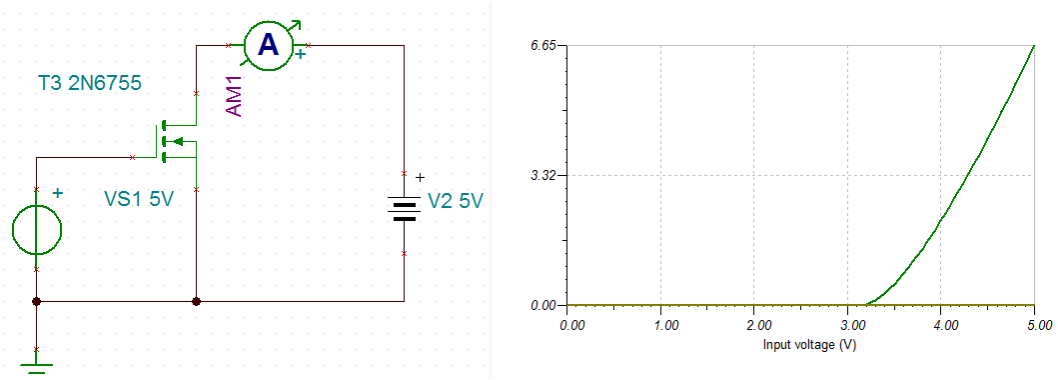

Рис.9.14. Передаточная характеристика МОП траззистора с индуцированным каналом

На рис. 9.15. показана модель ключа на комплементарных полевых транзисторах (КМОП).

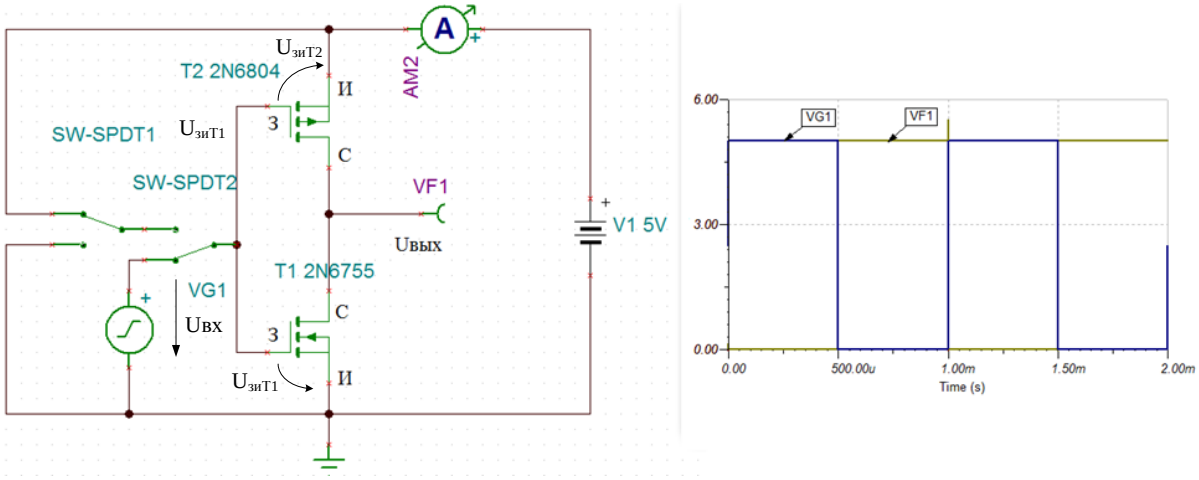

Рис.9.15. Модель ключа на КМОП транзисторах

Ключ работает следующим образом.

Если $U_{вх0} = 0 < U_{порT1}$. Транзистор T1 имеет индуцированный канал n-типа и будет закрыт. На затворе транзистора T2 $U_{зиT2} = U_{вх0} - E = -E$. Транзистор T2 имеет канал p-типа и будет открыт. В результате напряжение на выходе $U_{вых} \approx E$.

Если $U_{вх1} = E > U_{порT1}$, T1 открыт. На транзисторе T2 $U_{зиT2} = U_{вх1} - E = E - E = 0$. Поэтому T2 закрыт. В результате $U_{вых} \approx 0$.

Получили инвертер на КМОП транзисторах.

Достоинства ключей на МОП транзисторах

1. Технологичность – изготавливаются в одном цикле с другими МОП элементами.

2. Высокая плотность упаковки.

3. Нет резисторов.

4. Низкое потребление мощности (только при переключении), очень малый ток.

На рис. 9.16 показаны временные диаграммы напряжений и тока в схеме рис.9.15. Видно, что ток возникает только в момент переключения.

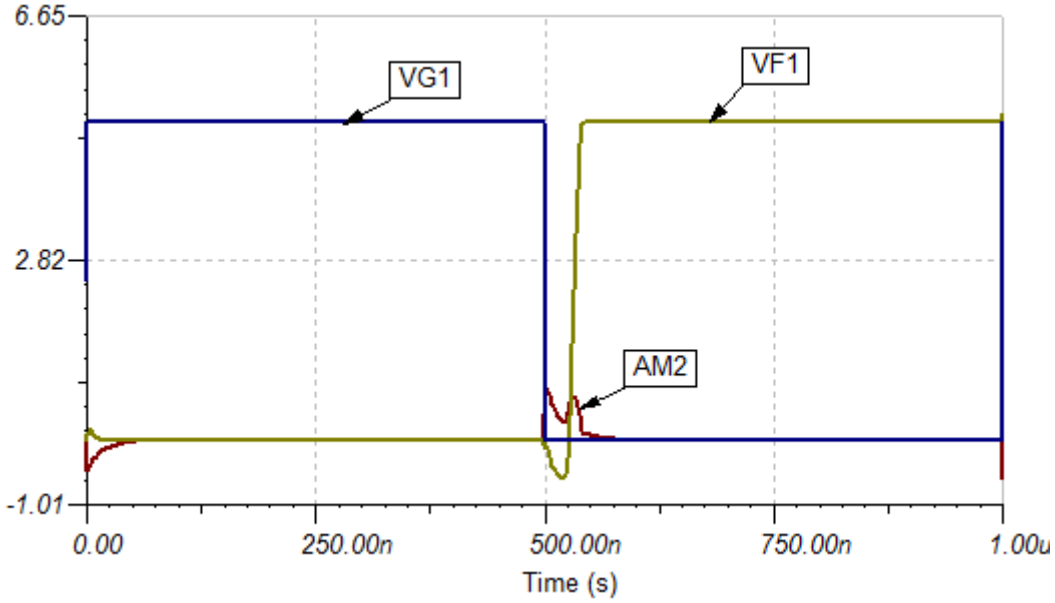

Рис.9.16. Диаграммы напряжений и тока в ключе на КМОП

9.6. Серийные микросхемы цифровых логических элементов

По степени интеграции цифровые интегральные микросхемы (ИМС) бывают:

1. ИМС малой степени интеграции с числом транзисторов <100.

2. ИМС средней степени интеграции $n \sim 10^3$.

3. БИС – большие интегральные схемы $n \sim 10^4 \div 10^5$.

4. СБИС – сверхбольшие интегральные схемы $n > 10^6$.

Наибольшее применение получили серии логических ИМС, выполненные по следующим технологиям:

ТТЛ – транзисторно-транзисторная логика. Входная логика на многоэмиттерных транзисторах, ключи с динамической нагрузкой. Питание Е=5В.

ТТЛШ – транзисторно-транзисторная логика с диодами Шоттки. Имеет большое быстродействие.

ЭСЛ- эмиттерно-связанная логика в качестве основного логического элемента дифференциальный усилитель, два транзистора которого переключают ток и не попадают в режим насыщения. Имеет наиболее высокое быстродейтсвие.

n-МОП логика. Все элементы по МОП транзисторах. Не высокое быстродействие, малое потребление.

КМОП – логика на комплементарных МОП транзисторах. Рабочее напряжение от 3 до 15 В. Сверхнизкое потребление мощности. Высокое быстродействие.

9.6.1. Функционально полные системы

Проектируя комбинационные логические схемы, их упрощенные СДНФ и СКНФ можно реализовать используя функционально полные системы трех видов:

1. Элементы И, ИЛИ, НЕ;
2. Элементы И-НЕ
3. Элементы ИЛИ-НЕ.

В ИМС, выполненных по технологии ТТЛ, в качестве базового элемента используется многоэмиттерный транзистор. Упрощенная схема логического элемента И-НЕ с многоэмиттерным транзистором VT1 приведена на рис. 9.17.

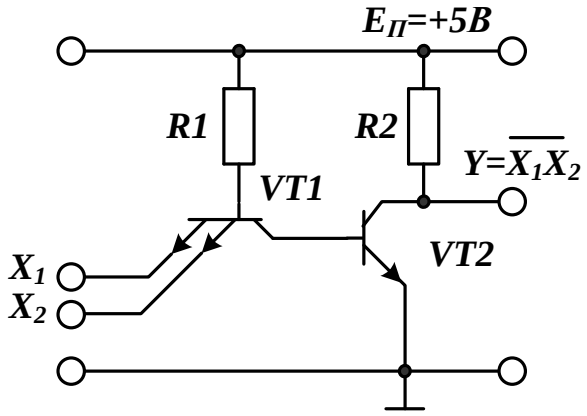

Рис.9.17. Упрощенная схема логического элемента 2И-НЕ (ТТЛ)

Если хотя бы на один эмиттер VT1 подан низкий уровень, VT1 будет открыт, а второй транзистор VT2, работающий инвертором сигнала и выполняющий функцию НЕ, будет закрыт. На выходе базового элемента бу-

дет высокий уровень сигнала. Для того чтобы напряжение на выходе имело низкий уровень, на все эмиттеры VT1 надо подать высокий уровень. Таким образом, реализуется функция И-НЕ.

В ИМС, выполненных по технологии КМОП, в качестве базового элемента используются ключевые схемы, построенные на комплементарных МОП-транзисторах. На рис. 9.18 приведена модель логического элемента 2И-НЕ, выполненного по технологии КМОП. Схема состоит их двух групп ключей на полевых транзисторах VT1, VT3 и VT2, VT4. Каждая группа управляется одним сигналом X1 или X2. При подаче сигналов X1= X2= «1» ключи на транзисторах VT1, VT2 размыкаются, а ключи на транзисторах VT3, VT4 замыкаются. В результате на выходе будет сигнал низкого уровня $Y = \overline{X_1 \cdot X_2} = 0$. При других комбинациях на выходе будем иметь $Y = 1$.

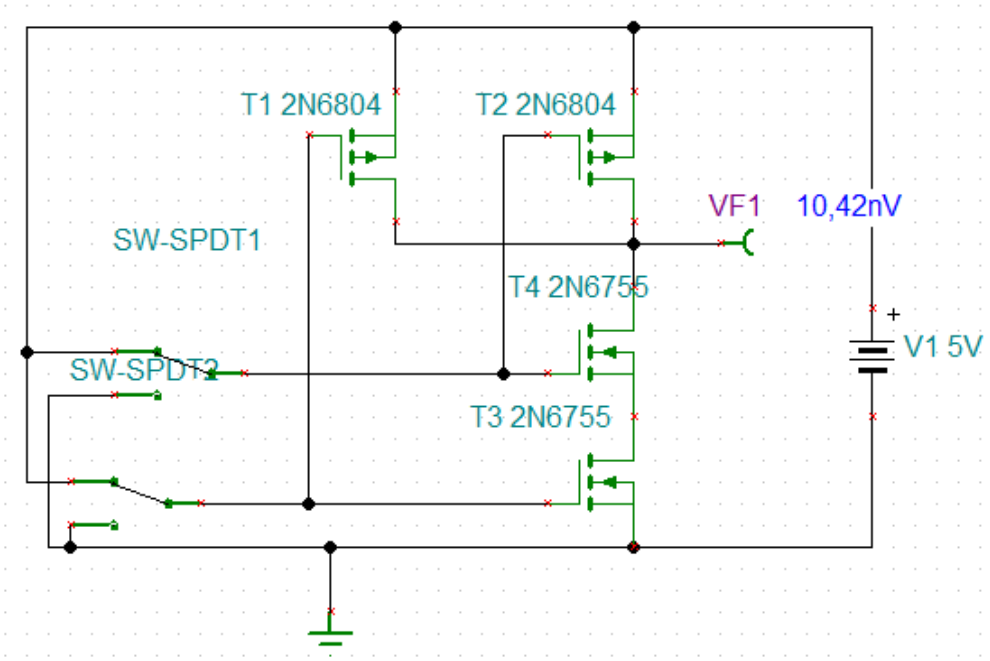

Рис.9.18. Базовый КМОП элемент И-НЕ

На рис.9.19 показана модель базового логического элемента ИЛИ-НЕ, выполненного по КМОП технологии. При подаче «1» на любой их входов на выходе получим $Y = (\overline{X_1 + X_2}) = 0$.

9.7. Мультиплексоры и демультиплексоры

Мультиплексором называют функциональный узел, который обеспечивает передачу цифровой информации, поступающей по нескольким входным линиям связи на одну выходную линию. Мультиплексор можно представить в виде коммутатора, управляемого входной логической схемой. Входные логические сигналы X_i поступают на входы коммутатора и через коммутатор передаются на выход Y. На вход логической схемы по-

ступают адресные сигналы A_k, определяющие, какой входной сигнал в данный момент передаются на выход. Некоторые мультиплексоры могут иметь выход с тремя состояниями: два состояния 0 и 1 и третье состояние – отключенный выход (выходное сопротивление равно бесконечности).

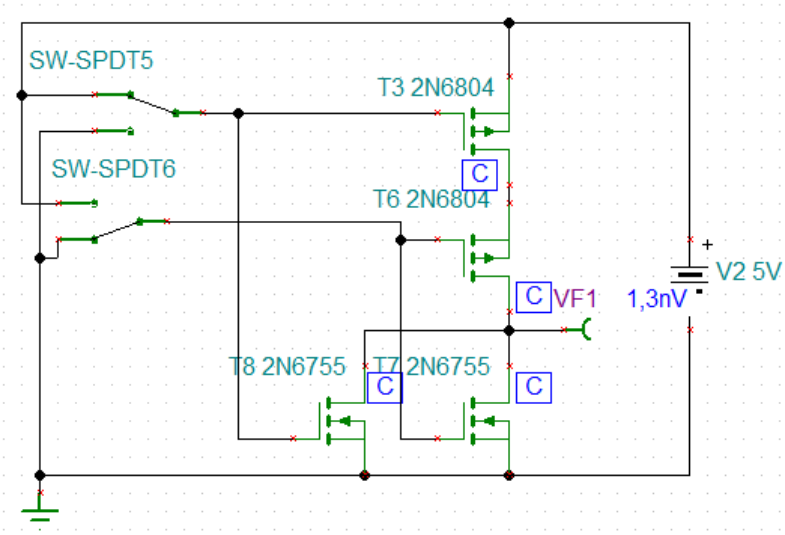

Рис.9.19. Базовый КМОП элемент ИЛИ-НЕ

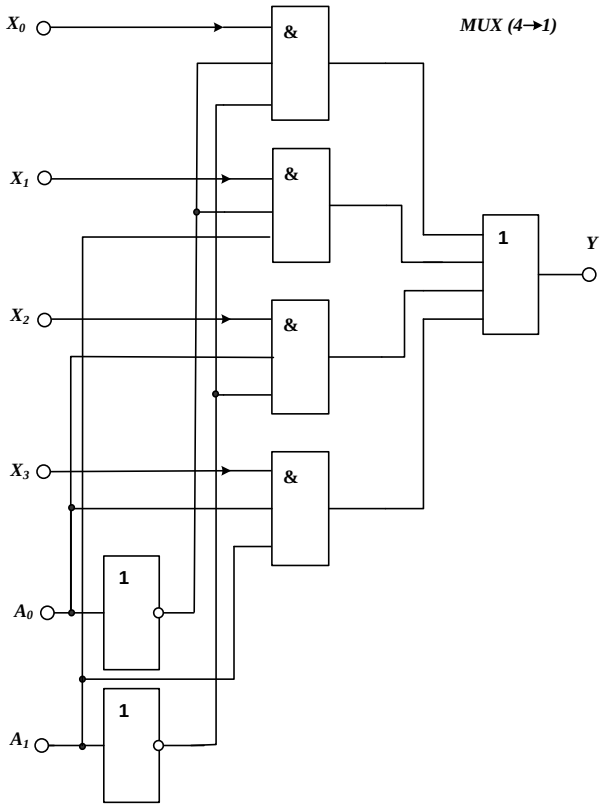

Рис.9.20. Схема мультиплексора

Таблица 9.3

A_0	A_1	Y
0	0	X_0
0	1	X_1
1	0	X_2
1	1	X_3

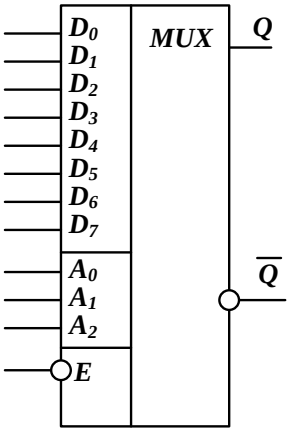

Рис.9.21. Условное изображение мультиплексора (8→1)

На рис. 19.20 показана схема мультиплексора (4→1), выполненная на элементах И и ИЛИ. Работа мультиплексора отображается таблицей истинности 9.3.

Используя таблицу истинности, запишем выражение для выходной функции мультиплексора:

$$Y = X_0(\bar{A}_0\bar{A}_1) + X_1(\bar{A}_0 A_1) + X_2(A_0\bar{A}_1) + X_3(A_0 A_1) \quad (9.6)$$

Графическое изображение мультиплексора (8→1) показано на рис.9.21. Входами являются выводы микросхемы $D_0....D_7$, выходами Q и $\bar{Q}$, адресные входы A_0, A_1, A_2, вход разрешения работы E.

Демультиплексор (DMX) выполняет преобразование, обратное мультиплексированию: входной сигнал X поступает на вход демультиплексора и передается на выходы Y_1, $Y_2...Y_n$. Адресные сигналы A_0 ...A_k имеют такое же значение, как и у мультиплексора. Графическое изображение демультиплексора (1→4) показано на рис. 9.22.

На схеме обозначены: D-информационный вход, $A0$, $A1$ –адресные входы, E– вход разрешения, $Q_0, \bar{Q}_0 ... Q_3, \bar{Q}_3$-прямые и инверсные выходы.

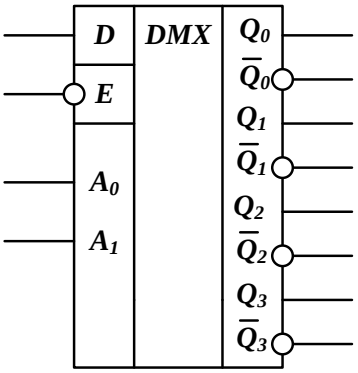

Рис.9.22. Условное изображение демультиплексора (1→4)

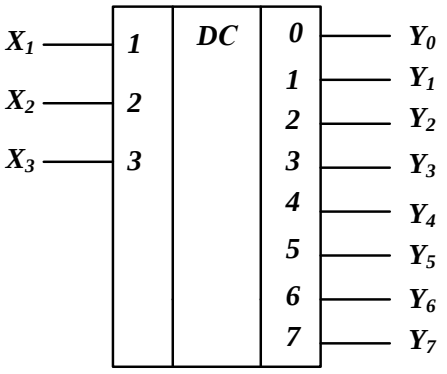

Рис.9.23. Условное графическое изображение дешифратора 3x8

9.8. Дешифраторы

Дешифратором называют преобразователь двоичного n- разрядного кода в унитарный 2^n- разрядный код, все разряды которого за исключением одного равны нулю. Дешифраторы бывают полные и неполные. Для полного дешифратора выполняется условие $N=2^n$, где n – число входов, N – число выходов. В неполных дешифраторах имеется n – входов, но выходов $N<2^n$.

На рис.9.23 показана схема дешифратора 3 x 8, преобразующего двоичный трехразрядный код в унитарный восьмиразрядный, в котором,

например, входное двоичное число 100 соответствует выходному коду 00010000.

В цифровой технике применяют также преобразователи кодов для управления сегментными и матричными индикаторами, шифраторы, преобразующие, например, 8-разрядный единичный код в двоичный код, и другие комбинационные устройства, построенные на цифровых логических элементах. Особенностью комбинационных устройств является то, что их выходные сигналы однозначно определяются только действующей в настоящий момент на входе комбинацией переменных и не зависят от значений переменных, действовавших на входе ранее.

9.9. Триггеры

Триггером называется устройство, способное формировать два устойчивых значения выходного сигнала и скачкообразно изменять эти значения под действием внешнего управляющего сигнала.

Триггеры относятся к цифровым схемам последовательного типа. Состояние выхода последовательной схемы (цифрового автомата) зависит от текущего состояния входа *X* и от внутреннего состояния схемы *Q*:

Y=F(X,Q).

Таким образом, триггер является хранителем предшествующей и источником текущей информации. Триггер называют бистабильной схемой, он является элементарной ячейкой памяти. Два устойчивых состояния триггера обозначаются: *Q*=1 и *Q*=0.

Основные типы триггеров в интегральном исполнении получили следующие названия: *RS* -триггер, *JK*- триггер, *D* - триггер, *T*- триггер.

9.9.1. Асинхронный *RS*-триггер

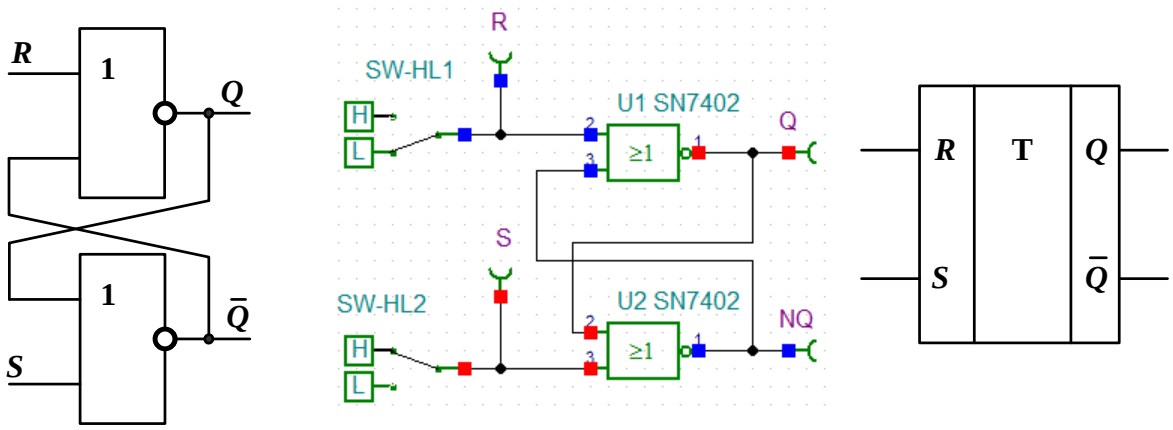

Рис.9.24. Схема, модель асинхронного и условное изображение RS-триггера

Асинхронный ***RS* – триггер** содержит одну ячейку памяти, может быть выполнен на двух элементах ИЛИ-НЕ (рис.9.24) и имеет два прямых информационных входа:

R – раздельный вход сброса триггера (Q=0);

S – раздельный вход установки триггера (Q=1).

Триггер называется асинхронным, если переключение его происходит сразу при изменении информационных сигналов. Работа асинхронного RS – триггера на элементах ИЛИ-НЕ отображается таблицей переходов 9.4.

Таблица 9.4

R	***S***	Q_{n+1}
0	0	Q_n
0	1	1
1	0	0
1	1	-

Функциональное состояние ***RS***- триггера определяется уравнением:

$$Q_{n+1} = \bar{R}_n S_n + \bar{R}_n Q_n \qquad (9.7)$$

где Q_n и Q_{n+1} - соответственно предыдущее и новое состояние триггера.

В синхронных триггерах имеется синхронизирующий вход ***C*** и переключение происходит при поступлении на этот вход синхронизирующего импульса. Причем момент переключения может соответствовать переднему или заднему фронту синхроимпульса.

9.9.2. *D*-триггер

***D*- триггер** (рис.9.25) имеет информационный вход D (data – данные). Информация со входа D заносится в триггер по положительному перепаду на счетном входе C триггера. Помимо счетного C и информационного D – входов, триггер имеет асинхронные установочные $\bar{R}$ и $\bar{S}$ входы. Установочные входы приоритетны. Они устанавливают триггер независимо от сигналов на входах C и D. После окончания установки входы $\bar{R}$ и $\bar{S}$ следует перевести в неактивное состояние $\bar{R} = \bar{S} = 1$. Далее по переднему фронту импульса на счетном входе C на выход триггера пересылаются данные с информационного входа D.

Уравнение D- триггера имеет вид:

$$Q_{n+1} = \left[\bar{C} Q_n + CD + S\right]\bar{R} \qquad (9.8)$$

Таблица 9.5 переходов D-триггера иллюстрирует изменение состояния на выходе.

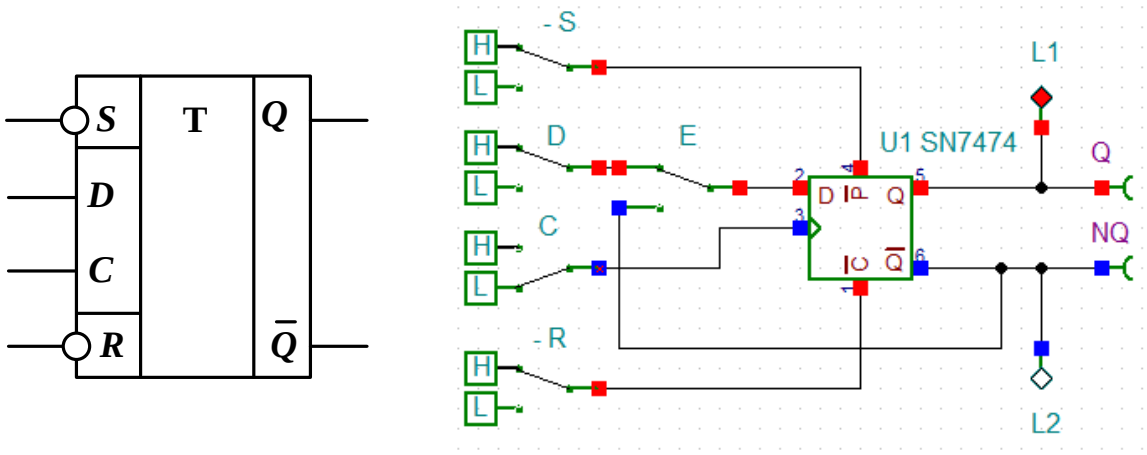

Рис.9.25. Условное обозначение и модель *D*-триггера

Таблица 9.5 переходов *D*-триггера

$\overline{R}$	$\overline{S}$	D	C	Q_n	Q_{n+1}
1	0	-	-	0	1
0	1	-	-	1	0
1	1	0	↑	0	0
1	1	1	↑	0	1

Если входы $\overline{R}$ и $\overline{S}$ находятся в неактивном состоянии ($\overline{R}=\overline{S}=1$), то по переднему фронту тактовых импульсов на входе *C* происходит запись в триггер сигнала с входа данных *D*.

9.9.3. *JK*-триггер

***JK* –триггер** (рис.9.26) является наиболее универсальным, так как на его основе могут быть построены любые из рассмотренных выше триггеров. *JK*- триггер имеет: входы *J* (*jump*-прыжок) и *K* (*kill*- отключение) установки триггера в состояния *Q*=1 и *Q*=0 соответственно; синхронизирующий вход *C*; раздельный вход *S* асинхронной установки триггера (*Q*=1); раздельный вход *R* асинхронного сброса триггера (*Q*=0). В схеме (рис.9.26) входы *S* и *R* имеют низкий активный уровень. Причем, входы *S* и *R* имеют приоритетное значение. После асинхронной установки в модели надо установить $\overline{R}=\overline{S}=1$.

Функциональное состояние *JK*- триггера определяется уравнением:

$$Q_{n+1}=\left[C(J\overline{Q}_n+\overline{K}Q_n)+\overline{C}Q_n+S\right]\overline{R} \qquad (9.9)$$

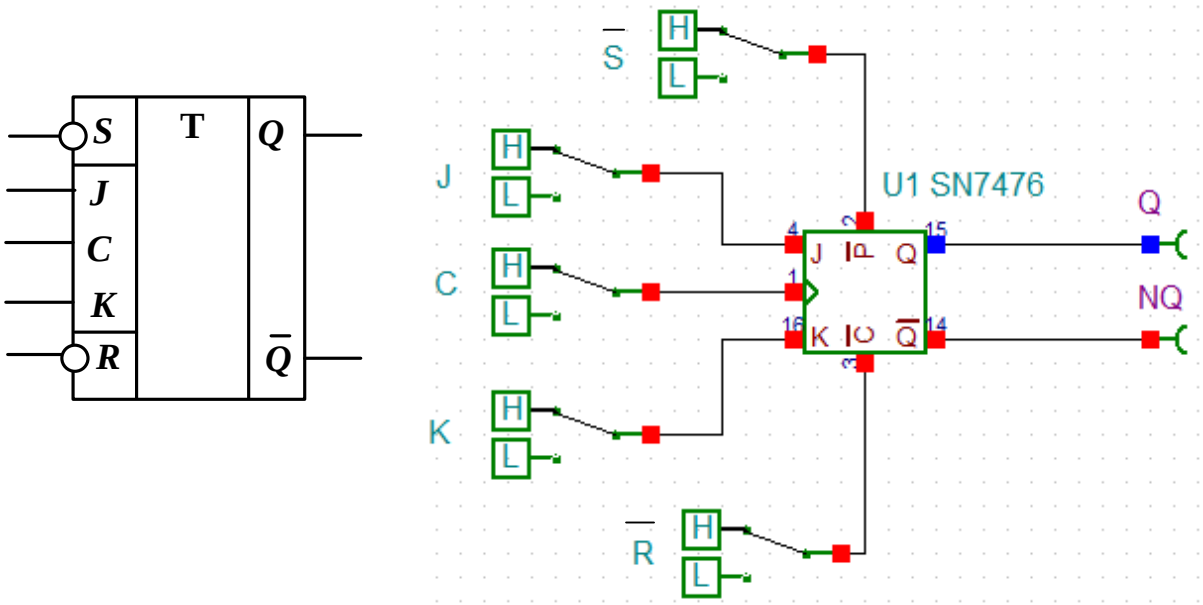

Рис.9.26. Условное изображение и модель *JK*-триггера

Таблица 9.6
переходов JK-триггера

$\bar{R}$	$\bar{S}$	*J*	*K*	*C*	Q_n	Q_{n+1}
1	0	-	-	-	1	0
0	1	-	-	-	0	1
1	1	1	0	↓	0	1
1	1	0	1	↓	1	0
1	1	1	1	↓	Меняется на противоположное	

На основе *JK*-триггера можно построить другие ранее изученные триггеры. Некоторые такие примеры показаны на рис.9.27.

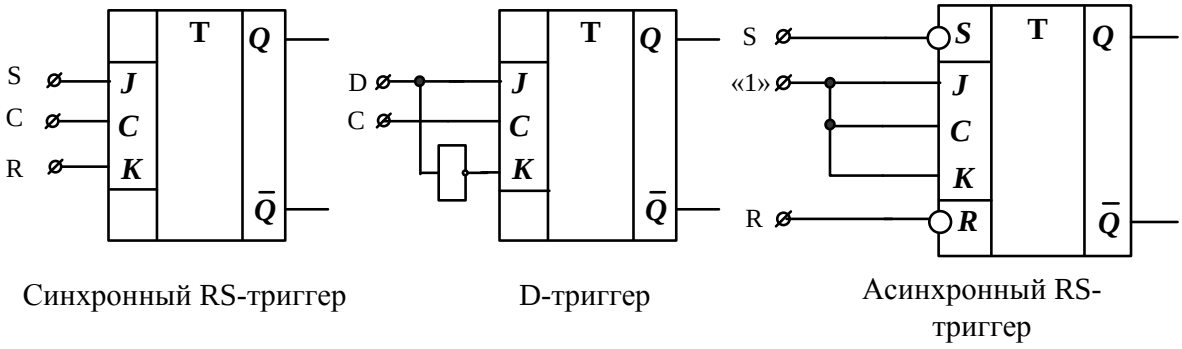

Синхронный RS-триггер D-триггер Асинхронный RS-триггер

Рис.9.27. Примеры реализации различных триггеров на основе JK-триггера

9.10. Счетчики импульсов и регистры

Счетчиком называют цифровое устройство, предназначенное для подсчета числа импульсов. С поступлением каждого импульса на вход *C* счетчик меняет свое состояние на единицу. Счетчик можно реализовать на нескольких триггерах, при этом состояние счетчика будет определяться состоянием его триггеров. В суммирующих счетчиках каждый входной импульс увеличивает его состояние на единицу. В вычитающих счетчиках состояние уменьшается на единицу каждым входным импульсом.

Наиболее простыми являются двоичные счетчики, в которых состояние счетчика определяется двоичным кодом на его выходах. Схема асинхронного четырехразрядного суммирующего счетчика на *D* – триггерах показана на рис.9.28.

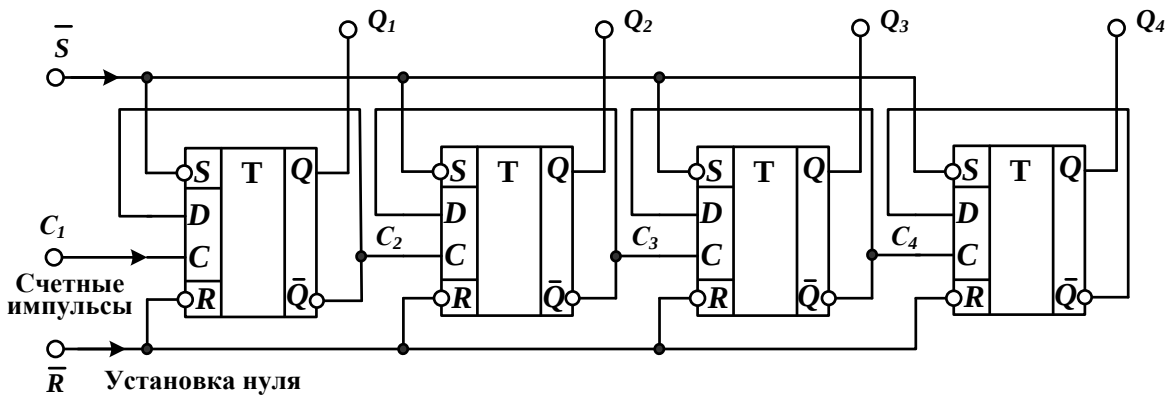

Рис.9.28. Асинхронный счетчик на D-триггерах

В начале счета все триггеры устанавливаются в нуль и с входов $\bar{R}$ и $\bar{S}$ снимаются активные уровни. На счетный вход C_1 первого триггера поступают счетные импульсы. Каждый импульс изменяет состояние триггеров так, что на выходах *Q1 – Q4* формируется двоичный код, соответствующий числу счетных импульсов. Длина списка разрешенных состояний счетчика называется модулем счета $K_{сч}$. Число разрешенных состояний определяется количеством триггеров. Для счетчика (рис.9.28) $K_{сч} = 2^4 = 16$. После 16 импульсов все триггеры обнуляются и начинается новый цикл счета. Счетчики можно использовать в качестве делителей частоты с коэффициентом деления $K_{сч}$. Введением дополнительных обратных связей между триггерами можно произвольно изменять модуль счета в сторону уменьшения. Так введение в обратные связи двух элементов 2И-НЕ устанавливает в счетчике (рис.9.29) модуль счета равный 9 (рис.9.29).

В цифровых устройствах применяют разнообразные счетчики. Они классифицируются следующим образом:

По модулю счета: двоичные, двоично-десятичные (декадные) или с другим основанием счета; с произвольным постоянным модулем; с переменным модулем.

По направлению счета: суммирующие; вычитающие; реверсивные.

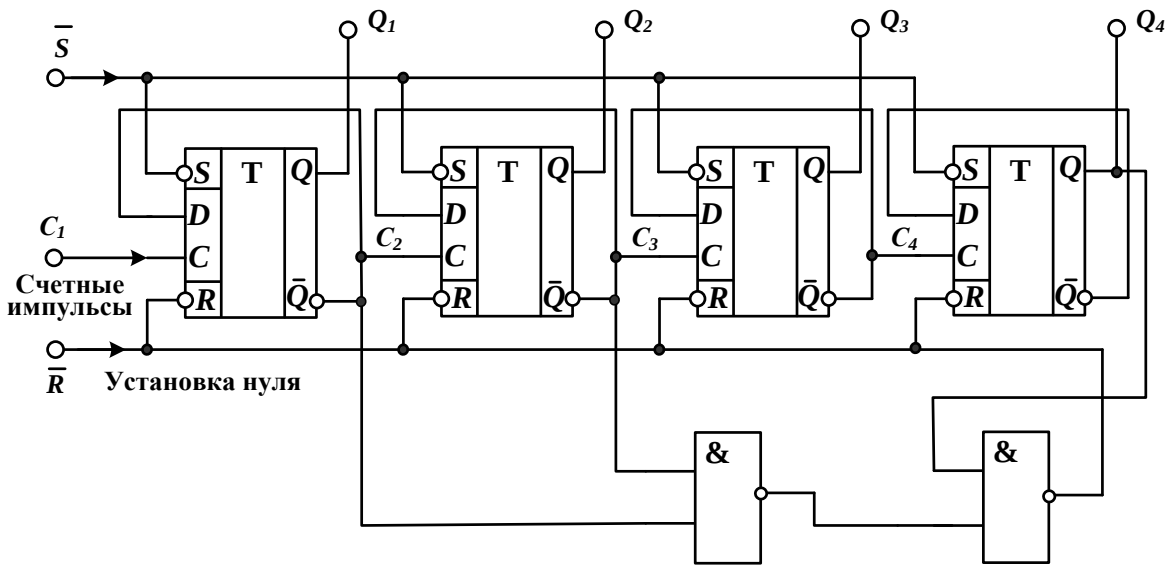

Рис.9.29. Асинхронный счетчик с модулем счета $K_{сч}$=9

На рис.9.30 показана модель двоичного счетчика на *D*-триггерах. Если в режиме VHDL выбрать *Interactive-Start* , то счетчик будет считать импульсы с ключа С. Если на вход С подать цифровой сигнал с генератора U6, то в режиме *Transient* получим временную диаграммы сигналов на выходах триггеров (рис.9.31).

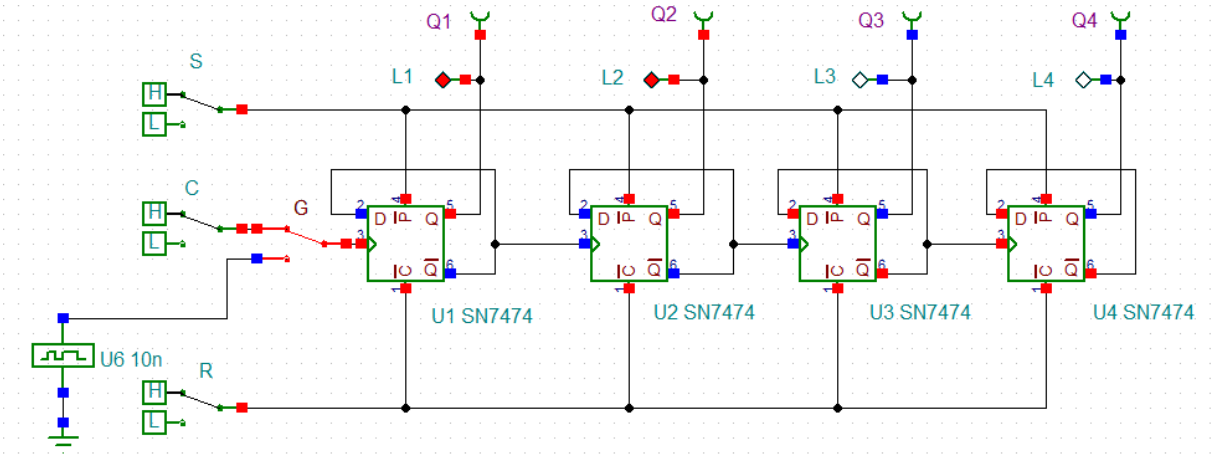

Рис.9.30. Модель двоичного счетчика на *D*-триггерах

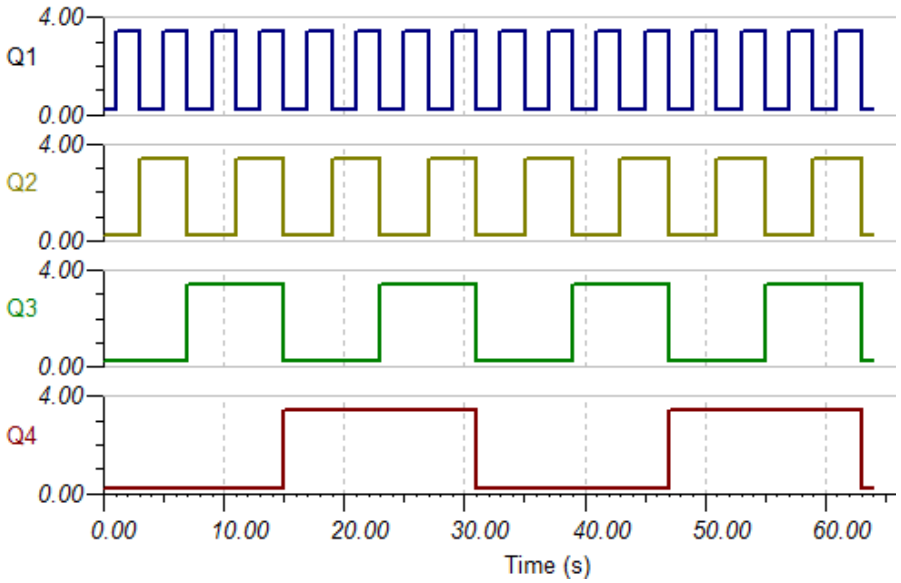

Рис.9.31. Временные диаграммы сигналов двоичного счетчика

9.11. Регистры

Регистром называется устройство цифровой техники, предназначенное для записи, хранения и (или) сдвига информации, представленной в виде многоразрядного двоичного кода.

По способу приема информации регистры подразделяют на:

последовательные (сдвигающие), в которых информация записывается и считывается только в последовательной форме;

параллельные (статические), в которых информация записывается и считывается только в параллельной форме;

последовательно-параллельные, в которых информация записывается или считывается как в последовательной, так и в параллельной формах.

Простейшие регистры выполняют на триггерах. Схема последовательного сдвигающего регистра на *JK*- триггерах показана на рис.9.32.

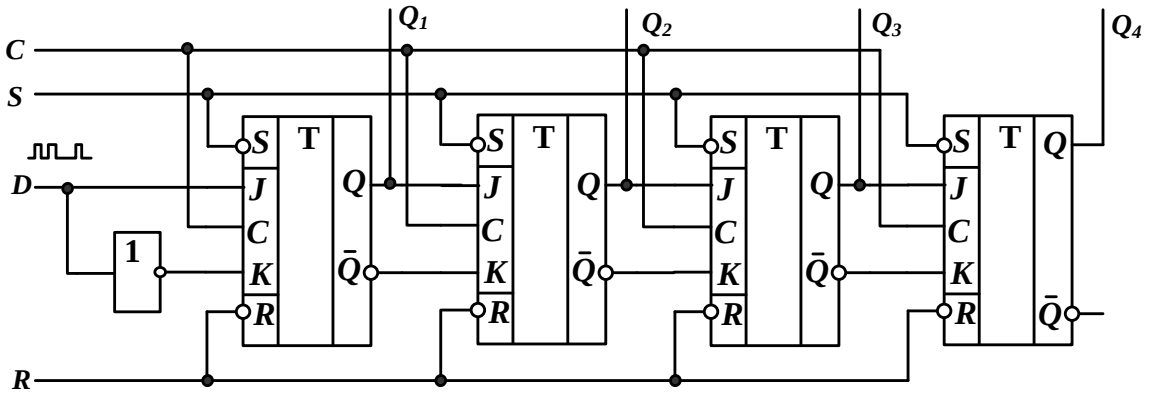

Рис.9.32. Четырехразрядный сдвигающий регистр с последовательным вводом

Сдвигающий регистр работает следующим образом. Вначале работы управляющими сигналами *S* и *R* все триггеры устанавливаются в нулевое состояние, активный уровень сигналов *S* и *R* снимается, на вход *D* (данные) подается первый импульс цифрового кода (например, единица кода 1101 на рис.9.32). С первым тактовым импульсом, поступающим на вход *C*, в первый триггер будет записана единица младшего разряда. Со следующим тактовым импульсом эта единица будет записана во второй триггер и окажется на его выходе. Одновременно в первый триггер поступит нуль (следующий разряд кода). После четырех тактовых импульсов код на выходах Q_4-Q_1 будет соответствовать входному коду и может быть считан внешним устройством. Таким образом, регистр преобразует последовательный код в параллельный. В современных микроэлектронных устройствах отображения и регистрации информации количество параллельных выходов регистров может достигать нескольких тысяч.

9.12. Цифровые постоянные запоминающие устройства (ROM)

Блоки запоминающий устройств (ЗУ) служат для запоминания больших массивов данных и становятся важнейшей составляющей частью цифровых компьютеров.

Схемы ЗУ подключаются как правило к шинной системе. Благодаря этому большое число различных ЗУ может быть подключено параллельно. Система шин должна давать возможность записывать в определенную ячейку ЗУ или считывать из нее. При этом различают:

Адресные шины

Адресная шина подключается к каждому узлу ЗУ адресов, под которыми могут храниться данные или проводиться их поиск.

Управляющие шины

Управляющая шина содержит все линии, необходимые для управления схемным узлом. К ним относится линия, обеспечивающаяая выбор узла и содержащая вывод для выбора чипа (chip select, CS).

Поскольку все узлы подключены к одной и той же адресной шине, то с помощью этой линии производится выбор соответствующего узла. С помощью линии считывание-запись можно осуществлять переключение между чтением и записью (read-write, RD-W).

Шины данных

Шина данных подключается ко всем схемным узлам. Чтобы в линиях не создавались конфликты, выходы блоков ЗУ, влияющие на шину данных, должны быть выходами типа tristate («с тремя состояниями »). Их делают свободными для включения с помощью линии output enable (OE, «разрешающий выход»), входящей в управляющую шину.

9.12.1. Постоянное ЗУ (ПЗУ)

Постоянное ЗУ называют ROM (read only memory), что означает ЗУ только с чтением.

ROM является схемой ЗУ, содержание данных в котором определяется изготовителем с помощью маски. Поэтому содержание данных фиксировано и их можно только читать. Запомненные данные являются энергонезависимыми. ROM-схемы различаются числом битов, которые запомнены. Обычно используются ЗУ с длинами слов 1, 4, 8 и 16 бит. В ROM, как и в большинстве других цифровых ЗУ, отдельные ячейки ЗУ расположены в виде матрицы (рис. 13.1). Ячейки ЗУ лежат в точках пересечений линий. К ним обращаются, подав напряжения 1 на строчную линию и на линию столбцов. Строчную линию называют числовой шиной (word line), линию столбцов называют шиной данных (data line). Преимущество данного устройства заключается в экономии шин. Для n^2 ячеек требуется 2n шин против n^2 в линейных устройствах.

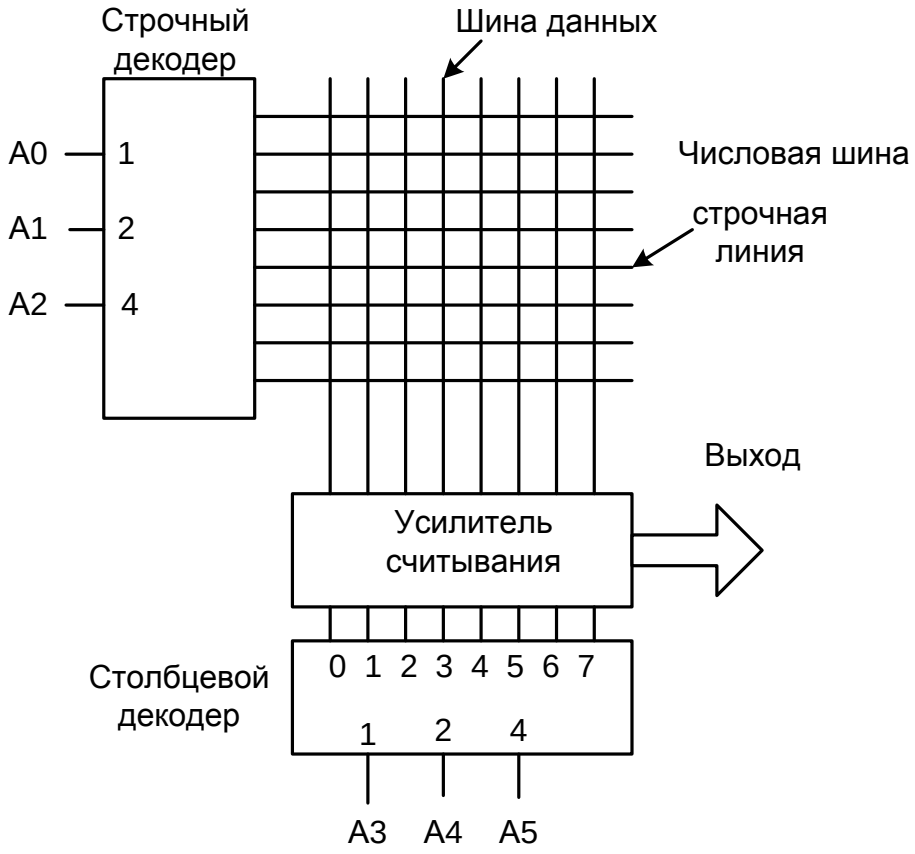

Рис.9.33. Структурная схема ROM емкостью 8x8

Распределение числовых шин (word line) по адресам осуществляет строчный декодер. Столбцевой декодер осуществляет выбор шин данных и

работает как мультиплексор. Поскольку шина данных наряду с выбором столбца осуществляет вывод накопленной информации к выходу, между декодером и матрицей ЗУ включается усилитель считывания. На рис.9.33 показано ROM емкостью 8x8. Данные выводятся последовательно по сигналу чтения RD.

ПЗУ часто производят в N-МОП –технологии. На пересечении линий строк и столбцов в местах, соответствующих сигналу «0» формируют N-МОП транзисторы. В местах, соответствующих сигналу «1», транзисторы отсутствуют (рис.9.34).

В другом типе ПЗУ запись информации производится при помощи последней операции производства микросхемы — металлизации. Металлизация производится при помощи маски, поэтому такие ПЗУ получили название **масочных ПЗУ**.

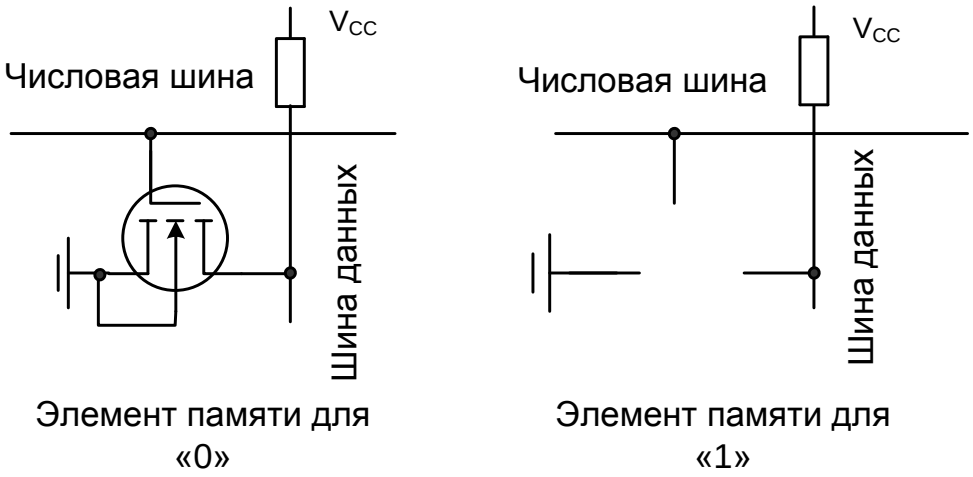

Рис.9.34. Элемент памяти ПЗУ (N-МОП-технология)

На микросхемах ПЗУ обозначают символом ROM.

9.12.2. Программируемое ПЗУ (ППЗУ), PROM

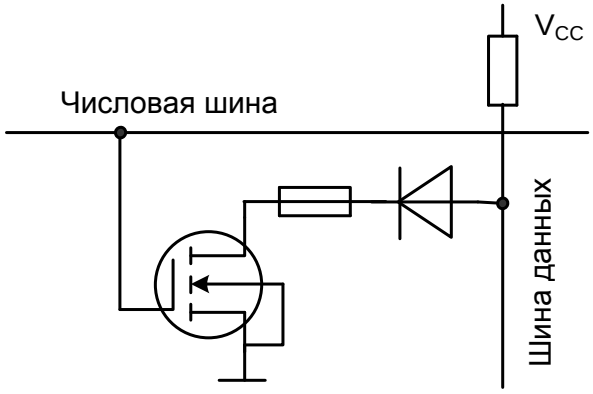

Рис.9.35. Ячейка ЗУ типа PROM

PROM соответствует по структуре ROM, но с тем отличием, что она может программироваться пользователем. PROM также выполнена в виде матрицы, со столбцевым и строчным декодерам для адресного декодирования. Возможная реализация может быть разработана на основе рис. 9.33. Стоки транзисторов в ячейках ЗУ PROM могут быть законтактированы вместо соединения проводящими дорожками соединением

плавкими перемычками (fusible link).

Это соединение показано на рис. 9.35. В том случае, если должно быть запомнено состояние H, плавкая перемычка при программировании расплавляется током. Как правило, для этого необходимо специальное программируюш;ее устройство. Плавкая перемычка подобна плавкому предохранителю. Записанная информация является энергонезависимой. Однажды расплавленная плавкая перемычка не может быть вновь восстановлена. Поэтому подобные схемы обозначаются как OTP-ROM (OTP — one time programmable), то есть как ROM с однократным программированием.

9.12.3. Стираемое программируемое ПЗУ (EPROM)

Через EPROM обозначают erasable programmable ROM, стираемое-программируемое ПЗУ, СППЗУ. EPROM по своей структуре соответствует ROM или PROM только на месте плавких перемычек или программируемых с помощью маски соединений находятся «стираемые» запоминающие элементы.

В качестве таких запоминающих элементов используются МОП ПТ с плавающим затвором (рис. 9.36). Эти МОП ПТ являются нормально - закрытыми транзисторами с дополнительным затвором, который не имеет внешнего вывода и называется плавающим затвором.

Изначально этот затвор имеет нулевой потенциал. С помощью наведения заряда на плавающем затворе может быть осуществлена запись информации в ячейки.

При отсутствии заряда на плавающем затворе транзистор функционирует как обычный n-канальный транзистор нормально-закрытого типа. Достаточно большое положительное напряжение на затворе включает транзистор. Это состояние ведет к уровню L на шине данных в том случае, если данная ячейка ЗУ выбрана числовой шиной.

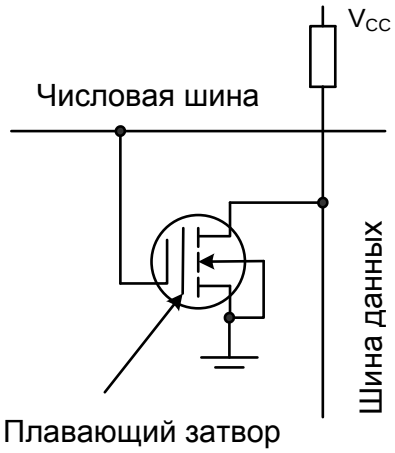

Рис. 9.36. МОП ПТ с плавающим затвором

В том случае, если должен быть запомнен уровень H, на плавающем затворе должен быть накоплен отрицательный заряд. Теперь транзистор всегда заперт и при выборе ячейки с помощью числовой шины шина данных остается на уровне H. Отрицательный заряд на плаваюш;ем затворе создается за счет туннелирования электронов через оксид. При повышенном напряжении между стоком и подложкой поле между затворным электродом и каналом достигает высоких значений и за счет лавинного пробоя

появляются «горячие» электроны. Определенное количество электронов при этом может туннелировать через оксид. На плавающем затворе таким образом накапливается отрицательный заряд, который запирает транзистор. Облучение УФ светом в течение приблизительно 20 минут ионизирует изолирующий материал, лежащий между затвором и истоком, благодаря чему заряд рассасывается. При этом информация стирается. Благодаря хорошим диэлектрическим свойствам оксида накопленный заряда остается стабильным в течение многих лет.

9.12.4. EEPROM обозначают электрически стираемое программируемое ПЗУ

Через EEPROM обозначают электрически стираемое программируемое ПЗУ, ЭСППЗУ (electrically erasable programmable ROM). Эта схема ЗУ электрически записывается и электрически стирается. Единичная ячейка ЗУ также как и в EPROM, построена на одном МОП ПТ с плавающим затвором. Однако оксид между плавающим затвором и каналом имеет меньшую толщину. Благодаря этому оказывается возможным, при повышенном напряжении между затвором и каналом, перемещать электроны с затвора в канал и обратно. Это происходит за счет эффекта туннелирования.

EEPROM со специальными ячейками ЗУ иногда называют flash-EEPROM («мигающее» EEPROM). Они стираются не только полностью,но и поблочно.

Коммерчески доступные ROM, PROM, EPROM, EEPROM часто совместимы по выводам корпуса так, что возможно применение в фазе разработки PROM или EPROM, которые при переходе к серийной продукции можно заменить на ROM или на PROM. Логический символ EEPROM идентичен логическому символу ROM.

9.12.5. Обзор энергонезависимых ЗУ

В таблице 9.7 показан обзор энергонезависимых ЗУ.

Таблица 9.7

Обозначение	Программирование		Стирание
ROM (read only memory)	Маска	Однократое	Невозможно
PROM (программируемое ROM), программируемое полем ROM, однократное PROM (OTPROM)	Эл.	Однократое	Невозможно
EPROM (erasable ROM)	Эл.	Многократное	УФ облучение (20 минут), все

			содержимое ЗУ
EEPROM (electrically erasable ROM) flash-EEPROM	Эл.	Многократное	Электрическое, все содержимое ЗУ или по битам (20-100 мс)

9.13. Оперативные запоминающие устройства ОЗУ (RAM)

RAM является сокращением для random access memory (то есть ЗУ с произвольной выборкой, ЗУПВ). Под этим понимается схема ЗУ, в которой можно произвольно записывать и из которой можно произвольно считывать информацию. Ячейки памяти выбирают по их адресам. В ячейках хранится записанная информация. Для вывода данных ячейки также выбирают по адресам. Считывание данных не стирает содержание ячейки. Если информация больше не нужна, она может быть удалена, а в ячейку занисана новая информация.

ОЗУ выпускают в виде интегральных микросхем. Различают статические RAM и динамические RAM (DRAM). В статических RAM в качестве ячеек памяти применяют триггеры. Схемы с высокой степенью интеграции работают в основном с использованием динамического запоминания информации в конденсаторах, управляемых одним транзистором.

9.13.1. Статическое ОЗУ RAM

Ячейка статического ЗУ RAM показана на рис. 9.37. Она построена из двух КМОП- инверторов. Обращаться к ячейке ЗУ можно через числовую шину.

Для выбора ячейки на числовую шину подается H. Вследствие этого T_5 и T_6 становятся низкоомными. В процессе записи можно, подав уровень H на шину данных DL, записать H в ЗУ. В таком случае T_3 будет открыт, а T_4 — закрыт. Правый инвертор выдаст L. После этого будет настроен на H левый инвертор. Схема работает как триггер. Точно также можно записать L в ЗУ, подав H на шину данных $\overline{DL}$. При считывании ячейка вновь выбирается с помощью числовой шины. На шинах данных может быть считан запомненный бит.

Для считывания с обеих шин данных используется один симметричный усилитель считывания. Имеется также усилитель записи.

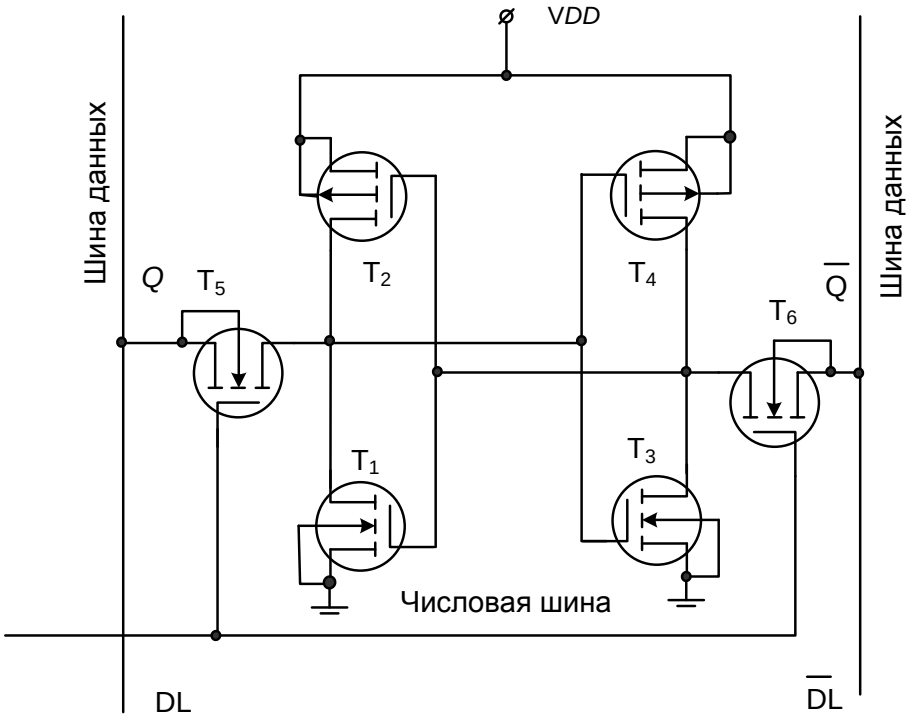

Рис.9.37. Ячейку ЗУ типа RAM, выполненная по КМОП-технологии

9.13.2. Динамические ОЗУ (DRAM)

DRAM (динамическое RAM) представляет собой энергозависимое полупроводниковое ЗУ, в котором информация запоминается в конденсаторах. Благодаря очень простой структуре ячейки ЗУ подобные DRAM имеют очень большую информационную емкость. Запоминающий DRAM элемент показан на рис. 9.38. Приложение H к числовой линии позволяет выбрать ячейку ЗУ. Тогда накопленный на конденсаторе заряд может стекать по шине данных. Наличие заряда означает содержимое ЗУ со значением H, а значению L соответствует отсутствие заряда. Чтение разрушает накопленный заряд, так что после каждого считывания заряд должен быть снова восстановлен (регенирирован).

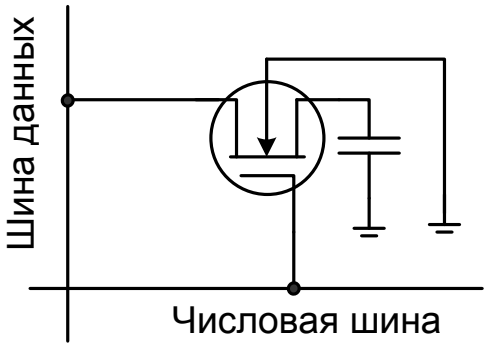

Рис.9.38. Ячейка динамического RAM

Динамическое RAM организовано так, что процесс считывания автоматически связан с регенерацией заряда. Если ячейка ЗУ не считывается определенное время, заряд рассасывается, и информация теряется. Поэтому все запомненное содержимое должно периодически регенерироваться с помош;ью процесса считывания. Поскольку сопротивление МОП ПТ в выключенном состоянии очень ве-

лико, то достаточно очень малых емкостей конденсаторов, чтобы поддерживать время разряда в диапазоне миллисекунд.

В качестве примера на рис.9.39 представлена схема DARM емкостью 4М х 4 бит. Данные в каждой ячейке ЗУ должны регенерироваться каждые 64 мс. В эту схему строчные и столбцевые адреса должны загружаться через те же самые контактные площадки, чтобы схема была достаточно малой площади. Как показано на принципиальной схеме (рис. 9.39) в DRAM для выборки столбцов используется 10 бит и для выборки строк 12бит. Для введения строчных адресов используется контактная площадка ^*RAS* (row address strobe, выборка строчных адресов), а для введения столбцевых адресов контактная площадка ^*CAS* (column address strobe, выборка столбцевых адресов). С помощью усилителя записи и считывания вводятся и считываются слова длиной 4 бита.

DRAM работает в режимах: считывание, запись, регенерация, хранение. Для каждого режима заданы временные диаграммы выдачи адресов и управляющих импульсов. Эти диаграммы надо соблюдать при проектировании устройств с оперативной памятью.

9.14. Программируемые логические схемы

Для выполнения специальных задач требуются интегральные микросхемы с различными функциями алгебры логики (ФАЛ). Выпускать ограниченное количества ИС с заданной ФАЛ для конкретного заказчика очень дорого и нерентабельно. Поэтому разработаны микросхемы, которые программируются производителем или самими пользователями.

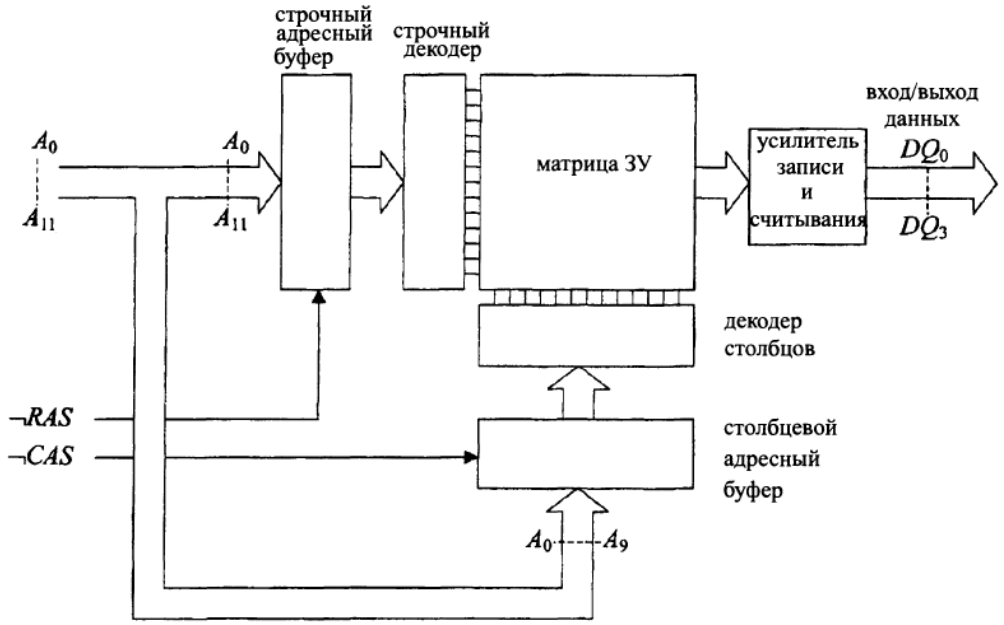

Рис.9.39. Принципиальная схема DRAM с емкостью 4М х 4 бит

9.14.1. Логические схемы, программируемые изготовителем

Схемы с большими логическими структурами называют программируемыми вентильными матрицами. Это схемы полуфабрикаты. Имеющиеся на них вентили могут быть соединены друг с другом по желанию пользователя. Линии связи производят масками-это стеклянные фотошаблоны, на которые нанесены фотографически уменьшенные логические структуры. Эти маски переносят на полупроводниковые пластины, используя процесс фотолитографии, и такое программирование называют масочным.

Матричные кристаллы, базовые ячейки и схемы, ориентированные на заказчика – это разновидности ASIC микросхем (Application Specific Integrated Circuit). Микросхемы встраивают в корпус, который имеет от 16 до 144 выводов. Особенно высокую плотность размещения вентилей можно достигнуть с N-МОП технологией.

9.14.2. Логические схемы, программируемые потребителем

Логические схемы, программируемые потребителем, называют PLD (Programmable Logic Devices) – программируемые логические устройства.

Мы изучали, что логические связи любой схемы могут быть выражены в *Совершенной дизъюнктивной нормальная форме* (СДНФ), которую получают из таблицы истинности логическим суммированием конституент единицы (записанных по определенному алгоритму логических произведений входных переменных, при которых выходная функция равна «1»).

СДНФ можно реализовать, используя логические элементы И и ИЛИ, соединенные определенным образом с помощью *программируемой логической матрицы* (ПЛМ).

На рис. 9.40 показана схема ПЛМ с тремя входными сигналами X_1, X_2, X_3 и двумя выходными Y_1, Y_2.

Схема содержит две программируемые логические матрицы в виде сетки перпендикулярных проводников. В местах пересечения проводников находятся полупроводниковые элементы – диоды и транзисторы, включенные через легкоплавкие перемычки к проводникам матрицы. При программировании ненужные перемычки пережигаются импульсами тока.

Матрица М1 работает следующим образом. Если на горизонтальную шину подана «1», то диод заперт, и ток через R не течет. На вертикальной шине, соединенной с анодом запертого диода, остается высокий потенциал, соответствующий «1». Если на горизонтальной шине низкий потенциал «0», то протекающий через R и открытый диод ток создает подение напряжения на R и на вертикальной шине будет «0». Для сохранения высокого потенциала на вертикальной шине матрицы М1 необходимо, чтобы все диоды этой шины были заперты, т.е. на всех входах была логическая «1». Таким образом на вертикальных шинах реализуется операция И от ар-

гументов, почеченных крестиками, в которых диоды дейтсвуют. Матрицу М1 называют матрицей И. В примере (рис.9.40) на выходах P_i реализуются функции:

$$P_1 = \overline{x}_1\overline{x}_2\overline{x}_3;\ P_2 = x_1x_3;\ P_3 = x_1x_2;\ P_4 = \overline{x}_1x_2x_3 \qquad (9.9)$$

Конъюнкции, образованные на выходах матрицы И, называют термами.

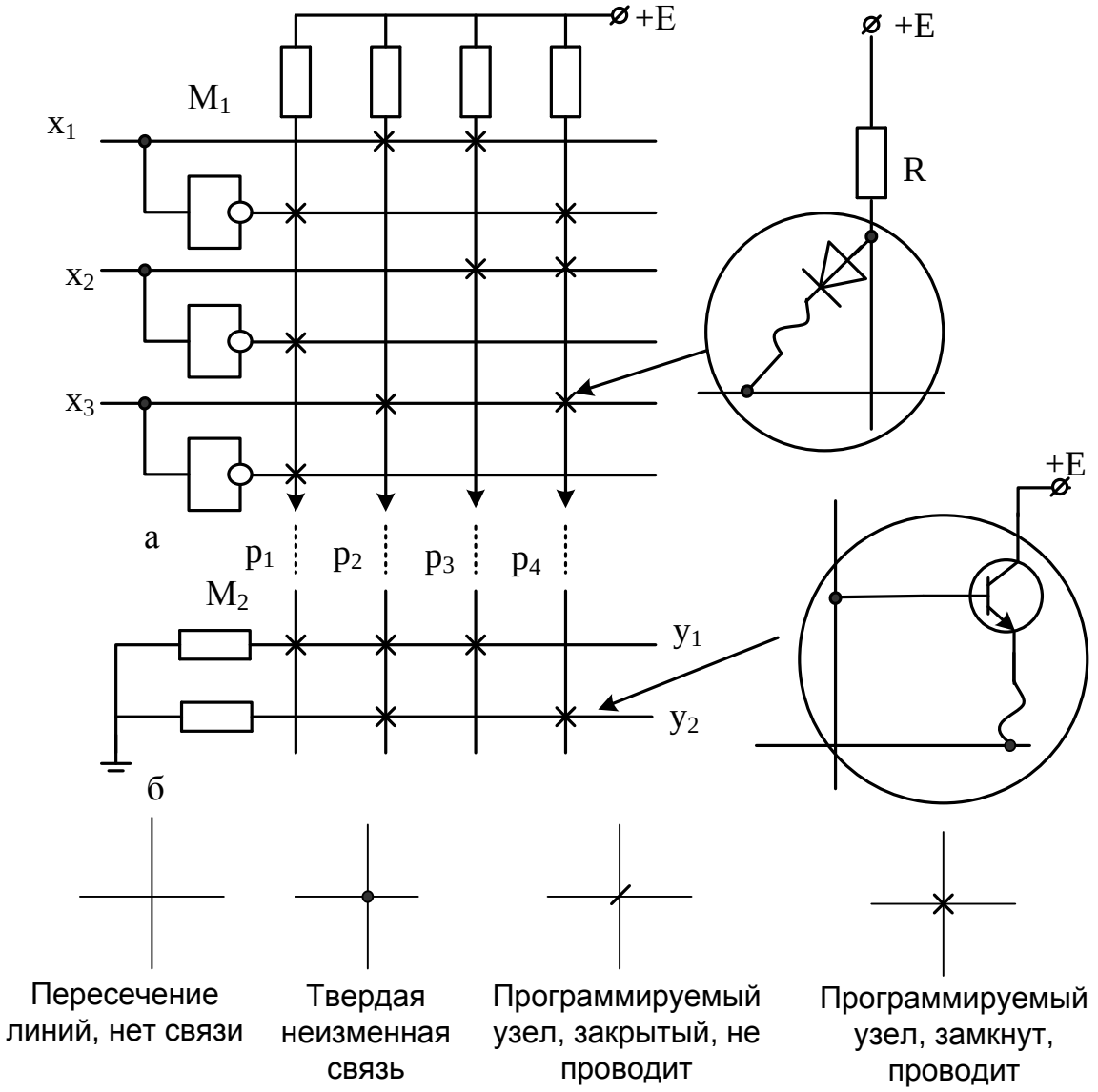

Рис.9.40. Программируемые логические матрицы:

а- матрица И; б – матрица ИЛИ

Рассмотрим работу матрицы М2. Если на вертикальной шине высокий потенциал, то транзистро открыт и высокий потенциал +Е поступает на горизонтальную шину у, т.е. на ней будет «1». Если транзистор закрыт

(на затворе «0»), то на шине y будет логический «0». Открытие любого транзистора приводит к появлению на горизонтальной шине y потенциала «1», поэтому на ней реализуется функция ИЛИ от входных переменных Pi, помеченных крестиками. Так каждая из переменных P_i реализует функцию И над аргументами x, то в итоге на выходах y реализуются функции:

$$y_1 = P_1 + P_2 + P_3 = \bar{x}_1\bar{x}_2\bar{x}_3 + x_1x_3 + x_1x_2 \text{ и}$$

$$y_2 = P_2 + P_4 = x_1x_3 + \bar{x}_1x_2x_3. \qquad (9.10)$$

Таким образом, ПЛМ осуществляет реализацию СДНФ логических функций. Основными параметрами ПЛМ являются число входов аргументов x, число выходов y и число термов (переменных P), которые могут входить в выходную функцию y.

Наряду с матрицами в ПЛМ входят блоки входных и выходных буферных каскадов. Входные буферы дают прямое и инверсное представление аргументов, формируют необходимую мощность для питания элементов матрицы.Выходные буферы обеспечивают необходимую нагрузочную способность выходов, разрешают или запрещают выходы ПЛМ на внешние шины.

ПЛМ могут выполняться как на биполярных, так и на МОП- транзисторах. Программирование ПЛМ заключается в пережигании перемычек, соединяющих горизонтальные и вертикальные шины матриц, которое выполняется в программаторах. Если аргумент не участвует в формировании переменной P, пережигают две перемычки, а если участвует – пережигают одну из перемычек для прямого или инверсного значения аргумента. Если переменная P входит в функцию y, то перемычку сохраняют, а если не входит – пережигают.

9.14.3. Разновидности программируемых логических устройств

К настоящему времеми создано и испльзуется значительное число разнообразных программируемых логических устройств. Средства программируемой матричной логики получили свое развитие в направлении, называемом «программируемые логические интегральные схемы» (ПЛИС), иностранное название PLD. Рассмотрим кратко основные их них.

Программируемая матричная логика – ПМЛ (Programmable Array Logic – PAL). В ПМЛ (рис. 9.41) выходы элементов И первой матрицы жестко расположены между элементами ИЛИ (входами матрицы ИЛИ). Для m входов и n выходов требуется m инверторов, n схем ИЛИ и 4n элементов И. По сравнению с ПЛМ эта схема имеет меньшую функциональную гибкость, но ее изготовление и использование проще.

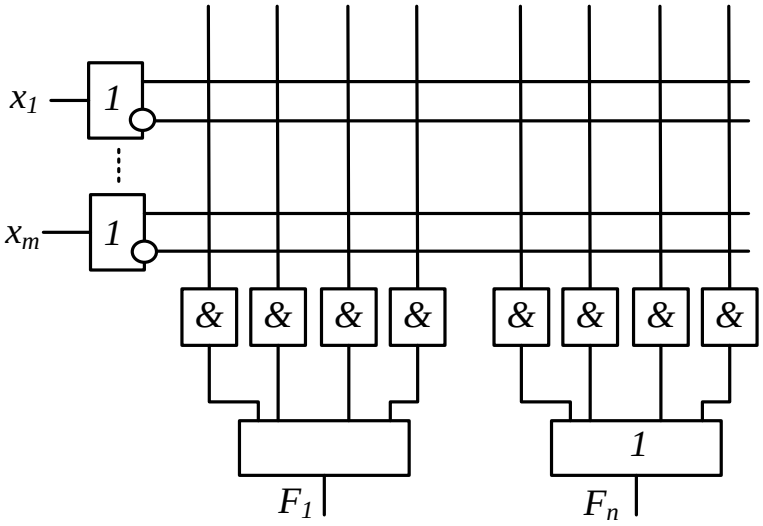

Рис.9.41. Базовая структура ПМЛ

Логика на базовых матричных кристаллах GAL (Genetic Array Logic). GAL- схемы были спроектированы с целью уолучшить некоторые известные недостатки PAL-схем. Программировние прожиглм очень тонких перемычек не применяется. GAL-схемы являются полностью EPLD (стираемые ультрафиолетом Erasable PLD) или EEPLD (стираемые электрически Electrical Erasable PLD). Их можно программировать более ста раз. GAL-используют программируемую И-матрицу, а матрица ИЛИ фиксирована.

Сложные программируемые логические устройства CPLD (*complex programmable logic device*). Содержат центральную коммутационную матрицу, множество функциональных блоков, в которых осуществляется логическая обработка сигналов, и блоки ввода/вывода, расположенные на периферии кристалла и осуществляющие прием и передачу сигналов между кристаллом микросхемы и контактными площадками.

Программируемые пользователем вентильные матрицы FPGA (field-programmable gate array) содержат блоки умножения-суммирования, которые широко применяются при обработке сигналов, а также логические элементы (как правило, на базе таблиц перекодировки — таблиц истинности) и их блоки коммутации. FPGA обычно используются для обработки сигналов, имеют больше логических элементов и более гибкую архитектуру, чем CPLD. Программа для FPGA хранится в распределённой памяти, которая может быть выполнена как на основе энергозависимых ячеек статического ОЗУ (в этом случае программа не сохраняется при исчезновении электропитания микросхемы), так и на основе энергонезависимых ячеек flash-памяти или перемычек antifuse (в этих случаях программа сохраняется при исчезновении электропитания). Если программа хранится в энергозависимой памяти, то при каждом включении питания микросхемы необходимо заново конфигурировать её при помощи начального загрузчика,

который может быть встроен и в саму FPGA. Альтернативой ПЛИС FPGA являются более медленные цифровые процессоры обработки сигналов. FPGA применяются также, как ускорители универсальных процессоров в суперкомпьютерах.

СБИС система на кристалле (СнК – система-на-кристалле) , (SoC – System on Chip), интегральная схема, содержащая компоненты компьютерных или иных электронных систем на одном кристалле. Может включать в себя цифровую, аналоговую и радиочастотную функции. Состоит, как правило, из готовых электронных компонент - специализированных СБИС (ASIC), полузаказных ИС (ПЛИС, БМК), ИС средней и малой степени интеграции, а также дискретных элементов, размещенных на одной подложке интегральной схемы. SoCs очень распространены на рынке мобильной электроники из-за их низкого энергопотребления, для более мощных процессоров, способных работать с программным обеспечением, таких как настольные версии Windows, и Linux. Высокая степень интеграции чипа, что приводит к снижению затрат на производство и позволяет реализовать производство целых цифровых систем, включающих процессор, память, интерфейсное устройство.

Основой для реализации СБИС «система на кристалле» стало направление FPGA. Производлители ПЛИС обозначают их как усовершенствованные СБИС с архитектурой FPGA, которые содержат сложные функциональные узлы, выполненные в виде аппаратных ядер.

Глава 10. Цифроаналоговые и аналого-цифровые преобразователи

Электронные устройства делятся на аналоговые и цифровые. В системах управления различными процессами участвуют устройства обоих типов. Аналоговые устройства используют для съема первичной информации с датчиков системы управления приводами, механизмами, микрофонов в звуковых системах и.т.п. Управление процессами в соответствии с заданным алгоритмом, передачу информации в современных цифровых системах связи выполняют цифровые устройства. После цифровой обработки сигналов и их приема требуется обратное преобразование в аналоговую форму для включения двигателей постоянного или переменного тока и воспроизведения звуковых сигналов в динамиках. Взаимодействие между аналоговой частью системы и цифровой обеспечивают цифроаналоговые преобразователи (ЦАП) аналого-цифровые преобразователи (АЦП).

10.1. Цифроаналоговое преобразование

Цифроаналоговый преобразователь (ЦАП) преобразует цифровую информацию в аналоговую. В цифровой технике информация существует чаще всего в бинарном втде, который кодируется по определенному коду. Для этого кода должен быть свой цифроаналоговый преобразователь. Код должен быть весовым. Например, каждому элементу двоичного кода, т.е. каждому разряду поставлен в соответствие вем, или степень числа 2. Двоично-десятичный код также является весовым кодом. Невесовые коды должны быть преобразованы в весовые. Рассмотрим работу нескольких важных типов ЦАП.

10.2. ЦАП с суммированием весовых токов

Схема модели ЦАП с сумирование весовых токов показана на рис.1.1. Опорное напряжение *U* опор через резисторы с весами 1, 2, 4, 8 и ключи создает на инвертирующем входе ОУ суммарный ток:

$$I_0 + I_1 + I_2 + I_3 = -I_N.$$

При замыкании свех ключей получаем:

$$U_{опорн}\left(\frac{1}{R_0} + \frac{2}{R_0} + \frac{4}{R_0} + \frac{8}{R_0}\right) = -\frac{U_a}{R_N}$$

В общем случае, когда не все ключи замкнуты, напряжение на выходе равно:

$$U_a = -U_{опорн}\left(\frac{R_N}{R_0}\right)(8Z_3 + 4Z_2 + 2Z_1 + Z_0). \qquad (10.1)$$

Здесь в зависимости от кода $Z_0 \div Z_3 = 0;1$.

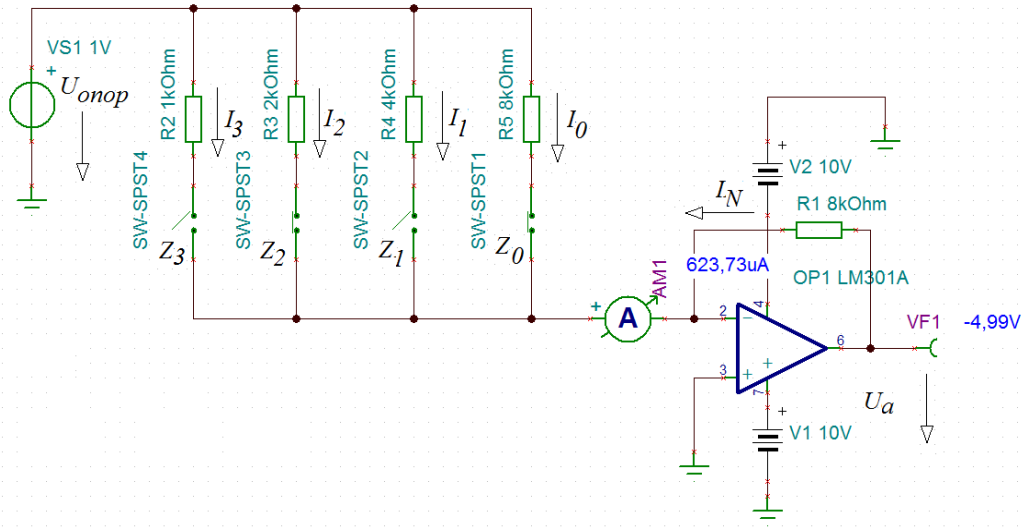

Рис.10.1. Схема модели ЦАП с суммированием весовых токов

Недостатком схемы является то, что меняется нагрузка опорного источника.

Для устранение этого редостатка применяют перекидные ключи и матрицу постоянного импеданса.

10.3. ЦАП с резистивной матрицей постоянного импеданса

Схема модели ЦАП с матрицей постоянного импеданса (матрицей *R-2R)* показана на рис. 10.2.

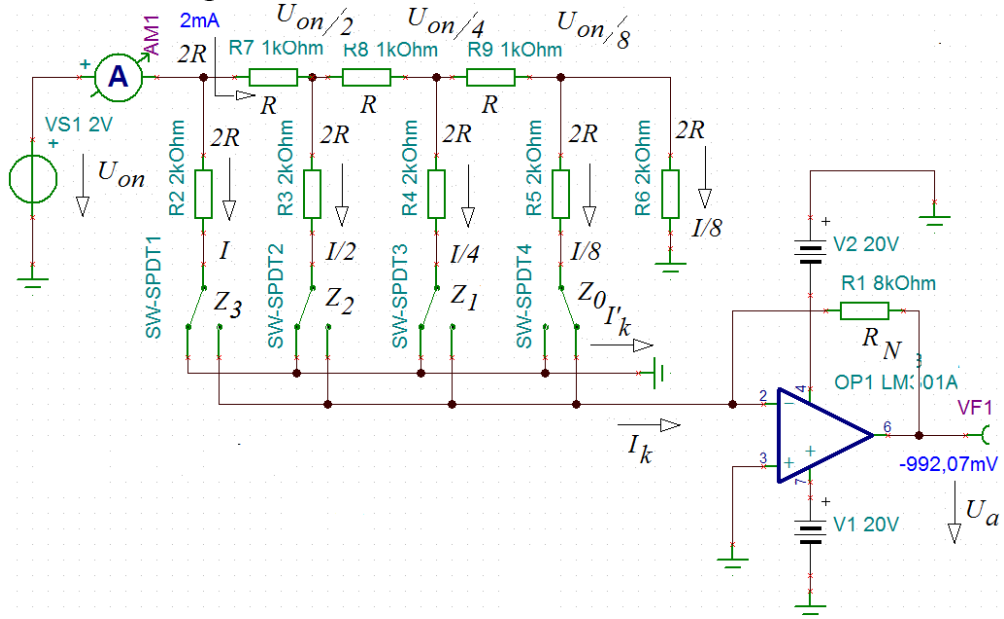

Рис.10.2. ЦАП с резистивной матрицей постоянного импеданса

Так как неинвертирующий вход ОУ заземлен на инвертирующем входе потенциал равен виртуальному нулю. При любом полежении коммутирующих ключем нагрузка источника опорного напряжения не меняется и равна *R*.

Вычислим выходное напряжение:

$$I_k = U_{опорн}\left(\frac{1}{2R} + \frac{1}{4R} + \frac{1}{8R} + \frac{1}{16R}\right) =$$

$$= \frac{U_{опорн}}{16R}\left(8Z_3 + 4Z_2 + 2Z_1 + Z_0\right) = -\frac{U_a}{R_N}. \qquad (10.2)$$

Отсюды получаем:

$$U_a = -U_{опорн}\frac{R_N}{16R}Z. \qquad (10.3)$$

В реальных ЦАП в качестве ключей используют МОП транзисторы (рис.10.3).

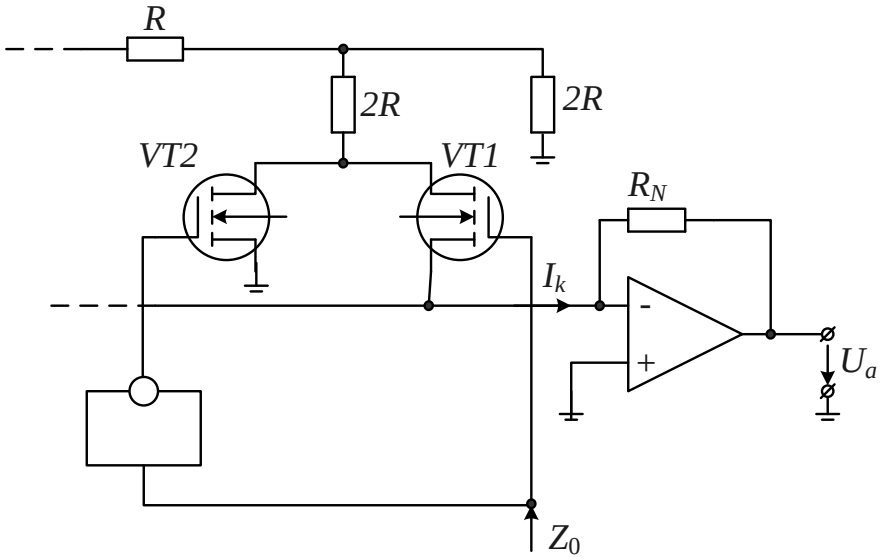

Рис.10.3. Матрица постоянного импеданса с ключевыми МОП транзисторами

В этой схеме всегда открыт один из транзисторов и нагрузка источника опорного напряжения не меняется.

10.4. Принцип аналого-цифровое преобразование

Аналого-цифровые преобразователи (АЦП) преобразуют аналоговую информацию в цифровую.

Теоретической основой аналого-цифрового преобразования является ***теорема В.А. Котельникова:***

Аналоговой непрерывный сигнал с ограниченным спектром можно представить последовательностью отсчетов с периодом дискретизации $T \le \frac{1}{2f_B}$, где f_B - верхняя частота спектра сообщения.

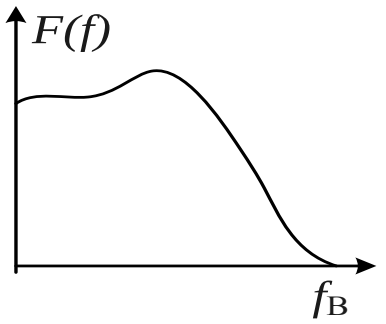

Рис.10.4. Ограниченный спектр аналогового сигнала

Верхней частотой спектропеределяют так, чтобы практически вся энергия сигнала была сосредоточена в полосе частот отнуля до f_B (рис. 10.4). Например, аналоговый звуковой сигнал находится в частотном диапазоне от 50 Гц до 20 кГц. Для его «оцифровки» частота отсчетов должна быть не менее 40 кГц. В этом случае на приемной стороне импульсный сигнал из отсчетов можно с высоким качеством преобразовать обратно в аналоговый. В современных цифровых системах звукозаписи частота отсчетов (дискретизации) составляет 44кГц.

10.5. Этаты аналого-цифрового преобразования

1. Дискретизация по времени

На первом этапе проводят дискретизацию аналогового сигнала по времени и представляют исходный сигнал в виде совокупности отсчетов. Для этого в АЦП присутствует блок или устройство выборки и хранения (УВХ), в котором в момент поступления тактирующего импульса текущее значение напряжения аналогового сигнала запоминается на емкости.

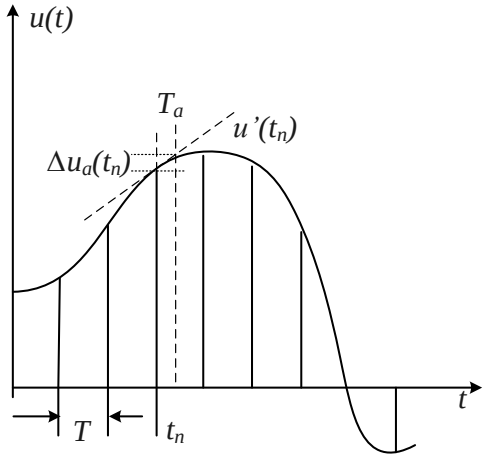

Рис.10.5. Апертурная погрешность временной дискретизации

Процесс дискретизации по времени может сопровождаться апертурной погрешностью, которую рассчитавыют следующим образом.

На рис.10.5 показана временная дискретизация аналогового сигнала с периодом Т. Параметры временной дискрктизации:

T_a - апертурное время преобразования;

$u'(t_n)$-скорость изменения сигнала;

$\Delta u_a(t_n)$ - апертурная по-

грешность. Для гармонического сигнала относительная апертурная погрешность: $\delta_a = \dfrac{\Delta u_a}{U_m} = \omega T_a$.

2. Квантование по амплитуде

Для того, чтобы дискретные отсчеты преобразовать в цифровые значения, выполняют квантование по амплитуде, т.е. разделяют представляют непрерывный аналоговый в виде ступенчатого сигнала (рис.10.6). Высоту минимальной ступеньки называют шагом квантования h. Максимальная погрешность квантования $\pm 0{,}5h$. Среднеквадратическая погрешность $\sigma_{кв} = \dfrac{h}{\sqrt{12}}$.

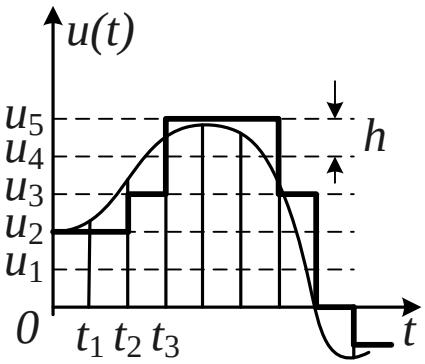

Рис. 10.6. Квантование по амплитуде

Апертурная погрешность будет меньше погрешности квантования, если:

$$T_a < \frac{h}{2U_m\omega_m} \qquad (10.4).$$

Многие современные микроконтроллеры имеют встроенные модули АЦП.

Важной характеристкой АЦП является разрядность. Разрядность показывает на сколько дискретных значений или уровней разделен диапозон изменения входного аналогового сигнала. Дискретные значения хранятся обычно в бинарном коде, их количество является степенью 2 и поэтому разрешение выражают в битах. Так АЦП с разрядностью 8 бит может кодировать аналоговый сигнал на 2^8=256 уровней. Значения могут быть в диапазоне от 0 до 255 (т.е. целое без знака) или от -128 до 127.

Разрешение АЦП может быть выражено через электрические величины. Разрешение в вольтах, которое называют шаг квантования, равно полному диапозону измерения напряжения, деленному на количество дискретных интервалов:

$$h = \frac{U_{max} - U_{min}}{2^m} = \frac{U_{max} - U_{min}}{N}, \qquad (10.5)$$

где: h – шаг квантования (дискретное значение напряжения в вольтах, приходящееся на единичное изменение выходного кода);

$(U_{max} - U_{min})$ – диапазон изменения входного напряжения;

m – разрядность АЦП;

N – количество интервалов (число градаций), на которые делится входной сигнал.

Например, используя АЦП с разрядностью 12 бит входное напряжение в диапозоне 0 – 10В можно преобразовать на 2^{12}=4096 квантованных уровня. Разрешение АЦП в вольтах составит:

$$h = \frac{U_{max} - U_{min}}{2^m} = \frac{10-0}{4096} = 2{,}44 мВ.$$

Шаг квантования, равный напряжению младшего разряда кода, обозначают U_{LSB} (least significant bit**).**

АЦП характеризуют следующими параметрами:

- разрешающая способность- количество бит;
- точность – ошибка в % от результата, или % от максимального значения;
- скорость – длительность преобразования;
- напряжение- диапазон от мин. До макс. Преобразуемого напряжения.

10.6. АЦП прямого параллельного преобразования

АЦП прямого пераллельного преобразования являются наиболее быстрыми и работают с компаторами, которые всегда переключают выходное состояние «0» в выходное сотояние «1», если на положительном входе напряжение равно или больше, чем на отрицательном. Каждый выходной бит привязан к отдельному компаратору. Схема АЦП показана на рис. 10.7.

АЦП преобразует аналоговое напряжение Uc в трехразрядный код. На делитель из резисторов подано опорное напряжение $U_{опорн} = 7h$, где h - шаг квантования. Компараторы на ОУ сравнивают входное напряжение U_c с напряжениями на резисторах делителя и устанавливают «1», если $U_c > (n - \frac{1}{2})h$. Тактовый импульс записывает состояния компараторов в триггеры. Шифратор преобразует данные в трехразрядный код. В результате получаем 8 уровней квантования.

АЦП прямого преобразования работают быстрее, чем все другие виды АЦП. Время преобразования определяется временем переключения компараторов. Оно равняется от 40 до 50 нс. Значит при 100 нс на одно преобразование каждую секунду возможны 10 миллионов преобразований. Стоимость такого АЦП большая. Для аналого-цифрового преобразования с 256 уровнями напряжения нужен АЦП с разрядностью 8 бит. Для

10-битового АЦП с 1024 шагами напряжения необходимо иметь 1024 компаратора.

Высокая степень интеграции современных микросхем позволяет создать АЦП прямого преобразования с хорошим разрешением. Точность преобразования зависит от точности опорных напряжений и от степени точности компараторов.

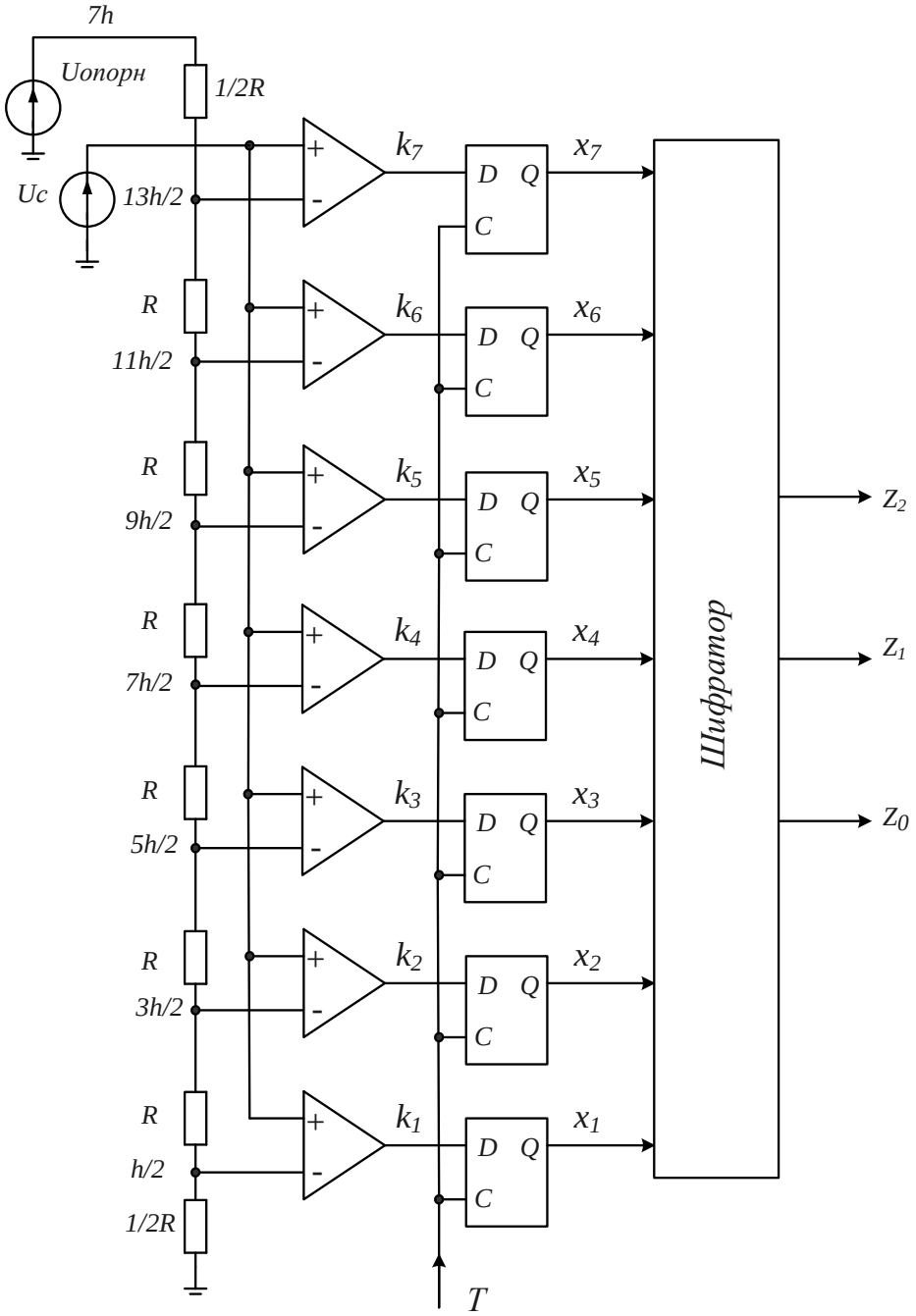

Рис. 10.7. АЦП прямого параллельного преобразования

10.7. АЦП, работающий по весовому принципу

Блок-схема устройства АЦП, использующего метод взвешивания, представлена на рис. 10.8. Компаратор К сравнивает занесенное в устройство выборки и хранения (УВХ) значение измеряемой величины U_c с выходным напряжением ЦАП $U(Z)$.

Рассмотрим этапы работы восьмиразрядного АЦП:

1. Память обнуляется.

2. Записываем в регистр $Z_7 = 1$. На выходе ЦАП получим $U_Z = 2^7 h = \frac{U_{max}}{2}$. Если $U_c > U_Z$, сохраняем $Z_7 = 1$. Если $U_c < U_Z$, обнуляем $Z_7 = 0$.

. На этом завершается «взвешивание» старшего разряда. Далее эта процедура выполняется с каждым из разрядов вплоть до самого младшего (LSB).

3. Записываем $Z_6 = 1$. Сравниваем $U_c - (Z_7 2^7 h + Z_6 2^6 h)$. Если $U_c > U_Z$, сохраняем $Z_6 = 1$. Если $U_c < U_Z$, обнуляем $Z_6 = 0$.

После восьми шагов в памяти будет двоичное число $Z = \frac{U_c}{h}$.

Таким образом, в регистре появляется число, которое с помощью ЦАП превращается в напряжение, совпадающее с U_c с точностью до U_{LSB}.

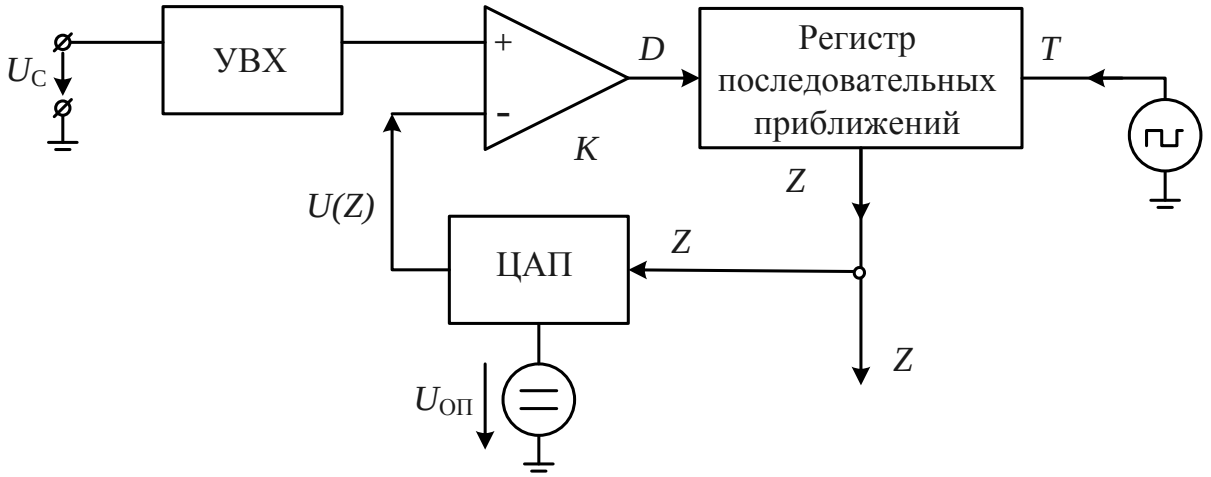

Рис.10.8. АЦП, работающий по методу взвешивания

Отсюда следует: $U(Z) = U_{on} \frac{Z}{Z_{max} + 1} = U_c$ и

$$Z = (Z_{max} + 1)\frac{U_c}{U_{on}}. \qquad (10.6)$$

Если входное напряжение за время преобразования изменяется, то необходимо УВХ в качестве буфера для хранения считанного значения функции с тем, чтобы все разряды формируемого числа относились к одному и тому же напряжению. В отсутствие УВХ может возникнуть погрешность, равная приращению входного напряжения за время преобразования.

10.8. АЦП, использующие методы счета

Аналого-цифровое преобразование, использующие метод счета, требует наименьших схемотехнических затрат, но длительность преобразования заметно больше по сравнению с остальными методами и, как правило, составляет от 1 мс до 1 с. Этого достаточно для медленно изменяющихся сигналов (например, связанных с измерением температуры, в цифровых вольтметрах и т.п.).

Рассмотрим наиболее важные способы реализации метода счета.

10.8.1. Компенсационный числовой АЦП

Компенсационный АЦП (рис. 10.9) близок к методу взвешивания, отличаясь от последнего тем, что вместо регистра последовательных приближений в нем используется реверсивный счетчик.

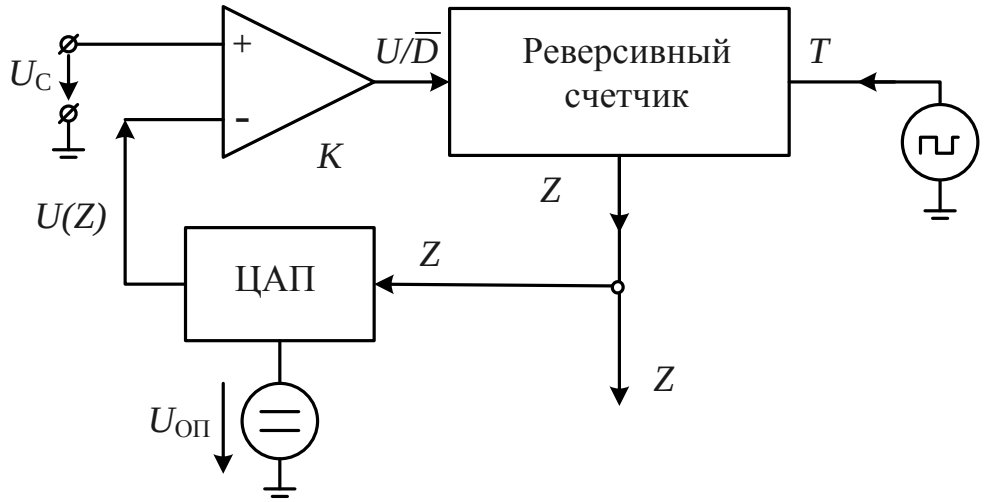

Рис.10.9. Компенсационный числовой АЦП

Входное напряжение сравнивается с компенсирующим. Если $U_c - U(Z) > \frac{h}{2}$, счетчик суммирует импульсы, если $U_c - U(Z) < \frac{h}{2}$ - вычитает. Компенсирующее напряжение отслеживает входное. На выходе

счетчика формируется двоичный код входного напряжения. Такие АЦП называют следящими аналого-цифровыми преобразователями.

Недостатком этой простой схемы является то, что счетчик не приходит в состояние покоя и его показания всегда изменяются на 1 LSB вокруг входного напряжения, ибо тактовые импульсы следуют непрерывно. Если это мешает, можно расширить обычный компаратор до строб-компаратора, который позволит блокировать тактовые посылки, когда компенсирующее напряжение приближается к входному на $\pm 1/2$ LSB.

В этом методе начальная скорость преобразования значительно ниже, чем в методе взвешивания, так как компенсирующее напряжение способно изменяться только на величину U_{LSB}. Однако при медленном изменении входного напряжения вполне возможно добиться малого времени установления благодаря самой процедуре слежения, при которой аппроксимация происходит непрерывно, тогда как в АЦП взвешивания каждый цикл начинается с нуля.

10.8.2. Метод пилообразного напряжения

АЦП по методу пилообразного напряжения (рис.10.10) не имеет ЦАП и действует по принципу преобразования входного напряжения в пропорциональный ему временной интервал. Для этого служит генератор пилообразного напряжения в сочетании со строб-компаратором K_1, K_2 и G_1.

Пилообразное напряжение изменяется от отрицательного значения до положительного по закону: $V_S = \dfrac{U_{on}}{\tau} t - V_0$.

На выходе элемента эквивалентности G1 сохраняется состояние «1» все время, пока пилообразное напряжение находится между 0 и Uc. Это время равно $\Delta t = \tau \dfrac{U_c}{U_{on}}$ и измеряется числом колебаний кварцевого генератора. Если в начале измерений счетчик сбросить на нуль, по достижении верхнего порога компаратора он покажет число:

$$Z = \frac{\Delta t}{T} = \tau f \frac{U_c}{U_{on}}. \qquad (10.7)$$

Если на вход подать отрицательное напряжение, нулевой отсчет будет пройден после того, как пилообразное напряжение сравняется с входным. По этой последовательности определяют знак измеряемого напряжения. Длительность измерения останется прежней, так как она зависит только от модуля входного напряжения. По окончании измерения счетчик должен быть сброшен на нуль, а пилообразное напряжение снижено до начальной отрицательной величины. Чтобы данные на выходе отобража-

лись непрерывно, предыдущий числовой результат заносят в запоминающее устройство и хранят там, пока не сформируется новое число.

Уравнение (10.7) показывает, что разброс постоянной времени τ непосредственно сказывается на точности измерений. Постоянная времени определяется RC-звеном, и потому подвержена влиянию температуры и дрейфа емкости конденсатора. По этим причинам крайне трудно добиться точности лучше 0,1%.

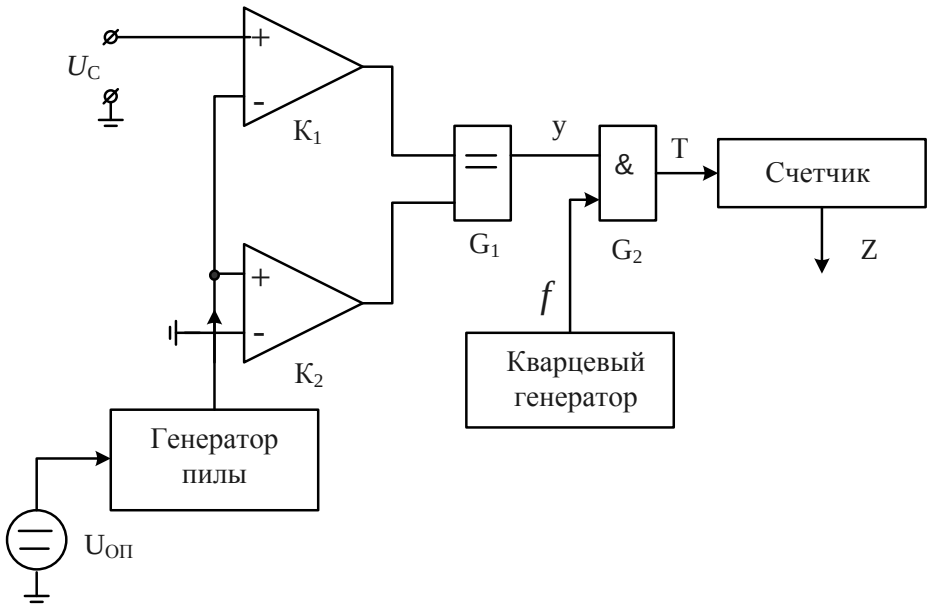

Рис.10.10. АЦП по методу пилообразного напряжения

10.8.3. Метод двойного интегрирования

Метод предусматривает интегрирование не только опорного, но и входного напряжения. В исходном состоянии ключи S_1 и S_2 разомкнуты, а ключ S_3 замкнут (рис. 10.11), благодаря чему напряжение на выходе интегратора равно нулю. Число Z также оказывается равным нулю:

$$Z = (Z_{max} + 1)\frac{U_c}{U_{on}}. \qquad (10.8)$$

К началу измерений счетчик обнулен, ключ S_3 разомкнут, а S_1 – замкнут, в силу чего происходит интегрирование входного напряжения Uc. Если оно положительно, напряжение на выходе интегратора будет отрицательным, и компаратор К с помощью схемы И разблокирует тактовый генератор. Первая фаза интегрирования t_1 завершается обнулением счетчика вслед за его переполнением после Z_{max} + 1 тактов. После обнуления схема управления изменяет состояние ключей: размыкается ключ S_1 и замыкается S_2. Затем интегрируется опорное напряжение. Поскольку оно отрицательно, выходное напряжение вновь нарастает. В конце второй фазы инте-

грирования U_I достигает нуля. Тогда компаратор сбрасывается на нуль и останавливает счетчик. Его показание равно количеству тактовых импульсов за время t_2 и, следовательно, пропорционально входному напряжению.

Временные диаграммы напряжения на выходе интегратора показаны на рис. 10.12. Видно, что интервал времени t_1 постоянный, а t_2 зависит от входного напряжения.

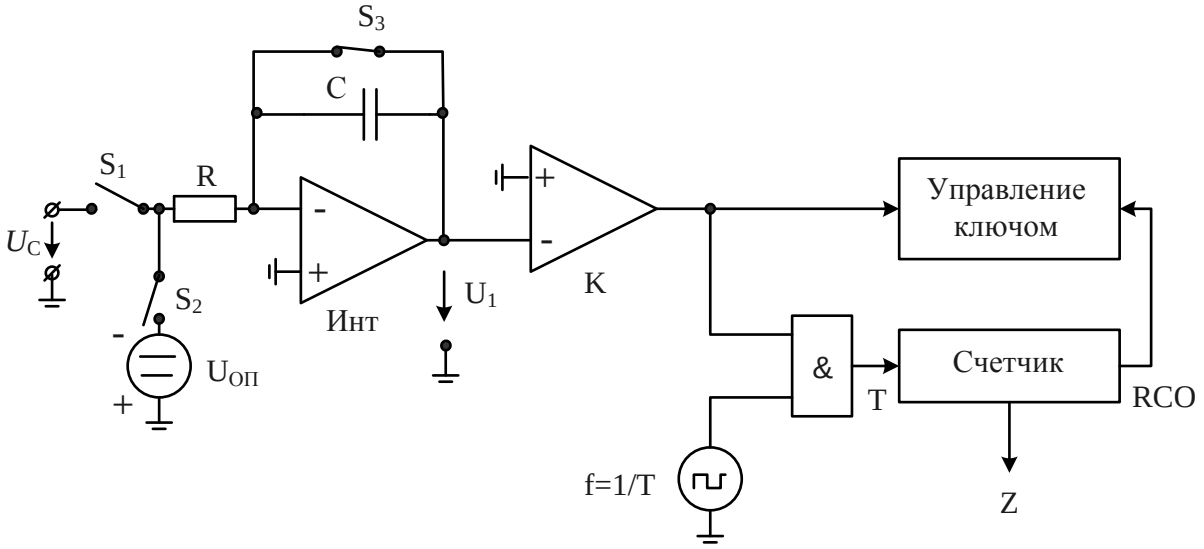

Рис. 10.11. АЦП по методу двойного интегрирования

Зависимость между входным напряжением U_c и результатом Z выражается непосредственно, если рассчитать процесс интегрирования и учесть, что он начинается и завершается при напряжении 0 В. Из уравнения:

$$U_I = -\frac{1}{RC}\int_0^{t_1} U_c dt - \frac{1}{RC}\int_0^{t_2} U_{on} dt \qquad (10.9)$$

при постоянном U_c следует:

$$-\frac{1}{RC}U_c t_1 - -\frac{1}{RC}U_{on} t_2 = 0. \qquad (10.10)$$

При

$$t_1 = (Z_{max} + 1)T \quad \text{и} \quad t_2 = ZT \qquad (10.11)$$

получаем

$$-\frac{1}{RC}U_c(Z_{max} + 1)T - \frac{1}{RC}U_{on} ZT = 0.$$

Постоянная времени RC и длительность тактового импульса T в уравнении сокращаются. Тогда:

$$U_c(Z_{max} + 1)T + U_{on} ZT = 0 \quad .$$

Отсюда окончательно находим:

$$Z = -\frac{U_c}{U_{on}}(Z_{max} + 1). \qquad (10.12)$$

Согласно этому выражению отличительная особенность метода двойного интегрирования заключается в том, что ни тактовая частота 1/T, ни постоянная интегрирования $\tau = RC$ не входят в окончательное уравнение. Требуется лишь соблюдать постоянство тактовой частоты за время $t_1 + t_2$. Столь кратковременное постоянство частоты обеспечивается простым тактовым генератором, что позволяет данному методу легко обеспечивать точность 0,01%.

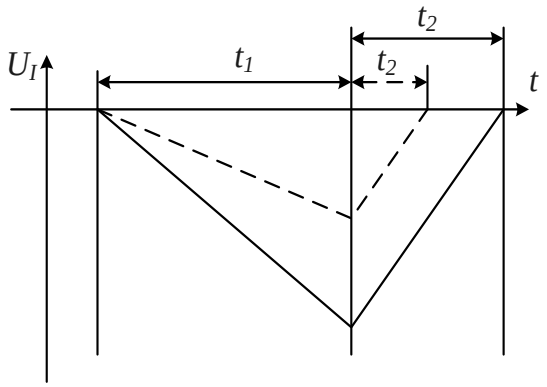

Рис. 10.12. Напряжение на выходе интегратора

Из выражения (10.12) видно, что в него входит не мгновенное значение измеряемого напряжения, а только его уровень, усредненный за период регистрации t_1. Отсюда чем выше частота переменного напряжения, тем сильнее оно ослабляется, и полностью подавляются переменные напряжения с частотой, кратной целому числу $1/t_1$. Поэтому целесообразно настраивать частоту тактового генератора так, чтобы t_1 равнялось периоду колебаний сетевого напряжения или было ему кратно, что позволит подавить все фоновые помехи.

Благодаря возможности обеспечить высокую точность и подавление помех при малых затратах метод двойного интегрирования нашел широкое применение в цифровых вольтметрах, где не важна относительно большая длительность преобразования.

Счетчик на рис. 10.11 может быть и двоично-десятичным. Это обстоятельство используется в цифровых вольтметрах, избавляя от необходимости выполнять двоично-десятичное преобразование результата измерений.

Глава 11. Микропроцессоры и микроконтроллеры

11.1. Понятия микропроцессора и микроконтроллера

Большие и сверхбольшие интегральные схемы (БИС и СБИС) с высокой степенью интеграции весьма дорогие в разработке и производстве. Поэтому, как правило, их применяют при массовом изготовлении электронных устройств (телефоны, калькуляторы, БИС памяти и т.п.). Для того, чтобы микросхемы было могли выполнять различные задачи управления, требовалось разработать новый класс универсальных микросхем, которые можно программировать таким образом, чтобы выполнялись различные логические функции. Такие универсальные программируемые микросхемы называют микропроцессорами.

Микропроцессор (процессор) – это устройство, отвечающее за выполнение арифметических, логических операций и операций управления, записанных в машинном коде, реализованный в виде одной микросхемы или комплекта из нескольких специализированных микросхем.

Современные микропроцессоры представляют собой весьма сложные по устройству изделия микроэлектроники. Многочисленные типы микропроцессоров характеризуются различными архитектурными решениями и функциональными возможностями. Микропроцессорная техника стремительно и многонаправленно развивается и совершенствуется, интегрируя новейшие достижения микроэлектроники и схемотехники.

Первые семейства 8-разрядных микропроцессорных БИС: 8080, 8085 (Intel), Z80 (Zilog), MC6800, MC6809 (Motorola), MCS6500 (MOS Technology) были разработаны были разработаны к середине 80-х годов XX века. Отечественными аналогами стали микропроцессорные комплекты серий К580 и К1821.

Микропроцессорный комплект кроме собственно центрального процессора содержит около 20 вспомогательных микросхем (шинные формирователи, приемо-передатчики, контроллеры ввода-вывода, дисплея, интерфейса системы, прямого доступа к памяти и т.п.). Изучение взаимодействия микросхем микропроцессорного комплекта подробно изучается в курсе «Микропроцессорная техника».

Микроконтро́ллером называют микросхема, предназначенную для управления электронными устройствами. В отличии от микропроцессора типичный микроконтроллер сочетает на одном кристалле функции процессора и периферийных устройств, содержит ОЗУ и (или) ПЗУ, интегрированные в микросхему устройства ввода-вывода, таймеры, АЦП и ЦАП, другие периферийные устройства.

По сути, это однокристальный компьютер, способный выполнять относительно простые задачи.

11.2. Структура микропроцессорного устройства

В микропроцессорных устройствах применяются магистрально-модульный принцип построения микропроцессорных систем (МПС). Упрощенная структура такой МПС приведена на рис.11.1. Центральным устройством в системе является микропроцессор (МП), выполняющий арифметические и логические операции над данными, осуществляющий управление выборкой команд и данных из памяти и организующий взаимодействие всех устройств, входящих в систему.

Работа МП происходит под воздействием тактовых сигналов, вырабатываемых схемой синхронизации, часто выполняемой в виде отдельной микросхемы (генератора тактовых импульсов).

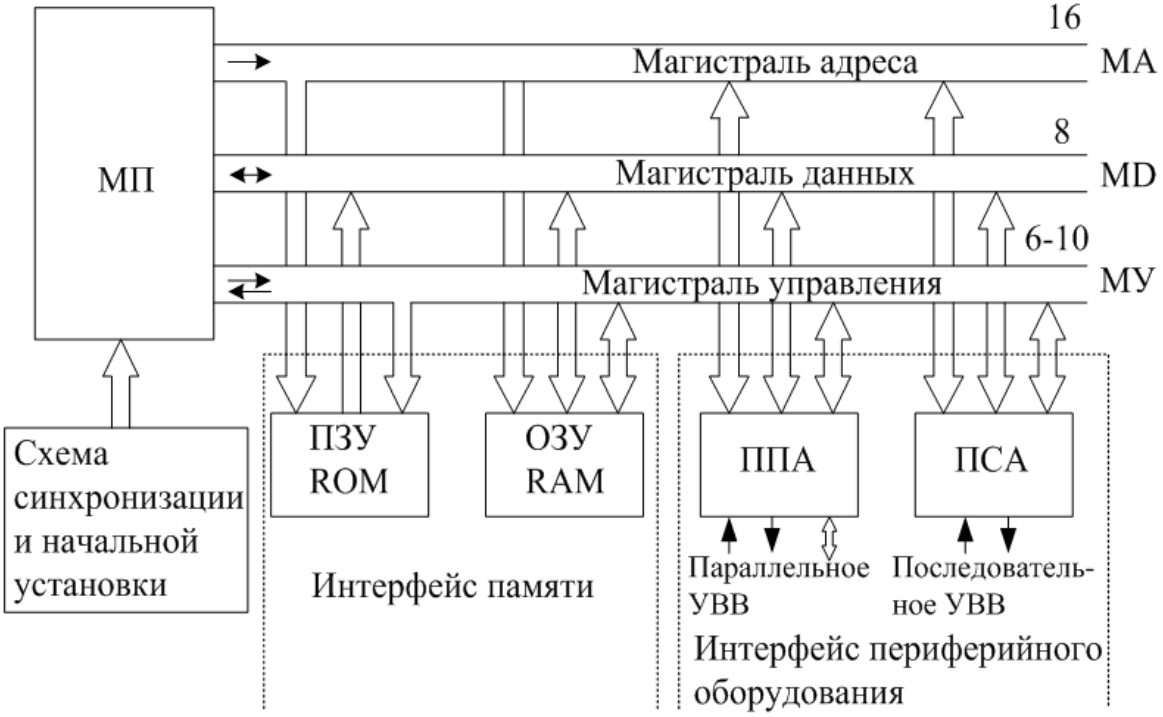

Рис. 11.1. Структура микропроцессорной системы

Программы работы МПС размещаются в модулях постоянных запоминающих устройств (ПЗУ) и оперативных запоминающих устройств (ОЗУ).

Микропроцессорные устройства и МПС содержат различные средства ввода-вывода информации. Шины адреса, данных и управления объединяют все устройства в единую систему. Периферийные устройства подсоединяются к шинам через программируемые периферийные адаптеры, осуществляющие передачу информации в параллельном или последовательном кодах. Наличие программно-настраиваемых адаптеров делает весьма гибкой и функционально богатой систему ввода-вывода информации в МПС.

Подготовка списка команд называется программированием, а подготовленный список команд представляет собой программу, которая заносится в ПЗУ или ОЗУ и предписывает микропроцессору определенные действия. МП считывает из памяти команду и выполняет ее. Далее МП формирует адрес следующей команды в программе, считывает, выполняет и формирует адрес новой команды. Так функционирует микро-ЭВМ.

11.3. Основные свойства микропроцессоров

Микропроцессоры характериэуются следующими свойствами:

1. *Длина слова* указывает, сколько бит могут обрабатываться параллельно, т.е. количество бит входных и выходных данных. Существуют 4-битовые, 8-битовые, 16-битовые и 32-битовые микропроцессоры.

2. *Скорость вычислений.*

При сравнении скорости вычислений сравнивают друг с другом длительность цикла обработки. Про длительностью цикла обработки понимают время, которое требуется для параллельного сложения двух двоичных чисел и для ввода-вывода этих чисел из/в память. Обычно цикл длится от 10 мкс до 0,1 мкс.

3. *Технология.*

Микропроцессоры производят в основном в МОП-исполнении. В этой технологии возможна максимальная степень интеграции. Среди МОП процессоров основу составляют *N*-МОП процессоры. Они потребляют мощность от 0,5 до 1,5 Вт. Различают статические и динамические микропроцессоры. Статические микропроцессоры имеют статическое ОЗУ и не нуждаются в регенерации. Динамические микропроцессоры имеют динамическое ОЗУ и требуют регенерации.

4. *Система команд.*

- Микропроцессоры CISC классической архитектуры с полным набором (более 200) команд форматом от 1 до 20 бит с использованием более 10 способов адресации, используемые в большинстве современных персональных компьютеров типа IBM PC. Такое многообразие выполняемых команд, способов адресации и наличие 8 или 16 регистров общего назначения (РОН) позволяет разработчику реализовать наиболее эффективные алгоритмы решения различ ных задач. Однако при этом существенно усложняется структура МП, особенно его устройство управления, что приводит к увеличению размеров и стоимости кристалла, снижению производительности.
- Микропроцессоры RISC с неполным набором (около 100) команд с фиксированным форматом длиной 4 байта и числом РОН от 32 до нескольких сотен, в результате чего МП с RISC-архитектурой на 20-30% реже обращается к оперативной памяти. Такие микропроцессоры содержат набор только простых, чаще всего встречающихся в программах, команд, а

при необходимости выполнения более сложных команд в RISC-процессоре производится их автоматическая сборка из простых команд. Размеры МП с RISC-архитектурой меньше, как и цикл разработки RISC-процессора, а их быстродействие выше по сравнению с процессорами с CISC-архитектурой. Начиная с процессора Pentium корпорация Intel начала внедрять элементы RISC-технологии в свои изделия.

- Микропроцессоры VLIW, использующие очень длинные команды (128 бит и более), отдельные поля которых содержат коды, обеспечивающие выполнение различных операций. Специальный компилятор планирования перед выполнением прикладной программы проводит её анализ, и по множеству ветвей последовательности операций определяет группу команд, которые могут выполняться параллельно. Каждая такая группа образует одну сверхдлинную команду. Это позволило выполнять в течение одного такта группу коротких команд и упростить структуру VLIW-процессора. Данная архитектура реализована в микропроцессорах моделей PA850 (совместной разработки компаний Intel и Hewlett_Packard), в некоторых типах цифровых сигнальных процессоров (DSP) и является весьма перспективной для создания нового поколения сверхвысокопроизводительных процессоров.

11.4. Структура и функционирование микропроцессора

Типичная структура 8-разрядного микропроцессора приведена на рис. 11.2. В него входят два автономных устройства: операционное устройство (ОпУ) и шинный интерфейс (ШИ).

В операционном устройстве содержатся основные компоненты МП:

АЛУ, устройство управления, регистр команды, регистр состояния (или регистр флагов) и восемь регистров общего назначения (РОН).

Шинный интерфейс связан с мультиплексной шиной адреса/данных и шиной управления и выполняет следующие функции: обеспечивает временное мультиплексирование, автоматически заполняет очередь команд следующими командами, суммирует содержимое одного из сегментов регистров с адресом памяти до выдачи его на шину адреса так, что память подразделяется на сегменты 64 кбайт.

Все действия в МП инициируются импульсами синхронизации, а внутренние элементы выполняют следующие функции:

- содержимое *программного счётчика* команд помещается на шину адреса, и следующую команду программы можно передать из памяти в МП;

- *регистр команды* воспринимает команду;

- *устройство управления* дешифрует команду и инициирует в МП те действия, которые необходимы для её выполнения;

- *регистры общего назначения* содержат элементы данных, обрабатываемые командой;

- все операции МП реализуются в *АЛУ*. Оно может изменять значения данных за счёт привлечения арифметических (сложение, вычитание и др.) и логических (логическое И, логическое ИЛИ и др.) функций;

- *регистр состояния* содержит флаги, регистрирующие особенности результатов операций АЛУ, например, переполнение.

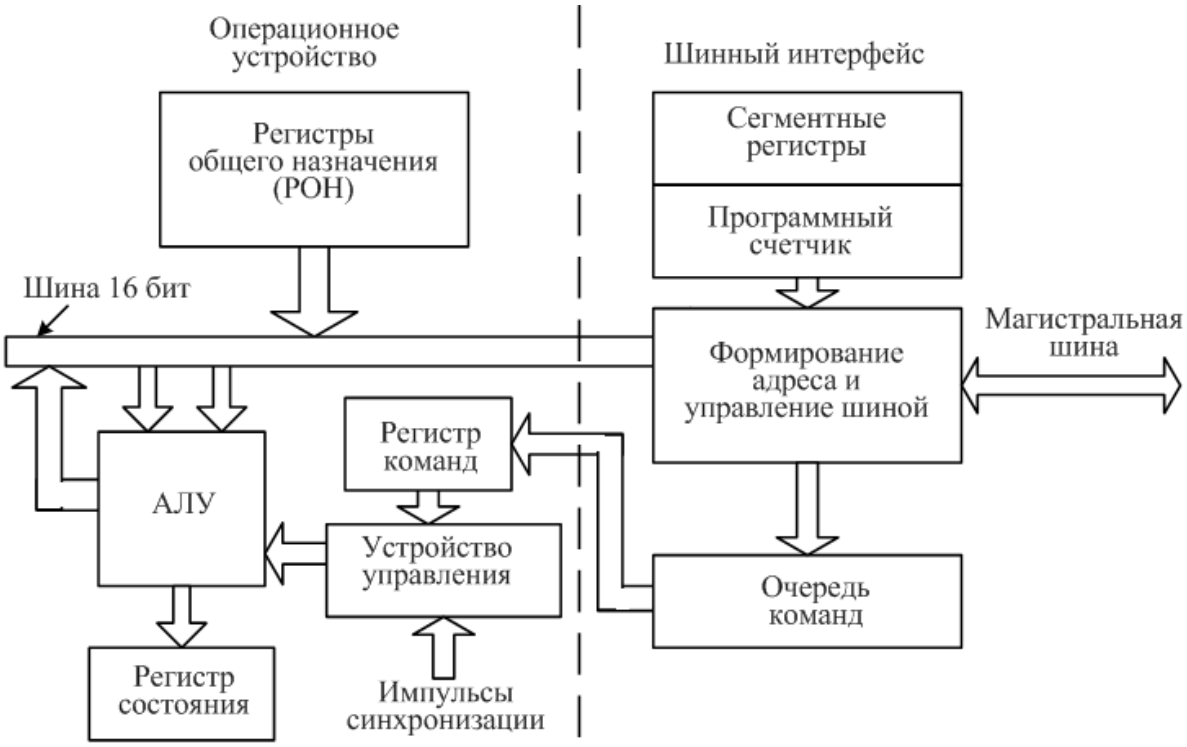

Рис. 11.2. Структура 8-разрядного микропроцессора

Система команд конкретного МП может содержать от 50 до нескольких сотен различных команд. В командах обработки и пересылки данных применяются различные способы (прямая регистровая, абсолютная, косвенная регистровая, индексная и др.) обращения к данным, называемыми *режимами адресации*.

Остановимся несколько подробнее на функциях шинного интерфейса (ШИ). Очередь команд предназначена для того, чтобы повысить быстродействие МП. При выполнении команд программы значительное время расходуется на выборку команд из памяти. Поэтому ШИ непрерывно пытается поддерживать очередь команд заполненной, считывая байты последующих команд из памяти, когда ОпУ выполняет команду и не требует использования шин.

В этом случае, если ОпУ завершает команду, то оно не должно считывать из памяти код операции следующей команды. Длина команд со-

ставляет от 1 до 6 байт, а очередь команд состоит из 6 или 4 байт. Когда выполняется команда, связанная с передачей управления другой ячейки памяти, например, переход или вызов подпрограммы, ШИ очищает очередь и передаёт команду по новому адресу непосредственно в ОпУ, а затем заполняет очередь команд. Иногда работа с очередью команд называется *конвейеризацией.* Она обеспечивает более эффективное использование шин и быстрое выполнение программы.

Система команд 8-разрядного микропроцессора RISC и микроконтроллера RISC достаточно близки и будет рассмотрена в следующих прарграфах.

11.5. Микроконтроллеры

Микроконтроллеры выпускают многие фирмы (Microchip Technology, Atmel, Texas Instruments и др.).

Рассмотрим микроконтроллеры семейства PIC (*Peripheral Interface Controller*) компании Microchip, которые объединяют все передовые технологии, имеют широкую номенклатуру и используются в устройствах, предназначенных для разнообразных сфер применения.

Высокая скорость выполнения команд в PIC контроллерах достигается за счет использования двухшинной гарвардской архитектуры, основанной на наборе регистров с разделенными шинами и адресными пространствами для команд и данных.

Микроконтроллеры PIC содержат RISC-процессор с симметричной системой команд, позволяющей выполнять операции с любым регистром, используя произвольный метод адресации. Пользователь может сохранять результат операции в самом регистре-аккумуляторе или во втором регистре, используемом для операции.

RISC (*restricted (reduced) instruction set computer*) - компьютер имеет сокращённый набор команд. Быстродействие в нем увеличивается за счёт упрощения инструкций, чтобы их декодирование было более простым, а время выполнения - меньшим.

Компания Microchip выпускает несколько основных семейств 8 - разрядных RISC-микроконтроллеров, совместимых снизу вверх по программному коду.

Микроконтроллеры группы PIC16F84X относятся к семейству 8-разрядных КМОП микроконтроллеров группы PIC16CXXX, для которых характерны низкая стоимость, полностью статическая КМОП-технология и высокая производительность. Микроконтроллер PIC16F84A наиболее полно описан в учебной и технической литературе, имеет документацию на русском языке и пользуется популярностью у разработчиков устройств. Поэтому и мы начнем с него изучение микроконтроллеров.

11.5.1. Технические характеристики микроконтроллера PIC16F84A

Описание микроконтроллера надо найти на сайте Microchip.

Микроконтроллер PIC16F84A относится к семейству КМОП микроконтроллеров, использует гарвардскую архитектуру с RISC – процессором и имеет следующие основные характеристики:

- используются только 35 простых команд;
- все команды выполняются за один цикл (1 мкс при частоте 4 МГц), кроме команд перехода, которые выполняются за 2 цикла (цикл состоит из четырех тактов генератора);
- рабочая частота от 0 Гц до 4 МГц;
- раздельные шины данных (8 бит) и команд (14 бит);
- 14-битные команды;
- 8-битные данные;
- 1024 x 14 электрически перепрограммируемой программной памяти на кристалле (EEPROM);
- 36 x 8 регистров общего использования;
- 15 специальных аппаратных регистров SFR;
- 64 x 8 электрически перепрограммируемой EEPROM памяти для данных;
- восьмиуровневый аппаратный стек;
- прямая, косвенная и относительная адресация данных и команд;
- четыре источника прерывания.

Периферия и Ввод/Вывод:

- 13 линий ввода-вывода с индивидуальной настройкой;
- входной/выходной ток для управления светодиодами.
- макс. входной ток - 20 мА. ,
- макс. выходной ток - 25 мА.,

Четыре режима возбуждения встроенного генератора выбираются пользователем.

11.5.2. Особенности архитектуры PIC16F84A

Архитектура микроконтроллера PIC16F84A показана на рис.11.3.

Архитектура основана на концепции раздельных шин и областей памяти для данных и для команд (Гарвардская архитектура). Шина данных (Data bus), память данных (EEPROM Data Memory) (РПЗУ) и регистровое ОЗУ данных (RAM) - имеют ширину 8 бит, а программная шина (Program bus) и программная память (ПЗУ) (Flash Program Memory) имеют ширину 14 бит. Такая концепция обеспечивает простую, но мощную систему ко-

манд, разработанную так, что битовые, байтовые и регистровые операции работают с высокой скоростью и с перекрытием по времени выборок команд и циклов выполнения. 14 - битовая ширина программной памяти обеспечивает выборку 14-битовой команды в один цикл. Двухступенчатый конвейер, использующий 8-ми уровневый стек, обеспечивает одновременную выборку и исполнение команды. Все команды выполняются за один цикл, исключая команды переходов. В PIC16F84A программная память объемом 1К х 14 расположена внутри кристалла. Исполняемая программа может находиться только во встроенном ПЗУ.

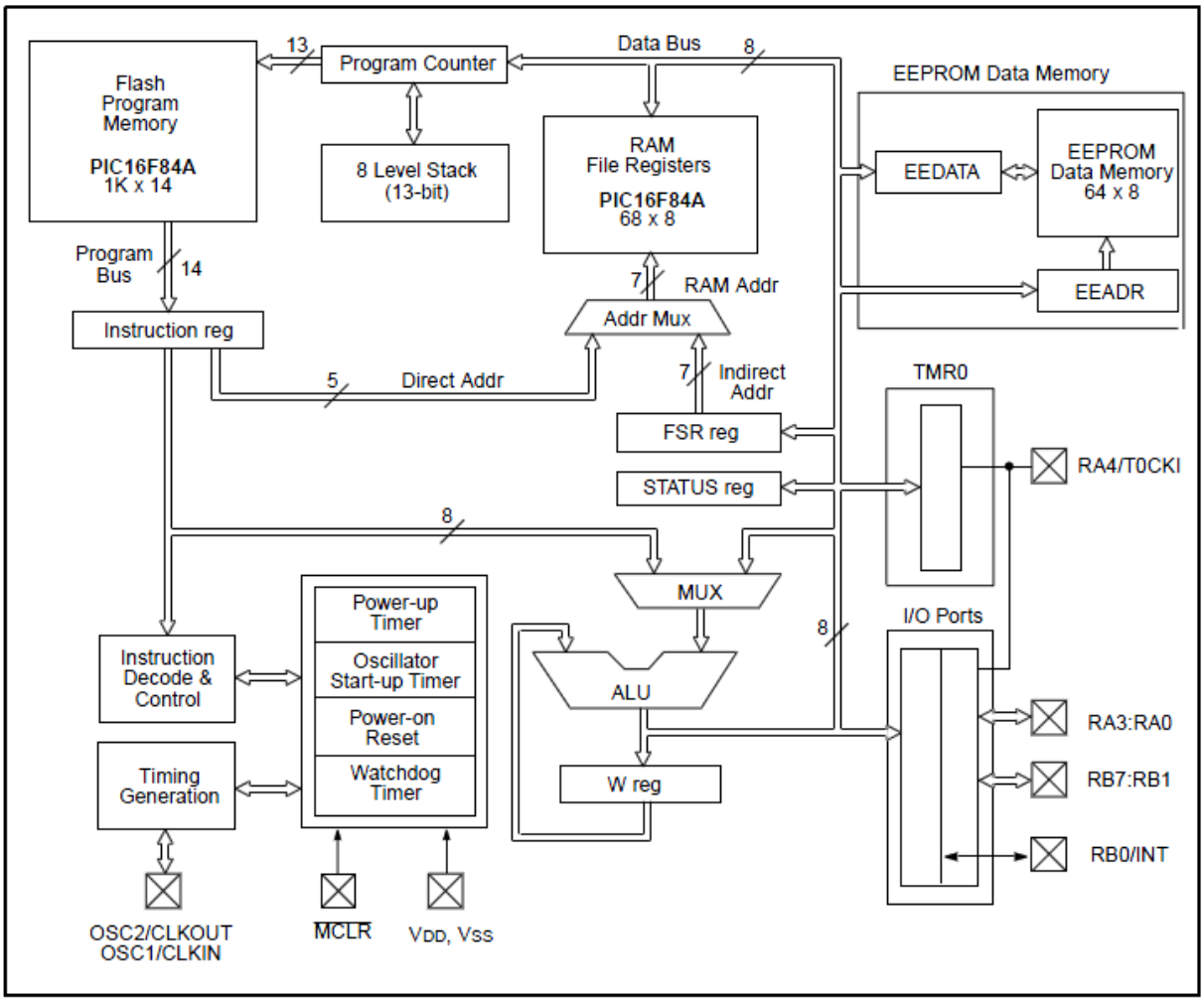

Рис.11.3. Архитектура микроконтроллера PIC16F84

Арифметико-логическое устройство АЛУ выполняет действия в 8-битными данными. Адресный мультиплексор (MUX) допускает прямую и косвенную адресацию ОЗУ данных.

Периферия включает в себя 8-битный таймер/счетчик с 8-битным программируемым предварительным делителем (фактически 16 - битный таймер), 13 линий двунаправленного ввода/вывода и другие модули.

11.5.3. Память

Память в микроконтроллерах (далее МК) бывает трёх типов: память программы, оперативная память, энергонезависимая память.

В *память программы* (Flash Program Memory) загружаются строчки текста программы. Загруженный текст программы не изменяется и не пропадает после выключения питания МК. Размер памяти программ определяется типом используемого МК.

Для PIC16F84A размер памяти программ составляет 1024 строчки.

Оперативная память (RAM) используется для обращения к ней из текста программы и загрузки изменяющихся оперативных данных. При включении МК содержимое ячеек оперативной памяти неизвестно. Данные (числа) загружаются в оперативную память в ходе выполнения программы. Оперативная память МК используется для временного хранения данных. Размер оперативной памяти относительно памяти программ гораздо меньше. В PIC16F84A оперативная память состоит из 36 ячеек.

Энергонезависимая память (EEPROM) содержит данные, которые при выключение питания МК не пропадают. Содержимое энергонезависимой памяти можно определить в процессе написания программы, а также содержимое может измениться в ходе выполнения программы в МК. В PIC16F84A энергонезависимая память состоит из 64 ячеек.

11.5.4. Регистры

Память RAM и EEPROM состоит из ячеек, называемых регистрами. Регистр – это устройство, предназначенное для записи, хранения и (или) сдвига цифровой информации, представленной в виде многоразрядного двоичного кода. Память программ может быть организована иначе. В PIC16F84A регистры восьмиразрядные. В регистр может быть записано одно положительное число от 0 до 255.

11.5.5. Системы счисления

Математика МК использует *двоичную* (бинарную) систему счисления.

Десятичное число 255 в двоичной системе выглядит как восемь единиц `11111111`, а двоичное число 0 – как восемь нулей `00000000`. Обозначение нуля одним символом `0` применяют в любой системе счисления. Таким образом, в регистр записывается не десятичное число, а двоичное.

Двоичные восьмибитные числа называют байтами.

1 БАЙТ = 8 БИТ.

Таким образом, 1 байт представляет собой последовательность нулей и единиц (или набор битов), например, `11011000` , где количество нулей и единиц равно восьми.

Нумерация битов идёт справа налево от нуля до семи. В нашем примере нулевой бит равен нулю, а седьмой бит равен единице. Эта система счисления называется бинарной. В ней используются две цифры `0` и `1`. Восьмибитные числа могут создать 255 комбинаций, т.е. любое число на интервале от 0 до 255. Таким образом, в регистр мы можем записать десятичное число от 0 до 255.

Каждый регистр имеет свой порядковый номер – адрес регистра. Адрес регистра обозначают числом из *шестнадцатеричной системы* счисления, например, 1A.

Шестнадцатеричное число представляет собой комбинацию 16 символов: 0, 1, 2, 3, 4, 5, 6, 7,8, 9, A, B, C, D, E, F. В нашем случае 1A – это десятичное число 26. Перевод чисел из одной системы в другую несложно сделать в стандартном калькуляторе Windows (в настройках калькулятора выбрать вид "инженерный") или используя конвертер BinHexDec.

Для записи исходных данных, констант в программах используют десятичную систему счисления.

11.5.6. Формат записи чисел

Чтобы различать, в какой системе счисления задано число, используют следующий формат записи. Десятичное число 26 записывают так:

- в десятичной системе: D26 или d26 или .26 (точка перед числом);
- в двоичной системе: B00011010 или B11010 или b11010;
- в шестнадцатиричной системе: 0x1A или 1Ah.

Все эти примеры записи используются при написании текста программ в MPLAB (об этом позже). Для данных понятнее использовать десятичный формат. Однако, запись .26 понимает MPLAB, но не понимает TINA, а запись d26 – наоборот. Поэтому мы для надежности будем записывать данные тоже в шестнадцатиричной системе.

Адреса регистров традиционно пишут только в шестнадцатеричной форме. При работе с битами регистров нагляднее использовать двоичную запись.

Необходимо отметить, что от нуля до девяти включительно 16-ричная и 10-тичная системы исчисления одинаковы в написании. Если записано число без атрибутов (B,H,D и "точка"), то по умолчанию оно будет считаться 16-ричным.

11.5.7. Организация памяти программ и стека

Программный счетчик в PIC16F84A имеет ширину 13 бит и способен адресовать 8Кх14бит объема программной памяти. Однако, физически на кристалле имеется только 1Кх14 памяти (адреса 0000h-03FFh). Обращение

к адресам выше 3FFh фактически есть адресация в тот же первый килобайт.

Организация памяти программ и стека показана на рис.11.4.

В памяти есть выделенные адреса. Вектор сброса находится по адресу 0000h, вектор прерывания находится по адресу 0004h. По адресу 0004h располагается подпрограмма идентификации и обработки прерываний, а по адресу 0000h – команда перехода на метку, расположенную за подпрограммой обработки прерываний.

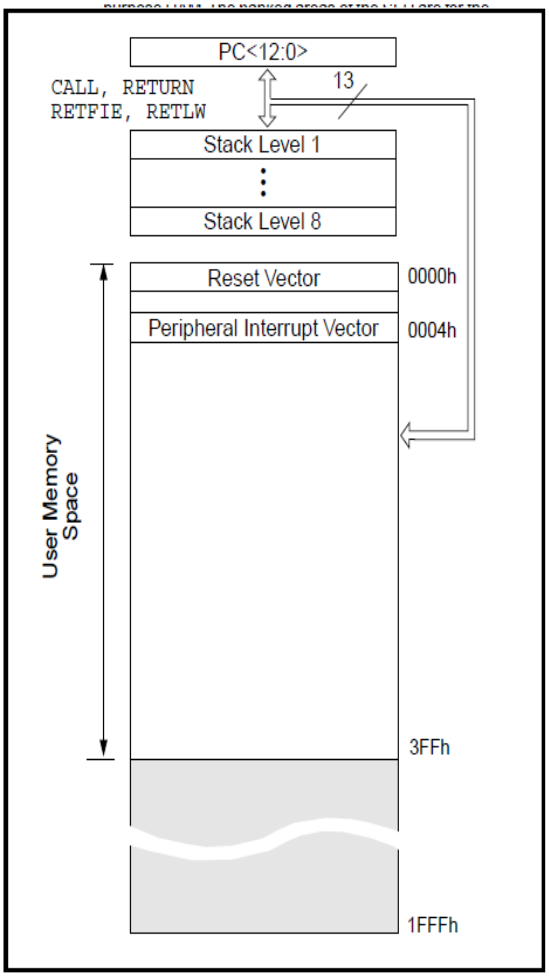

Рис.11.4. Память программ

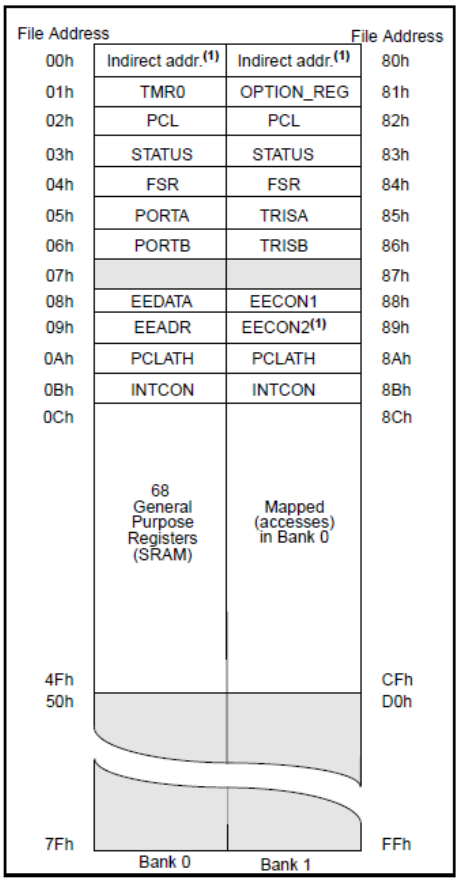

Рис.11.5.Память данных

11.5.8. Организация памяти данных

Память данных разбита на две области (рис.11.5). Первые 12 адресов занимают регистры специального назначения (SFR), вторая область – регистры общего назначения (GPR). Область регистров SFR управляет работой МК.

Обе области разбиты на банки 0 и 1. Банк 0 выбирается обнулением бита RP0 регистра статуса (STATUS). Установка RP0 в единицу выбирает

банк 1. Каждый банк имеет размер 128 байт. Однако для PIC16F84A память данных существует только до адреса 04Fh.

Некоторые регистры специального назначения продублированы в обоих банках, а некоторые расположены только в одном банке.

Регистры с адресами 0Ch-4Fh могут использоваться как регистры общего назначения, которые представляют собой статическое ОЗУ. Адреса регистров общего назначения банка 1 отображаются на банк 0. Следовательно, когда установлен банк 1, то обращение к адресам 9Ch-CFh фактически адресует банк 0.

К ячейкам ОЗУ можно адресоваться прямо, используя абсолютный адрес каждого регистра, или косвенно, через регистр указатель FSR.

11.5.9. Регистры специального назначения

В регистрах специального назначения содержится служебная информация, определяющая настройки работы МК. Под настройками понимается запись восьмибитных чисел в регистры специального назначения, где каждый бит в этих числах определяет ту или иную настройку. Регистры специального назначения находятся в области оперативной памяти.

Регистры специального назначения имеют жестко определенные адреса и регламентированные наименования, которые определены в документации для того или иного МК. Как правило, в разных МК адреса регистров специального назначения совпадают, что подтверждает простоту переноса программ из одних МК в другие.

Регистр статуса (STATUS) содержит признаки операций АЛУ (арифметические флаги), состояние контроллера при сбросе и биты выбора страниц для памяти данных.

Регистр STATUS доступен для любой команды. Однако, если регистр STATUS является регистром назначения для команды, влияющей на биты Z, DC или C, то запись в эти три бита запрещается. Биты – TO и –PD устанавливаются аппаратно и не могут быть изменены программно. Для изменения регистра статуса рекомендуется использовать команды битовой установки BCF, BSF, MOVWF, которые не изменяют остальные биты статуса.

Регистр конфигурации (OPTION) является доступным регистром по чтению и записи, который содержит управляющие биты для конфигурации предварительного делителя (предделителя), внешних прерываний, таймера, а также подтягивающих резисторов «pull-up» на выводах PORTB.

Регистр прерываний INTCON является доступным по чтению и записи регистром, который содержит биты доступа для всех источников прерываний.

Бит разрешения всех прерываний GIE устанавливается автоматически при следующих условиях:

- по включению питания;
- по внешнему сигналу –MCLR;
- по внешнему сигналу –MCLR в режиме SLEEP;
- по окончанию задержки таймера WDT при нормальной работе;
- по окончанию задержки таймера WDT в режиме SLEEP.

Бит GIE обнуляется при сбросе. Когда начинает обрабатываться прерывание, бит GIE обнуляется, чтобы запретить дальнейшие прерывания, адрес возврата посылается в стек, а в программный счетчик загружается адрес 0004h. Время реакции на прерывание для внешних событий, таких как прерывание от ножки INT или порта B, составляет приблизительно пять циклов. Это на один цикл меньше, чем для внутренних событий, таких как прерывание по переполнению от таймера Timer0.

Время реакции всегда одинаковое. В подпрограмме обработки прерывания источник прерывания может быть определен по соответствующему биту в регистре флагов.

Этот флаг-бит должен быть программно сброшен внутри подпрограммы. Флаги запросов прерываний не зависят от соответствующих маскирующих битов и бита общего маскирования GIE.

Команда возврата из прерывания RETFIE завершает прерывающую подпрограмму и устанавливает бит GIE, чтобы опять разрешить прерывания.

Прерывание INT может вывести микроконтроллер из режима SLEEP, если перед входом в этот режим бит INTE был установлен в единицу. Состояние бита GIE определяет, будет ли МК переходить в подпрограмму прерывания после выхода из режима SLEEP.

Сброс битов - запросов прерываний должен осуществляться соответствующей программой обработки.

11.5.10. Счетчик команд

Счетчик команд PCL и PCLATH имеет разрядность 13 бит. Младший байт счетчика (PCL) доступен для чтения и записи и находится в регистре 02h. Старший байт счетчика не может быть напрямую записан или считан и берется из регистра PCLATH (PC latch high) с адресом 0Ah. Содержимое PCLATH передается в старший байт счетчика команд, когда он загружается новым значением.

В зависимости от того, загружается ли в программный счетчик новое значение во время выполнения команд CALL, GOTO, или в младший байт программного счетчика (PCL) производится запись из АЛУ, старшие биты программного счетчика загружаются из PCLATH разными способами так, как показано на рис.11.6.

Рис.11.6. Загрузка программного счетчика

11.5.11. Стек и возврат из подпрограмм

Кристалл PIC16F84 имеет восьмиуровневый аппаратный стек шириной 13 бит.

Область стека не принадлежит ни к программной области, ни к области данных, а указатель стека пользователю недоступен. Текущее значение программного счетчика посылается в стек, когда выполняется команда CALL или производится обработка прерывания. При выполнении процедуры возврата из подпрограммы (команды RETLW , RETFIE или RETURN), в программный счетчик выгружается содержимое стека. Регистр PCLATH (0Ah) не изменяется при операциях со стеком. Стек работает как циклический буфер и допускает 8 загрузок.

11.5.12. Прямая и косвенная адресация

Когда производится прямая 9-битная адресация, младшие 7 бит берутся как прямой адрес из кода операции, а два бита указателя страниц (RP1,RP0) из регистра статуса (03h) (рис.11.7).

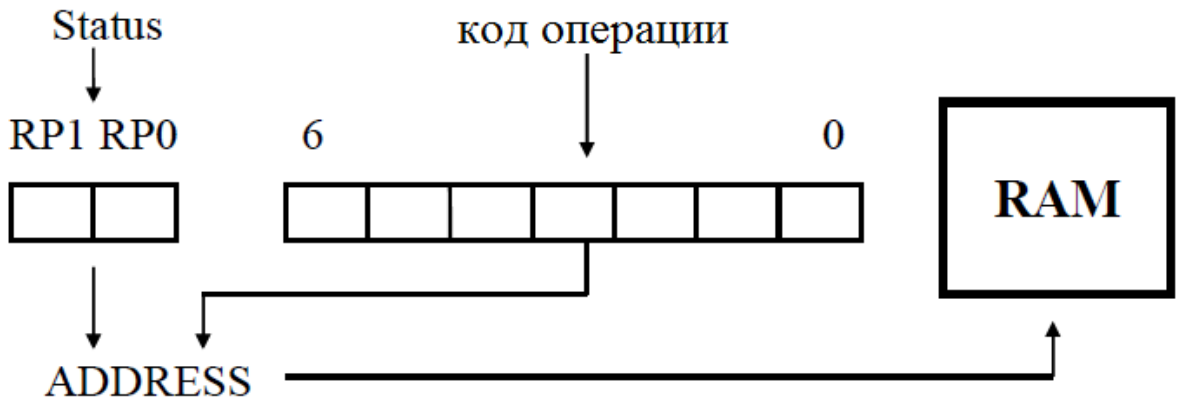

Рис.11.7. Схема прямой адресации

Признаком косвенной адресации является обращение к регистру INDF.

При косвенной адресации любая команда, которая использует INDF (адрес 00h) в качестве регистра, фактически обращается к указателю косвенной адресации, который хранится в FSR (04h). Чтение косвенным образом самого регистра INDF даст результат 00h. Запись в регистр INDF косвенным образом будет выглядеть как NOP (невыполняемая команда), но биты статуса могут быть изменены.

Необходимый 9-битный адрес формируется объединением содержимого 8-битного FSR регистра и бита IRP из регистра статуса (рис.11.8).

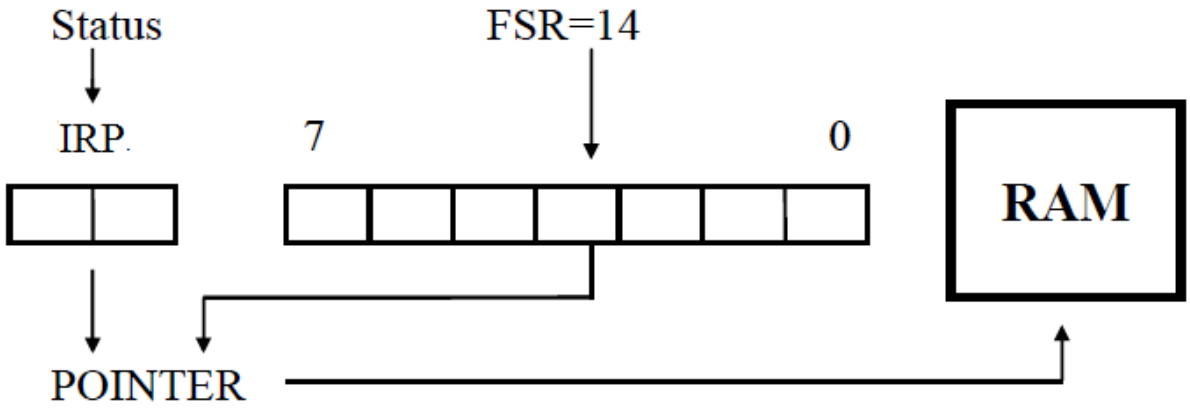

Рис.11.8. Схема косвенной адресации

11.5.13. Порты ввода-вывода

Кристалл имеет два порта: 5-ти битный порт A и 8-ми битный порт B с побитовой индивидуальной настройкой на ввод или на вывод.

Порт A - это порт шириной 5 бит, соответствующие ножки кристалла RA <4:0>. Линии RA<3:0> двунаправленные, а линия RA4 - выход с открытым стоком. Адрес регистра порта A 05h. Относящийся к порту A управляющий регистр TRISA расположен на первой странице регистров по адресу 85h. TRISA<4:0> - это регистр шириной 5 бит. Если бит управляющего TRISA регистра имеет значение единица, то соответствующая линия будет устанавливаться на ввод. Ноль переключает линию на вывод и одновременно выводит на нее содержимое соответствующего регистра защелки.

Порт B - это двунаправленный порт, шириной в восемь бит (адрес регистра 06h). Относящийся к порту B управляющий регистр TRISB расположен на первой странице регистров по адресу 86h. Если бит управляющего TRISB регистра имеет значение единица, то соответствующая линия будет устанавливаться на ввод. Ноль переключает линию на вывод и одновременно выводит на нее содержимое соответствующего регистра защелки. У каждой ножки порта B имеется небольшая активная нагрузка

(около 100мкА) на линию питания. Она автоматически отключается, если эта ножка запрограммирована как вывод. Более того, управляющий бит RPBU OPTION_REG <7> может отключить (RPBU =1) все нагрузки. Сброс при включении питания также отключает все нагрузки.

Четыре линии порта B (RB<7:4>) имеют способность вызвать прерывание при изменении значения сигнала на любой из них. Если эти линии настроены на ввод, то они опрашиваются и защелкиваются в цикле чтения Q1. Новая величина входного сигнала сравнивается со старой в каждом командном цикле. При несовпадении значения сигнала на ножке и в защелке, генерируется высокий уровень. Выходы детекторов “несовпадений” RB4, RB5, RB6, RB7 объединяются по ИЛИ и генерируют прерывание RBIF (запоминаемое в INTCON<0>). Любая линия, настроенная как вывод, не участвует в этом сравнении. Прерывание может вывести кристалл из режима SLEEP.

В подпрограмме обработки прерывания следует сбросить запрос прерывания одним из следующих способов:

1) Запретить прерывания при помощи обнуления бита RBIE INTCON<3>.

2) Прочитать порт B. Это завершит состояние сравнения.

3) Обнулить бит RBIF INTCON<0>.

Прерывание по несовпадению и программно устанавливаемые внутренние активные нагрузки на этих четырех линиях могут обеспечить простой интерфейс например с клавиатурой, с выходом из режима SLEEP по нажатию клавиш.

Ножка RB0 совмещена с входом внешнего прерывания INT.

11.5.14. Модуль таймера и регистр таймера

Структура таймера Timer0 с использованием предделителя показана на рис.11.9. Режим таймера выбирается путем сбрасывания в ноль бита T0CS, который находится в регистре OPTION_REG. В режиме таймера регистр TMR0 будет инкрементироваться от внутреннего источника частоты каждый командный цикл (без предделителя). После записи информации в TMR0, инкрементирование его начнется после двух командных циклов. Такое происходит со всеми командами, которые производят запись или чтение-модификацию-запись TMR0 (например: MOVF f1, CLRF f1). Избежать этого можно при помощи записи в TMR0 скорректированного значения. Если TMR0 нужно проверить на равенство нулю без остановки счета, следует использовать инструкцию MOVF f1,W.

Режим счетчика выбирается путем установки в единицу бита T0CS, который находится в регистре OPTION_REG. В этом режиме TMR0 будет инкрементироваться либо положительным, либо отрицательным фронтом на ножке RA4/T0CKI от внешнего источника. Направление фронта опре-

деляется управляющим битом T0SE в регистре OPTION_REG. При T0SE=0 будет выбран передний фронт. Предделитель может быть использован или совместно с TMR0, или с Watchdog таймером. Вариант подключения делителя контролируется битом PSA в регистре OPTION_REG. При PSA=0 делитель будет подсоединен к TMR0.

Содержимое делителя программе недоступно.

Коэффициент деления программируется. Прерывание по TMR0 вырабатывается тогда, когда происходит переполнение TMR0 таймера/счетчика при переходе от FFh к 00h. Тогда устанавливается бит запроса T0IF в регистре INTCON<2>. Данное прерывание можно замаскировать битом T0IE в регистре INTCON<5>. Бит запроса T0IF должен быть сброшен программно при обработке прерывания. Прерывание по TMR0 не может вывести процессор из SLEEP, так как таймер в этом режиме отключен.

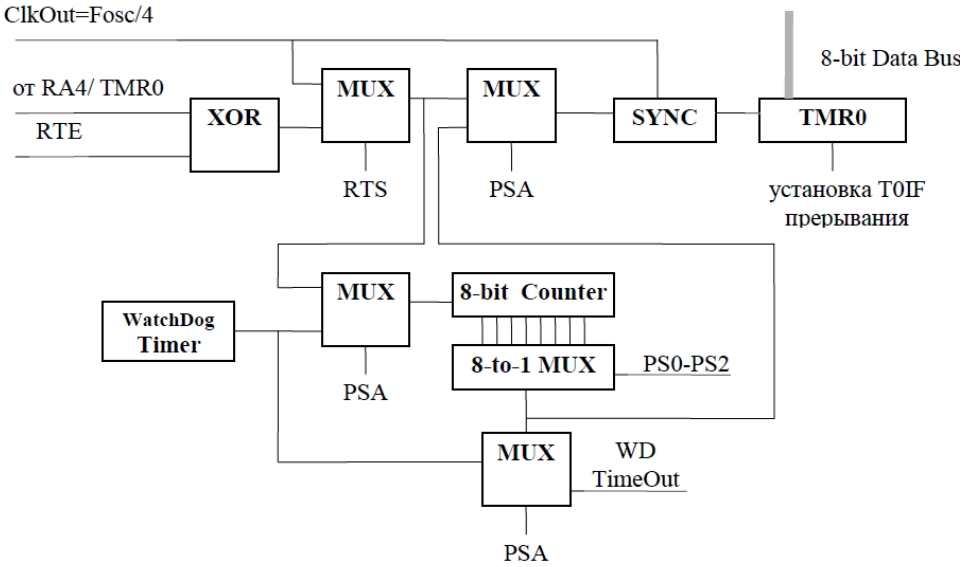

Рис.11.9. Структура таймера Timer0

11.5.15. Память данных в РПЗУ (EEPROM)

Память данных EEPROM позволяет прочитать и записать байт информации. При записи байта автоматически стирается предыдущее значение и записываются новые данные (стирание перед записью). Все эти операции производит встроенный автомат записи EEPROM. Содержимое ячеек этой памяти сохраняется при выключении питания.

Кристалл PIC16F84A имеет память данных 64x8 EEPROM бит, которая позволяет запись и чтение во время нормальной работы (во всем диапазоне питающих напряжений). Эта память не принадлежит области регистров ОЗУ. Доступ к ней осуществляется через два регистра: EEDATA (08h), который содержит в себе восьмибитовые данные для чтения/записи и EEADR (09h), который содержит в себе адрес ячейки к которой идет об-

ращение. Дополнительно имеется два управляющих регистра: EECON1 (88h) и EECON2 (89h).

При считывании данных из памяти EEPROM необходимо записать требуемый адрес в EEADR регистр и затем установить бит RD EECON1<0> в единицу. Данные появятся в следующем командном цикле в регистре EEDATA и могут быть прочитаны. Данные в регистре EEDATA защелкиваются.

При записи в память EEPROM, необходимо сначала записать требуемый адрес в EEADR регистр и данные в EEDATA регистр. Затем выполнить специальную последовательность команд, производящую непосредственную запись.

Во время выполнения этого участка программы, все прерывания должны быть запрещены для точного выполнения временной диаграммы. Время записи – примерно 10мс. Фактическое время записи будет изменяться в зависимости от напряжения, температуры и индивидуальных свойств кристалла. В конце записи бит WR автоматически обнуляется, а флаг завершения записи EEIF, он же запрос на прерывание, устанавливается.

Для предотвращения случайных записей в память данных предусмотрен специальный бит WREN в регистре EECON1. Рекомендуется держать бит WREN выключенным, кроме тех случаев, когда нужно обновить память данных. Более того, кодовые сегменты, которые устанавливают бит WREN и те, которые выполняют запись должны храниться на различных адресах, чтобы избежать случайного выполнения их обоих при сбое программы.

Регистр EECON1 (адрес 88h) - это управляющий регистр шириной пять бит. Младшие пять бит физически существуют, а старшие три бита читаются всегда как `0`.

Регистр EECON2 не является физическим регистром. Он используется исключительно при организации записи данных в EEPROM. Чтение регистра EECON2 дает нули.

11.5.16. Алгоритм сброса при включении питания

Кристалл PIC16F84A имеет встроенный детектор включения питания. Таймер запуска начинает счет выдержки времени после того, как напряжение питания пересекло уровень около 1,2...1,8 Вольт. По истечении выдержки около 72мс считается, что напряжение достигло номинала и запускается другой таймер выдержка на стабилизацию кварцевого генератора. Программируемый бит конфигурации позволяет разрешать или запрещать выдержку от встроенного таймера запуска.

Таймер на стабилизацию генератора отсчитывает 1024 импульса от начавшего работу генератора. Считается, что кварцевый генератор за это

время вышел на режим. При использовании RC генераторов выдержка на стабилизацию не производится.

Затем включается таймер ожидания внешнего сброса MCLR. Это необходимо для тех случаев, когда требуется синхронно запустить в работу несколько PIC контроллеров через общий для всех сигнал MCLR . Если такого сигнала не поступает, то через время Tost вырабатывается внутренний сигнал сброса и контроллер начинает ход по программе. Время Tost программируется битами конфигурации в EEPROM.

11.5.17. Сторожевой (Watchdog) таймер

Сторожевой таймер WDT предназначен для предотвращения катастрофических последствий от случайных сбоев программы. Он также может быть использован в приложениях, связанных со счетом времени, например, в детекторе пропущенных импульсов. Идея использования сторожевого таймера состоит в регулярном его сбрасывании под управлением программы или внешнего воздействия до того, как закончится его выдержка времени и не произойдет сброс процессора. Если программа работает нормально, то команда сброса сторожевого таймера CLRWDT должна регулярно выполняться, предохраняя поцессор от сброса. Если же микропроцессор случайно вышел за пределы программы (например, от сильной помехи по цепи питания) либо зациклился на каком-либо участке программы, команда сброса сторожевого таймера скорее всего не будет выполнена в течение достаточного времени, и произойдет полный сброс процессора, инициализирующий все регистры и приводящий систему в рабочее состояние.

Watchdog таймер представляет собой полностью независимый встроенный RC генератор, который не требует никаких внешних цепей. Он будет работать, даже если основной генератор остановлен, как это бывает при исполнении команды SLEEP.

Таймер вырабатывает сигнал сброса. Выработка таких сбросов может быть запрещена путем записи нуля в специальный бит конфигурации WDTE. Эту операцию производят на этапе прожига микросхем.

Номинальная выдержка WDT составляет 18мс (без использования делителя).

Она зависит от температуры, напряжения питания, от особенностей типов микросхем. Если требуются большие задержки, то к WDT может быть подключен встроенный делитель с коэффициентом деления до 1:128; который программируется путем записи в регистр OPTION_REG. Здесь могут быть реализованы выдержки до 2.5 секунд.

Команды “CLRWDT” и “SLEEP” обнуляют WDT и делитель, если он подключен к WDT. Это запускает выдержку времени сначала и предотвращает на некоторое время выработку сигнала сброса. Если сигнал сброса

от WDT все же произошел, то одновременно обнуляется бит “TO” в регистре статуса.

В приложениях с высоким уровнем помех, содержимое регистра OPTION_REG подвержено сбою. Поэтому регистр OPTION_REG должен обновляться через равные промежутки времени.

11.5.18. Типы генераторов

Кристаллы PIC16F84A могут работать с четырьмя типами встроенных генераторов:

- XT кварцевый резонатор;
- HS высокочастотный кварцевый резонатор;
- LP микропотребляющий кварцевый резонатор;
- RC - RC цепочка

Задание типа используемого тактового генератора осуществляется в процессе программирования микросхемы. В случае задания вариантов XT, HS и LP к микросхеме подключается кварцевый или керамический резонатор либо внешний источник тактовой частоты, а в случае задания варианта RC - резистор и конденсатор.

Пользователь может запрограммировать два конфигурационных бита (FOSC1 и FOSC0) для выбора одного из четырех режимов: RC, LP, XT, HS.

Кристаллы PIC16... могут также тактироваться и от внешних источников.

11.5.19. Биты конфигурации

Кристалл PIC16F84A имеет пять битов конфигурации, которые хранятся в EEPROM по адресу 2007h и устанавливаются на этапе программирования кристалла. Эти биты могут быть запрограммированы (читаются как `0`) или оставлены незапрограммированными (читаются как `1`) для выбора нужного варианта конфигурации. Слово конфигурации содержит 14 бит.

11.5.20. Система команд микроконтроллера PIC16F84A

Простая и эффективная система команд включает в себя всего 35 команд.

Каждая команда PIC16F84A - это 14-битовое слово, которое разделено по смыслу на следующие части: код операции, поле для одного и более операндов, которые могут участвовать или нет в этой команде.

Система команд PIC16F84A включает в себя:

байт-ориентированные команды;

бит-ориентированные команды и операции с константами;

команды передачи управления.

Основные форматы команд показаны ниже.

Команды работы с байтами

13 … 8	7	6 … 0
OPCODE	d	f (FILE #)

d = 0 для назначения W
d = 1 для назначения f
f = 7-битовый адрес регистра

Команды работы с битами

13 … 10	9 … 7	6 … 0
OPCODE	b (BIT #)	f (FILE #)

b = 3-х разрядный номер бита
f = 7-битовый адрес регистра

Команды управления и операций с константами

13 … 8	7 … 0
OPCODE	k (literal)

k = 8-ми разрядная константа

Команды CALL и GOTO

13 … 11	10 … 0
OPCODE	k (literal)

k = 11-ти разрядная константа

Для байт-ориентированных команд “f” обозначает собой регистр, с которым производится действие; “d” - бит определяет, куда положить результат. Если “d” =0, то результат будет помещен в W регистр, при “d”=1 результат будет помещен в “f”, упомянутом в команде.

Для бит-ориентированных команд “b” обозначает номер бита, участвующего в команде, а “f” - это регистр , в котором этот бит расположен.

Для команд передачи управления и операций с константами, “k” обозначает восьми или одинадцатибитную константу.

Все команды выполняются в течение одного командного цикла. В двух случаях исполнение команды занимает два командных цикла:

- проверка условия и переход;
- изменение программного счетчика как результат выполнения команды.

Байт-ориентированные команды

Мнемокод		Название команды	Флаги	Примеч.
ADDWF	f,d	Сложение W с f	C,DC,Z	2,3
ANDWF	f,d	Логическое И W и f	Z	2,3
CLRF	f	Сброс регистра f	Z	3
CLRW		Сброс регистра W	Z	
COMF	f,d	Инверсия регистра f	Z	2,3
DECF	f,d	Декремент регистра f	Z	2,3
DECFSZ	f,d	Декремент f, пропустить команду, если 0		2,3
INCF	f,d	Инкремент регистра f	Z	2,3
INCFZ	f,d	Инкремент регистра f, пропустить команду, если 0		2,3
IORWF	f,d	Логическое ИЛИ W и f	Z	2,3
MOVF	f,d	Пересылка регистра f	Z	2,3
MOVWF	f	Пересылка W в f		3
NOP		Холостая команда		
RLF	f,d	Сдвиг f влево через перенос	C	2,3
RRf	f,d	Сдвиг f вправо через перенос	C	2,3
SUBWF	f,d	Вычитание W из f	C,DC,Z	2,3
SWAPF	f,d	Обмен местами тетрад в f		2,3
XORWF	f,d	Исключающее ИЛИ W и f	Z	2,3
ADDLW	k	Сложение константы с W.	C,DC,Z	
ANDLW	k	Логическое И константы и W	Z	
IORLW	k	Логическое ИЛИ константы и W	Z	
SUBLW	k	Вычитание W из константы.	C,DC,Z	
MOVLW	k	Пересылка константы в W		
XORLW	k	Исключающее ИЛИ константы и W	Z	
OPTION		Загрузка W в OPTION_REG регистр		1
TRIS	F	Загрузка TRIS регистра		1

Один командный цикл состоит из четырех периодов генератора. Таким образом, для генератора с частотой 4 МГц время исполнения командного цикла будет 1мкс.

Бит-ориентированные команды

Мнемокод		Название команды	Флаги	Примеч.
BCF	f,d	Сброс бита в регистре f		2,3
BSF	f,d	Установка бита в регистре f		2,3
BTFSC	f,b	Пропустить команду, если бит равен 0		
BTFSS	f,b	Пропустить команду, если бит равен 1		

Переходы

Мнемокод		Название команды	Флаги	Примеч.
CALL	k	Вызов подпрограммы		
CLRWDT		Сброс Watchdog таймера	TO,PD	
Мнемокод		**Название команды**	**Флаги**	**Примеч.**
GOTO	k	Переход по адресу		
RETLW	k	Возврат из подпрограммы с загрузкой константы в W		
RETFIE		Возврат из прерывания.		
RETURN		Возврат из подпрограммы.		
SLEEP		Переход в режим SLEEP	TO,PD	

Примечание 1:

Команды TRIS и OPTION помещены в перечень команд для совместимости с семейством PIC16C5X. Их использование не рекомендуется. В PIC16F84 регистры TRIS и OPTION доступны для чтения и записи как обычные регистры с номером. Предупреждаем, что эти команды могут не поддерживаться в дальнейших разработках PIC16CXX.

Примечание 2:

Когда модифицируется регистр ввода/вывода, например MOVF 6,1, значение, используемое для модификации считывается непосредственно с ножек кристалла. Если значение защелки вывода для ножки, запрограммированной на вывод равно “1”, но внешний сигнал на этом выводе “0” из-за “навала” снаружи, то будет считываться “0”.

Примечание 3:

Если операндом этой команды является регистр f1 (и, если допустимо, d=1), то делитель, если он подключен к TMR0, будет обнулен.

11.5.21. Разводка ножек микроконтроллера PIC16F84A

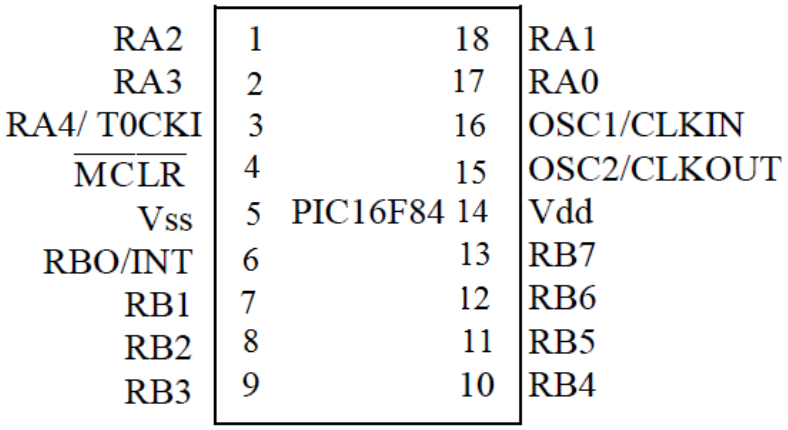

Обозначение	Нормальный режим	Режим записи EEPROM
RA0 – RA3	Двунаправленные линии ввода/вывода. Входные уровни ТТЛ	
RA4/T0CKI	Вход через триггер Шмитта. Ножка порта ввода/вывода с открытым стоком или вход частоты для таймера/счетчика TMR0	
RB0/INT	Двунаправленная линия порта ввода/ вывода или внешний вход прерывания Уровни ТТЛ	
RB1 – RB5	Двунаправленные линии ввода/ вывода. Уровни ТТЛ	
RB6	Двунаправленные линии ввода/ вывода. Уровни ТТЛ.	Вход тактовой частоты для EEPROM
RB7	Двунаправленные линии ввода/ вывода. Уровни ТТЛ.	Вход/выход EEPROM данных.
$\overline{MCLR}$ /Vpp	Низкий уровень на этом входе генерирует сигнал сброса для контроллера. Активный низкий.	Сброс контроллера Для режима EEPROM- подать Vpp.
OSC1/CLKIN	Для подключения кварца,	

Обозначение	Нормальный режим	Режим записи EEPROM
	RC или вход внешней тактовой частоты	
OSC2/CLKOUT	Генератор, выход тактовой частоты в режиме RC генератора, в остальных случаях - для подкл.кварц	
Vdd	Напряжение питания	Напряжение питания
Vss	Общий(земля)	Общий

11.5.22. Технические характеристики микроконтроллера PIC16F877A

Все наиболее важные разработки в электронике связаны с изобретением и применением микроконтроллеров. Микроконтроллер может управлять различными периферийными устройствами: жидкокристаллическими экранами, клавиатурами, устройства измерения и контроля, выполнять запись на внешние карты памяти, обеспечивать связь с другими компьютерами. Но для этого требуются более мощные микроконтроллеры, чем изученный нами PIC16F84A.

Примером такого микроконтроллера может служить PIC16F877A. Эта популярная и высокопроизводительная модель восьмибитного микроконтроллера имеет развитую систему модулей для связей с объектами управления и позволяет выполнять многие важные технические задачи. Система команд этого микроконтроллера такая же, как у изученного нами PIC16F84A.

Технические характеристики микроконтроллера PIC16F877A

Характеристики микроконтроллера:

- Высокоскоростная RISC архитектура;
- 35 инструкций;
- Тактовая частота 20МГц;
- Один машинный цикл 200нс;
- FLASH память программ (14-разрядных слов) 8К;
- Память данных (байт) 368;
- EEPROM память данных (байт) 256;
- Прерываний 14;
- Порты ввода/вывода: Порты A, B, C, D, E;
- Таймеры 3;
- Модуль захват/сравнение/ШИМ 2;
- Модули последовательного интерфейса MSSP, USART;
- Модули параллельного интерфейса PSP;
- Модуль 10-разрядного АЦП 8 каналов.

Основные отличия микроконтроллера PIC16F877 от изученного нами PIC16F84A состоят в следующем.

PIC16F877 имеет дополнительно:

- пять портов ввода/вывода (PORTA, PORTB, PORTC, PORTD, PORTE);
- три таймер (TMR0, TMR1, TMR2);
- два модуля захват/сравнение/ШИМ
- (Capture/Compare/PWM) - CCP1, CCP2);

- десятиразрядный аналогово-цифровой преобразователь (АЦП) на восемь каналов;
- синхронный последовательный порт MSSP;
- последовательный интерфейс USART;
- модуль параллельного интерфейса PSP.

Используя микромонтроллер с такими и более высокими характеристиками можно создавать разнообразные эффективные электронные устройства широкого применения.

Библиографический список

1. Алехин В.А. Электротехника. Курс лекций с использованием компьютерного моделирования в среде TINA-TI. Электронное издание №35537. Номер гос. рег. 0321401007. М.: МИРЭА-2014, с.300.

2. Алехин В.А. Электротехника и электроника. Компьютерный лабораторный практикум в программной среде *TINA*. – М.: Горячая линия – Телеком, 2014. – с. 208.

3. Алехин В.А. Микроконтроллеры PIC. Основы прошграммирования и моделирования в интерактивныхъ средах MPLAB IDE, mikroC, TINA, Proteus. М.: Горячая линия-Телеком, 2016.-248 с.

4. Алехин В.А. Электроника и схемотехника. Мультимедийный практикум с использованием компьютерного моделирования в программной среде TINA-TI. Электронное издание № 30501. Номер гос.рег. 0321403971. М.: МИРЭА-2014, с.290.

5. Прянишников В.А. Электроника. Курс лекций. – Санкт-Петербург.: «Корона принт», 2000. – с.415.

6. Миленина С.А. Электротехника, электроника и схемотехника. Учебник и практикум. М.: Юрайт, 2015.- с.510.

7. Немцов М.В. Электротехника и электроника: Учебник для вузов.- М.: Издательство МЭИ, 2003.- с. 616.

8. У. Томаси. Электронные системы связи. –М.: Техносфера, 2007.-с.1358.

9. У. Титце, К. Шенк. Полупроводниковая схемотехника. Издание 12 в двух томах. М.: ДМК Пресс, 2007. – 828 с., 942 с.

10. Марченко А.Л. Основы электроники. Учебное пособие для вузов. –М.: ДМК Пресс, 2008.-295 с.

11. Миловзоров О.В., Панков И.Г. Электроника: учебник для бакалавров.-5-е изд. –М.: Издательство Юрайт, 2015.-407с.

12. К. Фрике. Вводный курс цифровой электроники. –М.: Техносфера, 2003.- 432 с.

13. К. Бойт. Цифровая электроника. М.: Техносфера, 2007.-472 с.

14. Мокрецов В.П. Микропроцессоры и МПС. Екатеринбург : ГОУ ВПО УГТУ−УПИ, 2007. – 143 с.

15. TINA. Design Suite. The Complete Electronics Lab for Windows. Quick Start manual. - http://www.designsoftware.com/.